



Fouille et inventaires archéologiques de 2022
au Grand lac Nomingue (site CcFr-1),
au Petit lac Nomingue (site CcFs-2) et à L'Ascension



Olivier Pilette et Adrien Cesario

Sous la direction de Karine Taché et de Francis Lamothe

Février 2024



**UNIVERSITÉ
LAVAL**

Faculté des lettres et des sciences humaines



ethno-scop
Consultants en archéologie et patrimoine culturel

Fouille et inventaires archéologiques de 2022
au Grand lac Nomingue (site CcFr-1),
au Petit lac Nomingue (site CcFs-2) et à L'Ascension

Page couverture :

Vue aérienne de l'aire de fouilles principale sur le site CcFr-1 avant le remblayage
(photographie Christophe Chapleau)

Quatrième :

Ambiance au chantier-école sur le site CcFr-1 (photographies Karine Taché)

REMERCIEMENTS

Nous tenons à remercier toutes les personnes concernées de près ou de loin à la réalisation de ce projet, en particulier Sylvie Constantin et Sylvain Généreux, responsables de la corporation Les Gardiens du patrimoine archéologique des Hautes-Laurentides (GPAHL), pour leurs immenses efforts et leur enthousiasme concernant la reconnaissance, la mise en valeur et la diffusion de la richesse du patrimoine archéologique des Hautes-Laurentides. Nous tenons à remercier M. Robert Bélanger, Mme Christine Guay et Mme Claudie Bélanger pour l'accueil chaleureux et l'aide offerte lors des interventions réalisées à l'embouchure du ruisseau Jourdain. Nous remercions aussi M. Grant McKenna du Camp Nomingue pour nous avoir donné accès au site de la pointe des Sœurs, de même que M. Roger Fournier pour nous avoir autorisés à effectuer l'inventaire sur sa propriété à L'Ascension. Nous remercions la firme Ethnoscop d'avoir généreusement mis ses ressources logistiques à la disposition de l'équipe d'intervention, notamment pour la cartographie et lors du travail d'édition. Nous remercions la Municipalité de Nomingue et l'Université Laval pour leur soutien financier essentiel à la réalisation de ce projet de recherche.

Nous tenons également à remercier les membres de la Première Nation Kitigan Zibi Anishinàbeg : Douglas Odjick, membre élu du conseil de bande, Erik Higgins, du bureau des ressources naturelles et de la faune, Liz Cote, Dolcy Meness et Corey Twenish, membres des Kitigan Zibi Nagadjitòdjig Aki (Gardiens du territoire de Kitigan Zibi), pour leur participation active lors de l'intervention archéologique de 2022. Cette seconde collaboration avec la communauté autochtone au cœur des Laurentides, territoire traditionnel non cédé de la Nation Anishinàbe-Algonquine, s'est avérée très enrichissante et a permis de tisser des liens et d'établir les bases en vue de projets futurs. Cette démarche vise notamment à contribuer à la formation d'une nouvelle génération d'archéologues issus des communautés autochtones et s'inscrit dans une reconnaissance du droit inhérent des Premiers Peuples à gérer leur patrimoine culturel et archéologique.

RÉSUMÉ

Les inventaires et la fouille archéologiques effectués en 2022 au Grand lac Nominingue (site CcFr-1), à L'Ascension et à la pointe Monseigneur du Petit lac Nominingue (CcFs-2) s'inscrivent en continuité avec le travail d'investigation entrepris depuis 2011 par les Gardiens du patrimoine archéologique des Hautes-Laurentides. Les données archéologiques accumulées jusqu'ici témoignent d'une présence humaine continue sur le territoire depuis plus de 7 000 ans.

La fouille archéologique réalisée cette année à l'embouchure du ruisseau Jourdain (site CcFr-1) dans le cadre d'un chantier-école de l'Université Laval a permis de bonifier substantiellement la collection archéologique déjà mise au jour (os blanchis, éclats, outils lithiques, tessons en céramique). Un total de 16 structures et restes de combustion ainsi qu'une perturbation interprétée comme étant la fosse d'un ancien chablis ont été identifiés à l'intérieur et à proximité de l'aire entamée en 2021. Cet effort de synthèse réunit des indices cumulés depuis le début des recherches dans cette partie du site en 2016. Douze nouvelles unités de vase s'ajoutent à l'assemblage céramique. Cinq unités de vases en particulier semblent représenter des variantes d'un même savoir-faire. L'analyse lithique met en évidence l'importante variété de matières premières utilisées par les occupants du site ainsi que leur participation dans de vastes réseaux de communication.

Un inventaire complémentaire du site CcFr-1 tend à démontrer l'existence d'autres contextes d'occupation en place sur le terrain, notamment sur l'axe 50N, et l'absence de tels contextes sur la plage.

Les inventaires effectués au chemin des Îles à L'Ascension et à la pointe Monseigneur du Petit lac Nominingue n'ont malheureusement pas livré de résultats concluants.

LISTE DES PARTICIPANTS

DIRECTION DE L'ÉTUDE

Les Gardiens du patrimoine archéologique des Hautes-Laurentides

Sylvie Constantin Co-fondatrice, présidente et coordonnatrice des opérations
Sylvain Généreux Co-fondateur, vice-président

Ministère de la Culture et des Communications du Québec

Éliane Bossé Archéologue, conseillère en développement culturel

ÉQUIPE

Karine Taché Archéologue paléohistorienne chargée de projet, édition
Francis Lamothe Assistant archéologue et archéologue-historien, analyse culture matérielle, cartographie, infographie, rédaction, édition
Olivier Pilette Candidat à la maîtrise en archéologie (Université Laval), assistant archéologue, analyse lithique, cartographie, rédaction, édition
Adrien Cesario Candidat à la maîtrise en archéologie (Université Laval), assistant archéologue, analyse céramique, cartographie, rédaction, édition
Roland Tremblay Technicien en archéologie, mentorat
Geneviève Pothier-Bouchard Technicienne en archéologie (postdoctorante Université Laval)
Éric Bouillé Technicien en archéologie (stagiaire Université Laval)
Dominique Chafouleas Technicienne en archéologie (stagiaire Université Laval)
Gabrielle Furlatt Technicienne en archéologie (stagiaire Université Laval)
William Savard Technicien en archéologie (stagiaire Université Laval)
Sylvie Constantin Soutien technique (bénévole)
Sylvain Généreux Technicien en archéologie (bénévole)
Pierre Généreux Technicien en archéologie (bénévole)
Christiane Lalonde Technicienne en archéologie (bénévole)
Robert Bélanger Technicien en archéologie et soutien technique (bénévole)
Christine Guay Soutien technique (bénévole)

KITIGAN ZIBI NAGADJITÒDJIG AKÌ (LES GARDIENS DU TERRITOIRE DE KITIGAN ZIBI)

Liz Cote Technicienne en archéologie
Dolcy Meness Technicienne en archéologie
Corey Twenish Technicien en archéologie

ETHNOSCOPIE

Liliane Carle Cartographie
Laurence Johnson Édition (bénévole)
Stéphanie Goyette Édition
Mathieu Sévigny Arpentage

TABLE DES MATIÈRES

| | |
|---|------|
| LISTE DES PARTICIPANTS | VII |
| LISTE DES FIGURES | XI |
| LISTE DES PHOTOGRAPHIES | XIII |
| LISTE DES PLANS | XV |
| LISTE DES PLANCHES PHOTOGRAPHIQUES | XVII |
| LISTE DES TABLEAUX | XIX |
| 1. INTRODUCTION | 1 |
| 1.1 Contexte administratif et mandats | 1 |
| 1.2 Objectifs à long terme | 2 |
| 1.3 Localisation de l'aire d'étude | 2 |
| 2. ÉTAT DES CONNAISSANCES | 5 |
| 2.1 Paysage naturel | 5 |
| 2.2 Hydrographie des Laurentides | 6 |
| 2.3 Cadre culturel paléohistorique des interventions antérieures | 13 |
| Haute-Mauricie | 13 |
| Bassin de la Gatineau | 15 |
| Vallée de l'Outaouais | 15 |
| Haute-Laurentides — MRC d'Antoine-Labelle | 18 |
| Bassins des rivières Rouge, du Lièvre et Petite-Nation | 19 |
| 2.4 Cadre historique général | 21 |
| 2.5 Les secteurs à l'étude | 26 |
| Rivières de la Petite-Nation, Rouge et Grand lac Nominique | 26 |
| 3. MÉTHODOLOGIE | 31 |
| 4. PRÉSENTATION DES RÉSULTATS | 33 |
| 4.1 Fouille et inventaire archéologiques à l'embouchure du ruisseau Jourdain (CcFr-1) | 34 |
| 4.1.1 Historique des travaux | 34 |
| 4.1.2 Fouille archéologique sur le site CcFr-1 | 39 |
| 4.1.3 Inventaire archéologique complémentaire sur le site CcFr-1 | 100 |
| 4.1.4 Inventaire archéologique complémentaire sur la plage du site CcFr-1 | 104 |
| 4.1.5 Conclusion de l'intervention | 109 |
| 4.2 Inventaire complémentaire au Petit lac Nominique (CcFs-2) | 111 |
| 4.3 Inventaire archéologique à L'Ascension | 116 |
| 5. CONCLUSION | 119 |
| 6. RECOMMANDATIONS | 121 |
| Site du ruisseau Jourdain (CcFr-1) au Grand lac Nominique | 121 |
| Secteur de l'Ascension | 122 |
| Site de la pointe des sœurs au petit lac Nominique (CcFs-2) | 122 |
| Recommandations générales | 122 |
| MÉDIAGRAPHIE | 125 |

ANNEXES

| | |
|----------|---|
| Annexe A | La collection céramique du site CcFr-1 (ruisseau Jourdain) |
| Annexe B | Analyse et référentiel lithique |
| Annexe C | Inventaire des artefacts et écofacts |
| Annexe D | Catalogue des photographies |
| Annexe E | Collecte de surface sur la plage du site CcFr-1 (ruisseau Jourdain) |

LISTE DES FIGURES

| | | |
|-----------|--|----|
| Figure 1 | Localisation des zones d'intervention archéologique de 2022 | 3 |
| Figure 2 | Carte de la Nouvelle-France de 1632 par Samuel de Champlain..... | 7 |
| Figure 3 | Geological map, Illustrative of the St.Maurice country, 1830..... | 8 |
| Figure 4 | Copie par Denis-Benjamin Papineau (avant 1853) de la carte <i>Plan des eaux de la Nation du Nord</i> réalisée vers 1810 par Paul Kakidjouenne (copie numérique fournie par Jean-Guy Paquin) | 10 |
| Figure 5 | Carte régionale de la province de Québec comprenant les comtés de St. Maurice, Maskinongé, Berthier, Joliette, Montcalm, L'Assomption, Jacques-Cartier, Hochelaga, Laval, Terrebonne, Soulanges, Vaudreuil, Deux-Montagnes, Argenteuil et Ottawa de 1882 par Genest et Gauvin | 11 |
| Figure 6 | Carte synthèse des principaux réseaux hydrographiques des Hautes-Laurentides, en lien avec les Petit et Grand lacs Nominique (carte réalisée par Francis Lamothe). | 12 |
| Figure 7 | Carte des populations autochtones du nord-est américain au début du XVII ^e siècle (modifications à partir de Havard 2003)..... | 22 |
| Figure 8 | Carte des nations anishinàbeg de la première moitié du XVII ^e siècle (selon Ratelle 1993). | 23 |
| Figure 9 | Louis Tanascon en 1932 | 25 |
| Figure 10 | Carte de George Griffin de 1832, <i>Map of the River Rouge from Lower Race to Upper as also Lake Nominig</i> | 28 |
| Figure 11 | Détail du Petit lac Nominique illustré sur la carte de Duncan Sinclair de 1865, <i>Plan of the River-Rouge in the County of Ottawa</i> | 29 |
| Figure 12 | Détail du lac Maison de Pierre, près des sources de la rivière Rouge. L'arpenteur Duncan Sinclair a noté en 1864 la présence d'un important camp de chasse anishinàbe (Bones Central Hunting Camp) dans ce secteur (Détail de <i>Plan part of the River-Rouge in the County of Ottawa</i> , BAnQ). En mortaise, même lieu tel qu'illustré par Duncan Sinclair sur la carte produite en mai 1864 <i>Plan of the part of River Rouge</i> (BAnQ)..... | 30 |
| Figure 13 | Carte de la localisation du site CcFr-1 et des sites avoisinants dans la portion nord du Grand lac Nominique | 35 |
| Figure 14 | Carte satellite de la localisation du site CcFr-1 et des sites avoisinants dans la portion nord du Grand lac Nominique | 35 |
| Figure 15 | CcFr1, stratigraphie de la paroi 52N entre les axes 102E et 107E..... | 45 |
| Figure 16 | CcFr1, stratigraphie de la paroi 103E/104W entre les axes 50N et 53N | 47 |
| Figure 17 | Photographie aérienne prise le 15 octobre 1949 sur laquelle le terrain de tennis et la maison du Dr Jacques Cartier sont visibles (Photothèque nationale de l'air)..... | 52 |
| Figure 18 | Vue aérienne de l'ancienne propriété du Dr Jacques Cartier en 1955 montrant l'emplacement des clôtures du terrain de tennis et du support à balançoire toujours en place aujourd'hui (collection personnelle à Robert Bélanger et Christine Guay) | 53 |
| Figure 19 | Effet d'un chablis sur les sols (source : Antea archéologie)..... | 58 |
| Figure 20 | CcFr-1, stratigraphie de la paroi ouest des quadrants nord-est et sud-est du puits 51N102E | 64 |
| Figure 21 | CcFr-1, stratigraphie des parois nord, est et sud du puits 53N100E..... | 69 |

| | | |
|-----------|--|-----|
| Figure 22 | Wigwam anishinàbe construit par le maître artisan Daniel « Pinock » Smith de Kitigan Zibi Anishinàbeg (source : https://www.pinock.ca/photogallery.php)..... | 73 |
| Figure 23 | CcFr-1, stratigraphie de la paroi nord du sondage 50N116E-QSE | 103 |
| Figure 24 | CcFr-1, stratigraphie de la paroi est du sondage J60 | 108 |
| Figure 25 | Carte de la localisation du site CcFs-2 et des sites avoisinants au Petit lac Nominique | 111 |
| Figure 26 | Carte satellite de la localisation du site CcFs-2 et de sites avoisinants au Petit lac Nominique..... | 112 |
| Figure 27 | Localisation des sondages et limites du site CcFs-2. | 113 |
| Figure 28 | CcFs-2, stratigraphie de la paroi est du sondage PDS5..... | 115 |
| Figure 29 | Localisation du lot cadastral de l'intervention à L'Ascension..... | 116 |
| Figure 30 | Localisation des sondages de l'inventaire réalisé à L'Ascension | 117 |

LISTE DES PHOTOGRAPHIES

| | | |
|----------|--|----|
| Photo 1 | Début des fouilles dans l'aire principale après le déblayage des puits excavés en 2021 (photographie Karine Taché) | 40 |
| Photo 2 | Limite est d'un possible canal ayant tronqué l'horizon C entre les axes 103E et 105E (modification de CcFr1-2022_NUM2-415) | 50 |
| Photo 3 | Couche de sables stratifiés en paroi sud du sondage exploratoire dans le quadrant sud-ouest du puits 51N104E (CcFr1-2022_NUM1-404) | 51 |
| Photo 4 | Vue aérienne sur les propriétés actuelles de Robert et de Claudie Bélanger (photographie Christophe Chapleau) | 52 |
| Photo 5 | Sillons parallèles à l'interface entre la couche de remblai et l'horizon Ah sous-jacent dans les quadrants nord du puits 56N105E (modification de CcFr1-2022_NUM2-185) | 53 |
| Photo 6 | Tranchée liée à l'installation du câble de télévision dans le puits 52N107E (modification de CcFr1-2022_NUM2-68) | 54 |
| Photo 7 | Pierres rougies au fond de la profonde dépression dans les quadrants ouest du puits 50N104E (modification de CcFr1-2021_NUM1-134) | 58 |
| Photo 8 | Mélange de sédiments en paroi sud du quadrant sud-est du puits 52N103E (modification de CcFr1-2021_NUM1-160) | 61 |
| Photo 9 | Profil d'une cuvette de foyer en paroi ouest des quadrants nord-est et sud-est du puits 51N102E (modification de CcFr1-2022_NUM2-107) | 63 |
| Photo 10 | Cuvette de foyer circulaire dans les quadrants ouest du puits 51N104E (modification de CcFr1-2022_NUM1-225) | 65 |
| Photo 11 | Cuvettes de foyer et traces circulaires à l'interface avec l'horizon Bf dans le puits 53N100E (modification de CcFr1-2022_NUM1-327 et -333) | 66 |
| Photo 12 | Cuvette de foyer dans le quadrant nord-ouest du puits 52N103E (modification de CcFr1-2022_NUM2-19) | 74 |
| Photo 13 | Bande de sédiments noircis dans le puits 52N102E jouxtant la cuvette de foyer dans le quadrant nord-ouest du puits 52N103E (modification de CcFr1-2021_NUM1-117) | 74 |
| Photo 14 | Reste de la cuvette de foyer fouillée en 2021 du puits 53N104E (modification de CcFr1-2022_NUM2-363 et de CcFr1-2021_NUM1-94). Vue en coupe à gauche (paroi sud) et vue en plan à droite. | 76 |
| Photo 15 | Témoins de combustion dans la moitié ouest du puits 53N104E s'étendant jusqu'à la structure 8 dans le quadrant sud-est (modification de CcFr1-2022_NUM2-355) | 76 |
| Photo 16 | Aire de foyer dans les puits 51N105E et 51N106E (modification de CcFr1-2021_NUM1-74 et CcFr1-2022_NUM2-262) | 78 |
| Photo 17 | Témoins de combustion dans le puits 51N107E s'étendant jusqu'à la structure 10 dans le puits 51N106E (CcFr1-2017_NUM1-27) | 79 |
| Photo 18 | Témoins de combustion dans le quadrant nord-ouest du puits 50N107E (CcFr1-2022_NUM2-39) | 79 |
| Photo 19 | Témoins de combustion dans les quadrants sud du puits 50N107E (CcFr1-2022_NUM1-121) | 80 |
| Photo 20 | Cuvette de foyer dans le quadrant sud-ouest (14) et témoins de combustions dans les quadrants est (15) du puits 52N106E (CcFr1-2021_NUM1-46) | 81 |
| Photo 21 | Concentration de tessons de l'unité de vase 8 près d'une pierre chauffée dans le quadrant nord-ouest du puits 52N107E (CcFr1-2022_NUM2-131) | 82 |

| | | |
|----------|--|-----|
| Photo 22 | Témoins de combustion dans les quadrants nord du puits 52N107E (CcFr1-2022_NUM2-204) | 82 |
| Photo 23 | Coloration plus foncée des témoins de combustion du niveau 5 dans les quadrants nord du puits 56N105E par rapport au début de l'horizon Ah dans le quadrant sud-est (CcFr1-2022_NUM2-214)..... | 83 |
| Photo 24 | Stratigraphie de la paroi sud du sondage 76N107E-QSW (modification de CcFr1-2022_NUM2-252) | 100 |
| Photo 25 | Stratigraphie de la paroi nord du sondage 50N82E-QSW (CcFr1-2022_NUM1-326)..... | 101 |
| Photo 26 | Emplacement du sondage 50N116E-QSE sur une partie intacte de la terrasse précédant la plage du site CcFr-1 (CcFr1-2022_NUM2-347) | 102 |
| Photo 27 | Fragment d'ocre rouge (CcFr1.2022.1117) réduit en poudre | 102 |
| Photo 28 | Stratigraphie de la paroi nord du sondage 50N116E-QSE (modification de CcFr1-2022_NUM2-417) | 103 |
| Photo 29 | Stratigraphie de la paroi nord du sondage J55 (modification de CcFr1-2022_NUM2-51) ... | 107 |
| Photo 30 | Stratigraphie de la paroi est du sondage J60 (modification de CcFr1-2022_NUM2-334) | 108 |
| Photo 31 | Localisation du sondage PDS5 (CcFs2-2022_NUM1-010) | 112 |
| Photo 32 | Stratigraphie de la paroi sud du sondage PDS25 (CcFs2-2022_NUM1-025)..... | 114 |
| Photo 33 | Aire principale des sondages réalisés dans la clairière (Asc-2022_NUM1-001)..... | 118 |
| Photo 34 | Inventaire dans la forêt de conifères cultivés (Asc-2022_NUM1-009) | 118 |
| Photo 35 | Stratigraphie de la paroi est du sondage RF5 avec horizon Ae résiduel décapé et horizon Bf (Asc-2022_NUM1-004)..... | 118 |
| Photo 36 | Stratigraphie de la paroi ouest du sondage RF14 (Asc-2022_NUM1-010) | 118 |

LISTE DES PLANS

| | | |
|--------|---|-----|
| Plan 1 | Localisation générale de l'aire d'étude | 4 |
| Plan 2 | Historique des interventions archéologiques sur le site CcFr-1 | 37 |
| Plan 3 | Aire de fouilles de 2022 | 41 |
| Plan 4 | Structures, témoins de combustion et perturbation identifiées dans l'aire de fouilles principale du site CcFr-1 | 55 |
| Plan 5 | Distribution des outils lithiques dans et à proximité de l'aire de fouilles principale sur le site CcFr-1 (2016 à 2022) | 93 |
| Plan 6 | Distribution des éclats en pierre taillée dans et à proximité de l'aire de fouilles principale sur le site CcFr-1 (2016 à 2022) | 93 |
| Plan 7 | Distribution des fragments d'os dans et à proximité de l'aire de fouilles principale sur le site CcFr-1 (2016 à 2022) | 97 |
| Plan 8 | Distribution des tessons en céramique dans et à proximité de l'aire de fouilles principale sur le site CcFr-1 (2016 à 2022) | 99 |
| Plan 9 | Zone d'inventaire archéologique sur la plage du site CcFr-1 | 105 |

LISTE DES PLANCHES PHOTOGRAPHIQUES

| | | |
|-----------|---|----|
| Planche 1 | Fragments d'un objet en os décoré de rainures trouvés dans les puits 51N102E et 53N100E et fragment (.1454) d'un objet en os rainuré et poli trouvé dans le puits 52N107E | 71 |
| Planche 2 | Perles en verre trouvées dans les puits 50N107E (.1030 et .1070), 51N106E (.1296) et 53N100E (.1727)..... | 71 |
| Planche 3 | Ponctuation produisant une bosse sur la paroi externe (groupes 1 et 2) et motif du croisillon sur le premier registre de la paroi externe (UV19 et groupe 2) | 73 |
| Planche 4 | Matériel de la période post-contact : lame de couteau (.1334), silex européen chauffé (.1602) et balle de fusil en plomb (.1289)..... | 78 |
| Planche 5 | Micropointe de projectile en chert siliceux (CcFr-1.2022.1251) | 91 |
| Planche 6 | Totalités des outils lithiques retrouvés pendant l'intervention de 2022 sur le site CcFr-1 | 95 |
| Planche 7 | Unités de vase de facture très similaire mises au jour dans ou à proximité de l'aire de fouilles principale sur le site CcFr-1 | 98 |

LISTE DES TABLEAUX

| | | |
|------------|--|-----|
| Tableau 1 | Synthèse des résultats de l'intervention archéologique de 2022..... | 33 |
| Tableau 2 | Faits saillants de l'historique des travaux sur le site CcFr-1 | 36 |
| Tableau 3 | Corrélation entre les couches stratigraphiques de la paroi 52N et les niveaux fouillés..... | 43 |
| Tableau 4 | Corrélation entre les couches stratigraphiques de la paroi 103E/104W et les niveaux fouillés | 43 |
| Tableau 5 | Étendue et niveaux associés aux structures, aux témoins de combustion et à la perturbation identifiées dans l'aire de fouilles principale du site CcFr-1 | 56 |
| Tableau 6. | Tessons associés à une unité de vase retrouvés dans la dépression du chablis | 59 |
| Tableau 7 | Corrélation entre les couches stratigraphiques de la paroi ouest des quadrants nord-est et sud-est et les niveaux fouillés du puits 51N102E | 63 |
| Tableau 8 | Corrélation entre les couches stratigraphiques et les niveaux fouillés du puits 53N100E | 67 |
| Tableau 9 | Synthèse des artefacts et écofacts mis au jour pendant la fouille de 2022 sur le site CcFr-1 | 85 |
| Tableau 10 | Distribution des outils lithiques par puits/sondage, type et matériau | 88 |
| Tableau 11 | Distribution des éclats lithiques par puits/sondage, type et matériau | 90 |
| Tableau 12 | Description des outils lithiques retrouvés sur le site CcFr-1 en 2022..... | 95 |
| Tableau 13 | Synthèse des artefacts et écofacts mis au jour pendant l'inventaire complémentaire de 2022 sur le terrain du site CcFr-1 | 100 |
| Tableau 14 | Synthèse des artefacts et écofacts mis au jour pendant l'inventaire complémentaire de 2022 sur la plage du site CcFr-1 | 104 |

1. INTRODUCTION

La région des Laurentides dévoile d'année en année la richesse de son patrimoine archéologique. Le potentiel remarquable des Hautes-Laurentides, pays de lacs et de rivières, de montagnes et de vallées, est indissociable de l'histoire millénaire de son occupation par les Premiers Peuples. Situé au cœur du territoire ancestral anishinàbe-algonquin, à l'intersection de plusieurs réseaux hydrographiques importants tels que ceux des rivières du Lièvre, Rouge et de la Petite-Nation, la région stratégique des Grand et Petit lacs Nominique permettait à ses habitants de communiquer avec des bassins versants plus importants (p. ex. Outaouais, Saint-Maurice, Saint-Laurent, Baie James, Saguenay) et de parcourir une grande partie du nord du Québec, au-delà du fleuve Saint-Laurent. L'importance exceptionnelle du patrimoine archéologique des Hautes-Laurentides a été démontrée par les travaux archéologiques effectués au cours des dernières décennies. La multitude de sites archéologiques découverts renforce l'importance de protéger et de conserver ce patrimoine unique.

Au cours des dernières années, un mandat de recherches archéologiques a été élaboré dans le cadre d'un partenariat entre l'organisme Les Gardiens du patrimoine archéologique des Hautes-Laurentides (GPAHL) et des intervenants de l'Université Laval. En juillet 2022, les fouilles archéologiques ont été organisées dans le cadre d'un chantier-école ayant pour objectif l'initiation d'étudiants de premier cycle au travail de terrain en archéologie. Ce fut également l'opportunité pour deux stagiaires de deuxième cycle d'être initiés à la direction d'un projet de recherche archéologique dans tous ses aspects tant administratifs que logistiques. Ajoutons que le projet s'inscrit dans une perspective affirmée d'établir des liens collaboratifs à long terme avec la Première Nation Kitigan Zibi Anishinàbeg.

1.1 Contexte administratif et mandats

Ce projet de recherche a pour but d'arrimer les efforts du GPAHL et des chercheur.ses du Département des sciences historiques de l'Université Laval à Québec. La collaboration vise principalement à établir un programme de recherche dans les Hautes-Laurentides dirigé par Dre Karine Taché, professeure agrégée de l'Université Laval. Cette collaboration permettra de conjuguer les expertises locales du GPAHL avec les ressources académiques et scientifiques du Département des sciences historiques dans un objectif d'étude approfondie du patrimoine archéologique de la région.

Réalisées du 4 au 22 juillet 2022, les recherches ont impliqué à la fois des travaux d'inventaire et de fouille archéologiques. Les inventaires archéologiques au Petit lac Nominingue et à L'Ascension avaient pour objectif de poursuivre la recherche de sites d'occupation ancienne. Au Grand lac Nominingue, les travaux se sont concentrés sur les propriétés riveraines du côté ouest de l'embouchure du ruisseau Jourdain, poursuivant ainsi un programme de recherche en cours depuis 2016.

1.2 Objectifs à long terme

Les objectifs scientifiques à long terme de ce projet collaboratif consistent à :

- Décrire en détail l'occupation de la région, en accordant une attention particulière aux périodes paléohistoriques;
- Situer les premiers peuples locaux au sein d'univers culturels plus vastes englobant des manifestations culturelles documentées ailleurs au Québec, en Ontario, dans le nord de l'état de New York et le nord de la Nouvelle-Angleterre. Nous souhaitons tout particulièrement documenter le rôle joué au cours de la paléohistoire par les groupes des Hautes-Laurentides au sein des vastes réseaux d'échanges du Nord-Est américain;
- Reconstruire les schèmes de fabrication et d'utilisation de la poterie parmi des populations nomades vivant principalement de chasse, de pêche et de cueillette;
- Favoriser la mise en valeur des sites archéologiques paléohistoriques et historiques du territoire des Hautes-Laurentides;
- Favoriser les activités de diffusion de l'archéologie des Laurentides auprès des communautés locales;
- Créer des liens collaboratifs avec la Première Nation Kitigan Zibi Anishinàbeg.

1.3 Localisation de l'aire d'étude

Afin de refléter adéquatement la dynamique de l'occupation et de l'exploitation du territoire dans une perspective générale, l'aire d'étude globale correspond à l'ensemble de l'espace des Laurentides, en incluant une partie de l'Outaouais et de la Mauricie (plan 1). Le secteur du Grand lac Nominingue constitue un lieu stratégique au cœur de ce vaste réseau hydrographique. Les zones d'interventions archéologiques réalisées sont situées au Grand lac Nominingue (site CcFr-1), au Petit lac Nominingue (site CcFs-2) et à L'Ascension (figure 1).

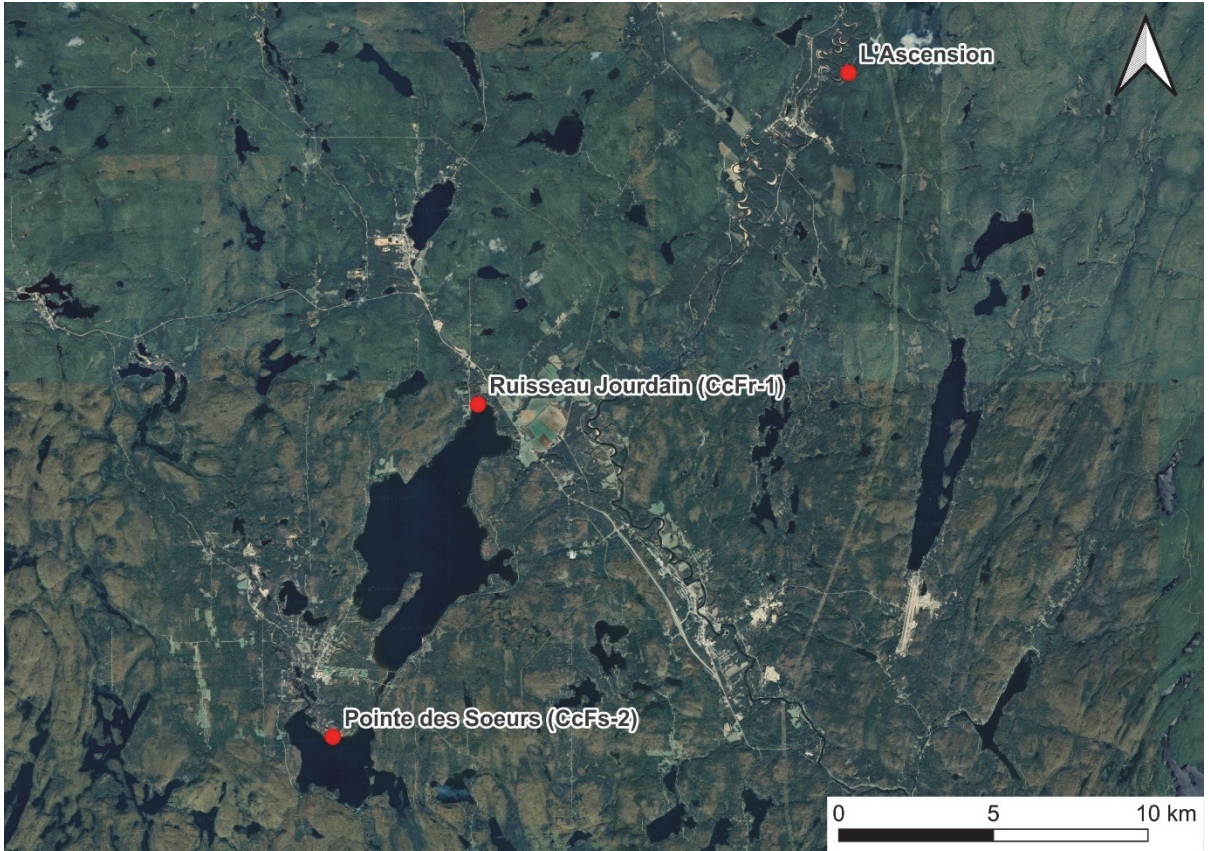
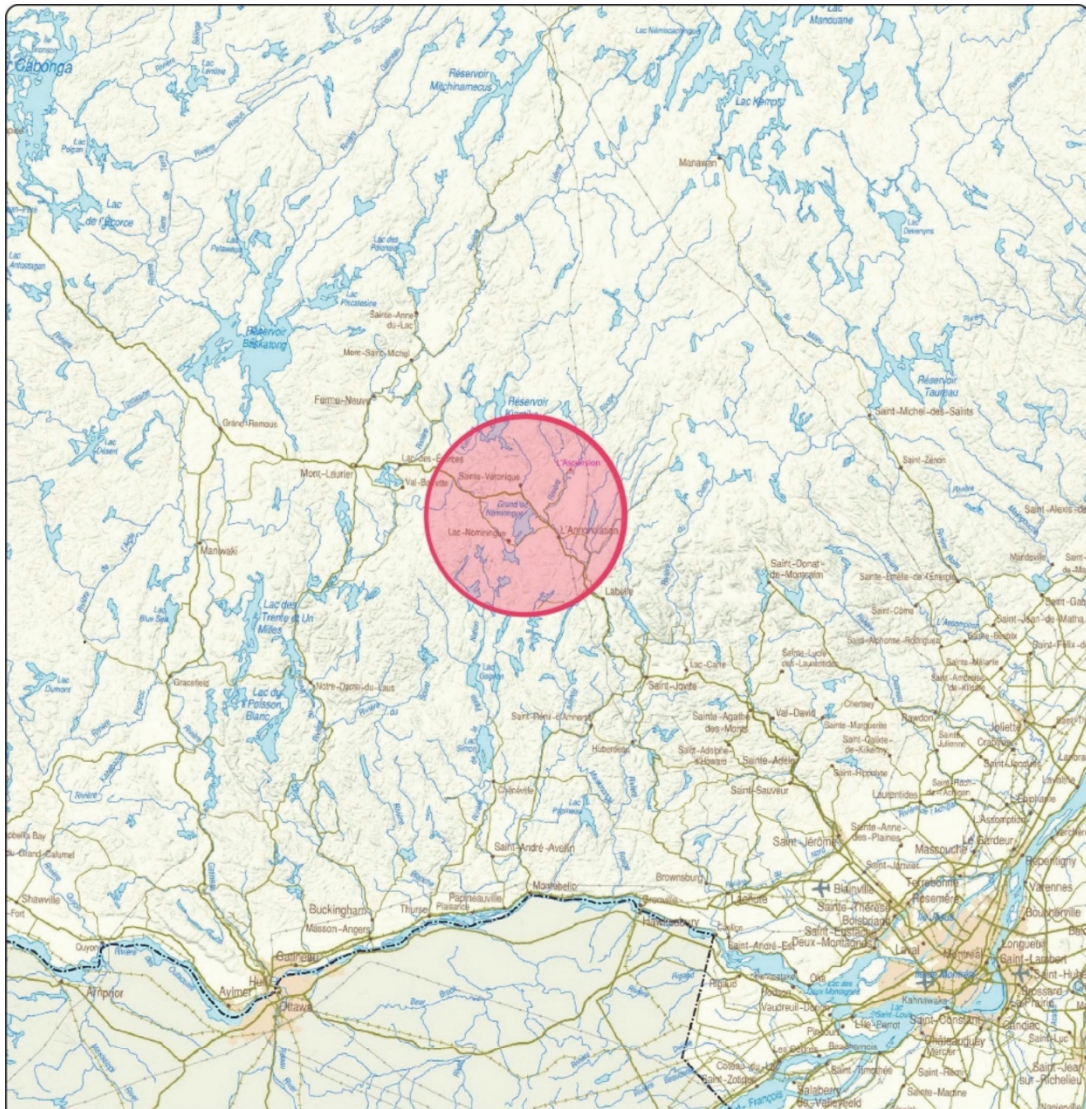


Figure 1 Localisation des zones d'intervention archéologique de 2022



HAUTS-LAURENTIDES
CcFr-1, CcFs-2 et L'Ascension
FOUILLE ET INVENTAIRE ARCHÉOLOGIQUES
LOCALISATION GÉNÉRALE
PLAN 1



AIRE D'ÉTUDE



Source : Base de données géographiques et administratives à l'échelle de 1/1 000 000
© Ministère des Ressources naturelles et de la Faune, janvier 2002
SCOPQ NAD83 SCRS et C-GVD28 (NMM)

0 15 30 km
ÉCHELLE : 1/1 500 000



Plan 1 Localisation générale de l'aire d'étude

2. ÉTAT DES CONNAISSANCES

2.1 Paysage naturel

C'est à partir d'il y a environ 7 000 AEC¹ (9 000 ans avant aujourd'hui) que la région des Laurentides se libère de la glace de l'inlandsis laurentidien et devient habitable pour les groupes humains. Le paysage et le climat se modifient progressivement pour prendre la forme actuelle il y a environ 3 000 AEC (Ethnoscop 1991, 2005).

Constellée d'une multitude de lacs et rivières, la région des Hautes-Laurentides est constituée d'un relief de vallées et de hautes collines, parfois montagneux. Le climat tempéré nordique présente une forte amplitude entre les températures d'été et d'hiver. Le couvert forestier correspond au domaine de l'érablière à bouleau jaune, ce qui n'exclut pas la présence d'autres espèces ligneuses dont d'importantes sapinières, pinèdes et chênaies (MNRF 2006). L'utilisation du canot d'écorce ayant constitué le mode de transport essentiel jusqu'à il y a à peine plus d'un siècle, les forêts de bouleaux blancs faisaient également partie des zones connues et exploitées par les populations autochtones ayant occupé le territoire, comme en fait foi la toponymie anishinàbe régionale (Fortin 1999).

Le territoire est riche en ressources fauniques et halieutiques. Jusqu'à tout récemment plusieurs espèces recherchées y étaient abondantes : castor, ours noir, cerf de Virginie, orignal, caribou, porc-épic et lièvre pour les principaux mammifères comestibles dont certains prisés pour leur fourrure; doré jaune, omble fontaine, touladi, achigan à petite bouche, perchaude, corégone, maskinongé et grand brochet pour les poissons. Plusieurs espèces de mammifères à fourrure sont également présentes en grandes quantités : rat musqué, lynx, pékan et martre (OBV RPNS 2011). Des sources historiques mentionnent également la présence du caribou et du wapiti jusqu'aux environs du milieu du XIX^e siècle (D'Urban 1860, Paquin 2014, Banfield 1977, Cossette *et al.* 1985). Les études ethnologiques de Black et Nickels dans les communautés anishinàbeg du Témiscamingue et de l'Outaouais ont démontré une consommation fréquente ou occasionnelle des ressources végétales pouvant atteindre 44 espèces distinctes (cités dans Inksetter 2017).

¹ AEC (avant l'ère commune) est une désignation neutre pour remplacer « avant J.-C. ». Le terme « après J.-C. » est pour sa part remplacé par EC (ère commune).

En ce qui concerne les ressources minérales, il y aurait eu à Nominuingue une mine d'ocre rouge au rang 5 que les premiers colons de la municipalité exploitaient afin de « peindre » leurs bâtiments. La tradition ajoute que les populations autochtones des périodes plus anciennes employaient l'ocre de cet endroit pour leurs parures corporelles (RSC 1938). La toponymie et l'étymologie (rivière Rouge, Nominuingue, lac Sienna, lac à la Peinture), vont également en ce sens. Selon Fortin (1999), Nominuingue, déformation des termes anishinàbemowin *Onomani Sakaigan* et de *Onomaning*, peut se traduire par *lac Vermillon*. Le lexique du père Jean-André Cuoq de 1886 amène d'autres précisions : la racine *Nom* signifie « oint ou ointe », tandis que *Nomingwe* peut se traduire par « avoir le visage oint/ s'oindre le visage ». À proximité du Grand lac Nominuingue, entre les municipalités actuelles de L'Ascension et de Labelle, l'ocre rouge constitue une ressource minérale d'une qualité telle qu'elle fut exploitée commercialement au début du XX^e siècle (Osborne 1935, Lagrange 1981). Comme d'autres matières premières, l'ocre était une ressource qui a pu être transigée pour d'autres biens. Lors de son séjour en Huronie, Sagard mentionne que les Outaouais, considérés comme d'excellents marchands, cherchent à acquérir des pigments « peintures » de leurs partenaires (Chevalier 1865 [Sagard 1632]), ce qui indique que l'ocre était intégrée dans les réseaux d'échanges autochtones. Son utilisation parmi les populations du Nord-Est américain était variée: pour les parures corporelles, dans les contextes funéraires et même pour ses propriétés médicinales (Taché 2008).

2.2 Hydrographie des Laurentides

L'étude de l'hydrographie permet d'observer une foule de circuits permettant de se déplacer à l'intérieur du territoire. Les possibilités sont vastes et il est évident que les recherches actuelles et à venir permettront d'en étoffer le relevé².

Dès le XVII^e siècle, les réseaux hydrographiques utilisés par les autochtones étaient relevés par les explorateurs européens. L'une des plus anciennes mentions, la carte de Samuel de Champlain de 1632 montre avec une précision surprenante pour l'époque l'étendue des réseaux de communications d'une bonne partie du Nord-Est (figure 2).

² Pour un complément cartographique, il est possible de consulter les rapports antérieurs sur le site *Les Gardiens du patrimoine archéologique des Hautes-Laurentides* à l'adresse suivante : <http://www.lesgardiensarcho.com/>



Figure 2 Carte de la Nouvelle-France de 1632 par Samuel de Champlain

Divers documents historiques et des plans anciens permettent de reconstituer les réseaux navigables utilisés dans les Hautes-Laurentides du XVII^e jusqu'à la fin du XIX^e siècle. Ces réseaux sont composés d'enchaînements de rivières et de lacs qui requièrent de nombreux portages, particulièrement lorsqu'il est nécessaire de franchir chutes et rapides ou de passer d'un bassin à un autre. Ces mêmes trajets furent certainement empruntés au cours de la paléohistoire, ce que la distribution des sites archéologiques de la région et la localisation des découvertes fortuites connues permettent d'entrevoir. Le relevé est loin d'être exhaustif, mais il donne une bonne idée des multiples possibilités permettant de circuler dans cette partie de l'hinterland laurentien. Certains circuits constituaient sans doute des routes servant essentiellement à l'exploitation du territoire tandis que d'autres correspondaient plutôt à des réseaux de communication permettant de joindre divers bassins versants. En cas de nécessité, pratiquement tout lieu ou plan d'eau pouvait être atteint.

À l'intérieur de ce vaste territoire, la rivière du Lièvre (*Wâbos Sibî*) offre une route de contournement permettant d'atteindre le Saint-Maurice en évitant de passer par le fleuve Saint-Laurent (figure 3). Le secteur des rapides du Wabassee (ou *wabisi*, qui signifie *cygne blanc* en anishinàbemowin) constitue pour sa part un carrefour où confluent la Lièvre, la Kiamika et le ruisseau du lac des Îles.



Figure 3 Geological map, Illustrative of the St.Maurice country, 1830

Il en va de même avec le Grand lac Nominingue à partir duquel il est possible de rayonner dans toutes les directions et d'atteindre au besoin des régions très éloignées. Légèrement en retrait des voies navigables principales, la localisation du lac a pu procurer une certaine protection en cas de conflit. Pour atteindre les Petit et Grand lacs Nominingue à partir de l'Outaouais, le trajet le plus connu et le plus rapide consiste à emprunter la rivière Petite-Nation jusqu'au lac Lesage, un voyage d'environ 4 jours qui nécessite de franchir plusieurs portages, le plus long étant celui menant du Lac Lesage au Petit lac Nominingue (figure 4, Laverdière 1870 [Champlain 1632], Sinclair 1864, Barbezieux 1897, Ethnoscop 2005, Paquin 2014). Remonter la rivière Rouge, dans laquelle se déversent les Petit et Grand lacs Nominingue, est la seconde option, quoique moins directe. De Nominingue, les réseaux de lacs de la municipalité voisine de La Minerve sont également accessibles. En aval du lac Désert ou du lac Labelle, on rejoint le sous-bassin versant de la rivière Maskinongé qui se jette dans la Rouge à la hauteur du lac Papineau. Ce dernier peut d'ailleurs être atteint de la Maskinongé en effectuant un court portage. Le lac Papineau, en tant que source de la rivière Saumon, servait aussi de voie de déplacement aux Premiers Peuples qui parcouraient le territoire à la période historique (Paquin 2014). Il est également possible de remonter le ruisseau Jourdain, un affluent du Grand lac Nominingue, de passer par le lac Tibériade, de joindre la rivière Kiamika et ainsi atteindre la rivière du Lièvre. Ce trajet semble indiqué sur le plan de Griffin de 1832 (voir figure 10).

Le plan de Duncan Sinclair de 1865 suggère également un lien possible vers la Kiamika, en empruntant la rivière Sagouay. Enfin, bien que nous n'en ayons pas encore trouvé d'indications, on ne peut exclure la possibilité d'un passage coupant à travers les ruisseaux et les lacs situés entre les environs des rapides du Wabassee et le secteur Petit lac Nominingue/lac Lesage.

À partir du Grand lac Nominingue, deux circuits principaux peuvent être suivis vers le nord pour atteindre la rivière Saint-Maurice. En rejoignant la rivière du Lièvre via la Kiamika, on peut ensuite atteindre le lac Kempt, prendre la rivière Manouane et joindre le Saint-Maurice à la hauteur de Weymontachie. Remonter la rivière Rouge jusqu'à sa source permet également d'atteindre le Saint-Maurice en utilisant la rivière du Milieu et ensuite la Mattawin. Ce trajet est particulièrement bien illustré sur la carte régionale de la province de Québec de 1882 (figure 5).

La figure 6 constitue quant à elle un montage réalisé afin d'illustrer les principales routes possibles à l'intérieur du territoire des Hautes-Laurentides.



Figure 4 Copie par Denis-Benjamin Papineau (avant 1853) de la carte *Plan des eaux de la Nation du Nord* réalisée vers 1810 par Paul Kakidjouenne (copie numérique fournie par Jean-Guy Paquin)

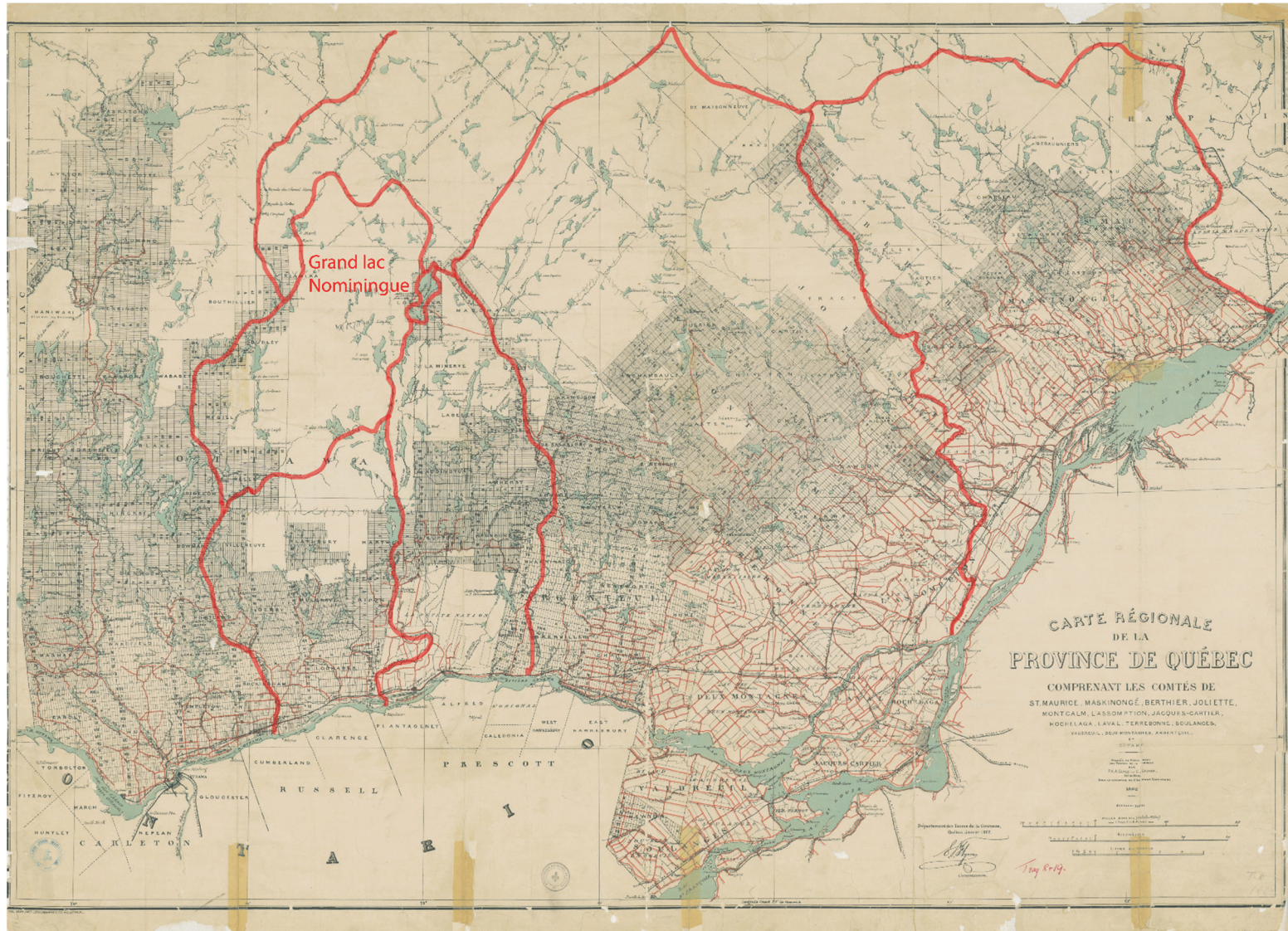


Figure 5 Carte régionale de la province de Québec comprenant les comtés de St. Maurice, Maskinongé, Berthier, Joliette, Montcalm, L'Assomption, Jacques-Cartier, Hochelaga, Laval, Terrebonne, Soulanges, Vaudreuil, Deux-Montagnes, Argenteuil et Ottawa de 1882 par Genest et Gauvin

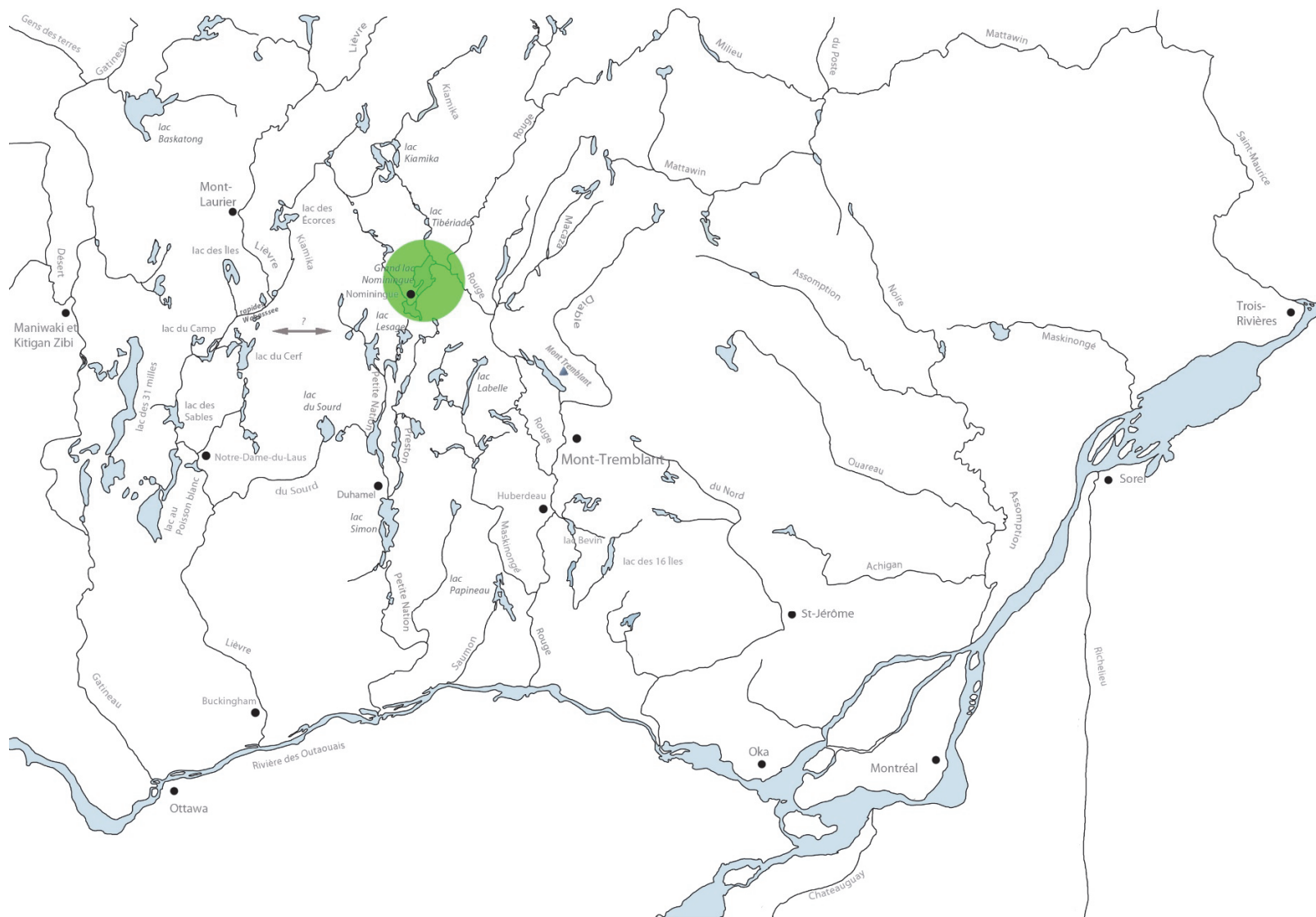


Figure 6 Carte synthèse des principaux réseaux hydrographiques des Hautes-Laurentides, en lien avec les Petit et Grand lacs Nominungo (carte réalisée par Francis Lamothe). Les contours des plans d'eau correspondent aux étendues d'origine telles qu'illustrées sur les plans anciens. L'hydrographie des environs immédiats des secteurs à l'étude est plus détaillée par rapport aux régions éloignées.

2.3 Cadre culturel paléohistorique des interventions antérieures

Bien que le territoire des Hautes-Laurentides soit potentiellement habitable par l'humain depuis près de 9 000 ans, les recherches archéologiques font actuellement remonter les plus anciennes traces de présence humaine à la période de l'Archaïque moyen, il y a environ 7 000 ans (Taché et Lamothe 2020, Ethnoscop 1991, 2005). Les plus anciens travaux archéologiques documentés à ce jour remontent aux années 1950 et constituent les balbutiements de l'archéologie du Subarctique laurentien au Québec. Cependant, même précoce, l'intérêt pour l'archéologie de la région n'allait finalement engendrer que relativement peu de travaux au cours des décennies suivantes, et ce comparativement à d'autres régions du Québec. C'est dans les années 1980 que l'on constate un regain des recherches, mieux organisées, certaines ayant une focalisation sur les Hautes-Laurentides. En ce qui concerne les vallées des rivières Rouge et du Lièvre, c'est au cours des années 2000 que l'intérêt pour la mise en place d'investigations archéologiques s'est amorcé. Les différents travaux d'intérêt sont ici abordés en les divisant par régions, soit la Haute-Mauricie, le bassin de la rivière Gatineau, la vallée de la rivière des Outaouais et, enfin, les régions plus spécifiques de Nomingue et du Wabasse.

Haute-Mauricie

L'importance accordée à cette région repose sur sa situation au nord-est des Hautes-Laurentides dont certains cours d'eau constituent des voies d'accès, notamment vers le bassin de la rivière Saint-Maurice. C'est une Américaine — Valérie Burger — qui a été la première à mettre en lumière l'intérêt archéologique de la Haute-Mauricie. Les deux plus anciennes publications recensées sont attribuées à cette archéologue amateur (Burger 1953; 1955). Dans son article de 1953, publié dans la revue américaine *Pennsylvania Archaeologist*, cette dernière décrit des assemblages d'artefacts provenant de récoltes de surface effectuées entre 1949 et 1953 sur 33 sites localisés sur les rives des lacs Kempt et Manouane. En outre, elle décrit brièvement l'état de conservation des sites inspectés, généralement très érodés par la variation du niveau de l'eau, phénomène corollaire à la construction des barrages A et B sur ces lacs. L'analyse des quelque 2 000 objets est réalisée par l'archéologue américain William A. Ritchie, spécialiste du Nord-est américain et plus particulièrement de l'État de New York. Malgré la totale absence de contextes stratigraphiques, en s'appuyant grandement sur la tradition orale de la communauté locale atikamekw³ Burger établit ainsi les prémisses d'une discussion quant à l'ancienneté de la chronologie culturelle régionale. En se basant sur la prépondérance de tessons de céramique, Burger déduit une occupation datant du Sylvicole, antérieure à l'installation locale des Atikamekws. Néanmoins, elle révisé quelque peu ses conclusions dans son article de 1955. La supposée cache documentée sur le site « n° 20 » (CiFo-11) l'amène à proposer que les occupations observées pourraient s'étendre de l'Archaïque récent à la période historique et que les assemblages de céramiques seraient des manifestations attribuables au Sylvicole moyen et récent (Burger 1955 : 10). Les travaux de Valérie Burger

³ Burger utilise l'expression « Têtes-de-Boule ». Il s'agit toutefois d'un nom historique français qui, selon l'Office québécois de la langue française (2011), a été rejeté par l'Institut linguistique Atikamekw-Wasihakan, du Conseil de la Nation Atikamekw, au début des années 1970.

sont parmi les premiers à s'intéresser à l'archéologie du Subarctique, mais allaient rester relativement peu utilisés et ses collections, presque oubliées.

Malgré tout, les découvertes de Valérie Burger suscitent, dans les années 1970, l'intérêt d'archéologues québécois. C'est ainsi qu'un vaste projet de reconnaissance archéologique de la Haute-Mauricie est amorcé par René Ribes du Musée d'archéologie de l'Université du Québec à Trois-Rivières. Les reconnaissances archéologiques de 1972 et 1973 dans la région du lac Némiscachingue aboutissent à la découverte de 49 sites paléohistoriques qui livrent plus de 2 000 artefacts. Les assemblages sont publiés dans le cinquième volume de la collection *Paléo-Québec* (Ribes et Klimov 1974). Les saisons de recherches — lire « prospections systématiques » (Ribes 1976 : 1) — qui suivent se révèlent moins fructueuses, mais continuent à circonscrire de nouveaux sites. En tout, c'est plus de 70 sites qui sont identifiés en Haute-Mauricie. Néanmoins, pour la même raison que celle soulevée par Burger vingt ans plus tôt — l'érosion fluviale — les témoins d'occupation sont toujours très rares, voire inexistants.

On peut déceler dans les publications de Ribes un souci d'empirisme et de rigueur qui n'était pas présent chez les générations précédentes d'archéologues amateurs comme Valérie Burger. Or, ses travaux restent ancrés dans le contexte de l'archéologie québécoise qui, dans les années 1970, commence tout juste à se moderniser et se structurer scientifiquement et professionnellement. C'est ainsi que, mis à part l'édition de *Paléo-Québec* de 1974, les publications résultantes prennent la forme de rapport d'activités honnêtes, mais très sommaires et sans aucun cadre théorique énoncé. Ceux-ci sont sous forme de journaux de bord augmentés de plans, dessins, schémas et tableaux. La portée analytique est réduite au bénéfice du caractère fondamentalement descriptif des ouvrages.

La collection Burger avait été acquise dans les années 1960 ou 1970 par l'Université du Québec à Montréal (UQAM). Son étude revient à l'ordre du jour en 1975 alors que Gilles Tassé, professeur au Laboratoire d'archéologie de l'UQAM, aidé par des étudiants et Mme Burger elle-même, constitue un catalogue descriptif de la collection auquel il ajoute des codes Borden, coordonnées géographiques, commentaires toponymiques et quelques croquis. Malgré l'effort déployé par Tassé, la collection et son catalogue sont négligés pendant près de trois décennies. C'est en 2002 qu'un étudiant de l'Université de Montréal se donne comme mission de « dépoussiérer » la collection Burger et en fait son objet de recherche de maîtrise en anthropologie. La collection fait alors l'objet d'une relecture complète appuyée sur les notes de terrain parcellaires de Burger et le catalogue de Tassé (1975). Le travail aboutit à un mémoire intitulé *La collection Burger : une contribution à l'archéologie de la Haute-Mauricie* (Adjizian 2002). Les conclusions chronoculturelles d'Adjizian confirment celles de Burger : on peut faire remonter certaines des manifestations archéologiques haute-mauriciennes à plus de 5 000 AA, mais le corpus de données est loin de pouvoir établir de façon limpide et satisfaisante une chronologie culturelle régionale (Adjizian 2002 : 122). De plus, Adjizian observe qu'on pourrait déceler un potentiel dynamisme culturel dans l'axe Abitibi—Haute-Mauricie—lac Saint-Jean. Ceci l'amène à militer pour le développement d'une approche de recherche adaptée au Sylvicole du Bouclier, concept proposé par Norman Clermont dans un article publié en 1998 (Adjizian 2002 : 121).

Bassin de la Gatineau

La rivière Gatineau se situe au nord-ouest des Hautes-Laurentides. Les travaux de Roger Marois constituent un autre pan important de la recherche archéologique dans cette partie du Nord-est québécois. À l'été 1969, pour le compte du Musée national de l'Homme, Marois effectue une reconnaissance archéologique de 24 petits lacs du bassin de la Gatineau (Marois 1969). Une collection archéologique significative est alors constituée et les données recueillies sont intégrées aux recherches doctorales de Marois sur les schèmes d'établissement de la fin de la paléohistoire et du début de la période historique dans le sud du Québec. Les résultats sont publiés dans la collection *Mercure* en 1974. Les analyses de Marois l'amènent à proposer que les lacs Petawaga et Pythonga étaient des « centres d'habitation » (Marois 1974 : 123). Il avance de plus quelques hypothèses intéressantes quant à la relation entre la localisation des sites, les stratégies de circulation et la position des lacs dans le bassin. Ainsi, Marois propose l'hypothèse qu'un établissement à basse altitude dans le bassin serait synonyme d'une plus grande facilité de déplacement permise par la proximité des plans d'eau. La ligne de partage des eaux constituerait aussi une variable à laquelle les archéologues devraient porter attention, puisqu'elle pourrait faire office de frontière tant physique que territoriale (Marois 1974 : 123). À notre connaissance, cette intéressante hypothèse n'a pas encore été mise à l'épreuve par des recherches archéologiques approfondies. Plus récemment, des fouilles de « sauvetage » dans la ZEC Bras-Coupé-Désert, sur les berges du lac Rond (CgGb-10), ont aussi démontré les traces d'une présence humaine paléohistorique le long de la Gatineau. Sur la base d'une pointe de projectile ressemblant au type Brewerton, le contexte du lac Rond représente possiblement une autre occupation datée de l'Archaique laurentien (Laliberté 2008).

Vallée de l'Outaouais

La vallée de l'Outaouais constitue la limite méridionale du territoire à l'étude. Bien qu'elle n'appartienne pas à l'entité géographique des Hautes-Laurentides, leur lien naturel et la dynamique de l'occupation de ces vastes espaces par les Autochtones jusqu'à la période historique font en sorte qu'il est nécessaire de les aborder conjointement. Il s'agit également d'une des principales artères hydrographiques du Nord-est américain. La région vit un important développement industriel et urbain continu, et ce depuis le début du XIX^e siècle⁴. Ainsi, des collections archéologiques sont constituées dès la seconde moitié du XIX^e siècle. Lorsqu'ils entreprennent leur synthèse de la collection Kennedy provenant de l'île Morrison, les archéologues Norman Clermont et Claude Chapdelaine rapportent que :

[...] le Musée national d'Ottawa avait acquis en 1875, 1876, 1877, 1879, 1884, 1893 des collections de J.S. McGuire, C.A. Hirschfelder et J. Berufaus provenant de l'île aux Allumettes ainsi qu'une collection de J. Taylor, en 1876, provenant de l'île Morrison. En mai 1912, [W.J.W.] Wintemberg était aussi allé en

⁴ Pour une excellente synthèse historique, voir *Histoire de l'Outaouais* (coll. *Les régions du Québec*) de Gaffield (1994).

reconnaissance dans la région et avait découvert des objets en cuivre et en ardoise polie sur l'île aux Allumettes [...] (Clermont et Chapdelaine 1998 : 9).

Cet intérêt précoce pour l'archéologie permet d'encourager dès les années 1960 de plus vastes recherches. Des soixante dernières années résultent donc un important corpus de données, des publications diffusées à plus grande échelle et une connaissance archéologique beaucoup plus développée comparativement aux régions qui lui sont limitrophes. Comme une description exhaustive de toutes les recherches est ici impossible, nous nous contenterons de souligner trois secteurs d'importance qui ont permis l'établissement d'une chronologie culturelle régionale moins fragmentaire.

Le premier secteur concerne les îles Morrison et aux Allumettes. Celles-ci sont localisées à une centaine de kilomètres en amont d'Ottawa. Les recherches systématiques y débutent lorsque l'archéologue amateur Clyde Kennedy réalise des fouilles archéologiques sur l'île Morrison en 1962 et sur l'île aux Allumettes en 1963. Les assemblages issus des fouilles de Kennedy sur l'île Morrison sont analysés par Norman Clermont et Claude Chapdelaine à la fin des années 1990. Les artefacts se montrent révélateurs et permettent aux archéologues d'associer cette occupation à la phase Brewerton, datée à environ 5 500 AA (Clermont et Chapdelaine 1998 : 25). Les collections de l'île aux Allumettes sont quant à elles étudiées par une équipe de spécialistes sous la direction de Norman Clermont, Claude Chapdelaine et Jacques Cinq-Mars. Leurs résultats sont tout aussi significatifs. Des datations au radiocarbone attribuent un âge d'environ 6 100 ans AA à cet établissement paléohistorique (Clermont, Chapdelaine et Cinq-Mars 2003). Les analyses conduites par ces derniers leur permettent d'établir que les phénomènes des îles Morrison et aux Allumettes sont représentatifs d'une « continuité régionalisée » étalée sur près de 600 ans (Clermont, Chapdelaine et Cinq-Mars 2003 : 323). En effet, bien que les deux endroits appartiennent à deux phases chronologiques différentes, les lieux démontrent une cohérence dans les divers assemblages. La provenance des matériaux illustre notamment l'appartenance à une même grande sphère d'interaction. Les auteurs associent les deux îles à la période de l'Archaïque laurentien et, dans une moindre mesure, à la *Old Copper Culture* des Grands Lacs. Ils s'abstiennent toutefois de proposer un nouveau taxon pour définir l'occupation Archaïque dans la vallée de l'Outaouais (Clermont, Chapdelaine et Cinq-Mars 2003).

Le second secteur, plus en aval, concerne la région d'Ottawa/Gatineau. Très tôt, celle-ci attire l'attention des antiquaires, ces archéologues d'avant l'heure. C'est en 1843 qu'une des plus anciennes interventions archéologiques canadiennes a lieu près des chutes Chaudières à Hull. Dr Edward Van Cortlandt y collecte alors des ossements humains et des objets lithiques provenant d'une sépulture communautaire qu'il attribue à l'époque à la culture iroquoienne bien qu'elle ne soit pas à ce jour encore datée (Van Cortlandt 1853). L'imprécision quant à la localisation exacte de l'excavation allait maintenir une controverse qui durera près de 170 ans, jusqu'à la découverte d'archives indiquant avec plus de précision son lieu. Nommé « Hull landing » par Van Cortlandt, ce lieu est une pointe de terre qui constituait l'accès à un portage près des chutes Chaudières et qui aujourd'hui se trouve près de la plaque commémorative dédiée au photographe Malak Karsh, sur le terrain du Musée canadien de l'histoire (Boswell et Pilon 2014a, 2014b).

Situé à la confluence des rivières Outaouais et Gatineau, le parc du Lac-Leamy fait aussi l'objet de maintes recherches dès le début des années 1990. En 1993, la Commission de la capitale nationale du Canada (CCNC) appuie le projet Connaissance du patrimoine archéologique de l'Outaouais, dont l'archéologue Marcel Laliberté est un des acteurs principaux. Un vaste programme d'études de potentiel, d'inventaires et de fouilles exploratoires permet la mise au jour de plus d'une quinzaine de sites chronologiquement étalés de l'Archaïque supérieur à la période historique (Laliberté 1999, 2000). Les plus anciens contextes seraient associés à l'Archaïque supérieur, et ce sur la base de la présence de cuivre natif et de matériel lithique attribuables à la phase Brewerton. L'occupation se poursuit ensuite du Sylvicole moyen jusqu'à la période de contact, avec un hiatus encore inexpliqué où les occupations sont incertaines pour les périodes de l'Archaïque post-laurentien et du Sylvicole ancien (Laliberté 2000). Le parc a aussi fait l'objet d'études spécialisées. Un volume rassemblant, entre autres, une étude préliminaire de la géomorphologie du secteur du lac par Bernard de Boutray et une analyse sporo-pollinique de quatre échantillons du site BiFw-6 par Daniel Landry est publiée en 1998 par Laliberté (Laliberté 1998). Un mémoire de maîtrise publié en 2005 à l'Université de Montréal s'attarde à l'utilisation de la roche pyroclastique. Nicolas Cadieux avance que cette pierre aurait fait l'objet d'une utilisation majeure lors de l'Archaïque récent (Cadieux 2005). Il propose aussi l'hypothèse que deux canaux d'approvisionnement peuvent être distingués. Cette hypothèse a été ajustée par l'auteur lui-même dans un article plus récent démontrant plutôt la difficulté à distinguer ces deux sources (Cadieux 2011). Enfin, une étude de caractérisation des sédiments de quelques sites archéologiques du parc du Lac-Leamy est publiée en 2008 dans la revue *Recherches amérindiennes au Québec* (Vaillancourt, Prichonnet, et Lamothe 2008).

Pour terminer ce survol, il faut aborder l'Outaouais en portant attention aux rivières Petite-Nation et Rouge. L'embouchure de la rivière Petite-Nation se situe à Plaisance, à mi-chemin entre Gatineau et le lac des Deux-Montagnes. Encore une fois, ce sont des découvertes fortuites qui ont attiré l'attention des archéologues, notamment la collection récoltée près de la baie de Lochaber (une quarantaine d'objets) ainsi que la découverte hors contexte d'une pointe de projectile en quartz par un citoyen du lac Simon. Les premières recherches archéologiques organisées datent de la seconde moitié des années 1980. En 1986 et 1987, 16 semaines d'inventaire permettent à Esther Laforte de localiser six sites à composante paléohistorique dans la MRC de Papineau. Quatre endroits sont localisés dans le Parc national de Plaisance, dont trois dans la portion est de la baie Noire et un dans la baie Martin, et un cinquième est à la confluence de la rivière Petite-Nation et de la Petite rivière Rouge. Le sixième est situé à environ 2,5 kilomètres à l'est de Papineauville et découle de découvertes fortuites faites dans les années 1950, lesquelles ont été remises à Laforte lors du projet d'inventaire. Bien que fragmentaires, les résultats de Laforte pointent vers une seconde occupation au cours de l'Archaïque laurentien et des trois sous-périodes du Sylvicole. Le matériel lithique tel que la pyroclastique l'amène à supposer un « certain apparemment culturel » entre les sites mis au jour dans le secteur de l'embouchure de la Petite-Nation (Laforte 1987). L'intérêt archéologique reprend vigueur dans les années 2000. Tout d'abord, la découverte exceptionnelle en 2002 d'une pierre de type aviforme trouvée fortuitement en amont de la rivière Petite-Nation, dans sa section au nord du lac Simon, suggère l'extension du phénomène Meadowood dans l'hinterland laurentien (Tremblay 2005). Par ailleurs, trois

interventions réalisées en 2007 et 2008 révèlent un site d'extraction et de traitement préliminaire du quartz (BjFs-10). En fonction de sa situation géographique, l'ancienneté du site pourrait, sous toute réserve, dater du Paléo-indien récent, soit vers 9 000 AA (Laliberté 2007a, 2007b, 2009). L'hypothèse nécessite toutefois davantage de recherche.

Un peu plus vers l'est, des fouilles préventives réalisées dans la foulée de la construction de l'autoroute 50 mettent au jour d'autres sites archéologiques. Au nord de la ville de Thurso, la fouille préventive réalisée en 2007 par la firme Archéo-08 permet de mettre au jour 5 556 témoins archéologiques. Parmi ceux-ci, trois vases en céramique permettent d'associer le site BjFt-3 au Sylvicole supérieur (Archéo-08 2007, 2012). Dans le secteur de la fin de la rivière Rouge, deux sites archéologiques sont découverts, notamment BjFr-10. La collection lithique, principalement composée de pierre pyroclastique et de calcédoine, suggère qu'il s'agit d'un atelier de taille relativement modeste, associé à un campement temporaire. Les ressemblances observées avec le site BiFw-20 (Lac-Leamy, Kabeshinàn) pointent vers une phase tardive de l'Archaique laurentien, vers 4 000 ans AA à 4 600 ans AA (Laliberté 2011a, 2011c). Un autre inventaire archéologique mène à la découverte du site BjFq-2. Laliberté y voit les vestiges lithiques découverts – notamment les artefacts en pierre pyroclastique – comme signes d'une des plus anciennes occupations de la vallée de la rivière des Outaouais. Des recherches extensives supplémentaires seront toutefois plus que nécessaires afin d'appuyer ces données très sommaires (Laliberté 2011b).

La vallée de la rivière des Outaouais est donc relativement mieux documentée au niveau archéologique que les Hautes-Laurentides, bien que les deux régions présentent un potentiel encore largement inexploré. Les données des différents secteurs discutés démontrent selon toute vraisemblance que les occupations les plus anciennes identifiées appartiennent à l'Archaique récent. Quelques indices permettent aussi d'entrevoir des phases culturelles bien précises et peut-être plus anciennes.

Haute-Laurentides — MRC d'Antoine-Labelle

Le territoire de la municipalité régionale de comté (MRC) d'Antoine-Labelle représente une superficie de près 16 296 kilomètres carrés, lesquels forment 72 % de la superficie totale de la région administrative des Laurentides (MRC d'Antoine-Labelle 2012). Malgré les explorations archéologiques dans ses régions limitrophes, peu de recherches s'y déroulent avant la seconde moitié des années 1980. L'étude d'impact archéologique réalisée par Dominique Groison semble être la seule publication disponible pour la période pré-1985 (Groison 1977). Réalisée dans la foulée du développement des lignes 735 kV 1 et 2 du Réseau de transport d'énergie de la Baie James (RTEBJ), l'étude livre un fragment d'outil et un éclat sur les rives de la rivière du Lièvre, à environ 45 kilomètres en direction ouest-sud-ouest du lac Kempt. Malheureusement, les artefacts sont vraisemblablement trouvés hors de leur contexte d'origine, déplacés en même temps que le remblai de route.

La fin de la décennie 1980 se montre beaucoup plus productive en termes de résultats de recherches archéologiques. En 1986, dans le cadre d'une entente avec le ministère des Affaires culturelles du Québec, la MRC s'engage dans un vaste projet de recherche visant à

documenter le patrimoine archéologique de son territoire. Concrètement, l'objectif est de développer, dans une perspective à long terme, un « outil de gestion de la ressource archéologique » (Ethnoscop 1986 : 7). La firme Ethnoscop est alors mandatée et Pierre Dumais agit à titre d'archéologue/chargé de projet. Ce dernier sera d'ailleurs intimement lié à tous les travaux produits dans le cadre du projet. Dès 1986, une première étude de potentiel archéologique est organisée dans la partie non municipalisée (TNM) située au nord-ouest du territoire de la MRC. Elle s'appuie principalement sur les travaux antérieurs de Burger, Ribes et Marois. Neuf « espaces-cibles » sont établis sur la base de vestiges et du potentiel archéologique (Ethnoscop 1986) et un projet d'inventaire est réalisé de 1988 à 1995. L'ensemble des reconnaissances archéologiques, en plus de fouilles en aire ouverte aux espaces-cibles Notawassi et Nasigon (1992 et 1993), permet d'identifier pas moins de 131 nouveaux sites archéologiques (Ethnoscop 1988, 1990, 1991, 1993a, 1993b, 1996). Les fouilles de 1995 dans l'espace-cible du lac Mitchinamécus sont celles qui livrent la majorité des nouveaux sites découverts. Les archéologues soutiennent alors que les vestiges pourraient souligner « une appropriation très extensive de l'espace par les occupants du territoire » et qu'« en fonction de patterns observés dans la distribution altitudinale des sites, [...] certains des gisements pourraient avoir été occupés avant même la période de l'Archaïque laurentien » (Ethnoscop 1996 : 162). De plus, une pointe en chert des basses terres de la Baie d'Hudson (Codère 1998) porte à croire à une autre dissémination isolée du phénomène Meadowood (Ethnoscop 1996 : 91). Un substantiel rapport de synthèse est publié en 1997 pour faire le bilan final des réalisations du projet et des connaissances acquises : *L'archéologie de la M.R.C. d'Antoine-Labelle. Contribution à la préhistoire des Hautes-Laurentides* (Ethnoscop 1997).

Bassins des rivières Rouge, du Lièvre et Petite-Nation

Au début de l'année 2005, l'organisme des Gardiens du patrimoine archéologique et du développement socio-économique de la vallée de la Rouge (GPAHL) mandate la firme Ethnoscop afin de procéder à une étude de potentiel sur le territoire de la municipalité de Nominuingue. L'objectif est alors de documenter le patrimoine archéologique afin de l'intégrer dans une éventuelle démarche de gestion et de mise en valeur. Dans cette étude, 127 zones à potentiel archéologique sont identifiées et une première recension des découvertes fortuites citoyennes est mise sur papier (Ethnoscop 2005). Deux inventaires sont ensuite réalisés en 2011 et 2012 par l'archéologue Geneviève Treyvaud. Ils permettent d'identifier des occupations paléohistoriques sur les pourtours du Petit lac Nominuingue, à l'ancien Centre de plein air des Mésanges et sur la pointe Monseigneur où une pointe de projectile pouvant dater de la fin de l'Archaïque a été mise au jour (Treyvaud 2012, 2013). En 2013, le plongeur amateur Jean-Louis Courteau fait la découverte exceptionnelle dans le lac des Seize-îles d'un vase huron-wendat intact. Le vase fait alors l'objet d'un avis de découverte fortuite (Courteau 2013) et une zone d'intérêt archéologique (ZIA) est établie au lieu de découverte (BIFo-a). En 2014, M. Courteau est MM Richard Lahaie et Jacques Lech font la découverte⁵ de fragments d'un vase iroquoien du Saint-Laurent. L'artefact vase est expertisé par Roland Tremblay et des

⁵ Aucun avis de découverte fortuite ne semble avoir été publié.

échantillons de dépôt carbonisés sont récoltés et analysés par l'Institut canadien de conservation (Lachance 2015, Poulin 2015).

Les recherches de Treyvaud ayant confirmé l'intérêt archéologique des environs de Nominuingue, le GPAHL mandate en 2015 l'archéologue Karine Taché afin de poursuivre les démarches d'inventaire. De 2015 à 2020, six campagnes d'inventaire et fouilles mettent en lumière l'importance du Petit, mais aussi du Grand lac Nominuingue. L'inventaire de 2015 livre sept nouvelles aires et permet d'établir que le site de la pointe Monseigneur du Petit lac Nominuingue fut un lieu de halte fréquenté régulièrement à travers le temps, avec notamment une occupation importante datant de la seconde moitié du XIX^e siècle. L'inventaire de 2016 permet l'identification de nouvelles zones d'importance. La pointe Pruel sur la rivière Rouge livre des traces d'occupations paléohistoriques de faible intensité, un tesson de céramique permettant de les situer au moins au Sylvicole. Le site le plus important est toutefois celui de l'embouchure du ruisseau Jourdain au nord du grand lac Nominuingue (CcFr-1). Il livre des témoins lithiques et céramiques qui soutiennent une occupation potentiellement continue depuis plus de 5000 ans (Taché et Lamothe 2017, 2018). L'inventaire de 2017 sur CcFr-1 livre une centaine de tessons de céramiques dont la datation typologique s'étale du Sylvicole moyen ancien jusqu'à la fin du Sylvicole supérieur. Une nouvelle zone est aussi identifiée sur la pointe Manitou au centre du grand lac Nominuingue où des témoins multiples suggèrent une occupation paléohistorique et à la période de contact.

Un nouveau secteur d'intérêt est quant à lui étudié depuis l'été 2018. Il s'agit du secteur des rapides du Wabassee, près de la confluence de la rivière du Lièvre et de l'ancien ruisseau menant au lac des Îles. L'attention des archéologues y a été attirée en raison des nombreuses découvertes archéologiques faites par un citoyen de la région. Une imposante collection de surface a été amassée par M. Louis-Pierre Coursol, un résident de Mont-Laurier, au cours de 40 années de promenades sur les berges de la rivière du Lièvre. C'est la forte érosion occasionnée par la construction du barrage des Rapides-des-Cèdres, sur la rivière du Lièvre, qui explique qu'une telle quantité de témoins matériels soit accessible lors des périodes de basses eaux. Grâce aux inventaires de 2018 et 2019 dans le secteur du ruisseau des Îles, et les découvertes de M. Coursol, quatre nouveaux sites pointent vers une occupation intense et continue de la région.

En 2020, et ce malgré un contexte de pandémie mondiale qui a forcé la réduction de l'ampleur des opérations, les recherches menées sur le terrain se poursuivent. Elles sont concentrées dans la municipalité de Nominuingue où les recherches permettent d'y mettre au jour cinq nouveaux sites, dont un nouveau à l'embouchure du ruisseau Jourdain (CcFr-8), face au site CcFr-1. Trois petits sites ont ensuite été découverts dans la baie Cartier (CcFr5, CcFr-6 et CcFr-7), démontrant l'intérêt du secteur de la décharge du lac dans la rivière Nominuingue. Un tesson de poterie décoré d'empreintes à la cordelette typiques du Sylvicole moyen tardif y a été découvert, portant à deux le nombre de sites à céramique à Nominuingue. Plusieurs cristaux de quartz, dont certains retouchés, y ont aussi été mis au jour. Au Petit lac Nominuingue, un dernier site a été identifié dans la baie Larivière (CcFs-5), près d'un portage ancestral menant à la tête du bassin versant de la rivière Petite-Nation. Des fragments de

Pierre pyroclastique y ont été mis au jour, permettant ainsi d'établir un lien avec l'occupation ancienne de la vallée de l'Outaouais.

En 2021, la poursuite des recherches sur le site CcFr-1 permet la découverte de plusieurs outils lithiques et une diversité de matériaux lithiques d'origine plus ou moins éloignée de la région de Nominigüe, d'os blanchis et de plusieurs nouvelles unités de vase datant du Sylvicole moyen. Enfin, l'inventaire du site CcFr-5 est poursuivi et permet la découverte d'une pierre à fusil française, d'éclats lithiques et d'une nouvelle aire combustion, d'un tesson de bord décoré à la cordelette datant du Sylvicole moyen tardif et d'un nodule de cristal de quartz retouché.

2.4 Cadre historique général

C'est en 1603 qu'on retrouve la première mention historique des Anishinàbeg-Algonquins⁶, le groupe culturel algonquien spécifique à l'occupation de la vallée de l'Outaouais et de l'ensemble de son bassin versant dans les Hautes-Laurentides. Leur rencontre lors d'un rassemblement à Tadoussac est relatée par Samuel de Champlain (Laverdière 1870 [Champlain 1603]). À cette époque, l'occupation des abords du Saint-Laurent est en pleine réorganisation, à la suite de la dispersion des Iroquois du Saint-Laurent qui l'habitaient jusqu'aux environs des années 1580 (Tremblay 2006, Savard 1996, Ratelle 1993, Day et Trigger 1978).

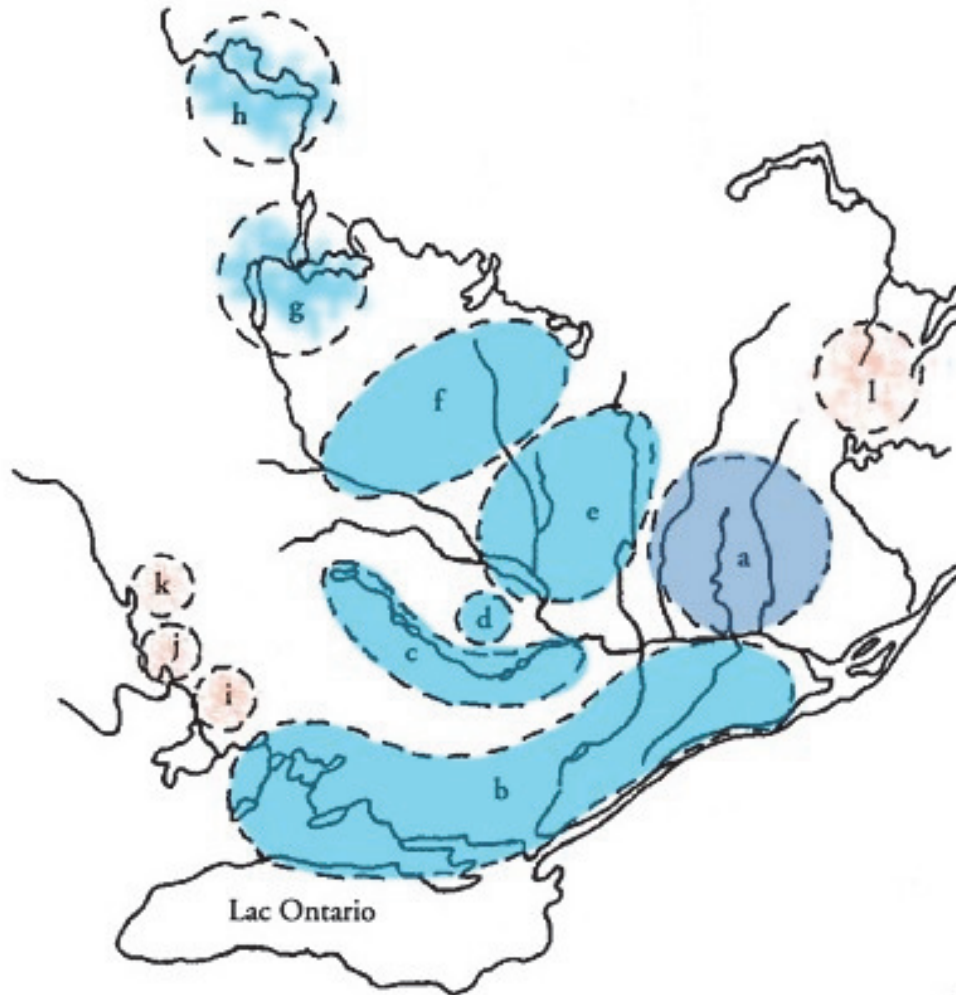
En remontant progressivement le fleuve, Champlain et, quelques années plus tard, le récollet Sagard, traversent le véritable territoire des Anishinàbeg. Ceux-ci occupent une bonne partie de la vallée de l'Outaouais, de son embouchure jusqu'aux environs de la rivière Mattawa (Laverdière 1870 [Champlain 1632], Chevalier 1865 [Sagard 1632]). Le pays anishinàbe est bordé de plusieurs voisins, notamment les Atikamekw, les Nipissings et les Hurons-Wendats. Les Iroquois, leurs ennemis traditionnels, sont situés plus au sud (figure 7).

⁶ Les Algonquins se désignent eux-mêmes sous l'appellation *Anishinàbeg* (au singulier : *Anishinàbe*), ce qui signifie « les vrais hommes » (McGregor 2004 : 3). Nous avons donc choisi de nous en tenir à ces termes dans le reste de ce document.

Les régions de la Lièvre et de Nomingue faisaient partie du territoire de la nation anishinàbe des Weskarinis, bien connue des Français (figure 8).



Figure 7 Carte des populations autochtones du nord-est américain au début du XVII^e siècle (modifications à partir de Havard 2003)



ALGONQUINS

- a. Weskarinis
- b. Onontcharonons
- c. Matoueskarinis
- d. Kinouchipirinis
- e. Kichesipirinis
- f. Otagottouemis
- g. Témiscamingues
- h. Abitibis

AUTRES

- i. Sagnitaouigamas
- j. Sagaiguninis
- k. Ouasouarinis
- l. Contrée de Batiscan [?]

Figure 8 Carte des nations anishinàbeg de la première moitié du XVII^e siècle (selon Ratelle 1993). Malgré une importante proximité culturelle, plusieurs auteurs excluent les Abitibis et les Témiscamingues. L'affiliation culturelle du groupe de la contrée de Batiscan est elle aussi sujette à débat, les informations concernant cette population étant très limitées.

Selon les sources, leur territoire se trouvait sur la rive nord de l'Outaouais et s'étendait approximativement de la rivière Rouge à la rivière du Lièvre, ce qui incluait plus particulièrement la rivière de la Petite-Nation, nom auquel d'ailleurs les Weskarinis étaient identifiés par les Français (Ratelle 1993, Viau 1993, Savard 1996). Ceux-ci seront vaincus et dispersés par les Iroquois vers 1651, un événement relaté par le capucin Alexis Barbezieux :

NOTES SUR LES ALGONQUINS DE LA PETITE-NATION

Nous reproduisons ici, à titre de légende, les détails suivants qui nous ont été fournis par M. l'abbé Richer, curé de Masson.

« C'était un fait bien connu des sauvages, il y a une trentaine d'années [donc vers 1867], que la Petite-Nation avait été massacrée par les Iroquois sur les bords du petit [lac] Nomingue, à un demi-mille, environ, de l'embouchure du ruisseau Sawgie [Saguay]. La côte qui est sablonneuse et assez élevée à cet endroit, s'avance dans le lac, en pointe recourbée vers l'ouest.

Voici en peu de mots, comment les choses se seraient passées.

Un printemps, les chasseurs de la Petite-Nation, avec leurs femmes et leurs enfants, revenaient d'une de leurs excursions accoutumées sur les sources de la Rouge et du Saint-Maurice. En tout vingt canots. La chasse avait été abondante; pas le moindre accident à déplorer; et le retour s'opérait dans les meilleures conditions. On supputait à l'avance les bonnes et jolies choses que les traiteurs français devaient échanger contre les magnifiques peaux de castors, de loutres et de visons, etc., et on se promettait de faire grasse et joyeuse "tabagie", sur les bords du Grand Lac. C'était là le "home" préféré de ces grands enfants de la nature.

Tous fendaient donc gaiement, de leurs avirons, les eaux du petit Nomingue, et déjà le portage qui mène au lac des Iles, était en vue, lorsque une dizaine de grands canots se détachant de la rive sud, s'avancèrent à leur rencontre et comme pour leur barrer le passage. Aux coups de fusils tirés de loin, surtout aux cris poussés par ceux qui les montaient, on reconnut bientôt les Iroquois. Sans se déconcerter, nos chasseurs virèrent de bord, et se dirigèrent vers la pointe nord-ouest, pour y mettre en sûreté leurs femmes et leurs enfants, en attendant l'issue du combat, bien décidés qu'ils fussent de faire face aux maraudeurs qui venaient les attaquer. Mais, hélas! le piège avait été habilement tendu, c'est à la mort qu'ils couraient ainsi tous ensemble. A peine avaient-ils mis le pied sur le rivage qu'une centaine de guerriers iroquois, sortant d'une espèce de retranchement fait de troncs d'arbres entrecroisés et recouverts de gazon, tombent sur eux, le tomahawk à la main. C'en était fait de la Petite-Nation. Deux ou trois seulement purent s'échapper à travers le bois. »

ALEXIS DE BARBEZIEUX, *O.M.C.*

(Histoire de la province ecclésiastique d'Ottawa, vol. I, page 32.)

Avant son décès en 1948, Louis Tanascon, le dernier chef anishinàbe de Nomingue, racontait encore cette histoire aux enfants du camp Nomingue (Paquin 2014, figure 9).

Les Anishinàbeg de l'Outaouais ne disparaissent pas totalement par la suite, mais la perte de leur puissance politique et militaire les relègue à l'arrière-plan. Certains s'établissent dans les missions catholiques de la vallée du Saint-Laurent tandis que plusieurs se regroupent dans de nouvelles entités (Day et Trigger 1978, Ratelle 1993). Il semble qu'au cours des 25 années qui suivent la seconde moitié du XVII^e siècle, le territoire jadis occupé par les Anishinàbeg (dont celui des Weskarinis) est plus ou moins abandonné (Day et Trigger 1978). Étant donné l'intérêt du territoire tant pour ses ressources que comme axe de circulation, on ne peut toutefois exclure qu'une fréquentation plus ou moins régulière se poursuive malgré la crainte généralisée à l'époque des incursions iroquoises.

La plus ancienne mention du passage d'un Européen à l'intérieur de ce qui était le territoire weskarini quelques décennies auparavant est attribuée à un certain Sieur de Bellefeuille qui, guidé par deux Abitibis, emprunte la rivière du Lièvre en 1689 (Caron 1918b [Patu 1689]). La route de contournement de la Lièvre qui mène vers le bassin de la rivière Saint-Maurice sera à partir de cette époque assez régulièrement utilisée.

Bien que l'on connaisse peu de choses sur l'intensité de la fréquentation de l'ancien territoire weskarini au XVIII^e siècle, il ne fait pas de doute que son exploitation par les Autochtones avait repris après la ratification de la Grande Paix de 1701, particulièrement à la suite de la fondation de la mission de Deux-Montagnes (Oka) en 1721 (Viau 1993). Cette mission était composée d'un regroupement d'Anishinàbeg, de Nipissings, de membres de quelques autres nations algonquiennes ainsi qu'un regroupement voisin constitué d'Iroquois auparavant installés à la mission du Fort-Lorette, au Sault-au-Récollet (Black 1989). Les grandes quantités de fourrures qui sont vendues par les Autochtones de Deux-Montagnes au XVIII^e siècle témoignent que les ressources environnantes sont exploitées (Barbezieux 1897, Anick 1976, Day et Trigger 1978). Les documents historiques mentionnent la présence des Autochtones de Deux-Montagnes à plusieurs endroits des Laurentides au début du XIX^e siècle. En 1844, les Anishinàbeg et les Nipissings de Deux-Montagnes ne sont d'ailleurs présents à la mission qu'environ deux mois, le reste du temps étant consacré à l'exploitation des ressources de l'arrière-pays (Canada Indian Department 1845 : 20).



Figure 9 Louis Tanascon en 1932

De nouveaux bouleversements transforment profondément la vallée de l'Outaouais et son bassin laurentidien au XIX^e siècle. Ses rives sont progressivement colonisées et l'exploitation du bois le long de ses affluents entraîne l'exploration du territoire et ultimement l'avancée des migrants eurocanadiens au détriment des groupes autochtones.

Les fermes forestières mises en place le long des affluents de l'Outaouais servent à approvisionner les chantiers environnants et de relais pour les équipes de bûcherons, les arpenteurs et les missionnaires (Bouchard *et al.* 2019, Barbezieux 1897). Lorsque les colons commencent à occuper le territoire à partir de la seconde moitié du XIX^e siècle, les fermes permettent également l'acquisition de ressources essentielles et de matériaux de base. Au tournant du XX^e siècle, ces bâtiments auront tous été vendus ou abandonnés. Seuls quelques-uns subsistent de nos jours dans les Laurentides.

La colonisation des Hautes-Laurentides s'accélère au cours du dernier quart du XIX^e siècle, à la suite des efforts inlassables du curé Labelle pour contrer à la fois l'émigration massive des Canadiens français vers la Nouvelle-Angleterre et l'expansion anglo-protestante dans l'arrière-pays à partir de l'Outaouais. Des guides autochtones l'accompagnent d'ailleurs lors de ses explorations du territoire à partir de 1869 (Auclair 1930). La région est fréquentée et occupée depuis longtemps par de nombreuses familles autochtones, soit originaires de Deux-Montagnes, soit par la suite de Maniwaki (Kitigan Zibi) ou de familles hors réserve (Frenette 1993). Selon des informations recueillies au début du XX^e siècle par l'anthropologue Frank Speck auprès d'Aînés, des familles anishinàbeg occupaient encore avant les années 1850 des territoires à proximité de Montréal, entre la rivière du Nord et la Mattawin (Speck 1929). Des bourgades autochtones sont d'ailleurs signalées dans le canton d'Arundel à Huberdeau, au lac Cameron et aux rapides du Diable (D'Urban et Bell, 1860, Outhet 1990, Paquin 2014). En 1881, une pétition est envoyée pour qu'une réserve leur soit octroyée dans le canton de Labelle (Chamberlin 1891). Cette démarche sera ignorée. On y dénombre 48 signataires anishinàbeg de la rivière Rouge et de 22 signataires de la Petite-Nation (Paquin 2014). Il n'y a pas d'informations semblables au sujet des Anishinàbeg de la Lièvre, mais ils constituaient, semble-t-il, un groupe qui vivait en marge de la communauté de Maniwaki (Frenette 1993 citant Petruzzo 1929).

2.5 Les secteurs à l'étude

Rivières de la Petite-Nation, Rouge et Grand lac Nomingue

À la suite de la dispersion des Weskarinis, les allusions à la rivière de la Petite-Nation sont assez rares avant la fin du XVIII^e siècle. Bien que le lieu ne soit pas clairement nommé, un poste de traite était aménagé à son embouchure, ce que relève Alexander Henry en 1761 (Henry 1809, Voorhis 1930). La première maison érigée en 1803 par Joseph Papineau aurait d'ailleurs été construite à peu près sur l'emprise de ce poste (Paquin 2020, GRAO 2012). En ce qui concerne des descriptions de l'arrière-pays, il n'existe aucune donnée documentaire connue de cette époque.

C'est en 1801 que Joseph Papineau s'établit dans la seigneurie de la Petite-Nation, acquise du séminaire de Québec. Son fils Louis-Joseph rachète la seigneurie en 1817. Au cours des décennies suivantes, ses fils Lactance et Amédée effectuent des voyages jusqu'aux limites de la seigneurie et rencontrent les familles autochtones qui l'habitent. Guidé par Charles Hillman et accompagné de ses cousins Casimir et Auguste, Lactance se rend jusqu'au lac Simon en 1844 et mentionne la rencontre de plusieurs autochtones dans son journal (Papineau 2003). Son frère Amédée entreprend avec Hillman en 1853 un voyage qui le mène au lac Commandant (l'actuel lac Papineau). Il trouve à cette occasion le portage autochtone menant à la rivière Maskinongé, un affluent de la Rouge qui prend sa source dans les lacs Labelle et Désert (Papineau 1998, OBV RPNS 2011, Paquin 2014).

Une carte de George T. Griffin se trouvant dans le fonds de la compagnie forestière Hamilton & Low et datée de 1832 constitue le document le plus ancien qui illustre le lac Nomingue avec précision (figure 10). La carte a visiblement été déchirée ou coupée sur toute la longueur de sa frange droite, ce qu'indique la présence de mots incomplets, la coupure de quelques tracés et les restes apparents de filaments du support. Un carré a aussi été découpé au bas de la carte, dans le coin gauche.

Malgré quelques distorsions d'orientation et d'échelle, cette carte inclut plusieurs éléments descriptifs d'un très grand intérêt. On y discerne en particulier la présence d'un campement autochtone (*WhiteDuck*) à l'embouchure du ruisseau Jourdain (*Pike River*). Cette indication rappelle la localisation un peu plus vague dans le secteur d'un campement qui figure sur la carte de Paul Kakidjouenne (voir figure 4). La mention de « *Wild Mans' Point* » indique une occupation autochtone de la pointe Manitou⁷. Le portage menant de la baie Larivière au Petit lac Nomingue vers la Petite-Nation (via le lac Lesage) est clairement illustré. Deux petites habitations semblent dessinées le long de la rivière Nomingue, dont l'une porte les initiales W.L.

Quelques lieux représentés demeurent cependant difficiles à associer à la toponymie actuelle. À la tête du ruisseau Jourdain, la séparation entre deux branches, soit l'actuel Ruisseau du lac, à gauche, et le Jourdain, à droite, permet de localiser le lac de Tibériade. Sur la gauche, étant donné la taille reproduite, nous avons estimé qu'il pourrait s'agir du lac Gaumont.

Au-dessus des lacs Saguay, Gaumont et Tibériade, le cours d'eau et le lac représentés font sans doute référence à la rivière Kiamika et au lac des Écorces.

À la base de la carte, le lac et le portage vers la rivière de la Petite-Nation semblent tout à fait hors contextes par rapport au reste de la carte et ne peuvent être pour l'instant associés à des lieux connus de la toponymie contemporaine. À la limite, on pourrait penser qu'il s'agit d'une amorce de reproduction, maladroite et incomplète, du portage du Petit lac Nomingue vers le lac Lesage. Cet ajout serait postérieur à 1832 si on se fie à la calligraphie employée.

⁷ Jean-Baptiste Bernard Amikwabe (1829-après 1912) est dans la région de Nomingue au moment de la fondation du village et aurait été expulsé de la pointe Manitou lors de son achat par les Jésuites. On peut se demander si son père, Bernard Ajawegone (1795-1834), pourrait être lié en 1832 à la *Wildmans Point*. Il est tout à fait envisageable qu'il y ait une continuité familiale dans l'occupation de la région de Nomingue au XIX^e siècle, mais étant donné la fréquence des déplacements sur le territoire, il est impossible d'en être certain.

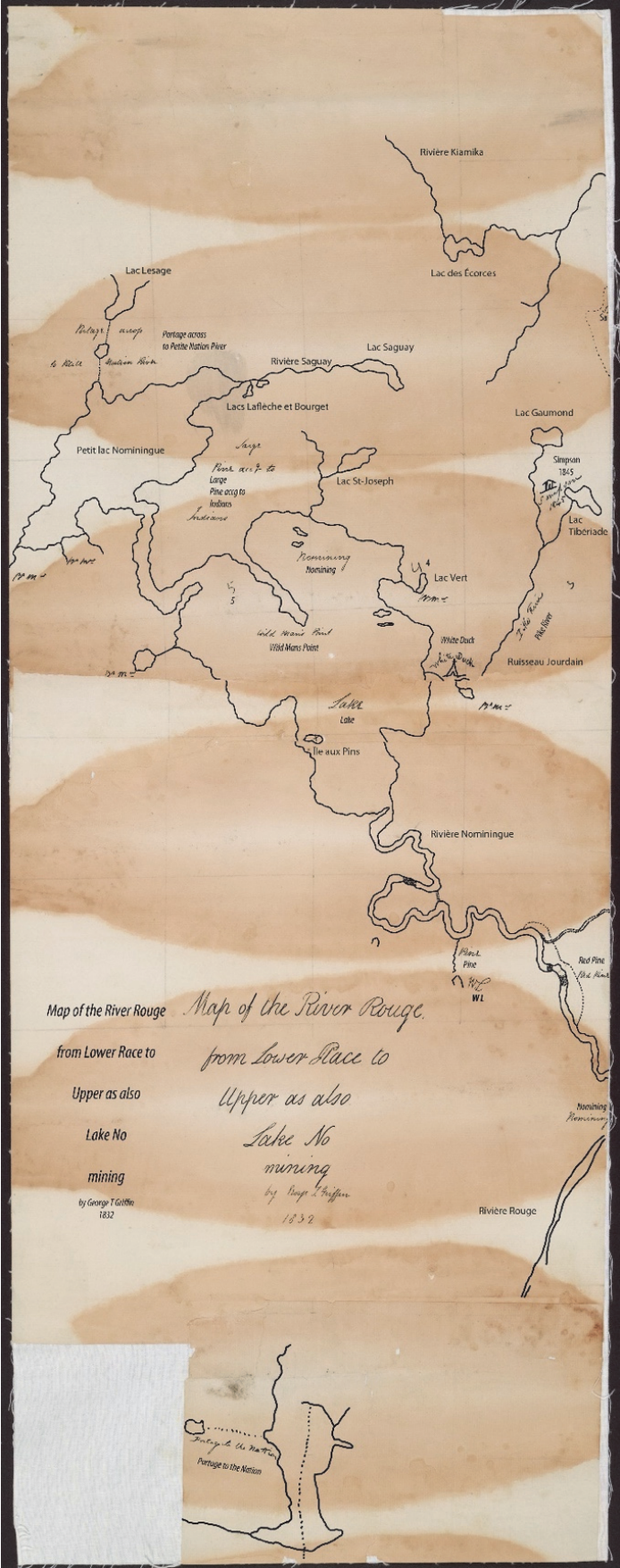


Figure 10 Carte de George Griffin de 1832, Map of the River Rouge from Lower Race to Upper as also Lake Nominique

Signalons que la calligraphie indique clairement que plusieurs inscriptions ont été ajoutées après 1832, notamment les mentions *WhiteDuck* et *Simpson 1845*, sans qu'une date précise puisse actuellement être déterminée. Une courte recherche généalogique donne peut-être quelques indications à ce sujet. Joseph Pekasiketch (1794-après 1863), chef nepissing d'Oka aura 14 enfants dont 4 fils qui porteront le nom de famille Canard Blanc ou Whiteduck : Michel Whiteduck (1821-1899), Pierre-Mathias Canard Blanc (1830-1897), Amable Canard Blanc (1834-1931) et Simon Whiteduck (1839-) (Paquin, weskarini.ca). Amable Canard Blanc est le seul membre de la famille connu pour avoir fréquenté le Grand lac Nominungue, ce qui nous amène au moins au milieu du XIX^e siècle. Ces éléments portent à croire que les inscriptions *Whiteduck* et *Simpson 1845* ont pu être apposées postérieurement à 1845, l'année inscrite.

Au cours des années 1850-1860, le célèbre géologue William Logan, accompagné en 1858 du naturaliste W. S. M. D'Urban, effectue plusieurs campagnes dans les Laurentides qui l'amèneront à parcourir les rivières Rouge, Petite-Nation et Maskinongé jusqu'au lac Nominungue (Logan 1852-63, D'Urban 1860, Harrington 1883). Il prend en note de nombreux toponymes anishinàbeg des lieux qu'il étudie. Dans ses carnets d'arpentage, Logan inscrit à la fois le nom original autochtone *Wapaching* et français *Barrière* pour désigner la petite étendue d'eau qui relie les Grand et Petit lac Nominungue (Logan 1861).

Lors de ses campagnes d'arpentage entre 1864 et 1866, Duncan Sinclair, guidé par l'Anishinàbe Simon Commandant (Wabinigis), remonte la Petite-Nation et, en passant par les Petit et Grand lacs Nominungue, il atteint les sources de la rivière Rouge. Le 7 janvier 1865, il campe sur les rives de la pointe Manitou. Le 14 janvier, il est au Petit lac Nominungue et relève auprès de ses guides l'*Iroquois Point* (il s'agit de l'actuelle pointe Monseigneur), lieu présumé de la défaite finale des Weskarinis face aux Iroquois (figure 11). Il note également le nom de *Windigo point*, une longue bande de sable se trouvant face à l'embouchure de la rivière Sagway (« *called Sagwee by the Indians* »). En suivant ses guides Anishinàbeg, il localise leurs campements, notamment près du lac Maison de Pierre (figure 12), et note le réseau qu'ils utilisent jusqu'à la Matawin (Sinclair 1863-1865, Paquin 2014). En somme, il explore l'ancien territoire weskarini qui demeure toujours habité et exploité par les anishinàbeg du XIX^e siècle.



Figure 11 Détail du Petit lac Nominungue illustré sur la carte de Duncan Sinclair de 1865, *Plan of the River-Rouge in the County of Ottawa*

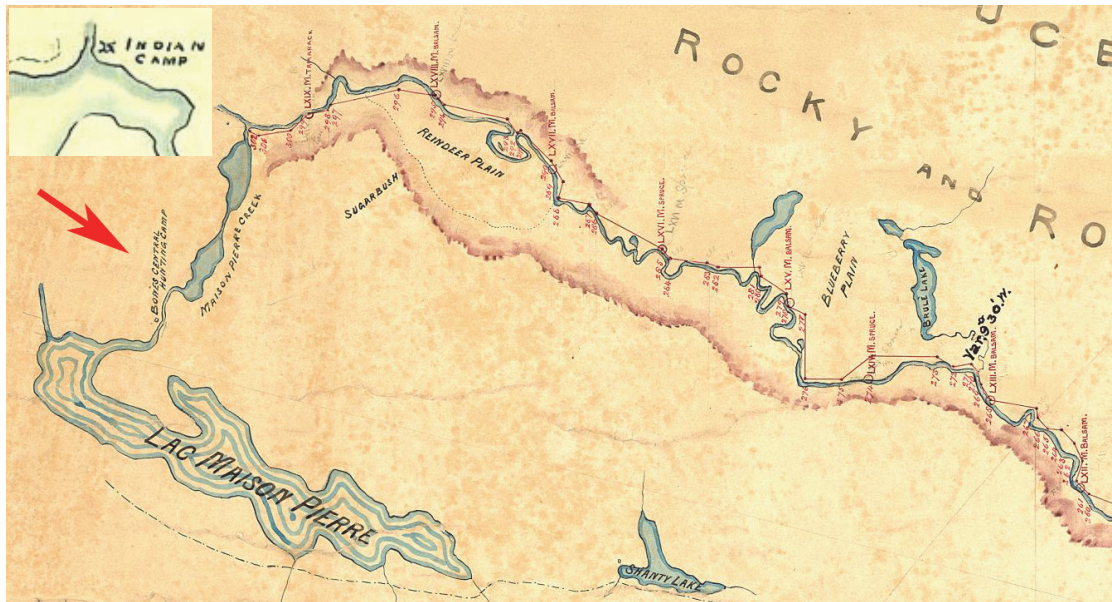


Figure 12 Détail du lac Maison de Pierre, près des sources de la rivière Rouge. L'arpenteur Duncan Sinclair a noté en 1864 la présence d'un important camp de chasse anishinàbe (Bones Central Hunting Camp) dans ce secteur (Détail de *Plan part of the River-Rouge in the County of Ottawa*, BANQ). En mortaise, même lieu tel qu'illustré par Duncan Sinclair sur la carte produite en mai 1864 *Plan of the part of River Rouge* (BANQ).

Avant la fondation de la municipalité de Nominougue, plusieurs familles autochtones fréquentent ou habitent les environs du Grand lac Nominougue, ce qui est le cas notamment d'Amable Canard-Blanc, de Joseph Commandant fils, de Jean-Baptiste Bernard, de Louis Tanascon, d'Albert Jabot et d'un certain François (Chamberlin 1891, Speck 1929, Rodier et Girouard 1983, Paquin 2014, Graham 1990 [1940]).

Après quelques années préparatoires, la mission de Nominougue est officiellement fondée. En 1883 les Pères Jésuites s'installent au Grand lac Nominougue (Lalonde 1937). Le développement sur le pourtour des lacs de Nominougue s'amorce la même année et a la particularité d'intégrer à la fois des colons canadiens-français, mais aussi une proportion appréciable de défricheurs venus de France, de même que quelques familles aisées qui acquièrent de grandes propriétés (par exemple les Beaubien et le baron Stanislas d'Halewyn). Installé au lac Lesage, le baron d'Halewyn pratique la traite des fourrures un certain temps (Rodier et Girouard 1983). Dans ces circonstances, il est possible qu'il ait été occasionnellement en contact avec des chasseurs autochtones.

Au XX^e siècle, la population eurocanadienne augmente progressivement. Parallèlement à la colonisation, avec le prolongement de la ligne de chemin de fer jusqu'à Nominougue en 1904, le tourisme et la villégiature prennent leur essor. Plusieurs familles d'ascendance anishinàbe, la plupart métissées, sont établies à Nominougue ou dans les environs. Le camp Nominougue ouvre ses portes en 1925. Le vieux Louis Tanascon est présent à Nominougue à cette époque. Il fabrique des canots d'écorce et raconte histoires et légendes anishinàbeg aux garçons du camp de vacances (Paquin 2014). De nos jours encore, plusieurs familles entretiennent la mémoire de leurs origines anishinàbeg.

3. MÉTHODOLOGIE

L'inventaire archéologique réalisé en 2022 a été mené conformément à la méthodologie d'usage pour les contextes paléohistoriques. Des puits de fouille (1 m sur 1 m) et des sondages (50 cm sur 50 cm) ont été effectués à intervalle régulier, en tenant compte des contraintes posées par l'environnement physique et, le cas échéant, des interventions des années antérieures.

En inventaire, chaque sondage a été localisé à l'aide d'un GPS ou implanté sur le quadrillage du site, puis fouillé à la pelle ou à la truelle, dépendamment de la stratigraphie et des contextes observés. Les unités de sondage ont été fouillées par couches naturelles subdivisées au besoin en niveau arbitraire de 10 cm. Toute la terre a été tamisée dans des tamis dotés de mailles de 1/4 de po. Le sondage était complété lorsque le fouilleur rencontrait un sol considéré comme stérile, c'est-à-dire dépourvu de matériel archéologique. Des tamis de 1/8 po ont été utilisés au besoin pour vérifier la présence de microdébitage et/ou de petits restes fauniques et végétaux. La localisation horizontale et verticale des artefacts diagnostiques a été effectuée *in situ* alors que les artefacts non diagnostiques ont été recueillis collectivement par niveau. Les structures mises au jour ont fait l'objet d'un relevé systématique et des échantillons de charbon ont été collectés pour fins d'analyse en laboratoire, si nécessaire.

La même méthodologie a été employée en situation de fouille, à quelques différences près. Chaque puits a été implanté sur le quadrillage du site et fouillé en quatre quadrants de 50 cm sur 50 cm. La terre a été tamisée dans des tamis de 1/8 po et des tamis de 1/4 po étaient utilisés au besoin pour accélérer la fouille de certaines couches considérées comme stériles, telles que les niveaux inférieurs d'un horizon Bf.

Tous les enregistrements archéologiques (fiches de sondages, photographies, relevés stratigraphiques, plans, notes d'arpentage) réalisés au cours de l'intervention sont inclus dans le dossier technique. Les artefacts et écofacts collectés ont été nettoyés, inventoriés et analysés en laboratoire. En vertu des accords conclus avec le MCCQ, la corporation des Gardiens du Patrimoine Archéologique des Hautes-Laurentides est dépositaire de la collection archéologique. L'intervention de 2022 a été réalisée dans le cadre du permis de recherche archéologique 22-PATG-01.

4. PRÉSENTATION DES RÉSULTATS

Trois interventions indépendantes ont été réalisées au courant de la saison d'été 2022 (tableau 1). Au Grand lac Nominique (figure 1), près de l'embouchure du ruisseau Jourdain, la fouille et l'inventaire archéologiques réalisés sur le site CcFr-1 ont permis de poursuivre la documentation de contextes d'occupation à l'intérieur et à proximité de l'aire entamée en 2021. Pour sa part, l'inventaire réalisé à la pointe Monseigneur du Petit lac Nominique a permis de poursuivre les recherches dans la continuité de ce qui avait été entamé dès 2011 (Treyvaud 2012) et qui avait fait l'objet d'une seconde intervention en 2015 (Taché et Lamothe 2016). Enfin, l'inventaire archéologique effectué dans la région de L'Ascension a été mis en place à la suite d'un rapport de découverte fortuite.

Tableau 1 Synthèse des résultats de l'intervention archéologique de 2022

| Site | Localisation | Point de référence UTM | Sondages/puits total | Sondages/puits positifs | Sondages/puits négatifs |
|-----------------------------|---------------------|------------------------------|---------------------------|---------------------------|-------------------------|
| Ruisseau Jourdain (CcFr-1) | Grand lac Nominique | (J52) 18T 502992 5146238 | 12 sondages 12,5 puits | 11 sondages 12,5 puits | 1 sondage |
| Pointe Monseigneur (CcFs-2) | Petit lac Nominique | (PDS5) 18T 498274 5135524 | 25 | 3 | 22 |
| L'Ascension | Rivière Rouge | (RF2) 18T 515114 5156736 | 20 | 0 | 20 |

4.1 Fouille et inventaire archéologiques à l'embouchure du ruisseau Jourdain (CcFr-1)

4.1.1 Historique des travaux

Les interventions archéologiques effectuées sur le site CcFr-1 depuis 2016 ont permis d'établir la valeur exceptionnelle du site pour la compréhension de l'occupation du territoire ancestral des Anishinàbeg-Algonquins (tableau 2, plan 2). C'est la découverte fortuite d'exceptionnels outils taillés et polis, lors de la construction de la maison du Dr Jacques Cartier (1907-1995) dans les années 1950, qui a motivé le premier inventaire archéologique du côté ouest de l'embouchure du ruisseau Jourdain en 2016. De 2016 à 2022, les recherches archéologiques ont révélé d'importants contextes archéologiques en place et permis la mise au jour de riches assemblages de restes fauniques, d'éclats, d'outils lithiques et de tessons de céramique appartenant à au moins 34 unités de vase. La chronotypologie des unités de vase identifiées jusqu'à maintenant suggère que le site a été occupé à chaque sous-période entre le Sylvicole moyen ancien et le Sylvicole supérieur récent. Des indices lithiques (voir section 4.1.5) témoignent vraisemblablement d'une présence sur le site à la fin de l'Archaïque, tandis que des objets de traite et du matériel historique représentent les siècles d'occupation suivant le contact. En 2020, l'extraction de deux souches à proximité d'aires fouillées au cours des années précédentes avait justifié la réalisation d'une intervention de sauvetage. Cette courte intervention — essentiellement le tamisage de la terre dans l'emprise des souches — avait permis de confirmer la présence d'un riche tissu archéologique à cet endroit. Le rapport d'intervention recommandait la poursuite des recherches dans ce secteur du site (Taché et Lamothe 2021). L'intervention archéologique de 2021 se distinguait de celles des années précédentes à plusieurs égards. En premier lieu, la zone d'intervention a été ciblée pour la qualité potentielle de ses contextes résiduels, alors que l'organisation des interventions des années antérieures était plutôt dictée par des impératifs de prévention en vue de travaux d'aménagements. Grâce à des effectifs humains plus importants, une intervention de plus grande envergure a pu être organisée. Parallèlement, un inventaire de la plage et un catalogage préliminaire des découvertes de surface du propriétaire ont été entamés. L'importante quantité de découvertes fortuites, incluant une variété de matériaux lithiques et de nouvelles unités de vase, suggérait la présence possible de contextes archéologiques préservés sous la couche de sable de surface de la plage.

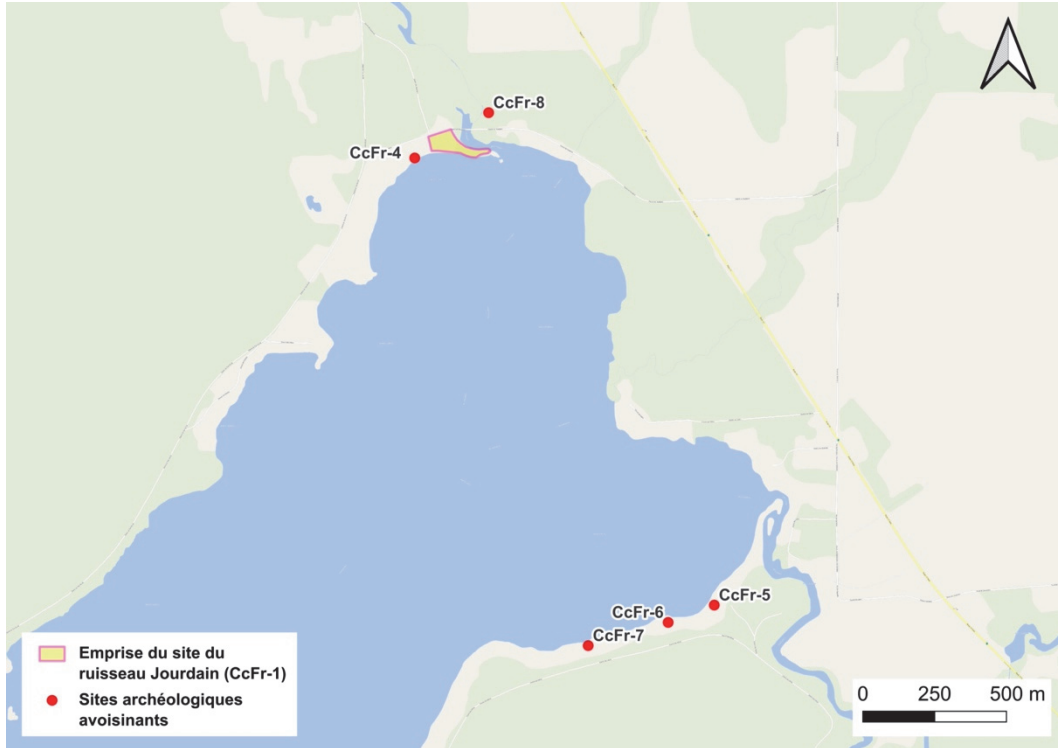


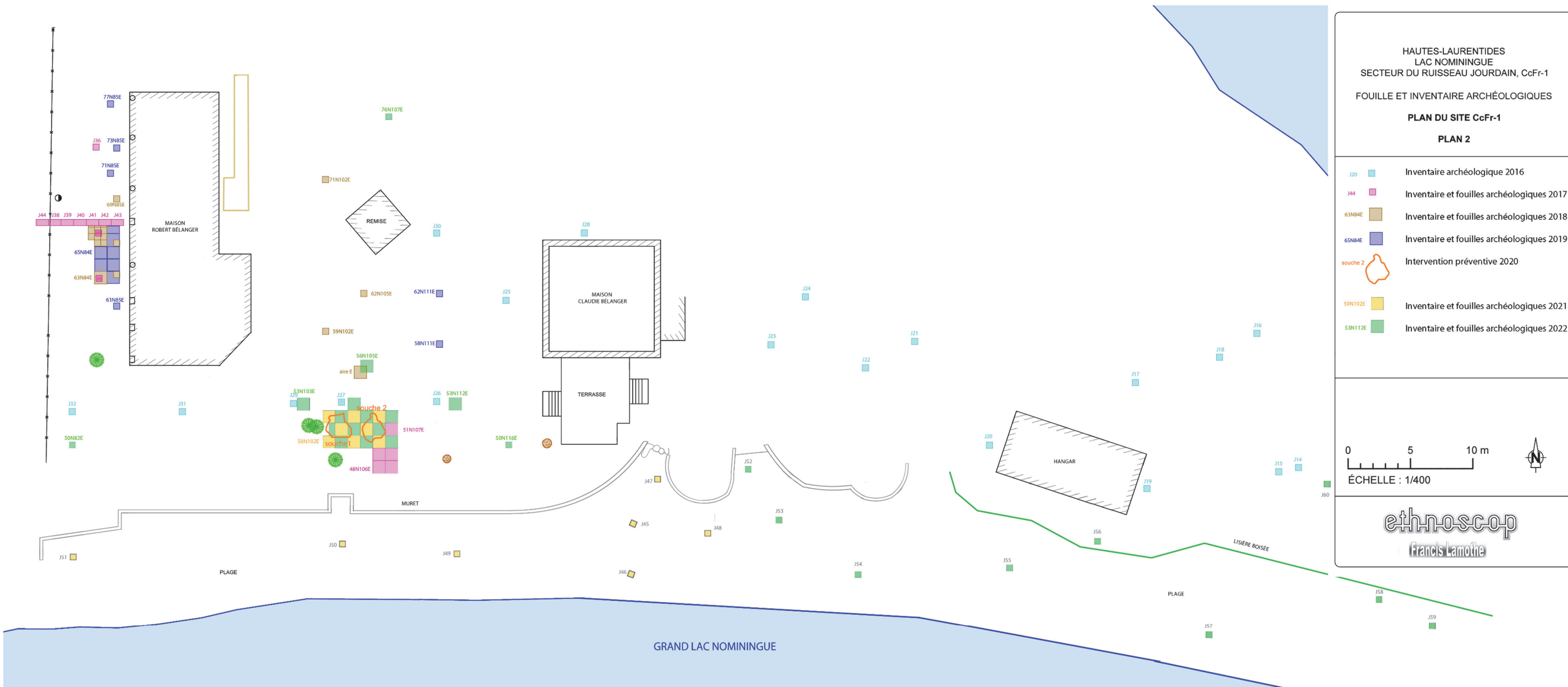
Figure 13 Carte de la localisation du site CcFr-1 et des sites avoisinants dans la portion nord du Grand lac Nomingue



Figure 14 Carte satellite de la localisation du site CcFr-1 et des sites avoisinants dans la portion nord du Grand lac Nomingue

Tableau 2 Faits saillants de l'historique des travaux sur le site CcFr-1

| Année | Faits saillants | Référence |
|-------|--|----------------------------|
| 2016 | <ul style="list-style-type: none"> • Dix sondages sur 34 sont positifs. • Découverte notamment de tessons de poterie du Sylvicole moyen, d'une perle en verre (1600-1630) et d'une pierre à pistolet (1760-1850). | Taché et Lamothe (2017) |
| 2017 | <ul style="list-style-type: none"> • Aire de fouille de 4 m² correspondant à l'emprise d'une souche à extraire (aire A). • Un puits de fouilles de 1 m² correspondant à l'emprise d'une seconde souche à extraire (aire B). • Trois sondages et une tranchée de 7 m sur 0,5 m du côté ouest de la maison en vue de futurs travaux d'aménagement par le propriétaire. • Identification de plusieurs nouvelles unités de vase du Sylvicole moyen, d'une unité de vase du Sylvicole supérieur récent, d'outils lithiques et d'os blanchis. | Taché et Lamothe (2018) |
| 2018 | <ul style="list-style-type: none"> • Aire C de 2,5 m², aire D de 1 m² et trois sondages du côté ouest de la maison. • Un puits de 1 m² (aire E) et huit sondages complémentaires du côté est de la maison afin de vérifier l'étendue du site vers le nord. L'aire E contient une aire de foyer et divers artefacts. • Une diminution notable dans la densité des contextes archéologiques est observée à mesure que l'on s'éloigne du rivage. • Identification entre autres de plusieurs nouvelles unités de vase du Sylvicole moyen. | Taché et Lamothe (2019) |
| 2019 | <ul style="list-style-type: none"> • Fouille préventive du côté ouest de la maison en vue de travaux d'agrandissement par le propriétaire. Aire ouverte d'environ 6 m². • Découverte d'une nouvelle unité de vase datant du Sylvicole moyen ancien. • Deux sondages du côté est de la maison contiennent nettement moins de culture matérielle par rapport aux aires fouillées à quelques mètres au sud les années précédentes. | Taché et Lamothe (2020) |
| 2020 | <ul style="list-style-type: none"> • Tamisage d'urgence d'une aire de fouille d'environ 4 m² correspondant à l'emprise de deux souches extraites situées à proximité des aires A et B fouillées en 2017. • Plusieurs artefacts et écofacts découverts dans ce contexte perturbé par le système racinaire des souches. | Taché et Lamothe (2021) |
| 2021 | <ul style="list-style-type: none"> • Fouille en quinconce d'une aire de 8 m² du côté est de la maison dans une zone qui correspond au sommet de l'ancien talus menant à la plage au sud de la propriété. • Découverte de plusieurs outils lithiques, d'une diversité de matières premières lithiques d'origine plus ou moins éloignée de la région de Nominique, d'os blanchis et de plusieurs nouvelles unités de vase datant du Sylvicole moyen. • Sept sondages positifs creusés sur la plage. | Taché <i>et al.</i> (2022) |



Plan 2 Historique des interventions archéologiques sur le site CcFr-1

4.1.2 Fouille archéologique sur le site CcFr-1

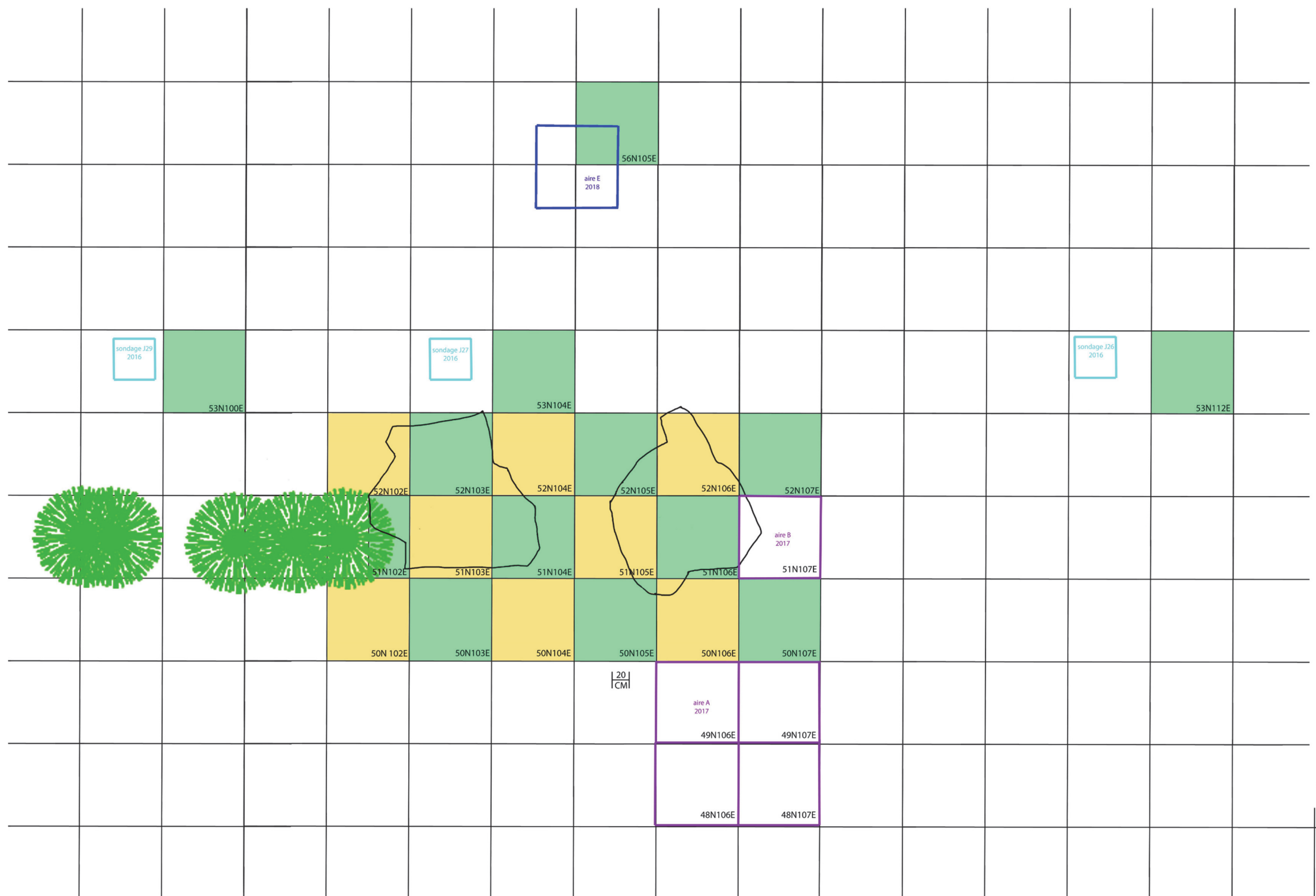
L'intervention archéologique menée au Grand lac Nomingue visait en premier lieu à compléter la fouille de l'aire rectangulaire de 18 m² délimitée par les puits 50N102E, 52N102E, 52N107E et 50N107E, ce qui représentait une superficie de 9 m² (photo 1). L'objectif secondaire était d'élargir cette aire pour terminer la fouille de structures attenantes et de sonder le terrain devant la maison et la plage afin d'identifier d'autres contextes en place.

Un total de 12 puits de 1 m² ainsi qu'un demi-puits de 0,5 m² ont été implantés et ont fait l'objet d'une fouille complète portant à 12,5 m² la superficie totale excavée (plan 3). L'espace investigué est également arrimé sur les aires A, B et E fouillées en 2017 et 2018. Trois puits (53N100E, 53N112E et 56N105E) ne sont pas directement rattachés à l'aire rectangulaire et un autre (53N104E) vient l'agrandir vers le nord. Ces puits ont été ciblés en raison de leur proximité de sondages particulièrement riches en matériel archéologique. Les puits implantés en périphérie des sondages J26 et J29 ne les ont pas atteints. Mais comme ceux-ci avaient été positionnés au GPS à l'époque, leur localisation demeure approximative. Une attention particulière a été portée à la normalisation et à la simplification des descriptions stratigraphiques entre fouilleurs pour faciliter l'interprétation des contextes mis au jour.

La stratégie de fouille est ajustée en fonction du contexte de chaque puits. La profondeur de fouille des puits varie en fonction de leurs caractéristiques stratigraphiques et de leur(s) structure(s). Les puits ont été fouillés sur une profondeur variant de 33 cm à 75 cm. Dans le cas des puits 50N103E, 50N104E, 51N103E et 51N104E, les profondeurs atteignent un maximum de 75 cm en raison d'une dépression causée, semble-t-il, par un chablis. À l'est de l'axe 105E, le niveau stérile de fin de fouille est caractérisé par un limon argileux grisâtre, soit l'horizon C. À l'ouest de cette même limite, la fouille se termine généralement sur un niveau stérile de sable limoneux brun orangé (horizon Bf), sauf dans le quadrant sud-est du puits 51N102E et les quadrants ouest du puits 52N103E où le limon argileux grisâtre a été détecté, ce qui confirme la succession de ces deux horizons dans l'ensemble de l'aire de fouilles.



Photo 1 Début des fouilles dans l'aire principale après le déblayage des puits excavés en 2021 (photographie Karine Taché)



HAUTES-LAURENTIDES
LAC NOMINGUE
SECTEUR DU RUISSEAU JOURDAIN, CcFr-1

FOUILLE ET INVENTAIRE ARCHÉOLOGIQUES

Plan sectoriel du site
PLAN 3

| | | |
|----------|--|--|
| J20 | | Inventaire archéologique 2016 |
| 51N107E | | Inventaire et fouilles archéologiques 2017 |
| 65N84E | | Inventaire et fouilles archéologiques 2018 |
| souche 2 | | Intervention préventive 2020 |
| 50N102E | | Inventaire et fouilles archéologiques 2021 |
| 53N112E | | Inventaire et fouilles archéologiques 2022 |

Plan 3 Aire de fouilles de 2022

4.1.2.1 Synthèse stratigraphique

L'un des avantages de la fouille en quinconce ou en damier est qu'elle permet un relevé stratigraphique systématique de chacun des axes dans le quadrillage d'un site. En reliant les puits d'interventions antérieures, la fouille de 2022 vient compléter la couverture stratigraphique de l'aire investiguée, de sorte qu'il est maintenant possible de proposer une relecture de la stratigraphie dans cette partie du site (tableaux 3 et 4, figures 15 et 16).

Tableau 3 Corrélation entre les couches stratigraphiques de la paroi 52N et les niveaux fouillés

| Couches de la stratigraphie synthèse de la paroi 52N (102E à 107E) | Niveaux associés par puits | | | | | |
|--|----------------------------|-----------------|-----------------|-----------------|-----------------|-----------------|
| | 52N102E paroi N | 52N103E paroi N | 52N104E paroi N | 52N105E paroi N | 52N106E paroi N | 52N107E paroi N |
| 1. aménagement de surface moderne | 1 | 1 | 1 | 1 | 1 | 1 |
| 2. remblai de nivellement | - | 2a | 1 | - | - | - |
| 3. horizon Ah | 1, 2, 3 | 2a, 2b | 1, 2, 3 | 2a, 2b | 1, 2, 3 | 2a, 2b |
| 4. structures ou restes de combustion à l'interface entre les horizons Ah et Bf* | 4 | 4a, 4b, 4c | 4 | - | - | 2b, 2c |
| 5. horizon Ae | - | - | - | 3a | 3 | - |
| 6. horizon Bf | 5 | 3a, 3b, 3c | 5 | 3a, 3b | 3, 4 | 3a, 3b |
| 7. horizon C | - | 3c | 5 | 4a | 4 | 3b |
| 8. horizon Cg | - | - | 5 | 4b | - | - |

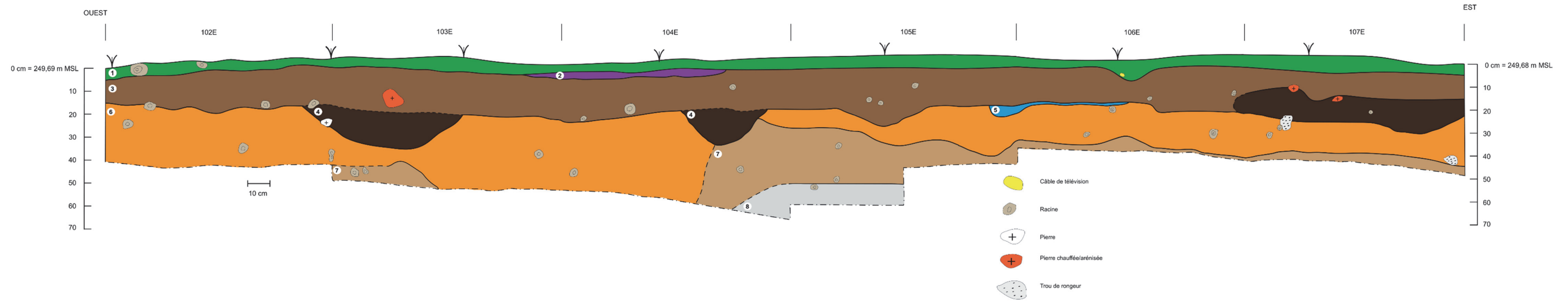
* indices des structures généralement présents dans le niveau supérieur

Tableau 4 Corrélation entre les couches stratigraphiques de la paroi 103E/104W et les niveaux fouillés

| Couches de la stratigraphie synthèse de la paroi 103E-104W (50N à 53N) | Niveaux associés par puits | | | |
|---|----------------------------|------------------|-------------------|-----------------|
| | 50N104E paroi W | 51N104E paroi W* | 52N103E paroi E** | 53N104E paroi W |
| 1. remblai des travaux d'essouchage en 2020 | - | 1 | 1 | - |
| 2. aménagement de surface moderne | 1 | 1 | - | 1 |
| 3. remblai de nivellement | - | - | - | 1, 2a |
| 4. remblai de nivellement associé à l'ancien terrain de tennis | - | - | - | 3 |
| 5. remblai de nivellement associé à l'aménagement du muret bordant la plage | 1, 2 | 3 | - | - |
| 6. horizon Ah | - | 2a, 2b | 2a, 2b | 2a, 2b, 4a, 4b |
| 7. structures ou restes de combustion | - | 2b, 4, 7a, 7b | - | - |
| 8. fosse de chablis | 3 | 5a, 5b, 5c | 5a, 5b | - |
| 9. horizon Bf | 4d | 6c, 6d | 3a, 3b, 3c | 6a, 6b, 6c, 6d |
| 10. dépôts lacustres et/ou fluviatiles | 4d | 7b | - | - |

* dessin stratigraphique de la paroi E du puits 51N103E, mais niveaux du puits 51N104E

Figure 15 CcFr1, stratigraphie de la paroi 52N entre les axes 102E et 107E



1. Tourbe de surface suivie d'un sable limoneux brun, meuble, interface inférieure nette.

Interprétation : Aménagement de surface moderne.

2. Sable grossier légèrement limoneux brun foncé, moyennement compact, contenant des racelles et de petits cailloux arrondis, interface inférieure nette.

Interprétation : Remblai de nivellement.

3. Sable limoneux brun foncé relativement homogène et organique, meuble, contenant des racines et radicelles, des artefacts et écofacts récents et anciens, des traces plus ou moins concentrées de charbon de bois et des pierres rougies entières et fragmentées plus ou moins organisées entre elles, transition graduelle sur 5-10 cm vers la couche 6.

Interprétation : Horizon Ah, surfaces d'occupations anciennes et récentes.

4. Sable limoneux brun foncé à noir, relativement hétérogène, meuble, contenant des racines et radicelles, des artefacts et écofacts anciens en grande majorité, des pierres rougies, arénisées et/ou fracturées au contact avec la chaleur et des proportions élevées de charbon de bois, transition graduelle sur 5-10 cm de sol brun foncé moucheté de brun orangé (couche 6).

Interprétation : Anciennes structures de combustion.

5. Lentille de sable limoneux gris pâle.

Interprétation : Horizon Ae résiduel.

6. Sable limoneux brun orangé, homogène, meuble, contenant des racines et radicelles, parfois quelques artefacts et écofacts près de l'interface supérieure de la couche et des sédiments rubéfiés à proximité des cuvettes de la couche 4, transition graduelle sur 5-10 cm de sol brun orangé à beige (couche 7).

Interprétation : Horizon Bf, la dépression entre les lignes 103E et 105E pourrait correspondre aux limites d'un canal dans le paléodelta du Jourdain.

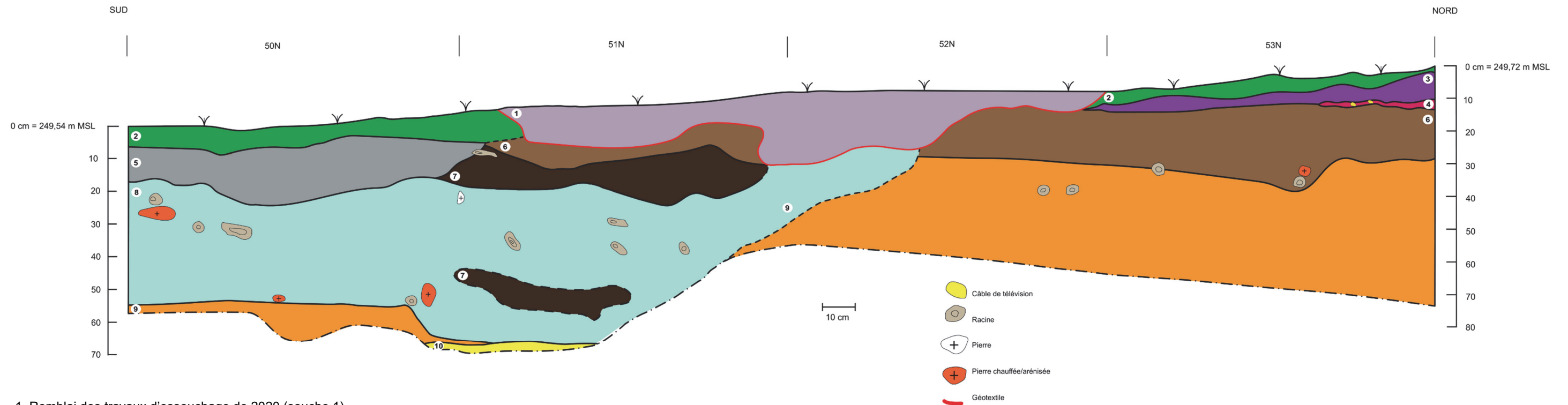
7. Limon argileux beige, homogène, moyennement compact, ne contenant aucune culture matérielle, transition graduelle sur 5-10 cm vers la couche 8.

Interprétation : Partie supérieure de l'horizon C, dépôts lacustres.

8. Limon argileux gris à gris bleuté, présence variable de mouchetures orangées, compact, ne contenant aucune culture matérielle.

Interprétation : Dépôts lacustres gleyifiés (horizon Cg).

Figure 16 CcFr1, stratigraphie de la paroi 103E/104W entre les axes 50N et 53N



1. Remblai des travaux d'essouchage de 2020 (souche 1).

2. Tourbe de surface suivie d'un sable limoneux brun, meuble, interface inférieure nette.
Interprétation : Aménagement de surface moderne.

3. Sable grossier légèrement limoneux brun foncé, moyennement compact, contenant des radicelles et de petits cailloux arrondis, interface inférieure nette.
Interprétation : Remblai de nivellement.

4. Sable fin limoneux beige jaunâtre, homogène, compact, contenant des radicelles, des nodules d'argile grise et un fragment de béton (53N104E).
Interprétation : Remblai de nivellement associé à l'ancien terrain de tennis.

5. Sable fin gris beige, meuble, contenant des mouchetures de sédiments organiques, des nodules d'argile, une prédominance d'artefacts de la période historique moderne, interface inférieure nette.
Interprétation : Remblai de nivellement lié à l'aménagement du muret et de l'escalier en pierres menant à la plage.

6. Sable limoneux brun foncé relativement homogène et organique, meuble, contenant des racines et radicelles, des artefacts et écofacts récents et anciens, des traces plus ou moins concentrées de charbon de bois et des pierres rougies entières et fragmentées plus ou moins organisées entre elles, transition graduelle sur 5-10 cm vers la couche 9.
Interprétation : Horizon Ah, surface d'occupations récentes et anciennes.

7. Sable limoneux brun foncé à noir, relativement hétérogène, meuble, contenant des racines et radicelles, des artefacts et écofacts anciens en grande majorité, des pierres rougies, arénisées et/ou fracturées au contact avec la chaleur et des proportions élevées de charbon de bois, transition graduelle sur 5-10 cm de sol brun foncé moucheté de brun orangé (couche 9).
Interprétation : Anciennes structures de combustion.

8. Mélange de sable limoneux brun à brun foncé et beige à brun orangé, hétérogène, meuble, contenant des racines et radicelles, des artefacts et écofacts anciens en grande majorité, des traces plus ou moins concentrées de charbon de bois et des pierres rougies plus ou moins organisées entre elles, transition graduelle sur 5-10 cm vers la couche 9.
Interprétation : Fosse de chablis ancien(s).

9. Sable limoneux brun orangé, homogène, meuble, contenant des racines et radicelles, parfois quelques artefacts et écofacts près de l'interface supérieure de la couche et des sédiments rubéfiés à proximité des zones de combustion de la couche 7, transition nette vers la couche 10.
Interprétation : Horizon Bf, sédiments d'origine terrestre reposant sur le lit d'un ancien canal (couche 10).

10. Alternance de litages de sables fins beige jaunâtre, gris ou orangés et d'argile grise compacte.
Interprétation : Dépôts sédimentaires en contexte lacustre et/ou fluvial.

D'un point de vue événementiel, sur la figure 16, les couches les plus anciennes sont les couches 7 et 8. Elles représentent l'horizon C, qui se distingue des horizons supérieurs notamment par sa fine granulométrie (limon argileux). La partie inférieure de l'horizon C, la couche 8, semble avoir subi une gleyification en raison de sa proximité à la nappe phréatique. Ce processus pédogénétique est spécifique aux sols mal drainés et donne aux sédiments une coloration gris bleuté avec des mouchetures orangées produites par l'oxydation du fer. Il est probable que l'horizon C soit constitué de dépôts lacustres. L'homogénéité et la granulométrie de cet horizon suggèrent que les sédiments se sont déposés dans un environnement aquatique relativement stable et à l'écart des rivières et des courants qui alimentaient l'ancêtre du Grand lac Nomingue en sédiments plus grossiers (Robitaille et Allard 2007 : 37).

Les couches 7 et 8 sur la figure 16 s'enfoncent entre les axes 103E et 105E, et ce, de l'axe 50N à l'axe 54N (photo 2). Cette dépression ne doit pas être confondue avec la perturbation interprétée comme étant la fosse d'un ou de plusieurs chablis (Taché *et al.* 2022 : 48), bien que ces deux éléments stratigraphiques se superposent. La dépression coupe les couches 7 et 8, de sorte que leurs surfaces de contact avec la strate 6 sont tronquées. Cette surface d'érosion pourrait correspondre aux limites d'un canal d'environ 1 m de largeur sur au moins 50 cm de profondeur dans ce qui aurait été le paléodelta du Jourdain. Cette interprétation s'appuie en grande partie sur la nature des sédiments retrouvés au fond de cette dépression, dans la couche 10 sur la figure 16. Cette couche particulière est formée d'une alternance de sables lités et de limon argileux gleyifié. Elle se trouve uniquement à l'intérieur des limites de la dépression, ce que la fin de fouille des puits 51N102E (QSE) et 52N105E (QNW) tend à confirmer. Un sondage exploratoire réalisé dans le quadrant sud-ouest du puits 51N104E a permis d'observer le pendage de cette couche (photo 3) et qui suggère un écoulement vers le sud-est, c'est-à-dire vers le lac actuel. D'un point de vue géomorphologique, les stratifications de sables sont typiques des dépôts fluviaux. Ils se déposent dans le lit de cours d'eau à pentes faibles (Robitaille et Allard 2007 : 37). Sachant que le site CcFr-1 se trouve sur une plaine inondable où le ruisseau Jourdain se déverse dans le Grand lac Nomingue, il est possible que cette alternance de sable et de limon argileux dans la couche 10 soit le résultat d'une dynamique de crues. Au printemps, lorsque la neige fond, la plaine est inondée. Des sédiments plus fins, comme le limon argileux, s'y déposent alors, puisque les eaux calmes n'ont pas l'énergie nécessaire pour transporter des sédiments plus grossiers (sables). Pendant la saison chaude, le surplus d'eau est évacué dans le réseau hydrographique et se retire de la plaine inondable. Le retrait des eaux peut créer des canaux à l'intérieur desquels le courant trie et déplace des particules de sable vers l'aval. La dépression qui traverse l'aire de fouilles du nord vers le sud pourrait donc correspondre à l'un de ces canaux anciens dont la formation précède l'occupation humaine du site CcFr-1.

La question de la formation des couches stratigraphiques sur le site CcFr-1 mériterait assurément des analyses sédimentologiques plus poussées, puisqu'elle est intimement liée à l'évolution du paysage et du paléoenvironnement dans lequel vivaient les occupants du site.



Photo 2 Limite est d'un possible canal ayant tronqué l'horizon C entre les axes 103E et 105E (modification de CcFr1-2022_NUM2-415)

La baisse progressive du niveau d'eau du Grand lac Nomingue permet l'émergence de la plaine inondable. L'exposition de ce terreau ouvre la voie à la colonisation végétale, puis à la formation d'un complexe argilo-humique qui, avec le temps et le transfert des matières, se divise en différents horizons (Gobat *et al.* 2010 : 167-168). Dans l'aire de fouilles de 2022, le sol est d'ordre podzolique. Il comporte un horizon Ah relativement riche en matière organique, suivi d'un horizon Ae très sporadique et d'un horizon Bf dont la teinte orangée contraste fortement avec celle des couches supérieures. Les



Photo 3 Couche de sables stratifiés en paroi sud du sondage exploratoire dans le quadrant sud-ouest du puits 51N104E (CcFr1-2022_NUM1-404)

traces d'occupations humaines anciennes se concentrent essentiellement dans l'horizon Ah. La moitié supérieure de cet horizon contient un mélange d'artefacts de différentes périodes (anciennes et récentes) et d'éléments désorganisés de structures de combustion sous-jacentes. La moitié inférieure de l'horizon humique semble pour sa part moins perturbée. Des structures de pierres rouges plus ou moins organisées apparaissent près de la base de l'horizon et sont parfois associées à des cuvettes de sol très foncé dont la couleur se distingue du sol brun orangé dans lequel elles s'enfoncent. Ces structures anciennes sont souvent difficiles à délimiter au sein même de l'horizon Ah, où les contrastes de couleur sont beaucoup plus subtils (voire inexistant) qu'à l'interface avec l'horizon Bf. Pendant la fouille, une partie du contenu des structures délimitées se trouve ainsi involontairement incluse dans le(s) niveau(x) supérieur(s). Ces dernières sont analysées en détail dans la section 4.1.2.2. Quant à l'horizon Bf, il contient parfois de petites quantités de culture matérielle près de son interface avec l'horizon Ah. Quelques artefacts ont aussi été trouvés plus en profondeur dans l'horizon Bf, mais étant isolés, ils doivent plutôt être considérés comme des intrusions, sans doute liées à des phénomènes taphonomiques tels que l'activité racinaire ou celle d'animaux fouisseurs.

Au-dessus de l'horizon Ah se trouve une variété de couches associées aux aménagements modernes du terrain. La plus ancienne de celles-ci est la couche 4 sur la figure K. Elle a été repérée dans les sondages J35, J36, J43, 69N85E (QNE), 71N85E (QNW), 71N102E (QSW), 73N85E (QNE), 76N107E (QSW) et 77N85E (QSW), ainsi que dans les puits 53N104E, l'aire E, 56N105E et 63N85E à 67N85E. Elle n'a pas été repérée dans les sondages J26, J30, J42, 58N111E (QSE), 59N102E (QSW), 61N85E (QSE), 62N105E (QSW) et 62N111E (QSE). L'étendue minimale de cette couche est donc d'environ 24 m dans l'axe nord-sud (53N à 77N) sur environ 22 m dans l'axe est-ouest (85E à 107E). Cette superficie concorde avec celle du terrain de tennis qui se trouvait sur la propriété de Dr Jacques Cartier entre 1949 (terminus antequem) et les années 1970 (figures 17 et 18). Aujourd'hui, la maison de M. Robert Bélanger se

situé sur le site de l'ancien terrain de tennis (photo 4). La position du support à balançoire sur une photographie aérienne de 1955 (à l'est du terrain de tennis) qui est demeuré in situ jusqu'à aujourd'hui confirme cette superposition (figure 18). Des fragments de béton ont été trouvés en association avec cette couche de remblai dans le sondage J43 et dans le puits 53N104E (QNE), soit dans les mêmes zones que les fondations pour le poteau de filet ouest et les poteaux de clôture sud-est sur la figure 18. Cette couche à épaisseur variable représente vraisemblablement un remblai de nivellement compacté afin d'y asseoir le terrain de tennis (USTCTBA et USTA 1998 : 34). Cette interprétation est appuyée par la présence de sillons parallèles à l'interface entre ce remblai et l'horizon Ah sous-jacent dans le puits 56N105E (photo 5). Ces traces pourraient avoir été produites par le godet d'une excavatrice lors de travaux d'aménagement général avant la pose du remblai.

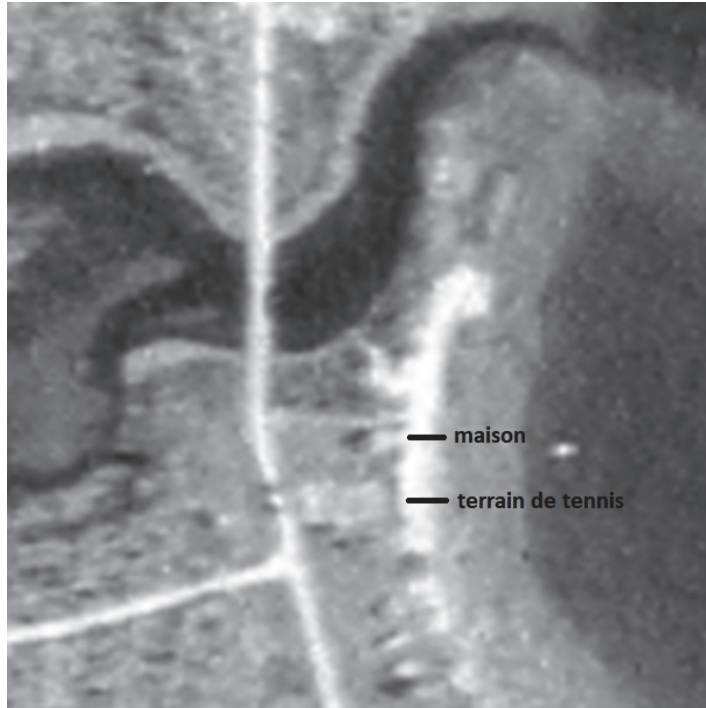


Figure 17 Photographie aérienne prise le 15 octobre 1949 sur laquelle le terrain de tennis et la maison du Dr Jacques Cartier sont visibles (Photothèque nationale de l'air)



Photo 4 Vue aérienne sur les propriétés actuelles de Robert et de Claudie Bélanger (photographie Christophe Chapleau)



Figure 18 Vue aérienne de l'ancienne propriété du Dr Jacques Cartier en 1955 montrant l'emplacement des clôtures du terrain de tennis et du support à balançoire toujours en place aujourd'hui (collection personnelle à Robert Bélanger et Christine Guay)



Photo 5 Sillons parallèles à l'interface entre la couche de remblai et l'horizon Ah sous-jacent dans les quadrants nord du puits 56N105E (modification de CcFr1-2022_NUM2-185)

La couche 5 sur la figure 16 est située dans le même axe que l'escalier menant à la plage et à environ 4 m au nord de celui-ci. Elle est composée de sable de plage et contient un fragment de pierre schisteuse verte (comme dans le sondage J50) très similaire aux pierres de même nature qui dallent l'escalier. Cette couche est donc interprétée comme un remblai de nivellement associé à la construction de l'escalier au courant des années 1970 (Taché *et al.* 2022 : 69).

Le prochain événement enregistré dans la stratigraphie de l'aire de fouilles est la tranchée liée à l'installation d'un câble de télévision qui relie une antenne extérieure à la maison de M. Robert Bélanger. Le câble a été mis au jour dans les puits 52N106E, 52N107E et 53N104E. La tranchée a été repérée en cours de fouille (photo 6) et en stratigraphie.

La couche 3 sur la figure 16 (qui correspond à la couche 2 sur la figure 15) est postérieure à l'installation du câble de télévision. Cette couche se trouve aussi dans les sondages J27 et J29 ainsi que dans les puits 53N100E. Son épaisseur variable suggère qu'il s'agit d'un remblai de nivellement peut-être associé à un événement de pose ou d'ensemencement de tourbe.

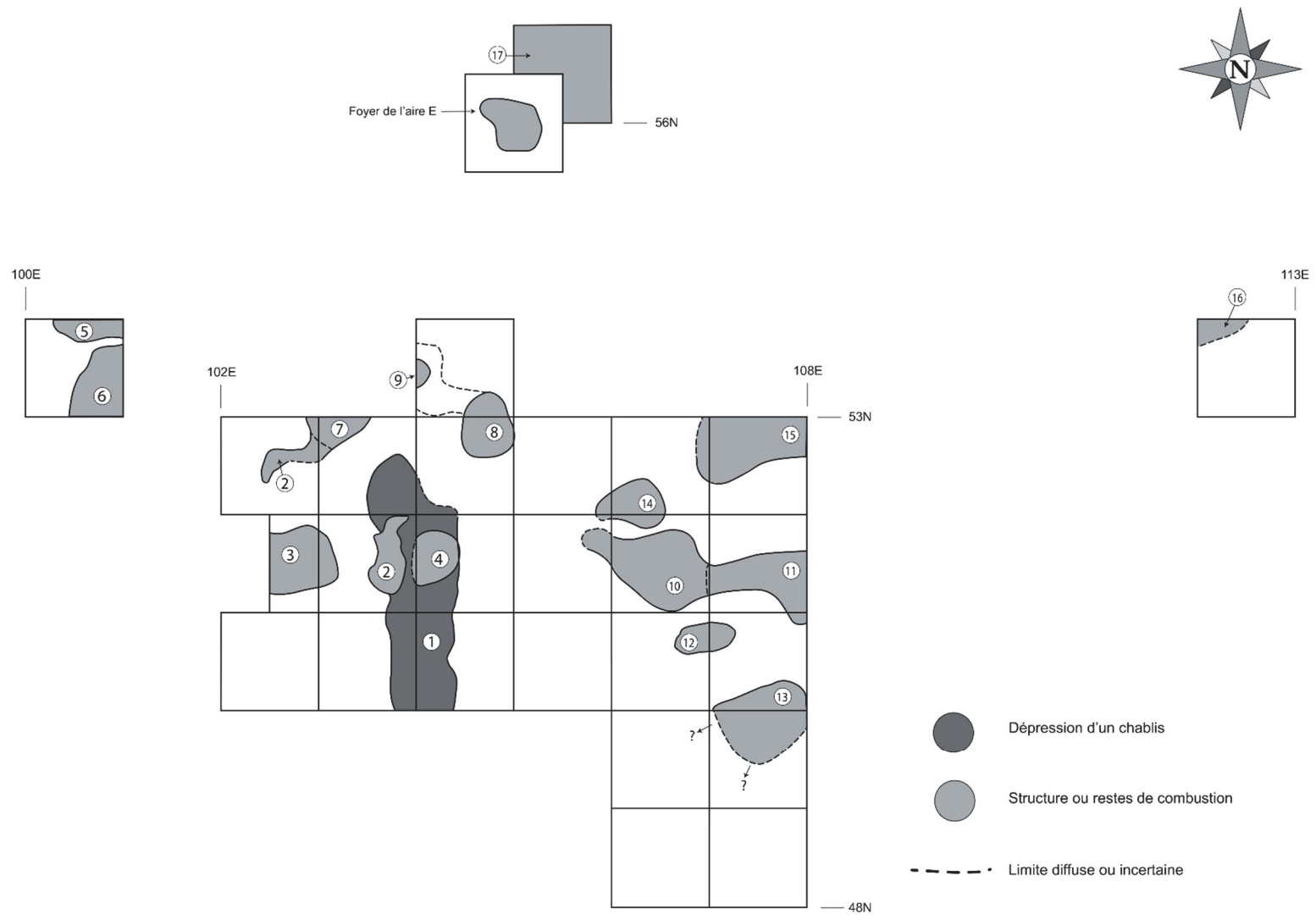


Photo 6 Tranchée liée à l'installation du câble de télévision dans le puits 52N107E (modification de CcFr1-2022_NUM2-68)

4.1.2.2 Synthèse des structures, témoins de combustion et perturbations

La fouille en damier a permis de documenter de nouvelles structures ou témoins de combustion dans l'aire de fouilles en plus de continuer à circonscrire les contextes mis au jour en 2021 (plan 4, tableau 5). Par souci de définition, une cuvette de foyer est un ensemble de témoins de combustion associés à une dépression nettement délimitable dans le sol. Elle indique la position d'un foyer. Les restes de foyer ne sont cependant pas toujours associés à une cuvette. Ces « témoins de combustion » peuvent être dispersés sur une certaine « aire de combustion » de manière plus ou moins délimitable dans le sol.

Par ailleurs, l'extraction des souches effectuée en 2020 a affecté de façon significative le tissu archéologique et la matrice du sol en place. Cette perturbation a entraîné une certaine difficulté à circonscrire les structures de combustion en 2021. L'exercice interprétatif de 2021 a aussi été limité par le seul accès à des contextes partiels, une conséquence de la stratégie de fouille en quinconce. La finalisation de la fouille dans l'aire principale permet maintenant de préciser le nombre de structures présentes, leur étendue et leurs caractéristiques respectives.



Plan 4 Structures, témoins de combustion et perturbation identifiées dans l'aire de fouilles principale du site CcFr-1

Tableau 5 Étendue et niveaux associés aux structures, aux témoins de combustion et à la perturbation identifiées dans l'aire de fouilles principale du site CcFr-1

| Structure/perturbation/témoins | Identification | Photo(s) | Puits, quadrants et niveaux associés | | | Année(s) de fouille |
|--------------------------------|--------------------------|----------|--------------------------------------|--------------------|------------------------|---------------------|
| | | | | | | |
| 1 | chablis | 7 et 8 | 50N103E | QNE, QSE | 5a, 5b, 5c, 5d | 2021, 2022 |
| | | | 50N104E | QNW, QSW | 3 | |
| | | | 51N103E | QNE, QSE | 3c, 3d | |
| | | | 51N104E | QNW, QSW | 5a, 5b, 5c, 7a, 7b | |
| | | | 52N103E | QNE, QSE | 5a, 5b, 5c | |
| | | | 52N104E | QSW | - | |
| 2 | témoins de combustion | 14 | 51N103E | QNE, QSE | 3b | 2021 |
| | | | 52N102E | QNW, QNE, QSE, QSW | 4 | |
| 3 | cuvette de foyer | 9 | 51N102E | QNE, QSE | 1c, 3a, 3b, 4a, 4b, 5 | 2021, 2022 |
| | | | 51N103E | QNW, QSW | 3b, 3c, 4 | |
| 4 | cuvette de foyer | 10 | 51N104E | QNW, QSW | 2b, 4 | 2022 |
| 5 | cuvette de foyer | 11 | 53N100E | QNW, QNE | 2b, 2c, 3, 5a | 2022 |
| 6 | cuvette de foyer | 11 | 53N100E | QNE, QSE, QSW | 2b, 2c, 4 | 2022 |
| 7 | cuvette de foyer | 13 et 14 | 52N102E | QNE | 4 | 2021, 2022 |
| | | | 52N103E | QNW | 2a, 2b, 3a, 4 | |
| 8 | cuvette de foyer | 15 | 52N104E | QNW, QNE | 3, 4, 5 | 2021, 2022 |
| | | | 53N104E | QSE | 5 | |
| 9 | témoins de combustion | 16 | 53N104E | QNW, QSW | 4a, 4b | 2022 |
| 10 | aire et cuvette de foyer | 17 | 51N105E | QNE | 3, 4 | 2021, 2022 |
| | | | 51N106E | QNW, QNE, QSE, QSW | 2a, 2b, 3a, 3b, 3c, 5a | |
| 11 | témoins de combustion | 18 | 50N107E | QNE | 2b | 2017, 2022 |
| | | | 51N107E | QNW, QNE, QSE, QSW | 3, 4 | |
| 12 | témoins de combustion | 19 | 50N106E | QNE | 2 | 2021, 2022 |
| | | | 50N107E | QNW | 2b, 3a | |
| 13 | témoins de combustion | 20 | 49N107E | QNW, QNE | 2, 3, 4 | 2017, 2022 |
| | | | 50N107E | QSE, QSW | 2a, 2b, 3a, 4 | |
| 14 | cuvette de foyer | 17 et 21 | 51N105E | QNE | - | 2021, 2022 |
| | | | 51N106E | QNW | 4 | |
| | | | 52N105E | QSE | 2b | |
| | | | 52N106E | QSW | 3 | |
| 15 | témoins de combustion | 21 et 22 | 52N106E | QNE, QSE | 3 | 2021, 2022 |
| | | | 52N107E | QNW, QNE, QSW | 2b, 2c, 3a, 3b | |
| 16 | témoins de combustion | - | 53N112E | QNW | 1, 2a | 2022 |
| 17 | témoins de combustion | 24 | 56N105E | QNW, QNE, QSE | 4, 5, 6a | 2022 |

Chablis (1)⁸

Une profonde dépression contenue dans les puits 50N103E, 50N104E, 51N103E, 51N104E, 52N103E et 52N104E a été fouillée en partie en 2021 (Taché *et al.* 2022 : 48). Elle est large d'environ 70 cm, longue d'au moins 2,5 m, se poursuit vers le sud et se situe entre 20 cm et 75 cm sous la surface⁹ de la tourbe (figure 16). Cette couche hétérogène contient un mélange de sable limoneux brun, brun foncé et brun orangé, des écofacts et artefacts anciens, des restes de charbon de bois et des pierres rougies. La formation de cette dépression serait vraisemblablement due à un événement de chablis, soit la chute et le déracinement d'un ou plusieurs arbres. Brown et Martel (1981 : 88) notent que la quantité de sédiments déplacée par la chute d'un arbre est fonction, notamment, de son type d'enracinement, de sa taille et de sa vigueur. Les arbres morts déplacent moins de sol alors que les arbres en pleine croissance, bien ancrés, peuvent déplacer une quantité considérable de sédiments. Ces auteurs envisagent le chablis comme une sorte de « charrue de la nature ». L'effet de chablis sur un site archéologique a déjà été documenté ailleurs dans le Nord-Est américain, notamment sur le site Plano (DcEd-1) de Rimouski (Chapdelaine, Bourget et Dumon 1992) et sur le site Vail dans le Maine (Gramly 1985).

Un argument en faveur de cette hypothèse est la transition nette entre l'horizon Bf meuble et l'horizon C compact dans cette partie du site. Toutes les espèces d'arbres ne possèdent pas la même architecture au niveau du système racinaire — certaines ont des racines qui plongent profondément et verticalement dans le sol (p. ex. le chêne rouge), d'autres ont un système racinaire peu profond qui s'étend à l'horizontale (p. ex. le peuplier faux-tremble). L'arbre ou la chaîne d'arbres qui aurait subi le chablis aurait eu un système racinaire relativement profond et développé puisque la dépression contient un volume important de sédiments (figure 19). Comme l'horizon C est plus difficile à pénétrer que l'horizon Bf, les racines auraient arraché le sol meuble jusqu'à l'interface avec la couche compacte. De surcroît, ce n'est probablement pas un hasard si ce déracinement a eu lieu à l'intérieur des limites du potentiel canal qui traverse l'aire de fouilles, c'est-à-dire à l'endroit où une rupture sédimentologique a pu créer une faiblesse structurale dans la colonne du sol. Il faut dire également que le bord du Grand lac Nominique est un endroit propice aux chablis, ce que confirme M. Robert Bélanger par expérience, puisque cette vaste étendue d'eau ne présente aucun obstacle à la circulation de vents violents.

Certains éléments relatifs à la culture matérielle à l'intérieur de la dépression appuient également l'hypothèse du chablis. Premièrement, lors d'un déracinement, ce sont les éléments exposés les plus lourds qui chutent de la galette racinaire en premier. En effet, au fond de la fosse se trouvait une accumulation de pierres rougies ou arénisées mélangée à quelques os

⁸ Le numéro d'identification des structures, des témoins de combustion et de la perturbation indiqué entre parenthèses correspond à celui sur le plan 4 et dans le tableau 3.

⁹ Toutes les profondeurs mentionnées dans cette section du rapport sont relatives à la surface de la tourbe, et jamais en fonction d'un point de référence utilisé en cours de fouille.

blanchis (photo 7). De plus, en dehors de la fosse de chablis, aucune pierre n'est présente à l'interface des couches 9 et 10.

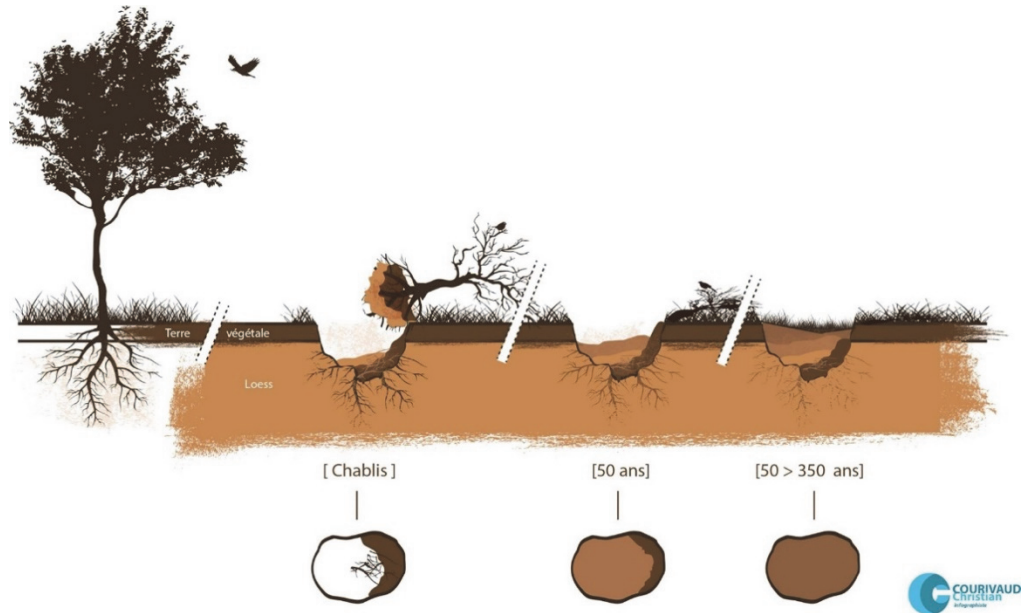


Figure 19 Effet d'un chablis sur les sols (source : Antea archéologie)



Photo 7 Pierres rougies au fond de la profonde dépression dans les quadrants ouest du puits 50N104E (modification de CcFr1-2021_NUM1-134)

Deuxièmement, pour les artefacts lithiques mis au jour, essentiellement les mêmes matières premières (cherts Onondaga et Kichisipi, quartzite de Mistassini, quartz hyalin) se retrouvent dans tous les niveaux, sous-niveaux et quadrants qui subdivisent la structure. La coprésence de ces matières premières lithiques minimise la possibilité d'identifier une tendance significative dans leur distribution verticale. Par conséquent, elle suggère soit une utilisation conjointe de ces matières au fil du temps de comblement de la dépression, soit un mélange indifférencié des artefacts lithiques appartenant à plusieurs occupations humaines.

Troisièmement, concernant la céramique, la distribution de plusieurs unités de vase et groupes de tessons suggère que les vestiges de plusieurs occupations en place dans l'ouest de l'aire de fouilles ont été arrachés par le déracinement et redéposés de manière désordonnée à différentes profondeurs dans la dépression du chablis. C'est le cas pour certains tessons de panse potentiellement associables à l'unité de vase 11, des tessons associés aux unités de vase 17, 22, 23 et 24, et un groupe de tessons de panse potentiellement associable à l'unité de vase 24 (tableau 6). La quasi-totalité des autres tessons associés à ces regroupements provient des puits 50N102E (niv. 2 et 3), 50N103E (niv. 2a et 2b), 51N102E (niv. 1b et 1c), 51N103E (niv. 3a et 3b) et 52N103E (niv. 2b), soit à l'ouest de la profonde dépression. La distribution désordonnée du matériel céramique explique, par analogie, celle du matériel lithique, lequel se retrouve systématiquement associé de façon contextuelle.

Tableau 6. Tessons associés à une unité de vase retrouvés dans la dépression du chablis

| UV | N° catalogue | Puits | Quadrant | Niveau et profondeur sous la surface du sol (cm) | Nb tessons |
|--------|--------------|---------|----------|--|------------|
| UV11 ? | 359 | 50N104E | NW | 3 (54) | 1 |
| | 371 | 50N104E | SW | 3 (58) | 1 |
| | 1215 | 51N104E | SW | 5a (10/17 - 19/29) | 1 |
| | 1389.1 | 52N103E | SE | 5b (26/33 - 39/44) | 1 |
| UV17 | 969 | 50N103E | SE | 5a (22/25 - 34/35) | 2 |
| | 1218 | 51N104E | NW | 5b (30) | 3 |
| | 1382 | 52N103E | SE | 5a (27) | 1 |
| | 1383 | 52N103E | SE | 5a (26) | 1 |
| | 1384 | 52N103E | SE | 5a (16/24 - 26/29) | 1 |
| | 1387 | 52N103E | SE | 5b (36) | 1 |
| | 1388 | 52N103E | SE | 5b (40) | 1 |
| UV22 | 1710 | 50N103E | SE | 5b (34/35 - 43/51) | 2 |
| | 386 | 50N104E | SE | 4c (31) | 1 |
| UV23 | 372.1 | 50N104E | SW | 3 (20 - 84) | 2 |
| UV24 | 1390 | 52N103E | SE | 5b (26/33 - 39/44) | 1 |
| UV24 ? | 974 | 50N103E | NE | 5b (34/35 - 43/51) | 1 |
| | 357 | 50N104E | NW | 3 (23) | 2 |

Pendant la fouille des quadrants ouest du puits 51N104E, une distinction a été notée entre les niveaux 5 et 7 à l'intérieur de la dépression du chablis. Le niveau 7, situé entre 43 à 75 cm sous la surface, représente une lentille de sable limoneux plus foncé ayant une plus grande proportion de charbon de bois et de cendres. Cette lentille est visible sur la paroi est du puits 51N103E et a été représentée dans la figure 16. L'hypothèse en cours de fouille était qu'il s'agissait peut-être d'un lambeau de foyer plus ou moins intact. Des petites pierres chauffées et des fragments d'os blanchis (n=81) mis au jour dans le niveau 7 suggèrent effectivement qu'il comporte des restes de combustion. Cette lentille s'étendait dans la moitié est du niveau 3 (40/55 à 75 cm) du puits 51N103E, et ce à partir d'environ 55 cm de profondeur. Elle n'a pas été distinguée dans le niveau 5 du puits 50N103E ni dans le niveau 3 du puits 50N104E. La présence de petits nodules d'argile dans la lentille, sans doute en provenance de l'horizon C, sème un doute raisonnable sur l'intégrité stratigraphique de ce reste de structure. Cette intrusion d'argile est peut-être une conséquence du chablis, lequel aurait mélangé les sédiments de différents horizons. Ni la distribution des matières premières lithiques ni celle de la céramique ne permet de différencier le contenu de la lentille par rapport au contenu du reste de la dépression. Par conséquent, il semble que la lentille ne représente pas une structure intacte.

La fouille du puits 52N103E a permis de mettre au jour dans le quadrant sud-est le reste d'une cuvette de sable limoneux brun très foncé à noir, d'apparence hétérogène, qui s'enfonçait dans l'horizon Bf inférieur (niveau 5). Celle-ci se situait entre 16 cm et 57 cm de profondeur. Son point le plus profond se trouve près de la paroi sud. La séquence stratigraphique de la paroi sud du quadrant sud-est (photo 8) suggère un possible renversement ou mélange des couches, lequel pourrait bien être une conséquence du chablis. Cette inversion stratigraphique de sable limoneux beige et brun foncé est cohérente avec le mélange de sédiments retrouvé ailleurs dans la dépression du chablis. La dépression du puits 52N103E comprend plusieurs pierres rougies, os blanchis (n=139), tessons de céramique (n=10) et éclats (n=7). Parmi la céramique, les unités de vase 17 (n=5) et 24 (n=1) y sont représentées, en plus d'un tesson (n° 1389.1) qui est potentiellement associable à l'unité de vase 11. De manière définitive (UV17) ou potentielle (UV11 et UV24), ces trois regroupements se retrouvent ailleurs dans la profonde dépression (tableau 6).



Photo 8 Mélange de sédiments en paroi sud du quadrant sud-est du puits 52N103E (modification de CcFr1-2021_NUM1-160)

Les parois stratigraphiques ouest et sud du puits 52N104E suggèrent que l'extrémité nord de la dépression s'étendait également jusque dans le quadrant sud-ouest. Elle n'a toutefois pas été repérée au cours de la fouille en 2021. La présence du tesson n° 663, potentiellement associable à l'unité de vase 11, dans le niveau 3 (20 à 30 cm) du quadrant sud-ouest et du tesson n° 682 (UV17) à l'intérieur du puits suggère néanmoins un lien avec la dépression du chablis.

La chronotypologie des unités de vase retrouvées à l'intérieur de la profonde dépression suggère encore (Taché *et al.* 2022 : annexe A, p. 3) que la date la plus ancienne qui puisse être associée au remblayage de cette perturbation est de ± 500 EC, soit le début du Sylvicole moyen tardif.

Témoins de combustion (2)

Dans la moitié est du puits 51N103E, une concentration de sable limoneux noirâtre de forme irrégulière a été observée dans le niveau 3 (20 à 30 cm). Elle rejoint la cuvette dans le quadrant sud-est du puits 52N103E. Les limites de cette concentration se superposent à celles de la dépression sous-jacente qui est associée au chablis. Il semble qu'au moins une partie de cette concentration puisse représenter un lambeau relativement intact d'une aire de combustion qui aurait été tronquée par le déracinement. La concentration contient effectivement plusieurs artefacts qui se retrouvent également dans la profonde dépression, dont quatre tessons de l'unité de vase 11 et trois qui lui sont potentiellement associables ainsi qu'un tesson de l'unité de vase 17. Le contenu en céramique de cette concentration est similaire à celui du niveau 4 (23 à 29 cm) du puits 52N102E, dans lequel les unités de vase 11 et 21 sont aussi représentées. Les deux dépôts pourraient correspondre aux lambeaux d'une même surface d'occupation qui s'étalait dans l'ouest de l'aire de fouilles.

Cuvette de foyer (3)

Des sédiments noirâtres contenant du charbon et des pierres chauffées ont été mis au jour en 2021 dans les quadrants ouest du niveau 3 du puits 51N103E, en plus d'une lentille de sol cendreuse qui semblait se prolonger dans le puits 51N102E. Situés entre 20 cm et 40 cm de profondeur, ces témoins de combustion suggéraient la présence d'un foyer qui semblait se prolonger dans le puits 51N102E. La fouille des quadrants est du puits 51N102E a en effet permis de mettre au jour une cuvette de foyer relativement bien conservée. Elle possède une longueur minimale d'environ 65 cm (ouest-est) et une largeur d'environ 50 cm (nord-sud). Ses limites verticales se situent entre 25 cm et 50 cm de profondeur. Elle se prolonge dans les quadrants ouest du puits, comme le montre la stratigraphie de la paroi attenante (photo 9, tableau 7, figure 20). Ceux-ci n'ont cependant pas été fouillés puisqu'ils supportent la souche d'un cèdre vivant. Le haut de la cuvette est caractérisé par un sol organique noir, riche en fragments de charbon et en os blanchis. Le fond de la cuvette contient un mélange de sédiments organiques et de sable limoneux brun orangé associé à la couche sous-jacente. Les sédiments de l'horizon Bf entourant la cuvette sont en partie rubéfiés, ce qui atteste d'un événement de combustion ayant favorisé leur oxydation. En combinant le contenu associé à la cuvette dans les puits 51N102E et 51N103E, elle compte un total de 98 tessons en céramique, 30 éclats, 4 outils lithiques et 1778 fragments d'os. Il est fréquent que le choix des niveaux à intégrer dans une structure soit imparfait, car cela peut entraîner l'inclusion de données non pertinentes tout en excluant des données associées qui devraient y figurer. Le cas de la structure 3 illustre bien ce biais d'échantillonnage. Le niveau 1b du puits 51N102E n'a pas été inclus parce qu'il contient quelques tessons de plusieurs unités de vase (UV9, UV10, UV11?, UV17 et UV21) qui ne sont probablement pas contemporaines à la cuvette de foyer, ce qui suggère que d'autres objets dans ce niveau pourraient également être intrusifs, dont les deux petits fragments d'ocre rouge (voir photo 27). Il contient aussi cependant 14 tessons de l'unité de vase 18 et une concentration très importante (n=1243) d'os blanchis qui, eux, sont vraisemblablement associables à la structure.

La distribution des tessons de l'unité de vase 18 suggère effectivement qu'il ait été abandonné dans la structure 3, puisqu'environ 64 % (n=44/69) des tessons ont été trouvés à l'intérieur ou au-dessus de la cuvette. Le vase s'est peut-être brisé pendant une cuisson ou a été placé dans la cuvette de manière intentionnelle. Le lien étroit entre cette poterie et la structure 3 permet de croire que ce contexte d'occupation est antérieur au chablis qui se trouve à moins d'un mètre à l'est.

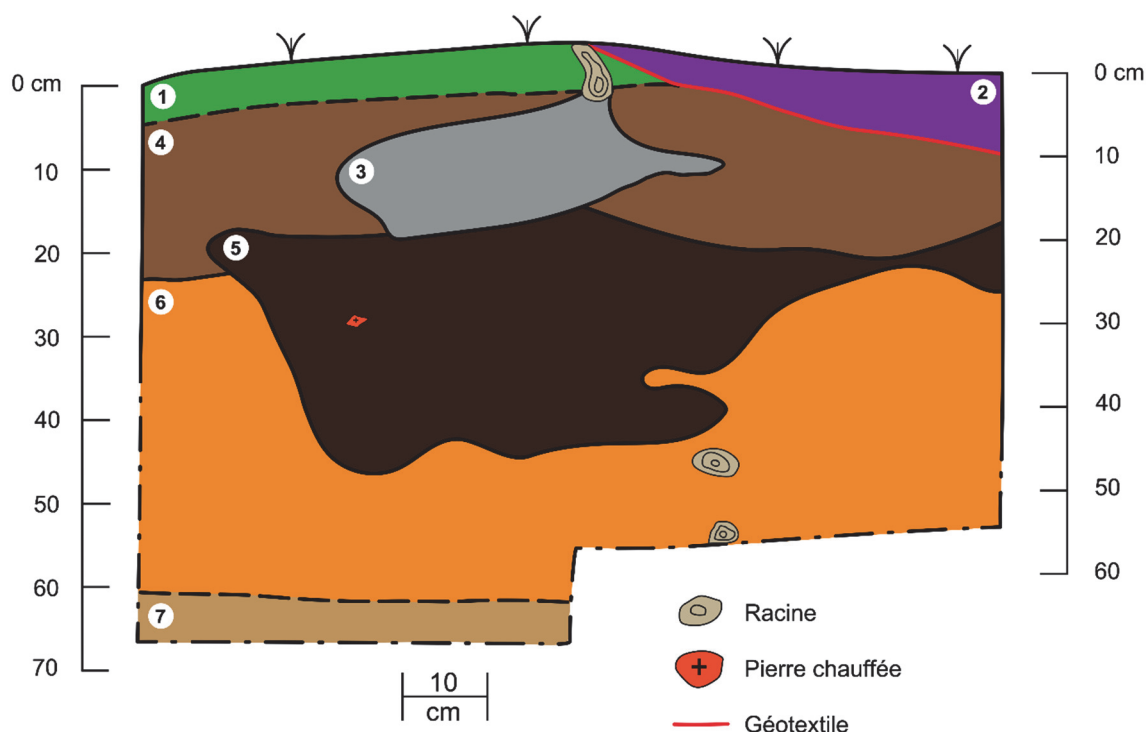


Photo 9 Profil d'une cuvette de foyer en paroi ouest des quadrants nord-est et sud-est du puits 51N102E (modification de CcFr1-2022_NUM2-107)

Tableau 7 Corrélation entre les couches stratigraphiques de la paroi ouest des quadrants nord-est et sud-est et les niveaux fouillés du puits 51N102E

| Couches | Niveaux |
|--|-------------------|
| 1 - aménagement de surface moderne | 1a |
| 2 - remblai des travaux d'essouchage en 2020 | 1a |
| 3 - fosse de plantation ou terrier (?) | 2 |
| 4 - horizon Ah | 1a, 1b, 1c |
| 5 - structure de combustion | 1c, 3a, 3b, 3c, 5 |
| 6 - horizon Bf | 4a, 4b, 4c, 4d |
| 7 - horizon C | 4d |

Figure 20 CcFr-1, stratigraphie de la paroi ouest des quadrants nord-est et sud-est du puits 51N102E



1. Tourbe de surface suivie d'un sable limoneux brun, meuble, interface inférieure nette.
Interprétation : Aménagement de surface moderne.

2. Remblai des travaux d'essouchage de 2020 (souche 1).

3. Mélange de sable limoneux gris, brun et brun orangé, hétérogène, meuble, contenant quelques artefacts et écofacts anciens.
Interprétation : Fosse de plantation ou terrier d'un animal fouisseur (?).

4. Sable limoneux brun foncé relativement homogène et organique, meuble, contenant des racines et radicelles, des artefacts et écofacts récents et anciens, des traces plus ou moins concentrées de charbon de bois et des pierres rougies entières et fragmentées plus ou moins organisées entre elles, transition graduelle sur 5-10 cm vers la couche 6.
Interprétation : Horizon Ah, surface d'occupations récentes et anciennes.

5. Sable limoneux brun foncé à noir, relativement hétérogène, meuble, contenant des racines et radicelles, des artefacts et écofacts anciens, des pierres rougies, arénisées et/ou fracturées au contact avec la chaleur et des proportions élevées de charbon de bois, transition graduelle sur 10 cm vers la couche 6.
Interprétation : Ancienne structure de combustion.

6. Sable limoneux brun orangé, homogène, meuble, contenant des racines et radicelles, parfois quelques artefacts et écofacts près de l'interface supérieure de la couche et des sédiments rubéfiés à proximité de la couche 5, transition graduelle sur 5-10 cm vers la couche 7.
Interprétation : Horizon Bf.

7. Limon argileux beige, homogène, moyennement compact, ne contenant aucune culture matérielle.
Interprétation : Horizon C.

Cuvette de foyer (4)

Lors de la fouille des quadrants ouest du niveau 2b du puits 51N104E, une aire de combustion de forme circulaire bien définie et ayant un diamètre d'environ 45 cm a été mise au jour, près de l'interface avec l'horizon Bf. Le sommet du foyer est situé à environ 12 cm de profondeur et sa base à 20 cm. Il a été fouillé en tant que niveau indépendant (niveau 4). La cuvette repose sur la couche de sédiments mélangés du chablis. La matrice qui la remplit est composée de sable limoneux brun foncé à noir et comprend des fragments de charbon de bois, des pierres rougies et des cailloux. Des traces de rubéfaction ont été observées sur le pourtour de la cuvette. En combinant les données des quadrants ouest des niveaux 2b et 4, un total de 177 fragments d'os blanchis, 11 tessons de céramique, 18 éclats, deux grattoirs et un fragment de graphite (dont l'origine anthropique est difficile à confirmer) peuvent être associés à la structure. Malheureusement, les artefacts du niveau 2a (3/6 à 10/15 cm) ont été perdus à l'étape du triage. Il est probable qu'une partie du contenu de la cuvette se trouvait dans ce niveau. Les notes de fouille mentionnent la présence d'os blanchis, de tessons en céramique (dont un tesson de bord), d'éclats, d'un grattoir et d'un autre fragment de graphite.

Le bon état de conservation de la structure suggère qu'elle est vraisemblablement postérieure au chablis. La présence de deux tessons (n° 1202) de l'unité de vase 18 à l'intérieur de la structure 4 semble donc être une intrusion.



Photo 10 Cuvette de foyer circulaire dans les quadrants ouest du puits 51N104E (modification de CcFr1-2022_NUM1-225)

Cuvettes de foyer (5 et 6)

L'ouverture du puits 53N100E a été motivée par le potentiel archéologique élevé du secteur révélé par la fouille en 2016 du sondage J29 qui lui est adjacent. Deux cuvettes, représentant les niveaux 3 (structure 5) et 4 (structure 6) du puits, ont été identifiées entre environ 28 cm et 50 cm de profondeur, à l'interface avec l'horizon Bf (photo 11). Elles étaient séparées par une bande de sol d'environ 10 cm de largeur sur laquelle se trouvaient plusieurs traces circulaires brun foncé de diamètre variable. Bien qu'il soit tentant d'y voir des trous de piquets, ces traces en tout point semblables à celles identifiées entre 30-40 cm de profondeur dans le sondage J29 (Taché et Lamothe 2017 : 38) représentent probablement des racines décomposées. Ceci suggère que les deux cuvettes ont pu être perturbées par l'activité racinaire et par le déracinement. Cela dit, l'homogénéité relative des sédiments à l'intérieur des cuvettes ne concorde pas avec l'hypothèse d'un chablis.

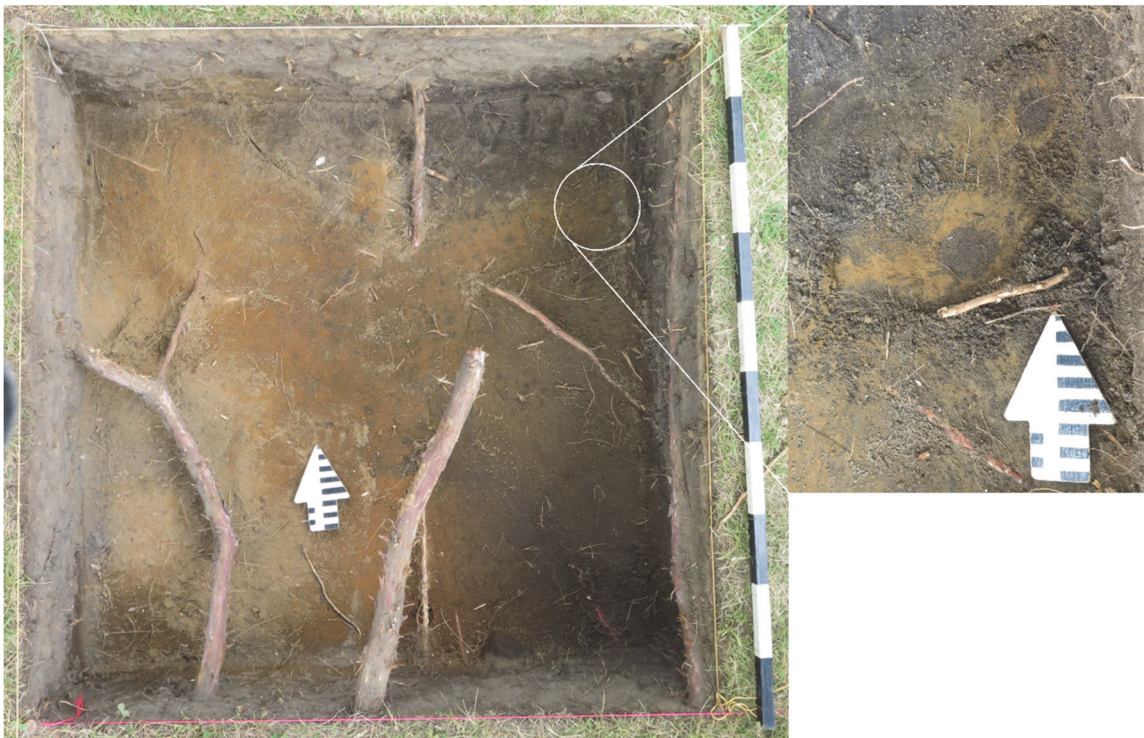


Photo 11 Cuvettes de foyer et traces circulaires à l'interface avec l'horizon Bf dans le puits 53N100E (modification de CcFr1-2022_NUM1-327 et -333)

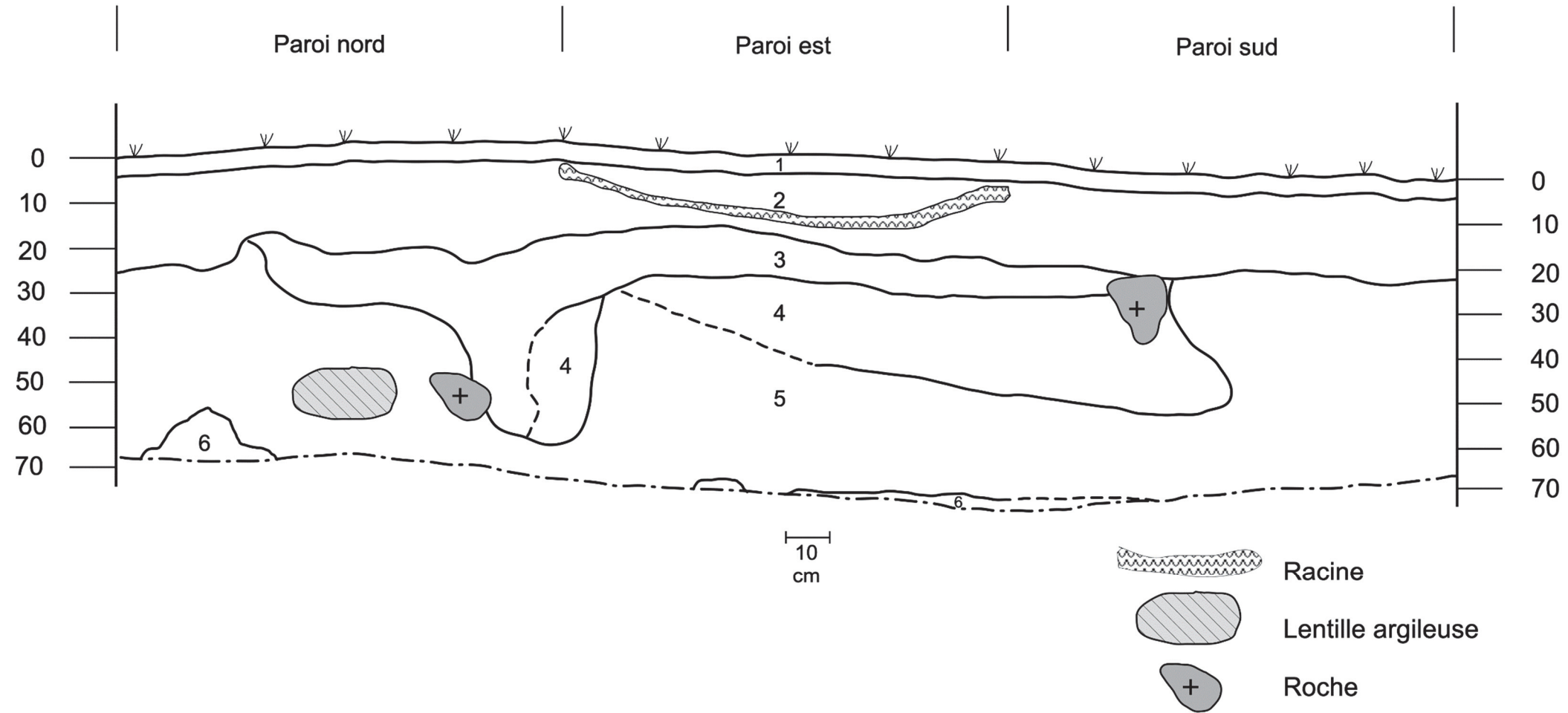
Les deux structures pourraient correspondre à des foyers appartenant l'un et l'autre à des surfaces d'occupation plus étendues. Telles que définies en cours de fouille, les structures sont relativement pauvres en culture matérielle, mais une partie de leur contenu se trouve certainement dans la couche supérieure qui s'avère particulièrement riche. En jumelant les observations relatives à la couche supérieure, qui correspond aux niveaux 2b et 2c du puits, à celles des niveaux 3 et 4, il apparaît que les structures 5 et 6 représentent probablement

des aires de combustion. Elles sont associées à d'importantes concentrations d'os blanchis (n=2097, dont 84 % dans les quadrants sud) et d'éclats (n=248, dont 61 % dans les quadrants sud) retrouvées en grande partie dans des zones de sédiments noircis par le charbon de bois et plus ou moins délimitées par des pierres rougies ou arénisées par le contact avec le feu. Les témoins de chauffe sont aussi visibles par les quelques éclats du quadrant sud-ouest du niveau 2b qui ont des cupules thermiques. Des traces de cendre ont aussi été repérées dans la zone de sédiments noircis du quadrant nord-est, associée à la structure 5. De plus, des sédiments rubéfiés ont été observés à l'interface supérieure de l'horizon Bf, lors de la fouille du niveau 4a, associé à la structure 6. Pour l'instant, il est difficile de dire si les deux structures sont contemporaines ou non, bien que leur profondeur et leur profil (tableau 8, figure 21) soient similaires. Les seuls artefacts diagnostiques sur le plan chronologique qui ont été retrouvés à l'intérieur des structures sont un groupe de tessons décorés d'ondulations de type quadrangulaire (Clermont et Chapdelaine 1982 : 77-78) mis au jour dans la structure 5. Cette unité décorative est typiquement associée aux productions céramiques du Sylvicole moyen ancien. Les tessons de poterie dans les niveaux 2b et 2c présentent toutefois des unités décoratives associées à chaque sous-période entre le Sylvicole moyen ancien et le Sylvicole supérieur ancien. Cette couche contient un mélange d'artefacts datant aussi de la période de contact et de la période historique moderne. Elle comprend entre autres cinq fragments d'un objet en os décoré de rainures (un sixième fragment a été trouvé dans le niveau 1b du puits 51N102E) (planche 1), huit matières premières représentées par 281 éclats et trois grattoirs, quatre éclats en possible silex européen et une perle en verre noir opaque de type IIa7 (Kidd et Kidd 2012, planche 2) dont la présence pourrait être liée au même événement qui a mené à la déposition de la perle noire de type Ia2 retrouvée en 2021 dans le niveau 2 du puits 52N102E.

Tableau 8 Corrélation entre les couches stratigraphiques et les niveaux fouillés du puits 53N100E

| Couches | Niveaux |
|--|------------------------|
| 1 - aménagement de surface moderne | 1 |
| 2 - horizon Ah | 2a, 2b, 2c |
| 3 - structures et restes de combustion | 2b, 2c, 3a, 3b, 4a, 4b |
| 4 - fond mélangé de structures de combustion | 3a, 3b, 4a, 4b |
| 5 - horizon Bf | 5a, 5b, 6 |
| 6 - horizon C | 6 |

Figure 21 CcFr-1, stratigraphie des parois nord, est et sud du puits 53N100E



1. Tourbe de surface suivie d'un sable limoneux brun, meuble, interface inférieure nette.
Interprétation : Aménagement de surface moderne.

2. Sable limoneux brun foncé relativement homogène et organique, meuble, contenant des racines et radicelles, des artefacts et écofacts récents et anciens, des traces plus ou moins concentrées de charbon de bois et des pierres rougies entières et fragmentées plus ou moins organisées entre elles, transition graduelle sur 5 cm vers les couches 3 et 5.
Interprétation : Horizon Ah, surface d'occupations récentes et anciennes.

3. Sable limoneux brun foncé à noir, relativement hétérogène, meuble, contenant des racines et radicelles, des artefacts et écofacts anciens en grande majorité, des pierres rougies, arénisées et/ou fracturées au contact avec la chaleur et des proportions élevées de charbon de bois, transition graduelle sur 5-10 cm vers les couches 4 et 5.
Interprétation : Anciennes structures de combustion.

4. Mélange de sable limoneux brun, brun foncé et brun orangé, hétérogène, meuble, contenant des racines et radicelles, des artefacts et écofacts anciens, des traces plus ou moins concentrées de charbon de bois et quelques pierres rougies, transition graduelle sur 5-10 cm vers la couche 5.
Interprétation : Fond des structures de combustion, perturbé par l'activité taphonomique.

5. Sable limoneux brun orangé, homogène, meuble, contenant des racines et radicelles, parfois quelques artefacts et écofacts près de l'interface supérieure de la couche et des sédiments rubéfiés à proximité de la couche 3 en paroi sud, transition graduelle sur 5 cm vers la couche 6.
Interprétation : Horizon Bf.

6. Limon argileux beige, homogène, moyennement compact, ne contenant aucune culture matérielle.
Interprétation : Horizon C.

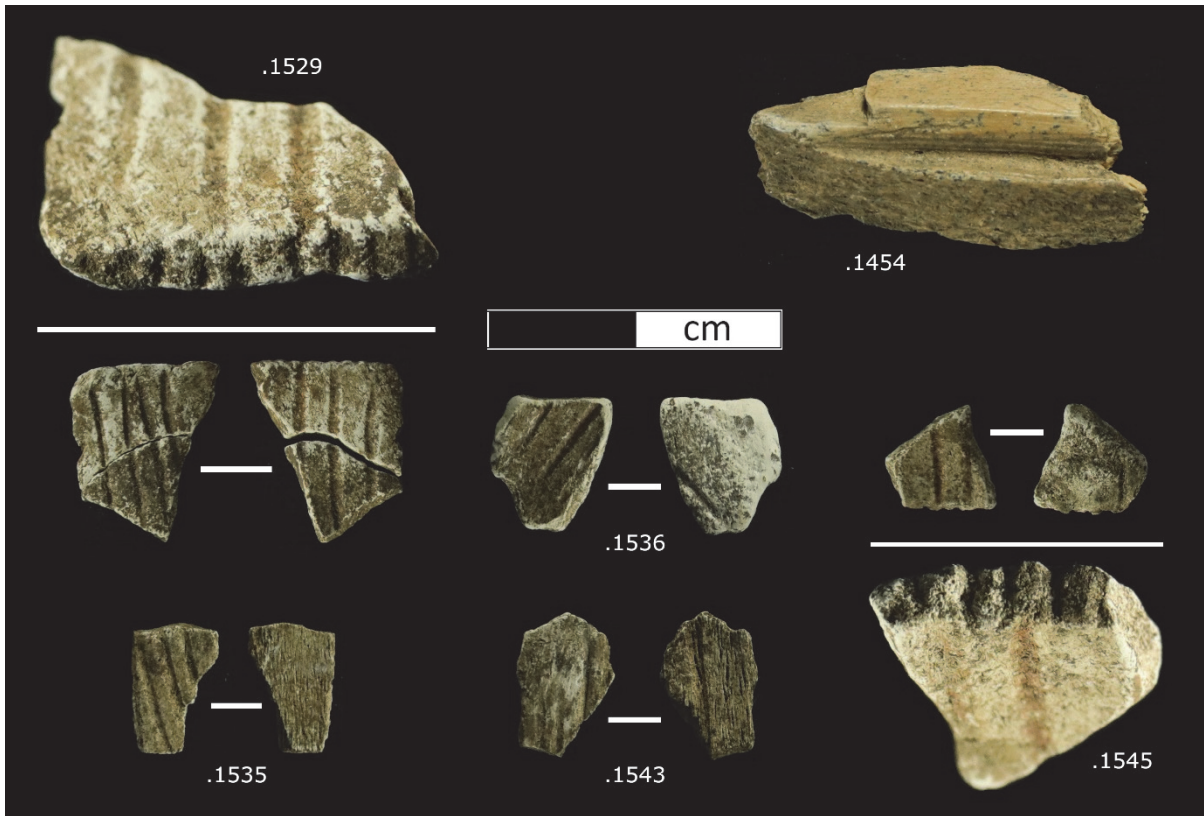


Planche 1 Fragments d'un objet en os décoré de rainures trouvés dans les puits 51N102E et 53N100E et fragment (.1454) d'un objet en os rainuré et poli trouvé dans le puits 52N107E

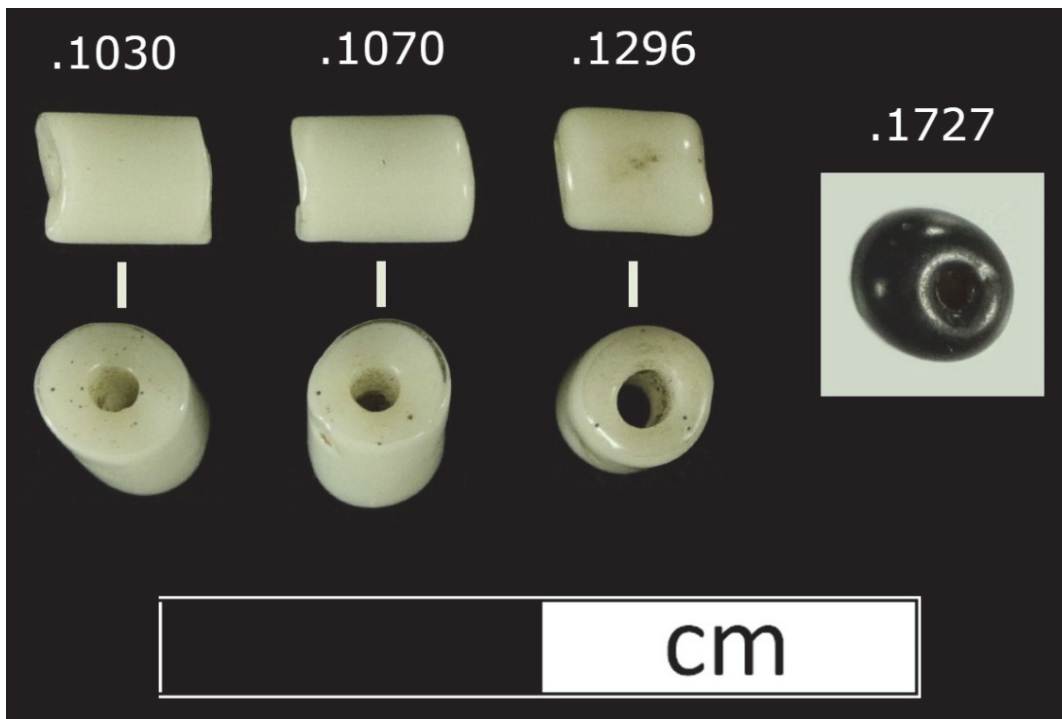


Planche 2 Perles en verre trouvées dans les puits 50N107E (.1030 et .1070), 51N106E (.1296) et 53N100E (.1727)

La couche supérieure aux structures, et qui les relie entre elles sans apparente discontinuité, pourrait correspondre à une ou plusieurs surfaces d'occupation, c'est-à-dire des aires où s'accumulent différents rejets issus d'activités du quotidien. L'association entre un ou plusieurs foyers et une surface d'occupation englobante et délimitée est interprétée dans des contextes similaires (Laliberté 1998) comme étant une surface d'habitation, soit l'espace domestique à l'intérieur ou en marge d'une structure d'habitation, telle que le wigwam anishinabe (figure 22), un abri à armature en bois recouverte d'écorce de bouleau (McGregor 2004 : 19). L'accumulation de matière organique dans cet espace peut notamment être liée à la fabrication d'une litière d'habitation. Il faudra attendre la poursuite des fouilles dans les puits adjacents pour vérifier l'étendue de cette(ces) couche(s) d'occupation(s) et le degré d'organisation des structures qui s'y trouvent. La distribution spatiale d'un groupe¹⁰ de tessons suggère cependant qu'elle s'étend jusque dans le niveau 3 du puits 52N102E et présente aussi une relation avec la structure 7. En effet, le tesson n° 596.1 trouvé dans le niveau 3 (20 à 30 cm) du quadrant nord-ouest du puits 52N102E appartient vraisemblablement à la même unité de vase que les tessons n° 1514 et n° 1519 trouvés respectivement dans le niveau 2b (14 à 20/28 cm) du quadrant nord-est et du quadrant sud-est du puits 53N100E (planche 3). Ce groupe de tessons (groupe 1) est très particulier parce qu'il est décoré d'empreintes cordées et d'au moins deux rangées décalées de ponctuations intérieures produisant des bosses sur la paroi externe du col (Taché *et al.* 2022 : annexe A, p.30). Cette combinaison décorative se retrouve notamment sur la poterie de tradition Pickering qui est centrée dans le sud-est de l'Ontario et qui s'étend de la fin du Sylvicole moyen tardif au Sylvicole supérieur ancien, soit entre 1100-700 ans avant aujourd'hui (Gates St-Pierre 2010 : 39). Un deuxième groupe de tessons (groupe 2) appartenant à une unité de vase distincte partage les deux mêmes attributs décoratifs. Il a été trouvé dans les niveaux 2b (14/22 à 20/25 cm) et 4a (20/24 à 29/33 cm) du puits 52N103E. Puisque le niveau 4 du puits 52N103E (structure 7) est contigu au niveau 3 du puits 52N102E qui semble s'étendre jusque dans le puits 53N100E, il est probable que ces trois puits comportent les traces d'au moins une surface d'occupation commune qui, dépendamment de la contemporanéité des deux groupes de tessons identifiés ci-haut, a pu être utilisée au moins à deux reprises par un groupe d'individus ou une famille qui cuisinait dans des poteries d'apparence Pickering.

¹⁰ Le groupe de tessons est en quelque sorte le niveau d'identification qui précède l'unité de vase. Il désigne des tessons avec des attributs communs qui appartiennent à la même unité de vase sans que cette unité soit nécessairement exclusive à d'autres ou assez complète pour être en mesure de décrire ses caractéristiques déterminantes. L'impossibilité d'associer un groupe de tessons à un tesson de bord est souvent ce qui empêche l'analyste de s'engager dans le saut interprétatif qui élève le groupe au statut d'unité définitive.



Figure 22 Wigwam anishinàbe construit par le maître artisan Daniel « Pinock » Smith de Kitigan Zibi Anishinàbeg (source : <https://www.pinock.ca/photogallery.php>). Reproduction autorisée par l'auteur.



Planche 3 Ponctuation produisant une bosse sur la paroi externe (groupes 1 et 2) et motif du croisillon sur le premier registre de la paroi externe (UV19 et groupe 2)

Cuvette de foyer (7)

Une cuvette d'une profondeur maximale d'environ 22 cm a été identifiée dans le quadrant nord-ouest du puits 52N103E. Elle correspond au niveau 4 (20/24 à 41/45 cm) du puits. Son contour était facile à délimiter grâce au contraste de couleur avec l'horizon Bf (photo 12) et le fait que son profil était visible en paroi ouest. L'extrémité ouest de la cuvette se trouvait dans le quadrant nord-est du puits 52N102E, fouillé en 2021. Le reste de cette structure s'étendait également dans les puits 53N102E et 53N103E. Plusieurs indices appuient l'hypothèse qu'il s'agit d'une ancienne fosse de foyer. Dans le quadrant nord-ouest du puits 52N103E, une concentration de charbon de bois, de pierres rougies et d'os majoritairement calcinés (n=308) a été repérée dans les niveaux 2a, 2b, 3a et 4 tandis que dans les quadrants sud-ouest, nord-ouest et nord-est du niveau 2b, certaines pierres rougies semblaient être organisées autour de cette concentration.

Dans le puits 52N102E, l'extrémité ouest de la cuvette se rattachait à une bande de sédiments noircis avec une proportion relativement élevée en charbon de bois. L'ensemble de ces traces ont été fouillées dans le niveau 4 (23 à 29 cm). La coupure nette entre les niveaux 3 et 4 du puits suggère que cette bande représente une surface d'occupation associée à la cuvette qui aurait été tronquée, ce qui lui aurait donné sa forme particulière (photo 13). Ceci concorderait avec l'hypothèse selon laquelle le niveau 3 du puits contiendrait les traces mélangées de plusieurs surfaces d'occupation.



Photo 12 Cuvette de foyer dans le quadrant nord-ouest du puits 52N103E (modification de CcFr1-2022_NUM2-19)



Photo 13 Bande de sédiments noircis dans le puits 52N102E jouxtant la cuvette de foyer dans le quadrant nord-ouest du puits 52N103E (modification de CcFr1-2021_NUM1-117)

Mise à part l'apparente continuité sédimentaire entre la cuvette et la bande noircie du puits 52N102E, un seul autre indice établit un lien entre elles : chacune peut être associée à un tesson de l'unité de vase 21 (n° 619 dans le puits 52N102E et n° 1337 dans le puits 52N103E). Cette association est toutefois précaire puisque le tesson n° 1337 provient du niveau supérieur à la cuvette dans le puits 52N103E. En se fiant uniquement au contenu céramique des deux formes, il s'avère plus probable qu'elles ne soient pas contemporaines. La cuvette est associée aux tessons du groupe 2 (planche 3) et contient le tesson n° 1371 appartenant à l'unité de vase 19. D'ailleurs, le contexte circonscrit de ce tesson représente un lieu de déposition plus probable que le contexte du tesson n° 252, le seul autre tesson associé au vase 19, qui a été trouvé à environ 10 cm de profondeur dans le niveau 1 du puits 50N102E. Il est intéressant de noter que le groupe 2 et l'unité de vase 19 ont en commun le motif du croisillon sur le premier registre de la paroi externe, l'empreinte cordée et une lèvre plate. Le niveau 4 du puits 52N102E, lui, contient dans le quadrant sud-ouest un tesson de bord de l'unité de vase 11 et un de l'unité de vase 21, ce qui se compare davantage au contenu des témoins de combustion identifiés dans la moitié est du niveau 3 (20 à 30 cm) du puits 51N103E. Il est donc possible que ces deux dépôts représentent des lambeaux d'une surface d'occupation antérieure à la structure 7 qui s'étendait dans la partie ouest de l'aire de fouilles.

Cuvette de foyer (8)

En 2021, une cuvette associée à un amas de pierres rougies a été mise au jour dans les quadrants nord-ouest et nord-est du puits 52N104E entre environ 36 cm et 61 cm de profondeur. Elle a été interprétée comme une possible fosse de foyer (Taché *et al.* 2022 : 49). La dimension de la structure avoisinait les 40 cm de diamètre. Le quadrant nord-est du niveau 3 supérieur à la cuvette était riche en charbon et des traces de rubéfaction ont été notées à la surface de l'horizon Bf dans le quadrant nord-ouest. La fosse semble avoir été creusée jusqu'à l'horizon C, puisque plusieurs pierres chauffées reposaient directement sur la couche de limon argileux qui le compose. Un total de 21 tessons en céramique, 17 éclats, six grattoirs et cinq fragments d'os blanchis peuvent être associés à la structure 8. La faible quantité d'os est surprenante parce que les autres structures de combustion dans l'aire de fouilles en contiennent généralement beaucoup plus. La structure 8 avait peut-être une fonction principale autre que la cuisson de nourriture (par exemple une hutte de sudation) ou peut-être que les déchets alimentaires issus de cette cuisson ont été jetés ailleurs que dans le foyer.

L'intervention de 2022 a permis de compléter la fouille de la structure 8. Le reste de la cuvette a été repéré dans la paroi nord du puits 52N104E (photo 14) et fouillé dans le niveau 5 (21/22 à 22/37 cm) du quadrant sud-est du puits 53N104E. Elle contenait de petites pierres rougies et des fragments de charbon, mais aucun artefact. Bien que la présence de fragments de charbon de bois ait été notée dans le quadrant sud-ouest du niveau 2a du puits 52N105E, ceux-ci sont trop peu profonds pour être associés à la cuvette. Aucune trace de la structure n'a donc été clairement identifiée dans le puits 52N105E.



Photo 14 Reste de la cuvette de foyer fouillée en 2021 du puits 53N104E (modification de CcFr1-2022_NUM2-363 et de CcFr1-2021_NUM1-94). Vue en coupe à gauche (paroi sud) et vue en plan à droite.

Témoins de combustion (9)

Des nodules de charbon et de petites pierres rougies ont été trouvés dans une matrice de sable limoneux brun foncé à noir dans le niveau 4 (21/25 à 33 cm) des quadrants ouest du puits 53N104E. Dans le quadrant sud-est, les limites diffuses du premier sous-niveau 4a semblaient s'étendre jusqu'à la structure 8 (photo 15). De plus, dans le quadrant nord-ouest, de possibles traces de rubéfaction ont été notées dans la portion supérieure de l'horizon Bf (niv. 6a). Toute la culture matérielle associée à ces restes de combustion se trouvait dans le sous-niveau 4a : deux tessons de céramique, un fragment de silex européen chauffé (planche 4) et huit petits os blanchis, dont une vertèbre de poisson. Le deuxième sous-niveau 4b s'enfonçait plus profondément et pourrait représenter le début d'une cuvette de foyer dont le prolongement se situerait dans le puits 53N103E.



Photo 15 Témoins de combustion dans la moitié ouest du puits 53N104E s'étendant jusqu'à la structure 8 dans le quadrant sud-est (modification de CcFr1-2022_NUM2-355)

Aire et cuvette de foyer (10)

Une cuvette de forme arrondie contenant du sable limoneux brun foncé à noir a été isolée dans le niveau 3 (20/27 à 47/51 cm) du puits 51N106E, bien qu'une partie de son contenu se trouvait également dans le niveau 2 (9/15 à 24/27 cm). Cette structure s'étendait jusque dans les niveaux 3 (20 à 30 cm) et 4 (30 à 35 cm) du quadrant nord-est du puits 51N105E, où une zone de sédiments foncés avait été repérée en 2021. L'ensemble de ces traces est interprété comme étant une aire de foyer datant probablement de la deuxième moitié du XIX^e siècle. Elle contenait aussi des traces d'occupations remontant jusqu'au Sylvicole moyen.

La structure 10 (photo 16) est associée à de grandes concentrations de charbon de bois avec des nodules mesurant jusqu'à 5 cm en longueur, ce qui est généralement plus rare dans les structures anciennes sur CcFr-1. Plus d'une trentaine de pierres chauffées mesurant jusqu'à environ 10 cm de diamètre ont été trouvées à l'intérieur et sur le pourtour de la cuvette. Des sédiments rubéfiés jouxtaient la cuvette dans le quadrant nord-est du puits 51N106E. Un mélange d'os blanchis (n=416) et d'os écrus de mammifère terrestre de taille moyenne à grande (n=15) y sont associés. Le principal artefact diagnostique de la structure est une balle de plomb de fusil à percussion datant probablement du début de la seconde moitié du XIX^e siècle (planche 4). La structure est aussi associée à quelques artefacts modernes (verre, clou tréfilé et objet indéterminé en métal ferreux), une perle en verre opaque blanc de type Ia5, des éclats (n=33), un nucléus en chert Kichisipi, des outils lithiques (n=6) et des tessons en céramique (n=31), dont cinq qui proviennent de l'unité de vase 9. La présence de cette variété d'artefacts issus de différentes périodes tient sans doute à la croissance de la grosse racine qui traverse la cuvette, ainsi qu'au creusement de la cuvette dans la matrice de sédiments où étaient déjà présents les dépôts d'occupations plus anciennes.



Photo 16 Aire de foyer dans les puits 51N105E et 51N106E (modification de CcFr1-2021_NUM1-74 et CcFr1-2022_NUM2-262)



Planche 4 Matériel de la période post-contact : lame de couteau (.1334), silex européen chauffé (.1602) et balle de fusil en plomb (.1289)

Témoins de combustion (11)

Les traces de combustion observées dans le puits 51N107E (aire B) en 2017 (Taché et Lamothe 2018 : 49-50) rejoignent la paroi est du puits 51N106E et s'étendent jusque dans le quadrant nord-est du puits 50N107E (photo 17). Il demeure difficile d'associer cette bande de sédiments hétérogènes (20 à 35 cm) à une structure quelconque. Le niveau supérieur (10 à 20 cm) contient des tessons de plusieurs unités de vase : UV6 (n=2), UV9 (n=3), UV10 (n=1) et UV17 (n=1). Ces trois dernières unités ont une distribution éparse à travers l'aire de fouilles. La présence d'un tesson des unités de vase 10 et 17 dans la portion est du puits est particulièrement aberrante, car leur contrepartie se trouve majoritairement dans l'extrémité ouest de l'aire générale et en association entre elles de surcroît. Il pourrait en être de même pour l'unité de vase 6, qui est très similaire aux tessons du groupe 2. Il semble donc qu'une partie des témoins de combustion représente un dépôt de nature indéterminée. Il faudra attendre la poursuite des fouilles à l'est du puits 51N107E afin de déterminer s'ils jouxtent une structure *in situ* ou s'ils auraient pu être transportés ou déplacés depuis l'ouest.



Photo 17 Témoins de combustion dans le puits 51N107E s'étendant jusqu'à la structure 10 dans le puits 51N106E (CcFr1-2017_NUM1-27)

Témoins de combustion (12)

Une zone de combustion arrondie de sable limoneux brun foncé à noir, associée à une concentration de fragments de charbon, de pierres rubéfiées et d'os blanchis (n=91), a été identifiée dans le niveau 2 (10 à 20 cm) du quadrant nord-est du puits 50N106E et dans le niveau 2b (10/11 à 20/23 cm) du quadrant nord-ouest du puits 50N107E (photo 18). Elle s'enfonce de 2-3 cm de profondeur à l'interface avec l'horizon Bf. La fouille des sédiments associés à la structure a livré quelques objets anciens, notamment des éclats de pierre taillée (n=4), un outil lithique et des tessons en céramique (n=21). La présence d'artefacts modernes (n=5) tels que des tessons de verre et un œillet en métal peut être expliquée par l'activité racinaire importante observée près de l'aire de

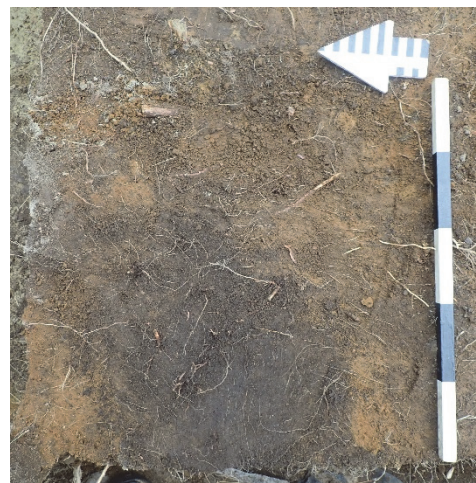


Photo 18 Témoins de combustion dans le quadrant nord-ouest du puits 50N107E (CcFr1-2022_NUM2-39)

combustion. En effet, les racines du grand pin de l'aire A ont vraisemblablement entraîné un déplacement vertical et horizontal des artefacts. La structure 12 est associée à l'unité de vase 9 uniquement. Sept tessons proviennent directement de la structure et une quinzaine d'autres, tous de l'unité de vase 9, ont été trouvés à proximité dans les puits 50N106E et 50N107E. Malgré le haut degré de dispersion des tessons de cette unité de vase, c'est le puits 50N106E et ses environs immédiats qui en contiennent le plus grand nombre. Cette petite aire de combustion pourrait donc faire partie de la même surface d'occupation que celle sur laquelle l'unité de vase 9 a été laissée au cours du Sylvicole moyen ancien (en se fiant à la chronotypologie des céramiques).

Témoins de combustion (13)

L'extrémité nord d'une aire de combustion (photo 19) a été mise au jour dans la moitié sud du puits 50N107E, sous le prolongement du réseau racinaire de la grosse souche excavée en 2017 dans l'aire A (Taché et Lamothe 2018 : 43-49). Des témoins de combustion tels que des concentrations importantes de fragments de charbon de bois et de plusieurs pierres rougies ont été identifiés dans les niveaux 2a, 2b et 4, soit entre environ 8 cm et 33 cm de profondeur. Des os blanchis (n=52), des éclats de pierre taillée (n=16), deux outils lithiques et dix tessons en céramique, dont deux associés

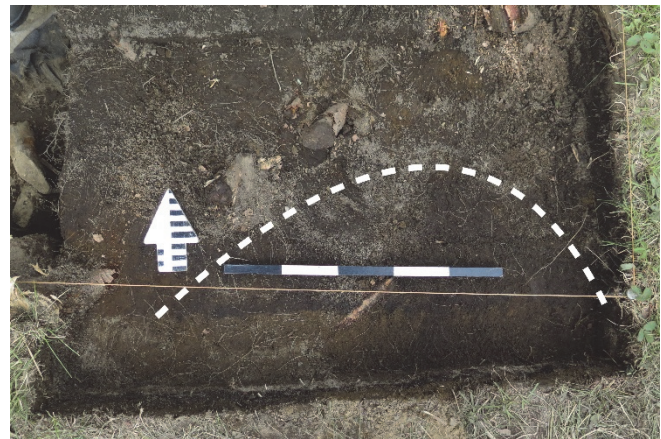


Photo 19 Témoins de combustion dans les quadrants sud du puits 50N107E (CcFr1-2022_NUM1-121)

à l'unité de vase 9, sont associés à ce contexte. Cette structure rejoint l'aire de combustion documentée en 2017 entre 10 cm et 30 cm dans les quadrants nord du puits 49N107E. Celle-ci s'étendait potentiellement jusque dans le puits 49N106E de l'aire A et contenait les mêmes témoins de combustion qui ont été observés dans le puits 50N107E. Une perle tubulaire en verre blanc de type Ia5 de petite taille (4x3 mm) a été trouvée dans le niveau 2b du quadrant sud-est du puits 50N107E (planche 2). Il s'agit du même type que les trois autres perles identifiées dans l'aire A (CcFr-1.2017.30 et 40). Cette faible quantité de perles suggère qu'elles se sont détachées d'un vêtement ou d'une parure. Elles attestent d'une présence humaine vraisemblablement autochtone sur le site entre la seconde moitié du XVII^e siècle et la fin du Régime français (Lamothe 2007).

Cuvette de foyer (14)

Une cuvette de forme arrondie contenant du sable limoneux brun foncé à noir a été isolée dans le niveau 4 (22/24 à 26/28 cm) du quadrant nord-ouest du puits 51N106E (photo 17), dans le niveau 2b (17 à 30 cm) du quadrant sud-est du puits 52N105E et dans le niveau 3 (20 à 27 cm) du quadrant sud-ouest du puits 52N106E (photo 20). Elle n'a pas été repérée pendant la fouille du quadrant nord-est du puits 51N105E en 2021. Dans le centre de la cuvette, la séquence stratigraphique passe directement de l'horizon Ah à l'horizon C. L'absence de sable limoneux brun orangé associé à l'horizon Bf sous la dépression pourrait s'expliquer par le creusement de la structure. Quelques pierres rougies et des fragments de charbon de bois y étaient associés. La cuvette s'est avérée relativement pauvre en culture matérielle. Elle n'a livré qu'un éclat en chert Onondaga et sept petits os blanchis (incluant une possible dent de castor). Un éclat en quartz hyalin et un éclat en quartzite de Mistassini ont été trouvés dans le quadrant sud-est du puits 52N105E, mais il n'est pas certain qu'ils proviennent de l'intérieur de la cuvette.

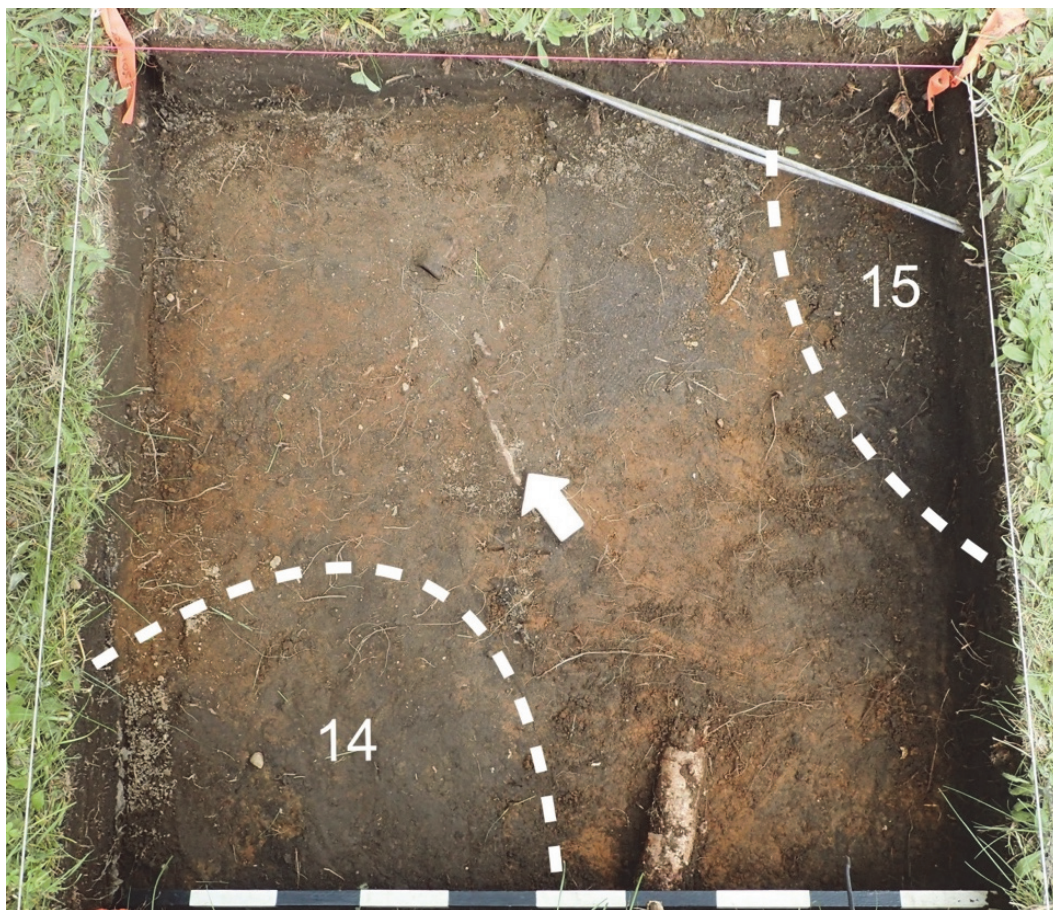


Photo 20 Cuvette de foyer dans le quadrant sud-ouest (14) et témoins de combustions dans les quadrants est (15) du puits 52N106E (CcFr1-2021_NUM1-46)

Témoins de combustion (15)

Une couche de sable limoneux noir a été mise au jour dans les quadrants nord du puits 52N107E dans les niveaux 2b et 2c (photo 21), soit dans la moitié inférieure de l'horizon Ah entre environ 17 cm et 30 cm de profondeur. Cette zone de sédiments noircis par le charbon de bois était associée à une grande concentration de tessons (n=136) de l'unité de vase 8 (photo 22) dans le quadrant nord-ouest du puits 52N107E principalement et dans les quadrants est du puits 52N106E. En incluant les quelques artefacts trouvés dans le niveau 3 des quadrants nord du puits 52N107E, leur localisation dans l'horizon Bf résultant notamment de l'activité d'animaux fouisseurs, l'ensemble de la structure compte un total de quatre



Photo 21 Témoins de combustion dans les quadrants nord du puits 52N107E (CcFr1-2022_NUM2-204)

artefacts modernes, 626 fragments d'os blanchis dont un fragment rainuré de métapode de cervidé (planche 1), 151 éclats, un fragment de cristal de quartz, huit outils lithiques et 178 tessons en céramique. La faible épaisseur des témoins de combustion à l'interface avec l'horizon Bf suggère qu'ils pourraient représenter des rejets de foyer plutôt que la cuvette elle-même. Ils semblent s'étendre au nord du puits 52N107E. La poursuite des fouilles dans cette zone permettrait de délimiter l'étendue de la structure.



Photo 22 Concentration de tessons de l'unité de vase 8 près d'une pierre chauffée dans le quadrant nord-ouest du puits 52N107E (CcFr1-2022_NUM2-131)

Témoins de combustion (16)

Le puits exploratoire 53N112E a été choisi pour sa proximité du sondage J26, un sondage particulièrement riche en matériel archéologique fouillé en 2016 (Taché et Lamothe 2017 : 35-37). L'emplacement exact du sondage demeure toutefois inconnu puisqu'il précède l'implantation du quadrillage sur le site CcFr-1.

Quelques traces de combustion ont été notées dans le quadrant nord-ouest du puits, dans le niveau 1 (0 à 7/10 cm) et le niveau 2a (7/10 à 15/20 cm) principalement : une concentration d'os blanchis (n=208) associée à une pierre chauffée isolée et à de petites portions de sédiments noircis par le charbon de bois. La transition entre les horizons Ah et Bf était d'ailleurs plus graduelle dans cette partie du puits. Quelques tessons de poterie décorés à la cordelette, un trait postérieur au Sylvicole moyen ancien, et deux éclats ont aussi été trouvés dans le quadrant nord-ouest.

Témoins de combustion (17)

L'objectif de fouille du puits 56N105E était d'étudier l'espace autour de la cuvette de foyer identifiée en 2018 (Taché et Lamothe 2019 : 77-80). Cinq nouvelles unités de vase avaient notamment été identifiées dans l'aire E. Comme cette dernière représente les quadrants de quatre puits différents, la fouille des trois derniers quadrants du puits 56N105E était l'occasion de compléter un premier puits parmi l'ensemble. Cette stratégie minimise le risque de confusion dans la numérotation des quadrants.

L'essentiel de la culture matérielle du puits 56N105E a été trouvé entre environ 20 cm et 40 cm de profondeur dans la moitié inférieure de l'horizon Ah, soit à la base du niveau 4, dans le niveau 5 et dans la portion supérieure du niveau 6 (photo 23). Cette couche de sable limoneux noir contenait des fragments de charbon, des os blanchis (n=356) et une quantité importante d'éclats (n=131), d'outils lithiques (n=14) et des tessons en céramique (n=87), incluant deux nouvelles unités de vase (UV26 et UV27). Plusieurs tessons de verre (n=39) de différentes teintes et trois clous tréfilés s'y trouvaient également. Une deuxième potentielle aire de foyer datant du XIX^e siècle avait été identifiée en 2018 dans le quadrant sud-ouest du puits 56N105E, mais elle n'a pas été distinguée dans le reste du puits en 2022. Aucune dépression proprement dite n'y a été observée à l'interface avec l'horizon Bf, bien que le relief de



Photo 23 Coloration plus foncée des témoins de combustion du niveau 5 dans les quadrants nord du puits 56N105E par rapport au début de l'horizon Ah dans le quadrant sud-est (CcFr1-2022_NUM2-214)

cette surface soit bosselé. La variété d'artefacts trouvés dans les niveaux associés à la couche de l'horizon Ah suggère qu'elle contient les restes de plusieurs contextes d'occupation. Parmi ceux-ci, il y aurait peut-être une partie des témoins de combustion du foyer de l'aire E. En effet, au moins deux tessons de l'unité de vase 12 proviennent de la couche 3a associée au foyer et dix autres tessons ont été trouvés en périphérie dans le puits 56N105E. Il est toutefois difficile d'établir un lien de contemporanéité entre le vase 12 et le foyer puisque sa présence à l'intérieur de la cuvette, comme celle des unités de vase 14 et 18, pourrait être intrusive.

4.1.2.3 Description de la culture matérielle

En excluant les données des sondages complémentaires (section 4.1.3) et de la plage (section 4.1.4), un total de 11 875 artefacts et écofacts ont été récoltés en 2022 (tableau 9), dont 1056 tessons en céramique, 1105 éclats, et 73 outils lithiques. La collection comporte également 9 375 fragments d'os blanchis et écrus, ainsi que sept fragments d'os travaillés, une première pour les recherches archéologiques dans la région. Le matériel historique (n=225) compte des objets datant du XVII^e siècle jusqu'à la période moderne. La présence d'artefacts relativement récents (fragments de clous tréfilés, de métal corrodé, de verre à bouteille, etc.) a été notée systématiquement en cours de fouille, mais les objets n'ont pas toujours été conservés. Des échantillons (n=28) de sédiments, de charbon et de macrorestes végétaux ont été récoltés en prévision d'analyses spécialisées.

Tableau 9 Synthèse des artefacts et écofacts mis au jour pendant la fouille de 2022 sur le site CcFr-1

| Puits | Matériel paléohistorique | | | | | | Matériel historique | Échantillons (sol, charbon, macrorestes végétaux) |
|-----------------------------------|--------------------------|------------------|-------------|-------------|---------------|-------------------|---------------------|---|
| | Céramique | Outils lithiques | Éclats | Os | Os travaillés | Autre | | |
| 50N103E | 207 | 10 | 75 | 1079 | 0 | 0 | 23 | 0 |
| 50N105E | 7 | 1 | 14 | 11 | 0 | 0 | 4 | 1 |
| 50N107E | 31 | 4 | 27 | 164 | 0 | 0 | 12 | 1 |
| 51N102E-QE | 186 | 5 | 52 | 2589 | 1 | 0 | 4 | 3 |
| 51N104E | 34 | 2 | 47 | 283 | 0 | 1 graphite | 1 | 5 |
| 51N106E | 26 | 7 | 29 | 440 | 0 | 2 pierres rougies | 6 | 9 |
| 52N103E | 73 | 6 | 35 | 836 | 0 | 0 | 8 | 1 |
| 52N105E | 4 | 3 | 14 | 31 | 0 | 0 | 2 | 0 |
| 52N107E | 192 | 14 | 227 | 868 | 1 | 0 | 28 | 5 |
| 53N100E | 34 | 4 | 281 | 2143 | 5 | 0 | 37 | 0 |
| 53N104E | 38 | 2 | 40 | 94 | 0 | 0 | 15 | 0 |
| 53N112E | 21 | 1 | 26 | 325 | 0 | 0 | 0 | 1 |
| 56N105E | 87 | 14 | 134 | 359 | 0 | 0 | 42 | 0 |
| Parois puits 2021 / Hors contexte | 6 | 1 | 4 | 24 | 0 | 0 | 2 | 0 |
| Total | 1056 | 73 | 1105 | 9375 | 7 | 3 | 222 | 31 |

Culture matérielle lithique

L'intervention de 2022 dans l'aire de fouilles principale a permis de mettre au jour un total de 1 178 artefacts lithiques (tableaux 10 et 11). L'assemblage est composé de 1105 éclats et 73 outils variés en pierre taillée (planche 6, tableau 12). Les types d'outils qui ont été identifiés sont les grattoirs (n=33), les éclats retouchés (n=9), les outils bifaciaux (n=11), les pointes de projectiles (n=1), les pièces esquillées (n=6) et les nucléi (n=4). À ceux-ci s'ajoutent les autres outils indéterminés (n=7) ainsi que les cristaux polygonaux en quartz hyalin (n=2). Les grattoirs forment une proportion importante de l'ensemble des types d'outils représentés dans les puits (45,2 %).

Les puits 50N103E, 52N107E et 56N105E sont ceux qui ont livré le plus grand nombre d'outils lithiques (tableau 10). Le total des outils de ces trois puits (n=37) représente la moitié (50,7 %)

de l'ensemble des outils mis au jour dans l'aire de fouilles. Il est intéressant de noter que ces puits sont généralement distants les uns des autres ce qui pourrait être révélateur de plusieurs locus d'occupation sur le site. Des recherches supplémentaires seront toutefois nécessaires pour vérifier cette hypothèse.

Un total de 33 grattoirs a été mis au jour. Ce type d'outil peut servir à nettoyer les peaux ou dépecer la chair d'animaux, à traiter les matières végétales ou à remplir d'autres fonctions variées. Mis à part le puits 53N112E, tous les puits fouillés en 2022 ont livré au moins un spécimen de ce type d'outil. Les deux puits qui contenaient le plus de grattoirs sont 50N103E (n=5) et 50N107E (n=4). Les autres en ont livré trois ou moins. Les matières premières dans lesquelles les grattoirs ont été fabriqués sont réparties en huit classes. Un peu plus du tiers (36,4 %) sont fabriqués en chert Onondaga (n=12). La seconde matière représentée en ordre d'importance est le chert Kichisipi (n=8) qui compte pour le quart des grattoirs (24,2 %). Ces deux matières dominent largement l'assemblage des grattoirs de l'aire de fouilles. Le reste est représenté par le chert calcaire CHC001 (n=1), le quartz (n=3), le quartz hyalin (n=2) et sept autres outils en chert ou matière indéterminée, dont un potentiellement en jaspe. Bien que la source de chert la plus proche soit celle du chert Kichisipi (Kabeshinàn, lac Leamy), le chert Onondaga demeure la matière privilégiée pour la fabrication des grattoirs. Ceci illustre l'importance des réseaux d'approvisionnement au sud de la vallée de la rivière des Outaouais et du fleuve Saint-Laurent.

Les outils bifaciaux représentent le deuxième type d'outil le plus important. Deux spécimens complets et neuf fragmentaires ont été mis au jour. Ceux-ci représentent 15,1 % de l'assemblage d'outils. Seuls les puits 50N103E (n=1), 51N106E (n=1), 52N107E (n=3) et 56N105E (n=6) ont livré ce type d'outil. Les matières premières utilisées pour la fabrication des bifaces sont divisées en cinq classes. Il s'agit du quartz (n=3), du chert Kichisipi (n=1), du chert d'origine calcaire (n=4) ainsi que du chert (n=2) et du quartzite indéterminé (n=1). Les bifaces sont tous de petite taille puisque le plus grand n'a pas plus de 43 mm de longueur (CcFr-1.2022.981). La petite taille des outils bifaciaux trouvés sur le site peut être interprétée de différentes manières. Elle peut indiquer un besoin lié à la mobilité où des outils plus petits et légers sont préférés pour faciliter le transport. Le quartz – une matière locale – en est un bon exemple. L'absence de blocs massifs suggère qu'un déplacement était nécessaire afin d'atteindre une source décente et exploitable où un débitage primaire y était effectué en vue de la fabrication d'outil. La petite taille peut aussi être liée à des tâches nécessitant une plus grande précision, pour lesquelles des outils plus petits étaient mieux adaptés. Elle peut également être le résultat de facteurs économiques et sociaux, tels que la saisonnalité de l'accès, les réseaux d'échanges ou la qualité même des ressources. En ce qui concerne le chert Kichisipi, bien que cette source soit directement intégrée dans le réseau hydrographique régional, la petite taille des bifaces semble plutôt pointer vers la nature géologique de la matière, laquelle se présente rarement sous forme de strate épaisse (Laliberté 2011d : 92). La présence de grosses préformes bifaciales n'est pas attestée dans la région. Les petits outils bifaciaux manifestent donc un besoin de recycler ou d'utiliser de façon optimale les ressources lithiques qui, en fin de compte, sont situées assez loin du site (>100 km).

Les outils sur éclat ou éclats retouchés représentent la troisième plus importante catégorie typologique observée à travers les outils lithiques (n=9). Ils comptent pour 12,1 % de l'assemblage. Seuls les puits 50N103E (n=1), 52N103E (n=1), 52N107E (n=4) et 56N105E (n=3) ont livré ces types d'outils. Six matières lithiques sont représentées dans l'assemblage. La plus importante est le chert Kichisipi (n=4) qui compte pour 44,4 % de l'assemblage. Le reste de ce type d'outil est représenté par un seul individu par matière, soit le chert Onondaga, le quartzite de Mistassini, le quartz, un chert calcaire indéterminé et une roche ignée ou rhyolite. Au regard de la proximité géographique de la source du chert Kichisipi, il est normal qu'on retrouve ce type d'outil fabriqué ad hoc, pour une tâche unique, dans ce matériau qui devait être transporté sous forme de petits nucléi.

Les autres types d'outils totalisent 20 spécimens, soit 27,4 % de l'assemblage d'outils. Une micropointe de projectile (CcFr-1.2022.1251) d'une longueur de 17 mm fabriquée à partir d'un éclat en chert aphanitique beige hautement siliceux a été retrouvée dans la structure 10 du puits 51N106E (planche 5). Considérant les spécimens des aires A et B fouillées au cours des années précédentes (CcFr-1.2017.9, .21 et .22), il s'agit de la quatrième pointe de projectile mise au jour à l'intérieur de l'aire de fouilles. Sa matière première rappelle le silex européen. Il est impossible de lui attribuer un type chronologique.

| PUITS/ SONDAGE | TYPE | Chert Kichisipi | Chert Onondaga | Chert calcaire CHC001 | Chert ind. | Chert calcaire ind. | Quartzite ind. | Quartzite de Mistassini | Ignée et rhyolite ind | Quartz | Quartz hyalin | Jaspe (?) | Autre et indéterminé | TOTAL |
|----------------------|-------------------|--------------------|-------------------|-----------------------------|---------------|---------------------------|-------------------|-------------------------------|-----------------------------|-----------|------------------|--------------|-------------------------|-----------|
| 52N103E | Grattoir | 1 | 1 | | | | | | | | | | | 2 |
| | Éclat retouché | | 1 | | | | | | | | | | | 1 |
| | Pièce esquillée | | | 1 | | | | | | | | | | 1 |
| | Nucléus | 1 | | | | | | | | | | | | 1 |
| | Autre/indéterminé | | | | | | | | | | | | 1 | 1 |
| 52N105E | Grattoir | | 1 | | | | | | | | 1 | | | 2 |
| | Autre/indéterminé | | | | | | | | | 1 | | | | 1 |
| 52N107E | Grattoir | | 2 | 1 | | | | | | | | | | 3 |
| | Éclat retouché | 1 | | | | 1 | | | 1 | 1 | | | | 4 |
| | Biface | | | | | | | | | 3 | | | | 3 |
| | Pièce esquillée | | 1 | | | | | | | | | | | 1 |
| | Cristal | | | | | | | | | 1 | | | | 1 |
| | Autre/indéterminé | | | | | | | | | 2 | | | | 2 |
| 53N100E | Grattoir | 1 | 2 | | | | | | | | | | | 3 |
| | Cristal | | | | | | | | | 1 | | | | 1 |
| 53N104E | Grattoir | 1 | | | 1 | | | | | | | | | 2 |
| 53N112E | Nucléus | | | | | | | | | 1 | | | | 1 |
| 56N105E | Grattoir | 2 | | | | | | | | | | 1 | | 3 |
| | Éclat retouché | 2 | | | | | | 1 | | | | | | 3 |
| | Biface | | | | 2 | 4 | | | | | | | | 6 |
| | Pièce esquillée | | | | | | | | | 1 | | | | 1 |
| TOTAL MATIÈRE | | 17 | 18 | 3 | 11 | 5 | 2 | 2 | 2 | 16 | 3 | 1 | 3 | 83 |

Tableau 11 Distribution des éclats lithiques par puits/sondage, type et matériau

| PUITS/ SONDAGE | Chert Kichisipi | Chert Onondaga | Chert calcaire ONT001 | Chert calcaire CHC001 | Chert 039 | Chert | Chert calcaire ind. | Quartzite | Quartzite de Mistassini | Quartz | Quartz hyalin | Jaspe (?) | Autre et indéterminé | TOTAL |
|-------------------|--------------------|-------------------|-----------------------------|-----------------------------|--------------|------------|---------------------------|-----------|-------------------------------|------------|------------------|--------------|-------------------------|-------------|
| J52 | | 1 | | | | | | | | | | | | 1 |
| J53 | | | | | | | | | 5 | 2 | | | 1 | 8 |
| J54 | | 2 | | | | 1 | | | 1 | 2 | 1 | | 1 | 8 |
| J55 | | 1 | | | | 1 | | | 2 | | | | | 4 |
| J56 | 2 | | | | | 2 | | | 1 | 2 | | | | 7 |
| J57 | | 1 | | | | 1 | | | 1 | | | | | 3 |
| J58 | | 2 | | | | 7 | 1 | | | 3 | | | 1 | 14 |
| J59 | | 1 | 1 | | | 4 | | | 2 | 1 | | | | 9 |
| J60 | | 1 | | | | 1 | | | | 3 | | | | 5 |
| 50N82E-QSW | | 1 | | 1 | | 1 | | | | | | | | 3 |
| 50N103E | 14 | 8 | 3 | 5 | | 14 | | 1 | 8 | 19 | 2 | | 1 | 75 |
| 50N104E | | | | | | | | | 1 | | | | | 1 |
| 50N105E | 8 | 1 | | | | 1 | | | 1 | 1 | 1 | 1 | | 14 |
| 50N107E | 12 | 4 | | 2 | | 4 | | | | 3 | 2 | | | 27 |
| 50N116E-QSE | 8 | 10 | 2 | | 2 | 16 | | 2 | 1 | 55 | 1 | | | 97 |
| 51N102E | 8 | 7 | 3 | 5 | | 4 | | 3 | 10 | 9 | 2 | | 1 | 52 |
| 51N104E | 5 | 7 | 4 | | | 9 | | 5 | 8 | 7 | 2 | | | 47 |
| 51N106E | 6 | 4 | | 2 | | 1 | | | 3 | 13 | | | | 29 |
| 51N107E | 1 | | | | | | | | | | | | | 1 |
| 52N102E | 1 | 1 | | | | | | | | | | | | 2 |
| 52N103E | 11 | 2 | 3 | 2 | | 1 | | | 3 | 10 | 3 | | | 35 |
| 52N105E | 2 | 2 | 1 | | | | | | 1 | 7 | 1 | | | 14 |
| 52N107E | 33 | 25 | 1 | 8 | | 20 | | | 3 | 132 | 4 | | 1 | 227 |
| 53N100E | 72 | 52 | 3 | 10 | | 27 | | | 21 | 67 | 29 | | | 281 |
| 53N104E | 14 | 8 | 1 | 1 | | 2 | 1 | | 3 | 10 | | | | 40 |
| 53N112E | 1 | 20 | | 1 | | | | | | 4 | | | | 26 |
| 56N105E | 42 | 20 | 5 | 4 | | 10 | 2 | 2 | 3 | 39 | 4 | | 3 | 134 |
| TOTAL | 240 | 181 | 27 | 41 | 2 | 127 | 4 | 13 | 78 | 389 | 52 | 1 | 9 | 1164 |

Cinq pièces esquillées ont été mises au jour dans cinq puits de l'aire de fouilles et représentent 6,8 % de l'assemblage d'outils lithiques. Ces outils qui peuvent servir à fendre des matières organiques comme le bois ou l'andouiller sont fabriqués dans quatre matières différentes, soit le chert Onondaga (n=2), le chert CHC001 (n=1), le quartzite (n=1) et le quartz (n=1).



Planche 5 Micropointe de projectile en chert siliceux (CcFr-1.2022.1251)

Quatre nuclei ont été trouvés, notamment trois en chert Kichisipi dans les puits 50N103E, 51N106E et 52N103E. Un nucléus en quartz a été identifié dans le puits 53N112E. Des nucléi en chert Kichisipi ont également été découverts sur des sites archéologiques des Hautes-Laurentides à la rivière du Lièvre, notamment sur le site CbFv-1 (Taché *et al.* 2022). La présence de nuclei souligne le début de la chaîne opératoire lithique, mais leur faible représentation dans les assemblages montre que les matériaux étaient rarement apportés en bloc sur les lieux d'abandon.

Sept outils auxquels il est impossible d'attribuer un type spécifique ont également été découverts. Ils arborent des traces d'utilisation ou de retouche et sont fabriqués en chert (n=1), en quartz (n=4) et en matière indéterminée (n=2). Enfin, deux fragments de cristal de quartz ont été découverts dans les puits 52N107E et 53N100E, qui sont complètement opposés dans l'aire de fouilles. Leur présence est intéressante dans la mesure où d'autres spécimens ont été documentés sur des sites archéologiques du Nord-est (Milmore 2014). De plus, des documents historiques signalent la présence de sources de cristal de quartz le long des bassins des rivières du Lièvre et Saint-Maurice (p. ex. Ingall *et al.* 1830).

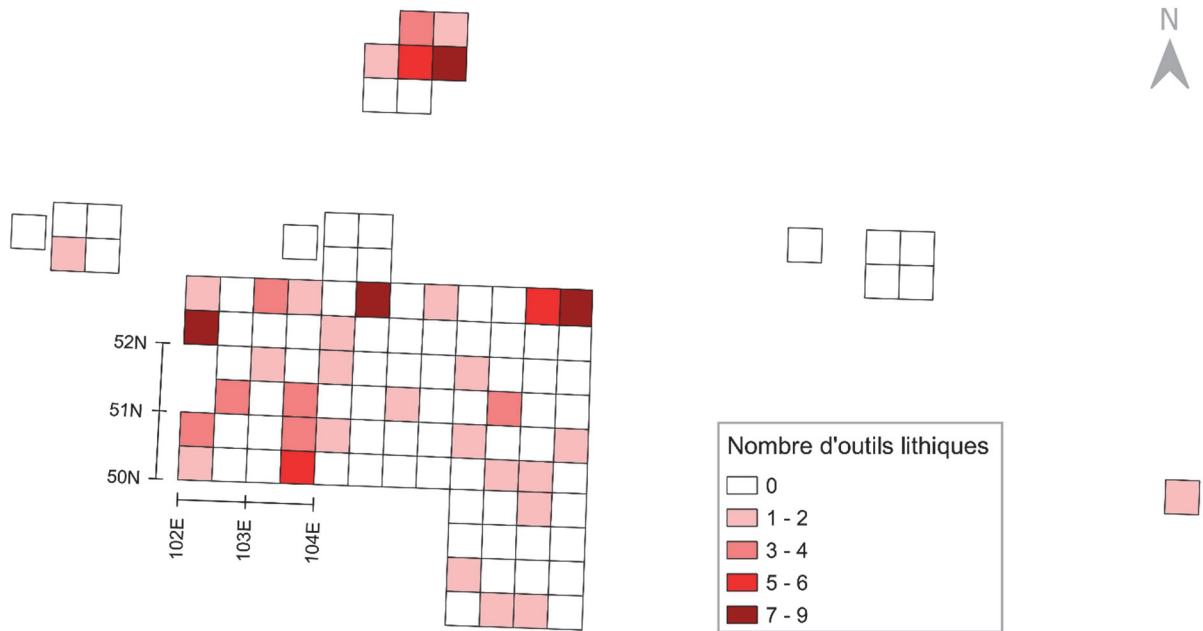
Le reste de l'assemblage lithique est composé d'éclats reflétant les activités de débitage et de fabrication ou d'entretien des outils. Un total de 1105 éclats a été récolté à travers l'aire de fouilles. La densité d'éclats par puits est très variable (1 à 281). Les trois puits ayant livré le plus d'éclats sont les puits 53N100E (n=281), 52N107E (n=227) et 56N105E (n=134). À eux seuls, ils contiennent 58,1 % du nombre total d'éclats. Par ailleurs, la densité d'éclats et la localisation de ces puits suggèrent qu'il pourrait y avoir plusieurs zones d'occupation différentes.

Treize catégories de matières premières lithiques ont été identifiées parmi l'assemblage des éclats mis au jour en 2022. Toutefois, seulement huit bénéficient d'une attribution spécifique dans notre référentiel lithique interne (annexe B), les cinq autres étant des catégories plus ou moins générales ou indéterminées. Au même titre que l'intervention de 2021 (Taché *et al.* 2022 : 58), le quartz, une matière d'origine locale, domine (n=376) et représente plus du tiers de l'assemblage (34 %). Arrivent en deuxième et troisième positions les cherts Kichisipi (n=238) et Onondaga (n=172), qui représentent respectivement 21,5 % et 15,6 %. Le reste des matières lithiques qui bénéficient d'une identification précise dans le référentiel lithique interne du projet sont les cherts d'origine calcaire CHC001 (n=42) et ONT001 (n=26), le chert à radiolaires CH039 (n=2), le quartzite de Mistassini (n=66) et le quartz hyalin (n=51). Bien que diversifiées, ces cinq matières ne représentent que 16,9 % de tout l'assemblage d'éclats.

Le reste de l'assemblage des éclats est représenté par cinq matières premières génériques ou indéterminées, soit le chert (n=110), le quartzite (n=13), le chert calcaire (n=3), les matières indéterminées et autres (n=6) et le jaspe (n=1).

En prenant l'ensemble des quantités de données lithiques recueillies depuis 2017 en ce qui concerne les secteurs périphériques (aire A, aire B, aire E, J26, J27 et J29) ainsi que l'aire de fouilles principale, un total de 149 outils et 3 323 éclats sont dénombrés. Avec une surface excavée totalisant 26,5 m², la densité moyenne des artefacts lithiques, toutes catégories confondues, est d'environ 131 artefacts par puits. Si on divise en deux grandes catégories typologiques, la densité moyenne des outils est de 5,6 artefacts par puits et celle des éclats est de 125,4 par puits. Le ratio de 149 outils pour 3 323 éclats représente une fraction d'environ 1 outil pour 22 éclats, et ce pour toute matière première confondue. Des analyses statistiques plus poussées pourraient peut-être révéler des tendances dans les comportements et préférences liés aux trajectoires de fabrication des différents types d'outils lithiques. Pour la répartition de la densité des artefacts (plans 5 et 6), on peut percevoir plusieurs zones reflétant une densité plus élevée que la moyenne du site. Dans le cas des outils lithiques, une densité généralement plus élevée est constatée du côté ouest de l'aire de fouilles, de même que dans son extrémité nord-ouest ainsi qu'autour du puits 56N105/aire E. La même tendance s'applique aux éclats en pierre taillée, à la différence qu'une quatrième zone à densité élevée se dessine à l'intérieur de l'aire A, soit la souche du gros pin excavée en 2017.

Plan 5 Distribution des outils lithiques dans et à proximité de l'aire de fouilles principale sur le site CcFr-1 (2016 à 2022)



Plan 6 Distribution des éclats en pierre taillée dans et à proximité de l'aire de fouilles principale sur le site CcFr-1 (2016 à 2022)



Il est difficile d'identifier quantitativement une ou des tendances dans la distribution des outils et des matières lithiques à travers l'aire de fouilles principale, de même que pour les trois puits supplémentaires qui ont été fouillés à proximité et qui n'y sont pas directement reliés. Les matières communes et bien connues sur le site — le chert Kichisipi, le chert Onondaga, le quartzite de Mistassini, le quartz et le quartz hyalin — se retrouvent partout dans l'aire de fouilles, et ce, tant au niveau de la répartition horizontale que verticale. Les cherts CHC001 et ONT001, deux matières plus rares, mais qui possèdent une codification dans le référentiel lithique, sont également retrouvées partout dans l'aire de fouilles, notamment dans les puits 50N107E, 51N102E, 52N107E, 53N100E et 56N105E, tous assez distancés les uns des autres. Enfin, le cas particulier du chert à radiolaires CH039 (voir CH-039.2021), une matière extrêmement rare sur le site, illustre la tendance générale à la dispersion des artefacts de même classe puisque sa présence a été détectée dans le puits 52N106E (CcFr-1.2021.697) et dans le sondage 50N116E-QSE, donc à environ dix mètres de distance.

Tableau 12 Description des outils lithiques retrouvés sur le site CcFr-1 en 2022

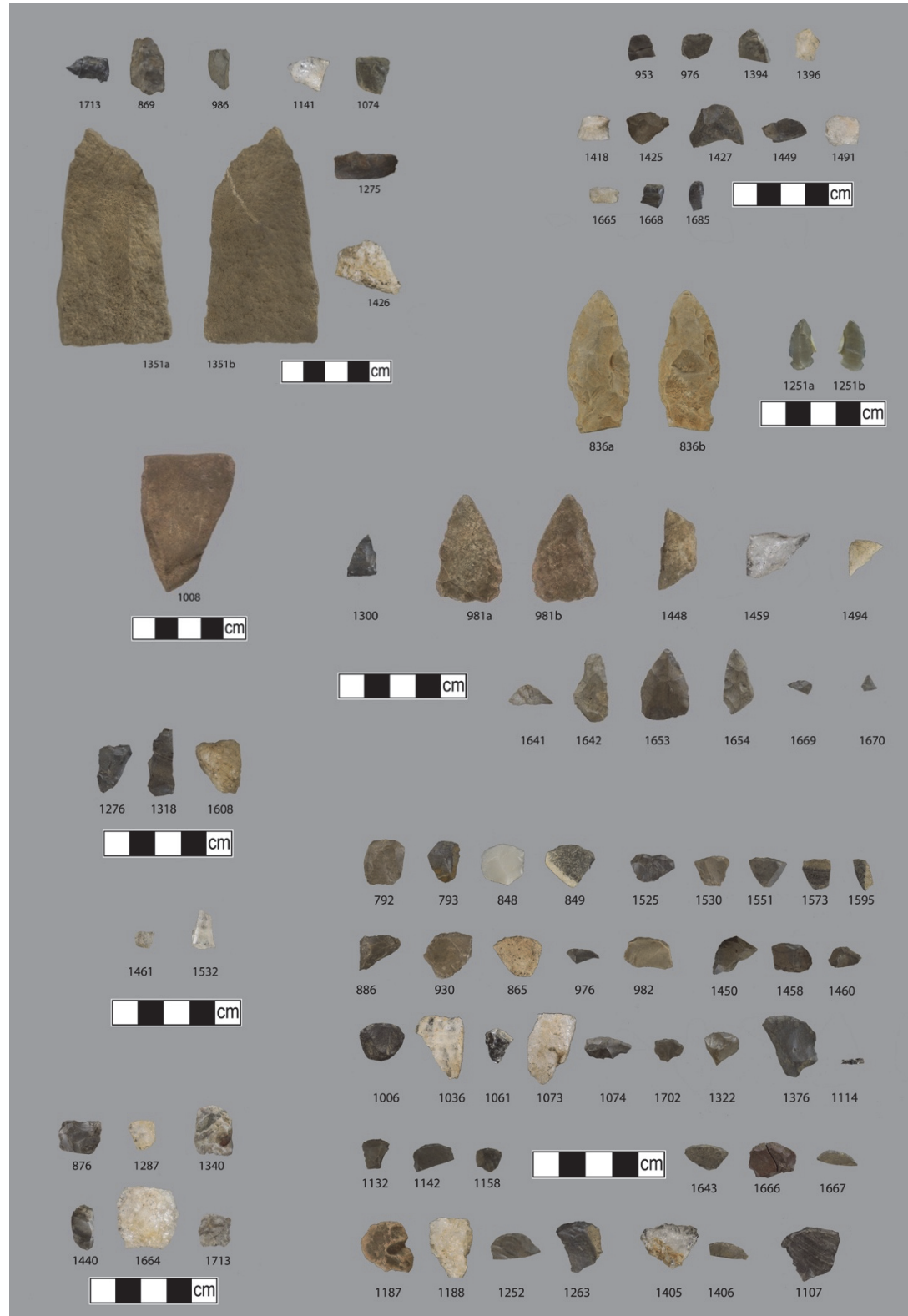


Planche 6 Totalités des outils lithiques retrouvés pendant l'intervention de 2022 sur le site CcFr-1. Les outils .792, .793, .836, .837, .848, .849 et .1713 proviennent de la plage.

| N° cat. | Description |
|---------|--|
| 792 | Grattoir unimarginal sur éclat à front abrupt, en chert ONO* |
| 793 | Grattoir unimarginal sur éclat en chert CHC001 |
| 836 | Fragment quasi total d'une pointe de projectile à encoches latérales évasées en RHY beige |
| 837 | Fragment d'outil ind. sur éclat en CHAPH gris très foncé, cassé accidentellement en 2 fragments jointifs |
| 848 | Grattoir unimarginal sur éclat en MISTA |
| 849 | Grattoir unimarginal sur éclat en CH000 |
| 869 | Fragment d'outil indéterminé sur nucléus en ONO |
| 876 | Pièce esquillée en ONO |
| 930 | Grattoir multimarginal sur éclat en ONO brun grisâtre |
| 953 | Fragment d'outil ind. sur éclat en CHAPH gris très foncé |
| 965 | Grattoir unimarginal sur éclat en CH000 chauffé |
| 971 | Fragment marginal de grattoir sur éclat en CHAPH gris foncé |
| 976 | Fragment d'éclat retouché en TRE |
| 981 | Ébauche d'outil bifacial en QTZT grossier gris brunâtre |
| 982 | Grattoir unimarginal sur éclat en CH000 gris fin cireux |
| 986 | Nucléus en TRE |
| 1006 | Grattoir multimarginal sur éclat à retouches totales en TRE |
| 1036 | Fragment de grattoir en QTZ |
| 1061 | Fragment de micrograttoir unimarginal sur éclat en QTZH |
| 1073 | Grattoir (?) en QTZ |
| 1074 | Fragment distal de grattoir en ONO |
| 1107 | Grattoir unimarginal sur éclat avec retouches latérales, en TRE |
| 1108 | Fragment de pierre polie |
| 1114 | Microfragment de grattoir en QTZH |
| 1132 | Petit grattoir unimarginal sur éclat en ONO |
| 1141 | Fragment d'outil indéterminé en QTZ |
| 1142 | Fragment de grattoir multimarginal en TRE |
| 1158 | Micrograttoir unimarginal sur éclat en ONO |
| 1170 | Pièce esquillée en QTZT à grain moyen gris enfumé |
| 1187 | Grattoir unimarginal sur éclat en matière indéterminée beige |
| 1188 | Grattoir unimarginal sur éclat en QTZ |
| 1251 | Micropointe à encoches latérales sur éclat et base convexe retouchée, en CHAPH brun |
| 1252 | Fragment distal de grattoir unimarginal sur éclat en ONO |
| 1263 | Fragment méso-distal de grattoir sur éclat en TRE |
| 1275 | Outil indéterminé en IND (chert?) moutonné gris brunâtre |
| 1276 | Fragment de nucléus en TRE |
| 1287 | Petite pièce esquillée en QTZ |
| 1300 | Fragment d'outil bifacial en TRE |
| 1318 | Nucléus en TRE |
| 1322 | Fragment méso-distal de grattoir sur éclat en ONO |
| 1340 | Pièce esquillée en CHC001 blanc |
| 1351 | Outil sur support trouvé ad hoc, en METAM |

| N° cat. | Description |
|---------|--|
| 1376 | Fragment latéral avec marge de grattoir unimarginal sur éclat en TRE |
| 1394 | Fragment d'outil sur éclat retouché en ONO |
| 1396 | Fragment d'outil (pièce esquillée?) sur éclat en QTZ |
| 1405 | Grattoir unimarginal sur éclat en QTZH |
| 1406 | Fragment marginal de grattoir sur éclat en ONO |
| 1418 | Fragment d'outil (pièce esquillée?) sur éclat en QTZ |
| 1425 | Éclat retouché en CHC000 |
| 1426 | Fragment d'outil (pièce esquillée?) en QTZ |
| 1427 | Outil sur éclat épais en IGN gris foncé |
| 1440 | Pièce esquillée en ONO |
| 1448 | Fragment d'outil bifacial en QTZ |
| 1449 | Fragment d'éclat retouché en TRE |
| 1450 | Fragment méso-distal de grattoir unimarginal sur éclat en CHC001 |
| 1458 | Grattoir unimarginal sur éclat en ONO |
| 1459 | Fragment latéral d'outil bifacial en QTZ |
| 1460 | Fragment de grattoir sur éclat en ONO |
| 1461 | Fragment de cristal de QTZ |
| 1491 | Fragment d'outil sur éclat en QTZ |
| 1494 | Fragment latéral d'outil bifacial en QTZ |
| 1525 | Fragment distal de grattoir unimarginal sur éclat en TRE |
| 1530 | Micrograttoir unimarginal sur éclat en ONO |
| 1532 | Fragment de cristal de QTZ |
| 1551 | Grattoir unimarginal sur éclat en ONO |
| 1573 | Fragment de grattoir unimarginal sur éclat en TRE |
| 1595 | Fragment latéral d'un grattoir sur éclat avec petite partie de la marge, en CH000 noir |
| 1608 | Nucléus en QTZ |
| 1641 | Fragment distal d'outil bifacial en CHC000 gris bleuté |
| 1642 | Fragment proximal (basal?) d'outil bifacial, possiblement emmanché (encoche?), en CHC000 gris foncé altéré |
| 1643 | Grattoir unimarginal sur éclat en TRE |
| 1653 | Outil bifacial (préforme) en CHC000 brun grisâtre |
| 1654 | Fragment distal d'outil bifacial en CH000 gris altéré |
| 1664 | Pièce esquillée en QTZ |
| 1665 | Fragment d'outil sur éclat en MISTA |
| 1666 | 2 fragments jointifs de grattoir sur éclat en CH008 |
| 1667 | Fragment marginal de grattoir sur éclat en TRE |
| 1668 | Fragment d'outil sur éclat en TRE |
| 1669 | Petit fragment marginal d'outil bifacial en CHC000 |
| 1670 | Petit fragment distal d'outil bifacial (perçoir?) en CH000 gris foncé |
| 1685 | Outil sur éclat en TRE (variante noire) |
| 1702 | Vidage du puits fouillé en 2021. Micrograttoir unimarginal sur éclat en ONO |
| 1713 | Pièce esquillée en ONO |

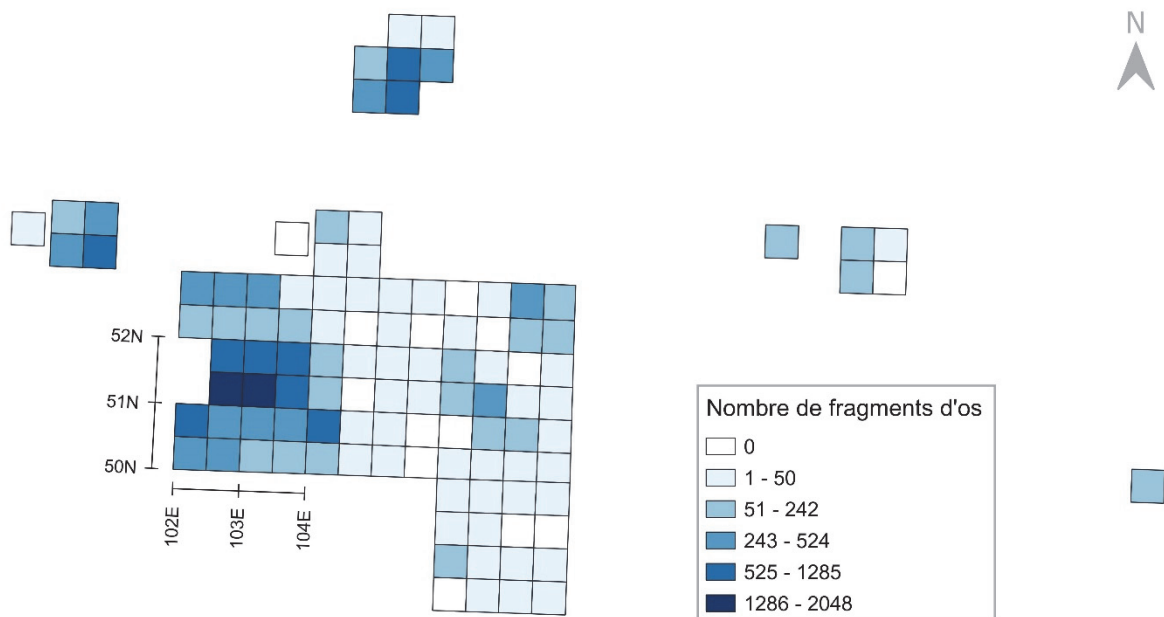
*Pour les codes de matériaux lithiques, se référer à l'annexe B

Restes fauniques

Tous les puits et environ 95 % des quadrants de l'aire de fouilles contiennent des os blanchis. En comparant les plans 4 et 7, une forte corrélation se dessine entre la densité de fragments d'os et la présence de structures ou de témoins de combustion dans l'aire investiguée. Autrement dit, lorsqu'une concentration d'environ 40 à 50 fragments d'os est trouvée dans un quadrant dans ce secteur du site, il y a de fortes chances que des traces de combustion se trouvent à proximité. La structure 8 représente toutefois une exception à cette tendance puisque seule une vingtaine de fragments osseux ont été trouvés dans l'ensemble des trois quadrants associés à cette fosse de combustion.

Parmi les 19 834 fragments d'os trouvés dans l'aire de fouilles, la grande majorité est blanchie et mesure moins de 1 cm de longueur tandis que les os écrus (frais) sont généralement plus grands. Une quantité non négligeable de fragments sont potentiellement identifiables, en particulier les nombreuses petites phalanges de mammifères qui sont certainement surreprésentées par rapport aux autres éléments squelettiques identifiables dans cet assemblage zooarchéologique dont l'analyse est présentement en cours. De plus, quelques vertèbres de poisson témoignent des activités de pêche des occupants de CcFr-1. L'analyse de l'assemblage zooarchéologique permettra de préciser la saisonnalité des occupations répertoriées sur le site ainsi que la gamme d'activités économiques pratiquées en lien avec les matières animales.

Plan 7 Distribution des fragments d'os dans et à proximité de l'aire de fouilles principale sur le site CcFr-1 (2016 à 2022)



Culture matérielle céramique

Douze nouvelles unités de vase (UV23 à UV34) s'ajoutent à la collection céramique du site à la suite de l'intervention de 2022. Cinq d'entre elles proviennent de la collection de surface récoltée sur la plage. Typologiquement, chaque sous-période entre le Sylvicole moyen ancien et le Sylvicole supérieur récent est représentée par au moins une unité de vase.

Plus la collection céramique du site CcFr-1 s'élargit d'année en année, plus elle apparaît comme un ensemble cohérent. L'impression initiale de variété commence à se dissiper. De plus en plus de formes intermédiaires et d'attributs communs mettent en lumière les traditions technologiques qui se sont transmises au sein de différentes communautés de pratique au fil du temps. L'exemple le plus frappant est l'ensemble de vases UV11, UV25, UV26, UV27 et UV28 (planche 7). Le tesson n° 1097 doit aussi être inclus dans ce regroupement et représente potentiellement une sixième unité de vase ayant une pâte, une morphologie et un projet décoratif très similaires, à tout le moins au niveau du bord. La pâte contient généralement de grosses inclusions minérales (2,4 mm à 8 mm) à l'exception du vase 27, qui se distingue par la finesse de sa matrice. La lèvre est biseautée vers l'extérieur et le col est plus ou moins étranglé. Le décor comprend une bande d'empreintes cordées verticales ou obliques à gauche sur le col, qui se poursuit sur la lèvre, et parfois dans le haut de la paroi interne. Des incisions obliques entrecroisent vraisemblablement les empreintes cordées horizontales sur la panse des unités de vase 11, 26 et 27. La paroi interne est scarifiée. Chacune de ces unités est décrite en détail dans l'annexe A.

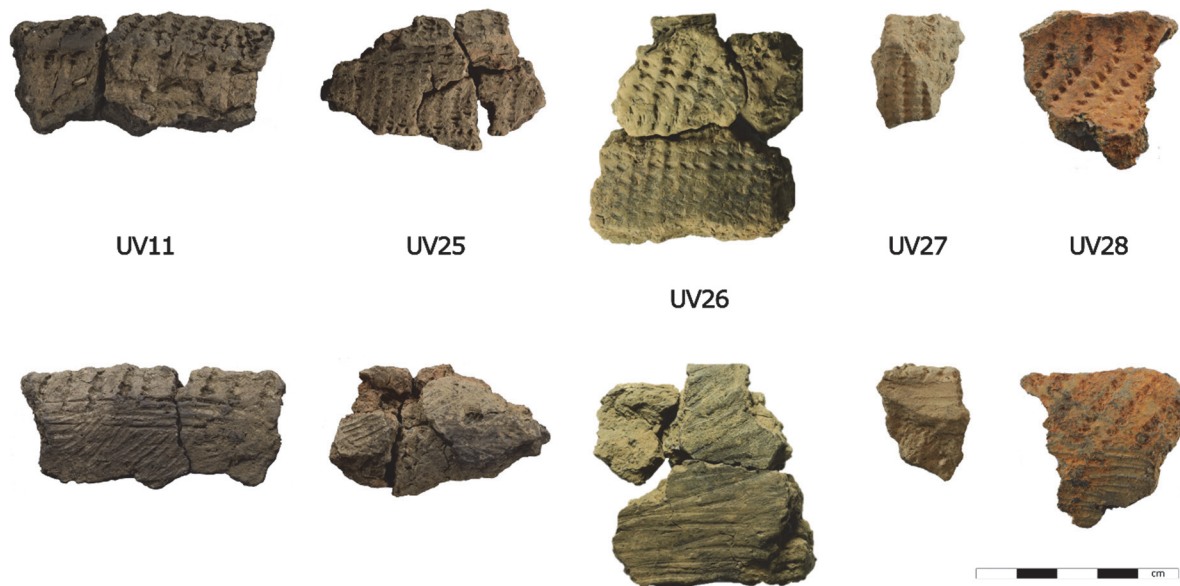
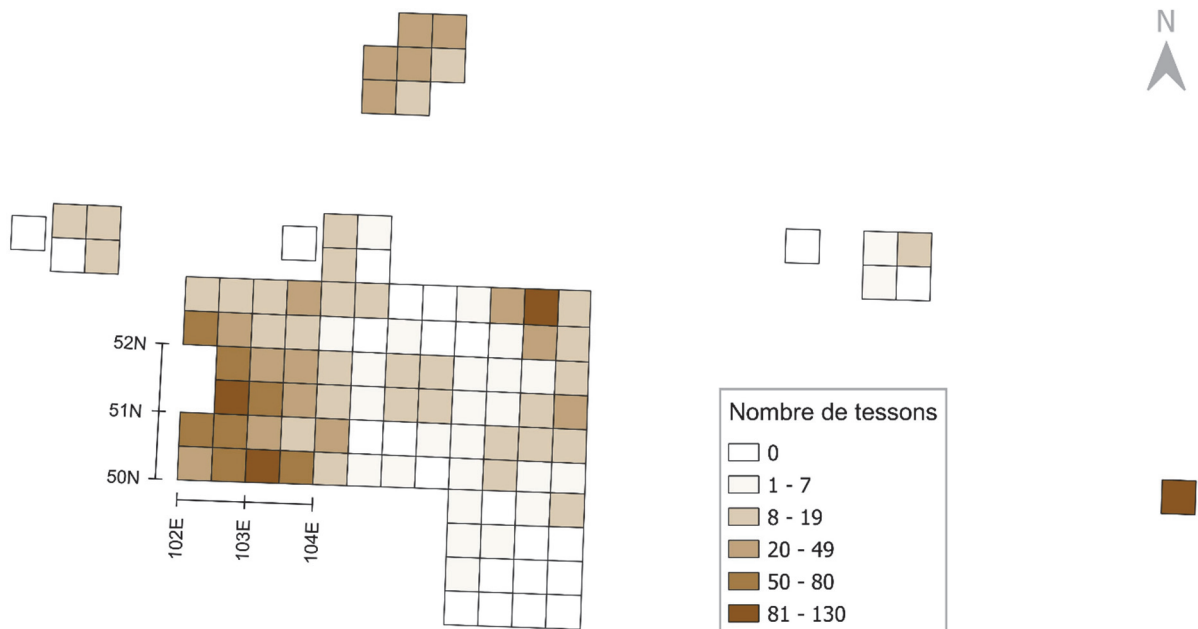


Planche 7 Unités de vase de facture très similaire mises au jour dans ou à proximité de l'aire de fouilles principale sur le site CcFr-1

La distribution des tessons de poterie et des unités de vase dans l'aire de fouilles se sépare en différentes zones qui coïncident avec l'emplacement de structures de foyer ou de restes de combustion (plan 8). Ceci n'est pas surprenant puisque les poteries sont des ustensiles de cuisson. Il est intéressant de noter le degré de concentration des tessons d'un même vase. Environ 95 % (n=144/152) des tessons de l'unité de vase 8 et 90 % (n=62/69) des tessons de l'unité de vase 18 se concentrent dans un espace de 1 m² ou moins. Ces vases se trouvent donc dans des contextes particuliers qui semblent avoir été moins sévèrement affectés par le piétinement et par toute une gamme d'autres processus taphonomiques possibles. La distribution de certains vases, au contraire, témoigne de ces processus et constitue une information tout aussi précieuse. Elle sert d'argument notamment dans l'interprétation du chablis et de la structure 11. Une liste complète de tous les tessons associés à chacune des 34 unités de vase identifiées sur CcFr-1 est présentée dans l'annexe A.

Plan 8 Distribution des tessons en céramique dans et à proximité de l'aire de fouilles principale sur le site CcFr-1 (2016 à 2022)



4.1.3 Inventaire archéologique complémentaire sur le site CcFr-1

En complément à la fouille de l'aire rectangulaire principale, trois sondages (tableau 13 et plan 2) ont été effectués avec l'objectif de continuer à documenter la distribution de la culture matérielle sur le site. Les sondages ont été installés sur la grille orthogonale du site de sorte qu'ils correspondent à un quadrant d'un puits d'un mètre carré. Deux des trois sondages se sont révélés relativement peu concluants. Cela dit, le sondage 50N116E-QSE, situé à l'est de l'aire principale, s'est révélé particulièrement riche en culture matérielle.

Tableau 13 Synthèse des artefacts et écofacts mis au jour pendant l'inventaire complémentaire de 2022 sur le terrain du site CcFr-1

| Sondages | Matériel paléohistorique | | | | | Matériel historique | Échantillons (sol, macrorestes végétaux) | TOTAL |
|--------------------|--------------------------|------------------|--------|-----|----------------------------|---------------------|--|------------|
| | Céramique | Outils lithiques | Éclats | Os | Autre | | | |
| 50N82E-QSW | 0 | 1 | 3 | 0 | 0 | 2 | 0 | 6 |
| 50N116E-QSE | 110 | 2 | 97 | 129 | 1 fragment de pierre polie | 2 | 5 | 346 |
| 76N107E-QSW | 0 | 0 | 0 | 0 | 0 | 34 | 0 | 34 |
| Total | 110 | 3 | 100 | 129 | 1 | 38 | 5 | 386 |

Le sondage 76N107E-QSW, situé au nord de la remise, a été positionné sous la structure en métal à trois poteaux qui est visible sur la photographie aérienne de 1955 (figure 18). L'objectif principal de ce sondage était de vérifier la présence du remblai de nivellement associé à l'installation du terrain de tennis sur l'ancienne propriété du Dr Jacques Cartier. Le sondage n'a livré que du matériel historique récent et est donc considéré comme étant négatif. Sa séquence stratigraphique rappelle celle du puits 56N105E, soit un remblai de nivellement, suivi d'une séquence podzolique (Ah, Ae et Bf) (photo 24).



Photo 24 Stratigraphie de la paroi sud du sondage 76N107E-QSW (modification de CcFr1-2022_NUM2-252)

Le sondage 50N82E-QSW a été positionné près du chemin d'accès public au lac à l'ouest de la propriété Bélanger. Il a été ciblé en raison du potentiel archéologique élevé de l'axe 50N, qui correspond à une portion intacte d'une ancienne terrasse à proximité du rivage. Il n'a livré que trois éclats et un fragment d'outil ou nucléus en chert Onondaga. La stratigraphie du sondage révèle une séquence similaire aux sondages J31 et J32 (photo 25). S'y succède un aménagement de surface moderne posé sur un horizon Ah brun foncé à noir, d'une épaisseur de 20 cm à 25 cm, et à l'intérieur duquel se trouvait la totalité des artefacts récoltés (n=6). La dernière couche observée était composée d'un sable légèrement limoneux orangé et induré (horizon Bf).



Photo 25 Stratigraphie de la paroi nord du sondage 50N82E-QSW (CcFr1-2022_NUM1-326)

Le sondage 50N116E-QSE a été placé près de la maison construite par le Dr Jacques Cartier dans les années 1950 et sur l'axe qui correspond au sommet d'un ancien talus en bordure de la plage (photo 26). Il a livré un total de 346 artefacts et écofacts, dont 110 tessons en céramique, 97 éclats, deux outils en pierre taillée, un possible fragment de pierre polie, deux fragments d'ocre rouge (photo 27) et 129 fragments d'os blanchis. Sa séquence stratigraphique est en tout point similaire à celle dans l'aire de fouilles principale (photo 28, figure 23). La grande majorité de la culture matérielle a été trouvée dans l'horizon Ah, soit dans le niveau 2 (10 à 40 cm), un sable limoneux brun foncé à noir. Plusieurs témoins de combustion, tels qu'un amas de pierres rougies et des fragments de charbon, ainsi que l'enfoncement du niveau dans le coin nord-est du sondage, suggèrent la présence d'une cuvette de foyer. Deux grattoirs en quartz hyalin et en chert Kichisipi ont été mis au jour dans le sondage de même que 97 éclats répartis en neuf matières premières. Celles-ci sont le chert Kichisipi (n=8), le chert Onondaga (n=10), le chert calcaire ONT001 (n=2), le chert à radiolaires CH039 (n=2), le quartz (n=55), le quartzite de Mistassini (n=1), le quartz hyalin (n=1), le chert (n=16) et le quartzite (n=2). Ces matières ont toutes été trouvées ailleurs sur le site CcFr-1. Il est aussi intéressant de noter la présence d'un tesson de bord (CcFr-1.2022.1097) qui pourrait appartenir à l'unité de vase 11 étant donné leurs grandes ressemblances décoratives et morphologiques. En revanche, la distance d'environ 13 m qui sépare ce tesson de l'aire de distribution du vase 11 suggère qu'il pourrait s'agir d'un vase distinct. Les résultats significatifs obtenus lors de la fouille du sondage 50N116E-QSE permettent de supposer que le potentiel archéologique à cet endroit semble être aussi prometteur que celui de l'aire de fouilles principale.



Photo 26 Emplacement du sondage 50N116E-QSE sur une partie intacte de la terrasse précédant la plage du site CcFr-1 (CcFr1-2022_NUM2-347)



Photo 27 Fragment d'ocre rouge (CcFr1.2022.1117) réduit en poudre

Figure 23 CcFr-1, stratigraphie de la paroi nord du sondage 50N116E-QSE

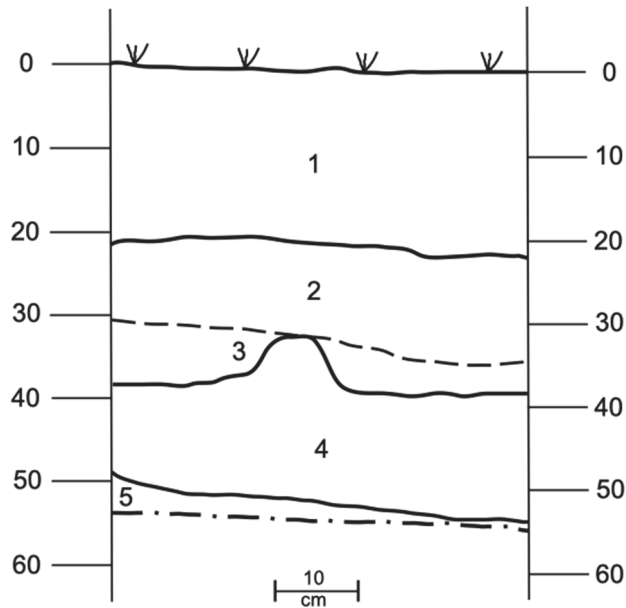


Photo 28 Stratigraphie de la paroi nord du sondage 50N116E-QSE (modification de CcFr1-2022_NUM2-417)

1. Sable limoneux brun homogène avec racines et radicelles.
Interprétation : Tourbe de surface et partie supérieure de l'horizon Ah.
2. Sable limoneux organique brun foncé à noir, homogène, riche en particules de charbon, petits galets et culture matérielle ancienne.
Interprétation : Surface d'occupations ancienne dans l'horizon Ah.
3. Sable limoneux brun homogène avec sédiments organiques
Interprétation : Fond d'une structure de combustion.
4. Sable limoneux brun à brun grisâtre ferme et homogène.
Interprétation : Transition graduelle de l'horizon Ah à l'horizon Bf.
5. Sable fin brun orangé homogène.
Interprétation : Horizon Bf.

4.1.4 Inventaire archéologique complémentaire sur la plage du site CcFr-1

Au cours des dernières années, M. Robert Bélanger, qui participe chaque année activement aux recherches effectuées sur sa propriété, a acquis une bonne expérience en archéologie. Depuis, il a récupéré sur sa plage et même directement dans le lac une impressionnante collection d'artefacts lithiques et céramiques. Un inventaire préliminaire de cette collection est publié dans l'annexe E du présent rapport. Dans un premier temps, la présence de ces artefacts sur la plage semblait résulter de l'érosion et de la dégradation des berges, un phénomène qui a été observé pendant la fouille de l'aire A en 2017. La découverte des tessons n^{os} S9 et S13 (UV11) sur la plage suggère effectivement que cette érosion a eu lieu. Il semble également possible, cependant, qu'une partie des découvertes fortuites sur la plage provienne d'occupations *in situ*. Cette hypothèse a motivé la décision de procéder à un premier inventaire de la plage en 2021 (Taché *et al.* 2022 : 65-70). Les restes d'un foyer avaient alors été mis au jour dans le sondage J47, mais la présence d'artefacts anciens et modernes parmi ces restes jetait un doute sur l'intégrité de la structure.

L'inventaire de la plage s'est poursuivi cette année. L'objectif était de poursuivre la recherche de possibles contextes archéologiques préservés sous la couche de sable de surface. En raison du niveau élevé de l'eau du lac, qui atteignait cette année presque le muret de pierre à notre arrivée sur les lieux, les sondages ont été effectués davantage du côté est de la plage, vers l'embouchure du ruisseau Jourdain.

Neuf sondages (J52 à J60) ont été réalisés sur la plage en partant de l'extrémité est du muret de pierre (plan 9). Le choix de leur emplacement le long de la plage a été décidé de concert avec M. Bélanger, en fonction de la localisation de ses découvertes fortuites. Tous les sondages se sont avérés positifs, mais aucun contexte d'occupation intact n'a été observé. Au total, 177 os blanchis, 59 éclats, quatre outils lithiques et 20 tessons de céramique ont été mis au jour lors de cet inventaire (tableau 14).

Tableau 14 Synthèse des artefacts et écofacts mis au jour pendant l'inventaire complémentaire de 2022 sur la plage du site CcFr-1

| Sondage | Os | Éclats | Outils lithiques | Céramique | Total |
|--------------|------------|-----------|------------------|-----------|------------|
| J52 | 5 | 1 | 0 | 0 | 6 |
| J53 | 4 | 8 | 2 | 9 | 25 |
| J54 | 25 | 8 | 0 | 1 | 34 |
| J55 | 12 | 4 | 1 | 4 | 21 |
| J56 | 22 | 7 | 0 | 3 | 32 |
| J57 | 4 | 3 | 2 | 1 | 10 |
| J58 | 45 | 14 | 2 | 2 | 63 |
| J59 | 58 | 9 | 0 | 0 | 67 |
| J60 | 2 | 5 | 0 | 0 | 7 |
| Total | 177 | 59 | 7 | 20 | 263 |



Plan 9 Zone d'inventaire archéologique sur la plage du site CcFr-1

Concernant la stratigraphie, une séquence assez similaire a été notée dans la plupart des sondages (photo 29). Les sondages J52 à J59, qui ont été creusés à même la plage, sont caractérisés par une succession de couches de sable fin à grossier dont la couleur peut varier entre le gris, le gris foncé et le gris orangé. La fouille se terminait non pas en raison d'une absence de culture matérielle, mais bien lorsque la nappe phréatique était atteinte, ce qui explique la profondeur finale variable des sondages. D'ailleurs, la fouille sur la plage nécessitait beaucoup de délicatesse, puisque le sable humide et meuble tend à s'éroder en creusant. Ceci a engendré notamment un effondrement de la paroi sud du sondage J54. Dans le cas particulier du sondage J55, la fouille s'est terminée à environ 60 cm de profondeur sur une couche argileuse gleyifiée qui n'est pas sans rappeler celle observée au fond de l'aire de fouilles principale. Elle s'est probablement déposée à une époque où le niveau de l'eau du lac était plus élevé qu'aujourd'hui.



Photo 29 Stratigraphie de la paroi nord du sondage J55 (modification de CcFr1-2022_NUM2-51)

De son côté, le sondage J60 a été positionné sur une terrasse sableuse, à l'intérieur du boisé au bout de la plage. Il est localisé à environ 5 m à l'est du sondage J14 réalisé en 2016. Sa séquence stratigraphique (figure 24, photo 30) est caractéristique d'un podzol, mais les couches semblent avoir été perturbées régulièrement notamment par les débordements saisonniers du ruisseau Jourdain. Elles se succèdent dans l'ordre suivant : une litière, une couche de sable beige légèrement limoneux, un ancien horizon Ae perturbé, les restes d'un horizon Ah perturbé et un horizon Bf contenant de multiples lentilles de matière organique et de sédiments éluviés. La culture matérielle dans ce sondage provient des dix premiers centimètres de la dernière couche.

Figure 24 CcFr-1, stratigraphie de la paroi est du sondage J60

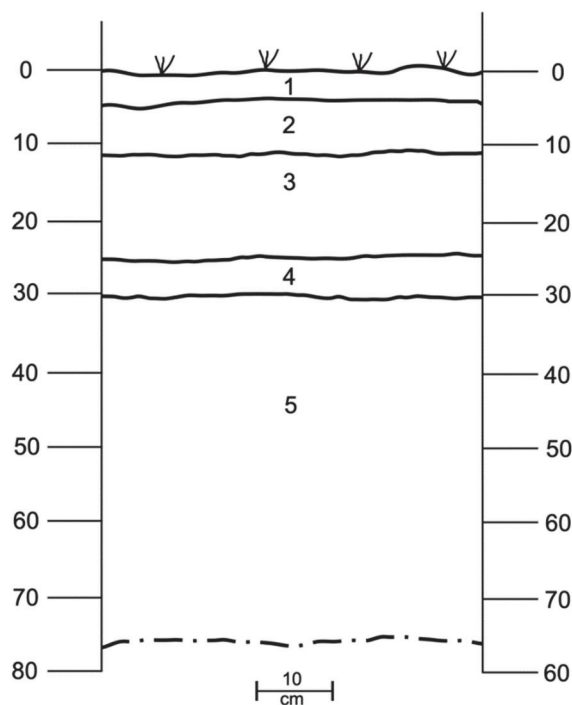


Photo 30 Stratigraphie de la paroi est du sondage J60 (modification de CcFr1-2022_NUM2-334)

1. Sable limoneux organique gris-brun meuble avec radicelles et une végétation herbacée de surface.

Interprétation : Litière de surface.

2. Sable légèrement limoneux beige meuble avec racines et radicelles.

Interprétation : Dépôt indéterminé.

3. Sable blanc-gris meuble.

Interprétation : Horizon Ae.

4. Sable noir organique meuble.

Interprétation : Ancien horizon Ah.

5. Sable beige orangé meuble avec lentilles de sable gris et brun-noir.

Interprétation : Horizon Bf perturbé contenant des sédiments des horizons Ae et Ah.

De façon générale, les sondages réalisés sur la pointe et sur la plage du site CcFr-1 en 2016, 2021 et 2022 partagent une même caractéristique : le matériel ancien est mélangé au matériel récent et tous sont constitués de couches de sable meuble (Taché et Lamothe 2017 : 42-45, Taché *et al.* 2022 : 69-75). Les nombreuses découvertes fortuites de M. Bélanger ainsi que la culture matérielle retrouvée en inventaire sur la plage et sur la pointe du site ne semblent pas s'inscrire dans leur contexte d'origine. Il y a peu de chances que des contextes d'occupation soient encore en place dans ce secteur du site. Étant assujettie à la crue printanière et à la dynamique fluviale changeante du delta du Jourdain au fil du temps, la pointe du site CcFr-1 a souvent été balayée par des courants qui ont perturbé sa surface et les traces d'occupations humaines qui s'y trouvaient. Une observation attentive de l'imagerie satellite actuellement disponible montre que le chenal du Jourdain pouvait s'étendre beaucoup plus loin à l'intérieur du Grand lac Nominungue, possiblement jusqu'à une centaine de mètres de distance de son embouchure actuelle (figure 14). Cela signifie que le niveau moyen du lac a pu être, à une époque antérieure indéterminée, beaucoup plus bas qu'aujourd'hui. La remontée de ses eaux aurait par conséquent contribué à la perturbation des contextes archéologiques situés au niveau de la plaine inondable du Jourdain. Ceux-ci ont pu être rongés par les vagues et déplacés au gré des crues sur la pointe qui, elle-même, doit avoir changé de morphologie au fil du temps.

4.1.5 Conclusion de l'intervention

Un minimum de 16 structures et dépôts associés à des activités de combustion ont été identifiés. Or, bien que ces contextes d'occupation aient été circonscrits, les informations accumulées et synthétisées à leur sujet jusqu'à présent ne nous permettent pas d'établir avec certitude un découpage précis des différents niveaux ou surfaces d'occupation. Il est vraisemblable que le nombre d'occupations anciennes du site CcFr-1 soit en réalité plus élevé.

Comme suggéré par la distribution verticale et horizontale des artefacts, plusieurs facteurs taphonomiques peuvent expliquer l'emmêlement des traces d'occupations différentes : le piétinement, la réutilisation d'un foyer ou d'une surface d'occupation, l'activité racinaire (dont le chablis) et d'animaux fouisseurs, ainsi que les travaux d'aménagement modernes. Toutes ces occupations anciennes se retrouvent concentrées dans le même horizon de 20 cm à 30 cm d'épaisseur essentiellement. Du point de vue du fouilleur, il est difficile, voire impossible, de distinguer les sédiments d'occupations distinctes au sein de l'horizon Ah, sauf lorsque la proportion de charbon de bois ou la juxtaposition avec l'horizon Bf fait contraste. Enfin, la disposition générale des témoins d'occupation et la poursuite de l'inventaire sur le terrain confirment que les contextes d'occupation humaine se poursuivent à l'extérieur des limites de l'aire investiguée jusqu'à maintenant. L'hypothèse que la densité des occupations diminue systématiquement à mesure que l'on s'éloigne du rivage (Taché et Lamothe 2019 : 81) doit être nuancée. En effet, on observe une présence importante des témoins archéologiques au sommet du talus (axe 50N), mais également à l'intérieur de la terrasse, soit autour des puits 52N102E, 53N107E, 53N100E, 56N105E et 50N116E. Les zones autour de ces puits présentent donc un fort potentiel pour la découverte de nouvelles traces d'occupation.

La chronologie des multiples occupations de l'embouchure du ruisseau Jourdain est difficile à établir sans recours à des datations absolues¹¹, puisque la plupart des contextes sont mélangés à d'autres. Peu de matériel lithique diagnostique a été mis au jour à l'intérieur de l'aire de fouilles. La typologie des témoins céramiques, quoiqu'approximative, constitue le principal indice pour établir des repères temporels. Chaque sous-période entre le Sylvicole moyen ancien et le Sylvicole supérieur récent est représentée par au moins une unité de vase (voir annexe A), ce qui témoigne de l'utilisation de cet espace comme site de campement depuis plus de deux millénaires.

La délimitation d'une occupation intacte datant de l'Archaïque n'a toujours pas été possible sur le site CcFr-1. Ironiquement, c'est la découverte fortuite d'artefacts exceptionnels associés à cette période - les outils lithiques trouvés pendant la construction de la maison du Dr Jacques Cartier vers 1949 - qui a orienté l'intérêt des archéologues sur le site (Ethnoscop 2005). Trois outils sur quatre dans cette collection sont complets. Seule la pointe du couteau est brisée. Ils avaient donc encore au moins une certaine valeur utilitaire lorsqu'ils ont été laissés sur place. La rareté de ces types d'outils en contexte archéologique et leur état fonctionnel les distinguent des autres traces d'occupation sur CcFr-1, qui laissent plutôt croire à des scènes de la vie quotidienne. Ce qui est clair est qu'aucune trace d'occupation dans l'aire de fouilles principale sur le terrain de M. Robert Bélanger n'a pu être associée définitivement à la période archaïque. En effet, le plus ancien marqueur chronologique identifié dans cette partie du site est la céramique décorée d'empreintes ondulantes (p. ex. CcFr-1.2022.1547), plutôt caractéristique du Sylvicole moyen ancien (entre 2400-1500 ans AA). Aussi rare qu'ils soient, les indices d'occupation de l'Archaïque ont généralement été trouvés lors de collectes de surface par le propriétaire, sur la plage, de même que dans des sondages qui y ont été effectués. En premier lieu, une pointe de projectile en rhyolite beige s'apparentant au type Lamoka (CcFr-1.2022.836) a été mise au jour dans le sondage J57 (planche 6). L'artefact pourrait dater de l'Archaïque récent, soit entre 4 200 à 3 800 ans AA. Ce potentiel témoin d'une période récente de l'Archaïque fait écho à d'autres indices qui ont été mis au jour à l'embouchure du ruisseau Jourdain. Quelques éclats, de même qu'un potentiel fragment proximal d'outil bifacial en pierre pyroclastique ont été trouvés sur la plage (CcFr1.2022.S105, .S105, .S226 et .S259) par le propriétaire du terrain. La pierre pyroclastique est une matière qui semble circuler dans la vallée de l'Outaouais principalement pendant l'Archaïque supérieur (entre 4600-2950 ans AA), mais aussi dans une moindre mesure pendant le Sylvicole inférieur et moyen (Cadieux 2011). Si la présence de pierre pyroclastique au ruisseau Jourdain peut paraître isolée aux vues de sa distribution mieux connue dans la vallée de la rivière des Outaouais, elle est significative puisque ce matériau lithique a également été identifié au Petit lac Nominique, dans la portion terminale d'un portage ancestral sur un itinéraire connectant la vallée de la rivière des Outaouais à la région de Nominique (Taché et Lamothe 2021). La présence de ce matériau a également été documentée jusqu'en Haute-Mauricie, à l'embouchure de la rivière Némiscachingue, dans la portion nord du lac éponyme (Pilette, à paraître).

¹¹ Des datations au radiocarbone ont récemment été obtenues et sont en cours d'analyse.

4.2 Inventaire complémentaire au Petit lac Nomingue (CcFs-2)

L'intervention archéologique réalisée en 2022 a permis de poursuivre l'inventaire au Petit lac Nomingue, à la Pointe Monseigneur. À cet endroit, un site avait été identifié dès 2011 (Treyvaud 2012) et avait fait l'objet d'une seconde intervention en 2015 (Taché et Lamothe 2016). Si les travaux s'étaient concentrés en 2015 sur la portion du terrain des Sœurs de Sainte-Croix située tout juste du côté est de leur résidence, l'intérêt s'est porté en 2022 sur les rives du côté ouest, un secteur pour lequel l'inventaire de 2011 n'avait révélé aucun contexte archéologique. L'inventaire réalisé le 7 juillet 2022 a permis d'effectuer 25 sondages (PDS1 à PDS25) dont trois se sont avérés positifs (figure 27).

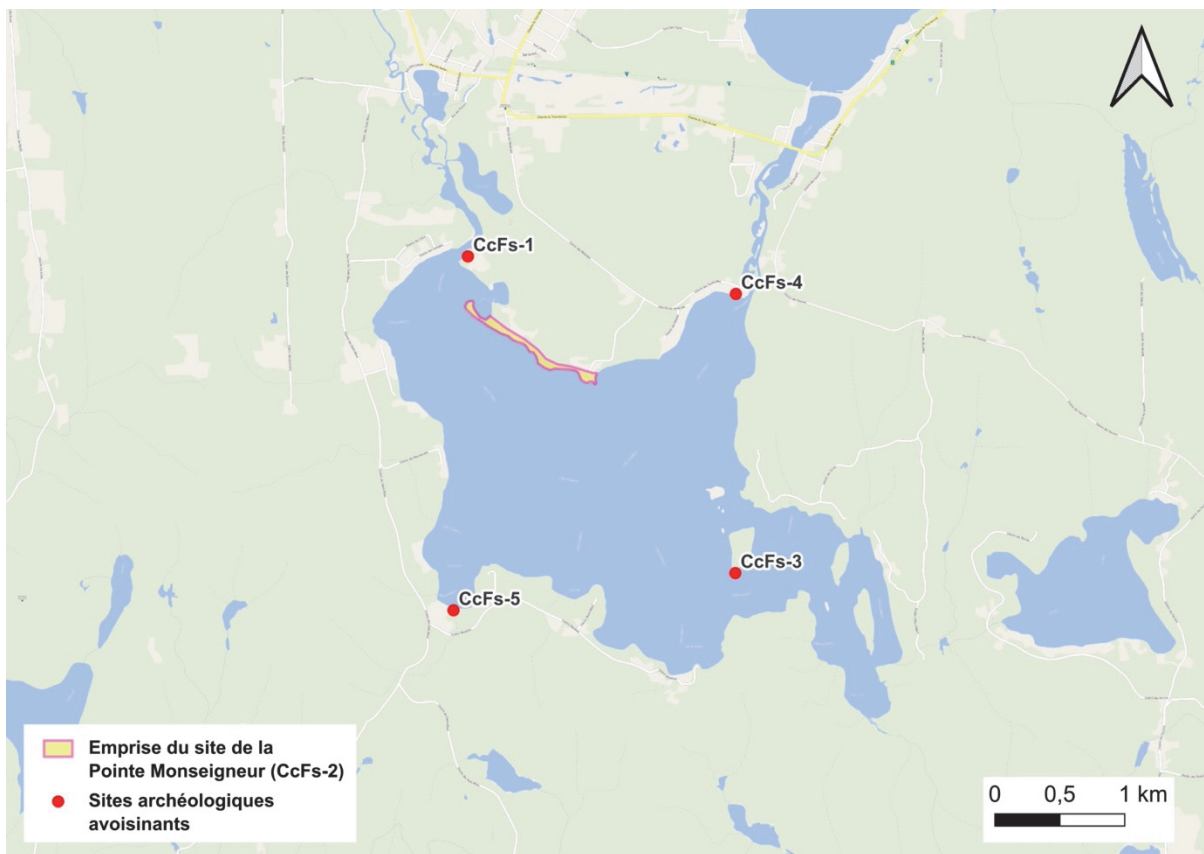


Figure 25 Carte de la localisation du site CcFs-2 et des sites avoisinants au Petit lac Nomingue



Figure 26 Carte satellite de la localisation du site CcFs-2 et de sites avoisinants au Petit lac Nominingue

C'est directement sur la frange de la plage sableuse tout juste à l'ouest de l'ancienne résidence des Sœurs Sainte-Croix que de petits assemblages d'os blanchis ont été mis au jour dans les sondages PDS5 et PDS13 (photo 31). Ces os ont été retrouvés dans les premiers centimètres du sable de surface ou un peu plus profondément, mais



Photo 31 Localisation du sondage PDS5 (CcFs2-2022_NUM1-010)

alors que des artefacts modernes (clous tréfilés, fragments de vitre et de verre) ont été retrouvés soit dans le même niveau ou dans les couches sous-jacentes, ce qui fait en sorte que ces os pourraient être assez récents. La fouille des sondages s'est poursuivie jusqu'à l'atteinte d'une profondeur d'un peu plus de quarante centimètres, révélant une succession de sols

distincts qui paraissent correspondre à plusieurs dépôts perturbés plutôt qu'à une stratification de la pédologie naturelle, notamment dans le cas du sondage PDS5 (figure 28).

En ce qui concerne les sondages à l'arrière de la plage, la distinction la plus notable se résumait à la présence de remblais de nivellement en portion supérieure, consécutifs à l'aménagement du terrain.



Figure 27 Localisation des sondages et limites du site CcFs-2. Les sondages positifs sont surlignés en blanc et rouge.

À proximité, des assemblages assez pauvres de quelques os blanchis ont également été mis au jour dans le sondage PDS13 de même qu'en surface du sondage PDS19, une cinquantaine de mètres plus loin. Il est à noter que les assemblages étaient constitués de petits fragments impossibles à identifier macroscopiquement et que ceux-ci se trouvaient dans des niveaux de sols où des artefacts récents ont également été mis au jour.

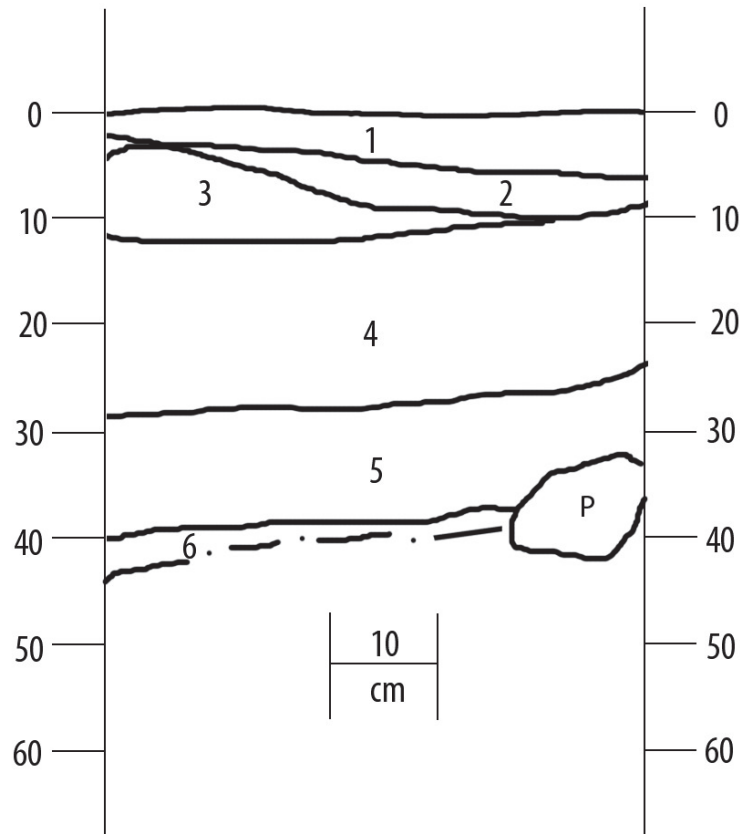


Photo 32 Stratigraphie de la paroi sud du sondage PDS25 (CcFs2-2022_NUM1-025)

En poursuivant l'inventaire au nord de la plage, dans la partie boisée des rives de la propriété, la seule distinction notable était d'ordre stratigraphique, la pédologie des sols investigués prenant l'aspect d'un podzol forestier (photo 32). Un seul des sondages de ce secteur s'est avéré positif. Le sondage PDS19 présentait les mêmes caractéristiques que ceux creusés sur la plage, soit quelques os blanchis trouvés en surface dans un contexte où s'entremêlaient des artefacts modernes.

L'inventaire réalisé en 2022 a donc permis d'identifier quelques sondages positifs, mais les quelques os blanchis mis au jour dans des contextes où se trouvaient également des témoins matériels récents ne permettent pas d'en tirer des interprétations concluantes. À l'heure actuelle, la portion de terrain située du côté est de l'ancienne résidence des Sœurs Sainte-Croix, demeure le lieu à privilégier dans l'éventualité de fouilles archéologiques, étant donné les résultats concluants obtenus lors des interventions de 2011 et de 2015 (Treyvaud 2012, Taché et Lamothe 2016).

Figure 28 CcFs-2, stratigraphie de la paroi est du sondage PDS5



1. Sable limoneux brun foncé homogène et meuble contenant des racelles.
Interprétation : Sable de surface et d'occupation actuelle.
2. Sable limoneux brun orangé foncé, homogène et meuble, contenant des racelles.
Interprétation : Dépôt indéterminé.
3. Sable limoneux beige, homogène et meuble contenant des racelles.
Interprétation : Dépôt indéterminé.
4. Sable fin noirâtre taché de sable orangé et de sable gris, humique, hétérogène et meuble.
Interprétation : Horizon humique d'origine perturbé.
5. Sable fin brun foncé, plutôt hétérogène et meuble, contenant des racines et des racelles.
Interprétation : Dépôt indéterminé.
6. Sable moyen beige, homogène et meuble.
Interprétation : Horizon naturel stérile (C).

4.3 Inventaire archéologique à L'Ascension

L'inventaire réalisé à L'Ascension le 14 juillet 2022 a été mis en place pour donner suite au rapport de découverte fortuite par M. Roger Fournier sur sa propriété du 384, chemin des Îles. Il s'agit d'une terre se trouvant à quelques kilomètres au nord du village de L'Ascension et à environ 400 mètres du cours actuel de la rivière Rouge.



Figure 29 Localisation du lot cadastral de l'intervention à L'Ascension

C'est lors du nivellement mécanique d'une petite portion du terrain que M. Fournier a fait la découverte, il y a quelques années, de deux bifaces et d'une pointe à encoche en quartzite de Mistassini en parfait état. Bien que la propriété ait manifestement fait l'objet de travaux de coupe de bois et de reboisement, ces perturbations ne paraissent pas à première vue avoir été assez importantes pour avoir entièrement détruit les contextes archéologiques potentiels. Les cartes satellitaires montraient pour leur part que les méandres de la rivière Rouge dans ce secteur ont connu des changements significatifs au fil du temps, ce qui permettait d'envisager qu'à certains moments la rivière aurait pu passer beaucoup plus près du lieu des découvertes de M. Fournier (figure 29). De plus, de nombreuses découvertes archéologiques ont été effectuées le long de la rivière Rouge et des lacs des environs, notamment au lac Maison-de-Pierre où 11 sites archéologiques paléoautochtones ont pu être identifiés (Ethnoscop 1988).

Au total, ce sont 20 sondages archéologiques qui ont été réalisés sur la propriété de M. Fournier (figure 30). Ils se sont tous avérés négatifs. C'est dans le périmètre des découvertes fortuites de M. Fournier que les sondages archéologiques réalisés ont été dans un premier temps concentrés (RF1 à RF8). Il s'agit d'un espace relativement vaste et dégagé qui permet l'accès aux véhicules (photo 33). La fouille de ces sondages a permis de constater les importantes perturbations associées au nivellement du terrain. Tous les niveaux pédologiques supérieurs, incluant les niveaux d'occupations anciens potentiels, ont été décapés (photo 35). Tous ces sols se trouvent d'ailleurs entassés en monticule en périphérie de la clairière. Un sondage (RF11) réalisé dans le bourrelet de sol hétérogène le plus rapproché des découvertes fortuites n'a livré aucun témoin matériel. Deux autres sondages, effectués pour leur part dans le boisé mixte derrière la clairière (RF9 et RF10), n'ont livré aucun résultat sinon la présence de podzols forestiers.



Figure 30 Localisation des sondages de l'inventaire réalisé à L'Ascension

La suite de l'inventaire s'est ensuite déployée vers le nord-ouest, dans le boisé de conifères cultivés situé entre la clairière et le chemin des Îles (photos 33 et 34). Aucune trace d'occupation anthropique n'y a été observée et tous les sondages présentaient une stratigraphie associée à des podzols forestiers (photos 35 et 36).



Photo 33 Aire principale des sondages réalisés dans la clairière (Asc-2022_NUM1-001)



Photo 35 Stratigraphie de la paroi est du sondage RF5 avec horizon Ae résiduel décapé et horizon Bf (Asc-2022_NUM1-004)



Photo 34 Inventaire dans la forêt de conifères cultivés (Asc-2022_NUM1-009)



Photo 36 Stratigraphie de la paroi ouest du sondage RF14 (Asc-2022_NUM1-010)

Étant donné les résultats décevants, l'impossibilité d'établir une stratégie d'intervention satisfaisante et les mauvaises conditions météorologiques, l'inventaire archéologique a été interrompu après 20 sondages. Selon toute vraisemblance, les artefacts récupérés par M. Fournier relèvent d'un contexte de perte fortuite ancien ou de cache pour lesquels il n'est pas possible d'adapter un inventaire étendu à l'ensemble du terrain. À cet égard, les chances de découvertes seraient beaucoup plus élevées en suivant les berges de la rivière Rouge, bien que l'effet de l'érosion des berges a sans doute entraîné la perte de nombreux contextes d'occupations.

5. CONCLUSION

L'intervention archéologique effectuée au Grand lac Nominingue a une fois de plus permis d'enrichir nos connaissances sur la dynamique de l'occupation par les populations autochtones du très vaste territoire des Hautes-Laurentides.

La fouille menée pour la première fois sur CcFr-1 en formule de chantier-école a permis de mettre un peu d'ordre dans le palimpseste d'occupations enregistrées dans l'aire de 18 m² qui avait été entamée en 2021. Le total de 17 structures et restes de combustion qui ont été identifiés à l'aide de l'ensemble des données cumulées n'ont été que partiellement mis au jour et pourront faire l'objet de futures interventions. L'importante collection amassée en cours de fouille compte entre autres 1 056 tessons de poterie, 1 105 éclats, 76 outils lithiques variés et 9 375 fragments d'os. Ces quantités viennent s'ajouter au corpus imposant de données réunies sur le site du ruisseau Jourdain. L'analyse céramique a permis d'identifier 12 nouvelles unités de vase et de distinguer un ensemble d'au moins cinq vases qui partagent plusieurs attributs au niveau de leur fabrication, de leur morphologie et de leur décoration proprement dite. Cet ensemble témoigne d'une transmission de connaissances technologiques qui s'est vraisemblablement manifestée dans la production de plusieurs potières. L'analyse lithique continue de démontrer que les occupants du site se procuraient des outils et des matières premières de sources éloignées comme le quartzite de Mistassini, le chert Onondaga et le chert à radiolaires CH039, et qu'ils mettaient aussi à profit les matières locales telles que le quartz et le chert Kichisipi. Des analyses plus poussées des contextes présentés dans ce rapport nous donneront éventuellement un portrait plus détaillé de ce à quoi devait ressembler le quotidien des personnes qui ont vécu sur le site entre la fin de la période de l'Archaique et le XIX^e siècle.

Un inventaire complémentaire du site CcFr-1 a révélé le potentiel archéologique élevé de la zone entourant le sondage 50N116E-QSE situé près du chalet de Claudie Bélanger, au sommet du talus menant à la plage. La plage, quant à elle, n'a livré que des mélanges de culture matérielle ancienne et récente. Aucune structure *in situ* n'y a été repérée. L'effondrement de la paroi sud du sondage J54 lors de sa fouille démontre que la méthode d'inventaire par sondage carré de 50 cm sur 50 cm n'est peut-être pas la mieux adaptée à un contexte de plage. L'excavation d'une tranchée plus large constitue un moyen alternatif à envisager lors d'une intervention future. Si cette méthode ne minimise pas nécessairement le risque d'effondrement d'une paroi de sable meuble, elle permet une meilleure appréciation générale

du tissu archéologique résiduel et offre davantage d'espace de travail à l'archéologue dont chaque geste est susceptible de la fragiliser.

L'inventaire à la pointe Monseigneur du Petit lac Nominingue s'est avéré décevant malgré un potentiel établi sur la base de recherches effectuées en 2015. Si l'inventaire de 2022 a livré trois maigres sondages positifs, la découverte d'os blanchis dans des contextes où il y avait des témoins matériels récents ne permet pas de tirer de conclusions intéressantes.

À L'Ascension, les découvertes fortuites de deux bifaces et d'une pointe de projectiles en quartzite de Mistassini en parfait état sur un terrain près de la rivière Rouge avaient encouragé à tenter un inventaire dans ce secteur. Malheureusement, l'absence totale de découverte et les conditions difficiles d'inventaire archéologique ont finalement justifié d'y interrompre le travail après 20 sondages négatifs.

En raison de l'immensité du territoire des Laurentides, les recherches entreprises depuis 2015 n'ont révélé qu'une infime partie de son riche patrimoine archéologique. Il est évident que de nouveaux aspects de l'histoire autochtone ancienne de cette région seront découverts à mesure que les recherches archéologiques se poursuivront. C'est dans ce contexte que le programme de recherche en cours a été élaboré, dans un contexte collaboratif entre l'Université Laval et l'organisme local des Gardiens du patrimoine archéologique des Hautes-Laurentides. De plus, la poursuite du volet collaboratif avec la Première Nation Kitigan Zibi Anishinàbeg s'est avérée encore une fois un succès. Leur participation active à la compréhension de leur histoire ancienne constitue un modèle qui devrait à notre avis être appliqué à tout projet archéologique s'intéressant à l'histoire ou paléohistoire autochtone.

6. RECOMMANDATIONS

Dans la perspective d'éventuelles interventions archéologiques ou de travaux d'aménagement futurs dans les régions de Nomingue et de L'Ascension, les données archéologiques récoltées et les observations faites en 2022 nous permettent d'émettre les recommandations présentées ci-dessous.

Site du ruisseau Jourdain (CcFr-1) au Grand lac Nomingue

1. La qualité des assemblages mis au jour sur le site met en évidence l'importance de ce lieu pour la recherche archéologique. La poursuite des fouilles est vivement recommandée.
2. Adapter la méthodologie de fouille en privilégiant l'aire ouverte et la localisation systématique en plan (nord/est ou x/y) de tous les artefacts et écofacts découverts *in situ*, au lieu de se limiter aux pièces jugées importantes (p. ex. outils lithiques, tessons de bord, etc.).
3. Cibler en priorité les puits de fouille attenants aux structures incomplètes, notamment :
 - a. autour des puits 52N102E et 53N100E pour circonscrire la surface d'occupation et obtenir des échantillons de charbon datables pour les structures 5 et 6;
 - b. les puits 55N104E, 55N105E et 56N104E pour mieux documenter le niveau d'occupation associé au foyer de l'aire E et pour éviter la confusion autour de l'aire E, composée des quadrants de quatre puits différents;
 - c. les puits attenants au puits 52N107E;
 - d. la zone autour du sondage 50N116E-QSE.
4. Si le propriétaire souhaite procéder à des aménagements sur sa propriété, effectuer un inventaire ou une fouille dans l'aire concernée.

Secteur de l'Ascension

1. Pour le secteur de la propriété de M. Roger Fournier, sise au 384 chemin des Îles : aucune recommandation particulière n'est envisagée. Le propriétaire a été informé du faible potentiel archéologique de son terrain et connaît les personnes-ressources locales à contacter en cas de nouvelle découverte fortuite.

Site de la pointe des sœurs au petit lac Nomingue (CcFs-2)

1. La portion de terrain située du côté est de l'ancienne résidence des Sœurs Sainte-Croix demeure le lieu à privilégier dans l'éventualité de fouilles archéologiques, étant donné les résultats concluants obtenus lors des interventions de 2011 et de 2015 (Treyvaud 2012; Taché et Lamothe 2016).

Recommandations générales

1. Étant donné la présence de contextes archéologiques en place de grande valeur sur les sites du Grand lac Nomingue, et bien d'autres documentés lors d'interventions antérieures (ex : rivière du Lièvre), tout projet d'aménagement sur un site riverain sensible (ex. : ayant un impact sur le sol) devrait être précédé d'une étude de potentiel ou d'une intervention archéologique.
2. De manière générale, il serait souhaitable que l'initiative de procéder à des supervisions ou des inventaires archéologiques lors de travaux sur les propriétés riveraines soit étendue à l'ensemble du pourtour des lacs et des cours d'eau, en tenant compte des études de potentiel archéologique disponibles et des découvertes fortuites rapportées.
3. Éventuellement, il serait également intéressant d'étendre la couverture géographique des recherches archéologiques dans la région des Hautes-Laurentides afin de mieux documenter l'occupation de ce vaste territoire à travers le temps.
4. Il faut absolument faire en sorte que tout projet archéologique réalisé dans les Laurentides soit initié en collaboration avec la Première Nation Kitigan Zibi Anishinabeg
5. À terme, des projets de diffusion et de mise en valeur pourraient être mis en place, l'objectif de la recherche archéologique étant avant tout basé sur l'acquisition et le partage de connaissances sur le passé d'un lieu ou d'une région.

6. Il serait souhaitable de créer un guide, un fascicule ou une publicité de sensibilisation à la protection du riche patrimoine archéologique des Hautes-Laurentides, à l'intention des propriétaires ou futures propriétaires de maison en zone à potentiel archéologique.
7. Finalement, nous recommandons d'organiser des activités d'archéologie publique.

Ouvrages consultés

ADJIZIAN, Jean-Jacques

2002 *La collection Burger : une contribution à l'archéologie de la Haute-Mauricie*, mémoire de maîtrise, Université de Montréal, Montréal.

ANICK, Norman,

1976 *The Fur Trade in Eastern Canada until 1870*, Parcs Canada, travail inédit n° 207, vol. 1 et 2, Ottawa.

ANONYME

1938 *Le Nord de l'Outaouais*, Manuel-Répertoire d'Histoire et de Géographie régionales, Le Droit, Ottawa.

ARCHÉO-08

2007 *Inventaire archéologique (été 2006). Autoroute 50-Tronçon « Montée Laurin à la route 317 », du kilomètre 12+900 au kilomètre 19+700*. Rapport d'intervention S04138. Ministère des Transports du Québec/Tecsult.

2012 *Autoroute 50, tronçon de la Montée Laurin à la route 317 (CH. 12+400 à 14+700). Fouille archéologique du site BjFt-3 (2007)*. Rapport d'intervention S5022, Ministère des Transports du Québec.

AUCLAIR, Elie.J.

1930 *Le curé Labelle, sa vie et son œuvre ; ce qu'il était devant ses contemporains, ce qu'il est devant la postérité*, Beauchemin, Montréal.

BANFIELD, A.W.F.

1977 *Les Mammifères du Canada*, MNC et Presses de l'Université Laval, Toronto.

BARBEZIEUX, Alexis de

1897 *Histoire de la Province ecclésiastique d'Ottawa et de la colonisation de la Vallée de l'Ottawa*, Cie d'Imprimerie d'Ottawa, Ottawa, 2 vol.

BEAUCHAMP, M. et SIMARD, A.,

2007 *État de l'écosystème aquatique du bassin versant de la rivière du Nord : faits saillants 2004-2006*, Québec, Ministère du Développement durable, de l'Environnement et des Parcs, Direction du suivi de l'état de l'environnement.

BIOFILIA

2012 *Plan directeur en environnement, Municipalité de Lac-des-Seize-Îles*, Biofilia consultants en environnements, Labelle.

BLACK, Jean Meredith

1989 *Nineteenth-Century Algonquin Culture Change*, University of North Carolina/Chapel Hill, p. 62-69.

BOSWELL, Randy, PILON, Jean-Luc

2014a « New Documentary Evidence of 19th-century Excavations of Ancient Aboriginal Burials at 'Hull Landing' : New Light on Old Questions », *Arch Notes*, New Series, vol. 19, n° 3, p. 5-11.

2014b « The Archaeological Legacy of Dr. Edward Van Cortlandt », *Journal canadien d'archéologie*, vol. 39, (2), p. 294-326.

BOUCHARD, Michel, MALETTE, Sébastien, MARCOTTE, Guillaume

2019 *Les Bois-Brûlés de l'Outaouais : une étude ethnoculturelle des Métis de la Gatineau*, Presses de l'Université Laval, Québec.

BURGER, Valérie

1953 « Indian camp sites on Kempt and Manowan Lakes in the Province of Quebec » dans *Pennsylvania Archaeologist*, n° 23, p. 32-45.

1955 « Archeological Discoveries on the Shores of Kempt and Manowan Lakes in the Province of Quebec », *Bulletin of the Eastern States Archeological Federation*, n° 14, p. 9-10.

BURKE, Adrian

2003 « La provenance des matières premières lithiques et la reconstitution des réseaux d'interactions » in *L'Île aux Allumettes : l'Archéologie supérieure dans l'Outaouais*, Paléo-Québec, n° 30, Montréal: Recherches amérindiennes au Québec, Musée canadien des civilisations, p. 187-217.

BURKE, Adrian et CHAPDELAIN, Claude (sous la direction de)

2017 *L'Archéologie au Québec : Six millénaires d'histoire amérindienne*, Paléo-Québec, n° 36, Montréal : Recherches amérindiennes au Québec.

CADIEUX, Nicolas

2005 *La pyroclastique du site BiFw-20 à Kabeshinàn*, Parc du Lac Leamy, Gatineau, mémoire de maîtrise, Université de Montréal, Montréal.

2011 « L'énigmatique pyroclastique! », *Recherches amérindiennes au Québec*, n° 24, p. 115-143.

CANADA INDIAN DEPARTMENT

1845 «The Algonquins, Nipissings and Iroquois of the Lake of Two Mountains », dans *Report of the Affairs of the Indians in Canada*.

CARON, Ivanhoé

1918a *Journal de l'expédition du chevalier de Troyes à la baie d'Hudson en 1686*, la Cie de l'Éclaireur, Beauceville.

1918b « Relation de ce qui s'est passé à la Baie du Nord, envoyés par le Sieur Patu, sous fermier du Canada (14 novembre 1689) » dans *Journal de l'expédition du chevalier de Troyes à la baie d'Hudson en 1686*, Beauceville, la Cie de l'Éclaireur, appendice K, p. 119-127.

CHAMBERLAND, Roland, LOPEZ, Mariano, LEROUX, Jacques, AUDET, Steve, BOUILLÉ, Serge

2004 *Terra incognita des Kotakoutouemis. L'Algonquie orientale au XVIIe siècle*, Les Presses de l'Université Laval, Québec.

CHAMBERLIN, B (imprimeur)

1891 *Indian Treaties and Surrenders from 1680 to 1890*, Ottawa.

CHEVALIER, Émile (Gabriel Sagard)

1865 *Le Grand voyage au pays des Hurons*, Tross, Paris.

CHOLETTE, Gilbert

2010 *L'exploitation minière à Labelle*, Société d'histoire de Chute-aux-Iroquois, Labelle.

CLERMONT, Norman,

1998 « Le Sylvicole du Bouclier », *Recherches amérindiennes au Québec*, vol. 28 (2), p. 51-57.

CLERMONT, Norman, CHAPDELAINE, Claude, CINQ-MARS, Jacques (éds)

2003 *L'Île aux Allumettes : l'Archaique supérieur dans l'Outaouais*, Paléo-Québec, n° 30, Montréal : Recherches amérindiennes au Québec, Musée canadien des civilisations.

CLERMONT, Norman, CHAPDELAINE, Claude

1998 *Ile Morrison : lieu sacré et atelier de l'Archaique dans l'Outaouais*, Paléo-Québec, n° 28, Montréal: Recherches amérindiennes au Québec, Musée canadien des civilisations.

CONSTANTINEAU, Marguerite (sous la direction de)

1983 *Notre-Dame-de-Pontmain 1884-1984*, comité du centenaire de Notre-Dame-de-Pontmain, Notre-Dame-de-Pontmain.

COURTEAU, Jean-Louis

2013 *Avis de découverte fortuite, Direction régionale de Laval, de Lanaudière et des Laurentides, site BIFo-a (S05386)*. ISAQ.

COSSETTE, Évelyne, COURTEMANCHE, Michelle, GODIN, Louise

1985 « Le wapiti et le cougar au Québec : le fugitif et l'évanescent », *Recherches amérindiennes au Québec*, vol. 15 (3), p. 77-92.

- CÔTÉ, Augustin,
1858 *Relations des Jésuites contenant ce qui s'est passé de plus remarquable dans les missions des pères de la Compagnie de Jésus dans la Nouvelle-France (1611-1658)*, Augustin Côté éditeur-imprimeur, Québec, 3 vol.
- CÔTÉ, Hélène et LIMOGES, Sophie
2014 « Outaouais » dans *D'escalas en découvertes, l'archéologie raconte le Québec*, Archéo-Québec, p. 21-36.
- CÔTÉ, Marc
2010 « L'Archaïque terminal en Abitibi-Témiscamingue, le cas du site Réal », *Archéologiques*, n° 23, p. 35-52.
- COURSOL, Luc
1992 *Lac-du-Cerf: la mémoire du temps*, éditions La paroisse Notre-Dame-de-Lourdes, Lac-du-Cerf.
- COURSOL, Maxime
2021 « Exploitation minière : inquiétude généralisée autour des lacs de la région », *L'Info du Nord*, 13 avril.
- CROWLEY, M.D.
1990 « 1895 » dans *Vieux temps Stories Lac-Tremblant-Nord, 1915-1990*, Municipalité de Lac-Tremblant-Nord, p. 10-11.
- CUOQ, Jean-André
1886 *Lexique de la langue Algonquine*, J. Chapleau & Fils, Montréal.
1893 « Antoc Kekon » dans *Mémoires de la Société Royale du Canada*, Section I, p. 135-179.
- CYR, Suzanne
2019 « Philomène en 1848 », *La Laurentie*, n° 24, Mont-Laurier, p. 7.
- DAY, Gordon M, TRIGGER, Bruce G.
1978 « Algonquin » dans B. Trigger (éd.), *Northeast, Handbook of North American Indians*, vol. 15, Smithsonian Institution, Washington, p. 792-797.
- DELÂGE, Denys
1991 *Le Pays renversé, Amérindiens et Européens en Amérique du Nord-Est – 1600-1664*, Boréal Compact, Québec.
- DELÂGE, Denys, HUBERT, Claude
2010 « La mémoire orale contemporaine des Metabenutins Uininis (Algonquins de Trois-Rivières) », *Recherches amérindiennes au Québec*, vol. 40 (1-2), p. 83-101.

DESJARDINS, Karine

2012 *L'attractivité et l'appropriation des espaces lacustres : géographie structurale appliquée au cas du lac Commandant dans la MRC Papineau*, mémoire de maîtrise, Université du Québec en Outaouais.

D'URBAN, W.S.M, BELL, Robert

1860 « Catalogue of Animals and Plants collected and observed in the Valley of the River Rouge and the neighboring Townships, in the Counties of Argenteuil and Ottawa » dans *Contribution to Natural History*, John Lovell, Montréal, p. 3-19.

ETHNOSCOOP

1986 *Étude de potentiel archéologique de la MRC d'Antoine Labelle*. Rapport soumis dans le cadre de l'entente entre la MRC d'Antoine Labelle et le Ministère des Affaires culturelles du Québec.

1987 *Plan de gestion des ressources archéologiques des territoires non municipalisés de la MRC d'Antoine Labelle*. Rapport soumis dans le cadre de l'entente entre la MRC d'Antoine Labelle et le Ministère des Affaires culturelles du Québec.

1988 *Inventaire archéologique des espaces-cibles «Lac Iveteaux» et «Lac à la Maison de Pierre» 1988*. Rapport soumis dans le cadre de l'entente entre la MRC d'Antoine Labelle et le Ministère des Affaires culturelles du Québec.

1990 *Inventaire archéologique des espaces-cibles "Gatineau" et "Maison de Pierre", et expertise sur le site CgFs-2 de l'espace-cible "Iveteaux" 1989*. Rapport soumis dans le cadre de l'entente entre la M.R.C. d'Antoine-Labelle et le Ministère des Affaires culturelles du Québec.

1991 *Plan de gestion des ressources archéologiques de la MRC d'Antoine Labelle*. Inventaire archéologique des espaces-cibles «Notawassi» et «Nasigon», Entente MRC d'Antoine Labelle/MAC.

1993a *Fouille de trois sites archéologiques amérindiens: sites CgFu-3 et CgFu-4, espace cible Notawassi, site CjFs-2, espace cible Nasigon, automne 1992, MRC d'Antoine-Labelle*. Rapport de terrain S02079, Mont-Laurier, Entente MRC d'Antoine-Labelle/Ministère des Affaires culturelles.

1993b *Fouilles de trois sites archéologiques dans la MRC d'Antoine-Labelle : sites CgFu-3, CgFu-4 et CjFs-2, MRC d'Antoine-Labelle*. Rapport de terrain S02116, Mont-Laurier, Entente MRC d'Antoine-Labelle/ Ministère des Affaires culturelles

1996 *Inventaire archéologique des espaces-cibles Adonis, Mitchinamécus, Rivière Rouge et Lac Rouge dans la M.R.C. d'Antoine-Labelle, été-automne 1995*. Rapport soumis dans le cadre de l'entente entre la M.R.C. d'Antoine-Labelle et le Ministère de la Culture et des Communications du Québec.

- 1997 *L'archéologie de la MRC d'Antoine-Labelle, Contribution à la paléohistoire des Hautes-Laurentides*. Rapport soumis dans le cadre de l'entente entre la MRC d'Antoine Labelle et le Ministère de la Culture et des Communications du Québec.
- 2005 *Étude de potentiel archéologique préhistorique: les environs du Lac Nominingue*. Rapport soumis aux Gardiens du patrimoine archéologique et au Ministère de la Culture, des Communications et de la Condition féminine du Québec, Québec.

FEEST, Johanna E., FEEST, Christian F.

- 1978 « Ottawa », *Northeast, Handbook of North American Indians*, vol. 15, Smithsonian Institution, Washington, p. 772-786.

FITZGERALD, William

- 1990 *Chronology to Cultural Process : Lower Great Lakes Archaeology, 1500-1650*, thèse de doctorat, McGill University, Montréal.

FORTIN, Jean-Claude

- 1999 *La toponymie des Algonquins*, Commission de toponymie du Québec, Québec.

FRENETTE, Jacques

- 1993 « Kitigan zibi anishinabeg, le territoire et les activités économiques des Algonquins de la rivière Désert (Maniwaki), 1850-1950 », *Recherches amérindiennes au Québec*, vol. 23 (2-3), p. 39-51.

GAGNON, François-Marc, SENIOR, Nancy

- 2011 *The Codex Canadensis and the Writings of Louis Nicolas: The Natural History of the New World / Histoire Naturelle des Indes Occidentales*, Gilcrease museum et McGill-Queen's University Press, Montréal.

GATES ST-PIERRE, Christian

- 2001 « The Melocheville Tradition: Late Middle Woodland Ceramic Production in Southern Quebec » dans J.-L. Pilon, M. Kirby et C. Thériault (dir.); *A Collection of Papers Presented at the 33rd Annual Meeting of the Canadian Archaeological Association*. Ottawa: Ontario Archaeological Society et Canadian Archaeological Association, p. 48-71.
- 2004 « The Middle Woodland Ancestors of the St. Lawrence Iroquoians » dans J.-L. Pilon et J. V. Wright (dir.), *A Passion for the Past : Papers in Honour of James F. Pendergast*. Mercury Series, n° 164. Ottawa: Archaeological Survey of Canada, Canadian Museum of Civilization, p. 395-417.
- 2016 « Iroquoians in the St. Lawrence River Valley Before European Contact », *Ontario Archaeology*, n° 96, p. 47-64.

GEOLOGICAL SURVEY OF CANADA

- 1859 *Survey progress 1858*, imprimé par John Lovell, Montréal.

1902 Annual Report (New Series) Volume XII Reports A , B , C , G , I , J , M , Q , R , S. 1899, Ottawa.

GRAHAM, E.J.

1940 « Indian Lore of the Rouge District » dans *Vieux temps Stories Lac-Tremblant-Nord, 1915-1990*, Municipalité de Lac-Tremblant-Nord, p. 12-14.

GRAHAM, Joseph

2008 *Nommer les Laurentides, la petite histoire des cantons du Nord*, Main Street, Lachute.

GRAMLY, Richard M.

1985 « Recherches archéologiques au site paléindien de Vail, dans le nord-ouest du Maine, 1980-1983 », *Recherches amérindiennes au Québec*, vol. 15 (1-2), p. 57-117.

GRAO (Groupe de recherche en archéologie de l'Outaouais)

2015 *Projet d'évaluation et de fouille archéologique publique du site du Portage Deschênes (BiFw-164) et inspection visuelle du complexe industriel de Deschênes (BiFw-170)*, Association des résidents de Deschêne, Gatineau.

2014 *Les fouilles archéologiques de 2013 sur le site de l'Elbow (BjFs-7)*, Parc national de Plaisance

2013 *Les recherches archéologiques de 2012, Coup d'œil sur 4000 ans d'histoire au parc national de Plaisance*, SÉPAQ, Parc National de Plaisance, vol. 1.

2012 *Les recherches archéologiques et les activités de mise en valeur de 2011 au parc national de Plaisance*, Plaisance, SÉPAQ et MCCCCFQ, vol. 1.

2011 *Inventaire d'un tronçon de la Route Verte contournant une zone humide, dans les limites du parc national de Plaisance*, Plaisance, CLD Papineau.

GRIFFIN, George T.

1832 *Map of the River Rouge from Lower [...],ace to Upper, as also Lake No. Mining (BAC H3/310/Rouge (R.)/1832)*

GROISON, Dominique

1977 *Réseau de transport d'énergie de la Baie-James, relevés archéologiques, été 1976. Rapport d'intervention S00248*, Hydro-Québec, Environnement.

GUINDON, François

2009 « Iroquoian Pottery at Lake Abitibi: A Case Study of Relationship Between Huron and Algonquians on the Canadian Shield », *Canadian Journal of Archaeology*, vol. 33, p. 65-91.

HARRINGTON, B.J.

1883 *Life of Sir William E. Logan, Kt., first director of the Geological Survey of Canada*, Dawson Brothers Publishers, Montréal.

HAVARD, Gilles

1992 *La Grande Paix de Montréal de 1701. Les voies de la diplomatie franco-amérindienne*, RAQ, Montréal.

2003 *Empire et métissages : Indiens et Français dans le Pays d'En-Haut, 1660-1715*, Septentrion/Presses de l'Université de Paris-Sorbonne, Sillery/Paris.

HEIDENREICH, Conrad

1971 *Huronnia. A History and Geography of the Huron Indians, 1600-1650*, McClelland and Stewart, Toronto.

HENRY, Alexander

1809 *Travels and adventures in Canada and the Indian territories, between the years 1760 and 1776*, L. Riley publisher, New York.

INGALL, Frederick L, NIXON, H and ADAMS, John

1830 « Journal d'une expédition nommée pour explorer l'étendue de Pays située entre la Rivière Saint-Maurice et la rivière Au Lièvre; compilé par le lieutenant Ingall, d'après les notes prises dans le cours du voyage. » dans *Appendice du XXXIX^e volume des Journaux des chambres de l'assemblée de la province du Bas-Canada, Troisième session du Treizième Parlement Provincial, Appendice S.*

INKSETTER, Leila

2015 *Le chef gagne tous les jours de nouveaux sujets : Pouvoir, leadership et organisation sociale chez les Algonquins des lacs Abitibi et Témiscamingue au 19^e siècle*, thèse de doctorat, Université de Montréal, Montréal.

2017 *Initiative et adaptation algonquaine au XIX^e siècle*, Les éditions du Septentrion, Québec.

LAGRANGE, Richard (sous la direction de)

1981 *La Vallée de la Rouge, circuit patrimonial de la Conception au Lac Sagouay*, Société du patrimoine de la vallée de la Rouge.

LAFORTE, Esther

1987 *Inventaire des sites archéologiques sur 12 territoires de la MRC de Papineau*, rapport d'intervention S01553, M.R.C. de Papineau.

LALIBERTÉ, Marcel

1998 *Contributions 1998 à la mise en valeur du Parc du Lac-Leamy*, Commission de la Capitale nationale, Ottawa.

1999 *Un campement de l'Archaique laurentien dans le parc du lac Leamy, bilan des fouilles de 1998 sur le site BiFw-20*. Société d'histoire de l'Outaouais.

2000 *Recherches archéologiques dans le parc du lac-Leamy 1993-1999, synthèse*. Écomusée de Hull.

- 2007a *Évaluation d'un site archéologique potentiel au parc national de Plaisance - Corridor de la Route Verte*, rapport d'intervention S04291, SÉPAQ.
- 2007b *Inventaire archéologique du tracé de la Route Verte dans les limites du parc national de Plaisance*, Plaisance, SÉPAQ et CLD Papineau.
- 2008 *Évaluation archéologique des projets de rampes de mise à l'eau et de chalet sur la ZEC Bras-Coupé-Désert*, rapport d'intervention S04506, Association Chasse et Pêche de la Désert Inc.
- 2009 *Les recherches archéologiques de 2008 sur le site BjFs-10 - Parc National de Plaisance*, rapport d'intervention S04512, SÉPAQ/Ministère de la Culture, des Communications et de la Condition féminine.
- 2010a *Activités archéologiques au parc national de Plaisance (Automne 2009)*, SÉPAQ.
- 2010b *Les ressources archéologiques de la confluence des rivières Petite-Nation et Outaouais - Parc national de Plaisance - Recherche documentaire*, SÉPAQ.
- 2011a *Fouille archéologique du site BjFr-10 (2009). Autoroute 50—Tronçon de la montée Boucher à un kilomètre de la montée Fallon—Échangeur Avoca—Grenville-sur-la-Rouge—Secteur de Pointe-au-Chêne (projet MTQ 154-89-0621)*, rapport d'intervention S04827, Ministère des Transports du Québec.
- 2011b *Inventaire archéologique (2009). Autoroute 50—Tronçon de la rivière Rouge, municipalité de Grenville-sur-la-Rouge (Kilomètres 18+240 à 19+000—Projet MTQ 154-89-0621)*, rapport d'intervention S04975, Ministère des Transports du Québec.
- 2011c *Inventaire archéologique (2009). Autoroute 50—Tronçon entre la montée Boucher et un kilomètre à l'ouest du chemin Fallon (km 9+241 à km 15+660), Grenville-sur-la-Rouge (projet MTQ 154-89-0621)*, rapport d'intervention S04760, Ministère des Transports du Québec.
- 2011d « Une technologie lithique particulière dans la vallée centrale de l'Outaouais au Sylvicole moyen », *Recherches amérindiennes au Québec*, n° 24, p. 89-102.

LALIBERTÉ, Marcel et LÉVESQUE, France

2000 *Les recherches de 1999 sur le site BiFw-20, parc du Lac-Leamy*. Écomusée de Hull.

LALIBERTÉ Marcel, LÉVESQUE France et MILLER André

2011 *Les recherches archéologiques de 2010 au parc national de Plaisance*, SÉPAQ/MCCCCFQ.

LAVERDIÈRE, Charles-Honoré (Samuel de Champlain)

1870 *Oeuvres de Champlain*, Geo.-E. Desbarats, Québec, volume 5 (1632).

Oeuvres de Champlain, Geo.-E. Desbarats, Québec, volume 4 (1619).

Oeuvres de Champlain, Geo.-E. Desbarats, Québec, volume 3 (1613).

Oeuvres de Champlain, Geo.-E. Desbarats, Québec, volume 2 (1603).

Oeuvres de Champlain, Geo.-E. Desbarats, Québec, volume 1 (1599).

LÉVEILLÉ, Jean-Thomas

2019 « Outaouais : inquiétude autour d'un projet de mine de graphite », *La Presse*, 23 juillet.

MCLEAN, John

1849 *Notes of a twenty-five years' service in the Hudson's Bay Territory (vol. 1)*, Richard Bentley, London.

MAGNAN, Hormidas

1913 *Monographies paroissiales. Esquisses des paroisses de colonisation de la province de Québec*, Département de la colonisation, mines et pêcheries, Québec.

MANN, Evan

2019 « There Were Pots After All: Production and Use of Ceramic Vessels in the Upper Laurentian Region of Québec, Canada. », *84rd Annual Meeting of the Society for American Archaeology*, Albuquerque, April 10-14.

MARCOTTE, Guillaume

2015 « Un tracé d'une grande valeur, la carte indienne de Cameron et son potentiel ethnohistorique », *Recherches amérindiennes au Québec*, vol. 45 (2-3), p. 77-91.

MAROIS, Roger

1969 *Report of Summer Activities, 1969*. Correspondance à G.F. MacDonald, 3 décembre 1969.

1974 *Les schèmes d'établissement à la fin de la préhistoire et au début de la période historique : le sud du Québec*. Collection Mercure, University of Ottawa Press, Ottawa.

1976 *Notes sur le site BIFs-1 et autres, lac Simon*, Ministère de la Culture et des Communications du Québec, Québec.

MCNULTY, Gérard E., GILBERT, Louis

1981 « Attikamek (Tête de Boule) » dans J. Helm ed., *Subarctic, Handbook of North American Indians*, vol. 6, Smithsonian Institution, Washington, p. 208-217.

MILMORE, Tatum

2014 *Les Iroquoiens de Droulers/Tsiionhiakwatha et le cristal de quartz*, mémoire de maîtrise, Université de Montréal, Montréal.

MONTIGNY, Benjamin Antoine Testard de

1886 *Colonisation : Le Nord*, L'étendard, Montréal.

1895 *La Colonisation : Le Nord de Montréal ou la région de Labelle*, C.O. Beauchemin et fils, Montréal.

MORRISSONEAU, Christian

1987 « Le rêve matawinien de l'abbé Provost », *Société canadienne d'histoire de l'Église catholique*, vol. 54, 1987, p. 55-67.

MNRF (ministère des Ressources naturelles et de la Faune)

2006 *Portrait territorial – Laurentides*, MNRF, Charlesbourg.

NANTEL, Guillaume Alphonse,

1887 *Notre Nord-Ouest provincial, étude sur la vallée de l'Ottawa*, Eusèbe Sénécal & fils, imprimeurs-éditeurs, Montréal.

OBV RPNS (Organisme des bassins versants des rivières Rouge, Petite Nation et Saumon)

2011 *Portrait préliminaire des bassins versants des rivières Rouge, Petite Nation et Saumon*, Organisme de bassins versants des rivières Rouge, Petite Nation et Saumon, Mont-Tremblant.

OSBORNE, Fitz F.

1935 *Annual Report of the Quebec Bureau of Mines for the Calender Year 1934. Part E : Labelle-L'Annonciation Map-Area*, Bureau of Mines, Québec.

OUELLET, Jean-Christophe, BURKE, Adrian et CHAPDELAIN, Claude (éditeurs)

2017 «Les occupations de la période Archaïque à l'embouchure de la rivière Gatineau. Le site BiFw-172» dans Burke et Chapdelaine (sous la direction de), *L'Archaïque au Québec : Six millénaires d'histoire amérindienne*, Paléo-Québec, n° 36, Recherches amérindiennes au Québec, Montréal, p. 115-149.

OUTHET, Rickson sr

1990 « History to 1902 » dans *Vieux temps Stories Lac-Tremblant-Nord, 1915-1990*, Municipalité de Lac-Tremblant-Nord, p. 4-9.

PAPINEAU, Amédée (textes réunis par Georges Aubin)

1998 *Souvenirs de Jeunesse (1822-1837)*, Les éditions du Septentrion, Québec.

1998 *Journal d'un fils de la liberté, 1838-1855*, Les éditions du Septentrion, Québec.

PAPINEAU Lactance (textes réunis par Georges Aubin et Renée Blanchet)

2003 *Journal d'un étudiant en Médecine à Paris*, Les éditions du Septentrion, Québec.

PAQUIN, Jean-Guy

2020 *Un endroit appelé le premier côté du monde*, Jean-Guy Paquin éditeur, Chénéville.

2014 *Au Pays des Weskarinis*, Jean-Guy Paquin éditeur, Chénéville.

2011 *Le pays de Canard Blanc*, Jean-Guy Paquin éditeur, Chénéville.

2010 « Sur les traces de Joseph Commandant » dans *Hier encore, revue d'archives, d'histoire et de patrimoine du Centre régional d'archives de l'Outaouais*, n° 2, p. 32-35.

PATRI-ARCH

2016 *Les fermes forestières*, Patrimoine culturel de la MRC d'Antoine-Labelle.

PENDERGAST, James F.

1999 « The Ottawa River Algonquin Bands » dans *Canadian Journal of Archaeology*, n° 23, p. 63-136.

PERROT, Nicolas

1999 *Mémoire sur les mœurs, coutumes et religion des sauvages de l'Amérique septentrionale*, Comeau et Nadeau, Montréal.

PILETTE, Olivier

(à paraître) *De pierres et de rivières : mobilité et interactions dans l'hinterland fluvial laurentien*, mémoire de maîtrise, Université Laval, Québec.

POULIN, Jennifer

2015 *Analyse d'un résidu sur un vase huron*, rapport d'analyse soumis au Centre de conservation du Québec, Institut canadien de conservation, Ottawa.

PROVOST, Thomas Stanislas

1883 *La Bourse ou la vie, recueil de renseignements utiles et d'informations exactes sur les cantons du nord et en particulier sur le territoire de Mantawa*, Imprimerie du Collège de Joliette, Joliette.

RATELLE, Maurice,

1993 « La localisation des Algonquins de 1534 à 1650 », *Recherches amérindiennes au Québec*, vol. 23 (2-3), p. 25-38.

RIBES, René

1976 *Activités de 1975 du Groupe de Recherche en Histoire des Religions et en Archéologie préhistorique, Haute Mauricie (Région des lacs Némiskachi et Mitchinamécus)*. Rapport d'intervention S00480, Musée d'archéologie préhistorique de Trois-Rivières, Trois-Rivières.

RIBES, René, KLIMOV, Alexis

1974 *Archéologie de la Mauricie : reconnaissance archéologique dans la région du Lac Nemiskachi*. Collection Paléo-Québec n° 5, Musée d'archéologie préhistorique de Trois-Rivières, Trois-Rivières.

RITCHIE, W.A., MACNEISH, R.S.,

1949 «Pre-Iroquoian pottery of the New York State», *American Antiquity*, n° 15, p. 97-123.

RODIER, Renée O., GIROUARD, Francine

1983 *Nominingue 1883-1983 : 100 ans d'histoire, 100 ans de vie*, Comité des fêtes du centenaire de Nominingue, Ste-Anne-de-Bellevue.

ROETS, Michael, ENGELBRECHT, William, HOLLAND John D.

2014 « Gunflints and Musket Balls: Implications for the Occupational History of the Eaton Site and the Niagara Frontier », *Northeast Historical Archaeology*, vol. 43, p. 189-204.

RSC (Sœurs de Sainte-Croix et des sept douleurs)

1938 *Un glorieux passé, 50 ans à Nominuingue 1887-88, 1937-38*, Saint-Laurent.

SAVARD, Rémi

1996 *L'Algonquin Tessouat et la fondation de Montréal. Diplomatie franco-indienne en Nouvelle-France*, L'Hexagone, Montréal.

SAVARD, Rémi, HUBERT, Claude

2006 *Algonquins de Trois-Rivières - l'oral au secours de l'écrit, 1600-2005*, Montréal, Recherches amérindiennes au Québec, Collection Signes des Amériques.

SOUCY, Danielle

1995 *La Vallée de la Diable, de la hache aux canons à neige*, Éditions du Peuplier, Saint-Jovite.

SPECK, Frank G.

1915 *Family Hunting Territories and Social life of Various Algonquians Bands of the Ottawa Valley*, Geographical Survey of Canada, Memoir 70, (coll. Anthropological Series 8), Ottawa.

1929 « Boundaries and Hunting Groups of the River Desert Algonquin », *Indian Notes* vol. 6 (2), p. 97-120.

TACHÉ, Karine

2008 *Structure and Regional Diversity of the Meadowood Interaction Sphere*, thèse de doctorat, Simon Fraser University, Burnaby.

TACHÉ, Karine, LAMOTHE, Francis

2021 *Inventaire archéologique 2020 au Petit lac Nominuingue (sites CcFs-5 et CcFs-2), et au Grand lac Nominuingue (sites CcFr-1, CcFr5, CcFr-6, CcFr-7 et CcFr-8)*, Rapport soumis aux Gardiens du patrimoine archéologique et au Ministère de la Culture et des Communications du Québec, Québec.

2020 *Fouilles et inventaires archéologiques 2019 sur la rivière du Lièvre (sites CcFv-1, CcFv-2, CcFv-3 et CcFu-1), au Grand lac Nominuingue (sites CcFr-1 et CcFr-4), et au lac des Seize-Îles*, Rapport soumis aux Gardiens du patrimoine archéologique et au Ministère de la Culture et des Communications du Québec, Québec.

2019 *Inventaire archéologiques 2018 sur la rivière du Lièvre, secteur du Wabasse (sites CcFv-1, CcFv-2 et CcFu-1), municipalité de Lac-du-Cerf, MRC Antoine-Labelle et fouilles archéologiques 2018 au Grand lac Nominuingue (sites CcFr-1 et CcFr-3, municipalité de Nominuingue, MRC Antoine-Labelle*, Rapport soumis aux Gardiens du patrimoine

archéologique et au Ministère de la Culture et des Communications du Québec, Québec.

- 2018 *Fouille et inventaire archéologiques 2017 au Grand lac Nominingue (sites CcFr-1 et CcFr-3), Municipalité de Nominingue, MRC Antoine-Labelle, Rapport soumis aux Gardiens du patrimoine archéologique et au Ministère de la Culture et des Communications du Québec, Québec.*
- 2017 *Inventaire archéologique 2016 au Petit lac Nominingue (sites CcFs-1 et CcFs-4), au Grand lac Nominingue (site CcFr-1) et sur la rivière Rouge (site CcFr-2), Municipalités de Nominingue et de Rivière-Rouge, MRC Antoine-Labelle, Rapport soumis aux Gardiens du patrimoine archéologique et au Ministère de la Culture et des Communications du Québec, Québec.*
- 2016 *Inventaire archéologique 2015 à la pointe Monseigneur (site CcFs-2), Petit lac Nominingue, Municipalité de Nominingue, MRC Antoine-Labelle. Rapport soumis aux Gardiens du patrimoine archéologique et au Ministère de la Culture et des Communications du Québec, Québec.*

TACHÉ, Karine, LAMOTHE, Francis, Olivier Pilette et Adrien Cesario

- 2022 *Fouilles et inventaire archéologiques 2022 au Grand lac Nominingue (sites CcFr-1), au Petit lac Nominingue (site CcFs-2) et à l'Ascension, Rapport soumis aux Gardiens du patrimoine archéologique et au Ministère de la Culture et des Communications du Québec, Québec.*

TASSÉ, Gilles

- 1975 *La collection Burger provenant du Haut St-Maurice, Laboratoire d'archéologie de l'Université du Québec à Montréal, Montréal.*

TOOKER, Elisabeth

- 1987 *Ethnographie des Hurons, 1615-1649, Recherches amérindiennes au Québec, Montréal.*

TREMBLAY, Roland

- 2006 *Les Iroquoiens du Saint-Laurent, Les Éditions de l'homme, Montréal.*
- 2005 « Un petit soupçon dans la Petite Nation: la découverte d'une pierre aviforme en Outaouais », *Archéologiques*, n° 18, p. 59-70.

TREYVAUD, Geneviève

- 2011 *Prospection et intervention archéologique dans la municipalité de Nominingue, MRC Antoine Labelle 2011. Rapport soumis aux Gardiens du patrimoine archéologique et au Ministère de la Culture, des Communications et de la Condition féminine du Québec, Québec.*

2012 *Rapport d'interventions archéologiques au site CcFs-2 et au Domaine des Beaubien. Rapport soumis aux Gardiens du patrimoine archéologique et au Ministère de la Culture, des Communications et de la Condition féminine du Québec, Québec.*

TRIGGER, Bruce G.

1991 *Les enfants d'Aataentsic, l'histoire du peuple Huron, Libre expression, Montréal.*

1990 *Les Indiens, la fourrure et les Blancs : Français et Amérindiens en Amérique du Nord, Boréal/Seuil, Montréal/Paris.*

THOMAS, Cyrus

1896 *History of the counties of Argenteuil, Que. and Prescott, Ont., from the earliest settlement to the present, John Lovell & son, Montréal.*

TRUDEL, Marcel

1965 « La rencontre des cultures », *Revue d'histoire de l'Amérique française*, vol. 18 (4), p. 477-516.

VAILLANCOURT, Jeffrey, Gilbert PRICHONNET et Michel LAMOTHE

2008 « Études stratigraphique et sédimentologique de sites archéologiques du parc du Lac Leamy (Gatineau) : De l'Archaique à aujourd'hui », *Recherches amérindiennes au Québec*, vol. 38 (1), p. 79-84.

VAN CORTLAND, Edward

1853 « Notice of an Indian Burying Ground », *The Canadian Journal*, vol. 1 (7), p. 160-161.

VIAU, Roland

2000 *Enfants du néant et mangeurs d'âmes, Boréal, Montréal.*

1993 « Les dieux de la terre : histoire des Algonquins de l'Outaouais, 1600-1650 » dans Marc Côté et Gaétan L. Lessard éd., *Traces du passé, Images du présent. Anthropologie amérindienne du Moyen-nord québécois*, Cégep-Éditeur, Rouyn-Noranda, p. 109-132.

VOORHIS, Ernest

1930 *Historic forts and trading posts of the French regime and of the English fur trading companies, Department of Interior, National Development Bureau, Ottawa.*

WRIGHT, J.V.,

1972 *The Shiel Archaic, National Museums of Canada, Ottawa.*

Carnets, iconographie et plans anciens

ANONYME (Province de Québec éditeur)

1830 *Geological map, Illustrative of the St. Maurice country.* (BAnQ G/3451/C5/1830/G46 CAR)

ALLBRIGHT, George N.

1856 *Carnet M42, Canton de Montcalm* (BAnQ E21,S60,SS3,PM42)

CHAMPLAIN, Samuel de

1632 *Carte de la Nouvelle France, augmentée depuis la dernière, servant à la navigation faite en son vray meridien, par le Sr. de Champlain capitaine pour le Roy en la Marine lequel depuis l'an 1603 jusques en l'année 1629 ; a descouvert plusieurs costes, terres, lacs, rivières et nations de sauvages, par cy devant incognuës, comme il se voit en ses relations quil a faict imprimer en 1632, ou il se voit cette marque ... ce sont habitations qu'ont fait les François, Carte extraite de: Les voyages de la Nouvelle France occidentale, dicte Canada, faits par le Sr de Champlain, Paris : chez Louis Sevestre, 1632 (Copie BAnQ G/3400/1632/C43 CAR).*

ÉCUYER, Benjamin J.,

1803 *Carnet W41, Canton de Wentworth.* (BAnQ E21, S60, SS3, PW41)

GAUVIN, C. E, GENEST, P.M.A

1882 *Carte régionale de la province de Québec comprenant les comtés de St. Maurice, Maskinongé, Berthier, Joliette, Montcalm, L'Assomption, Jacques-Cartier, Hochelaga, Laval, Terrebonne, Soulanges, Vaudreuil, Deux-Montagnes, Argenteuil et Ottawa, Québec, Département des Terres de la Couronne.* (BAnQ G 3450 s253 C37 2 1882 DCA)

KAKIDJOUENNE, Paul

1810 *Plan des eaux de la Nation du Nord, (possiblement une copie non datée de Denis-Benjamin Papineau, avant 1880), Fonds famille Joseph Papineau.* (BAnQ, P417,S55,P17)

1810 *Plan des eaux à la Nation du Nord, calque réalisé en 1891 par Benjamin-Nicolas Papineau, à partir de la copie de Denis Benjamin Papineau, Comité des affaires culturelles Papineauville-Sainte-Angélique.*

LOGAN, William E.

1852-1863 *Explorations of Laurentian Rocks, Atlas, 177 feuillets* (BAC RG45M 83403-21; D_VI_1947)

QUINN, Owen

1833 *Carnet W11, Canton de Wentworth.* (BAnQ E21,S60,SS3,PW11)

1834 *Carnet H1, Canton de Harrington.* (BAnQ E21,S60,SS3,PH1)

1847 *Carnet M020 Canton de Morin.* (BAnQ E21,S60,SS3,PM20)

1848 *Carnet M16 Canton de Morin.* (BAnQ E21,S60,SS3,PM16)

QUINN, Thomas C.

1871 *Carnet M78, Canton de Montcalm* (BAnQ E21,S60,SS3,PM78)

SANSON, Nicolas

1656 *Le Canada, ou Nouvelle-France, Paris, chez Pierre Mariette.* (BAnQ G/3400/1656/S35 DCA)

SINCLAIR, Duncan

1864-1866 *Carnet 57, Rivière Rouge,* (BAnQ, E21,S60,SS2,P57)

1864 *Plan of part of the River-Rouge in the County of Ottawa.* (BAnQ, E21, S555, SS1, SSS18, P18A.2)

1864 *Plan of part of the River-Rouge.* (BAnQ, E21, S555, SS1, SSS18, P18A.1)

1865 *Plan of the River-Rouge in the County of Ottawa.* (BAnQ, plans 5318, 5318A1 et 5318A2)

Sources électroniques

Alliances et descendance des familles algonquiennes de la Petite-Nation et de la Rouge

<http://www.weskarini.ca/>

Archives de Montréal

<http://archivesdemontreal.com>

Bibliothèque et archives nationales du Québec

<http://www.BAnQ.qc.ca>

Bibliothèque et archives Canada

<http://www.bac-lac.gc.ca>

Canadiana en ligne

<http://www.canadiana.ca>

Dictionnaire biographique du Canada

<http://www.biographi.ca/fr>

Encyclopédie canadienne

<https://www.thecanadianencyclopedia.ca/fr>

Généalogie du Québec et de l'Amérique française

<https://www.nosorigines.qc.ca/genealogie.aspx?lng=fr>

Histoire forestière de l'Outaouais

<http://www.histoireforestiereoutaouais.ca>

Internet Archives

<https://archive.org>

Vidéanthrop Inc.

<http://videanthrop.qc.ca/>

Annexes

Annexe A : La collection céramique du site CcFr-1 (ruisseau Jourdain)

Annexe B : Analyse et référentiel lithique

Annexe C : Inventaire des artefacts

Annexe D : Catalogue des photographies

Annexe E : Collecte de surface sur la plage du site CcFr-1 (ruisseau Jourdain)

Annexe A La collection céramique du site CcFr-1
(ruisseau Jourdain)

LA COLLECTION CÉRAMIQUE DU SITE CcFr-1 (ruisseau Jourdain)

Au total, 1 076 tessons de céramique autochtone ont été recueillis au cours de l'intervention de 2022 sur le site du ruisseau Jourdain (tableau A). En y ajoutant les 1 376 tessons recueillis lors des interventions précédentes (2016-2021) et les 298 tessons collectés sur la plage par M. Robert Bélanger entre 2020-2022 (tableau B), la collection de ce site comprend maintenant 2 750 tessons de poterie et un minimum de 34 unités de vase. La récolte de 2022 compte 29 tessons de bord, tous décorés, et 1 047 tessons de corps, dont 457 décorés et 590 non décorés. En reprenant l'exercice amorcé avec les collections de 2016 à 2021, soit une analyse des attributs relatifs à la préparation de la pâte, au façonnage, à la morphologie, à la décoration et à l'utilisation de l'ensemble des fragments de vases recueillis en 2022, nous avons identifié douze nouvelles unités de vase (numérotées de 23 à 34) et associé de nouveaux tessons aux unités de vase 6, 8, 9, 10, 11, 12, 17, 18, 19, 21 et 22. L'association d'un tesson à une unité de vase doit reposer sur un certain degré de certitude. Plusieurs tessons de bord et de corps sont jugés « potentiellement associables » à une unité de vase parce qu'ils ne présentent qu'un nombre limité d'attributs en commun. D'autres tessons sont regroupés sans pour autant en faire des unités de vase définitives. Le « groupe de tessons » est en quelque sorte le niveau d'identification qui précède l'unité de vase. Il désigne des tessons avec des attributs communs qui appartiennent à la même unité de vase sans que cette unité soit nécessairement exclusive à d'autres ou assez complète pour être en mesure de décrire ses caractéristiques déterminantes. L'impossibilité d'associer un groupe de tessons à un tesson de bord est souvent ce qui empêche l'analyste de s'engager dans le saut interprétatif qui élève le groupe au statut d'unité.

La composition de chaque unité de vase identifiée jusqu'à maintenant sur le site CcFr-1 est présentée dans le tableau C. Chaque nouvelle unité de vase est décrite et illustrée par la suite. L'accumulation de nouvelles données d'année en année nous permet aussi de revenir sur les interprétations émises au sujet de certaines unités déjà connues.

Tableau A Provenance des tessons et des unités de vase identifiées dans la zone d'intervention de 2022 sur le site CcFr-1

| Provenance | Bords | Corps | | Total | Unités de vase | |
|-------------------|---------|---------|-------------|-------|----------------|--------------------------------------|
| | | Décorés | Non décorés | | | |
| J53 | | 2 | 7 | 9 | | |
| J54 | | 1 | | 1 | | |
| J55 | | 1 | 3 | 4 | | |
| J56 | | | 3 | 3 | | |
| J57 | | | 1 | 1 | | |
| J58 | | | 2 | 2 | | |
| 50N103E | NW | | 12 | 22 | 34 | #10, #22, #23 |
| | NE | | 10 | 5 | 15 | #17 |
| | SE | 3 | 25 | 32 | 60 | #17, #22, #23 |
| | SW | 9 | 35 | 54 | 98 | #10, #17, #21, #22, #23, #29, rebuts |
| 50N103E + 50N104E | SE + SW | | | 3 | 3 | |
| 50N105E | NE | | 1 | 2 | 3 | #9 |
| | SW | | 2 | 2 | 4 | #10 |
| 50N107E | NW | | 5 | 3 | 8 | #9 |
| | NE | 1 | 3 | 9 | 13 | #6, #9 |
| | SE | | 1 | 2 | 3 | |
| | SW | 1 | 1 | 5 | 7 | #9 |
| 50N116E | SE | 1 | 32 | 77 | 110 | |
| 51N102E | NE | 1 | 33 | 44 | 78 | #9, #10, #18, #21 |
| | SE | | 58 | 50 | 108 | #17, #18, #22 |
| 51N103E | ? | | 2 | | 2 | |
| 51N104E | NW | | 9 | 4 | 13 | #17, #18 |
| | NE | | | 2 | 2 | |
| | SE | | | 2 | 2 | |
| | SW | | 4 | 7 | 11 | |
| | R 2020 | | 2 | 4 | 6 | |
| 51N106E | NW | | 1 | 4 | 5 | |
| | NE | | 4 | 3 | 7 | #9 |
| | SE | 1 | 2 | 3 | 6 | #9 |
| | SW | | 1 | 5 | 6 | |
| | R 2020 | | 1 | 1 | 2 | |
| 52N102E | ? | | | 1 | 1 | |
| 52N103E | NW | 2 | 5 | 2 | 9 | #19, #21, #24 |
| | NE | 3 | 19 | 5 | 27 | #11, #17, #30, #32 |
| | SE | 1 | 14 | 4 | 19 | #10, #17, #24 |
| | SW | 1 | 13 | 4 | 18 | #17 |
| 52N105E | NW | | | 1 | 1 | |
| | SW | | 2 | 1 | 3 | |
| 52N107E | NW | 1 | 61 | 68 | 130 | #8 |
| | NE | | 6 | 3 | 9 | |
| | SE | | 5 | 7 | 12 | #8 |
| | SW | 1 | 17 | 23 | 41 | #8 |

| Provenance | | Bords | Corps | | Total | Unités de vase |
|--------------|----|-------|---------|-------------|-------|----------------|
| | | | Décorés | Non décorés | | |
| 53N100E | NW | | 7 | 1 | 8 | |
| | NE | | 6 | 5 | 11 | |
| | SE | | 6 | 9 | 15 | #17 |
| 53N104E | NW | | 5 | 10 | 15 | |
| | NE | | 3 | 4 | 7 | |
| | SE | | | 1 | 1 | |
| | SW | | 10 | 5 | 15 | #32 |
| 53N112E | NW | | 1 | 2 | 3 | |
| | NE | | 4 | 10 | 14 | |
| | SW | | | 4 | 4 | |
| 56N105E | NW | 2 | 12 | 19 | 33 | #26, #27 |
| | NE | 1 | 7 | 29 | 37 | #12 |
| | SE | | 6 | 11 | 17 | #12 |
| TOTAL | | 29 | 457 | 590 | 1076 | |

Tableau B Provenance du matériel céramique issu des collectes de surface de M. Robert Bélanger sur la plage du site CcFr-1 entre 2020-2022

| Provenance* | Bords | Corps | | Total | Unités de vase |
|--------------|-------|---------|-------------|-------|----------------|
| | | Décorés | Non décorés | | |
| 2A | | 2 | | 2 | |
| 4A | 1 | | | 1 | #11 |
| 1B | | 2 | 50 | 52 | |
| 2B | | 65 | 4 | 69 | #28, #31 |
| 3B | 5 | | | 5 | #11 |
| 5C | | | 1 | 1 | |
| 7C | | | 1 | 1 | |
| 10C | | | 1 | 1 | |
| 19C | | | 1 | 1 | |
| 21C | | 1 | | 1 | |
| 24C | 2 | | | 2 | #31 |
| 25C | | | 1 | 1 | |
| 26C | 1 | | 2 | 3 | #32 |
| 28C | | 1 | 1 | 2 | |
| 30C | | 3 | | 3 | |
| 31C | | | 3 | 3 | |
| 32C | | | 1 | 1 | |
| 34C | | 1 | 2 | 3 | |
| 35C | | 1 | 2 | 3 | |
| 36C | | | 1 | 1 | |
| 37C | | 1 | 1 | 2 | |
| 39C | | 1 | | 1 | |
| 40C | 1 | | | 1 | #33 |
| 42C | | 1 | 1 | 2 | |
| 43C | 1 | | 2 | 3 | #31 |
| 46C | | 3 | 6 | 9 | |
| 47C | | 2 | 3 | 5 | |
| 23D | 1 | | | 1 | #34 |
| 40D | 1 | | | 1 | |
| ? | 6 | 30 | 81 | 117 | |
| TOTAL | 19 | 114 | 165 | 298 | |

*Chaque lettre (A, B, C, D) correspond à un découpage particulier de la plage en différentes zones de découverte (1, 2, 3...) de superficie variable.

Tableau C Composition des unités de vase identifiées entre 2016-2022 sur le site CcF-1

| Unité de vase | Nb tesson(s) | Année(s) | N° catalogue | Datation approx.* |
|---------------|--------------|------------------------|--|-------------------|
| 1 | 1 | 2016 | 2 | SMA |
| 2 | 206 | 2017, 2018, 2019 | 51, 71, 74, 75, 76, 106, 108, 111, 153, 164, 176, 2018.10, 2018.11, 2018.12 | SSR |
| 3 | 1 | 2017 | 72 | SMT |
| 4 | 2 | 2017 | 73 | SS |
| 5 | 3 | 2017, 2018 | 26, 105, 107 | SMA |
| 6 | 3 | 2017, 2022 | 61, 62, 1056 | SMT ou SSA |
| 7 | 12 | 2017 | 10, 19, 20, 29, 43, 44, 47, 52, 70.1 | SMT |
| 8 | 152 | 2017, 2021, 2022 | 24, 25, 60, 63.3, 694, 703, 776, 777.3, 1416, 1446, 1469, 1474, 1475, 1476, 1477, 1478, 1726 | SMA |
| 9 | 59 | 2017, 2021, 2022 | 42**, 53, 54, 59.1, 63.1, 68, 70.2, 392, 400, 403, 410, 691, 692, 712, 714, 715, 716, 754, 770, 772.1, 775, 777.1, 777.2, 1021, 1040, 1041, 1047, 1057, 1058, 1127, 1249, 1261, 1299 | SMA |
| 10 | 15 | 2017, 2020, 2021, 2022 | 31, 57.1, 58.1, 64.1, 218.2, 442, 467, 579, 903, 1005, 1128, 1325, 1728 | SMT |
| 11 | 14 | 2020, 2021, 2022 | 224, 473, 474, 475, 479, 618, 719, 762, 1345, S9, S13 | SMT |
| 12 | 12 | 2018, 2022 | 99.1, 103, 104.1, 1648, 1649, 1660 | ? |
| 13 | 2 | 2018 | 102 | SMT |
| 14 | 1 | 2018 | 101 | ? |
| 15 | 2 | 2018 | 110 | ? |
| 16 | 2 | 2019 | 163 | SMA |
| 17 | 40 | 2017, 2021, 2022 | 63.2, 287, 461.2, 487, 682, 769, 906, 909, 920, 925, 969, 1138, 1218, 1347, 1349, 1357, 1363, 1382, 1383, 1384, 1387, 1388, 1708, 1731 | SMT |
| 18 | 69 | 2018, 2021, 2022 | 2018.7, 285.1, 434, 443, 445, 468, 483, 609.1, 726.1, 1137, 1156, 1176, 1202, 1717, 1720 | SMA |
| 19 | 2 | 2021, 2022 | 252, 1371 | SMT |
| 20 | 1 | 2021 | 358 | SMT |
| 21 | 9 | 2020, 2021, 2022 | 218.3, 457, 619, 766, 897, 899, 900, 1126, 1337 | SM |
| 22 | 30 | 2021, 2022 | 354, 386, 517.1, 764, 785, 898, 902, 905, 928, 1706, 1709, 1710, 1718 | SMA |
| 23 | 13 | 2021, 2022 | 360.1, 372, 890, 896, 924, 926, 1707 | SMA |
| 24 | 2 | 2022 | 1336, 1390 | SMA |
| 25 | 4 | 2021 | 571, 606, 741 | SMT |
| 26 | 3 | 2022 | 1636, 1637.1, 1676 | SMT |
| 27 | 1 | 2022 | 1635 | SMT |
| 28 | 2 | 2020-2022 | S2 | SMT |
| 29 | 2 | 2022 | 901, 904 | SMA |
| 30 | 1 | 2022 | 1344 | SMT |
| 31 | 4 | 2020-2022 | S4, S33, S34 | SMA |
| 32 | 1 | 2020-2022 | S32 | SMT ou SSA |
| 33 | 1 | 2020-2022 | S31 | SSR |
| 34 | 1 | 2020-2022 | S54 | SSR |

* Abréviations : SM (Sylvicole moyen), SMA (Sylvicole moyen ancien), SMT (Sylvicole moyen tardif), SS (Sylvicole supérieur), SSA (Sylvicole supérieur ancien), SSR (Sylvicole supérieur récent).

** En rouge, tessons reclassés depuis la dernière analyse.

Retour sur le vase 8 (planche A)

Numéros de catalogue : 24, 25, 60, 63.3, 694, 703, 776, 777.3, 1416, 1446, 1469, 1474, 1475, 1476, 1477, 1478, 1726

Provenance des tessons de 2017 : 51N107E (NW, NE, SE)

Provenance des tessons de 2021 : 52N106E (NE, SE)

Provenance des tessons de 2022 : 52N107E (NW, SE, SW)

2 bords, 3 cols, 147 panses

L'unité de vase 8 a été identifiée en 2017 à partir d'un tesson de panse trouvé dans le puits 51N107E (aire B). Une analyse de résidus lipidiques a permis d'interpréter la présence de ressources aquatiques dans les pores du contenant (Taché et Lamothe 2018). Une grande concentration de tessons appartenant à la même unité a été trouvée dans le puits 52N107E. Il s'avère que le décor dentelé a en partie été appliqué avec un effet basculant, une technique plutôt en usage pendant le Sylvicole moyen ancien (de ± 400 AEC à ± 500 EC).

La matrice des unités de vase 8 et 18 est similaire. Elle a une teinte brun pâle tirant sur l'orangé, une texture relativement grossière (par opposition à fine) qui se présente en agrégats de pâte et contient de grosses inclusions minérales angulaires (jusqu'à 5 mm de diamètre). En l'absence de cassures horizontales caractéristiques du colombinage, la technique de façonnage du vase 8 n'est pas apparente. Le bord du vase est éversé. Il présente un col étranglé et une lèvre de 8 mm d'épaisseur biseautée vers l'extérieur. L'ourlure n'est pas prononcée. La séquence décorative comporte une variété de motifs. La paroi interne est décorée d'une bande d'empreintes dentelées obliques à droite, suivie de scarifications peu profondes. La lèvre est décorée d'une série de courtes lignes dentelées obliques à gauche. Le premier registre de la paroi externe est une bande d'incisions obliques à gauche d'environ 7 mm de haut. Elles ont sans doute été appliquées avec le même outil dentelé utilisé pour décorer le reste du vase, car la largeur des incisions et la largeur des empreintes dentelées sont de 1,5 mm. La pâte était à l'état de cuir au moment de la décoration, comme en témoigne la propreté des empreintes. Le deuxième registre de la paroi externe comporte au moins deux bandes d'obliques à gauche dentelées appliquées une à une de manière parallèle. Les obliques de la deuxième bande s'intercalent entre les obliques de la première (.1475). Le troisième registre de la paroi externe semble être un champ d'empreintes dentelées à effet basculant, parfois entrecoupé d'incisions parallèles et peu profondes (.1475). Les tessons .24, .63-3, .694 et .1469 suggèrent la présence d'autres motifs sur le vase 8 qui sont pour l'instant difficiles à situer. Les empreintes dentelées sont parfois circulaires, parfois quadrangulaires et plus ou moins profondes, indiquant que la potière du vase 8 s'est amusée à manipuler son outil décoratif avec différents angles et pressions pour produire une variété d'effets.

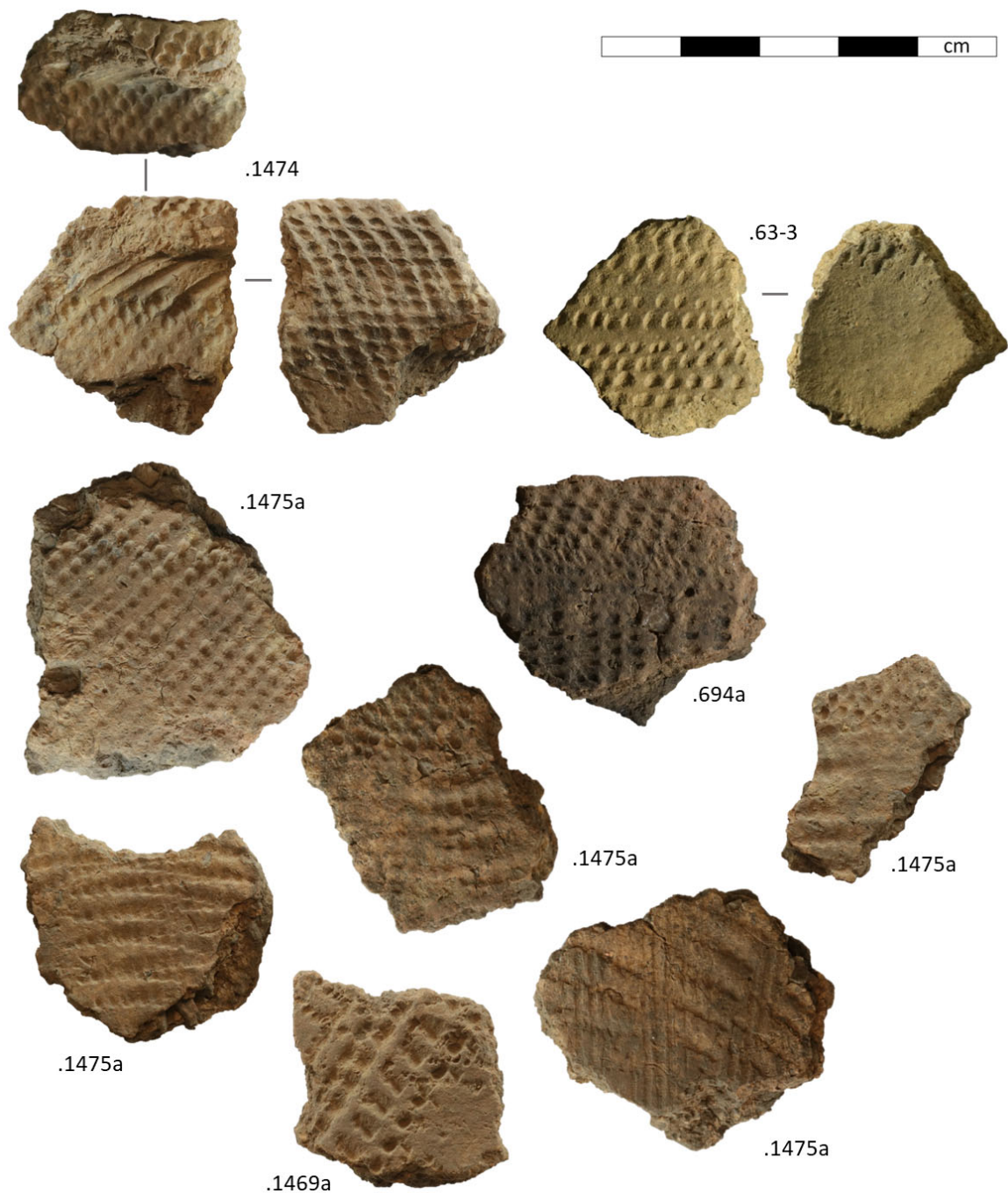


Planche A Unité de vase 8, séquence décorative du haut vers le bas

Légende pour toutes les planches :

- « a » = paroi externe
- « b » = paroi interne
- « c » = lèvre
- « d » = vue de profil
- encadré = association incertaine

Retour sur le vase 9 (planche B)

Numéros de catalogue : 42, 53, 54, 59.1, 63.1, 68, 70.2, 392, 400, 403, 410, 691, 692, 712, 714, 715, 716, 754, 770, 772.1, 775, 777.1, 777.2, 1021, 1040, 1041, 1047, 1057, 1058, 1127, 1249, 1261, 1299

Provenance des tessons de 2017 : 48N107E (NE), 49N106E (NW, NE), 49N107E (NE), 51N107E (SE, SW)

Provenance des tessons de 2021 : 50N106E (NW, NE, SE, SW), 52N106E (NE)

Provenance des tessons de 2022 : 50N105E (NE), 50N107E (NW, NE, SW), 51N102E (NE), 51N106E (NE, SE)

5 bords, 14 cols, 40 panses

La matrice du vase 9 se distingue par la présence de petits grains minéraux blancs qui lui donnent un aspect picoté. Un tesson de bord complet (.1040) associé à l'unité de vase 9 a été trouvé dans le puits 50N107E et nous permet maintenant de décrire cette partie du vase. La paroi interne est décorée d'une série d'empreintes dentelées quadrangulaires repoussées appliquées à l'horizontale. Cette bande mesure quelques centimètres et se termine au niveau du col. La lèvre mesure 7 mm d'épaisseur et ne présente aucune ourlure. Elle est biseautée vers l'extérieur et décorée d'empreintes ondulantes verticales. Le premier registre de la paroi externe est composé de trois séries d'empreintes ondulantes repoussées appliquées en oblique à gauche. Les segments de chaque série sont alignés de manière à créer l'apparence d'obliques continues. Le deuxième registre commence immédiatement après avec une série d'empreintes ondulantes repoussées appliquées à la verticale (.1041). Les segments d'empreintes ondulantes sur la paroi externe mesurent toujours environ 5,5 mm de long, ce qui témoigne de la régularité avec laquelle la potière du vase 9 traînait son outil dentelé pour produire l'effet ondulant.



Planche B Unité de vase 9, bord et décor sur la paroi interne

Retour sur le vase 11 (planche C, figure A)

Numéros de catalogue : 224, 473, 474, 475, 479, 618, 719, 762, 1345, S9, S13

Provenance des tessons de 2020 : Souche 1

Provenance des tessons de 2021 : 51N103E (NE, SE, SW), 52N102E (SW)

Provenance des tessons de 2022 : 52N103E (NE), plage (secteurs 4A et 3B)

13 bords, 1 col

Le vase 11 fait partie d'une famille de vases de facture similaire (UV11, UV25, UV26, UV27, UV28 et .1097?). En reclassant les tessons préalablement associés au vase 11, la plupart des tessons de corps ont été écartés puisqu'ils sont plus difficiles à distinguer que les tessons de bord. Les attributs qui différencient le bord du vase 11 par rapport aux autres sont l'allure particulièrement « baveuse » des empreintes et la largeur d'environ 10 mm de la bande d'empreintes cordées sur la paroi interne. Ce vase semble avoir été décoré à l'aide d'une cordelette torsadée vers la gauche (empreintes en « S » sur le tesson de panse .1328-1 d'association incertaine). Les particularités décoratives de chaque unité de vase dans cet ensemble sont mises en évidence dans la figure A.



Planche C Unité de vase 11

| | UV11 | UV25 | UV26 | UV27 | UV28 |
|------------|--------|------|-----------|----------|---------|
| p. interne | /// | ? | | | /// |
| lèvre | /// | | ? | | ? |
| p. externe | // | | /// = | = | /// |
| | | | /// = | /// = | |
| | | | incertain | | |

/ empreinte cordée / incision

Figure A Comparaison des motifs dans la séquence décorative des unités de vase 11, 25, 26, 27 et 28

Retour sur le vase 18 (planche D)

Numéros de catalogue : 2018.7, 285.1, 434, 443, 445, 468, 483, 609.1, 726.1, 1137, 1156, 1176, 1202, 1717, 1720

Provenance des tessons de 2018 : 55N104E (NE)

Provenance des tessons de 2021 : 50N102E (NE), 51N103E (NW, SW), 52N102E (SW)

Provenance des tessons de 2022 : 51N102E (NE, SE), 51N104E (NW)

1 bord, 4 cols, 64 panses

Une concentration importante de tessons de l'unité de vase 18 a été trouvée dans les quadrants est du puits 51N102E en association avec la structure 3 (voir pp. 60-62). Une erreur d'identification dans l'analyse céramique de 2021 (Taché *et al.* 2022 : annexe A, pp. 22-23) doit être corrigée. Le vase 18 a été décoré d'empreintes dentelées et non d'empreintes cordées. L'effet basculant sur le tesson .1137 suggère que le vase a été fabriqué pendant le Sylvicole moyen ancien (de ± 400 AEC à ± 500 EC).

Le vase 18 est similaire au vase 8. Il est probable qu'ils aient été fabriqués par la même communauté de pratique, car ils témoignent d'une série commune de choix techniques. En plus de la similitude entre leur matrice, ils portent le même type de scarification

multidirectionnelle sur leur paroi interne et exhibent une impressionnante variété d'applications de l'empreinte dentelée. La séquence décorative précise du vase 18 demeure difficile à détailler, mais présente un dentelé pointu, quadrangulaire (.1156), tantôt ondulant, tantôt basculant et disposé selon différentes orientations avec plus ou moins de pression dans l'application.



Planche D Unité de vase 18, la flèche indique l'effet basculant

Retour sur le vase 22 (planche E)

Numéros de catalogue : 354, 386, 517.1, 764, 785, 898, 902, 905, 928, 1706, 1709, 1710, 1718

Provenance des tessons de 2021 : 50N102E (SE), 50N104E (SE), 51N103E (E, SW)

Provenance des tessons de 2022 : 50N103E (NW, SE, SW), 51N102E (SE)

4 bords, 1 col, 25 panses

Une autre erreur d'identification a été commise dans l'analyse céramique de 2021 (Taché *et al.* 2022 : annexe A, p. 28). Le vase 22 a été décoré d'empreintes dentelées à effet ondulant et non d'empreintes cordées, ce qui situe la production du vase au Sylvicole moyen ancien (de ± 400 AEC à ± 500 EC). La texture de la matrice est particulièrement fine et résulte potentiellement d'une purification de l'argile et d'un pétrissage de haut degré. La paroi externe du vase est décorée de séries d'empreintes dentelées à effet ondulant appliquées à la verticale (du haut vers le bas). Chaque série mesure environ 7,5 mm de largeur. L'ourlure, présente sur le tesson .902 et absente sur le tesson .354, est irrégulière.



Planche E Unité de vase 22

Vase 23 (planche F)

Numéros de catalogue : 360.1, 372, 890, 896, 924, 926, 1707

Provenance des tessons de 2021 : 50N102E (NE), 50N104E (SW)

Provenance des tessons de 2022 : 50N103E (NW, SE, SW)

4 bords, 1 col, 8 panses

La matrice du vase 23 contient des inclusions minérales angulaires de taille moyenne (jusqu'à 3 mm) dont la proportion dans la pâte ne semble pas dépasser 20 %. Le cœur de la pâte est plus foncé que les parois, indiquant que le vase a été cuit dans une atmosphère oxydante (comme dans un foyer à aire ouverte) et en a été retiré avant que l'oxydation soit achevée (Roux et Courty 2017 : 248). Plusieurs tessons présentent des cassures horizontales typiques d'un montage au colombin et leurs parois sont souvent exfoliées. Des résidus carbonisés adhèrent à la paroi interne du tesson de col .360-1. Le bord du vase est légèrement évasé, la lèvre est biseautée vers l'extérieur et le col est droit. Le diamètre d'ouverture est estimé à 14 cm et le volume à 4,4 litres (Whallon 1969). La paroi mesure environ 6 mm d'épaisseur au niveau de la lèvre et s'épaissit (8,5 mm) au col et au début de la panse. La jonction entre la lèvre et la paroi externe ne présente aucune ourlure et les deux surfaces ont été lissées avant d'être décorées. La paroi interne a été scarifiée avant d'être décorée. L'ensemble de la décoration semble avoir été appliquée à l'aide d'un outil dentelé. La largeur des empreintes dentelées varie de 1 mm à 2 mm en fonction de leur profondeur. La paroi interne porte deux séries superposées d'empreintes à effet basculant, une caractéristique des productions du Sylvicole moyen ancien (de ± 400 AEC à ± 500 EC). La lèvre et le premier registre de la paroi externe sont décorés d'empreintes verticales sigillées et parfois légèrement repoussées (.890). Le deuxième registre de la paroi externe semble être un champ d'empreintes basculantes.

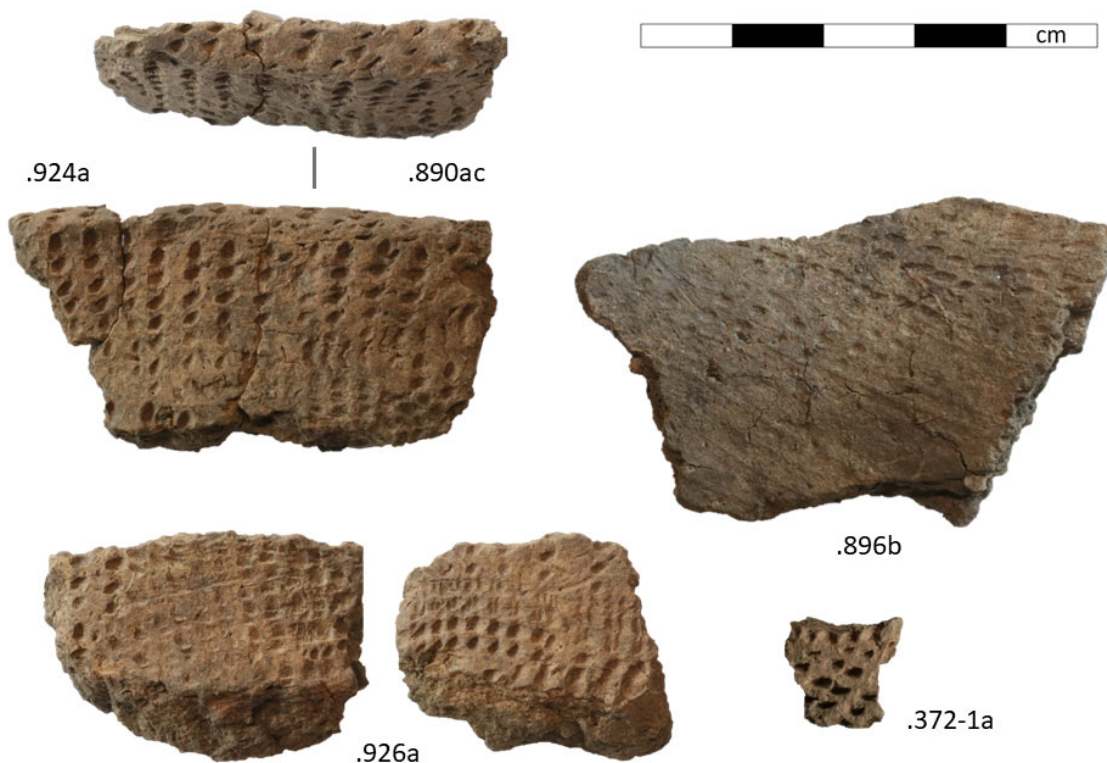


Planche F Unité de vase 23

Vase 24 (planche G)

Numéros de catalogue : 1336, 1390

Provenance des tessons de 2022 : 52N103E (NW, SE)

1 bord, 1 col

La matrice du vase 24 contient des inclusions minérales angulaires de taille moyenne (jusqu'à 3 mm) dont la proportion dans la pâte ne semble pas dépasser 20 %. Le bord est légèrement éversé, le col (8 mm d'épaisseur) est droit et la lèvre (6 mm d'épaisseur) est biseautée vers l'extérieur. L'ourlure est irrégulière. Préalablement lissées, les parois et la lèvre du vase ont été décorées d'empreintes dentelées sigillées (.1390) et repoussées de manière à produire un effet ondulant (.1336). Cette technique d'application est caractéristique des productions du Sylvicole moyen ancien (de ± 400 AEC à ± 500 EC). Les empreintes mesurent environ 1,5 mm de largeur. La paroi interne est décorée de deux bandes d'empreintes ondulantes d'environ 1,8 mm de largeur. La lèvre et le premier registre de la paroi externe sont décorés d'empreintes ondulantes verticales. Le deuxième registre sur le tesson .1336 porte des empreintes ondulantes obliques à droite et le tesson .1390 porte des empreintes dentelées quadrangulaires obliques à gauche.



.1336



.1390a

Planche G Unité de vase 24

Vase 25 (planche H, figure A)

Numéros de catalogue : 571, 606, 741

Provenance des tessons de 2021 : 52N102E (NE, SE)

2 bords, 2 cols

L'unité de vase 25 a été distinguée du vase 11 et des autres vases de la même famille en raison des particularités suivantes : un col plus étranglé, une lèvre plus mince (8,2 mm), une ourlure baveuse moins prononcée que celle du vase 11 et des empreintes cordées plus étroites.

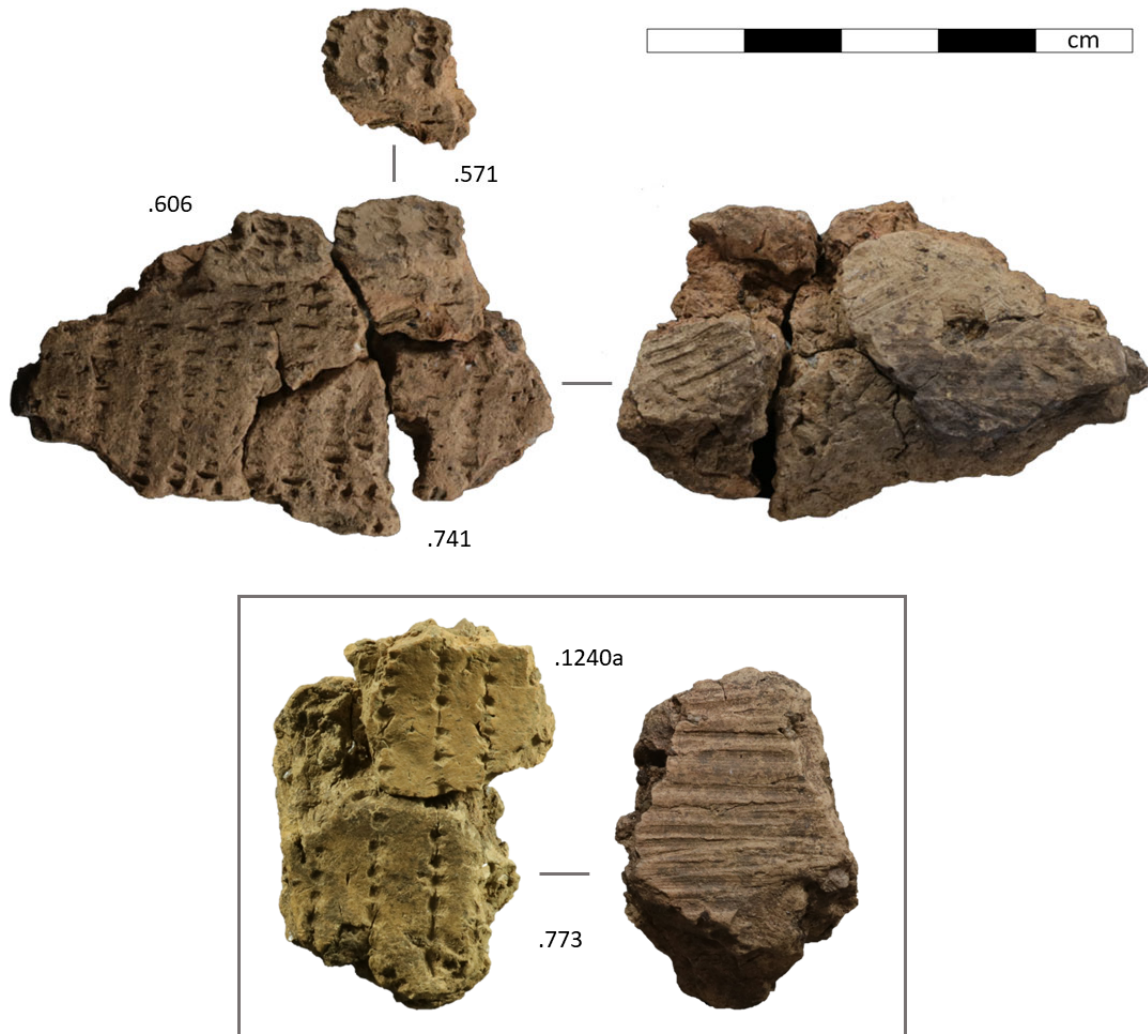


Planche H Unité de vase 25

Vase 26 (planche I, figure A)

Numéros de catalogue : 1636, 1637.1, 1676

Provenance des tessons de 2022 : 56N105E (NW)

1 bord, 2 cols

La matrice du vase 26 contient de grosses (jusqu'à 6 mm) inclusions minérales angulaires dont la proportion dans la pâte ne semble pas dépasser 20 %. Les cassures horizontales et la lèvre détachée du tesson .1676 suggèrent un montage au colombin. La paroi externe porte des traces de suie au niveau de col et de la panse. Des résidus carbonisés adhèrent à la paroi interne des tessons .1636 et .1676. Le bord est légèrement évasé, le col est légèrement étranglé et la cassure de la lèvre du tesson .1676 suggère une forme biseautée vers l'extérieur. La paroi s'épaissit graduellement de la lèvre (environ 11 mm) à la panse (jusqu'à 13,5 mm). La paroi externe a été lissée avant d'être décorée. La paroi interne n'est pas décorée, mais est scarifiée de larges sillons parallèles. La décoration sur la paroi externe a été réalisée à l'aide d'une tige à cordelette vraisemblablement. La cordelette a été torsadée vers la droite (empreintes en « Z » sur le tesson .1636) de manière relativement serrée (trois torsions par cm pour une cordelette dont le diamètre est d'environ 3,5 mm et l'angle de torsion est de 56°). Le premier registre est une bande d'empreintes légèrement obliques à gauche large de 21 mm. Le deuxième registre semble être un champ d'empreintes horizontales potentiellement entrecoupé d'incisions obliques à gauche dont le tracé est irrégulier (.96 et .97 entre autres). Ce vase date probablement de la période du Sylvicole moyen tardif (de ± 500 EC à ± 1000 EC).

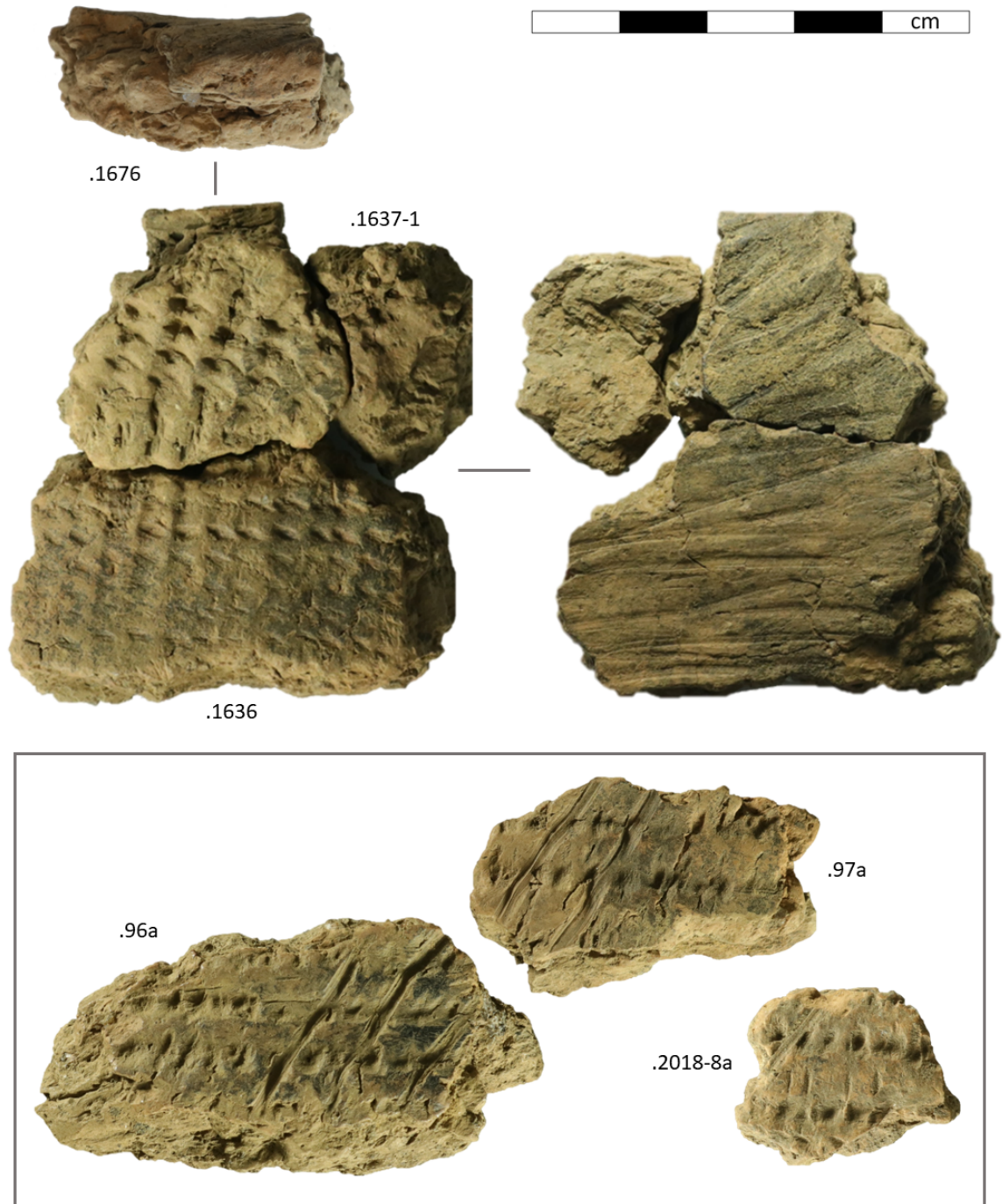


Planche I Unité de vase 26

Vase 27 (planche J, figure A)

Numéro de catalogue : 1635

Provenance du tesson de 2022 : 56N105E (NW)

1 bord

La matrice du vase 27 contient de petites (jusqu'à 1,8 mm) inclusions minérales angulaires dont la proportion dans la pâte ne semble pas dépasser 20 %. La pâte est particulièrement fine et uniforme, ce qui suggère une purification de l'argile et un pétrissage de haut degré. La paroi interne est scarifiée. La lèvre est biseautée vers l'extérieur, mesure environ 11,4 mm d'épaisseur et ne présente aucune ourlure. La lèvre et la paroi externe ont été lissées avant d'être décorées d'empreintes cordées verticales et alignées. La propreté des empreintes suggère que la pâte était à l'état de cuir au moment de la décoration. La cordelette utilisée semble avoir été très serrée (quatre torsions par cm pour un diamètre de 2,5 mm). Une ligne de deux empreintes verticales de haut orne le haut de la paroi interne. Ces verticales superposent partiellement et s'intercalent entre celles de la lèvre. L'ensemble des empreintes cordées ont pu être produites par une tige à cordelette ayant un espacement régulier de 3 mm entre chaque révolution. La panse du vase est potentiellement décorée d'empreintes horizontales entrecoupées d'incisions (.1650). Cette unité date probablement de la période du Sylvicole moyen tardif (de ± 500 EC à ± 1000 EC).

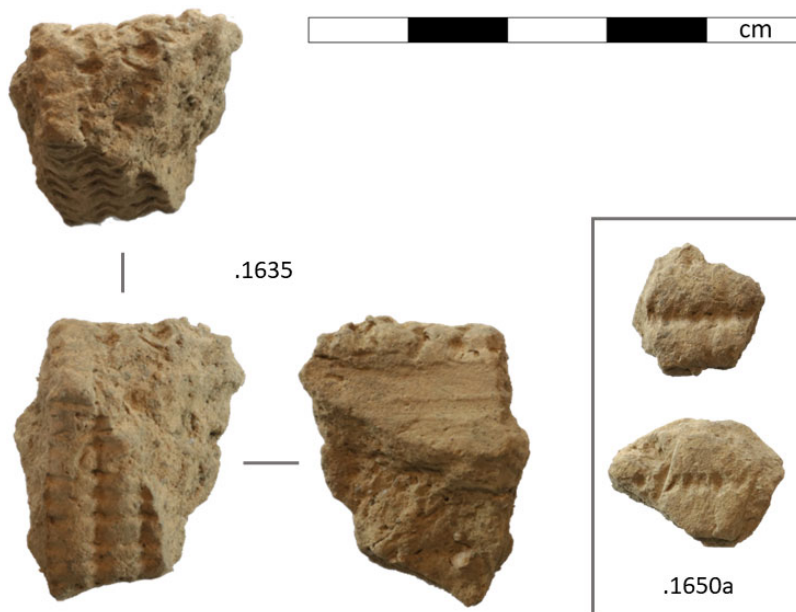


Planche J Unité de vase 27

Vase 28 (planche K, figure A)

Numéro de catalogue : S2

Provenance des tessons de 2020-2022 : plage (secteur 2B)

2 cols

La matrice du vase 28 contient des inclusions minérales angulaires de taille moyenne (jusqu'à 2,4 mm) dont la proportion dans la pâte ne semble pas dépasser 20 %. Les cassures horizontales suggèrent un montage au colombin. Une épaisse croûte de résidus carbonisés adhère à la paroi interne des deux tessons. Le col est légèrement étranglé et la paroi s'amincit graduellement de l'épaule (9,6 mm) vers le haut du col (7,9 mm). Les parois interne et externe ont été lissées avant d'être décorées. La paroi interne est décorée d'une bande d'empreintes cordées obliques à gauche d'une largeur minimale de 20 mm, qui est suivie de larges scarifications parallèles. La paroi externe est décorée d'un registre d'empreintes verticales et d'un registre d'obliques à gauche. La cordelette utilisée semble avoir été torsadée de manière très serrée (quatre torsions par cm pour un diamètre de 2 mm). Ce vase date probablement de la période du Sylvicole moyen tardif (de ± 500 EC à ± 1000 EC).

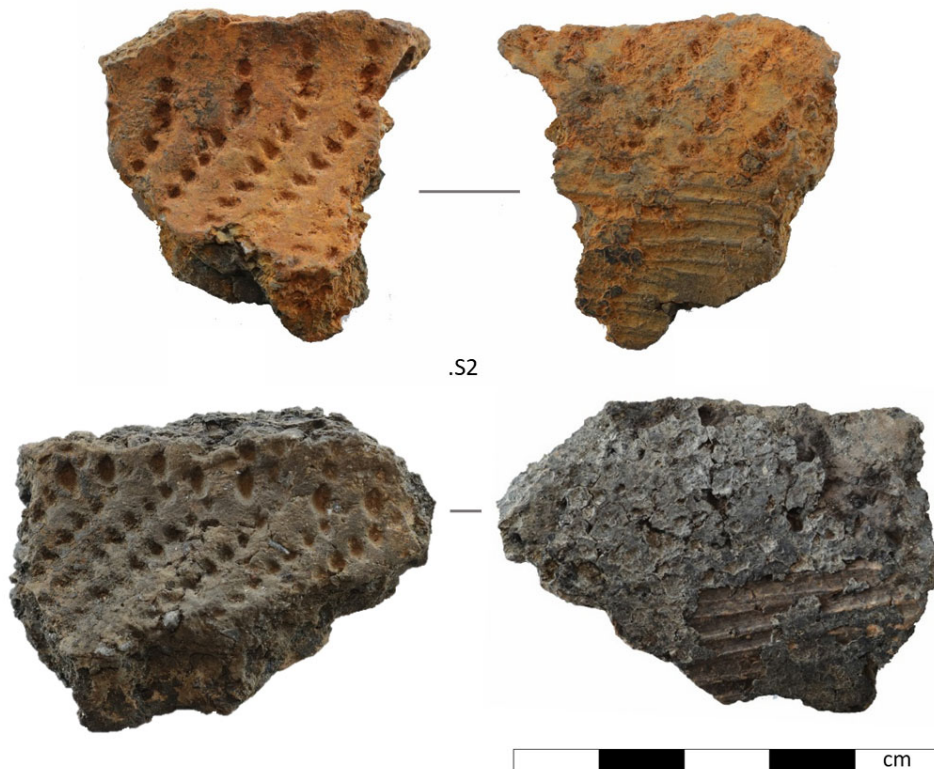


Planche K Unité de vase 28

Vase 29 (planche L)

Numéros de catalogue : 901, 904

Provenance des tessons de 2022 : 50N103E (SW)

2 bords

L'état de conservation et la superficie restreinte des deux tessons de bord jointifs du vase 29 limitent le nombre d'attributs observables. La matrice contient des inclusions minérales angulaires de taille moyenne (jusqu'à 3 mm). Le bord semble légèrement évasé et la lèvre biseautée vers l'extérieur. Elle mesure environ 8,5 mm d'épaisseur. La paroi interne et la lèvre sont décorées d'empreintes dentelées repoussées obliques à droite et verticales respectivement. Le repoussement produit un effet ondulant sur certains tessons potentiellement associables (.275-2) au vase 29. Il date probablement de la période du Sylvicole moyen ancien (de ± 400 AEC à ± 500 EC).

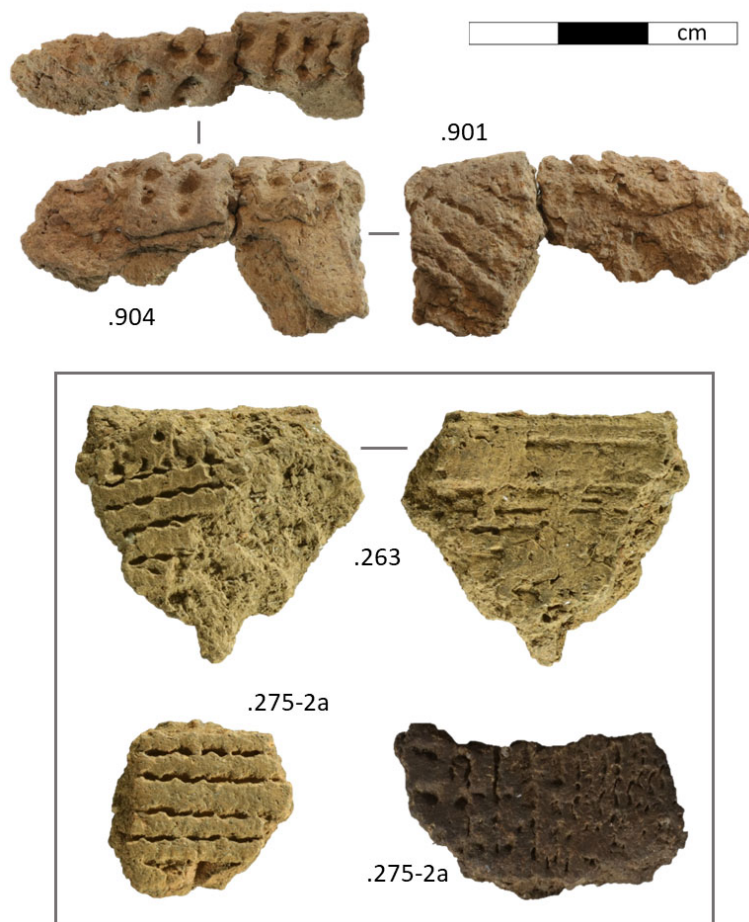


Planche L Unité de vase 29

Vase 30 (planche M)

Numéro de catalogue : 1344

Provenance du tesson de 2022 : 52N103E (NE)

1 bord

Les tessons .104-2, .1591, .1659, .1730, .2018-2 et .2018-4 sont très probablement associables au vase 30. La matrice contient des inclusions minérales angulaires de taille moyenne à grosse (de 3 mm jusqu'à 7 mm potentiellement) dont la proportion ne semble pas dépasser 20 %. Il est difficile de statuer sur la morphologie du bord, mais la lèvre semble être plate ou légèrement biseautée vers l'extérieur et le col semble droit. La lèvre mesure 8,6 mm d'épaisseur et la paroi semble s'amincir jusqu'à 5 mm d'épaisseur (.1659). La paroi interne n'est pas décorée. Préalablement lissées, la lèvre et la paroi externe sont décorées d'empreintes cordées appliquées à la verticale. La cordelette utilisée semble avoir été torsadée vers la droite (empreintes en « Z » sur plusieurs tessons potentiels) de manière relativement lâche (trois torsions par cm pour une cordelette dont le diamètre est d'environ 1,5 mm et l'angle de torsion est de 24°). La paroi externe semble être décorée de ponctuations produisant une bosse sur la paroi interne (.1591 et .1730). Les ponctuations ont un diamètre de 4 mm. L'association de ces deux unités décoratives caractérise la tradition Melocheville dans le sud du Québec pendant le Sylvicole moyen tardif (de ± 500 EC à ± 1000 EC).

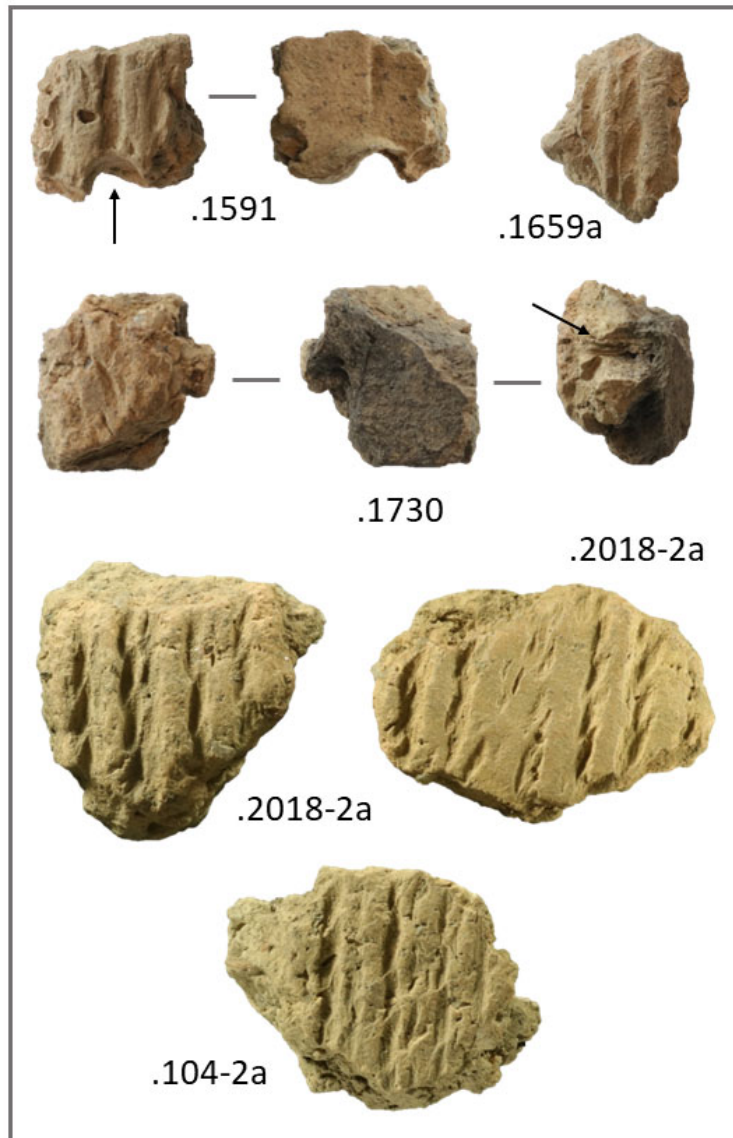


Planche M Unité de vase 30, la flèche indique une ponctuation à bosse

Vase 31 (planche N)

Numéros de catalogue : S4, S33, S34

Provenance des tessons de 2020-2022 : plage (secteurs 2B, 24C et 43C)

2 bords, 2 cols

La matrice du vase 31 contient de grosses (jusqu'à 5 mm) inclusions minérales angulaires dont la proportion dans la pâte ne semble pas dépasser 20 %. La cassure horizontale entre les tessons .S34 suggère un montage au colombin. Des résidus carbonisés adhèrent à la paroi interne au niveau du col. Le bord est évasé, le col est étranglé, la lèvre est biseautée vers l'extérieur et sans ourlure. L'épaisseur de la lèvre (entre 7 mm et 8 mm) et celle du col (entre 8 mm et 10 mm) varient légèrement. La paroi interne est décorée d'empreintes dentelées repoussées obliques à droite et verticales, tandis que celles sur la lèvre sont obliques à gauche et verticales. La paroi externe est décorée de croisillons incisés sur une bande d'au moins 37 mm. Les incisions obliques à gauche superposent les incisions obliques à droite. Ce décor rappelle celui du type *Kabeshinàn entrecroisé* (Laliberté 2004 : 28), qui date de la fin du Sylvicole moyen ancien (de ± 400 AEC à ± 500 EC).



Planche N Unité de vase 31

Vase 32 (planche O)

Numéro de catalogue : S32

Provenance du tesson de 2020-2022 : plage (secteur 26C)

1 bord

Les tessons de bord du vase 32, du vase 6 et du groupe 2 (voir pp. 68-69) présentent plusieurs similarités : teinte rougeâtre de la pâte, inclusions minérales angulaires de taille moyenne (jusqu'à 4 mm), lèvre plate d'environ 8,5 mm d'épaisseur, col droit ou légèrement étranglé et aucune ourlure. De subtiles variations dans les choix décoratifs distinguent cependant chacun des regroupements. La paroi interne du vase 32 ne semble pas être décorée, mais celle-ci s'est peut-être érodée pendant son temps dans le lac. La lèvre est décorée d'empreintes cordées formant des croisillons et la paroi externe est décorée d'empreintes cordées obliques à gauche, soit la séquence inverse à celle du vase 6 et du groupe 2. Ces derniers sont aussi décorés de ponctuations produisant des bosses sur la paroi externe, une caractéristique de productions de la tradition Pickering qui est centrée dans l'actuel sud-est de l'Ontario et qui s'étend de la fin du Sylvicole moyen tardif au Sylvicole supérieur ancien, soit entre 900-1300 EC (Gates St-Pierre 2010 : 39). Le vase 32 pourrait dater de la même époque.

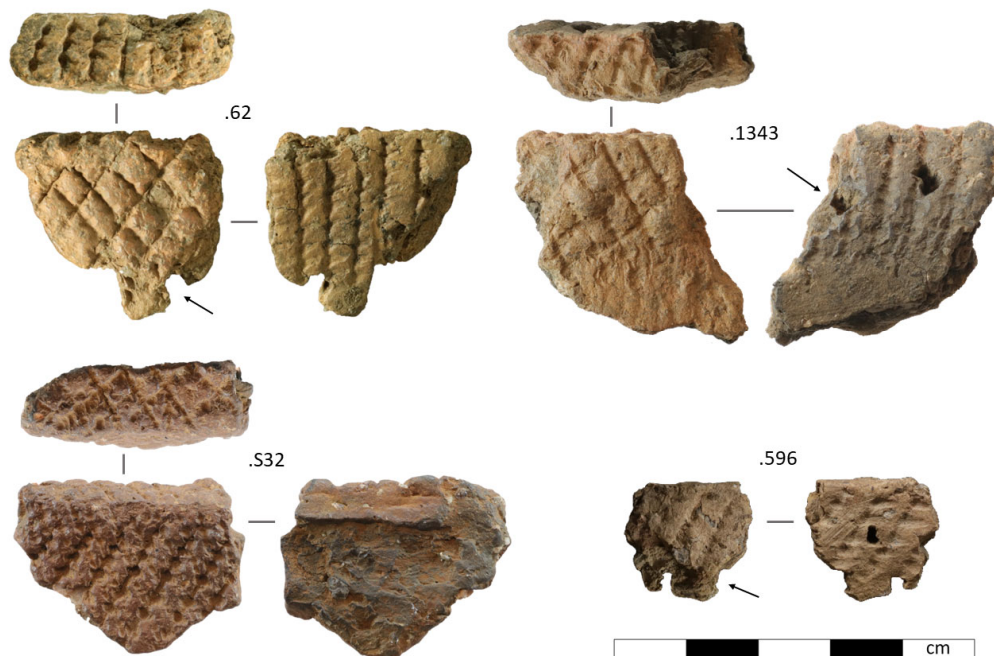


Planche O Unité de vase 32 (.S32) comparée à l'unité de vase 6 (.62), au groupe 1 (.596) et au groupe 2 (.1343)

Vase 33 (planche P)

Numéro de catalogue : S31

Provenance du tesson de 2020-2022 : plage (secteur 40C)

1 bord

La matrice du vase 33 contient de petites (jusqu'à 2 mm) inclusions minérales angulaires dont la proportion dans la pâte ne semble pas dépasser 20 %. Des résidus carbonisés adhèrent à la paroi interne et la paroi externe porte des traces de suie. Le bord et le col semblent relativement droits. La lèvre est plate (5 mm d'épaisseur) et sa courbure nous permet d'estimer entre 20 cm et 24 cm le diamètre du vase, puis entre 10,3 litres et 14,2 litres le volume du vase. Un court parement d'une largeur de 12 mm et d'une épaisseur maximale de 10 mm coiffe le bord du vase. La paroi interne est décorée d'une ligne horizontale d'empreintes punctiformes. La lèvre n'est pas décorée. Le parement est décoré d'incisions obliques à gauche. Immédiatement sous le parement, le col est décoré de trois incisions horizontales.

Le vase 33 semble correspondre à la description du type *Pound Necked* établie par Richard MacNeish (1952 : 15) : « *The most distinctive features of the type are the horizontal incisions encircling the neck, coupled with oblique or vertical incisions on short, poorly-defined, channelled collars* ». On retrouve ce type de vase notamment sur le site Pound (AeHf-1) au nord du lac Érié, qui a été occupé pendant la deuxième moitié du XIV^e siècle. Le vase 33 date donc probablement du Sylvicole supérieur récent (de ± 1350 EC à ± 1600 EC).



Planche P Unité de vase 33

Vase 34 (planche Q)

Numéro de catalogue : S54

Provenance du tesson de 2020-2022 : plage (secteur 23D)

1 bord

La matrice du vase 34, d'une teinte brun orangé, contient de petites (jusqu'à 2 mm) inclusions minérales angulaires dont la proportion dans la pâte ne semble pas dépasser 20 %. La paroi interne est tachée de suie. Le bord est éversé. La lèvre est décorée d'une série d'empreintes punctiformes facettées mesurant environ 7 mm sur 5 mm. La forme des empreintes laisse croire que l'outil décoratif était peut-être une épiphyse, soit l'extrémité d'un os long.

La lèvre à encoches est un attribut commun entre autres sur les vases de type *Sidey Notched* (MacNeish 1952 : 33). Des fragments de bord similaires au tesson .S54 ont été trouvés sur le site Sidey-Mackay (BbHa-6) au sud de la baie Georgienne, un site villageois du XVI^e siècle historiquement occupé par les Tionontati (aussi appelés Pétuns). Le vase 34 date donc probablement de la fin du Sylvicole supérieur récent (de ± 1350 EC à ± 1600 EC).



Planche Q Unité de vase 34

Autres tessons

Le tesson de bord .1097 (planche R), trouvé dans le sondage 50N116E-QSE, représente potentiellement une autre unité à associer à la famille des vases 11, 25, 26, 27 et 28. Il est particulièrement similaire au vase 11 : lèvre d'une épaisseur de 12 mm à 13 mm, ourlure prononcée, allure baveuse et écrasée des empreintes cordées, orientation identique des empreintes sur la lèvre et dans le premier registre de la paroi externe. Il n'est pas clair si la paroi interne est uniquement scarifiée ou si elle est également décorée.

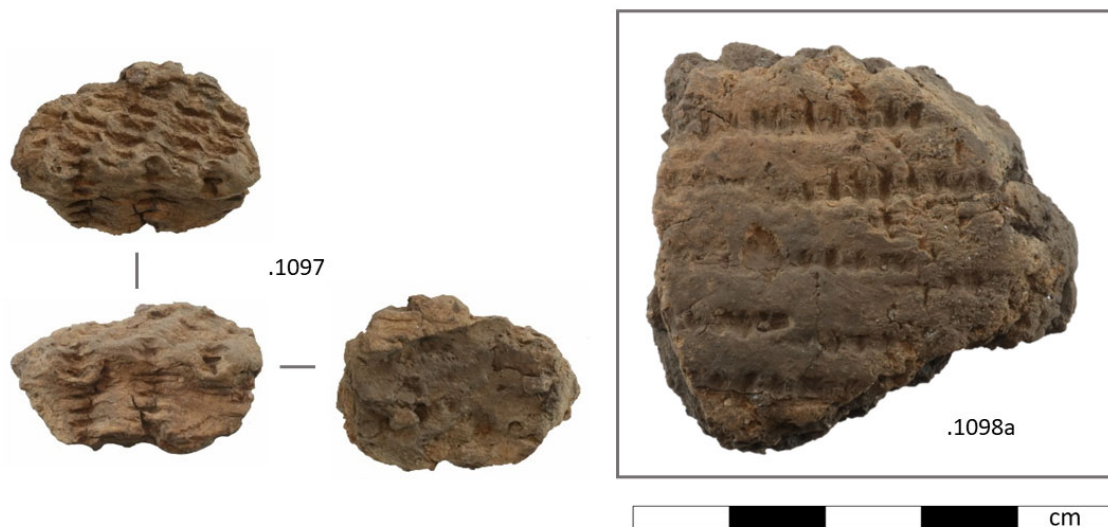


Planche R Tesson de bord .1097 et tesson de corps (.1098) potentiellement associable

Rebuts de pâte (planche S)

Numéros de catalogue : 2018-1, 274, 297, 731, 1705

Provenance du rebut de 2018 : 55N104E (NE)

Provenance des rebuts de 2021 : 50N102E (NW, SE), 51N103E (SE)

Provenance des rebuts de 2022 : 50N103E (SW)

Deux rebuts de pâte s'ajoutent à ceux trouvés en 2018 et en 2021. Aucun d'entre eux ne semble contenir d'inclusions minérales et leurs surfaces ne semblent pas résulter de cassures. Leur forme irrégulière suggère qu'il pourrait s'agir de déchets de fabrication (Corbeil 1990).

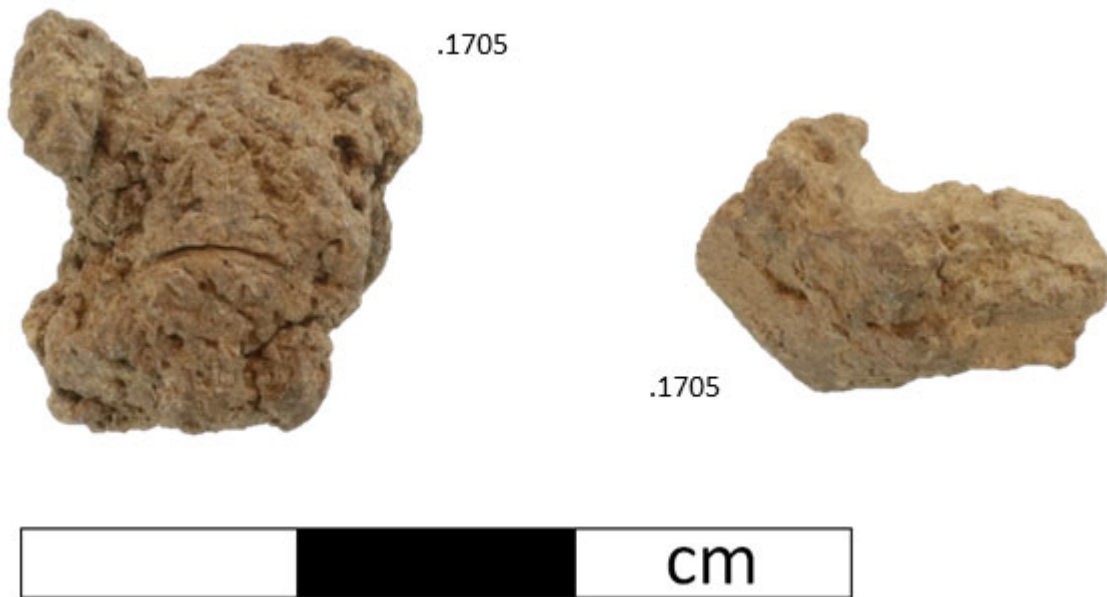


Planche S Rebuts de pâte

Considérations chronologiques

La collection céramique du site CcFr-1 comporte des vases typiques de chaque sous-période entre le Sylvicole moyen ancien et le Sylvicole supérieur récent. Les vases 33 et 34, trouvés sur la plage, suggèrent que l'occupation du site au Sylvicole supérieur récent n'est pas une occurrence isolée (vase 2) et que les occupants étaient en contact plus ou moins direct avec les populations du sud-est de l'Ontario.

À titre indicatif, les lignes suivantes dans l'inventaire des interventions de 2017, 2018 et 2021 sur le site CcFr-1 ont été modifiées pour les besoins de l'analyse céramique.

Lignes modifiées dans l'inventaire de l'intervention 2017 sur le site CcFr-1

| | | | | | | | | | | | | | |
|---------|----|-------|-----------|------------------------------|------------------|---|---|------|-------------------|------|--|---|------|
| 51N107E | SW | 0-10 | 1.1.1.991 | Céramique de type autochtone | contenant (tpd) | 1 | 1 | 4.99 | Consommation ind. | Frag | Tesson décoré, UV10 | 2 | 57.1 |
| 51N107E | SW | 0-10 | 1.1.1.991 | Céramique de type autochtone | contenant (tpnd) | 2 | ? | 4.99 | Consommation ind. | Frag | Petits tessons non décorés | 2 | 57.2 |
| 51N107E | NE | 10-20 | 1.1.1.991 | Céramique de type autochtone | contenant (tpd) | 1 | 1 | 4.99 | Consommation ind. | Frag | Tesson décoré, trou de réparation (?), UV10 | 2 | 58.1 |
| 51N107E | NE | 10-20 | 1.1.1.991 | Céramique de type autochtone | contenant (tpd) | 1 | 1 | 4.99 | Consommation ind. | Frag | Tesson décoré | 2 | 58.2 |
| 51N107E | SW | 10-20 | 1.1.1.991 | Céramique de type autochtone | contenant (tpd) | 2 | 1 | 4.99 | Consommation ind. | Frag | Petits tessons décorés, UV9 | 2 | 59.1 |
| 51N107E | SW | 10-20 | 1.1.1.991 | Céramique de type autochtone | contenant (tpd) | 2 | ? | 4.99 | Consommation ind. | Frag | Tessons décorés | 2 | 59.2 |
| 51N107E | SE | 10-20 | 1.1.1.991 | Céramique de type autochtone | contenant (tpd) | 1 | 1 | 4.99 | Consommation ind. | Frag | Tesson décoré, UV9 | 1 | 63.1 |
| 51N107E | SE | 10-20 | 1.1.1.991 | Céramique de type autochtone | contenant (tpd) | 1 | 1 | 4.99 | Consommation ind. | Frag | Tesson décoré, UV17 | 1 | 63.2 |
| 51N107E | SE | 10-20 | 1.1.1.991 | Céramique de type autochtone | contenant (tpd) | 2 | 1 | 4.99 | Consommation ind. | Frag | Tessons décorés, potentiellement associables à UV8 | 1 | 63.3 |
| 51N107E | SE | 10-20 | 1.1.1.991 | Céramique de type autochtone | contenant | 5 | ? | 4.99 | Consommation ind. | Frag | 3 tessons décorés, 2 tessons non décorés | 1 | 63.4 |
| 51N107E | SE | 0-10 | 1.1.1.991 | Céramique de type autochtone | contenant (tpd) | 2 | 1 | 4.99 | Consommation ind. | Frag | Tessons décorés, trou de réparation (?), UV10 | 2 | 64.1 |
| 51N107E | SE | 0-10 | 1.1.1.991 | Céramique de type autochtone | contenant (tpnd) | 1 | 1 | 4.99 | Consommation ind. | Frag | Tesson non décoré | 2 | 64.2 |
| 49N106E | NW | 0-10 | 1.1.1.991 | Céramique de type autochtone | contenant | 1 | 1 | 4.99 | Consommation ind. | Frag | Tesson décoré à la cordelette, UV7 | 2 | 70.1 |
| 49N106E | NW | 0-10 | 1.1.1.991 | Céramique de type autochtone | contenant | 1 | 1 | 4.99 | Consommation ind. | Frag | Tesson à décor dentelé, UV9 | 2 | 70.2 |

Lignes modifiées dans l'inventaire de l'intervention 2018 sur le site CcFr-1

| | | | | | | | | | | | | | |
|---------|----|----|-----------|------------------------------|------------------|----|---|------|-------------------|------|---|---|---------|
| 55N104E | NE | 3a | 1.1.1.991 | Céramique de type autochtone | contenant (tpd) | 2 | 1 | 4.99 | Consommation ind. | Frag | Tessons décorés, UV18 | 1 | 2018.7 |
| 55N104E | NE | 3a | 1.1.1.991 | Céramique de type autochtone | contenant (tpd) | 3 | ? | 4.99 | Consommation ind. | Frag | Tessons décorés, potentiellement associables à UV26 | 1 | 2018.8 |
| 55N104E | NE | 3a | 1.1.1.991 | Céramique de type autochtone | contenant | 12 | ? | 4.99 | Consommation ind. | Frag | Tessons décorés et non décorés | 1 | 2018.9 |
| 55N104E | NE | 4 | 1.1.1.991 | Céramique de type autochtone | contenant (tpd) | 2 | 1 | 4.99 | Consommation ind. | Frag | Tessons décorés, potentiellement associables à UV26 | 1 | 98.1 |
| 55N104E | NE | 4 | 1.1.1.991 | Céramique de type autochtone | contenant (tpnd) | 4 | ? | 4.99 | Consommation ind. | Frag | Tessons non décorés, 2 jointifs | 1 | 98.2 |
| 55N105E | NW | 3 | 1.1.1.991 | Céramique de type autochtone | contenant (tpd) | 1 | 1 | 4.99 | Consommation ind. | Frag | Tesson décoré, potentiellement associable à UV32 | 1 | 2018.4 |
| 55N105E | NW | 3 | 1.1.1.991 | Céramique de type autochtone | contenant (tpd) | 1 | 1 | 4.99 | Consommation ind. | Frag | Tessons décorés, potentiellement associable à UV26 | 1 | 2018.5 |
| 55N105E | NW | 3 | 1.1.1.991 | Céramique de type autochtone | contenant | 17 | ? | 4.99 | Consommation ind. | Frag | Tessons décorés et non décorés | 1 | 2018.6 |
| 56N104E | SE | 3a | 1.1.1.991 | Céramique de type autochtone | contenant (tpd) | 2 | 1 | 4.99 | Consommation ind. | Frag | Tessons décorés, UV12 | 1 | 99.1 |
| 56N104E | SE | 3a | 1.1.1.991 | Céramique de type autochtone | contenant (tpd) | 1 | 1 | 4.99 | Consommation ind. | Frag | Tessons décorés, potentiellement associables à UV12 | 1 | 99.2 |
| 56N104E | SE | 3a | 1.1.1.991 | Céramique de type autochtone | contenant (tpd) | 2 | 1 | 4.99 | Consommation ind. | Frag | Tessons décorés, potentiellement associables à UV32 | 1 | 2018.2 |
| 56N104E | SE | 3a | 1.1.1.991 | Céramique de type autochtone | contenant | 43 | ? | 4.99 | Consommation ind. | Frag | Tessons décorés et non décorés | 1 | 2018.3 |
| 56N105E | SW | 3 | 1.1.1.991 | Céramique de type autochtone | contenant (tpd) | 6 | 1 | 4.99 | Consommation ind. | Frag | Tessons décorés, UV12 | 1 | 104.1 |
| 56N105E | SW | 3 | 1.1.1.991 | Céramique de type autochtone | contenant (tpd) | 4 | ? | 4.99 | Consommation ind. | Frag | Tessons décorés, potentiellement associables à UV32 | 1 | 104.2 |
| 56N105E | SW | 3 | 1.1.1.991 | Céramique de type autochtone | contenant | 36 | ? | 4.99 | Consommation ind. | Frag | Tessons décorés et non décorés | 1 | 104.3 |
| 66N84E | SW | 2 | 1.1.1.991 | Céramique de type autochtone | contenant | 13 | 1 | 4.99 | Consommation ind. | Frag | Tessons non décorés, UV2 | 1 | 2018.10 |
| 67N83E | SE | 1 | 1.1.1.991 | Céramique de type autochtone | contenant | 1 | 1 | 4.99 | Consommation ind. | Frag | Tesson de col, UV2 | 1 | 2018.11 |
| 67N84E | SE | 2 | 1.1.1.991 | Céramique de type autochtone | contenant | 1 | 1 | 4.99 | Consommation ind. | Frag | Tesson non décoré, UV2 | 1 | 2018.12 |

Lignes modifiées dans l'inventaire de l'intervention 2021 sur le site CcFr-1

| | | | | | | | | | | | | | |
|---------|----|------------|-----------|------------------------------|------------------|----|---|------|-------------------|------|---|---|-------|
| 50N102E | NW | 2/10-20 | 1.1.1.991 | Céramique de type autochtone | contenant (tpd) | 2 | 1 | 4.99 | Consommation ind. | Frag | Tessons décorés, potentiellement associables à UV18 | 1 | 275.1 |
| 50N102E | NW | 2/10-20 | 1.1.1.991 | Céramique de type autochtone | contenant (tpd) | 9 | ? | 4.99 | Consommation ind. | Frag | Tessons décorés, un tesson très épais (base ?), certains tessons potentiellement associables à UV29 | 1 | 275.2 |
| 50N102E | NE | 2/10-20 | 1.1.1.991 | Céramique de type autochtone | contenant (tpd) | 1 | 1 | 4.99 | Consommation ind. | Frag | Tesson décoré, UV18 | 1 | 285.1 |
| 50N102E | NE | 2/10-20 | 1.1.1.991 | Céramique de type autochtone | contenant (tpnd) | 41 | ? | 4.99 | Consommation ind. | Frag | Tessons non décorés, un tesson de col avec croûte carbonisée (même unité de vase que 255, 261 et 262 ?) | 1 | 285.2 |
| 50N102E | NE | 2/10-20 | 1.1.1.991 | Céramique de type autochtone | contenant (tpd) | 1 | 1 | 4.99 | Consommation ind. | Frag | Tesson décoré ou traité au battoir cordé, potentiellement associable à UV18 | 1 | 286.1 |
| 50N102E | NE | 2/10-20 | 1.1.1.991 | Céramique de type autochtone | contenant (tpd) | 1 | 1 | 4.99 | Consommation ind. | Frag | Tesson décoré | 1 | 286.2 |
| 50N102E | NE | 2/10-20 | 1.1.1.991 | Céramique de type autochtone | contenant (tpd) | 9 | ? | 4.99 | Consommation ind. | Frag | Tessons décorés à la cordelette ou traités au battoir cordé | 1 | 286.3 |
| 50N102E | NE | 3/20-25 | 1.1.1.991 | Céramique de type autochtone | contenant (tpd) | 1 | 1 | 4.99 | Consommation ind. | Frag | Tesson décoré, UV23 | 1 | 360.1 |
| 50N102E | NE | 3/20-25 | 1.1.1.991 | Céramique de type autochtone | contenant (tpd) | 1 | 1 | 4.99 | Consommation ind. | Frag | Petit tesson décoré, potentiellement associable à UV11 | 1 | 360.2 |
| 50N104E | SW | 3/20-84 | 1.1.1.991 | Céramique de type autochtone | contenant (tpd) | 2 | 1 | 4.99 | Consommation ind. | Frag | Petits tessons jointifs, UV23 | 1 | 372.1 |
| 50N104E | SW | 3/20-84 | 1.1.1.991 | Céramique de type autochtone | contenant (tpd) | 1 | 1 | 4.99 | Consommation ind. | Frag | Petit tesson décoré | 1 | 372.2 |
| 50N106E | SE | 2 pr-2/22 | 1.1.1.991 | Céramique de type autochtone | contenant (tpd) | 1 | 1 | 4.99 | Consommation ind. | Frag | Tesson décoré, UV9, localisation 18N95E | 1 | 772.1 |
| 50N106E | SE | 2 pr-2/22 | 1.1.1.991 | Céramique de type autochtone | contenant (tpd) | 2 | 1 | 4.99 | Consommation ind. | Frag | Tessons décorés, même unité de vase, localisation 18N95E | 1 | 772.2 |
| 51N103E | NE | 3/20-30 | 1.1.1.991 | Céramique de type autochtone | contenant (tpd) | 1 | 1 | 4.99 | Consommation ind. | Frag | Tesson décoré, potentiellement associable à UV11 | 1 | 461.1 |
| 51N103E | NE | 3/20-30 | 1.1.1.991 | Céramique de type autochtone | contenant (tpd) | 1 | 1 | 4.99 | Consommation ind. | Frag | Tesson décoré, UV17 | 1 | 461.2 |
| 51N103E | NE | 3/20-30 | 1.1.1.991 | Céramique de type autochtone | contenant (tpd) | 1 | 1 | 4.99 | Consommation ind. | Frag | Tesson décoré, même unité de vase que 578, 685 (?) et 771 | 1 | 461.3 |
| 51N103E | SW | 3/10-20 | 1.1.1.991 | Céramique de type autochtone | contenant (tpd) | 5 | 1 | 4.99 | Consommation ind. | Frag | Tessons décorés, UV18 | 1 | 726.1 |
| 51N103E | SW | 3/10-20 | 1.1.1.991 | Céramique de type autochtone | contenant (tpd) | 1 | 1 | 4.99 | Consommation ind. | Frag | Tesson décoré à la cordelette ou traité au battoir cordé | 1 | 726.2 |
| 52N102E | SE | 2/10-20 | 1.1.1.991 | Céramique de type autochtone | contenant (tpd) | 1 | 1 | 4.99 | Consommation ind. | Frag | Tesson décoré, semblable à UV11 | 1 | 580.1 |
| 52N102E | SE | 2/10-20 | 1.1.1.991 | Céramique de type autochtone | contenant (tpd) | 1 | 1 | 4.99 | Consommation ind. | Frag | Tesson décoré | 1 | 580.2 |
| 52N102E | NW | 3/20-34 | 1.1.1.991 | Céramique de type autochtone | contenant (tpd) | 1 | 1 | 4.99 | Consommation ind. | Frag | Tesson de col décoré avec ponctuations produisant des bosses sur la paroi externe | 1 | 596.1 |
| 52N102E | NW | 3/20-34 | 1.1.1.991 | Céramique de type autochtone | contenant (tpd) | 3 | ? | 4.99 | Consommation ind. | Frag | Petits tessons décorés | 1 | 596.2 |
| 52N102E | SW | 3/20-34 | 1.1.1.991 | Céramique de type autochtone | contenant (tpd) | 2 | 1 | 4.99 | Consommation ind. | Frag | Tessons décorés, UV18 | 1 | 609.1 |
| 52N102E | SW | 3/20-34 | 1.1.1.991 | Céramique de type autochtone | contenant (tpd) | 1 | 1 | 4.99 | Consommation ind. | Frag | Tesson décoré | 1 | 609.2 |
| 52N102E | SW | 3/20-34 | 1.1.1.991 | Céramique de type autochtone | contenant (tpd) | 1 | 1 | 4.99 | Consommation ind. | Frag | Tesson décoré, potentiellement associable à UV8 | 1 | 609.3 |
| 52N102E | SW | 3/20-34 | 1.1.1.991 | Céramique de type autochtone | contenant (tpd) | 3 | ? | 4.99 | Consommation ind. | Frag | Tessons décorés à la cordelette ou traités au battoir cordé | 1 | 609.4 |
| 52N106E | NE | 2/10-17@20 | 1.1.1.991 | Céramique de type autochtone | contenant (tpd) | 1 | 1 | 4.99 | Consommation ind. | Frag | Petit tesson décoré, UV9 | 1 | 777.1 |
| 52N106E | NE | 2/10-17@20 | 1.1.1.991 | Céramique de type autochtone | contenant (tpd) | 3 | ? | 4.99 | Consommation ind. | Frag | Tessons décorés, similaires à 691, UV9 | 1 | 777.2 |
| 52N106E | NE | 2/10-17@20 | 1.1.1.991 | Céramique de type autochtone | contenant (tpd) | 1 | 1 | 4.99 | Consommation ind. | Frag | Petits tessons décorés, UV8 | 1 | 777.3 |

Annexe B Analyse et référentiel lithique

Méthodologie

La méthodologie d'analyse utilisée pour décrire les matériaux lithiques est fondée sur l'observation de certaines caractéristiques visuelles macroscopiques, c'est-à-dire observables à l'œil nu ou au microscope à faible grossissement. Dans la présente étude, nous utilisons un binoculaire (6x à 40x) ainsi qu'un microscope électronique USB Dino-Lite Edge 1,3 mp (1x à 220x). En ce qui concerne les attributs des matériaux lithiques à documenter, il existe plusieurs références en pétroarchéologie macroscopique. Nous nous sommes basés sur les travaux de Codère (1996; 1998) et de Luedtke (1992). Bien qu'il en existe d'autres, nous n'avons utilisé que quatre critères, en plus d'une description générale de la matière comprenant des commentaires sur les inclusions dans la roche :

Couleur

Il s'agit de la couleur à la surface de l'objet. La terminologie est inspirée du code Munsell sans utiliser ses codes alphanumériques.

Transparence

La matière peut être opaque, semi-translucide (les arêtes de l'objet sont translucides et non le reste) ou translucide lorsque la lumière passe à travers toutes ou presque toutes les parties de l'objet.

Structure

La structure est créée par la distribution inégale de la couleur, du lustre (variable omise dans la présente analyse), de la texture et de la transparence qui se produit pendant le processus de diagenèse (Luedtke 1992). Elle peut être homogène si aucune variation n'est macroscopiquement discernable dans la matrice de la roche, tachetée si des taches définies sont identifiables individuellement, moutonnée s'il s'agit de nuages de couleur différente de la matrice, rubanée lorsque des rubans sont différents de la matrice, laminée lorsque les rubans sont très minces, veinée lorsque la pierre est traversée d'une veine (généralement les pierres siliceuses), filigranée lorsqu'il y a un enchevêtrement de veines, enfumée lorsqu'il s'agit de nuages informes et translucides, bréchique lorsque la matrice contient des fragments anguleux d'autres pierres, intraclastique lorsque la matrice contient des fragments anguleux du même type que l'ensemble de la pierre, vacuolaire si elle possède des cavités/poches découlant de la dissolution de minéraux, amygdalaire lorsqu'il y a présence de poches rondes ou ovales formées de matériaux siliceux, spérulithique pour les pierres volcaniques à sphérules (sphères siliceuses ayant une ou deux zones concentriques), péloïdale si formée de grains ronds entassés, oolithique si formée de zones rondes concentriques constituées d'hématite ou de magnétite. Ces types de structures sont décrits plus en détail dans Codère (1996).

Description

La colonne de description sert à recueillir des informations contextuelles et générales sur d'autres attributs de la matière lithique ou toute autre information pertinente. Toutefois, elle sert principalement à documenter les composantes macroscopiquement observables, soit ce que Codère appelle les « inclusions » (Codère 1996, 24). Celles-ci sont particulièrement importantes pour l'identification de certaines pierres comme les cherts ou certaines rhyolites. Plusieurs phénomènes géologiques sont susceptibles d'être observés. Les radiolaires, des animaux unicellulaires (protozoaires) marins de la superclasse des Actinopodes ont une taille comprise entre 50 à 300 micromètres, et font partie du zooplancton. Beaucoup présentent un squelette siliceux dont la forme est très variée en fonction des espèces (De Wever 2021). Les radiolaires peuvent être remplacés par des carbonates (blanc), de la calcédoine (bleuté) ou de la silice (incolor). Ils peuvent être lessivés, laissant place à une cavité ronde. Les fossiles sont un autre élément important de l'identification des cherts, une pierre d'origine sédimentaire. On peut observer des fossiles d'invertébrés marins, de coraux ou d'algues/végétaux dont la présence indique l'âge de la roche et peut permettre de faire un rapprochement avec l'origine géologique régionale de la pierre. On peut ensuite observer des fragments anguleux de pierre au sein de la matrice (ex. : pyroclastique). Certaines pierres volcaniques peuvent avoir des phénocristaux (cristaux assez gros pour être observables à l'œil nu) de quartz, de calcédoine ou de feldspath, ce qui donne un indice sur la vitesse de refroidissement du magma dans le cas des roches ignées extrusives. Le quartz peut être identifié en veine ou en cristaux et la calcédoine en poche ou également en veine. Les rhomboèdres de carbonates sont identifiables à leur forme de parallélogramme et à leur teinte blanchâtre ou jaunâtre et leur présence peut indiquer l'origine calcaire de certains cherts. On note les inclusions rondes comme les oolithes, des éléments carbonatés ayant des anneaux concentriques de cristaux de calcite (Guillemot 1986), et les péloïdes, terme général attribué à des agrégats de carbonates cryptocristallins (Mckee et Gutschick 1969). On note enfin toute inclusion minérale de couleur rouille, rouge, blanche, verte, foncée ou noire, ainsi que la présence de vacuoles (minéraux lessivés).

Construction du référentiel

À chaque nouvelle observation de matière première, un code et une nouvelle entrée sous forme de fiche sont créés dans le référentiel lithique. La localisation (site, puits/sondage, position stratigraphique) de l'artefact ayant servi à la description est inscrite dans le référentiel afin de pouvoir effectuer une éventuelle rétroaction vers l'artefact-référence. Les codes inscrits dans le référentiel sont utilisés pour la description des artefacts dans l'inventaire général des sites archéologiques documentés dans le rapport. Il est important de souligner que les observations macroscopiques ne permettent pas d'établir l'origine géologique de la matière première décrite, mais permettent plutôt de distinguer les matières entre elles. En revanche, lorsque c'est possible, nous comparons les enregistrements de notre base de données avec des échantillons lithiques dont l'origine géologique est connue et claire. Nous proposons une attribution pétrologique parfois spécifique, parfois générale à chacune des matières lithiques rencontrées. Enfin, des microphotographies réalisées à l'aide d'un

microscope électronique sont intégrées aux fiches puisqu'elles sont représentatives de la matière décrite.

Références

Codère, Yvon

1996 *Des pierres et des hommes : première mise en valeur des collections de la Réserve nationale du Ministère de la Culture et des Communications du Québec*. Rapport inédit . Ministère de la Culture et des Communications du Québec.

1998 *Des pierres et des hommes phase 2, Unités Borden CE, CF et CG*. Rapport inédit. Ministère de la Culture et des Communications du Québec.

De Wever, Patrick

2021 « Radiolaires ». Dans *Encyclopædia Universalis*. <http://www.universalis-edu.com/encyclopedie/radiolaires/>.

Guillemot, Jacques

1986 *Éléments de géologie*. 4^e éd. Publications de l'Institut français du pétrole. Technip, Paris.

Luedtke, Barbara E.

1992 *An Archaeologist's Guide to Chert and Flint*. Archaeological Research Tools 7. Cotsen Institute of Archaeology Press, Los Angeles.

Mckee, Edwin D. et Gutschick, Raymond C.

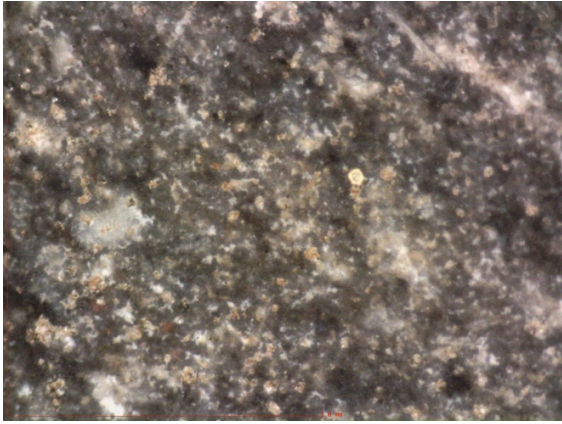
1969 *History of the Redwall Limestone of Northern Arizona*. Memoir 114. The Geological Society of America.

Fiches de matériaux

Matériaux indéterminés

| IDENTIFICATION | CODE | DESCRIPTION |
|---|--------|--|
| Chert de nature indéterminée | CH000 | Catégorie générale des cherts indéterminés. Le chert est une pierre d'origine sédimentaire, généralement fine parce que siliceuse, à matrice microcristalline ou cryptocristalline. Dû à son complexe processus de formation, le chert peut avoir une grande variabilité à l'intérieur d'une même source. Les cherts indéterminés ne possèdent pas suffisamment de caractéristiques visuelles pour être classés dans une catégorie plus spécifique. |
| Chert de nature indéterminée, à grain aphanitique | CHAPH | Catégorie générale des cherts indéterminés aphanitiques, riches en silice et généralement d'aspect cireux. Des éclats bruns classés CHAPH pourraient être du silex européen. |
| Chert indéterminé d'origine calcaire | CHC000 | Catégorie générale des cherts d'origine calcaire. Ils sont identifiés comme tels en vertu de la présence de rhomboèdres de carbonate. |
| Quartzite indéterminé | QTZT | Catégorie générale du quartzite (roche métamorphique formée de cristaux de quartz soudés). Selon Codère (1998, p.15) : « le quartzite (code 12) est une pierre constituée presque entièrement de silice. Il est plus souvent blanc ou incolore, mais il peut être coloré de rouge ou de brun ou traversé de bandes diffuses gris foncé. Les éclats de quartzite sont souvent translucides à semi-translucides. Les grains des quartzites sont souvent visibles à l'oeil nu. En général, les orthoquartzites ont des grains de la dimension des sables. La dimension des grains du métaquartzite est variable et va de très fin à grossier ». |
| Rhyolite | RHY | Catégorie générale des rhyolites, des roches volcaniques extrusives à haute teneur en silice. Codère utilise le terme de « laves siliceuses consolidées » (Codère 1998, p. 13). Ce type de roche découle du refroidissement d'un magma riche en silice. L'orientation des cristaux peut révéler le sens d'écoulement de la lave. Si le processus de cristallisation a été lent, la rhyolite aura beaucoup de phénocristaux. Autrement, elle aura un aspect davantage siliceux et avec peu de phénocristaux. |
| Métamorphique indéterminée | METAM | Catégorie générale des roches métamorphiques. |
| Indéterminé | IND | Catégorie générale des matières indéterminées. Les artefacts sont généralement accompagnés d'une description indicative de base dans l'inventaire. |

TRE

| IDENTIFICATION | CODE | COULEUR |
|---|--|---------------------------------------|
| Chert Kichisipi Chert de Hull Chert calcaire de Trenton | TRE | Noir, gris foncé, gris foncé brunâtre |
| TRANSPARENCE | STRUCTURE | GRAIN |
| Éclats semi-translucides | Homogène, parfois rubané | Fin |
| DESCRIPTION | COMMENTAIRE | |
| Chert d'origine calcaire à matrice microcristalline. Avec un grossissement de 50x à 200x, on observe des rhomboèdres de carbonates en quantité très variable. Peut posséder des taches blanches (siliceuses) ou foncées (minéraux ferromagnésiens). Peut contenir des fossiles et ceux-ci peuvent être remplacés par de la silice. Peut contenir des petites poches de calcédoine. En grossissement de 200x on voit le caractère hétérogène (tacheté) des couleurs de la matrice, variant entre le noir, le gris et le brun. Ce chert peut parfois être rubané. Il possède le nom de chert « Kichisipi ». | Correspond à plusieurs codes du référentiel publié pour les interventions de 2021 (Taché <i>et al.</i> 2022) : CH-002, CH-003, CH-004, CH-007, CH-009, CH-016, CH-017, CH-022, CH-023, CH-024, CH-031, CH-032, CH-042. | |
|  | <p>CcFr-1.2021.345</p> <p>Surface du chert Kichisipi avec grossissement 220x</p> | |





CbFv-1.2021.3

Photo avec échelle d'un nucléus en chert Kichisipi mis au jour à la rivière du Lièvre lors d'une intervention réalisée en 2021.




CcFr-1.2022.1107

Grattoir unimarginal sur éclat en chert Kichisipi rubané. La pièce fait environ 2 cm de largeur. Voir planche n° 6 (p. 90) pour échelle de grandeur.


| IDENTIFICATION | CODE | COULEUR |
|--|---|--|
| Chert Onondaga | ONO | Gris, gris foncé, gris brunâtre, gris bleuté |
| TRANSPARENCE | STRUCTURE | GRAIN |
| Éclats semi-translucides ou translucide | Généralement moutonné | Fin |
| DESCRIPTION | COMMENTAIRE | |
| <p>Chert d'origine calcaire à matrice microcristalline. Présence de rhomboédres de carbonates, fossiles, petites taches noires ou brun très foncé, parfois petites veinules de calcédoine. Possède généralement un aspect gris bleuté distinctif, ou parfois brunâtre.</p> | <p>Peut être confondu avec CHC001, un chert d'origine calcaire avec structure similaire. Correspondance au référentiel 2021 (Taché <i>et al.</i> 2022) : ONO-001</p> | |
|  | <p>CcFr-1.2016.? Sondage J29 Surface du chert Onondaga grossie à 220x.</p> | |
|  | <p>CcFr-1.2022.1551 Petit grattoir en chert Onondaga. La pièce fait environ 1,5 cm de largeur. Voir planche n° 6 (p. 90) pour échelle de grandeur.</p> | |

ONT001

| IDENTIFICATION | CODE | COULEUR |
|--|--|-----------------------------|
| Chert calcaire, possiblement d'origine ontarienne | ONT001 | Gris à gris foncé; brunâtre |
| TRANSPARENCE | STRUCTURE | GRAIN |
| Translucide | Homogène | Fin à aphanitique |
| DESCRIPTION | COMMENTAIRE | |
| Chert calcaire à matrice cryptocristalline. Richement composé en rhomboédres de carbonates généralement jaunes, quelques inclusions foncées. | Un gros éclat d'amincissement bifacial mis au jour en 2022 est un excellent référent comparatif. Correspondance au référentiel 2021 (Taché <i>et al.</i> 2022) : ONO-002, CH-037 | |
|  | <p>CcFr-1.2022.1150 Surface du chert ONT001 grossie à 200x</p> | |
|  | <p>CcFr-1.2022.1150 Éclat d'amincissement bifacial. La pièce fait environ 2,2 cm de largeur.</p> | |

| IDENTIFICATION | CODE | COULEUR |
|--|--|-----------------------------|
| Quartzite de Mistassini | MISTA | Noir à blanc, rarement rosé |
| TRANSPARENCE | STRUCTURE | GRAIN |
| Translucide | Homogène, enfumée | Grossier à fin |
| DESCRIPTION | COMMENTAIRE | |
| Peut posséder d'autres appellations notamment « chert d'Albanel, conglomérite, wiinwaapsk ou silexite » (Leblanc, 2004, p. 15). Il s'agit d'un quartzite à grain moyen à très fin, voire aphanitique pour certains cas. Généralement sans inclusions, mais peut contenir des enfumures noires, grises ou même rosées, quoique plus rarement. | Les quartzites ressortent mal dans les microphotographies numériques faites au Dino-Lite. L'observation à l'œil nu est généralement suffisante. | |
|  | <p>CcFr-1.2022.849</p> <p>Grattoir unimarginal sur éclat d'amincissement bifacial. La pièce fait environ 1,7 cm de largeur. Voir planche n° 6 (p. 90) pour échelle de grandeur.</p> | |



CHE

| IDENTIFICATION | CODE | COULEUR |
|--|---|---------|
| Quartzite de Cheshire | CHE | GRIS |
| TRANSPARENCE | STRUCTURE | GRAIN |
| Translucide | Homogène | Moyen |
| DESCRIPTION | COMMENTAIRE | |
| Quartzite à grain moyen, gris. Source connue et située au Vermont. | Les quartzites ressortent mal dans les microphotographies numériques faites au Dino-Lite. L'observation à l'œil nu est généralement suffisante. | |
|  | <p>CcFv-3.2019.1</p> <p>Matériau assez rare pour la région. Pas d'outils en cette matière trouvée en 2022.</p> | |


PYR

| IDENTIFICATION | CODE | COULEUR |
|---|---|---------------------------------------|
| Pierre pyroclastique | PYR | Gris foncé, parfois verdâtre ou rosée |
| TRANSPARENCE | STRUCTURE | GRAIN |
| Opaque | Bréchique | Fin |
| DESCRIPTION | COMMENTAIRE | |
| Roche composée principalement de matériaux volcaniques. Composée de fragments anguleux de roche métamorphique, des cristaux de quartz et de feldspath. On voit très facilement ces inclusions à l'œil nu. | Pour plus de connaissances sur ce matériau, se référer aux études de N. Cadieux (2005, 2011). | |
|  | CcFr-1.2022.S105 Fragment d'outil bifacial récolté sur la plage par le propriétaire du terrain. | |


QTZ

| IDENTIFICATION | CODE | COULEUR |
|---|--|-------------|
| Quartz | QTZ | Blanc, gris |
| TRANSPARENCE | STRUCTURE | GRAIN |
| Translucide | Homogène | Aphanitique |
| DESCRIPTION | COMMENTAIRE | |
| Matière d'origine locale. Il s'agit du minéral le plus abondant de la croûte terrestre et il résiste à l'altération chimique et physique. | | |
|  | <p>CcFr-1.2022.1141</p> <p>Ce fragment d'outil indéterminé en quartz fait environ 1,7 cm de largeur. Ce spécimen pourrait être également classé « hyalin ».</p> | |
|  | <p>CcFr-1.2022.1664</p> <p>Pièce esquillée en QTZ. Elle fait environ 2.5 cm de largeur.</p> | |

QTZH

| IDENTIFICATION | CODE | COULEUR |
|---|---|-----------------|
| Quartz hyalin | QTZH | Blanc, incolore |
| TRANSPARENCE | STRUCTURE | GRAIN |
| Translucide | Homogène | Aphanitique |
| DESCRIPTION | COMMENTAIRE | |
| Quartz très pur et d'apparence vitreuse, sans forme cristalline spécifique. Apparence du verre. L'appellation quartz cristallin est aussi adéquate. | Milmore (2014) a effectué une recherche sur les cristaux de quartz sur le site iroquoien de Droulers. | |
|  | <p>CcFr-1.2022.1405</p> <p>Grattoir unimarginal sur éclat en quartz hyalin. La pièce fait environ 2 cm de largeur. Le matériau peut être d'apparence encore plus vitreuse.</p> | |

PEN

| IDENTIFICATION | CODE | COULEUR |
|--|---|--|
| Chert rouge; Jaspe (?); jaspe de Pennsylvanie (?) | PEN | Orange, rouge, brun foncé rougeâtre, brun verdâtre |
| TRANSPARENCE | STRUCTURE | GRAIN |
| Semi-translucide à translucide | Homogène, moutonnée, tacheté | Aphanitique |
| DESCRIPTION | COMMENTAIRE | |
| Chert (ou jaspe?) à matrice cryptocristalline. Matrice homogène ou composée de nombreuses taches blanchâtres ou brunâtres ayant un aspect chou-fleur et quelques inclusions foncées. La transparence varie beaucoup d'un spécimen à l'autre. | Correspondance au référentiel 2021 (Taché <i>et al.</i> 2022) : CH-008. Voir matériau « mat023 » de Pilette (2023). Dans l'état actuel de nos connaissances, ce matériau est inusité pour la région. Il est possible que les trois spécimens présentés ne soient pas la même matière. | |
|  | <p>CcFr-1.2017.??? (49N106E, niv. 20-30) L'éclat fait environ 1,2 cm de longueur.</p> | |



CcFr-1.2018.85


L'éclat fait environ 1 cm de largeur. L'aspect « chou-fleur » rappelle bien le jaspe de Pennsylvanie.




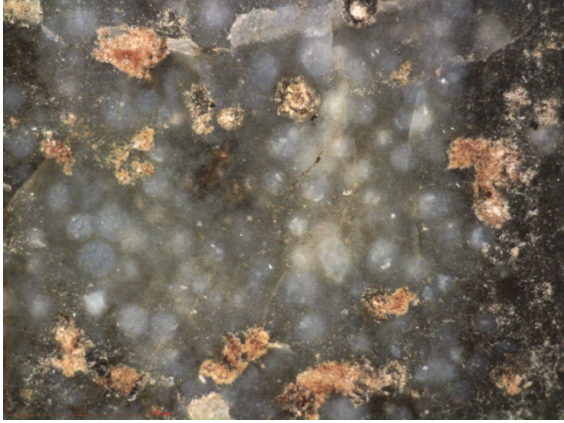
CcFr-3.2017.??? (sondage PM3, niv. 30-40)

Il s'agit ici d'un spécimen à matrice très fine. Il peut s'apparenter à de la calcédoine. Cette pièce fait environ 3 cm de longueur.

nd001

| IDENTIFICATION | CODE | COULEUR |
|--|---|------------------|
| Matière indéterminée | nd001 | Gris foncé, brun |
| TRANSPARENCE | STRUCTURE | GRAIN |
| Semi-translucide (arêtes) | Moutonné, tacheté | Aphanitique |
| DESCRIPTION | COMMENTAIRE | |
| Matière indéterminée, à matrice microcristalline, qui a l'aspect du plastique. Peut-être un chert. | Curiosité. | |
|  | CcFr-1.2022.1275 Surface du matériau nd001 grossie à 50x. | |

CH039

| IDENTIFICATION | CODE | COULEUR |
|--|---|-----------------|
| Chert à inclusions rondes | CH039 | Brun très foncé |
| TRANSPARENCE | STRUCTURE | GRAIN |
| Opaque | Homogène | Fin |
| DESCRIPTION | COMMENTAIRE | |
| Chert à matrice microcristalline. Très riche en radiolaires à couleur parfois bleutée lorsque peu altéré. Radiolaires peuvent être jaunâtres. Certains sont dissous et ont laissé des vacuoles en surface. | Voir le matériau « mat003 » dans Pilette (à paraître). Les cherts à radiolaires sont rares sur le site CcFr-1. | |
|  | <p>CcFr-1.2021.697 Cette pièce esquillée fait environ 3 cm de largeur.</p> | |
|  | <p>CcFr-1.2021.697 Surface du chert CH039 grossie à 50x. On remarque que la matrice est riche en radiolaires.</p> | |

Annexe C Inventaire des artefacts et écofacts

Site : Île Longue, rivière du Lièvre

Inventaire des artefacts et écofacts de l'intervention de 2021

Code : CbFv-3

Responsables de l'intervention : Karine Taché et Francis Lamothe

Date : mars 2023

Analystes : Olivier Pilette, Adrien Cesario, Francis Lamothe, Karine Taché

| Puits/sond. | Niveau/Prof. | Quadrant | Loc. | No. cat. | Code mat. | Matériau | Objet | No. frag. | No. obj. | Code fonction | Fonction | Intégrité | Commentaires |
|-------------|--------------|----------|------|----------|-----------|--------------------|-------|-----------|----------|---------------|----------------------------|-----------|--------------|
| IL9 | 2 - 3 | | | 1 | 4,1 | Matières premières | éclat | 1 | 1 | 1.1.1.4 | Pierre dure, techno-témoin | Frag | 1 QTZH |

| | |
|--|---|
| Site : Ruisseau Jourdain | Inventaire des artefacts et écofacts de l'intervention de 2022 |
| Code : CcFr-1 | |
| Responsables de l'intervention : Karine Taché et Francis Lamothe | Date : mars 2023 |
| Analystes : Olivier Pilette, Adrien Cesario, Francis Lamothe, Karine Taché | |

À NOTER : La profondeur est mesurée en centimètres par rapport à la surface du sol ou, lorsqu'il est indiqué, par rapport à un point de référence (pr). La localisation est toujours mesurée en centimètres vers le nord, puis vers l'est. Pour le matériel lithique uniquement, le nombre d'objets correspond au nombre de matières premières identifiées (voir le référentiel lithique).

| Puits/sond. | Niveau/Prof. | Quadrant | Loc. | No. cat. | Code mat. | Matériau | Objet | Nb. frag. | Nb. obj. | Code fonction | Fonction | Intégrité | Commentaires |
|-------------|--------------|----------|------|----------|-----------|---|------------------|-----------|----------|---------------|------------------------------------|-----------|---|
| J52 | ± 10 - 30 | | | 787 | 4.1 | Matières premières | éclat | 1 | 1 | 7.1 | Pierre dure, techno-témoin | Frag | 1 ONO |
| J52 | ± 10 - 30 | | | 788 | 5.1.1 | Os | ossement | 5 | ? | 6.1.1 | Animaux sauf mollusques | Frag | Petits fragments blanchis |
| J53 | 10 - 30 | | | 789 | 4.1 | Matières premières | éclat | 2 | 2 | 7.1 | Pierre dure, techno-témoin | Frag | 1 MISTA, 1 METAM |
| J53 | 30 - 40 | | | 790 | 1.1.1.991 | Céramique de type autochtone | contenant (tpd) | 2 | ? | 4.99 | Consommation ind. | Frag | Petits tessons décorés |
| J53 | 30 - 40 | | | 791 | 1.1.1.991 | Céramique de type autochtone | contenant (tpnd) | 2 | ? | 4.99 | Consommation ind. | Frag | Tessons non décorés, 1 avec paroi externe érodée |
| J53 | 30 - 40 | | | 792 | 4.1 | Matières premières | grattoir | 1 | 1 | 1.1.1.1 | Pierre dure, outils | Ent | Grattoir unimarginal sur éclat à front abrupte, en chert ONO, 17x15mm |
| J53 | 30 - 40 | | | 793 | 4.1 | Matières premières | grattoir | 1 | 1 | 1.1.1.1 | Pierre dure, outils | Ent | Grattoir unimarginal sur éclat en chert CHC001, 15x12mm |
| J53 | 30 - 40 | | | 794 | 4.1 | Matières premières | éclat | 4 | 2 | 7.1 | Pierre dure, techno-témoin | Frag | 2 QTZ, 2 MISTA |
| J53 | 30 - 40 | | | 795 | 2.3.1.1 | Verre de couleur, transparent, vert foncé | bouteille | 1 | 1 | 4.2.1.2 | Boissons, conservation/entreposage | Frag | Tesson de la base d'une bouteille à boisson alcoolisée, forme quadrangulaire à coins arrondis, marque de piston de 3,5 cm de diamètre, marque du fabricant "M" encerclé sur le cul, talon arrondi, cul à profil concave peu profond, corps marqué de sillons verticaux et parallèles d'environ 2 mm de largeur sur la paroi externe (traces de moulage) |
| J53 | 30 - 40 | | | 796 | 2.2.1.1 | Verre teinté, régulier, vert | bouteille | 1 | 1 | 4.2.1.2 | Boissons, conservation/entreposage | Frag | Tesson de corps d'une bouteille |
| J53 | 30 - 40 | | | 797 | 2.3.1.10 | Verre de couleur, transparent, brun | bouteille | 1 | 1 | 4.2.1.2 | Boissons, conservation/entreposage | Frag | Tesson de la base d'une bouteille, talon arrondi, cul à profil concave peu profond |
| J53 | 30 - 40 | | | 798 | 2.2.1 | Verre teinté régulier | vitre | 1 | 1 | 4.7.1.1 | Matériaux de base - vitre | Frag | Tesson de vitre à reflets bleutés, plat, épaisseur de 2 mm |
| J53 | 30 - 40 | | | 799 | 1.1.2.61 | Terre cuite fine blanche | assiette | 1 | 1 | 4.1.3.3 | Alimentation, vaisselle de table | Frag | Tesson du marli d'une assiette, bordure arrondie |
| J53 | 30 - 40 | | | 800 | 3.1.2 | Métaux et alliages cuivreux | cartouche | 1 | 1 | 3.9.2.1 | Chasse/guerre, munitions | Ent | Cartouche presque complète, estampille avec informations aux quatre points cardinaux : [3 ou 5?] au nord, "87" à l'est, "[?]" au sud et "10" à l'ouest |
| J53 | 30 - 40 | | | 801 | 5.1.1 | Os | ossement | 2 | ? | 6.1.1 | Animaux sauf mollusques | Frag | Petits fragments blanchis |
| J53 | 45 - 60 | | | 802 | 1.1.1.991 | Céramique de type autochtone | contenant (tpnd) | 5 | 1 | 4.99 | Consommation ind. | Frag | Tessons non décorés appartenant fort probablement à la même unité de vase, résidus carbonisés sur paroi interne d'un tesson |
| J53 | 45 - 60 | | | 803 | 4.1 | Matières premières | éclat | 2 | 1 | 7.1 | Pierre dure, techno-témoin | Frag | 2 MISTA |
| J53 | 45 - 60 | | | 804 | 5.1.1 | Os | ossement | 2 | ? | 6.1.1 | Animaux sauf mollusques | Frag | Petits fragments blanchis |
| J54 | 1b (10 - 16) | | | 806 | 5.1.1 | Os | ossement | 2 | ? | 6.1.1 | Animaux sauf mollusques | Frag | Petits fragments blanchis |
| J54 | 2a (16 - 26) | | | 807 | 4.1 | Matières premières | éclat | 2 | 2 | 7.1 | Pierre dure, techno-témoin | Frag | 1 MISTA, 1 ONO (très siliceux), 2 cailloux de QTZH naturels (rejetés) |
| J54 | 2a (16 - 26) | | | 808 | 5.1.1 | Os | ossement | 5 | ? | 6.1.1 | Animaux sauf mollusques | Frag | Petits fragments blanchis |
| J54 | 2b (26 - 36) | | | 809 | 4.1 | Matières premières | éclat | 3 | 3 | 7.1 | Pierre dure, techno-témoin | Frag | 1 CHAPH gris avec inclusions rondes (voir cas_part_2022), 1 ONO, 1 IND |
| J54 | 2b (26 - 36) | | | 810 | 2.2.1 | Verre teinté régulier | vitre | 1 | 1 | 4.7.1.1 | Matériaux de base - vitre | Frag | Tesson de vitre à reflets bleutés, plat, épaisseur de 2 mm |
| J54 | 2b (26 - 36) | | | 811 | 3.1.2 | Métaux et alliages cuivreux | amorce | 1 | 1 | 3.9.2.1 | Chasse/guerre, munitions | Ent | Diamètre de 5 mm, vert-de-gris |
| J54 | 2b (26 - 36) | | | 812 | 5.1.1 | Os | ossement | 7 | ? | 6.1.1 | Animaux sauf mollusques | Frag | Petits fragments blanchis |
| J54 | 2c (36 - 45) | | | 805 | 4.1 | Matières premières | éclat | 2 | 2 | 7.1 | Pierre dure, techno-témoin | Frag | 1 QTZ, 1 QTZH |
| J54 | 2c (36 - 45) | | | 813 | 2.2.1 | Verre teinté régulier | vitre | 4 | ? | 4.7.1.1 | Matériaux de base - vitre | Frag | Tessons de vitre, épaisseur de 2 mm |
| J54 | 2c (36 - 45) | | | 814 | 2.3.1.1 | Verre de couleur, transparent, vert foncé | bouteille | 2 | ? | 4.2.1.2 | Boissons, conservation/entreposage | Frag | Petits fragments de verre à bouteille |
| J54 | 2c (36 - 45) | | | 815 | 3.1.1 | Métaux et alliages ferreux | fragment ind. | 15 | ? | 7.1 | Indéterminé | Frag | Minces plaquettes, une tige (clou ?) et autres fragments très corrodés |
| J54 | 2c (36 - 45) | | | 816 | 5.1.1 | Os | ossement | 9 | ? | 6.1.1 | Animaux sauf mollusques | Frag | Petits fragments blanchis |
| J54 | 0 - 45 | | | 817 | 1.1.1.991 | Céramique de type autochtone | contenant (tpd) | 1 | 1 | 4.99 | Consommation ind. | Frag | Effondrement de la paroi sud, petit tesson décoré |
| J54 | 0 - 45 | | | 818 | 4.1 | Matières premières | éclat | 1 | 1 | 7.1 | Pierre dure, techno-témoin | Frag | Effondrement de la paroi sud. QTZ |
| J54 | 0 - 45 | | | 819 | 2.3.1.1 | Verre de couleur, transparent, vert foncé | bouteille | 1 | 1 | 4.2.1.2 | Boissons, conservation/entreposage | Frag | Effondrement de la paroi sud, petit tesson de verre à bouteille vert olive |
| J54 | 0 - 45 | | | 820 | 5.1.1 | Os | ossement | 2 | ? | 6.1.1 | Animaux sauf mollusques | Frag | Effondrement de la paroi sud, fragments blanchis avec coloration bleutée |
| J55 | 2 (30 - 50) | | | 821 | 4.1 | Matières premières | éclat | 2 | 2 | 7.1 | Pierre dure, techno-témoin | Frag | 1 MISTA, 1 ONO |
| J55 | 2 (30 - 50) | | | 822 | 5.1.1 | Os | ossement | 9 | ? | 6.1.1 | Animaux sauf mollusques | Frag | Petits fragments blanchis |
| J55 | 3 (50 - 60) | | | 823 | 1.1.1.991 | Céramique de type autochtone | contenant (tpd) | 1 | 1 | 4.99 | Consommation ind. | Frag | Tesson décoré, paroi interne exfoliée |
| J55 | 3 (50 - 60) | | | 824 | 1.1.1.991 | Céramique de type autochtone | contenant (tpnd) | 3 | ? | 4.99 | Consommation ind. | Frag | Petits tessons avec résidus carbonisés |
| J55 | 3 (50 - 60) | | | 1713 | 4.1 | Matières premières | pièce esquillée | 1 | 1 | 1.1.1.1 | Pierre dure, outils | Frag | Pièce esquillée en ONO, 13x13mm |
| J55 | 3 (50 - 60) | | | 825 | 4.1 | Matières premières | éclat | 2 | ? | 7.1 | Pierre dure, techno-témoin | Frag | 1 MISTA, 1 CH000 gris |
| J55 | 3 (50 - 60) | | | 826 | 5.1.1 | Os | ossement | 3 | ? | 6.1.1 | Animaux sauf mollusques | Frag | Petits fragments blanchis et polis |
| J56 | 1 (0 - 20) | | | 827 | 4.1 | Matières premières | éclat | 1 | 1 | 7.1 | Pierre dure, techno-témoin | Frag | TRE (variante noire cirreuse) |
| J56 | 1 (0 - 20) | | | 828 | 5.1.1 | Os | ossement | 1 | 1 | 6.1.1 | Animaux sauf mollusques | Frag | Petit fragment blanchi |
| J56 | 2 (20 - 50) | | | 829 | 1.1.1.991 | Céramique de type autochtone | contenant (tpnd) | 1 | 1 | 4.99 | Consommation ind. | Frag | Petit tesson avec résidus carbonisés sur paroi interne, paroi externe exfoliée |
| J56 | 2 (20 - 50) | | | 830 | 4.1 | Matières premières | éclat | 2 | ? | 7.1 | Pierre dure, techno-témoin | Frag | 1 QTZ, 1 CH000 blanc |

| Puits/sond. | Niveau/Prof. | Quadrant | Loc. | No. cat. | Code mat. | Matériau | Objet | Nb. frag. | Nb. obj. | Code fonction | Fonction | Intégrité | Commentaires |
|-------------|---------------|----------|---------|----------|-----------|---|---------------------------|-----------|----------|---------------|------------------------------------|-----------|--|
| J56 | 2 (20 - 50) | | | 831 | 1.1.2.61 | Terre cuite fine blanche | article de vaisselle ind. | 2 | 1 | 4.1.99 | Alimentation indéterminée | Frag | Un des tessons avec glaçure incolore sur les deux parois, épaisseur de 3,3 mm |
| J56 | 2 (20 - 50) | | | 832 | 5.1.1 | Os | ossement | 8 | ? | 6.1.1 | Animaux sauf mollusques | Frag | Petits fragments blanchis |
| J56 | 3 (50 - 60) | | | 833 | 1.1.1.991 | Céramique de type autochtone | contenant (tpnd) | 2 | ? | 4.99 | Consommation ind. | Frag | Petits tessons érodés, résidus carbonisés et scarification (?) sur la paroi interne d'un tesson |
| J56 | 3 (50 - 60) | | | 834 | 4.1 | Matières premières | éclat | 4 | 4 | 7.1 | Pierre dure, techno-témoin | Frag | 1 QTZ, 1 MISTA, 1 TRE, 1 CHAPH |
| J56 | 3 (50 - 60) | | | 853 | 3.1.4 | Métal plombifère | plomb de pêche | 1 | 1 | 3.4 | Pêche | Ent | Petit poids de 1,6 g de couleur gris-bleuté, deux stries parallèles visibles sur l'une des surfaces |
| J56 | 3 (50 - 60) | | | 835 | 5.1.1 | Os | ossement | 13 | ? | 6.1.1 | Animaux sauf mollusques | Frag | Petits fragments blanchis et une petite phalange/métapode complète |
| J57 | 3 (55 - 65) | | | 836 | 4.1 | Matières premières | pointe | 1 | 1 | 1.1.1.1 | Pierre dure, outils | Frag | Fragment quasi-total d'une pointe de projectile à encoches latérales évasées (Lamoka?) en RHY beige (New Hampshire?) |
| J57 | 3 (55 - 65) | | | 837 | 4.1 | Matières premières | outil | 2 | 1 | 3.9.2.2 | Pierre dure, outils | Frag | Fragment d'outil ind. sur éclat en CHAPH gris très foncé, cassé accidentellement en 2 fragments jointifs, 20x10mm. Pourrait être un fragment de pierre à fusil |
| J57 | 3 (55 - 65) | | | 838 | 4.1 | Matières premières | éclat | 2 | 2 | 7.1 | Pierre dure, techno-témoin | Frag | 1 CH000, 1 ONO |
| J57 | 3 (55 - 65) | | | 839 | 1.1.2.61 | Terre cuite fine blanche | article de vaisselle ind. | 1 | 1 | 4.1.99 | Alimentation indéterminée | Frag | Petit fragment avec glaçure incolore |
| J57 | 3 (55 - 65) | | | 840 | 5.1.1 | Os | ossement | 4 | ? | 6.1.1 | Animaux sauf mollusques | Frag | Petits fragments blanchis; un os complet à identifier |
| J57 | 4 (65 - 75) | | | 841 | 1.1.1.991 | Céramique de type autochtone | contenant (tpnd) | 1 | 1 | 4.99 | Consommation ind. | Frag | Petit tesson érodé avec cassure au colombin |
| J57 | 4 (65 - 75) | | | 842 | 4.1 | Matières premières | éclat | 1 | 1 | 7.1 | Pierre dure, techno-témoin | Frag | 1 MISTA |
| J58 | 2 (50 - 70) | | | 843 | 4.1 | Matières premières | éclat | 2 | 2 | 7.1 | Pierre dure, techno-témoin | Frag | 1 CHC000 noir, 1 CHAPH brun (silex européen?) |
| J58 | 2 (50 - 70) | | | 844 | 5.1.1 | Os | ossement | 14 | ? | 6.1.1 | Animaux sauf mollusques | Frag | Petits fragments blanchis et polis |
| J58 | 3-4 (70 - 78) | | | 845 | 1.1.1.991 | Céramique de type autochtone | contenant (tpnd) | 2 | ? | 4.99 | Consommation ind. | Frag | Petits tessons érodés |
| J58 | 3-4 (70 - 78) | | | 846 | 4.1 | Matières premières | éclat | 6 | 4 | 7.1 | Pierre dure, techno-témoin | Frag | 1 QTZ, 2 CH000 beiges chauffés, 1 CHC000 gris, 2 ONO |
| J58 | 3-4 (70 - 78) | | | 847 | 5.1.1 | Os | ossement | 28 | ? | 6.1.1 | Animaux sauf mollusques | Frag | Petits fragments blanchis, plusieurs polis, plusieurs avec teinte grise-bleutée |
| J58 | 5-6 (78 - 95) | | | 848 | 4.1 | Matières premières | grattoir | 1 | 1 | 1.1.1.1 | Pierre dure, outils | Ent | Grattoir unimarginal sur éclat en MISTA, 16x17mm |
| J58 | 5-6 (78 - 95) | | | 849 | 4.1 | Matières premières | grattoir | 1 | 1 | 1.1.1.1 | Pierre dure, outils | Ent | Grattoir unimarginal sur éclat en CH000, ayant quelques retouches sur un côté. 16x19mm |
| J58 | 5-6 (78 - 95) | | | 850 | 4.1 | Matières premières | éclat | 6 | 4 | 7.1 | Pierre dure, techno-témoin | Frag | 2 QTZ, 2 CH000 gris foncés, 1 CHAPH gris foncé moutonné, 1 METAM. Le chert CHAPH pourrait être un éclat de pierre à fusil |
| J58 | 5-6 (78 - 95) | | | 851 | 5.1.1 | Os | ossement | 3 | ? | 6.1.1 | Animaux sauf mollusques | Frag | Petits fragments blanchis, épiphyse de phalange/métapode potentiellement identifiable |
| J59 | 0 - 50 | | | 852 | 4.1 | Matières premières | éclat | 1 | 1 | 7.1 | Pierre dure, techno-témoin | Frag | 1 QTZ |
| J59 | 0 - 50 | | | 854 | 3.1.1 | Métaux et alliages ferreux | fragment ind. | 2 | 1 | 7.1 | Indéterminé | Frag | Fragments très corrodés |
| J59 | 0 - 50 | | | 855 | 2.3.1.1 | Verre de couleur, transparent, vert foncé | bouteille | 1 | 1 | 4.2.1.2 | Boissons, conservation/entreposage | Frag | Tesson de corps avec sillons verticaux et parallèles d'environ 2 mm de largeur sur la paroi externe (traces de moulage), similaire à 795 |
| J59 | 0 - 50 | | | 856 | 2.2.1.1 | Verre teinté, régulier, vert | bouteille | 1 | 1 | 4.2.1.2 | Boissons, conservation/entreposage | Frag | Petit éclat de verre à bouteille |
| J59 | 0 - 50 | | | 857 | 5.1.1 | Os | ossement | 5 | ? | 6.1.1 | Animaux sauf mollusques | Frag | Petits fragments blanchis, un poli |
| J59 | 50 - 80 | | | 858 | 4.1 | Matières premières | éclat | 8 | 4 | 7.1 | Pierre dure, techno-témoin | Frag | 2 MISTA, 4 CH000 gris, 1 ONO, 1 ONT001 |
| J59 | 50 - 80 | | | 859 | 2.3.1.1 | Verre de couleur, transparent, vert foncé | bouteille | 1 | 1 | 4.2.1.2 | Boissons, conservation/entreposage | Frag | Petit de tesson de verre à bouteille |
| J59 | 50 - 80 | | | 860 | 2.1.1 | Verre incolore, sans plomb | fragment ind. | 1 | 1 | 7.1 | Indéterminé | Frag | Petit tesson de verre plat d'une épaisseur de 2 mm, potentiellement de la vitre mais n'a pas de reflets bleutés comme 798 par exemple |
| J59 | 50 - 80 | | | 861 | 1.1.2.61 | Terre cuite fine blanche | article de vaisselle ind. | 1 | 1 | 4.1.99 | Alimentation indéterminée | Frag | Petit tesson avec décor imprimé bleu |
| J59 | 50 - 80 | | | 862 | 5.1.1 | Os | ossement | 22 | ? | 6.1.1 | Animaux sauf mollusques | Frag | Petits fragments blanchis, une phalange/métapode complète à identifier, plusieurs fragments polis, plusieurs avec teinte grise-bleutée |
| J59 | 80 - 110 | | | 863 | 2.2.1 | Verre teinté régulier | vitre | 1 | 1 | 4.7.1.1 | Matériaux de base - vitre | Frag | Petit tesson de verre à vitre, presque incolore, épaisseur de 1,8 mm |
| J59 | 80 - 110 | | | 864 | 5.1.1 | Os | ossement | 31 | ? | 6.1.1 | Animaux sauf mollusques | Frag | Petits fragments blanchis, plusieurs polis |
| J60 | 30 - 40 | | | 865 | 4.1 | Matières premières | éclat | 5 | 3 | 1.1.1.4 | Pierre dure, techno-témoin | Frag | 3 QTZ, 1 ONO, 1 CH000 |
| J60 | 30 - 40 | | | 866 | 5.1.1 | Os | ossement | 2 | ? | 6.1.1 | Animaux sauf mollusques | Frag | Petits fragments blanchis, un avec teinte grise-bleutée |
| 50N82E | 4 - 15 | SW | | 867 | 4.1 | Matières premières | éclat | 2 | 2 | 1.1.1.4 | Pierre dure, techno-témoin | Frag | 1 ONO, 1 CHC000 |
| 50N82E | 4 - 15 | SW | | 868 | 2.1.1 | Verre incolore, sans plomb | fragment ind. | 2 | ? | 7.1 | Indéterminé | Frag | Petits tessons de verre incolore, un tesson d'une épaisseur de 3 mm et l'autre de 1,5 mm |
| 50N82E | 15 - 25 | SW | | 869 | 4.1 | Matières premières | outil | 1 | 1 | 1.1.1.1 | Pierre dure, outils | Frag | Fragment d'outil indéterminé sur nucléus en ONO, 25x16mm |
| 50N82E | 15 - 25 | SW | | 870 | 4.1 | Matières premières | éclat | 1 | 1 | 1.1.1.4 | Pierre dure, techno-témoin | Frag | 1 CH000 |
| 50N103E | 1 (0 - 3) | NW | | 871 | 4.1 | Matières premières | éclat | 1 | 1 | 1.1.1.4 | Pierre dure, techno-témoin | Frag | 1 METAM |
| 50N103E | 1 (0 - 3) | NW | | 872 | 5.1.1 | Os | ossement | 3 | ? | 6.1.1 | Animaux sauf mollusques | Frag | petits os blanchis |
| 50N103E | 1 (0 - 3) | SW | | 873 | 5.1.1 | Os | ossement | 2 | ? | 6.1.1 | Animaux sauf mollusques | Frag | petits os blanchis |
| 50N103E | 2a (3 - 6/12) | NW | | 874 | 1.1.1.991 | Céramique de type autochtone | contenant (tpd) | 4 | ? | 4.99 | Consommation ind. | Frag | Tessons décorés, 3 (dont deux jointifs) décorés à la cordelette ou traités au battoir cordé |
| 50N103E | 2a (3 - 6/12) | NW | | 875 | 1.1.1.991 | Céramique de type autochtone | contenant (tpnd) | 3 | ? | 4.99 | Consommation ind. | Frag | Petits tessons non décorés |
| 50N103E | 2a pr4 (26) | NW | 54N 19E | 876 | 4.1 | Matières premières | pièce esquillée | 1 | 1 | 1.1.1.1 | Pierre dure, outils | Ent | Pièce esquillée en ONO, 17x13mm |
| 50N103E | 2a (3 - 6/12) | NW | | 877 | 4.1 | Matières premières | éclat | 13 | 6 | 1.1.1.4 | Pierre dure, techno-témoin | Frag | 4 QTZ, 2 MISTA, 1 TRE, 2 ONO, 1 CHC001, 3 CH000 |
| 50N103E | 2a (3 - 6/12) | NW | | 878 | 2.3.1.10 | Verre de couleur, transparent, brun | bouteille | 1 | 1 | 4.2.1.2 | Boissons, conservation/entreposage | Frag | Petit tesson de corps d'une épaisseur de 2,5 mm |
| 50N103E | 2a (3 - 6/12) | NW | | 879 | 2.1.1 | Verre incolore, sans plomb | fragment ind. | 1 | 1 | 4.7.1.1 | Matériaux de base - vitre | Frag | Petit tesson d'une épaisseur de 2,5 mm, légère courbure |
| 50N103E | 2a (3 - 6/12) | NW | | 880 | 3.1.1.12 | Métal ferreux, fer laminé | clou | 1 | 1 | 4.7.2.3 | Fixations - clous | Ent | Clou corrodé d'une longueur d'environ 4 cm (incluant la pointe qui est repliée contre la lame) |
| 50N103E | 2a (3 - 6/12) | NW | | 881 | 3.1.1.13 | Métal ferreux, fer tréfilé | clou | 2 | 2 | 4.7.2.3 | Fixations - clous | Ent | Tréfilés, corrodés, un de 4,85cm et l'autre de 3,3cm |

| Puits/sond. | Niveau/Prof. | Quadrant | Loc. | No. cat. | Code mat. | Matériau | Objet | Nb. frag. | Nb. obj. | Code fonction | Fonction | Intégrité | Commentaires |
|-------------|-------------------|----------|---------|----------|-----------|---|---------------------------|-----------|----------|---------------|------------------------------------|-----------|---|
| 50N103E | 2a (3 - 6/12) | NW | | 882 | 1.1.2.61 | Terre cuite fine blanche | article de vaisselle ind. | 1 | 1 | 4.1.99 | Alimentation indéterminée | Frag | Petit tesson avec décor rose-mauve |
| 50N103E | 2a (3 - 6/12) | NW | | 883 | 5.1.1 | Os | ossement | 126 | ? | 6.1.1 | Animaux sauf mollusques | Frag | Petits fragments blanchis |
| 50N103E | 2a (3 - 6/12) | NE | | 884.1 | 1.1.1.991 | Céramique de type autochtone | contenant (tpd) | 1 | 1 | 4.99 | Consommation ind. | Frag | Tesson décoré, potentiellement associable à UV9 |
| 50N103E | 2a (3 - 6/12) | NE | | 884.2 | 1.1.1.991 | Céramique de type autochtone | contenant (tpd) | 1 | 1 | 4.99 | Consommation ind. | Frag | Tesson décoré |
| 50N103E | 2a (3 - 6/12) | NE | | 885 | 1.1.1.991 | Céramique de type autochtone | contenant (tpnd) | 2 | ? | 4.99 | Consommation ind. | Frag | Petits tessons non décorés |
| 50N103E | 2a (3 - 6/12) | NE | | 886 | 4.1.8 | Silex | pièce à fusil | 1 | 1 | 3.9.2.2 | Chasse/guerre, accessoires | Frag | Fragment de pierre à fusil en silex brun foncé grisâtre |
| 50N103E | 2a (3 - 6/12) | NE | | 887 | 4.1 | Matières premières | éclat | 6 | 3 | 1.1.1.4 | Pierre dure, techno-témoin | Frag | 1 QTZH, 4 TRE, 1 CH000 gris pâle chauffé |
| 50N103E | 2a (3 - 6/12) | NE | | 888 | 2.3.1.1 | Verre de couleur, transparent, vert foncé | bouteille | 1 | 1 | 4.2.1.2 | Boissons, conservation/entreposage | Frag | Tesson de corps incurvé, ép. 3 mm |
| 50N103E | 2a (3 - 6/12) | NE | | 889 | 5.1.1 | Os | ossement | 26 | ? | 6.1.1 | Animaux sauf mollusques | Frag | Petits fragments blanchis, plusieurs avec teinte grise-bleutée |
| 50N103E | 2a pr4 (34) | SE | 18N 58E | 890 | 1.1.1.991 | Céramique de type autochtone | contenant (tbd) | 2 | 1 | 4.99 | Consommation ind. | Frag | Tessons de bord décorés jointifs, jointifs à 924, UV23 |
| 50N103E | 2a (3 - 6/12) | SE | | 891 | 4.1 | Matières premières | éclat | 4 | 2 | 1.1.1.4 | Pierre dure, techno-témoin | Frag | 2 QTZ, 2 CHC001 |
| 50N103E | 2a (3 - 6/12) | SE | | 892 | 2.3.1.1 | Verre de couleur, transparent, vert foncé | bouteille | 1 | 1 | 4.2.1.2 | Boissons, conservation/entreposage | Frag | Tesson de verre à bouteille |
| 50N103E | 2a (3 - 6/12) | SE | | 893 | 2.1.1 | Verre incolore, sans plomb | fragment ind. | 1 | 1 | 7.1 | Indéterminé | Frag | Petit fragment, ép. 1 mm, légère courbure, reflet rosé |
| 50N103E | 2a (3 - 6/12) | SE | | 894 | 3.1.1 | Métaux et alliages ferreux | fragment ind. | 3 | ? | 7.1 | Indéterminé | Frag | Petits fragments corrodés, une tête de clou tréfilé (?) |
| 50N103E | 2a (3 - 6/12) | SE | | 895 | 5.1.1 | Os | ossement | 1 | 1 | 6.1.1 | Animaux sauf mollusques | Frag | Petit fragment blanchi |
| 50N103E | 2a pr4 (29) | SW | 43N 6E | 896 | 1.1.1.991 | Céramique de type autochtone | contenant (tbd) | 1 | 1 | 4.99 | Consommation ind. | Frag | Tesson de bord décoré, UV23 |
| 50N103E | 2a (3 - 6/12) | SW | | 897 | 1.1.1.991 | Céramique de type autochtone | contenant (tbd) | 1 | 1 | 4.99 | Consommation ind. | Frag | Petit tesson de bord décoré, seule la lèvre est intacte, UV21 |
| 50N103E | 2a (3 - 6/12) | SW | | 898 | 1.1.1.991 | Céramique de type autochtone | contenant (tbd) | 1 | 1 | 4.99 | Consommation ind. | Frag | Petit tesson de bord décoré, UV22 |
| 50N103E | 2a (3 - 6/12) | SW | | 899 | 1.1.1.991 | Céramique de type autochtone | contenant (tbd) | 1 | 1 | 4.99 | Consommation ind. | Frag | Petit tesson de bord décoré, jointif à 900, UV21 |
| 50N103E | 2a (3 - 6/12) | SW | | 900 | 1.1.1.991 | Céramique de type autochtone | contenant (tbd) | 1 | 1 | 4.99 | Consommation ind. | Frag | Petit tesson de bord décoré, jointif à 899, UV21 |
| 50N103E | 2a (3 - 6/12) | SW | | 901 | 1.1.1.991 | Céramique de type autochtone | contenant (tbd) | 1 | 1 | 4.99 | Consommation ind. | Frag | Tesson de bord décoré, jointif à 904, UV29 |
| 50N103E | 2a (3 - 6/12) | SW | | 902 | 1.1.1.991 | Céramique de type autochtone | contenant (tbd) | 1 | 1 | 4.99 | Consommation ind. | Frag | Tesson de bord décoré, UV22 |
| 50N103E | 2a (3 - 6/12) | SW | | 903 | 1.1.1.991 | Céramique de type autochtone | contenant (tbd) | 1 | 1 | 4.99 | Consommation ind. | Frag | Petit tesson de bord décoré, jointif à 1728, UV10 |
| 50N103E | 2a (3 - 6/12) | SW | | 904 | 1.1.1.991 | Céramique de type autochtone | contenant (tbd) | 1 | 1 | 4.99 | Consommation ind. | Frag | Tesson de bord décoré, jointif à 901, UV29 |
| 50N103E | 2a (3 - 6/12) | SW | | 905 | 1.1.1.991 | Céramique de type autochtone | contenant (tpd) | 9 | 1 | 4.99 | Consommation ind. | Frag | Tessons décorés, 2 jointifs, UV22 |
| 50N103E | 2a (3 - 6/12) | SW | | 906 | 1.1.1.991 | Céramique de type autochtone | contenant (tpd) | 4 | 1 | 4.99 | Consommation ind. | Frag | Tessons décorés, 2 jointifs, UV17 |
| 50N103E | 2a (3 - 6/12) | SW | | 907 | 1.1.1.991 | Céramique de type autochtone | contenant (tpd) | 1 | 1 | 4.99 | Consommation ind. | Frag | Tesson décoré, potentiellement associable à UV11 |
| 50N103E | 2a (3 - 6/12) | SW | | 908 | 1.1.1.991 | Céramique de type autochtone | contenant (tpd) | 8 | ? | 4.99 | Consommation ind. | Frag | Tessons décorés, 2 jointifs, 1 tesson potentiellement associable à UV21 |
| 50N103E | 2a pr4 (35) | SW | 31N 33E | 909 | 1.1.1.991 | Céramique de type autochtone | contenant (tpd) | 1 | 1 | 4.99 | Consommation ind. | Frag | Tesson décoré et scarifié, UV17 |
| 50N103E | 2a (3 - 6/12) | SW | | 1705 | 1.1.1.991 | Céramique de type autochtone | contenant (tpnd) | 2 | ? | 4.99 | Consommation ind. | Frag | Potentiels rebuts de pâte |
| 50N103E | 2a (3 - 6/12) | SW | | 910 | 1.1.1.991 | Céramique de type autochtone | contenant (tpnd) | 34 | ? | 4.99 | Consommation ind. | Frag | Tessons non décorés, 1 scarifié |
| 50N103E | 2a (3 - 6/12) | SW | | 911 | 4.1 | Matières premières | éclat | 9 | 5 | 1.1.1.4 | Pierre dure, techno-témoin | Frag | 2 QTZ, 2 ONO (1 am. bif.), 2 TRE, 2 CHC001, 1 CHAPH noir |
| 50N103E | 2a (3 - 6/12) | SW | | 912 | 2.2.1 | Verre teinté régulier | fragment ind. | 1 | 1 | 7.1 | Indéterminé | Frag | Petit fragment |
| 50N103E | 2a (3 - 6/12) | SW | | 913 | 5.1.1 | Os | ossement | 105 | ? | 6.1.1 | Animaux sauf mollusques | Frag | Petits fragments blanchis, un fragment d'os compact écu, plusieurs avec teinte grise-bleutée |
| 50N103E | 2b (6/12 - 15/23) | NW | | 914 | 1.1.1.991 | Céramique de type autochtone | contenant (tpd) | 1 | 1 | 4.99 | Consommation ind. | Frag | Tesson décoré, potentiellement associable à UV11 |
| 50N103E | 2b (6/12 - 15/23) | NW | | 1706 | 1.1.1.991 | Céramique de type autochtone | contenant (tpd) | 1 | 1 | 4.99 | Consommation ind. | Frag | Tesson décoré, UV22 |
| 50N103E | 2b (6/12 - 15/23) | NW | | 1707 | 1.1.1.991 | Céramique de type autochtone | contenant (tpd) | 1 | 1 | 4.99 | Consommation ind. | Frag | Tesson décoré, UV23 |
| 50N103E | 2b (6/12 - 15/23) | NW | | 915 | 1.1.1.991 | Céramique de type autochtone | contenant (tpd) | 4 | ? | 4.99 | Consommation ind. | Frag | Tessons décorés |
| 50N103E | 2b (6/12 - 15/23) | NW | | 1728 | 1.1.1.991 | Céramique de type autochtone | contenant (tpd) | 1 | 1 | 4.99 | Consommation ind. | Frag | Petit tesson décoré, jointif à 903, UV10 |
| 50N103E | 2b (6/12 - 15/23) | NW | | 916 | 1.1.1.991 | Céramique de type autochtone | contenant (tpnd) | 18 | ? | 4.99 | Consommation ind. | Frag | Tessons non décorés, 3 certainement associés à la même unité de vase, 2 avec résidus carbonisés sur paroi interne |
| 50N103E | 2b (6/12 - 15/23) | NW | | 917 | 4.1 | Matières premières | éclat | 4 | 2 | 1.1.1.4 | Pierre dure, techno-témoin | Frag | 3 QTZ, 1 CHAPH brun |
| 50N103E | 2b (6/12 - 15/23) | NW | | 918 | 5.1.1 | Os | ossement | 207 | ? | 6.1.1 | Animaux sauf mollusques | Frag | Petits fragments blanchis, 3 épiphyses de phalange/métapode et 1 vertèbre caudale (?) à identifier, plusieurs avec teinte grise-bleutée |
| 50N103E | 2b (6/12 - 15/23) | NE | | 919 | 1.1.1.991 | Céramique de type autochtone | contenant (tpd) | 2 | ? | 4.99 | Consommation ind. | Frag | Tessons décorés, 1 tesson potentiellement associable à UV24 |
| 50N103E | 2b (6/12 - 15/23) | NE | | 920 | 1.1.1.991 | Céramique de type autochtone | contenant (tpd) | 2 | 1 | 4.99 | Consommation ind. | Frag | Tessons décorés, UV17 |

| Puits/sond. | Niveau/Prof. | Quadrant | Loc. | No. cat. | Code mat. | Matériau | Objet | Nb. frag. | Nb. obj. | Code fonction | Fonction | Intégrité | Commentaires |
|-------------|--------------------|----------|------|----------|-----------|---|------------------|-----------|----------|---------------|------------------------------------|-----------|--|
| 50N103E | 2b (6/12 - 15/23) | NE | | 921 | 4.1 | Matières premières | éclat | 6 | 5 | 1.1.1.4 | Pierre dure, techno-témoin | Frag | 1 MISTA, 1 TRE, 2 ONT001, 1 ONO, 1 CH000 |
| 50N103E | 2b (6/12 - 15/23) | NE | | 922 | 2.2.1 | Verre teinté régulier | bouteille | 1 | 1 | 4.2.1.2 | Boissons, conservation/entreposage | Frag | Petit tesson incurvé, ép. 2,5 mm |
| 50N103E | 2b (6/12 - 15/23) | NE | | 923 | 5.1.1 | Os | ossement | 78 | ? | 6.1.1 | Animaux sauf mollusques | Frag | Petits fragments blanchis; 1 os long potentiellement identifiable |
| 50N103E | 2b (6/12 - 15/23) | SE | | 924 | 1.1.1.991 | Céramique de type autochtone | contenant (tbd) | 1 | 1 | 4.99 | Consommation ind. | Frag | Petit tesson de bord décoré, jointif à 890, UV23 |
| 50N103E | 2b (6/12 - 15/23) | SE | | 925 | 1.1.1.991 | Céramique de type autochtone | contenant (tpd) | 4 | 1 | 4.99 | Consommation ind. | Frag | Tessons décorés, UV17 |
| 50N103E | 2b (6/12 - 15/23) | SE | | 926 | 1.1.1.991 | Céramique de type autochtone | contenant (tpd) | 5 | 1 | 4.99 | Consommation ind. | Frag | Tessons décorés, 1 fragment exfolié de la paroi interne, UV23 |
| 50N103E | 2b (6/12 - 15/23) | SE | | 927 | 1.1.1.991 | Céramique de type autochtone | contenant (tpd) | 5 | ? | 4.99 | Consommation ind. | Frag | Tessons décorés |
| 50N103E | 2b (6/12 - 15/23) | SE | | 928 | 1.1.1.991 | Céramique de type autochtone | contenant (tpd) | 3 | 1 | 4.99 | Consommation ind. | Frag | Tessons décorés, UV22 |
| 50N103E | 2b (6/12 - 15/23) | SE | | 929 | 1.1.1.991 | Céramique de type autochtone | contenant (tpnd) | 20 | ? | 4.99 | Consommation ind. | Frag | Tessons non décorés, 3 scarifiés, 1 avec résidus carbonisés |
| 50N103E | 2b (6/12 - 15/23) | SE | | 930 | 4.1 | Matières premières | grattoir | 1 | 1 | 1.1.1.1 | Pierre dure, outils | Frag | Grattoir multimarginal sur éclat en ONO brun grisâtre, 16x20mm |
| 50N103E | 2b (6/12 - 15/23) | SE | | 931 | 4.1 | Matières premières | éclat | 3 | 2 | 1.1.1.4 | Pierre dure, techno-témoin | Frag | 1 QTZ, 2 TRE (très siliceux, fin) |
| 50N103E | 2b (6/12 - 15/23) | SE | | 932 | 5.1.1 | Os | ossement | 32 | ? | 6.1.1 | Animaux sauf mollusques | Frag | Petits fragments blanchis, plusieurs avec teinte grise-bleutée |
| 50N103E | 2b (6/12 - 15/23) | SW | | 1708 | 1.1.1.991 | Céramique de type autochtone | contenant (tpd) | 1 | 1 | 4.99 | Consommation ind. | Frag | Petit tesson décoré, UV17 |
| 50N103E | 2b (6/12 - 15/23) | SW | | 1709 | 1.1.1.991 | Céramique de type autochtone | contenant (tpd) | 6 | 1 | 4.99 | Consommation ind. | Frag | Tessons décorés, UV22 |
| 50N103E | 2b (6/12 - 15/23) | SW | | 933 | 1.1.1.991 | Céramique de type autochtone | contenant (tpd) | 5 | ? | 4.99 | Consommation ind. | Frag | Tessons décorés, 1 tesson potentiellement associable à UV24 |
| 50N103E | 2b (6/12 - 15/23) | SW | | 1731 | 1.1.1.991 | Céramique de type autochtone | contenant (tpnd) | 4 | 1 | 4.99 | Consommation ind. | Frag | Tessons non décorés, 2 scarifiés, UV17 |
| 50N103E | 2b (6/12 - 15/23) | SW | | 934 | 1.1.1.991 | Céramique de type autochtone | contenant (tpnd) | 14 | ? | 4.99 | Consommation ind. | Frag | Tessons non décorés, plusieurs petits fragments potentiellement associables à UV17 |
| 50N103E | 2b (6/12 - 15/23) | SW | | 935 | 4.1 | Matières premières | éclat | 1 | 1 | 1.1.1.4 | Pierre dure, techno-témoin | Frag | 1 QTZH |
| 50N103E | 2b (6/12 - 15/23) | SW | | 936 | 2.2.1 | Verre teinté régulier | fragment ind. | 1 | 1 | 4.7.1.1 | Matériaux de base - vitre | Frag | Petit tesson, ép. 2 mm |
| 50N103E | 2b (6/12 - 15/23) | SW | | 937 | 5.1.1 | Os | ossement | 81 | ? | 6.1.1 | Animaux sauf mollusques | Frag | Petits fragments blanchis, plusieurs avec teinte grise-bleutée |
| 50N103E | 2 | SW | | 938 | 5.1.1 | Os | ossement | 1 | 1 | 6.1.1 | Animaux sauf mollusques | Frag | Petit fragment blanchi. Redressement de la paroi sud |
| 50N103E | 3 (6/10 - 16/25) | NE | | 939 | 3.1.2 | Métaux et alliages cuivreux | douille | 1 | 1 | 3.9.2.1 | Chasse/guerre, munitions | Ent | Douille corrodée, calibre .22 |
| 50N103E | 3 (6/10 - 16/25) | NE | | 940 | 3.1.1.12 | Métal ferreux, fer laminé | clou | 2 | 2 | 4.7.2.3 | Fixations - clous | Frag | Clous découpés corrodés, le clou presque entier mesure 6,4 cm de long, le fragment de clou mesure 2,3 cm de long |
| 50N103E | 3 (6/10 - 16/25) | NE | | 941 | 5.1.1 | Os | ossement | 12 | ? | 6.1.1 | Animaux sauf mollusques | Frag | Petits fragments blanchis, un fragment potentiellement identifiable |
| 50N103E | 3 (6/10 - 16/25) | SE | | 942 | 1.1.1.991 | Céramique de type autochtone | contenant (tpd) | 1 | 1 | 4.99 | Consommation ind. | Frag | Tesson décoré |
| 50N103E | 3 (6/10 - 16/25) | SE | | 943 | 1.1.1.991 | Céramique de type autochtone | contenant (tpnd) | 2 | ? | 4.99 | Consommation ind. | Frag | Tessons non décorés |
| 50N103E | 3 (6/10 - 16/25) | SE | | 944 | 4.1 | Matières premières | éclat | 2 | 2 | 1.1.1.4 | Pierre dure, techno-témoin | Frag | 1 QTZ, 1 TRE |
| 50N103E | 3 (6/10 - 16/25) | SE | | 945 | 2.3.1.1 | Verre de couleur, transparent, vert foncé | bouteille | 1 | 1 | 4.2.1.2 | Boissons, conservation/entreposage | Frag | Fragment de col (ép. 4 mm) et d'épaula (ép. 2,5 mm) |
| 50N103E | 3 (6/10 - 16/25) | SE | | 946 | 2.2.1.5 | Verre teinté, régulier, rose | fragment ind. | 1 | 1 | 7.1 | Indéterminé | Frag | Petit tesson, ép. 1 mm |
| 50N103E | 3 (6/10 - 16/25) | SE | | 947 | 5.1.1 | Os | ossement | 5 | ? | 6.1.1 | Animaux sauf mollusques | Frag | Petits fragments blanchis |
| 50N103E | 4a (15/23 - 27/35) | NW | | 948 | 1.1.1.991 | Céramique de type autochtone | contenant (tpnd) | 1 | 1 | 4.99 | Consommation ind. | Frag | Petit tesson non décoré |
| 50N103E | 4a (15/23 - 27/35) | NW | | 949 | 4.1 | Matières premières | éclat | 1 | 1 | 1.1.1.4 | Pierre dure, techno-témoin | Frag | 1 QTZH |
| 50N103E | 4a (15/23 - 27/35) | NW | | 950 | 5.1.1 | Os | ossement | 30 | ? | 6.1.1 | Animaux sauf mollusques | Frag | Petits fragments blanchis, plusieurs avec teinte grise-bleutée |
| 50N103E | 4a (15/23 - 27/35) | NE | | 951 | 5.1.1 | Os | ossement | 6 | ? | 6.1.1 | Animaux sauf mollusques | Frag | Petits fragments blanchis |
| 50N103E | 4a (15/23 - 27/35) | SE | | 952 | 1.1.1.991 | Céramique de type autochtone | contenant (tpd) | 1 | 1 | 4.99 | Consommation ind. | Frag | Tesson décoré |
| 50N103E | 4a (15/23 - 27/35) | SE | | 953 | 4.1 | Matières premières | outil | 1 | 1 | 1.1.1.1 | Pierre dure, outils | Frag | Fragment d'outil ind. sur éclat en CHAPH gris très foncé, 12x10mm |
| 50N103E | 4a (15/23 - 27/35) | SE | | 954 | 5.1.1 | Os | ossement | 3 | ? | 6.1.1 | Animaux sauf mollusques | Frag | Petits fragments blanchis, 1 épiphyse de phalange/métapode à identifier |
| 50N103E | 4a (15/23 - 27/35) | SW | | 955 | 5.1.1 | Os | ossement | 6 | ? | 6.1.1 | Animaux sauf mollusques | Frag | Petits fragments blanchis |
| 50N103E | 4b (27/35 - 32/40) | NW | | 956 | 5.1.1 | Os | ossement | 3 | ? | 6.1.1 | Animaux sauf mollusques | Frag | Petits fragments blanchis, 1 avec teinte grise-bleutée |
| 50N103E | 4b (27/35 - 32/40) | NE | | 957 | 5.1.1 | Os | ossement | 1 | 1 | 6.1.1 | Animaux sauf mollusques | Frag | Petit fragment blanchi |
| 50N103E | 4b (27/35 - 32/40) | SE | | 958 | 5.1.1 | Os | ossement | 3 | ? | 6.1.1 | Animaux sauf mollusques | Frag | Petits fragments blanchis |
| 50N103E | 4b (27/35 - 32/40) | SW | | 959 | 5.1.1 | Os | ossement | 3 | ? | 6.1.1 | Animaux sauf mollusques | Frag | Petits fragments blanchis |
| 50N103E | 4c (32/40 - 39/50) | NW | | 960 | 4.1 | Matières premières | éclat | 1 | 1 | 1.1.1.4 | Pierre dure, techno-témoin | Frag | MISTA, très très fin |
| 50N103E | 4c (32/40 - 39/50) | NW | | 961 | 5.1.1 | Os | ossement | 2 | ? | 6.1.1 | Animaux sauf mollusques | Frag | Petits fragments blanchis |
| 50N103E | 4 | SW | | 962 | 4.1 | Matières premières | éclat | 1 | 1 | 1.1.1.4 | Pierre dure, techno-témoin | Frag | MISTA. Redressement de la paroi sud |
| 50N103E | 5a (22/25 - 34/35) | NE | | 963 | 1.1.1.991 | Céramique de type autochtone | contenant (tpd) | 1 | 1 | 4.99 | Consommation ind. | Frag | Tesson décoré |
| 50N103E | 5a (22/25 - 34/35) | NE | | 964 | 1.1.1.991 | Céramique de type autochtone | contenant (tpnd) | 2 | ? | 4.99 | Consommation ind. | Frag | Petits tessons non décorés |
| 50N103E | 5a (22/25 - 34/35) | NE | | 965 | 4.1 | Matières premières | grattoir | 1 | 1 | 1.1.1.1 | Pierre dure, outils | Frag | Grattoir unimarginal sur éclat en CH000 chauffé, 15x18mm |
| 50N103E | 5a (22/25 - 34/35) | NE | | 966 | 4.1 | Matières premières | éclat | 7 | 4 | 1.1.1.4 | Pierre dure, techno-témoin | Frag | 2 QTZ, 1 MISTA, 1 ONT001, 3 CH000 (2 gris très foncé, 1 gris brunâtre très foncé) |
| 50N103E | 5a (22/25 - 34/35) | NE | | 967 | 2.2.1 | Verre teinté régulier | vitre | 1 | 1 | 4.7.1.1 | Matériaux de base - vitre | Frag | Petit tesson, ép. 2,3 mm |
| 50N103E | 5a (22/25 - 34/35) | NE | | 968 | 5.1.1 | Os | ossement | 67 | ? | 6.1.1 | Animaux sauf mollusques | Frag | Petits fragments blanchis, quelques-uns potentiellement identifiable |
| 50N103E | 5a (22/25 - 34/35) | SE | | 969 | 1.1.1.991 | Céramique de type autochtone | contenant (tpd) | 2 | 1 | 4.99 | Consommation ind. | Frag | Tessons décorés jointifs, UV17 |

| Puits/sond. | Niveau/Prof. | Quadrant | Loc. | No. cat. | Code mat. | Matériau | Objet | Nb. frag. | Nb. obj. | Code fonction | Fonction | Intégrité | Commentaires |
|-------------------|--------------------|----------|---------|----------|-----------|---|------------------------|-----------|----------|---------------|------------------------------------|-----------|--|
| 50N103E | 5a (22/25 - 34/35) | SE | | 970 | 1.1.1.991 | Céramique de type autochtone | contenant (tpnd) | 2 | ? | 4.99 | Consommation ind. | Frag | Tessons non décorés |
| 50N103E | 5a (22/25 - 34/35) | SE | | 971 | 4.1 | Matières premières | grattoir | 1 | 1 | 1.1.1.1 | Pierre dure, outils | Frag | Fragment marginal de grattoir sur éclat en CHAPH gris foncé |
| 50N103E | 5a (22/25 - 34/35) | SE | | 972 | 4.1 | Matières premières | éclat | 6 | 4 | 1.1.1.4 | Pierre dure, techno-témoin | Frag | 1 MISTA, 1 TRE, 2 ONO, 2 CHAPH (1 noir, 1 gros éclat d'amincissement bifaciale brun grisâtre lustré) |
| 50N103E | 5a (22/25 - 34/35) | SE | | 973 | 5.1.1 | Os | ossement | 31 | ? | 6.1.1 | Animaux sauf mollusques | Frag | Petits fragments blanchis, plusieurs avec teinte grise-bleutée |
| 50N103E | 5b (34/35 - 43/51) | NE | | 974 | 1.1.1.991 | Céramique de type autochtone | contenant (tpd) | 3 | ? | 4.99 | Consommation ind. | Frag | Tessons décorés, 1 tesson potentiellement associable à UV24 |
| 50N103E | 5b (34/35 - 43/51) | NE | | 975 | 1.1.1.991 | Céramique de type autochtone | contenant (tpnd) | 1 | 1 | 4.99 | Consommation ind. | Frag | Tesson non décoré |
| 50N103E | 5b (34/35 - 43/51) | NE | | 976 | 4.1 | Matières premières | outil | 1 | 1 | 1.1.1.1 | Pierre dure, outils | Frag | Fragment d'éclat retouché en TRE, 11x15mm |
| 50N103E | 5b (34/35 - 43/51) | NE | | 977 | 4.1 | Matières premières | éclat | 1 | 1 | 1.1.1.4 | Pierre dure, techno-témoin | Frag | 1 CHAPH brun (silex européen?) |
| 50N103E | 5b (34/35 - 43/51) | NE | | 978 | 5.1.1 | Os | ossement | 68 | ? | 6.1.1 | Animaux sauf mollusques | Frag | Petits fragments blanchis, plusieurs avec teinte grise-bleutée |
| 50N103E | 5b (34/35 - 43/51) | SE | | 1710 | 1.1.1.991 | Céramique de type autochtone | contenant (tpd) | 2 | 1 | 4.99 | Consommation ind. | Frag | Tessons décorés, UV22 |
| 50N103E | 5b (34/35 - 43/51) | SE | | 979 | 1.1.1.991 | Céramique de type autochtone | contenant (tpd) | 2 | ? | 4.99 | Consommation ind. | Frag | Petits tessons décorés |
| 50N103E | 5b (34/35 - 43/51) | SE | | 980 | 1.1.1.991 | Céramique de type autochtone | contenant (tpnd) | 8 | ? | 4.99 | Consommation ind. | Frag | Tessons non décorés |
| 50N103E | 5b (34/35 - 43/51) | SE | | 981 | 4.1 | Matières premières | biface | 1 | 1 | 1.1.1.1 | Pierre dure, outils | Ent | Outil bifacial en QTZT grossier gris brunâtre, 43x27x9mm. Ébauche |
| 50N103E | 5b (34/35 - 43/51) | SE | | 982 | 4.1 | Matières premières | grattoir | 1 | 1 | 1.1.1.1 | Pierre dure, outils | Frag | Grattoir unimarginal sur éclat en CH000 gris fin cireux, 11x18mm |
| 50N103E | 5b (34/35 - 43/51) | SE | | 983 | 4.1 | Matières premières | éclat | 2 | 2 | 1.1.1.4 | Pierre dure, techno-témoin | Frag | 1 CH000 grossier gris, 1 MISTA enfumé |
| 50N103E | 5b (34/35 - 43/51) | SE | | 984 | 5.1.1 | Os | ossement | 36 | ? | 6.1.1 | Animaux sauf mollusques | Frag | Petits fragments blanchis |
| 50N103E | 5b + 5c | NE | | 985 | 5.1.1 | Os | ossement | 3 | ? | 6.1.1 | Animaux sauf mollusques | Frag | Petits fragments blanchis. Sédiments tombés et accumulés au fond du puits 50N-104E |
| 50N103E | 5c (43/51 - 63) | NE | | 986 | 4.1 | Matières premières | nucléus | 1 | 1 | 1.1.1.4 | Pierre dure, techno-témoin | Frag | TRE |
| 50N103E | 5c (43/51 - 63) | NE | | 987 | 4.1 | Matières premières | éclat | 3 | 2 | 1.1.1.4 | Pierre dure, techno-témoin | Frag | 2 QTZ, 1 TRE |
| 50N103E | 5c (43/51 - 63) | NE | | 988 | 5.1.1 | Os | ossement | 37 | ? | 6.1.1 | Animaux sauf mollusques | Frag | Petits fragments blanchis, plusieurs avec teinte grise-bleutée |
| 50N103E | 5c (43/51 - 63) | SE | | 989 | 4.1 | Matières premières | éclat | 1 | 1 | 1.1.1.4 | Pierre dure, techno-témoin | Frag | 1 QTZ |
| 50N103E | 5c (43/51 - 63) | SE | | 990 | 2.1.1 | Verre incolore, sans plomb | fragment ind. | 1 | 1 | 7.1 | Indéterminé | Frag | Petit éclat |
| 50N103E | 5c (43/51 - 63) | SE | | 991 | 5.1.1 | Os | ossement | 30 | ? | 6.1.1 | Animaux sauf mollusques | Frag | Petits fragments blanchis |
| 50N103E | 5d (63 - 64/70) | NE | | 992 | 5.1.1 | Os | ossement | 65 | ? | 6.1.1 | Animaux sauf mollusques | Frag | Petits fragments blanchis, plusieurs avec teinte grise-bleutée |
| 50N103E | paroi sud | SW | | 993 | 4.1 | Matières premières | éclat | 1 | 1 | 1.1.1.4 | Pierre dure, techno-témoin | Frag | 1 QTZ. Redressement de la paroi sud |
| 50N103E | ? | ? | | 994 | 4.1 | Matières premières | éclat | 2 | 2 | 1.1.1.4 | Pierre dure, techno-témoin | Frag | 1 ONO, 1 QTZT moyen-fin noir. Hors contexte |
| 50N103E | ? | ? | | 995 | 5.1.1 | Os | ossement | 6 | ? | 6.1.1 | Animaux sauf mollusques | Frag | Petits fragments blanchis. Hors contexte |
| 50N103E + 50N104E | paroi sud | ? | | 996 | 1.1.1.991 | Céramique de type autochtone | contenant (tpnd) | 3 | ? | 4.99 | Consommation ind. | Frag | Petits tessons non décorés |
| 50N103E + 50N104E | paroi sud | ? | | 997 | 5.1.1 | Os | ossement | 3 | ? | 6.1.1 | Animaux sauf mollusques | Frag | Petits fragments blanchis, 1 avec teinte grise-bleutée |
| 50N104E | parois | ? | | 1694 | 4.1 | Matières premières | éclat | 1 | 1 | 1.1.1.4 | Pierre dure, techno-témoin | Frag | Vidage du puits fouillé en 2021. MISTA |
| 50N104E | parois | ? | | 1695 | 2.3.1.1 | Verre de couleur, transparent, vert foncé | bouteille | 1 | 1 | 4.2.1.2 | Boissons, conservation/entreposage | Frag | Vidage du puits fouillé en 2021. Petit tesson légèrement incurvé, ép. 2,6mm |
| 50N104E | parois | ? | | 1696 | 5.1.1 | Os | ossement | 7 | ? | 6.1.1 | Animaux sauf mollusques | Frag | Vidage du puits fouillé en 2021. Petits fragments blanchis |
| 50N105E | 2a (3 - 10) | NW | | 998 | 4.1 | Matières premières | éclat | 2 | 2 | 1.1.1.4 | Pierre dure, techno-témoin | Frag | 1 QTZH, 1 CH000 gris foncé |
| 50N105E | 2a (3 - 10) | NW | | 999 | 5.1.1 | Os | ossement | 1 | 1 | 6.1.1 | Animaux sauf mollusques | Frag | Petit fragment blanchi |
| 50N105E | 2a (3 - 10) | NE | | 1000 | 1.1.1.991 | Céramique de type autochtone | contenant (tpnd) | 1 | 1 | 4.99 | Consommation ind. | Frag | Tesson non décoré |
| 50N105E | 2a (3 - 10) | NE | | 1001 | 4.1 | Matières premières | éclat | 4 | 2 | 1.1.1.4 | Pierre dure, techno-témoin | Frag | 1 ONO, 3 TRE (2 jointifs d'un gros éclat de réduction de nucléus) |
| 50N105E | 2a (3 - 10) | NE | | 1002 | 3.1.2 | Métaux et alliages cuivreux | douille | 1 | 1 | 3.9.2.1 | Chasse/guerre, munitions | Ent | Douille légèrement corrodée, calibre .22, "D" sur le culot |
| 50N105E | 2a (3 - 10) | NE | | 1003 | 5.1.1 | Os | ossement | 1 | 1 | 6.1.1 | Animaux sauf mollusques | Frag | Petit fragment blanchi |
| 50N105E | 2a (3 - 10) | SE | | 1004 | 4.1 | Matières premières | éclat | 2 | 2 | 1.1.1.4 | Pierre dure, techno-témoin | Frag | 1 PEN (voir coll. 2018, 56N104E_niv3_SE), 1 TRE |
| 50N105E | 2a (3 - 10) | SW | | 1005 | 1.1.1.991 | Céramique de type autochtone | contenant (tpd) | 2 | 1 | 4.99 | Consommation ind. | Frag | Tessons décorés jointifs, UV10 |
| 50N105E | 2a pr3 (32) | SW | 33N 35E | 1006 | 4.1 | Matières premières | grattoir | 1 | 1 | 1.1.1.1 | Pierre dure, outils | Ent | Grattoir multimarginal sur éclat à retouches totales en TRE, 14x17mm |
| 50N105E | 2a (3 - 10) | SW | | 1007 | 4.1 | Matières premières | éclat | 3 | 3 | 1.1.1.4 | Pierre dure, techno-témoin | Frag | 1 QTZ, 1 MISTA enfumé, 1 TRE |
| 50N105E | 2a (3 - 10) | SW | | 1008 | 2.2.1 | Verre teinté régulier | vitre | 1 | 1 | 4.7.1.1 | Matériaux de base - vitre | Frag | Petit tesson à reflet bleuté, ép. 1,9 mm |
| 50N105E | 2a (3 - 10) | SW | | 1009 | 2.3.1.1 | Verre de couleur, transparent, vert foncé | bouteille | 1 | 1 | 4.2.1.2 | Boissons, conservation/entreposage | Frag | Petit tesson de verre à bouteille, ép. 4,3 mm |
| 50N105E | 2a (3 - 10) | SW | | 1010 | 2.2.1.1 | Verre teinté, régulier, vert | bouteille | 1 | 1 | 4.2.1.2 | Boissons, conservation/entreposage | Frag | Tesson vert pâle légèrement incurvé, ép. 5 mm |
| 50N105E | 2a (3 - 10) | SW | | 1011 | 5.1.1 | Os | ossement | 1 | 1 | 6.1.1 | Animaux sauf mollusques | Frag | Petit fragment blanchi |
| 50N105E | 2a pr3 (37) | SW | 45N 12E | 1012 | 5.1.6 | Charbon | échantillon de charbon | 1 | 1 | 7.4 | Témoins de combustion | Frag | Échantillon de charbon, trouvé à proximité des tpd 1005 |
| 50N105E | 2b (10 - 11/17) | NW | | 1013 | 4.1 | Matières premières | éclat | 2 | 1 | 1.1.1.4 | Pierre dure, techno-témoin | Frag | 2 TRE chauffé (cupules therm.) |
| 50N105E | 2b (10 - 11/17) | NW | | 1014 | 5.1.1 | Os | ossement | 1 | 1 | 6.1.1 | Animaux sauf mollusques | Frag | Petit fragment blanchi |
| 50N105E | 2b (10 - 11/17) | NE | | 1015 | 4.1 | Matières premières | éclat | 1 | 1 | 1.1.1.4 | Pierre dure, techno-témoin | Frag | TRE |
| 50N105E | 2b (10 - 11/17) | SE | | 1016 | 5.1.1 | Os | ossement | 1 | 1 | 6.1.1 | Animaux sauf mollusques | Frag | Petit fragment blanchi |
| 50N105E | 2b (10 - 11/17) | SW | | 1017 | 5.1.1 | Os | ossement | 1 | 1 | 6.1.1 | Animaux sauf mollusques | Frag | Fragment blanchi |
| 50N105E | 3a (11/17 - 21/28) | SW | | 1018 | 1.1.1.991 | Céramique de type autochtone | contenant (tpnd) | 2 | ? | 4.99 | Consommation ind. | Frag | Petits tessons non décorés |
| 50N105E | 3a (11/17 - 21/28) | SW | | 1019 | 5.1.1 | Os | ossement | 2 | ? | 6.1.1 | Animaux sauf mollusques | Frag | Petits fragments blanchis |
| 50N105E | 3b (21/28 - 30/40) | NE | | 1021 | 1.1.1.991 | Céramique de type autochtone | contenant (tpd) | 1 | 1 | 4.99 | Consommation ind. | Frag | Petit tesson décoré, UV9 |

| Puits/sond. | Niveau/Prof. | Quadrant | Loc. | No. cat. | Code mat. | Matériau | Objet | Nb. frag. | Nb. obj. | Code fonction | Fonction | Intégrité | Commentaires |
|-------------|--------------------|----------|---------|----------|-----------|-------------------------------------|---------------------------|-----------|----------|---------------|------------------------------------|-----------|---|
| 50N105E | 3b (21/28 - 30/40) | NE | | 1022 | 1.1.1.991 | Céramique de type autochtone | contenant (tpnd) | 1 | 1 | 4.99 | Consommation ind. | Frag | Petit tesson non décoré |
| 50N105E | 3b (21/28 - 30/40) | SW | | 1020 | 5.1.1 | Os | ossement | 3 | ? | 6.1.1 | Animaux sauf mollusques | Frag | Très petits fragments blanchis |
| 50N107E | 1 (0 - 3) | NW | | 1023 | 5.3.1 | Plastique | fragment | 1 | 1 | 7.1 | Indéterminé | Frag | Morceau de toile blanche (?) en plastique moderne |
| 50N107E | 1 (0 - 3) | NW | | 1024 | 5.1.1 | Os | ossement | 2 | ? | 6.1.1 | Animaux sauf mollusques | Frag | Petits fragments blanchis |
| 50N107E | 1 (0 - 3) | NE | | 1025 | 4.1 | Matières premières | éclat | 1 | 1 | 1.1.1.4 | Pierre dure, techno-témoin | Frag | 1 QTZ |
| 50N107E | 1 (0 - 3) | NE | | 1026 | 5.1.1 | Os | ossement | 1 | 1 | 6.1.1 | Animaux sauf mollusques | Frag | Petit fragment blanchi |
| 50N107E | 1 (0 - 3) | SW | | 1027 | 3.1.1 | Métaux et alliages ferreux | fragment ind. | 1 | 1 | 7.1 | Indéterminé | Frag | Petit fragment de crochet (?), corrodé |
| 50N107E | 1 (0 - 3) | SW | | 1028 | 5.1.1 | Os | ossement | 3 | ? | 6.1.1 | Animaux sauf mollusques | Frag | Petits fragments blanchis |
| 50N107E | 2a (3 - 10/11) | NW | | 1029 | 1.1.1.991 | Céramique de type autochtone | contenant (tpnd) | 1 | 1 | 4.99 | Consommation ind. | Frag | Petit tesson non décoré |
| 50N107E | 2a (3 - 10/11) | NW | | 1030 | 2.3.2.1 | Verre de couleur, opaque, blanc | perle | 1 | 1 | 4.4.6 | Parures et bijoux | Frag | Perle en verre blanc de type Ia5 |
| 50N107E | 2a (3 - 10/11) | NW | | 1031 | 5.1.1 | Os | ossement | 8 | ? | 6.1.1 | Animaux sauf mollusques | Frag | Petits fragments blanchis |
| 50N107E | 2a pr3 (37) | NE | 65N 54E | 1032 | 1.1.1.991 | Céramique de type autochtone | contenant (tpnd) | 1 | 1 | 4.99 | Consommation ind. | Frag | Petit tesson scarifié (?) |
| 50N107E | 2a pr3 (31) | NE | 78N 51E | 1033 | 1.1.1.991 | Céramique de type autochtone | contenant (tpnd) | 1 | 1 | 4.99 | Consommation ind. | Frag | Petit tesson non décoré avec résidus carbonisés |
| 50N107E | 2a pr3 (29) | NE | 94N 55E | 1034 | 1.1.1.991 | Céramique de type autochtone | contenant (tpnd) | 1 | 1 | 4.99 | Consommation ind. | Frag | Tesson de col non décoré avec résidus carbonisés |
| 50N107E | 2a (3 - 10/11) | NE | | 1035 | 1.1.1.991 | Céramique de type autochtone | contenant (tpnd) | 5 | ? | 4.99 | Consommation ind. | Frag | Petits tessons non décorés |
| 50N107E | 2a pr3 (31) | NE | 74N 69E | 1036 | 4.1 | Matières premières | grattoir | 1 | 1 | 1.1.1.1 | Pierre dure, outils | Frag | Fragment de grattoir en QTZ, 18x23mm. Seule une petite partie du front persiste |
| 50N107E | 2a (3 - 10/11) | NE | | 1037 | 5.1.1 | Os | ossement | 4 | ? | 6.1.1 | Animaux sauf mollusques | Frag | Petits fragments blanchis |
| 50N107E | 2a (3 - 10/11) | SE | | 1038 | 4.1 | Matières premières | éclat | 2 | 1 | 1.1.1.4 | Pierre dure, techno-témoin | Frag | 2 TRE (1 variante bleutée [CH-002 2021]) |
| 50N107E | 2a (3 - 10/11) | SE | | 1039 | 5.1.1 | Os | ossement | 7 | ? | 6.1.1 | Animaux sauf mollusques | Frag | Petits fragments blanchis |
| 50N107E | 2a pr3 (36) | SW | 11N 17E | 1040 | 1.1.1.991 | Céramique de type autochtone | contenant (tbd) | 1 | 1 | 4.99 | Consommation ind. | Frag | Tesson de bord décoré, UV9 |
| 50N107E | 2a pr3 (36) | SW | 13N 9E | 1041 | 1.1.1.991 | Céramique de type autochtone | contenant (tpd) | 1 | 1 | 4.99 | Consommation ind. | Frag | Tesson décoré, UV9 |
| 50N107E | 2a (3 - 10/11) | SW | | 1042 | 1.1.1.991 | Céramique de type autochtone | contenant (tpnd) | 4 | ? | 4.99 | Consommation ind. | Frag | Petits tessons non décorés |
| 50N107E | 2a (3 - 10/11) | SW | | 1043 | 4.1 | Matières premières | éclat | 4 | 3 | 1.1.1.4 | Pierre dure, techno-témoin | Frag | 1 QTZ, 1 ONO, 2 TRE |
| 50N107E | 2a (3 - 10/11) | SW | | 1044 | 5.1.1 | Os | ossement | 4 | ? | 6.1.1 | Animaux sauf mollusques | Frag | Petits fragments blanchis |
| 50N107E | 2b pr3 (46) | NW | 62N 15E | 1045 | 1.1.1.991 | Céramique de type autochtone | contenant (tpd) | 1 | 1 | 4.99 | Consommation ind. | Frag | Tesson décoré, jointif à 1046 |
| 50N107E | 2b (10/11 - 20/23) | NW | | 1046 | 1.1.1.991 | Céramique de type autochtone | contenant (tpd) | 3 | 1 | 4.99 | Consommation ind. | Frag | Petits tessons décorés, 1 tesson jointif à 1045 |
| 50N107E | 2b (10/11 - 20/23) | NW | | 1047 | 1.1.1.991 | Céramique de type autochtone | contenant (tpd) | 1 | 1 | 4.99 | Consommation ind. | Frag | Petit tesson décoré, UV9 |
| 50N107E | 2b (10/11 - 20/23) | NW | | 1048 | 1.1.1.991 | Céramique de type autochtone | contenant (tpnd) | 2 | ? | 4.99 | Consommation ind. | Frag | Tessons non décorés |
| 50N107E | 2b (10/11 - 20/23) | NW | | 1049 | 4.1 | Matières premières | éclat | 3 | 3 | 1.1.1.4 | Pierre dure, techno-témoin | Frag | 1 CHC001, 1 TRE, 1 ONO |
| 50N107E | 2b (10/11 - 20/23) | NW | | 1050 | 3.1.2 | Métaux et alliages cuivreux | oeillet | 1 | 1 | 7.1 | Indéterminé | Ent | Oeillet de bêche (?) |
| 50N107E | 2b (10/11 - 20/23) | NW | | 1051 | 2.2.1 | Verre teinté régulier | vitre | 1 | 1 | 4.7.1.1 | Matériaux de base - vitre | Frag | Petit tesson, ép. 2,3 mm |
| 50N107E | 2b (10/11 - 20/23) | NW | | 1052 | 2.1.1 | Verre incolore, sans plomb | vitre | 1 | 1 | 4.7.1.1 | Matériaux de base - vitre | Frag | Petit tesson de vitre (?), ép. 1,7 mm |
| 50N107E | 2b (10/11 - 20/23) | NW | | 1053 | 2.2.1.5 | Verre teinté, régulier, rose | fragment ind. | 1 | 1 | 7.1 | Indéterminé | Frag | Petit tesson incurvé, ép. 2 mm |
| 50N107E | 2b (10/11 - 20/23) | NW | | 1054 | 2.3.1.10 | Verre de couleur, transparent, brun | bouteille | 1 | 1 | 4.2.1.2 | Boissons, conservation/entreposage | Frag | Tesson incurvé en verre à bouteille, ép. 2,3 mm |
| 50N107E | 2b (10/11 - 20/23) | NW | | 1055 | 5.1.1 | Os | ossement | 46 | ? | 6.1.1 | Animaux sauf mollusques | Frag | Petits fragments blanchis |
| 50N107E | 2b (10/11 - 20/23) | NE | | 1056 | 1.1.1.991 | Céramique de type autochtone | contenant (tbd) | 1 | 1 | 4.99 | Consommation ind. | Frag | Petit tesson de bord décoré, semblable à 277 (2021), UV6 |
| 50N107E | 2b pr3 (38) | NE | 84N 70E | 1057 | 1.1.1.991 | Céramique de type autochtone | contenant (tpd) | 1 | 1 | 4.99 | Consommation ind. | Frag | Tesson décoré, UV9 |
| 50N107E | 2b (10/11 - 20/23) | NE | | 1058 | 1.1.1.991 | Céramique de type autochtone | contenant (tpd) | 1 | 1 | 4.99 | Consommation ind. | Frag | Tesson décoré, UV9 |
| 50N107E | 2b (10/11 - 20/23) | NE | | 1059 | 1.1.1.991 | Céramique de type autochtone | contenant (tpd) | 1 | 1 | 4.99 | Consommation ind. | Frag | Tesson décoré |
| 50N107E | 2b (10/11 - 20/23) | NE | | 1060 | 1.1.1.991 | Céramique de type autochtone | contenant (tpnd) | 1 | 1 | 4.99 | Consommation ind. | Frag | Petit tesson non décoré |
| 50N107E | 2b (10/11 - 20/23) | NE | | 1061 | 4.1 | Matières premières | grattoir | 1 | 1 | 1.1.1.1 | Pierre dure, outils | Frag | Fragment de micro grattoir unimarginal sur éclat en QTZH, 13x11mm |
| 50N107E | 2b (10/11 - 20/23) | NE | | 1062 | 4.1 | Matières premières | éclat | 6 | 4 | 1.1.1.4 | Pierre dure, techno-témoin | Frag | 1 QTZH, 2 ONO, 2 CH000, 1 CHC001 |
| 50N107E | 2b (10/11 - 20/23) | NE | | 1063 | 2.2.1.5 | Verre teinté, régulier, rose | bouteille | 1 | 1 | 4.2.1.2 | Boissons, conservation/entreposage | Frag | Tesson incurvé, ép. 4,3 mm |
| 50N107E | 2b (10/11 - 20/23) | NE | | 1064 | 5.1.1 | Os | ossement | 34 | ? | 6.1.1 | Animaux sauf mollusques | Frag | Petits fragments blanchis, quelques-uns avec teinte grise-bleutée |
| 50N107E | 2b (10/11 - 20/23) | SE | | 1065 | 1.1.1.991 | Céramique de type autochtone | contenant (tpd) | 1 | 1 | 4.99 | Consommation ind. | Frag | Tesson scarifié et décoré (?) |
| 50N107E | 2b (10/11 - 20/23) | SE | | 1066 | 1.1.1.991 | Céramique de type autochtone | contenant (tpnd) | 2 | ? | 4.99 | Consommation ind. | Frag | Tessons scarifiés |
| 50N107E | 2b (10/11 - 20/23) | SE | | 1067 | 4.1 | Matières premières | éclat | 4 | 2 | 1.1.1.4 | Pierre dure, techno-témoin | Frag | 3 TRE, 1 CHAPH brun |
| 50N107E | 2b (10/11 - 20/23) | SE | | 1068 | 3.1.1.13 | Métal ferreux, fer trefflé | clou | 1 | 1 | 4.7.2.3 | Fixations - clous | Ent | Clou trefflé corrodé, 7,8 cm de long |
| 50N107E | 2b (10/11 - 20/23) | SE | | 1069 | 1.1.2.61 | Terre cuite fine blanche | article de vaisselle ind. | 1 | 1 | 4.1.99 | Alimentation indéterminée | Frag | Petit tesson à glaçure incolore et décor imprimé bleu |

| Puits/sond. | Niveau/Prof. | Quadrant | Loc. | No. cat. | Code mat. | Matériau | Objet | Nb. frag. | Nb. obj. | Code fonction | Fonction | Intégrité | Commentaires |
|-------------|--------------------|----------|---------|----------|-----------|---|------------------------|-----------|----------|---------------|------------------------------------|-----------|---|
| 50N107E | 2b (10/11 - 20/23) | SE | | 1070 | 2.3.2.1 | Verre de couleur, opaque, blanc | perle | 1 | 1 | 4.4.6 | Parures et bijoux | Frag | Perle en verre blanc de type Ia5 |
| 50N107E | 2b (10/11 - 20/23) | SE | | 1071 | 5.1.1 | Os | ossement | 14 | ? | 6.1.1 | Animaux sauf mollusques | Frag | Petits fragments blanchis |
| 50N107E | 2b (10/11 - 20/23) | SW | | 1072 | 1.1.1.991 | Céramique de type autochtone | contenant (tpnd) | 1 | 1 | 4.99 | Consommation ind. | Frag | Petit tesson non décoré |
| 50N107E | 2b pr3 (38) | SW | 32N 8E | 1073 | 4.1 | Matières premières | outil | 1 | 1 | 1.1.1.1 | Pierre dure, outils | Frag | Grattoir (?) en QTZ, 28x16mm |
| 50N107E | 2b (10/11 - 20/23) | SW | | 1074 | 4.1 | Matières premières | grattoir | 1 | 1 | 1.1.1.1 | Pierre dure, outils | Frag | Fragment distal de grattoir en ONO, 17x8mm |
| 50N107E | 2b (10/11 - 20/23) | SW | | 1075 | 4.1 | Matières premières | éclat | 2 | 1 | 1.1.1.4 | Pierre dure, techno-témoin | Frag | 2 TRE |
| 50N107E | 2b (10/11 - 20/23) | SW | | 1076 | 5.1.1 | Os | ossement | 13 | ? | 6.1.1 | Animaux sauf mollusques | Frag | Petits fragments blanchis |
| 50N107E | 3a (20/23 - 24/33) | NW | | 1077 | 4.1 | Matières premières | éclat | 1 | 1 | 1.1.1.4 | Pierre dure, techno-témoin | Frag | TRE |
| 50N107E | 3a (20/23 - 24/33) | NW | | 1078 | 5.1.1 | Os | ossement | 7 | ? | 6.1.1 | Animaux sauf mollusques | Frag | Petits fragments blanchis |
| 50N107E | 3a (20/23 - 24/33) | NE | | 1079 | 5.1.1 | Os | ossement | 7 | ? | 6.1.1 | Animaux sauf mollusques | Frag | Petits fragments blanchis |
| 50N107E | 3a (20/23 - 24/33) | SE | | 1080 | 4.1 | Matières premières | éclat | 2 | 2 | 1.1.1.4 | Pierre dure, techno-témoin | Frag | 1 TRE, 1 CH000 fin brun foncé rubané (voir cas_part_2022) |
| 50N107E | 3a (20/23 - 24/33) | SE | | 1081 | 5.1.1 | Os | ossement | 5 | ? | 6.1.1 | Animaux sauf mollusques | Frag | Petits fragments blanchis |
| 50N107E | 3a (20/23 - 24/33) | SW | | 1082 | 4.1 | Matières premières | éclat | 1 | 1 | 1.1.1.4 | Pierre dure, techno-témoin | Frag | QTZH |
| 50N107E | 3a (20/23 - 24/33) | SW | | 1083 | 5.1.1 | Os | ossement | 3 | ? | 6.1.1 | Animaux sauf mollusques | Frag | Petits fragments blanchis |
| 50N107E | 4 (24 - 33) | SE | | 1084 | 4.1 | Matières premières | éclat | 1 | 1 | 1.1.1.4 | Pierre dure, techno-témoin | Frag | QTZ |
| 50N107E | 4 (24 - 33) | SE | | 1085 | 5.1.1 | Os | ossement | 6 | ? | 6.1.1 | Animaux sauf mollusques | Frag | Petits fragments blanchis |
| 50N107E | 4 pr3 (56) | SE | 4N 54E | 1086 | 5.1.6 | Charbon | échantillon de charbon | 1 | 1 | 7.4 | Témoins de combustion | Frag | Échantillon de charbon probablement associé à la même structure de foyer que celle identifiée dans le puits 49N-107E (10-30 cm) en 2017 |
| 50N116E | 1 (0 - 10/11) | SE | | 1087 | 1.1.1.991 | Céramique de type autochtone | contenant (tpnd) | 1 | 1 | 4.99 | Consommation ind. | Frag | Petit tesson non décoré |
| 50N116E | 1 (0 - 10/11) | SE | | 1088 | 4.1 | Matières premières | éclat | 8 | 3 | 1.1.1.4 | Pierre dure, techno-témoin | Frag | 6 QTZ, 1 CH000 gris, 1 CHAPH beige |
| 50N116E | 1 (0 - 10/11) | SE | | 1089 | 2.3.1.1 | Verre de couleur, transparent, vert foncé | bouteille | 1 | 1 | 4.2.1.2 | Boissons, conservation/entreposage | Frag | Petit tesson de verre à bouteille |
| 50N116E | 1 (0 - 10/11) | SE | | 1090 | 5.1.1 | Os | ossement | 12 | ? | 6.1.1 | Animaux sauf mollusques | Frag | Petits fragments blanchis |
| 50N116E | 2a (10/11 - 20) | SE | | 1711 | 1.1.1.991 | Céramique de type autochtone | contenant (tpd) | 1 | 1 | 4.99 | Consommation ind. | Frag | Tesson décoré, potentiellement associable à UV11 |
| 50N116E | 2a (10/11 - 20) | SE | | 1712 | 1.1.1.991 | Céramique de type autochtone | contenant (tpd) | 1 | 1 | 4.99 | Consommation ind. | Frag | Tesson décoré, potentiellement associable à UV22 |
| 50N116E | 2a (10/11 - 20) | SE | | 1091 | 1.1.1.991 | Céramique de type autochtone | contenant (tpd) | 7 | ? | 4.99 | Consommation ind. | Frag | Tessons décorés, 5 décorés à la cordelette ou traités au battoir cordé |
| 50N116E | 2a (10/11 - 20) | SE | | 1092 | 1.1.1.991 | Céramique de type autochtone | contenant (tpnd) | 48 | ? | 4.99 | Consommation ind. | Frag | Tessons non décorés, au moins 2 scarifiés, plusieurs avec résidu carbonisés sur paroi interne, quelques grenailles |
| 50N116E | 2a (10/11 - 20) | SE | | 1093 | 4.1 | Matières premières | éclat | 27 | 6 | 7.1 | Indéterminé | Frag | 7 QTZ, 2 QTZH gris, 4 CH000, 8 TRE, 5 ONO, 1 ONT001 |
| 50N116E | 2a (10/11 - 20) | SE | | 1094 | 3.1.1.12 | Métal ferreux, fer laminé | clou | 1 | 1 | 4.7.2.3 | Fixations - clous | Ent | Clou découpé corrodé, 5,8 cm de long |
| 50N116E | 2a (10/11 - 20) | SE | | 1095 | 5.1.1 | Os | ossement | 47 | ? | 6.1.1 | Animaux sauf mollusques | Frag | Petit fragments blanchis (1 rotule?) |
| 50N116E | 2a (10/11 - 20) | SE | | 1096 | 5 | Matières organiques | écale de noix | 2 | ? | 6.2 | Végétaux | Frag | Fragments carbonisés d'écale de noix potentiellement identifiables |
| 50N116E | 2b (26) | SE | 39N 59E | 1097 | 1.1.1.991 | Céramique de type autochtone | contenant (tbd) | 1 | 1 | 4.99 | Consommation ind. | Frag | Tesson de bord décoré, forme des empreintes semblable à 479 (2021) |
| 50N116E | 2b (29) | SE | 25N 63E | 1098 | 1.1.1.991 | Céramique de type autochtone | contenant (tpd) | 1 | 1 | 4.99 | Consommation ind. | Frag | Tesson décoré, même unité de vase que 1111, potentiellement associable à UV11 |
| 50N116E | 2b (21) | SE | 6N 96E | 1099 | 1.1.1.991 | Céramique de type autochtone | contenant (tpd) | 1 | 1 | 4.99 | Consommation ind. | Frag | Tesson décoré |
| 50N116E | 2b (21) | SE | 8N 95E | 1100 | 1.1.1.991 | Céramique de type autochtone | contenant (tpd) | 3 | 1 | 4.99 | Consommation ind. | Frag | Tessons décorés, même unité de vase que 1101, 1103, 1104, 1105 et 1112 |
| 50N116E | 2b (28) | SE | 22N 93E | 1101 | 1.1.1.991 | Céramique de type autochtone | contenant (tpd) | 2 | 1 | 4.99 | Consommation ind. | Frag | Tessons décorés, même unité de vase que 1100, 1103, 1104, 1105 et 1112 |
| 50N116E | 2b (28) | SE | 38N 86E | 1102 | 1.1.1.991 | Céramique de type autochtone | contenant (tpd) | 1 | 1 | 4.99 | Consommation ind. | Frag | Tesson décoré, probablement même unité de vase que 1714 |
| 50N116E | 2b (28) | SE | 22N 93E | 1103 | 1.1.1.991 | Céramique de type autochtone | contenant (tpd) | 1 | 1 | 4.99 | Consommation ind. | Frag | Petit tesson décoré, même unité de vase que 1100, 1101, 1104, 1105 et 1112 |
| 50N116E | 2b (29) | SE | 25N 93E | 1104 | 1.1.1.991 | Céramique de type autochtone | contenant (tpd) | 1 | 1 | 4.99 | Consommation ind. | Frag | Tesson décoré, même unité de vase que 1100, 1101, 1103, 1105 et 1112 |
| 50N116E | 2b (20 - 26/30) | SE | | 1105 | 1.1.1.991 | Céramique de type autochtone | contenant (tpd) | 5 | 1 | 4.99 | Consommation ind. | Frag | Tessons décorés, même unité de vase que 1100, 1101, 1103, 1104 et 1112 |
| 50N116E | 2b (20 - 26/30) | SE | | 1714 | 1.1.1.991 | Céramique de type autochtone | contenant (tpd) | 2 | 1 | 4.99 | Consommation ind. | Frag | Tessons décorés, probablement même unité de vase que 1102 |
| 50N116E | 2b (20 - 26/30) | SE | | 1715 | 1.1.1.991 | Céramique de type autochtone | contenant (tpd) | 2 | ? | 4.99 | Consommation ind. | Frag | Tessons décorés, 1 décoré à la cordelette ou traité au battoir cordé, 1 potentiellement associable à UV11 |
| 50N116E | 2b (20 - 26/30) | SE | | 1106 | 1.1.1.991 | Céramique de type autochtone | contenant (tpd) | 28 | ? | 4.99 | Consommation ind. | Frag | Tessons non décorés, 1 scarifié, 1 brisé accidentellement en 2 fragments |
| 50N116E | 2b (24) | SE | 44N 96E | 1107 | 4.1 | Matières premières | grattoir | 1 | 1 | 1.1.1.1 | Pierre dure, outils | Ent | Grattoir unimarginal sur éclat avec retouches latérales, en TRE rubané, 20x22mm |
| 50N116E | 2b (30) | SE | 36N 60E | 1108 | 4.1 | Matières premières | pierre polie | 1 | 1 | 1.1.2.1 | Pierre tendre, outils | Frag | Fragment de pierre polie, 56x10mm |
| 50N116E | 2b (20 - 26/30) | SE | | 1109 | 4.1 | Matières premières | éclat | 50 | 5 | 1.1.1.4 | Pierre dure, techno-témoin | Frag | 38 QTZ, 5 CH000, 5 ONO, 1 ONT001, 1 CHAPH gris tacheté de blanc |
| 50N116E | 2b (20 - 26/30) | SE | | 1110 | 5.1.1 | Os | ossement | 29 | ? | 6.1.1 | Animaux sauf mollusques | Frag | Petits fragments blanchis |
| 50N116E | 2c (32) | SE | 49N 71E | 1111 | 1.1.1.991 | Céramique de type autochtone | contenant (tpd) | 1 | 1 | 4.99 | Consommation ind. | Frag | Tesson décoré, même unité de vase que 1098, potentiellement associable à UV11 |
| 50N116E | 2c (33) | SE | 47N 82E | 1112 | 1.1.1.991 | Céramique de type autochtone | contenant (tpd) | 1 | 1 | 4.99 | Consommation ind. | Frag | Tesson décoré, même unité de vase que 1100, 1101, 1103, 1104 et 1105 |
| 50N116E | 2c (30 - 32/40) | SE | | 1113 | 1.1.1.991 | Céramique de type autochtone | contenant (tpd) | 2 | ? | 4.99 | Consommation ind. | Frag | Petits tessons décorés |
| 50N116E | 2c (30 - 32/40) | SE | | 1114 | 4.1 | Matières premières | grattoir | 1 | 1 | 1.1.1.1 | Pierre dure, outils | Frag | Micro fragment de grattoir en QTZH, 9x2mm |
| 50N116E | 2c (30 - 32/40) | SE | | 1115 | 4.1 | Matières premières | éclat | 12 | 6 | 1.1.1.4 | Pierre dure, techno-témoin | Frag | 4 QTZ, 1 QTZH, 1 MISTA, 2 CH039, 3 CHAPH brun (un foncé, silic européen?), 1 CH000 |
| 50N116E | 2c (30 - 32/40) | SE | | 1116 | 5.1.1 | Os | ossement | 31 | ? | 6.1.1 | Animaux sauf mollusques | Frag | Petits fragments blanchis |
| 50N116E | 2c (30 - 32/40) | SE | | 1117 | 4.1 | Matières premières | minéral ind. | 2 | ? | 1.3.97.2 | Indéterminé, résidus | Frag | Matière minérale rouge, possiblement ocre, 1 fragment réduit en poudre pour confirmer aspect pigment |

| Puits/sond. | Niveau/Prof. | Quadrant | Loc. | No. cat. | Code mat. | Matériau | Objet | Nb. frag. | Nb. obj. | Code fonction | Fonction | Intégrité | Commentaires |
|-------------|--------------------|----------|---------|----------|-----------|------------------------------|------------------------|-----------|----------|---------------|--|-----------|--|
| 50N116E | 2c (36) | SE | 44N 85E | 1118 | 5 | Matières organiques | échantillon de sol | 1 | 1 | 1.3.97.2 | Indéterminé, résidus | Frag | Échantillon de sol |
| 50N116E | 3a (26 - 40) | SE | | 1119 | 5.1.1 | Os | ossement | 10 | ? | 6.1.1 | Animaux sauf mollusques | Frag | Petits fragments blanchis, 1 avec teinte grise-bleutée |
| 51N102E | 1a (0 - 10) | NE | | 1120 | 4.1 | Matières premières | éclat | 1 | 1 | 1.1.1.4 | Pierre dure, techno-témoin | Frag | CH000 brun grisâtre |
| 51N102E | 1a (0 - 10) | NE | | 1121 | 5.1.1 | Os | ossement | 1 | 1 | 6.1.1 | Animaux sauf mollusques | Frag | Petit fragment blanchi |
| 51N102E | 1a (0 - 10) | SE | | 1122 | 1.1.1.991 | Céramique de type autochtone | contenant (tpd) | 2 | ? | 4.99 | Consommation ind. | Frag | Petits tessons décorés |
| 51N102E | 1a (0 - 10) | SE | | 1123 | 1.1.1.991 | Céramique de type autochtone | contenant (tpnd) | 4 | ? | 4.99 | Consommation ind. | Frag | Petits tessons non décorés, 2 scarifiés |
| 51N102E | 1a (0 - 10) | SE | | 1124 | 4.1 | Matières premières | éclat | 5 | 4 | 1.1.1.4 | Pierre dure, techno-témoin | Frag | 1 QTZ, 1 QTZH, 1 ONO, 2 CHC001 |
| 51N102E | 1a (0 - 10) | SE | | 1125 | 5.1.1 | Os | ossement | 37 | ? | 6.1.1 | Animaux sauf mollusques | Frag | Petits fragments blanchis, plusieurs avec teinte grise-bleutée |
| 51N102E | 1b (10 - 18/22) | NE | | 1126 | 1.1.1.991 | Céramique de type autochtone | contenant (tbd) | 1 | 1 | 4.99 | Consommation ind. | Frag | Fragment deèvre décorée, UV21 |
| 51N102E | 1b (10 - 18/22) | NE | | 1127 | 1.1.1.991 | Céramique de type autochtone | contenant (tpd) | 1 | 1 | 4.99 | Consommation ind. | Frag | Tessons décorés, UV9 |
| 51N102E | 1b (10 - 18/22) | NE | | 1128 | 1.1.1.991 | Céramique de type autochtone | contenant (tpd) | 1 | 1 | 4.99 | Consommation ind. | Frag | Tesson décoré, UV10 |
| 51N102E | 1b (10 - 18/22) | NE | | 1129 | 1.1.1.991 | Céramique de type autochtone | contenant (tpd) | 1 | 1 | 4.99 | Consommation ind. | Frag | Tesson décoré, semblable à UV11 et autres |
| 51N102E | 1b (10 - 18/22) | NE | | 1716 | 1.1.1.991 | Céramique de type autochtone | contenant (tpd) | 2 | 1 | 4.99 | Consommation ind. | Frag | Tessons décorés |
| 51N102E | 1b (10 - 18/22) | NE | | 1717 | 1.1.1.991 | Céramique de type autochtone | contenant (tpd) | 5 | 1 | 4.99 | Consommation ind. | Frag | Tessons décorés, 2 jointifs, UV18 |
| 51N102E | 1b (10 - 18/22) | NE | | 1130.1 | 1.1.1.991 | Céramique de type autochtone | contenant (tpd) | 7 | 1 | 4.99 | Consommation ind. | Frag | Tessons décorés, 3 décorés à la cordelette ou traités au battoir cordé, potentiellement associables à UV18 |
| 51N102E | 1b (10 - 18/22) | NE | | 1130.2 | 1.1.1.991 | Céramique de type autochtone | contenant (tpd) | 1 | 1 | 4.99 | Consommation ind. | Frag | Tesson décoré, potentiellement associable à UV18 |
| 51N102E | 1b (10 - 18/22) | NE | | 1130.3 | 1.1.1.991 | Céramique de type autochtone | contenant (tpd) | 10 | ? | 4.99 | Consommation ind. | Frag | Tessons décorés à la cordelette ou traités au battoir cordé |
| 51N102E | 1b (10 - 18/22) | NE | | 1131 | 1.1.1.991 | Céramique de type autochtone | contenant (tpnd) | 43 | ? | 4.99 | Consommation ind. | Frag | Tessons non décorés, 3 scarifiés |
| 51N102E | 1b (10 - 18/22) | NE | | 1132 | 4.1 | Matières premières | grattoir | 1 | 1 | 1.1.1.1 | Pierre dure, outils | Frag | Petit grattoir unimarginal sur éclat en ONO, 12x10mm |
| 51N102E | 1b (10 - 18/22) | NE | | 1133 | 4.1 | Matières premières | éclat | 8 | 4 | 1.1.1.4 | Pierre dure, techno-témoin | Frag | 1 QTZT gris pâle à grain moyen, 4 TRE, 2 ONO, 1 CHAPH gris foncé (avec cortex?) |
| 51N102E | 1b (10 - 18/22) | NE | | 1134 | 3.1.1.13 | Métal ferreux, fer tréfilé | clou | 1 | 1 | 4.7.2.3 | Fixations - clous | Ent | Clou tréfilé corrodé, environ 6.4 cm de long |
| 51N102E | 1b (10 - 18/22) | SE | | 1135 | 1.1.1.991 | Céramique de type autochtone | contenant (tpd) | 2 | 1 | 4.99 | Consommation ind. | Frag | Tesson décoré, semblable à UV11 et autres |
| 51N102E | 1b (10 - 18/22) | SE | | 1136 | 1.1.1.991 | Céramique de type autochtone | contenant (tpd) | 1 | 1 | 4.99 | Consommation ind. | Frag | Tesson décoré, même unité de vase que 656 (2021) |
| 51N102E | 1b (10 - 18/22) | SE | | 1137 | 1.1.1.991 | Céramique de type autochtone | contenant (tpd) | 9 | 1 | 4.99 | Consommation ind. | Frag | Tessons décorés, UV18 |
| 51N102E | 1b (10 - 18/22) | SE | | 1138 | 1.1.1.991 | Céramique de type autochtone | contenant (tpd) | 2 | 1 | 4.99 | Consommation ind. | Frag | Tessons décorés, UV17 |
| 51N102E | 1b (10 - 18/22) | SE | | 1139.1 | 1.1.1.991 | Céramique de type autochtone | contenant (tpd) | 1 | 1 | 4.99 | Consommation ind. | Frag | Petit tesson décoré |
| 51N102E | 1b (10 - 18/22) | SE | | 1139.2 | 1.1.1.991 | Céramique de type autochtone | contenant (tpd) | 8 | ? | 4.99 | Consommation ind. | Frag | Tessons décorés, 5 décorés à la cordelette ou traités au battoir cordé |
| 51N102E | 1b (10 - 18/22) | SE | | 1140 | 1.1.1.991 | Céramique de type autochtone | contenant (tpnd) | 20 | ? | 4.99 | Consommation ind. | Frag | Tessons non décorés, 1 scarifié, 1 brisé accidentellement en 2 fragments |
| 51N102E | 1b (10 - 18/22) | SE | | 1141 | 4.1 | Matières premières | outil | 1 | 1 | 1.1.1.1 | Pierre dure, outils | Ent | Fragment d'outil indéterminé en QTZ, 17x14mm |
| 51N102E | 1b (10 - 18/22) | SE | | 1142 | 4.1 | Matières premières | grattoir | 1 | 1 | 1.1.1.1 | Pierre dure, outils | Frag | Fragment de grattoir multimarginal en TRE, 9x15mm |
| 51N102E | 1b (10 - 18/22) | SE | | 1143 | 4.1 | Matières premières | éclat | 16 | 6 | 1.1.1.4 | Pierre dure, techno-témoin | Frag | 7 QTZ, 1 METAM brun (frac. subconch), 2 ONO, 2 ONT001, 2 TRE, 2 CHC001 |
| 51N102E | 1b (10 - 18/22) | SE | | 1536 | 5.1.1 | Os | os travaillé | 1 | 1 | 1.1.3.4 | Solide stable d'origine organique, techno-témoin | Frag | Fragment d'os blanchi, rainuré sur les deux parois, même objet que cat. 1529, 1535 et 1543 |
| 51N102E | 1b (10 - 18/22) | SE | | 1144 | 5.1.1 | Os | ossement | 2 | ? | 6.1.1 | Animaux sauf mollusques | Frag | Fragments écrus |
| 51N102E | 1b (10 - 18/22) | SE | | 1145 | 5.1.1 | Os | ossement | 1241 | ? | 6.1.1 | Animaux sauf mollusques | Frag | Petits fragments blanchis, quelques os complets potentiellement identifiables, plusieurs avec teinte grise-bleutée |
| 51N102E | 1b (10 - 18/22) | SE | | 1146 | 4.1 | Matières premières | minéral ind. | 2 | ? | 1.3.97.2 | Indéterminé, résidus | Frag | Matière minérale rouge, possiblement ocre, 1 fragment brisé en 2 en laboratoire |
| 51N102E | 1c pr4 (41) | NE | 76N 50E | 1147 | 1.1.1.991 | Céramique de type autochtone | contenant (tpd) | 1 | 1 | 4.99 | Consommation ind. | Frag | Tesson de col décoré |
| 51N102E | 1c (18/22 - 19/32) | NE | | 1148 | 1.1.1.991 | Céramique de type autochtone | contenant (tpd) | 4 | ? | 4.99 | Consommation ind. | Frag | Tessons décorés |
| 51N102E | 1c (18/22 - 19/32) | NE | | 1149 | 1.1.1.991 | Céramique de type autochtone | contenant (tpnd) | 1 | 1 | 4.99 | Consommation ind. | Frag | Tesson non décoré |
| 51N102E | 1c (18/22 - 19/32) | NE | | 1150 | 4.1 | Matières premières | éclat | 8 | 7 | 1.1.1.4 | Pierre dure, techno-témoin | Frag | 1 QTZ, 1 MISTA, 2 QTZT chauffé (blanc), 1 ONO, 1 ONT001 (gros éclat de référence), 1 TRE, 1 CHC001 |
| 51N102E | 1c (18/22 - 19/32) | NE | | 1151 | 5.1.1 | Os | ossement | 590 | ? | 6.1.1 | Animaux sauf mollusques | Frag | Petits fragments blanchis, plusieurs avec teinte grise-bleutée, certains potentiellement identifiables, une vertèbre de poisson ? |
| 51N102E | 1c (18/22 - 19/32) | NE | | 1152 | 5.1.1 | Os | ossement | 24 | ? | 6.1.1 | Animaux sauf mollusques | Frag | Fragments écrus |
| 51N102E | 1c (18/22 - 19/32) | NE | | 1153 | 5.2.3 | Bois | fragment | 1 | 1 | 7.4 | Témoins de combustion | Frag | Fragment de bois partiellement carbonisé, espèce identifiable ? |
| 51N102E | 1c pr4 (38) | NE | 57N 60E | 1154 | 5.1.6 | Charbon | échantillon de charbon | 1 | 1 | 7.4 | Témoins de combustion | Frag | Échantillon de charbon (#1) récolté au travers d'une riche concentration d'os (1000+) et de céramique dans une couche de sol noir très organique, les échantillons #1 et #3 sont associés à la structure de foyer et pourraient être combinés pour en faire un échantillon plus substantiel (car petits fragments) |
| 51N102E | 1c pr4 (40) | NE | 60N 70E | 1155 | 5 | Matières organiques | échantillon de sol | 1 | 1 | 1.3.97.2 | Indéterminé, résidus | Frag | Échantillon de sol (#2) |
| 51N102E | 1c (18/22 - 19/32) | SE | | 1718 | 1.1.1.991 | Céramique de type autochtone | contenant (tpd) | 1 | 1 | 4.99 | Consommation ind. | Frag | Tesson décoré, UV22 |
| 51N102E | 1c (18/22 - 19/32) | SE | | 1719 | 1.1.1.991 | Céramique de type autochtone | contenant (tpd) | 1 | 1 | 4.99 | Consommation ind. | Frag | Petit tesson décoré, potentiellement même unité de vase que 1136 et 656 (2021) |
| 51N102E | 1c (18/22 - 19/32) | SE | | 1720 | 1.1.1.991 | Céramique de type autochtone | contenant (tpd) | 26 | 1 | 4.99 | Consommation ind. | Frag | Tessons décorés, UV18 |

| Puits/sond. | Niveau/Prof. | Quadrant | Loc. | No. cat. | Code mat. | Matériau | Objet | Nb. frag. | Nb. obj. | Code fonction | Fonction | Intégrité | Commentaires |
|-------------|--------------------|--------------|---------|----------|-----------|------------------------------|------------------------|-----------|----------|---------------|----------------------------|-----------|--|
| 51N102E | 1c (18/22 - 19/32) | SE | | 1156 | 1.1.1.991 | Céramique de type autochtone | contenant (tpd) | 3 | 1 | 4.99 | Consommation ind. | Frag | Tessons décorés, UV18 |
| 51N102E | 1c (18/22 - 19/32) | SE | | 1157 | 1.1.1.991 | Céramique de type autochtone | contenant (tpnd) | 24 | ? | 4.99 | Consommation ind. | Frag | Tessons non décorés, 3 scarifiés |
| 51N102E | 1c (18/22 - 19/32) | SE | | 1158 | 4.1 | Matières premières | grattoir | 1 | 1 | 1.1.1.1 | Pierre dure, outils | Ent | Micro grattoir unimarginal sur éclat en ONO, 9x9mm |
| 51N102E | 1c (18/22 - 19/32) | SE | | 1159 | 4.1 | Matières premières | éclat | 4 | 4 | 1.1.1.4 | Pierre dure, techno-témoin | Frag | 1 MISTA, 1 ONO, 1 CHAPH gris, 1 CH000 gris foncé |
| 51N102E | 1c (18/22 - 19/32) | SE | | 1160 | 5.1.1 | Os | ossement | 564 | ? | 6.1.1 | Animaux sauf mollusques | Frag | Petits fragments blanchis, plusieurs avec teinte grise-bleutée, 3 fragments de phalange/métapode, certains os potentiellement identifiables, 1 fragment de coquille de mollusque ? |
| 51N102E | 1c (18/22 - 19/32) | SE | | 1161 | 5.1.1 | Os | ossement | 13 | ? | 6.1.1 | Animaux sauf mollusques | Frag | Fragments écroulés et partiellement carbonisés |
| 51N102E | 1c pr4 (44) | SE | 33N 57E | 1162 | 5.1.6 | Charbon | échantillon de charbon | 1 | 1 | 7.4 | Témoins de combustion | Frag | Échantillon de charbon (#3) récolté au travers d'une riche concentration d'os (1000+) et de céramique dans une couche de sol noir très organique, les échantillons #1 et #3 sont associés à la structure de foyer et pourraient être combinés pour en faire un échantillon plus substantiel (car petits fragments) |
| 51N102E | 2 (14 - 22) | NE | | 1163 | 5.1.1 | Os | ossement | 5 | ? | 6.1.1 | Animaux sauf mollusques | Frag | Petits fragments blanchis |
| 51N102E | 2 (14 - 22) | SE | | 1164 | 1.1.1.991 | Céramique de type autochtone | contenant (tpnd) | 1 | 1 | 4.99 | Consommation ind. | Frag | Tesson scarifié sur paroi interne, paroi externe exfoliée |
| 51N102E | 2 (14 - 22) | SE | | 1165 | 5.1.1 | Os | ossement | 10 | ? | 6.1.1 | Animaux sauf mollusques | Frag | Petits fragments blanchis, quelques-uns avec teinte grise-bleutée |
| 51N102E | 3a (22/32 - 24/42) | NE | | 1166 | 4.1 | Matières premières | éclat | 1 | 1 | 1.1.1.4 | Pierre dure, techno-témoin | Frag | MISTA |
| 51N102E | 3a (22/32 - 24/42) | NE | | 1167 | 5.1.1 | Os | ossement | 19 | ? | 6.1.1 | Animaux sauf mollusques | Frag | Petits fragments blanchis |
| 51N102E | 3a (22/32 - 24/42) | SE | | 1168 | 1.1.1.991 | Céramique de type autochtone | contenant (tpd) | 1 | 1 | 4.99 | Consommation ind. | Frag | Petit tesson décoré, même unité de vase que 1719 |
| 51N102E | 3a (22/32 - 24/42) | SE | | 1169 | 1.1.1.991 | Céramique de type autochtone | contenant (tpnd) | 1 | 1 | 4.99 | Consommation ind. | Frag | Petit tesson non décoré |
| 51N102E | 3a (22/32 - 24/42) | SE | | 1170 | 4.1 | Matières premières | outil | 1 | 1 | 1.1.1.1 | Pierre dure, outils | Ent | Pièce esquillée en QTZT à grain moyen gris enfumé, 16x15mm |
| 51N102E | 3a (22/32 - 24/42) | SE | | 1171 | 4.1 | Matières premières | éclat | 6 | 1 | 1.1.1.4 | Pierre dure, techno-témoin | Frag | MISTA |
| 51N102E | 3a (22/32 - 24/42) | SE | | 1172 | 5.1.1 | Os | ossement | 46 | ? | 6.1.1 | Animaux sauf mollusques | Frag | Petits fragments blanchis, plusieurs avec teinte grise-bleutée, quelques-uns potentiellement identifiables |
| 51N102E | 3b (42-52) | NE + SE | | 1173 | 4.1 | Matières premières | éclat | 1 | 1 | 1.1.1.4 | Pierre dure, techno-témoin | Frag | MISTA |
| 51N102E | 3b (42-52) | NE + SE | | 1174 | 5.1.1 | Os | ossement | 4 | ? | 6.1.1 | Animaux sauf mollusques | Frag | Petits fragments blanchis |
| 51N102E | 4a (19/33 - 20/37) | NE | | 1175 | 5.1.1 | Os | ossement | 5 | ? | 6.1.1 | Animaux sauf mollusques | Frag | Petits fragments blanchis, 4 avec teinte bleutée |
| 51N102E | 4a (19/33 - 20/37) | SE | | 1176 | 1.1.1.991 | Céramique de type autochtone | contenant (tpd) | 1 | 1 | 4.99 | Consommation ind. | Frag | Petit tesson décoré, UV18 |
| 51N102E | 4a (19/33 - 20/37) | SE | | 1177 | 5.1.1 | Os | ossement | 12 | ? | 6.1.1 | Animaux sauf mollusques | Frag | Petits fragments blanchis, quelques-uns avec teinte grise-bleutée |
| 51N102E | 4b (26/37 - 36/47) | NE | | 1178 | 5.1.1 | Os | ossement | 2 | ? | 6.1.1 | Animaux sauf mollusques | Frag | Petits fragments blanchis |
| 51N102E | 4b (26/37 - 36/47) | SE | | 1179 | 5.1.1 | Os | ossement | 6 | ? | 6.1.1 | Animaux sauf mollusques | Frag | Petits fragments blanchis |
| 51N102E | 5 (48/51 - 58) | SE | | 1180 | 5.1.1 | Os | ossement | 3 | ? | 6.1.1 | Animaux sauf mollusques | Frag | Très petits fragments blanchis |
| 51N102E | paroi ouest | ? | | 1181 | 4.1 | Matières premières | éclat | 2 | 2 | 1.1.1.4 | Pierre dure, techno-témoin | Frag | Trouvés au centre du puits après nettoyage de paroi. 1 éclat lamellaire en TRE (brunâtre), 1 QTZH |
| 51N102E | paroi ouest | ? | | 1182 | 5.1.1 | Os | ossement | 5 | ? | 6.1.1 | Animaux sauf mollusques | Frag | Trouvés au centre du puits après nettoyage de paroi. Petits fragments blanchis |
| 51N103E | parois | ? | | 1697 | 1.1.1.991 | Céramique de type autochtone | contenant (tpd) | 2 | ? | 4.99 | Consommation ind. | Frag | Vidage du puits fouillé en 2021. Tessons décorés |
| 51N103E | parois | ? | | 1698 | 5.1.1 | Os | ossement | 5 | ? | 6.1.1 | Animaux sauf mollusques | Frag | Vidage du puits fouillé en 2021. Petits fragments blanchis, 1 phalange potentiellement identifiable |
| 51N104E | 1 (0 - 3/14) | remblai 2020 | | 1183 | 1.1.1.991 | Céramique de type autochtone | contenant (tpd) | 2 | ? | 4.99 | Consommation ind. | Frag | Petits tessons décorés |
| 51N104E | 1 (0 - 3/14) | remblai 2020 | | 1184 | 1.1.1.991 | Céramique de type autochtone | contenant (tpnd) | 4 | ? | 4.99 | Consommation ind. | Frag | Petits tessons non décorés |
| 51N104E | 1 (0 - 3/14) | remblai 2020 | | 1185 | 4.1 | Matières premières | éclat | 2 | 2 | 1.1.1.4 | Pierre dure, techno-témoin | Frag | 1 ONO, 1 ONT001 |
| 51N104E | 1 (0 - 3/14) | remblai 2020 | | 1186 | 5.1.1 | Os | ossement | 4 | ? | 6.1.1 | Animaux sauf mollusques | Frag | Petits fragments blanchis, 1 bleuté |
| 51N104E | 2b pr1 (61) | NW | 74N 7E | 1187 | 4.1 | Matières premières | grattoir | 1 | 1 | 1.1.1.1 | Pierre dure, outils | Ent | Grattoir unimarginal sur éclat en matière indéterminée beige riche en veines siliceuses, 22x18mm |
| 51N104E | 2b pr1 (56) | NW | 98N 20E | 1188 | 4.1 | Matières premières | grattoir | 1 | 1 | 1.1.1.1 | Pierre dure, outils | Ent | Grattoir unimarginal sur éclat en QTZ, 25x16mm |
| 51N104E | 2b (10/15 - 16/23) | NW | | 1189 | 4.1 | Matières premières | éclat | 5 | 4 | 1.1.1.4 | Pierre dure, techno-témoin | Frag | 1 QTZ, 2 TRE, 1 CHAPH beige, 1 CH000 gris |
| 51N104E | 2b (10/15 - 16/23) | NW | | 1190 | 5.1.1 | Os | ossement | 34 | ? | 6.1.1 | Animaux sauf mollusques | Frag | Petits fragments blanchis |
| 51N104E | 2b (10/15 - 16/23) | NE | | 1191 | 1.1.1.991 | Céramique de type autochtone | contenant (tpnd) | 2 | ? | 4.99 | Consommation ind. | Frag | Petits tessons non décorés, 1 brisé en 2 fragments en laboratoire |
| 51N104E | 2b (10/15 - 16/23) | NE | | 1192 | 4.1 | Matières premières | éclat | 1 | 1 | 1.1.1.4 | Pierre dure, techno-témoin | Frag | MISTA enfumé |
| 51N104E | 2b (10/15 - 16/23) | NE | | 1193 | 5.1.1 | Os | ossement | 2 | ? | 6.1.1 | Animaux sauf mollusques | Frag | Petits fragments blanchis |
| 51N104E | 2b (10/15 - 16/23) | SE | | 1194 | 1.1.1.991 | Céramique de type autochtone | contenant (tpnd) | 1 | 1 | 4.99 | Consommation ind. | Frag | Petit tesson non décoré |
| 51N104E | 2b (10/15 - 16/23) | SE | | 1195 | 4.1 | Matières premières | éclat | 6 | 3 | 1.1.1.4 | Pierre dure, techno-témoin | Frag | 3 MISTA, 2 ONO, 1 CH000 gris foncé |
| 51N104E | 2b (10/15 - 16/23) | SE | | 1196 | 5.1.1 | Os | ossement | 1 | ? | 6.1.1 | Animaux sauf mollusques | Frag | Petit fragment blanchi |
| 51N104E | 2b pr1 (50) | SE | 49N 79E | 1197 | 5 | Matières organiques | échantillon de sol | 1 | 1 | 1.3.97.2 | Indéterminé, résidus | Frag | Échantillon de sol de la lentille de sédiments grisâtres |
| 51N104E | 2b (10/15 - 16/23) | SW | | 1198 | 4.1 | Matières premières | éclat | 2 | 1 | 1.1.1.4 | Pierre dure, techno-témoin | Frag | 1 MISTA, 1 ONO |
| 51N104E | 2b (10/15 - 16/23) | SW | | 1199 | 2.1.1 | Verre incolore, sans plomb | fragment ind. | 1 | 1 | 7.1 | Indéterminé | Frag | Petit tesson, ép. 1,8 mm |
| 51N104E | 2b (10/15 - 16/23) | SW | | 1200 | 5.1.1 | Os | ossement | 76 | ? | 6.1.1 | Animaux sauf mollusques | Frag | Petits fragments blanchis, quelques-uns potentiellement identifiables |
| 51N104E | 2b pr1 (53) | SW | 35N 30E | 1201 | 5.1.6 | Charbon | échantillon de charbon | 1 | 1 | 7.4 | Témoins de combustion | Frag | Échantillon de charbon récolté à proximité d'une zone de sédiments rubéfiés et de sable cendreuse (partie supérieure de la cuvette de foyer du niv. 4) |
| 51N104E | 4 pr1 (53) | NW | 60N 35E | 1202 | 1.1.1.991 | Céramique de type autochtone | contenant (tpd) | 2 | 1 | 4.99 | Consommation ind. | Frag | Tessons décorés jointifs, UV18 |
| 51N104E | 4 pr1 (57) | NW | 72N 27E | 1203 | 1.1.1.991 | Céramique de type autochtone | contenant (tpd) | 2 | 1 | 4.99 | Consommation ind. | Frag | Tessons jointifs décorés à la cordelette ou traités au battoir cordé |
| 51N104E | 4 (12 - 19) | NW | | 1204 | 1.1.1.991 | Céramique de type autochtone | contenant (tpnd) | 4 | ? | 4.99 | Consommation ind. | Frag | Tessons non décorés |
| 51N104E | 4 (12 - 19) | NW | | 1205 | 4.1 | Matières premières | éclat | 5 | 3 | 1.1.1.4 | Pierre dure, techno-témoin | Frag | 3 QTZ, 1 CHAPH brun avec cortex (silex européen?), 1 TRE |
| 51N104E | 4 (12 - 19) | NW | | 1206 | 5.1.1 | Os | ossement | 34 | ? | 6.1.1 | Animaux sauf mollusques | Frag | Petits fragments blanchis |
| 51N104E | 4 pr1 (55) | NW | 55N 20E | 1207 | 5.1.6 | Charbon | échantillon de charbon | 1 | 1 | 7.4 | Témoins de combustion | Frag | Échantillon de charbon récolté au centre de la cuvette |

| Puits/sond. | Niveau/Prof. | Quadrant | Loc. | No. cat. | Code mat. | Matériau | Objet | Nb. frag. | Nb. obj. | Code fonction | Fonction | Intégrité | Commentaires |
|-------------|--------------------|--------------|---------|----------|-----------|--|---------------------------|-----------|----------|---------------|------------------------------------|-----------|--|
| 51N104E | 4 pr1 (59) | SW | 35N 20E | 1208 | 1.1.1.991 | Céramique de type autochtone | contenant (tpd) | 1 | 1 | 4.99 | Consommation ind. | Frag | Tesson décoré |
| 51N104E | 4 (12 - 19) | SW | | 1209 | 1.1.1.991 | Céramique de type autochtone | contenant (tpnd) | 2 | ? | 4.99 | Consommation ind. | Frag | Petits tessons non décorés |
| 51N104E | 4 (12 - 19) | SW | | 1210 | 4.1 | Matières premières | éclat | 6 | 3 | 1.1.1.4 | Pierre dure, techno-témoin | Frag | 2 CHAPH brun (silex européen?), 2 TRE, 2 CH000 gris foncé (1 chauffé) |
| 51N104E | 4 (12 - 19) | SW | | 1211 | 4.1 | Matières premières | graphite | 1 | 1 | 7.1 | Indéterminé | Frag | Petit fragment de graphite, possiblement d'origine naturelle |
| 51N104E | 4 (12 - 19) | SW | | 1212 | 5.1.1 | Os | ossement | 33 | ? | 6.1.1 | Animaux sauf mollusques | Frag | Petits fragments blanchis |
| 51N104E | 5a pr1 (53) | NW | 50N 34E | 1213 | 1.1.1.991 | Céramique de type autochtone | contenant (tpd) | 1 | 1 | 4.99 | Consommation ind. | Frag | Tesson décoré |
| 51N104E | 5a (10/17 - 19/29) | NW | | 1214 | 4.1 | Matières premières | éclat | 1 | 1 | 1.1.1.4 | Pierre dure, techno-témoin | Frag | ONT001 |
| 51N104E | 5a (10/17 - 19/29) | SW | | 1215 | 1.1.1.991 | Céramique de type autochtone | contenant (tpd) | 1 | 1 | 4.99 | Consommation ind. | Frag | Tesson décoré, potentiellement associable à UV11 |
| 51N104E | 5a (10/17 - 19/29) | SW | | 1216 | 1.1.1.991 | Céramique de type autochtone | contenant (tpnd) | 1 | 1 | 4.99 | Consommation ind. | Frag | Petit tesson non décoré, scarifié, potentiellement associable à UV11 |
| 51N104E | 5a (10/17 - 19/29) | SW | | 1217 | 5.1.1 | Os | ossement | 1 | 1 | 6.1.1 | Animaux sauf mollusques | Frag | Petit fragment blanchi |
| 51N104E | 5b pr1 (74) | NW | 57N 12E | 1218 | 1.1.1.991 | Céramique de type autochtone | contenant (tpd) | 3 | 1 | 4.99 | Consommation ind. | Frag | Tessons décorés jointifs, UV17 |
| 51N104E | 5b pr1 (76) | NW | 57N 13E | 1219 | 1.1.1.991 | Céramique de type autochtone | contenant (tpd) | 1 | 1 | 4.99 | Consommation ind. | Frag | Tesson décoré, potentiellement associable à UV26 |
| 51N104E | 5b (24/29 - 28/39) | SW | | 1220 | 1.1.1.991 | Céramique de type autochtone | contenant (tpd) | 1 | 1 | 4.99 | Consommation ind. | Frag | Tesson décoré |
| 51N104E | 5b (24/29 - 28/39) | SW | | 1221 | 1.1.1.991 | Céramique de type autochtone | contenant (tpnd) | 3 | ? | 4.99 | Consommation ind. | Frag | Petits tessons non décorés |
| 51N104E | 5b (24/29 - 28/39) | SW | | 1222 | 5.1.1 | Os | ossement | 10 | ? | 6.1.1 | Animaux sauf mollusques | Frag | Petits fragments blanchis |
| 51N104E | 5c (28/39 - 35/44) | NW | | 1223 | 4.1 | Matières premières | éclat | 3 | 2 | 1.1.1.4 | Pierre dure, techno-témoin | Frag | 1 QTZT gris foncé (Mista?), 2 ONT001 |
| 51N104E | 5c (28/39 - 35/44) | NW | | 1224 | 5.1.1 | Os | ossement | 3 | ? | 6.1.1 | Animaux sauf mollusques | Frag | Petits fragments blanchis |
| 51N104E | 5c (28/39 - 35/44) | SW | | 1225 | 5.1.1 | Os | ossement | 4 | ? | 6.1.1 | Animaux sauf mollusques | Frag | Petits fragments blanchis |
| 51N104E | 6a (16/22 - 19/31) | SE | | 1226 | 1.1.1.991 | Céramique de type autochtone | contenant (tpnd) | 1 | 1 | 4.99 | Consommation ind. | Frag | Petit tesson non décoré |
| 51N104E | 6a (16/22 - 19/31) | SE | | 1227 | 4.1 | Matières premières | éclat | 2 | ? | 1.1.1.4 | Pierre dure, techno-témoin | Frag | 1 MISTA, 1 CH000 blanc |
| 51N104E | 7a (35/44 - 45/51) | NW | | 1228 | 4.1 | Matières premières | éclat | 1 | 1 | 1.1.1.4 | Pierre dure, techno-témoin | Frag | MISTA |
| 51N104E | 7a (35/44 - 45/51) | SW | | 1229 | 4.1 | Matières premières | éclat | 1 | 1 | 1.1.1.4 | Pierre dure, techno-témoin | Frag | 1 ONO |
| 51N104E | 7a (35/44 - 45/51) | SW | | 1230 | 5.1.1 | Os | ossement | 8 | ? | 6.1.1 | Animaux sauf mollusques | Frag | Petits fragments blanchis, 1 avec teinte grise-bleutée |
| 51N104E | 7b (45/51 - 52/75) | NW | | 1231 | 4.1 | Matières premières | éclat | 1 | 1 | 1.1.1.4 | Pierre dure, techno-témoin | Frag | 1 QTZH |
| 51N104E | 7b (45/51 - 52/75) | NW | | 1232 | 5.1.1 | Os | ossement | 13 | ? | 6.1.1 | Animaux sauf mollusques | Frag | Petits fragments blanchis |
| 51N104E | 7b (45/51 - 52/75) | SW | | 1233 | 1.1.1.991 | Céramique de type autochtone | contenant (tpd) | 1 | 1 | 4.99 | Consommation ind. | Frag | Tesson décoré |
| 51N104E | 7b (45/51 - 52/75) | SW | | 1234 | 1.1.1.991 | Céramique de type autochtone | contenant (tpnd) | 1 | 1 | 4.99 | Consommation ind. | Frag | Tesson non décoré, surface érodée, brisé en 2 fragments en laboratoire |
| 51N104E | 7b (45/51 - 52/75) | SW | | 1235 | 4.1 | Matières premières | éclat | 10 | 5 | 1.1.1.4 | Pierre dure, techno-témoin | Frag | 3 QTZ, 1 QTZH, 1 MISTA, 4 QTZT gris (1 chauffé), 1 ONO |
| 51N104E | 7b (45/51 - 52/75) | SW | | 1236 | 5.1.1 | Os | ossement | 60 | ? | 6.1.1 | Animaux sauf mollusques | Frag | Petits fragments blanchis |
| 51N104E | 7b pr1 (93) | SW | 47N 3E | 1237 | 5 | Matières organiques | échantillon de sol | 1 | 1 | 1.3.97.2 | Indéterminé, résidu | Frag | Échantillon de sol dans lequel se trouvait la concentration d'os blanchis |
| 51N104E | 7b pr1 (94) | SW | 8N 5E | 1238 | 5.1.6 | Charbon | échantillon de charbon | 1 | 1 | 7.4 | Témoins de combustion | Frag | Échantillon de charbon récolté à l'intérieur d'une potentielle structure de foyer incluant une concentration d'os blanchis et quelques PRF |
| 51N104E | ? | SW | | 1239 | 4.1 | Matières premières | éclat | 1 | 1 | 1.1.1.4 | Pierre dure, techno-témoin | Frag | ONO |
| 51N105E | parois | ? | | 1699 | 2.3.1.12 | Verre de couleur, transparent, pourpre | bouteille | 1 | 1 | 4.2.1.2 | Boissons, conservation/entreposage | Frag | Vidage du puits fouillé en 2021. Tessons incurvé, ép. 5,5mm |
| 51N105E | paroi est | ? | | 1700 | 4.1 | Matières premières | éclat | 1 | 1 | 1.1.1.4 | Pierre dure, techno-témoin | Frag | Vidage du puits fouillé en 2021. TRE |
| 51N106E | 1 (0 - 9/15) | remblai 2020 | | 1240 | 1.1.1.991 | Céramique de type autochtone | contenant (tpd) | 1 | 1 | 4.99 | Consommation ind. | Frag | Tesson décoré, jointif à 773 (2021), potentiellement associable à UV25 |
| 51N106E | 1 (0 - 9/15) | remblai 2020 | | 1241 | 1.1.1.991 | Céramique de type autochtone | contenant (tpnd) | 1 | 1 | 4.99 | Consommation ind. | Frag | Petit tesson non décoré |
| 51N106E | 1 (0 - 9/15) | remblai 2020 | | 1242 | 1.1.2.61 | Terre cuite fine blanche | article de vaisselle ind. | 1 | 1 | 4.1.99 | Alimentation indéterminée | Frag | Tesson de pâte sans glaçure |
| 51N106E | 1 (0 - 9/15) | remblai 2020 | | 1243 | 5.1.1 | Os | ossement | 11 | ? | 6.1.1 | Animaux sauf mollusques | Frag | Petits fragments blanchis |
| 51N106E | 1 (0 - 9/15) | SE | | 1244 | 4.1 | Matières premières | éclat | 1 | 1 | 1.1.1.4 | Pierre dure, techno-témoin | Frag | 1 CHAPH brun, possiblement similaire à CH-041 (2021) |
| 51N106E | 2a (9/15 - 18/20) | NW | | 1245 | 4.1 | Matières premières | éclat | 5 | 3 | 1.1.1.4 | Pierre dure, techno-témoin | Frag | 1 MISTA, 1 ONO, 3 TRE (1 variante noire bleuté, voir CH-006 2021) |
| 51N106E | 2a (9/15 - 18/20) | NW | | 1246 | 2.2.1.1 | Verre teinté, régulier, vert | fragment ind. | 1 | 1 | 7.1 | Indéterminé | Frag | Petit tesson légèrement incurvé, ép. 2mm |
| 51N106E | 2a (9/15 - 18/20) | NW | | 1247 | 5.1.1 | Os | ossement | 40 | ? | 6.1.1 | Animaux sauf mollusques | Frag | 39 petits fragments blanchis, 1 écu |
| 51N106E | 2a (9/15 - 18/20) | NE | | 1248 | 4.1 | Matières premières | éclat | 2 | 1 | 1.1.1.4 | Pierre dure, techno-témoin | Frag | 2 QTZ |
| 51N106E | 2a pr2 (45) | SE | 23N 97E | 1249 | 1.1.1.991 | Céramique de type autochtone | contenant (tpd) | 1 | 1 | 4.99 | Consommation ind. | Frag | Tesson de bord décoré, jointif à 400 (2021), UV9 |
| 51N106E | 2a (9/15 - 18/20) | SE | | 1250 | 1.1.1.991 | Céramique de type autochtone | contenant (tpnd) | 2 | ? | 4.99 | Consommation ind. | Frag | Petits tessons non décorés |
| 51N106E | 2a (9/15 - 18/20) | SE | | 1251 | 4.1 | Matières premières | pointe | 1 | 1 | 1.1.1.1 | Pierre dure, outils | Ent | Micro pointe à encoches latérales sur éclat et base convexe retouchée, en CHAPH brun (silex européen?), 17x8mm |
| 51N106E | 2a (9/15 - 18/20) | SE | | 1252 | 4.1 | Matières premières | grattoir | 1 | 1 | 1.1.1.1 | Pierre dure, outils | Frag | Fragment distal de grattoir unimarginal sur éclat en ONO, 9x18mm |
| 51N106E | 2a (9/15 - 18/20) | SE | | 1253 | 4.1 | Matières premières | éclat | 4 | 2 | 1.1.1.4 | Pierre dure, techno-témoin | Frag | 3 QTZ, 1 CHC001 |
| 51N106E | 2a (9/15 - 18/20) | SE | | 1254 | 5.1.1 | Os | ossement | 75 | ? | 6.1.1 | Animaux sauf mollusques | Frag | Petits fragments blanchis, 1 écu, plusieurs avec teinte grise-bleutée |
| 51N106E | 2a pr2 (43) | SW | 45N 8E | 1255 | 1.1.1.991 | Céramique de type autochtone | contenant (tpd) | 1 | 1 | 4.99 | Consommation ind. | Frag | Tesson décoré |
| 51N106E | 2a (9/15 - 18/20) | SW | | 1265 | 1.1.1.991 | Céramique de type autochtone | contenant (tpnd) | 1 | 1 | 4.99 | Consommation ind. | Frag | Petit tesson non décoré |
| 51N106E | 2a (9/15 - 18/20) | SW | | 1266 | 4.1 | Matières premières | éclat | 3 | 2 | 7.1 | Indéterminé | Frag | 2 QTZ, 1 CHC001 (chauffé, cupule) |
| 51N106E | 2a (9/15 - 18/20) | SW | | 1267 | 3.1.1.13 | Métal ferreux, fer tréfilé | clou | 1 | 1 | 4.7.2.3 | Fixations - clous | Ent | Clou tréfilé corrodé, environ 7,6 cm de long |

| Puits/sond. | Niveau/Prof. | Quadrant | Loc. | No. cat. | Code mat. | Matériau | Objet | Nb. frag. | Nb. obj. | Code fonction | Fonction | Intégrité | Commentaires |
|-------------|--------------------|-----------|---------|----------|-----------|-----------------------------------|------------------------|-----------|----------|---------------|----------------------------|-----------|---|
| 51N106E | 2a (9/15 - 18/20) | SW | | 1258 | 2.2.1.3 | Verre teinté, régulier, turquoise | fragment ind. | 1 | 1 | 7.1 | Indéterminé | Frag | Tesson incurvé, ép. 4 mm |
| 51N106E | 2a (9/15 - 18/20) | SW | | 1259 | 5.1.1 | Os | ossement | 26 | ? | 6.1.1 | Animaux sauf mollusques | Frag | Petits fragments blanchis, 2 phalanges potentiellement identifiables |
| 51N106E | 2a pr2 (45) | SW | 20N 20E | 1260 | 5.1.6 | Charbon | échantillon de charbon | 1 | 1 | 7.4 | Témoins de combustion | Frag | Échantillon de charbon récolté dans une concentration de charbon à proximité de plusieurs PRF et d'une grosse racine, une structure n'est pas encore clairement délimitable |
| 51N106E | 2b (18/20 - 24/27) | NE | | 1261 | 1.1.1.991 | Céramique de type autochtone | contenant (tpd) | 2 | 1 | 4.99 | Consommation ind. | Frag | Tessons décorés, UV9 |
| 51N106E | 2b (18/20 - 24/27) | NE | | 1262 | 1.1.1.991 | Céramique de type autochtone | contenant (tpnd) | 2 | ? | 4.99 | Consommation ind. | Frag | Tessons non décorés |
| 51N106E | 2b (18/20 - 24/27) | SE | | 1263 | 4.1 | Matières premières | grattoir | 1 | 1 | 1.1.1.1 | Pierre dure, outils | Frag | Fragment méso-distal de grattoir sur éclat en TRE, 19x17mm. Bel artefact de référence pour variabilité du chert calcaire de Trenton |
| 51N106E | 2b (18/20 - 24/27) | SE | | 1264 | 4.1 | Matières premières | éclat | 2 | 2 | 1.1.1.4 | Pierre dure, techno-témoin | Frag | 1 TRE (avec poches de calcédoine), 1 QTZ |
| 51N106E | 2b (18/20 - 24/27) | SE | | 1266 | 5.1.1 | Os | ossement | 173 | ? | 6.1.1 | Animaux sauf mollusques | Frag | Petits fragments blanchis, plusieurs avec teinte grise-bleutée, 1 phalange potentiellement identifiable |
| 51N106E | 2b pr2 (47) | SW | 4N 7E | 1267 | 1.1.1.991 | Céramique de type autochtone | contenant (tpnd) | 1 | 1 | 4.99 | Consommation ind. | Frag | Tesson non décoré, scarifié, potentiellement associable à UV17 |
| 51N106E | 2b (18/20 - 24/27) | SW | | 1287 | 4.1 | Matières premières | pièce esquillée | 1 | 1 | 1.1.1.1 | Pierre dure, outils | Ent | Petite pièce esquillée en QTZ, 12x10mm. Peut facilement être confondue avec un éclat |
| 51N106E | 2b (18/20 - 24/27) | SW | | 1288 | 4.1 | Matières premières | éclat | 2 | 1 | 1.1.1.4 | Pierre dure, techno-témoin | Frag | 2 MISTA |
| 51N106E | 2b (18/20 - 24/27) | SW | | 1268 | 5.1.6 | Charbon | échantillon de charbon | 1 | 1 | 7.4 | Témoins de combustion | Frag | Échantillon de charbon non localisé |
| 51N106E | 2b (18/20 - 24/27) | SW | | 1269 | 5 | Matières organiques | échantillon de sol | 1 | 1 | 1.3.97.2 | Indéterminé, résidus | Frag | Échantillon de sol non localisé |
| 51N106E | 1 + 2a + 2b | SE | | 1314 | 5.1.1 | Os | ossement | 3 | ? | 6.1.1 | Animaux sauf mollusques | Frag | Chute de paroi. Petits fragments blanchis |
| 51N106E | 3a pr2 (49) | NE | 79N 56E | 1270 | 1.1.1.991 | Céramique de type autochtone | contenant (tpnd) | 1 | 1 | 4.99 | Consommation ind. | Frag | Petit tesson non décoré avec résidus carbonisés sur paroi interne |
| 51N106E | 3a (21 - 27) | NE | | 1271 | 5.1.1 | Os | ossement | 7 | ? | 6.1.1 | Animaux sauf mollusques | Frag | Petits fragments blanchis |
| 51N106E | 3a pr2 (48) | NE | 58N 75E | 1272 | 5.1.6 | Charbon | échantillon de charbon | 1 | 1 | 7.4 | Témoins de combustion | Frag | Échantillon de charbon récolté à l'intérieur de la structure de foyer du niv. 3 dans une concentration de charbon adjacente à un tpdnd et à quelques pierres rougies |
| 51N106E | 3b (20/27 - 30/37) | NW | | 1273 | 1.1.1.991 | Céramique de type autochtone | contenant (tpd) | 1 | 1 | 4.99 | Consommation ind. | Frag | Petit tesson décoré |
| 51N106E | 3b (20/27 - 30/37) | NW | | 1274 | 1.1.1.991 | Céramique de type autochtone | contenant (tpnd) | 4 | ? | 4.99 | Consommation ind. | Frag | Tessons non décorés, au moins 3 tessons (dont 2 jointifs) appartenant vraisemblablement à la même unité de vase |
| 51N106E | 3b pr2 (54) | NW | 52N 33E | 1275 | 4.1 | Matières premières | outil | 1 | 1 | 1.1.1.1 | Pierre dure, outils | Frag | Outil indéterminé en IND (chert?) moutonné gris brunâtre, 29x12mm |
| 51N106E | 3b (20/27 - 30/37) | NW | | 1276 | 4.1 | Matières premières | nucléus | 1 | 1 | 1.1.1.4 | Pierre dure, techno-témoin | Frag | Fragment de nucléus en TRE |
| 51N106E | 3b pr2 (53) | NW | 74N 48E | 1277 | 5.1.1 | Os | ossement | 2 | ? | 6.1.1 | Animaux sauf mollusques | Frag | Grands fragments écrits potentiellement identifiables |
| 51N106E | 3b (20/27 - 30/37) | NW | | 1278 | 5.1.1 | Os | ossement | 16 | ? | 6.1.1 | Animaux sauf mollusques | Frag | Petits fragments blanchis, plusieurs avec teinte grise-bleutée |
| 51N106E | 3b pr2 (57) | NW | 52N 33E | 1279 | 5.1.6 | Charbon | échantillon de charbon | 1 | 1 | 7.4 | Témoins de combustion | Frag | Échantillon de charbon récolté à l'intérieur de la structure de foyer |
| 51N106E | 3b (20/27 - 30/37) | NE | | 1280 | 4.1.13 | Pierre | pièce rougie | 1 | 1 | 7.4 | Témoins de combustion | Frag | Pierre rougie fracturée en METAM, 64x43mm |
| 51N106E | 3b (20/27 - 30/37) | NE | | 1281 | 4.1 | Matières premières | éclat | 4 | 3 | 1.1.1.4 | Pierre dure, techno-témoin | Frag | 2 QTZ, 1 TRE, 1 ONO |
| 51N106E | 3b (20/27 - 30/37) | NE | | 1282 | 5.1.1 | Os | ossement | 6 | ? | 6.1.1 | Animaux sauf mollusques | Frag | Petits fragments blanchis |
| 51N106E | 3b pr2 (54) | NE | 71N 67E | 1283 | 5.1.6 | Charbon | échantillon de charbon | 1 | 1 | 7.4 | Témoins de combustion | Frag | Échantillon de charbon récolté à l'intérieur de la structure de foyer |
| 51N106E | 3b (20/27 - 30/37) | SE | | 1284 | 4.1 | Matières premières | éclat | 2 | 2 | 1.1.1.4 | Pierre dure, techno-témoin | Frag | 1 QTZ, 1 ONO |
| 51N106E | 3b (20/27 - 30/37) | SE | | 1285 | 5.1.1 | Os | ossement | 19 | ? | 6.1.1 | Animaux sauf mollusques | Frag | Petits fragments blanchis |
| 51N106E | 3b pr2 (60) | SE | 40N 80E | 1312 | 4.1.1.3 | Pierre | pièce rougie | 1 | 1 | 7.4 | Témoins de combustion | Ent | Pierre rougie et arénisée, 9,85 x 7,5 x 4,3 cm |
| 51N106E | 3b (20/27 - 30/37) | SW | | 1286 | 1.1.1.991 | Céramique de type autochtone | contenant (tpnd) | 2 | 1 | 4.99 | Consommation ind. | Frag | Tessons non décorés appartenant vraisemblablement à la même unité de vase |
| 51N106E | 3b pr2 (54) | SW | 45N 42E | 1289 | 3.1.4 | Métal plombifère | balle | 1 | 1 | 3.9.2.1 | Chasse/guerre, munitions | Ent | Projectile d'arme à feu en plomb, environ 14,4 mm en diamètre, pèse 29,2 g |
| 51N106E | 3b (20/27 - 30/37) | SW | | 1290 | 5.1.1 | Os | ossement | 36 | ? | 6.1.1 | Animaux sauf mollusques | Frag | Petits fragments blanchis, plusieurs avec teinte grise-bleutée, 1 phalange potentiellement identifiable |
| 51N106E | 3b pr2 (50) | SW | 41N 28E | 1291 | 5.1.6 | Charbon | échantillon de charbon | 1 | 1 | 7.4 | Témoins de combustion | Frag | Échantillon de charbon récolté à l'intérieur de la structure de foyer |
| 51N106E | 3b pr2 (50) | SW | 43N 40E | 1292 | 5 | Matières organiques | échantillon de sol | 1 | 1 | 1.3.97.2 | Indéterminé, résidus | Frag | Échantillon de sol récolté au centre de la structure de foyer à proximité de pierres rougies et d'une concentration de charbon |
| 51N106E | 3b (20/27 - 30/37) | NE + SE | | 1293 | 5.1.1 | Os | ossement | 1 | 1 | 6.1.1 | Animaux sauf mollusques | Frag | Nettoyage de la grosse racine traversant le puits. Fragment blanchi avec traces de découpe |
| 51N106E | 3c (30/37 - 47/51) | NW | | 1294 | 5.1.1 | Os | ossement | 1 | 1 | 6.1.1 | Animaux sauf mollusques | Frag | Petit fragment blanchi |
| 51N106E | 3c (30/37 - 47/51) | NE | | 1295 | 1.1.1.991 | Céramique de type autochtone | contenant (tpd) | 1 | 1 | 4.99 | Consommation ind. | Frag | Tesson décoré, potentiellement associable à UV9 |
| 51N106E | 3c (30/37 - 47/51) | NE | | 1296 | 2.3.2.1 | Verre de couleur, opaque, blanc | perle | 1 | 1 | 4.4.6 | Parures et bijoux | Frag | Perle en verre blanc de type Ia5 |
| 51N106E | 3c pr2 (67) | NE | 60N 63E | 1297 | 5.1.1 | Os | ossement | 1 | 1 | 6.1.1 | Animaux sauf mollusques | Frag | Fragment d'os long écrit de grand mammifère, traces de rongements |
| 51N106E | 3c (30/37 - 47/51) | NE | | 1298 | 5.1.1 | Os | ossement | 10 | ? | 6.1.1 | Animaux sauf mollusques | Frag | 6 fragments écrits, 4 petits fragments blanchis |
| 51N106E | 3c (30/37 - 47/51) | SE | | 1299 | 1.1.1.991 | Céramique de type autochtone | contenant (tpd) | 2 | 1 | 4.99 | Consommation ind. | Frag | Tessons décorés jointifs, UV9 |
| 51N106E | 3c (30/37 - 47/51) | SE | | 1271 | 1.1.1.991 | Céramique de type autochtone | contenant (tpnd) | 1 | 1 | 4.99 | Consommation ind. | Frag | Petit tesson non décoré, scarifié |
| 51N106E | 3c (30/37 - 47/51) | SE | | 1300 | 4.1 | Matières premières | biface | 1 | 1 | 1.1.1.1 | Pierre dure, outils | Frag | Fragment d'outil bifacial en TRE, 18x12mm |
| 51N106E | 3c (30/37 - 47/51) | SE | | 1301 | 4.1 | Matières premières | éclat | 1 | 1 | 1.1.1.4 | Pierre dure, techno-témoin | Frag | 1 QTZ |
| 51N106E | 3c (30/37 - 47/51) | SE | | 1302 | 5.1.1 | Os | ossement | 3 | ? | 6.1.1 | Animaux sauf mollusques | Frag | Petits fragments blanchis |
| 51N106E | 3c pr2 (69) | SW | 47N 28E | 1303 | 1.1.1.991 | Céramique de type autochtone | contenant (tpnd) | 1 | 1 | 4.99 | Consommation ind. | Frag | Tesson non décoré, épais, jointif à 1580, potentiellement associable à UV12 |
| 51N106E | 3c (30/37 - 47/51) | paroi est | | 1304 | 4.1 | Matières premières | éclat | 1 | 1 | 1.1.1.4 | Pierre dure, techno-témoin | Frag | Nettoyage paroi est. TRE (variante bleutée) |
| 51N106E | 3b + 3c | SE | | 1313 | 5.1.1 | Os | ossement | 4 | ? | 6.1.1 | Animaux sauf mollusques | Frag | Nettoyage de la grosse racine dans le QSE. Grands fragments écrits potentiellement identifiables |
| 51N106E | 4 (22/24 - 26/28) | NW | | 1305 | 4.1 | Matières premières | éclat | 1 | 1 | 1.1.1.4 | Pierre dure, techno-témoin | Frag | ONO |
| 51N106E | 4 pr2 (49) | NW | 97N 22E | 1306 | 5.1.6 | Charbon | échantillon de charbon | 1 | 1 | 7.4 | Témoins de combustion | Frag | Échantillon de charbon récolté à l'intérieur de la structure |
| 51N106E | 5a (24/27 - 34/37) | NE | | 1307 | 1.1.1.991 | Céramique de type autochtone | contenant (tpd) | 1 | 1 | 4.99 | Consommation ind. | Frag | Petit tesson décoré |
| 51N106E | 5a (24/27 - 34/37) | NE | | 1308 | 4.1 | Matières premières | éclat | 1 | 1 | 1.1.1.4 | Pierre dure, techno-témoin | Frag | 1 QTZ |

| Puits/sond. | Niveau/Prof. | Quadrant | Loc. | No. cat. | Code mat. | Matériau | Objet | Nb. frag. | Nb. obj. | Code fonction | Fonction | Intégrité | Commentaires |
|-------------|--------------------|--------------|---------|----------|-----------|---|------------------|-----------|----------|---------------|------------------------------------|-----------|---|
| 51N106E | 5a (24/27 - 34/37) | NE | | 1309 | 5.1.1 | Os | ossement | 2 | ? | 6.1.1 | Animaux sauf mollusques | Frag | Petits fragments blanchis, fragmentés en plus petits morceaux en laboratoire |
| 51N106E | 5a (24/27 - 34/37) | SE | | 1310 | 5.1.1 | Os | ossement | 3 | ? | 6.1.1 | Animaux sauf mollusques | Frag | Petits fragments blanchis |
| 51N106E | 5a (24/27 - 34/37) | SW | | 1311 | 5.1.1 | Os | ossement | 1 | 1 | 6.1.1 | Animaux sauf mollusques | Frag | Petit fragment blanchi |
| 52N102E | parois | ? | | 1701 | 1.1.1.991 | Céramique de type autochtone | contenant (tpnd) | 1 | 1 | 4.99 | Consommation ind. | Frag | Vidage du puits fouillé en 2021. Tesson non décoré |
| 52N102E | parois | ? | | 1702 | 4.1 | Matières premières | grattoir | 1 | 1 | 1.1.1.1 | Pierre dure, outils | Ent | Vidage du puits fouillé en 2021. Micro grattoir unimarginal sur éclat en ONO, 9x11mm |
| 52N102E | parois | ? | | 1703 | 4.1 | Matières premières | éclat | 2 | 2 | 1.1.1.4 | Pierre dure, techno-témoin | Frag | Vidage du puits fouillé en 2021. 1 TRE, 1 ONO |
| 52N102E | parois | ? | | 1704 | 5.1.1 | Os | ossement | 9 | ? | 6.1.1 | Animaux sauf mollusques | Frag | Vidage du puits fouillé en 2021. Petits fragments blanchis |
| 52N103E | 1 (0 - 9/19) | remblai 2020 | | 1315 | 4.1 | Matières premières | éclat | 2 | ? | 1.1.1.4 | Pierre dure, techno-témoin | Frag | 1 QTZ, 1 QTZH |
| 52N103E | 1 (0 - 9/19) | remblai 2020 | | 1316 | 2.3.1.10 | Verre de couleur, transparent, brun | bouteille | 1 | 1 | 4.2.1.2 | Boissons, conservation/entreposage | Frag | Petit tesson légèrement incurvé, ép. 2,5 mm |
| 52N103E | 1 (0 - 9/19) | remblai 2020 | | 1317 | 5.1.1 | Os | ossement | 176 | ? | 6.1.1 | Animaux sauf mollusques | Frag | Petits fragments blanchis, plusieurs avec teinte grise-bleutée, quelques-uns potentiellement identifiables dont phalanges |
| 52N103E | 2a pr1 (43) | NW | 97N 36E | 1318 | 4.1 | Matières premières | nucléus | 1 | 1 | 1.1.1.4 | Pierre dure, techno-témoin | Frag | Nucléus en TRE |
| 52N103E | 2a (9/11 - 13/22) | NW | | 1319 | 4.1 | Matières premières | éclat | 1 | 1 | 1.1.1.4 | Pierre dure, techno-témoin | Frag | Éclat d'amincissement bifaciale en TRE, associé à cat. 1318 |
| 52N103E | 2a (9/11 - 13/22) | NW | | 1320 | 2.2.1.1 | Verre teinté, régulier, vert | bouteille | 1 | 1 | 4.2.1.2 | Boissons, conservation/entreposage | Frag | Tesson de corps incurvé, ép. 3,2 mm |
| 52N103E | 2a (9/11 - 13/22) | NW | | 1321 | 5.1.1 | Os | ossement | 17 | ? | 6.1.1 | Animaux sauf mollusques | Frag | Petits fragments blanchis |
| 52N103E | 2a (9/11 - 13/22) | NE | | 1322 | 4.1 | Matières premières | grattoir | 1 | 1 | 1.1.1.1 | Pierre dure, outils | Frag | Fragment méso-distal de grattoir sur éclat en ONO, 13x13mm |
| 52N103E | 2a (9/11 - 13/22) | NE | | 1323 | 4.1 | Matières premières | éclat | 5 | 4 | 1.1.1.4 | Pierre dure, techno-témoin | Frag | 1 QTZ, 1 MISTA, 1 ONO, 2 TRE |
| 52N103E | 2a (9/11 - 13/22) | NE | | 1324 | 3.1.1.12 | Métal ferreux, fer laminé | clou | 1 | 1 | 4.7.2.3 | Fixations - clous | Ent | Clou découpé corrodé, environ 4,4 cm de long |
| 52N103E | 2a (9/11 - 13/22) | SE | | 1325 | 1.1.1.991 | Céramique de type autochtone | contenant (tpd) | 1 | 1 | 4.99 | Consommation ind. | Frag | Tesson décoré, UV10 |
| 52N103E | 2a (9/11 - 13/22) | SE | | 1326 | 5.1.1 | Os | ossement | 3 | ? | 6.1.1 | Animaux sauf mollusques | Frag | Petits fragments blanchis |
| 52N103E | 2a (9/11 - 13/22) | SW | 15N 26E | 1327 | 1.1.1.991 | Céramique de type autochtone | contenant (tpd) | 1 | 1 | 4.99 | Consommation ind. | Frag | Tesson décoré avec résidus carbonisés sur paroi interne, potentiellement associable à UV11 |
| 52N103E | 2a (9/11 - 13/22) | SW | | 1328.1 | 1.1.1.991 | Céramique de type autochtone | contenant (tpd) | 2 | 1 | 4.99 | Consommation ind. | Frag | Tessons décorés, potentiellement associables à UV11 |
| 52N103E | 2a (9/11 - 13/22) | SW | | 1328.2 | 1.1.1.991 | Céramique de type autochtone | contenant (tpd) | 1 | 1 | 4.99 | Consommation ind. | Frag | Tesson décoré, potentiellement associable à UV26 |
| 52N103E | 2a (9/11 - 13/22) | SW | | 1722 | 1.1.1.991 | Céramique de type autochtone | contenant (tpd) | 1 | 1 | 4.99 | Consommation ind. | Frag | Tesson décoré, potentiellement associable à UV24 |
| 52N103E | 2a (9/11 - 13/22) | SW | | 1329 | 1.1.1.991 | Céramique de type autochtone | contenant (tpd) | 5 | ? | 4.99 | Consommation ind. | Frag | Tessons décorés |
| 52N103E | 2a (9/11 - 13/22) | SW | | 1330 | 1.1.1.991 | Céramique de type autochtone | contenant (tpnd) | 4 | ? | 4.99 | Consommation ind. | Frag | Petits tessons non décorés, 1 scarifié |
| 52N103E | 2a (9/11 - 13/22) | SW | | 1331 | 4.1 | Matières premières | éclat | 7 | 5 | 1.1.1.4 | Pierre dure, techno-témoin | Frag | 2 QTZ, 1 QTZH (très pur), 2 TRE, 1 ONO, 1 ONT001 |
| 52N103E | 2a (9/11 - 13/22) | SW | | 1332 | 2.1.1 | Verre incolore, sans plomb | fragment ind. | 1 | 1 | 7.1 | Indéterminé | Frag | Petit tesson, ép. 1,5 mm |
| 52N103E | 2a (9/11 - 13/22) | SW | | 1333 | 2.3.1.1 | Verre de couleur, transparent, vert foncé | bouteille | 1 | 1 | 4.2.1.2 | Boissons, conservation/entreposage | Frag | Fragment de goulot, ép. 6,3 mm |
| 52N103E | 2a (9/11 - 13/22) | SW | 28N 20E | 1334 | 3.1.1 | Métaux et alliages ferreux | couteau | 1 | 1 | 4.1 | Alimentation | Frag | Lame de couteau avec emmanchement, extrémité en biseau, 16,5 cm de long |
| 52N103E | 2a (9/11 - 13/22) | SW | | 1335 | 5.1.1 | Os | ossement | 74 | ? | 6.1.1 | Animaux sauf mollusques | Frag | Petits fragments blanchis, plusieurs avec teinte grise-bleutée |
| 52N103E | 2b pr1 (57) | NW | 50N 32E | 1336 | 1.1.1.991 | Céramique de type autochtone | contenant (tbd) | 1 | 1 | 4.99 | Consommation ind. | Frag | Tesson de bord décoré, UV24 |
| 52N103E | 2b (14/22 - 20/25) | NW | 58N 42E | 1337 | 1.1.1.991 | Céramique de type autochtone | contenant (tpd) | 1 | 1 | 4.99 | Consommation ind. | Frag | Tesson décoré, UV21 |
| 52N103E | 2b (14/22 - 20/25) | NW | 58N 42E | 1338 | 1.1.1.991 | Céramique de type autochtone | contenant (tpd) | 1 | 1 | 4.99 | Consommation ind. | Frag | Tesson décoré, potentiellement associable à UV17 |
| 52N103E | 2b (14/22 - 20/25) | NW | | 1339 | 1.1.1.991 | Céramique de type autochtone | contenant (tpnd) | 1 | 1 | 4.99 | Consommation ind. | Frag | Tesson non décoré et scarifié sur paroi interne, même unité de vase que 1343, 1356 et 1375 ? |
| 52N103E | 2b (14/22 - 20/25) | NW | 96N 17E | 1340 | 4.1 | Matières premières | pièce esquillée | 1 | 1 | 1.1.1.1 | Pierre dure, outils | Ent | Pièce esquillée en CHC001 blanc, 19x15mm |
| 52N103E | 2b (14/22 - 20/25) | NW | | 1341 | 4.1 | Matières premières | éclat | 3 | 3 | 1.1.1.4 | Pierre dure, techno-témoin | Frag | 1 QTZ, 1 MISTA, 1 TRE |
| 52N103E | 2b (14/22 - 20/25) | NW | | 1342 | 5.1.1 | Os | ossement | 112 | ? | 6.1.1 | Animaux sauf mollusques | Frag | 110 petits fragments blanchis, 2 grands fragments écrus |
| 52N103E | 2b (14/22 - 20/25) | NE | | 1343 | 1.1.1.991 | Céramique de type autochtone | contenant (tbd) | 1 | 1 | 4.99 | Consommation ind. | Frag | Tesson de bord décoré, semblable à UV6, même unité de vase que 1339, 1356 et 1375 ? |
| 52N103E | 2b (14/22 - 20/25) | NE | | 1344 | 1.1.1.991 | Céramique de type autochtone | contenant (tbd) | 1 | 1 | 4.99 | Consommation ind. | Frag | Tesson de bord décoré, UV30 |
| 52N103E | 2b (14/22 - 20/25) | NE | | 1345 | 1.1.1.991 | Céramique de type autochtone | contenant (tbd) | 1 | 1 | 4.99 | Consommation ind. | Frag | Tesson de bord décoré, UV11 |
| 52N103E | 2b (14/22 - 20/25) | NE | | 1346.1 | 1.1.1.991 | Céramique de type autochtone | contenant (tpd) | 1 | 1 | 4.99 | Consommation ind. | Frag | Tesson décoré, potentiellement associable à UV11 |
| 52N103E | 2b (14/22 - 20/25) | NE | | 1346.2 | 1.1.1.991 | Céramique de type autochtone | contenant (tpd) | 1 | 1 | 4.99 | Consommation ind. | Frag | Tesson décoré, potentiellement associable à UV11 |
| 52N103E | 2b (14/22 - 20/25) | NE | | 1346.3 | 1.1.1.991 | Céramique de type autochtone | contenant (tpd) | 1 | 1 | 4.99 | Consommation ind. | Frag | Tesson décoré, potentiellement associable à UV26 |
| 52N103E | 2b (14/22 - 20/25) | NE | | 1347 | 1.1.1.991 | Céramique de type autochtone | contenant (tpd) | 1 | 1 | 4.99 | Consommation ind. | Frag | Tesson décoré, UV17 |
| 52N103E | 2b (14/22 - 20/25) | NE | | 1723 | 1.1.1.991 | Céramique de type autochtone | contenant (tpd) | 1 | 1 | 4.99 | Consommation ind. | Frag | Tesson décoré, potentiellement associable à UV24 |
| 52N103E | 2b (14/22 - 20/25) | NE | | 1348 | 1.1.1.991 | Céramique de type autochtone | contenant (tpd) | 13 | ? | 4.99 | Consommation ind. | Frag | Tessons décorés à la cordelette ou traités au battoir cordé |

| Puits/sond. | Niveau/Prof. | Quadrant | Loc. | No. cat. | Code mat. | Matériau | Objet | Nb. frag. | Nb. obj. | Code fonction | Fonction | Intégrité | Commentaires |
|-------------|--------------------|----------|----------|----------|-----------|---|------------------------|-----------|----------|---------------|------------------------------------|-----------|---|
| 52N103E | 2b (14/22 - 20/25) | NE | | 1349 | 1.1.1.991 | Céramique de type autochtone | contenant (tpd) | 1 | 1 | 4.99 | Consommation ind. | Frag | Tesson décoré à la cordelette ou traité au battoir cordé, ép. 17,2 mm, UV17 |
| 52N103E | 2b (14/22 - 20/25) | NE | | 1350 | 1.1.1.991 | Céramique de type autochtone | contenant (tpnd) | 4 | ? | 4.99 | Consommation ind. | Frag | Tessons non décorés, 1 scarifié |
| 52N103E | 2b pr1 (58) | NE | 50N 100E | 1351 | 4.1 | Matières premières | outil | 1 | 1 | 1.1.1.1 | Pierre dure, outils | Frag | Outil sur support trouvé ad hoc, en METAM, 98x50mm |
| 52N103E | 2b (14/22 - 20/25) | NE | | 1352 | 4.1 | Matières premières | éclat | 2 | 2 | 1.1.1.4 | Pierre dure, techno-témoin | Frag | 1 QTZ, 1 MISTA |
| 52N103E | 2b (14/22 - 20/25) | NE | | 1353 | 3.1.1.13 | Métal ferreux, fer tréfilé | clou | 1 | 1 | 4.7.2.3 | Fixations - clous | Frag | Fragment de clou tréfilé, 17 mm de long |
| 52N103E | 2b (14/22 - 20/25) | NE | | 1354 | 5.1.1 | Os | ossement | 18 | ? | 6.1.1 | Animaux sauf mollusques | Frag | 17 petits fragments blanchis, 1 écu |
| 52N103E | 2b (14/22 - 20/25) | SE | | 1355 | 1.1.1.991 | Céramique de type autochtone | contenant (tbd) | 1 | 1 | 4.99 | Consommation ind. | Frag | Tesson de bord décoré, potentiellement associable à UV11 |
| 52N103E | 2b (14/22 - 20/25) | SE | | 1356 | 1.1.1.991 | Céramique de type autochtone | contenant (tpd) | 1 | 1 | 4.99 | Consommation ind. | Frag | Tesson décoré, même unité de vase que 1339, 1343 et 1375 ? |
| 52N103E | 2b (14/22 - 20/25) | SE | | 1357 | 1.1.1.991 | Céramique de type autochtone | contenant (tpd) | 1 | 1 | 4.99 | Consommation ind. | Frag | Tesson décoré, UV17 |
| 52N103E | 2b (14/22 - 20/25) | SE | | 1358 | 1.1.1.991 | Céramique de type autochtone | contenant (tpd) | 1 | 1 | 4.99 | Consommation ind. | Frag | Tesson décoré |
| 52N103E | 2b (14/22 - 20/25) | SE | | 1724 | 1.1.1.991 | Céramique de type autochtone | contenant (tpnd) | 1 | 1 | 4.99 | Consommation ind. | Frag | Tesson non décoré, épais, potentiellement associable à UV12 |
| 52N103E | 2b (14/22 - 20/25) | SE | | 1359 | 1.1.1.991 | Céramique de type autochtone | contenant (tpnd) | 3 | ? | 4.99 | Consommation ind. | Frag | Tessons non décorés, 1 avec résidu carbonisés sur paroi interne |
| 52N103E | 2b (14/22 - 20/25) | SE | | 1360 | 4.1 | Matières premières | éclat | 5 | 3 | 1.1.1.4 | Pierre dure, techno-témoin | Frag | 1 QTZ, 2 CHC001, 3 TRE |
| 52N103E | 2b (14/22 - 20/25) | SE | | 1361 | 5.1.1 | Os | ossement | 33 | ? | 6.1.1 | Animaux sauf mollusques | Frag | Petits fragments blanchis, plusieurs avec teinte grise-bleutée |
| 52N103E | 2b (14/22 - 20/25) | SW | | 1362 | 1.1.1.991 | Céramique de type autochtone | contenant (tbd) | 1 | 1 | 4.99 | Consommation ind. | Frag | Fragment deèvre décorée, potentiellement associable à UV11 |
| 52N103E | 2b (14/22 - 20/25) | SW | | 1363 | 1.1.1.991 | Céramique de type autochtone | contenant (tpd) | 3 | 1 | 4.99 | Consommation ind. | Frag | Tessons décorés, UV17 |
| 52N103E | 2b (14/22 - 20/25) | SW | | 1364 | 4.1 | Matières premières | éclat | 1 | 1 | 1.1.1.4 | Pierre dure, techno-témoin | Frag | QTZ |
| 52N103E | 2b (14/22 - 20/25) | SW | | 1365 | 5.1.1 | Os | ossement | 38 | ? | 6.1.1 | Animaux sauf mollusques | Frag | Petits fragments blanchis, plusieurs avec teinte grise-bleutée |
| 52N103E | 3a (20/25 - 26/35) | NW | | 1366 | 5.1.1 | Os | ossement | 4 | ? | 6.1.1 | Animaux sauf mollusques | Frag | Petits fragments blanchis |
| 52N103E | 3a (20/25 - 26/35) | NE | | 1367 | 1.1.1.991 | Céramique de type autochtone | contenant (tpnd) | 1 | 1 | 4.99 | Consommation ind. | Frag | Tesson non décoré |
| 52N103E | 3a (20/25 - 26/35) | NE | | 1368 | 2.3.1.1 | Verre de couleur, transparent, vert foncé | bouteille | 1 | 1 | 4.2.1.2 | Boissons, conservation/entreposage | Frag | Petit tessin incurvé, ép. 1,4 mm |
| 52N103E | 3a (20/25 - 26/35) | NE | | 1369 | 5.1.1 | Os | ossement | 6 | ? | 6.1.1 | Animaux sauf mollusques | Frag | Petits fragments blanchis |
| 52N103E | 2a + 2b + 3a | SW | | 1370 | 5.1.1 | Os | ossement | 41 | ? | 6.1.1 | Animaux sauf mollusques | Frag | Chute de paroi. Petits fragments blanchis, plusieurs avec teinte grise-bleutée |
| 52N103E | 4a (20/24 - 29/33) | NW | | 1371 | 1.1.1.991 | Céramique de type autochtone | contenant (tbd) | 1 | 1 | 4.99 | Consommation ind. | Frag | Tesson de bord décoré, UV19 |
| 52N103E | 4a pr1 (55) | NW | 82N 0E | 1372 | 1.1.1.991 | Céramique de type autochtone | contenant (tpd) | 1 | 1 | 4.99 | Consommation ind. | Frag | Tesson décoré, brisé en 2 fragments en laboratoire |
| 52N103E | 4a pr1 (60) | NW | 86N 9E | 1373 | 1.1.1.991 | Céramique de type autochtone | contenant (tpd) | 1 | 1 | 4.99 | Consommation ind. | Frag | Tesson décoré, résidu carbonisés sur paroi interne |
| 52N103E | 4a (20/24 - 29/33) | NW | | 1374 | 1.1.1.991 | Céramique de type autochtone | contenant (tpd) | 1 | 1 | 4.99 | Consommation ind. | Frag | Tesson décoré |
| 52N103E | 4a (20/24 - 29/33) | NW | | 1375 | 1.1.1.991 | Céramique de type autochtone | contenant (tpnd) | 1 | 1 | 4.99 | Consommation ind. | Frag | Grand tesson non décoré, ép. 13,7 mm, scarifié sur les deux parois, même unité de vase que 1339, 1343 et 1356 ? |
| 52N103E | 4a pr1 (53) | NW | 86N 33E | 1376 | 4.1 | Matières premières | grattoir | 1 | 1 | 1.1.1.1 | Pierre dure, outils | Frag | Fragment latéral avec marge de grattoir unimarginal sur éclat en TRE, 24x15mm |
| 52N103E | 4a (20/24 - 29/33) | NW | | 1377 | 4.1 | Matières premières | éclat | 2 | 2 | 1.1.1.4 | Pierre dure, techno-témoin | Frag | 1 CHAPH brun (silex européen?), 1 ONT001 |
| 52N103E | 4a (20/24 - 29/33) | NW | | 1378 | 5.1.1 | Os | ossement | 132 | ? | 6.1.1 | Animaux sauf mollusques | Frag | Petits fragments blanchis, quelques-uns potentiellement identifiables, plusieurs avec teinte grise-bleutée |
| 52N103E | 4b (29/33 - 36/40) | NW | | 1379 | 5.1.1 | Os | ossement | 39 | ? | 6.1.1 | Animaux sauf mollusques | Frag | Petits fragments blanchis, plusieurs avec teinte grise-bleutée |
| 52N103E | 4b pr1 (70) | NW | 94N 27E | 1380 | 5.1.6 | Charbon | échantillon de charbon | 1 | 1 | 7.4 | Témoins de combustion | Frag | Échantillon de charbon récolté à l'intérieur de la cuvette |
| 52N103E | 4c (36/40 - 41/45) | NW | | 1381 | 5.1.1 | Os | ossement | 4 | ? | 6.1.1 | Animaux sauf mollusques | Frag | Petits fragments blanchis, 1 avec teinte bleutée |
| 52N103E | 5a pr1 (62) | SE | 45N 64E | 1382 | 1.1.1.991 | Céramique de type autochtone | contenant (tpd) | 1 | 1 | 4.99 | Consommation ind. | Frag | Tesson décoré, UV17 |
| 52N103E | 5a pr1 (63) | SE | 23N 74E | 1383 | 1.1.1.991 | Céramique de type autochtone | contenant (tpd) | 1 | 1 | 4.99 | Consommation ind. | Frag | Tesson décoré, UV17 |
| 52N103E | 5a (16/24 - 26/29) | SE | | 1384 | 1.1.1.991 | Céramique de type autochtone | contenant (tpd) | 1 | 1 | 4.99 | Consommation ind. | Frag | Tesson décoré, UV17 |
| 52N103E | 5a (16/24 - 26/29) | SE | | 1725 | 1.1.1.991 | Céramique de type autochtone | contenant (tpd) | 1 | 1 | 4.99 | Consommation ind. | Frag | Tesson décoré |
| 52N103E | 5a (16/24 - 26/29) | SE | | 1385 | 4.1 | Matières premières | éclat | 5 | 4 | 1.1.1.4 | Pierre dure, techno-témoin | Frag | 1 QTZ, 1 QTZH, 1 CHC001, 2 TRE |
| 52N103E | 5a (16/24 - 26/29) | SE | | 1386 | 5.1.1 | Os | ossement | 98 | ? | 6.1.1 | Animaux sauf mollusques | Frag | Petits fragments blanchis, plusieurs avec teinte grise-bleutée, 1 vertèbre de poisson ? |
| 52N103E | 5b pr1 (74) | SE | 15N 67E | 1387 | 1.1.1.991 | Céramique de type autochtone | contenant (tpd) | 1 | 1 | 4.99 | Consommation ind. | Frag | Tous les artefacts du niv. 5b ont été trouvés de 26/29 cm à 39/44 cm de profondeur dans le QSE (aucune culture matérielle dans la prolongation du niveau dans le QNE). Tesson décoré, UV17 |
| 52N103E | 5b pr1 (78) | SE | 9N 80E | 1388 | 1.1.1.991 | Céramique de type autochtone | contenant (tpd) | 1 | 1 | 4.99 | Consommation ind. | Frag | Tous les artefacts du niv. 5b ont été trouvés de 26/29 cm à 39/44 cm de profondeur dans le QSE (aucune culture matérielle dans la prolongation du niveau dans le QNE). Tesson décoré, UV17 |
| 52N103E | 5b (26/33 - 39/44) | SE | | 1389.1 | 1.1.1.991 | Céramique de type autochtone | contenant (tpd) | 1 | 1 | 4.99 | Consommation ind. | Frag | Tous les artefacts du niv. 5b ont été trouvés de 26/29 cm à 39/44 cm de profondeur dans le QSE (aucune culture matérielle dans la prolongation du niveau dans le QNE). Tesson décoré, potentiellement associable à UV11 |
| 52N103E | 5b (26/33 - 39/44) | SE | | 1389.2 | 1.1.1.991 | Céramique de type autochtone | contenant (tpd) | 1 | 1 | 4.99 | Consommation ind. | Frag | Tous les artefacts du niv. 5b ont été trouvés de 26/29 cm à 39/44 cm de profondeur dans le QSE (aucune culture matérielle dans la prolongation du niveau dans le QNE). Tesson décoré, semblable à UV11 et autres |
| 52N103E | 5b (26/33 - 39/44) | SE | | 1390 | 1.1.1.991 | Céramique de type autochtone | contenant (tpd) | 1 | 1 | 4.99 | Consommation ind. | Frag | Tous les artefacts du niv. 5b ont été trouvés de 26/29 cm à 39/44 cm de profondeur dans le QSE (aucune culture matérielle dans la prolongation du niveau dans le QNE). Tesson décoré, UV24 |
| 52N103E | 5b (26/33 - 39/44) | SE | | 1391 | 1.1.1.991 | Céramique de type autochtone | contenant (tpd) | 1 | 1 | 4.99 | Consommation ind. | Frag | Tous les artefacts du niv. 5b ont été trouvés de 26/29 cm à 39/44 cm de profondeur dans le QSE (aucune culture matérielle dans la prolongation du niveau dans le QNE). Petit tesson décoré à la cordelette ou traité au battoir cordé |
| 52N103E | 5b (26/33 - 39/44) | SE | | 1392 | 4.1 | Matières premières | éclat | 2 | 2 | 1.1.1.4 | Pierre dure, techno-témoin | Frag | Tous les artefacts du niv. 5b ont été trouvés de 26/29 cm à 39/44 cm de profondeur dans le QSE (aucune culture matérielle dans la prolongation du niveau dans le QNE). 1 QTZ, 1 ONT001 |
| 52N103E | 5b (26/33 - 39/44) | SE | | 1393 | 5.1.1 | Os | ossement | 41 | ? | 6.1.1 | Animaux sauf mollusques | Frag | Tous les artefacts du niv. 5b ont été trouvés de 26/29 cm à 39/44 cm de profondeur dans le QSE (aucune culture matérielle dans la prolongation du niveau dans le QNE). Petits fragments blanchis |

| Puits/sond. | Niveau/Prof. | Quadrant | Loc. | No. cat. | Code mat. | Matériau | Objet | Nb. frag. | Nb. obj. | Code fonction | Fonction | Intégrité | Commentaires |
|-------------|-------------------|----------|---------|----------|-----------|---|--------------------|-----------|----------|---------------|------------------------------------|-----------|---|
| 52N103E | ? | ? | | 1394 | 4.1 | Matières premières | outil | 1 | 1 | 1.1.1.1 | Pierre dure, outils | Frag | Fragment d'outil sur éclat retouché en ONO, 15x13mm |
| 52N105E | 2a (1/9 - 6/14) | NW | | 1395 | 1.1.1.991 | Céramique de type autochtone | contenant (tpnd) | 1 | 1 | 4.99 | Consommation ind. | Frag | Tesson non décoré, scarifié sur paroi interne |
| 52N105E | 2a (1/9 - 6/14) | NW | | 1396 | 4.1 | Matières premières | outil | 1 | 1 | 1.1.1.1 | Pierre dure, outils | Frag | Fragment d'outil (pièce esquillée?) sur éclat en QTZ, 13x10mm. Présence d'une partie d'un front |
| 52N105E | 2a (1/9 - 6/14) | NW | | 1397 | 4.1 | Matières premières | éclat | 1 | 1 | 1.1.1.4 | Pierre dure, techno-témoin | Frag | TRE (variante bleutée) |
| 52N105E | 2a (1/9 - 6/14) | NW | | 1398 | 5.1.1 | Os | ossement | 1 | 1 | 6.1.1 | Animaux sauf mollusques | Frag | Petit fragment blanchi |
| 52N105E | 2a (1/9 - 6/14) | NE | | 1399 | 4.1 | Matières premières | éclat | 1 | 1 | 1.1.1.4 | Pierre dure, techno-témoin | Frag | ONO |
| 52N105E | 2a (1/9 - 6/14) | NE | | 1400 | 5.1.1 | Os | ossement | 4 | ? | 6.1.1 | Animaux sauf mollusques | Frag | Petits fragments blanchis |
| 52N105E | 2a (1/9 - 6/14) | SE | | 1401 | 5.1.1 | Os | ossement | 1 | 1 | 6.1.1 | Animaux sauf mollusques | Frag | Petit fragment blanchi |
| 52N105E | 2a (1/9 - 6/14) | SW | | 1402 | 5.1.1 | Os | ossement | 2 | ? | 6.1.1 | Animaux sauf mollusques | Frag | Petits fragments blanchis, 1 fragment brisé en 2 au laboratoire |
| 52N105E | 2b (6/17 - 17/30) | NW | | 1403 | 4.1 | Matières premières | éclat | 3 | 1 | 1.1.1.4 | Pierre dure, techno-témoin | Frag | 3 QTZ |
| 52N105E | 2b (6/17 - 17/30) | NW | | 1404 | 5.1.1 | Os | ossement | 4 | ? | 6.1.1 | Animaux sauf mollusques | Frag | Petits fragments blanchis |
| 52N105E | 2b pr1 (45) | NE | 95N 60E | 1405 | 4.1 | Matières premières | grattoir | 1 | 1 | 1.1.1.1 | Pierre dure, outils | Frag | Grattoir unimarginal sur éclat en QTZH, 19x17mm |
| 52N105E | 2b (6/17 - 17/30) | NE | | 1406 | 4.1 | Matières premières | grattoir | 1 | 1 | 1.1.1.1 | Pierre dure, outils | Frag | Fragment marginal de grattoir sur éclat en ONO, 6x15mm |
| 52N105E | 2b (6/17 - 17/30) | NE | | 1407 | 4.1 | Matières premières | éclat | 4 | ? | 1.1.1.4 | Pierre dure, techno-témoin | Frag | 3 QTZ, 1 ONO |
| 52N105E | 2b (6/17 - 17/30) | NE | | 1408 | 2.3.1.1 | Verre de couleur, transparent, vert foncé | bouteille | 1 | 1 | 4.2.1.2 | Boissons, conservation/entreposage | Frag | Petit tesson incurvé, ép. 4,8 mm |
| 52N105E | 2b (6/17 - 17/30) | NE | | 1409 | 5.1.1 | Os | ossement | 3 | ? | 6.1.1 | Animaux sauf mollusques | Frag | Petits fragments blanchis |
| 52N105E | 2b (6/17 - 17/30) | SE | | 1410 | 4.1 | Matières premières | éclat | 2 | 2 | 1.1.1.4 | Pierre dure, techno-témoin | Frag | 1 QTZH, 1 MISTA |
| 52N105E | 2b (6/17 - 17/30) | SW | | 1411 | 1.1.1.991 | Céramique de type autochtone | contenant (tpd) | 2 | ? | 4.99 | Consommation ind. | Frag | Petits tessons décorés |
| 52N105E | 2b (6/17 - 17/30) | SW | | 1412 | 1.1.1.991 | Céramique de type autochtone | contenant (tpnd) | 1 | 1 | 4.99 | Consommation ind. | Frag | Petit tesson non décoré, scarifié |
| 52N105E | 2b (6/17 - 17/30) | SW | | 1413 | 4.1 | Matières premières | éclat | 3 | 3 | 1.1.1.4 | Pierre dure, techno-témoin | Frag | 1 QTZ, 1 TRE, ONT001 |
| 52N105E | 2b (6/17 - 17/30) | SW | | 1414 | 3.1 | Métaux et alliages | fragment ind. | 1 | 1 | 7.1 | Indéterminé | Frag | Plaquette en plomb (?), 25x20mm |
| 52N105E | 2b (6/17 - 17/30) | SW | | 1415 | 5.1.1 | Os | ossement | 16 | ? | 6.1.1 | Animaux sauf mollusques | Frag | Petits fragments blanchis, 1 plus gros potentiellement identifiable |
| 52N107E | 2a (3/12 - 17/20) | NW | | 1416 | 1.1.1.991 | Céramique de type autochtone | contenant (tpd) | 1 | 1 | 4.99 | Consommation ind. | Frag | Tesson décoré, UV8 |
| 52N107E | 2a (3/12 - 17/20) | NW | | 1417 | 1.1.1.991 | Céramique de type autochtone | contenant (tpnd) | 2 | ? | 4.99 | Consommation ind. | Frag | Petits tessons non décorés |
| 52N107E | 2a (3/12 - 17/20) | NW | | 1418 | 4.1 | Matières premières | outil | 1 | 1 | 1.1.1.1 | Pierre dure, outils | Frag | Fragment d'outil (pièce esquillée?) sur éclat en QTZ, 11x13mm |
| 52N107E | 2a pr2 (41) | NE | 95N 44E | 1426 | 4.1 | Matières premières | outil | 1 | 1 | 1.1.1.1 | Pierre dure, outils | Frag | Fragment d'outil (pièce esquillée?) en QTZ, 27x13mm |
| 52N107E | 2a pr2 (44) | NW | 66N 29E | 1419 | 4.1 | Matières premières | éclat | 1 | 1 | 1.1.1.4 | Pierre dure, techno-témoin | Frag | Gros éclat d'amincissement bifacial en TRE |
| 52N107E | 2a (3/12 - 17/20) | NW | | 1420 | 4.1 | Matières premières | éclat | 12 | 3 | 1.1.1.4 | Pierre dure, techno-témoin | Frag | 5 QTZ, 5 ONO, 2 TRE |
| 52N107E | 2a (3/12 - 17/20) | NW | | 1421 | 3.1.1.13 | Métal ferreux, fer tréfilé | clou | 7 | 7 | 4.7.2.3 | Fixations - clous | Ent | 7 clous tréfilés corrodés, 3 x 7,5 cm de long, 3 x 2,8 cm de long, 1 x 3,5 cm de long |
| 52N107E | 2a (3/12 - 17/20) | NW | | 1422 | 3.1.1 | Métaux et alliages ferreux | rondelle à cuvette | 5 | 1 | 4.7.2.4 | Fixations - divers | Frag | 5 fragments jointifs et corrodés, rondelle utilisée notamment pour fixer un panneau isolant contre le mur d'une maison |
| 52N107E | 2a (3/12 - 17/20) | NW | | 1423 | 5.1.1 | Os | ossement | 47 | ? | 6.1.1 | Animaux sauf mollusques | Frag | Petits fragments blanchis, quelques-uns potentiellement identifiables |
| 52N107E | 2a (3/12 - 17/20) | NE | | 1424 | 1.1.1.991 | Céramique de type autochtone | contenant (tpnd) | 1 | 1 | 4.99 | Consommation ind. | Frag | Tesson non décoré |
| 52N107E | 2a pr2 (41) | NE | 85N 67E | 1425 | 4.1 | Matières premières | outil | 1 | 1 | 1.1.1.1 | Pierre dure, outils | Ent | Éclat retouché en CHC000, 15x9mm |
| 52N107E | 2a pr2 (42) | NE | 94N 77E | 1427 | 4.1 | Matières premières | outil | 1 | 1 | 1.1.1.1 | Pierre dure, outils | Frag | Outil sur éclat épais en IGN gris foncé, 17x23x11mm |
| 52N107E | 2a (3/12 - 17/20) | NE | | 1428 | 4.1 | Matières premières | éclat | 9 | 4 | 1.1.1.4 | Pierre dure, techno-témoin | Frag | 5 QTZ, 2 TRE, 1 ONO, 1 ONT001 |
| 52N107E | 2a (3/12 - 17/20) | NE | | 1429 | 3.1.1.13 | Métal ferreux, fer tréfilé | clou | 3 | 3 | 4.7.2.3 | Fixations - clous | Ent | 3 clous tréfilés corrodés, 2 x 2,9 cm de long, 1 x 2,05 cm de long (quasi complet) |
| 52N107E | 2a (3/12 - 17/20) | NE | | 1430 | 3.1.1.13 | Métal ferreux, fer tréfilé | vis | 1 | 1 | 4.7.2.4 | Fixations - divers | Ent | Vis corrodée à tête fendue, 3,9 cm de long |
| 52N107E | 2a (3/12 - 17/20) | NE | | 1431 | 2.1.1 | Verre incolore, sans plomb | vitre | 1 | 1 | 4.7.1.1 | Matériaux de base - vitre | Frag | Petit tesson de vitre, ép. 2,3 mm |
| 52N107E | 2a (3/12 - 17/20) | NE | | 1432 | 2.1.1 | Verre incolore, sans plomb | bouteille | 2 | ? | 4.2.1.2 | Boissons, conservation/entreposage | Frag | 1 tesson incurvé avec trace de moulage, ép. 4,7 mm; 1 tesson incurvé, ép. 2,5 mm |
| 52N107E | 2a (3/12 - 17/20) | NE | | 1433 | 5.1.1 | Os | ossement | 28 | ? | 6.1.1 | Animaux sauf mollusques | Frag | Petits fragments blanchis |
| 52N107E | 2a (3/12 - 17/20) | SE | | 1434 | 1.1.1.991 | Céramique de type autochtone | contenant (tpnd) | 4 | ? | 4.99 | Consommation ind. | Frag | Tessons non décorés, 2 scarifiés |
| 52N107E | 2a (3/12 - 17/20) | SE | | 1435 | 4.1 | Matières premières | éclat | 19 | 4 | 1.1.1.4 | Pierre dure, techno-témoin | Frag | 9 QTZ, 3 ONO, 3 TRE (2x var. CH-002 2021), 4 CH000 gris foncé brunâtres |
| 52N107E | 2a (3/12 - 17/20) | SE | | 1436 | 2.1.1 | Verre incolore, sans plomb | fragment ind. | 1 | 1 | 7.1 | Indéterminé | Frag | Très petit éclat |
| 52N107E | 2a (3/12 - 17/20) | SE | | 1437 | 2.2.1 | Verre teinté régulier | vitre | 1 | 1 | 4.7.1.1 | Matériaux de base - vitre | Frag | Tesson de vitre, ép. 2,3 mm |
| 52N107E | 2a (3/12 - 17/20) | SE | | 1438 | 5.1.1 | Os | ossement | 11 | ? | 6.1.1 | Animaux sauf mollusques | Frag | Petits fragments blanchis, 1 phalange potentiellement identifiable |
| 52N107E | 2a pr2 (40) | SW | 23N 41E | 1439 | 1.1.1.991 | Céramique de type autochtone | contenant (tpnd) | 1 | 1 | 4.99 | Consommation ind. | Frag | Tesson non décoré |
| 52N107E | 2a pr2 (37) | SW | 33N 27E | 1440 | 4.1 | Matières premières | pièce esquillée | 1 | 1 | 1.1.1.1 | Pierre dure, outils | Frag | Pièce esquillée en ONO, 17x8mm |
| 52N107E | 2a (3/12 - 17/20) | SW | | 1441 | 4.1 | Matières premières | éclat | 11 | 4 | 1.1.1.4 | Pierre dure, techno-témoin | Frag | 3 QTZ, 1 ONO, 4 TRE (1 noir bleuté), 3 CH000 gris |
| 52N107E | 2a (3/12 - 17/20) | SW | | 1442 | 3.1.1.13 | Métal ferreux, fer tréfilé | clou | 1 | 1 | 4.7.2.3 | Fixations - clous | Ent | Clou tréfilé corrodé, 8 cm de long |
| 52N107E | 2a (3/12 - 17/20) | SW | | 1443 | 2.2.1 | Verre teinté régulier | vitre | 1 | 1 | 4.7.1.1 | Matériaux de base - vitre | Frag | Tesson de vitre, ép. 2,3 mm |
| 52N107E | 2a (3/12 - 17/20) | SW | | 1444 | 2.1.1 | Verre incolore, sans plomb | fragment ind. | 1 | 1 | 7.1 | Indéterminé | Frag | Tesson incurvé à reflets rosés, ép. 1,5 mm |
| 52N107E | 2a (3/12 - 17/20) | SW | | 1445 | 5.1.1 | Os | ossement | 3 | ? | 6.1.1 | Animaux sauf mollusques | Frag | Petits fragments blanchis |
| 52N107E | 2b pr2 (48) | NW | 50N 2E | 1474 | 1.1.1.991 | Céramique de type autochtone | contenant (tbd) | 1 | 1 | 4.99 | Consommation ind. | Frag | Tesson de bord décoré, associé à la concentration de céramique, brisé en 2 fragments en laboratoire, même unité de vase que 703 (2021), UV8 |
| 52N107E | 2b pr2 (45 - 49) | NW | 54N 14E | 1475 | 1.1.1.991 | Céramique de type autochtone | contenant (tpd) | 47 | 1 | 4.99 | Consommation ind. | Frag | Tessons décorés, associés à la concentration de céramique, 2 tessons brisés en 2 fragments en laboratoire, UV8 |

| Puits/sond. | Niveau/Prof. | Quadrant | Loc. | No. cat. | Code mat. | Matériau | Objet | Nb. frag. | Nb. obj. | Code fonction | Fonction | Intégrité | Commentaires |
|-------------|--------------------|----------|---------|----------|-----------|------------------------------|------------------------|-----------|----------|---------------|--|-----------|---|
| 52N107E | 2b pr2 (45 - 49) | NW | 54N 14E | 1476 | 1.1.1.991 | Céramique de type autochtone | contenant (tpnd) | 54 | 1 | 4.99 | Consommation ind. | Frag | Tessons non décorés, associés à la concentration de céramique, UV8 |
| 52N107E | 2b (17/20 - 23/31) | NW | | 1446 | 1.1.1.991 | Céramique de type autochtone | contenant (tpd) | 12 | 1 | 4.99 | Consommation ind. | Frag | Tessons décorés, UV8 |
| 52N107E | 2b (17/20 - 23/31) | NW | | 1447 | 1.1.1.991 | Céramique de type autochtone | contenant (tpnd) | 9 | ? | 4.99 | Consommation ind. | Frag | Petits tessons non décorés |
| 52N107E | 2b (17/20 - 23/31) | NW | | 1448 | 4.1 | Matières premières | biface | 1 | 1 | 1.1.1.1 | Pierre dure, outils | Frag | Fragment d'outil bifacial en QTZ, 32x14mm |
| 52N107E | 2b (17/20 - 23/31) | NW | | 1449 | 4.1 | Matières premières | outil | 1 | 1 | 1.1.1.1 | Pierre dure, outils | Frag | Fragment d'éclat retouché en TRE, 19x9mm |
| 52N107E | 2b (17/20 - 23/31) | NW | | 1450 | 4.1 | Matières premières | grattoir | 1 | 1 | 1.1.1.1 | Pierre dure, outils | Frag | Fragment méso-distal de grattoir unimarginal sur éclat en CHC001, 14x17mm |
| 52N107E | 2b (17/20 - 23/31) | NW | | 1451 | 4.1 | Matières premières | éclat | 31 | 5 | 1.1.1.4 | Pierre dure, techno-témoin | Frag | 24 QTZ, 1 MISTA, 4 TRE (1 noir), 1 CHC001, 1 CHAPH brun très foncé |
| 52N107E | 2b (17/20 - 23/31) | NW | | 1452 | 3.1.1.13 | Métal ferreux, fer tréfilé | clou | 2 | 2 | 4.7.2.3 | Fixations - clous | Ent | Clous tréfilés corrodés, 2,8 cm de long |
| 52N107E | 2b (17/20 - 23/31) | NW | | 1453 | 3.1.1 | Métaux et alliages ferreux | rondelle à cuvette | 1 | 1 | 4.7.2.4 | Fixations - divers | Frag | Fragment corrodé de rondelle utilisée notamment pour fixer un panneau isolant contre le mur d'une maison |
| 52N107E | 2b pr2 (48) | NW | 81N 28E | 1454 | 5.1.1 | Os | os travaillé | 1 | 1 | 1.1.3.4 | Solide stable d'origine organique, techno-témoin | Frag | Fragment d'outil rainuré en métapode de cervidé |
| 52N107E | 2b (17/20 - 23/31) | NW | | 1455 | 5.1.1 | Os | ossement | 310 | ? | 6.1.1 | Animaux sauf mollusques | Frag | Petits fragments blanchis, plusieurs avec teinte grise-bleutée, quelques-uns potentiellement identifiables, fragments de dent de cervidé et 1 phalange/métapode |
| 52N107E | 2b pr2 (48) | NW | 69N 5E | 1456 | 5.1.6 | Charbon | échantillon de charbon | 1 | 1 | 7.4 | Témoins de combustion | Ent | Échantillon de charbon associé à la concentration de céramique in situ et à la structure de combustion dans les quadrants NW et NE |
| 52N107E | 2b pr2 (49) | NW | 63N 12E | 1468 | 5 | Matières organiques | échantillon de sol | 1 | 1 | 1.3.97.2 | Indéterminé, résidus | Frag | Échantillon de sol pour analyse lipidique associé à la concentration de céramique in situ et à la structure de combustion dans les quadrants NW et NE |
| 52N107E | 2b (17/20 - 23/31) | NE | | 1457 | 1.1.1.991 | Céramique de type autochtone | contenant (tpd) | 4 | ? | 4.99 | Consommation ind. | Frag | Tessons décorés |
| 52N107E | 2b pr2 (48) | NE | 78N 85E | 1458 | 4.1 | Matières premières | grattoir | 1 | 1 | 1.1.1.1 | Pierre dure, outils | Frag | Grattoir unimarginal sur éclat en ONO, 11x17mm |
| 52N107E | 2b pr2 (48) | NE | 78N 92E | 1459 | 4.1 | Matières premières | biface | 1 | 1 | 1.1.1.1 | Pierre dure, outils | Frag | Fragment latéral d'outil bifacial en QTZ, 20x24mm |
| 52N107E | 2b (17/20 - 23/31) | NE | | 1460 | 4.1 | Matières premières | grattoir | 1 | 1 | 1.1.1.1 | Pierre dure, outils | Frag | Fragment de grattoir sur éclat en ONO, 9x10mm |
| 52N107E | 2b (17/20 - 23/31) | NE | | 1461 | 4.1 | Matières premières | crystal | 1 | 1 | 1.1.1.4 | Pierre dure, techno-témoin | Frag | Fragment de cristal de QTZ |
| 52N107E | 2b (17/20 - 23/31) | NE | | 1462 | 4.1 | Matières premières | éclat | 98 | 9 | 1.1.1.4 | Pierre dure, techno-témoin | Frag | 65 QTZ, 3 QTZH, 6 ONO, 5 CHC001, 12 TRE, 3 CH000 (2 gris très foncé, 1 gris foncé verdâtre (voir cas_part_2022)), 3 CHAPH (2 beiges grisâtres), 1 METAM (gros fragment avec surface lisse ou polie) |
| 52N107E | 2b (17/20 - 23/31) | NE | | 1463 | 3.1.1 | Métaux et alliages ferreux | rondelle à cuvette | 1 | 1 | 4.7.2.4 | Fixations - divers | Ent | Rondelle corrodée utilisée notamment pour fixer un panneau isolant contre le mur d'une maison, diam. 32 mm |
| 52N107E | 2b (17/20 - 23/31) | NE | | 1464 | 5.1.1 | Os | ossement | 205 | ? | 6.1.1 | Animaux sauf mollusques | Frag | Petits fragments blanchis, plusieurs avec teinte grise-bleutée, quelques-uns potentiellement identifiables |
| 52N107E | 2b pr2 (46) | NE | 70N 63E | 1465 | 5.1.6 | Charbon | échantillon de charbon | 1 | 1 | 7.4 | Témoins de combustion | Frag | Échantillon de charbon (grand fragment) associé à la structure de combustion dans les quadrants NW et NE |
| 52N107E | 2b pr2 (49) | NE | 85N 92E | 1466 | 5.1.6 | Charbon | échantillon de charbon | 1 | 1 | 7.4 | Témoins de combustion | Frag | Échantillon de charbon associé à l'échantillon de sol du QNE et à la structure de combustion dans les quadrants NW et NE |
| 52N107E | 2b pr2 (47) | NE | 88N 93E | 1467 | 5 | Matières organiques | échantillon de sol | 1 | 1 | 1.3.97.2 | Indéterminé, résidus | Frag | Échantillon de sol pour analyse lipidique associé à la structure de combustion dans les quadrants NW et NE |
| 52N107E | 2b pr2 (48) | SE | 38N 70E | 1469 | 1.1.1.991 | Céramique de type autochtone | contenant (tpd) | 1 | 1 | 4.99 | Consommation ind. | Frag | Tesson décoré, potentiellement associable à UV8 |
| 52N107E | 2b (17/20 - 23/31) | SE | | 1726 | 1.1.1.991 | Céramique de type autochtone | contenant (tpd) | 2 | 1 | 4.99 | Consommation ind. | Frag | Petits tessons décorés, UV8 |
| 52N107E | 2b (17/20 - 23/31) | SE | | 1470 | 1.1.1.991 | Céramique de type autochtone | contenant (tpd) | 2 | 1 | 4.99 | Consommation ind. | Frag | Tessons décorés, même unité de vase |
| 52N107E | 2b (17/20 - 23/31) | SE | | 1471 | 1.1.1.991 | Céramique de type autochtone | contenant (tpnd) | 3 | ? | 4.99 | Consommation ind. | Frag | Tessons non décorés |
| 52N107E | 2b (17/20 - 23/31) | SE | | 1472 | 4.1 | Matières premières | éclat | 22 | 6 | 1.1.1.4 | Pierre dure, techno-témoin | Frag | 7 QTZ, 1 QTZH, 6 ONO, 5 CHC001, 5 ONO, 5 TRE |
| 52N107E | 2b (17/20 - 23/31) | SE | | 1473 | 5.1.1 | Os | ossement | 154 | ? | 6.1.1 | Animaux sauf mollusques | Frag | Petits fragments blanchis, plusieurs avec teinte grise-bleutée, quelques-uns potentiellement identifiables |
| 52N107E | 2b (17/20 - 23/31) | SW | | 1477 | 1.1.1.991 | Céramique de type autochtone | contenant (tpd) | 1 | 1 | 4.99 | Consommation ind. | Frag | Petit tesson de bord décoré, UV8 |
| 52N107E | 2b (17/20 - 23/31) | SW | | 1478 | 1.1.1.991 | Céramique de type autochtone | contenant (tpd) | 17 | ? | 4.99 | Consommation ind. | Frag | Petits tessons décorés, UV8 |
| 52N107E | 2b (17/20 - 23/31) | SW | | 1479 | 1.1.1.991 | Céramique de type autochtone | contenant (tpnd) | 22 | ? | 4.99 | Consommation ind. | Frag | Petits tessons non décorés |
| 52N107E | 2b (17/20 - 23/31) | SW | | 1480 | 4.1 | Matières premières | éclat | 11 | 3 | 1.1.1.4 | Pierre dure, techno-témoin | Frag | 4 QTZ, 4 ONO, 3 CH000 grossier gris foncé et beige |
| 52N107E | 2b (17/20 - 23/31) | SW | | 1481 | 5.1.1 | Os | ossement | 96 | ? | 6.1.1 | Animaux sauf mollusques | Frag | Petits fragments blanchis, plusieurs avec teinte grise-bleutée, quelques-uns potentiellement identifiables |
| 52N107E | 2c (24/26 - 28/30) | NW | | 1482 | 1.1.1.991 | Céramique de type autochtone | contenant (tpnd) | 1 | ? | 4.99 | Consommation ind. | Frag | Petit tesson non décoré |
| 52N107E | 2c (24/26 - 28/30) | NW | | 1483 | 4.1 | Matières premières | éclat | 5 | 1 | 1.1.1.4 | Pierre dure, techno-témoin | Frag | 5 QTZ |
| 52N107E | 2c (24/26 - 28/30) | NW | | 1484 | 5.1.1 | Os | ossement | 4 | ? | 6.1.1 | Animaux sauf mollusques | Frag | Petits fragments blanchis |
| 52N107E | 2c (24/26 - 28/30) | NE | | 1485 | 1.1.1.991 | Céramique de type autochtone | contenant (tpd) | 2 | ? | 4.99 | Consommation ind. | Frag | Petits tessons décorés |
| 52N107E | 2c (24/26 - 28/30) | NE | | 1486 | 1.1.1.991 | Céramique de type autochtone | contenant (tpnd) | 2 | ? | 4.99 | Consommation ind. | Frag | Petits tessons non décorés |
| 52N107E | 2c (24/26 - 28/30) | NE | | 1487 | 4.1 | Matières premières | éclat | 4 | 2 | 1.1.1.4 | Pierre dure, techno-témoin | Frag | 2 QTZ, 2 CH000 (noirs et fins) |
| 52N107E | 2c (24/26 - 28/30) | NE | | 1488 | 5.1.1 | Os | ossement | 5 | ? | 6.1.1 | Animaux sauf mollusques | Frag | Petits fragments blanchis |
| 52N107E | 3a (23/31 - 33/44) | NW | | 1489 | 1.1.1.991 | Céramique de type autochtone | contenant (tpd) | 1 | 1 | 4.99 | Consommation ind. | Frag | Petit tesson décoré |
| 52N107E | 3a (23/31 - 33/44) | NW | | 1490 | 1.1.1.991 | Céramique de type autochtone | contenant (tpnd) | 2 | 1 | 4.99 | Consommation ind. | Frag | Tessons non décorés jointifs |
| 52N107E | 3a (23/31 - 33/44) | NE | | 1491 | 4.1 | Matières premières | outil | 1 | 1 | 1.1.1.1 | Pierre dure, outils | Frag | Fragment d'outil sur éclat en QTZ, 13x15mm |
| 52N107E | 3a (23/31 - 33/44) | NE | | 1492 | 4.1 | Matières premières | éclat | 1 | 1 | 1.1.1.4 | Pierre dure, techno-témoin | Frag | QTZ |
| 52N107E | 3a (23/31 - 33/44) | NE | | 1493 | 5.1.1 | Os | ossement | 4 | ? | 6.1.1 | Animaux sauf mollusques | Frag | Petits fragments blanchis |
| 52N107E | 3b (33/44 - 37/50) | NW | | 1494 | 4.1 | Matières premières | biface | 1 | 1 | 1.1.1.1 | Pierre dure, outils | Frag | Fragment latéral d'outil bifacial em QTZ, 14x14mm |
| 52N107E | 3b (33/44 - 37/50) | NW | | 1495 | 5.1.1 | Os | ossement | 1 | 1 | 6.1.1 | Animaux sauf mollusques | Frag | Petit fragment blanchi |
| 52N107E | 3b (33/44 - 37/50) | SE | | 1496 | 4.1 | Matières premières | éclat | 1 | 1 | 1.1.1.4 | Pierre dure, techno-témoin | Frag | 1 CH000 gris |
| 52N107E | 3a + 3b | SE | | 1497 | 4.1 | Matières premières | éclat | 2 | ? | 1.1.1.4 | Pierre dure, techno-témoin | Frag | 2 QTZ |

| Puits/sond. | Niveau/Prof. | Quadrant | Loc. | No. cat. | Code mat. | Matériau | Objet | Nb. frag. | Nb. obj. | Code fonction | Fonction | Intégrité | Commentaires |
|-------------|--------------------|----------|---------|----------|-----------|---|------------------|-----------|----------|---------------|--|-----------|--|
| 53N100E | 1 (0 - 4) | SE | | 1498 | 2.1.1 | Verre incolore, sans plomb | fragment ind. | 1 | 1 | 7.1 | Indéterminé | Frag | Petit tesson, ép. 1,4 mm |
| 53N100E | 1 (0 - 4) | SE | | 1499 | 5.1.1 | Os | ossement | 3 | ? | 6.1.1 | Animaux sauf mollusques | Frag | Petits fragments blanchis |
| 53N100E | 2a (4 - 14) | NE | | 1500 | 1.1.1.991 | Céramique de type autochtone | contenant (tpnd) | 2 | ? | 4.99 | Consommation ind. | Frag | Petits tessons non décorés, 1 scarifié sur deux parois |
| 53N100E | 2a (4 - 14) | NE | | 1501 | 4.1 | Matières premières | éclat | 8 | 4 | 1.1.1.4 | Pierre dure, techno-témoin | Frag | 4 QTZ, 1 ONO, 2 CHAPH gris pâle, 1 TRE (variante noire cireuse) |
| 53N100E | 2a (4 - 14) | NE | | 1502 | 5.1.1 | Os | ossement | 5 | ? | 6.1.1 | Animaux sauf mollusques | Frag | Petits fragments blanchis |
| 53N100E | 2a (4 - 14) | SE | | 1503 | 1.1.1.991 | Céramique de type autochtone | contenant (tpnd) | 4 | ? | 4.99 | Consommation ind. | Frag | Petits tessons non décorés, 2 jointifs |
| 53N100E | 2a (4 - 14) | SE | | 1504 | 4.1 | Matières premières | éclat | 19 | 7 | 1.1.1.4 | Pierre dure, techno-témoin | Frag | 3 QTZ, 6 QTZH, 3 MISTA, 3 ONO, 3 CHAPH (1 brun très foncé, 1 gris foncé, 1 brun (silex européen?)), 1 CH000 grossier gris |
| 53N100E | 2a (4 - 14) | SE | | 1505 | 2.3.1.12 | Verre de couleur, transparent, pourpre | bouteille | 6 | 1 | 4.2.1.2 | Boissons, conservation/entreposage | Frag | Tessons droits et plano-convexes, ép. de 2,8 à 5,8 mm |
| 53N100E | 2a (4 - 14) | SE | | 1506 | 2.3.1.1 | Verre de couleur, transparent, vert foncé | bouteille | 1 | 1 | 4.2.1.2 | Boissons, conservation/entreposage | Frag | Tesson incurvé, ép. 4,3 mm |
| 53N100E | 2a (4 - 14) | SE | | 1507 | 2.1.1 | Verre incolore, sans plomb | bouteille | 6 | 1 | 4.2.1.2 | Boissons, conservation/entreposage | Frag | Petits tessons incurvés, ép. 1,2 à 2,5 mm |
| 53N100E | 2a (4 - 14) | SE | | 1508 | 5.1.1 | Os | ossement | 41 | ? | 6.1.1 | Animaux sauf mollusques | Frag | Petits fragments blanchis, quelques-uns potentiellement identifiables |
| 53N100E | 2a (4 - 14) | SW | | 1509 | 4.1 | Matières premières | éclat | 3 | 3 | 1.1.1.4 | Pierre dure, techno-témoin | Frag | 1 QTZH, 1 ONO, 1 TRE |
| 53N100E | 2a (4 - 14) | SW | | 1510 | 5.1.1 | Os | ossement | 2 | ? | 6.1.1 | Animaux sauf mollusques | Frag | Petits fragments blanchis |
| 53N100E | 2b (14 - 20/28) | NW | | 1511 | 4.1 | Matières premières | éclat | 21 | 7 | 1.1.1.4 | Pierre dure, techno-témoin | Frag | 4 QTZ, 2 QTZH, 3 TRE, 1 ONT001, 6 ONO, 2 CHC001, 3 CHAPH (2 beige translucide, 1 noir) |
| 53N100E | 2b (14 - 20/28) | NW | | 1512 | 2.1.1 | Verre incolore, sans plomb | fragment ind. | 1 | 1 | 7.1 | Indéterminé | Frag | Tesson très légèrement incurvé, ép. 2,2 mm |
| 53N100E | 2b (14 - 20/28) | NW | | 1513 | 5.1.1 | Os | ossement | 40 | ? | 6.1.1 | Animaux sauf mollusques | Frag | Petits fragments blanchis, 1 phalange potentiellement identifiable |
| 53N100E | 2b (14 - 20/28) | NE | | 1514 | 1.1.1.991 | Céramique de type autochtone | contenant (tpd) | 1 | 1 | 4.99 | Consommation ind. | Frag | Tesson décoré, même unité de vase que 1519 |
| 53N100E | 2b (14 - 20/28) | NE | 79N 80E | 1515 | 4.1 | Matières premières | éclat | 1 | 1 | 1.1.1.4 | Pierre dure, techno-témoin | Frag | Gros éclat en CHC001, (gros éclat exceptionnel de référence pour matière première). Profondeur non précisée |
| 53N100E | 2b (14 - 20/28) | NE | | 1516 | 4.1 | Matières premières | éclat | 18 | 7 | 1.1.1.4 | Pierre dure, techno-témoin | Frag | 2 QTZ, 5 QTZH, 1 MISTA enfumé, 3 ONO (brunâtres), 5 TRE, 1 CHAPH brun (silex européen?), 1 CH000 gris |
| 53N100E | 2b (14 - 20/28) | NE | | 1517 | 2.1.1 | Verre incolore, sans plomb | bouteille | 16 | ? | 4.2.1.2 | Boissons, conservation/entreposage | Frag | Petits tessons incurvés, traces de moulage, ép. 1,7 mm |
| 53N100E | 2b (14 - 20/28) | NE | | 1518 | 5.1.1 | Os | ossement | 109 | ? | 6.1.1 | Animaux sauf mollusques | Frag | Petits fragments blanchis, quelques-uns potentiellement identifiables |
| 53N100E | 2b (14 - 20/28) | SE | | 1519 | 1.1.1.991 | Céramique de type autochtone | contenant (tpd) | 1 | 1 | 4.99 | Consommation ind. | Frag | Tesson décoré, résidus carbonisés sur paroi interne, même unité de vase que 596 (2021) et 1514 |
| 53N100E | 2b (14 - 20/28) | SE | | 1520 | 1.1.1.991 | Céramique de type autochtone | contenant (tpd) | 1 | 1 | 4.99 | Consommation ind. | Frag | Tesson décoré, semblable à UV11 et autres |
| 53N100E | 2b (14 - 20/28) | SE | | 1521 | 1.1.1.991 | Céramique de type autochtone | contenant (tpd) | 1 | 1 | 4.99 | Consommation ind. | Frag | Tesson décoré, semblable à 884.2 |
| 53N100E | 2b (14 - 20/28) | SE | | 1522 | 1.1.1.991 | Céramique de type autochtone | contenant (tpd) | 1 | 1 | 4.99 | Consommation ind. | Frag | Tesson décoré, même unité de vase que 298 (2021) ? |
| 53N100E | 2b (14 - 20/28) | SE | | 1729 | 1.1.1.991 | Céramique de type autochtone | contenant (tpd) | 1 | 1 | 4.99 | Consommation ind. | Frag | Petit tesson décoré, potentiellement associable à UV17 |
| 53N100E | 2b (14 - 20/28) | SE | | 1523 | 1.1.1.991 | Céramique de type autochtone | contenant (tpd) | 1 | 1 | 4.99 | Consommation ind. | Frag | Tesson décoré à la cordelette ou traité au battoir cordé |
| 53N100E | 2b (14 - 20/28) | SE | | 1524 | 1.1.1.991 | Céramique de type autochtone | contenant (tpnd) | 5 | ? | 4.99 | Consommation ind. | Frag | Petits tessons non décorés |
| 53N100E | 2b (14 - 20/28) | SE | | 1525 | 4.1 | Matières premières | grattoir | 1 | 1 | 1.1.1.1 | Pierre dure, outils | Frag | Fragment distal de grattoir unimarginal sur éclat en TR, 11x16mm |
| 53N100E | 2b (14 - 20/28) | SE | | 1526 | 4.1 | Matières premières | éclat | 70 | 8 | 1.1.1.4 | Pierre dure, techno-témoin | Frag | 29 QTZ, 1 QTZH, 1 MISTA, 15 TRE (8 variante noire cireuse), 1 CHC001, 1 ONT001, 13 ONO, 9 CH000 gris foncé et brunâtre |
| 53N100E | 2b (14 - 20/28) | SE | | 1527 | 2.3.1.12 | Verre de couleur, transparent, pourpre | bouteille | 4 | 1 | 4.2.1.2 | Boissons, conservation/entreposage | Frag | Certains tessons avec surface arrondie, ép. de 1,7 à 4,7 mm |
| 53N100E | 2b (14 - 20/28) | SE | | 1529 | 5.1.1 | Os | os travaillé | 2 | 1 | 1.1.3.4 | Solide stable d'origine organique, techno-témoin | Frag | Deux fragments jointifs d'un os blanchi, rainuré sur les deux parois et sur la tranche, même objet que cat. 1535, 1536 et 1543 |
| 53N100E | 2b (14 - 20/28) | SE | | 1528 | 5.1.1 | Os | ossement | 1180 | ? | 6.1.1 | Animaux sauf mollusques | Frag | Petits fragments blanchis, plusieurs avec teinte grise-bleutée, plusieurs potentiellement identifiables |
| 53N100E | 2b (14 - 20/28) | SW | | 1530 | 4.1 | Matières premières | grattoir | 1 | 1 | 1.1.1.1 | Pierre dure, outils | Ent | Micro grattoir unimarginal sur éclat en ONO, 12x13mm |
| 53N100E | 2b (14 - 20/28) | SW | | 1531 | 4.1 | Matières premières | éclat | 74 | 7 | 1.1.1.4 | Pierre dure, techno-témoin | Frag | 8 QTZ, 6 QTZH, 7 MISTA, 26 TRE, 21 ONO, 3 CHAPH brun (silex européen?), 3 CH000 à inclusions fossiles (voir cas_part_2022). Quelques éclats ont des cupules thermiques |
| 53N100E | 2b (14 - 20/28) | SW | | 1532 | 4.1 | Matières premières | cristal | 1 | 1 | 1.1.1.4 | Pierre dure, techno-témoin | Frag | Fragment de cristal de QTZ |
| 53N100E | 2b (14 - 20/28) | SW | | 1727 | 2.3.2.10 | Verre de couleur, opaque, noir | perle | 1 | 1 | 4.4.6 | Parures et bijoux | Ent | Perle en verre noir de type IIa7 |
| 53N100E | 2b (14 - 20/28) | SW | | 1533 | 2.3.1.1 | Verre de couleur, transparent, vert foncé | bouteille | 1 | 1 | 4.2.1.2 | Boissons, conservation/entreposage | Frag | Tesson incurvé |
| 53N100E | 2b (14 - 20/28) | SW | | 1535 | 5.1.1 | Os | os travaillé | 1 | 1 | 1.1.3.4 | Solide stable d'origine organique, techno-témoin | Frag | Fragment d'os blanchi, rainuré sur une paroi, provient sans doute du même objet que cat.1529, 1536 et 1543 |
| 53N100E | 2b (14 - 20/28) | SW | | 1534 | 5.1.1 | Os | ossement | 485 | ? | 6.1.1 | Animaux sauf mollusques | Frag | Petits fragments blanchis, 4 fragments écus, plusieurs avec teinte grise-bleutée, plusieurs potentiellement identifiables dont phalanges |
| 53N100E | 2c (20/28 - 22/29) | NW | | 1537 | 4.1 | Matières premières | éclat | 7 | 2 | 1.1.1.4 | Pierre dure, techno-témoin | Frag | 2 QTZ, 5 TRE |
| 53N100E | 2c (20/28 - 22/29) | NW | | 1538 | 5.1.1 | Os | ossement | 16 | ? | 6.1.1 | Animaux sauf mollusques | Frag | Petits fragments blanchis |
| 53N100E | 2c (20/28 - 22/29) | NE | | 1539 | 1.1.1.991 | Céramique de type autochtone | contenant (tpd) | 5 | ? | 4.99 | Consommation ind. | Frag | Petits tessons décorés, 3 (dont 2 jointifs) appartiennent à la même unité de vase |
| 53N100E | 2c (20/28 - 22/29) | NE | | 1540 | 1.1.1.991 | Céramique de type autochtone | contenant (tpnd) | 3 | ? | 4.99 | Consommation ind. | Frag | Tessons non décorés, 1 scarifié |
| 53N100E | 2c (20/28 - 22/29) | NE | | 1541 | 4.1 | Matières premières | éclat | 39 | 6 | 1.1.1.4 | Pierre dure, techno-témoin | Frag | 8 QTZ, 8 QTZH, 2 MISTA, 3 ONO, 5 CH001, 13 TRE |
| 53N100E | 2c (20/28 - 22/29) | NE | | 1543 | 5.1.1 | Os | os travaillé | 1 | 1 | 1.1.3.4 | Solide stable d'origine organique, techno-témoin | Frag | Petit fragment blanchi, rainuré sur les deux parois, provient sans doute du même objet que cat. 1529, 1535 et 1536 |

| Puits/sond. | Niveau/Prof. | Quadrant | Loc. | No. cat. | Code mat. | Matériau | Objet | Nb. frag. | Nb. obj. | Code fonction | Fonction | Intégrité | Commentaires |
|-------------|--------------------|----------|----------|----------|-----------|---|------------------|-----------|----------|---------------|--|-----------|--|
| 53N100E | 2c (20/28 - 22/29) | NE | | 1542 | 5.1.1 | Os | ossement | 149 | ? | 6.1.1 | Animaux sauf mollusques | Frag | Petits fragments blanchis, plusieurs avec teinte grise-bleutée, quelques-uns potentiellement identifiables dont phalanges |
| 53N100E | 2c (20/28 - 22/29) | SE | | 1544 | 4.1 | Matières premières | éclat | 7 | 3 | 1.1.1.4 | Pierre dure, techno-témoin | Frag | 3 QTZ, 1 ONO, 3 MISTA |
| 53N100E | 2c (20/28 - 22/29) | SE | | 1545 | 5.1.1 | Os | os travaillé | 1 | 1 | 1.1.3.4 | Solide stable d'origine organique, techno-témoin | Frag | Petit fragment blanchi, rainuré sur une paroi, provient sans doute du même objet que cat. 1529, 1535, 1536 et 1543 |
| 53N100E | 2c (20/28 - 22/29) | SE | | 1546 | 5.1.1 | Os | ossement | 58 | ? | 6.1.1 | Animaux sauf mollusques | Frag | Petits fragments blanchis, plusieurs avec teinte grise-bleutée |
| 53N100E | 3a (26/29 - 36/49) | NW | | 1547 | 1.1.1.991 | Céramique de type autochtone | contenant (tpd) | 5 | 1 | 4.99 | Consommation ind. | Frag | Tessons décorés, même unité de vase que cat. 1548 et 1556 |
| 53N100E | 3a (26/29 - 36/49) | NW | | 1548 | 1.1.1.991 | Céramique de type autochtone | contenant (tpnd) | 1 | 1 | 4.99 | Consommation ind. | Frag | Tesson non décoré, même unité de vase que cat. 1547 et 1556 |
| 53N100E | 3a (26/29 - 36/49) | NW | | 1549 | 4.1 | Matières premières | éclat | 5 | 3 | 1.1.1.4 | Pierre dure, techno-témoin | Frag | 2 QTZ, 1 MISTA, 2 TRE |
| 53N100E | 3a (26/29 - 36/49) | NW | | 1550 | 5.1.1 | Os | ossement | 10 | ? | 6.1.1 | Animaux sauf mollusques | Frag | Petits fragments blanchis, 1 phalange (?) |
| 53N100E | 3a pr6 (44) | NE | 100N 51E | 1551 | 4.1 | Matières premières | grattoir | 1 | 1 | 1.1.1.1 | Pierre dure, outils | Ent | Grattoir unimarginal sur éclat en ONO, 11x14mm |
| 53N100E | 3a (26/29 - 36/49) | NE | | 1552 | 4.1 | Matières premières | éclat | 5 | 4 | 1.1.1.4 | Pierre dure, techno-témoin | Frag | 2 QTZ, 1 CHC001, 1 MISTA, 1 CH000 altéré |
| 53N100E | 3a (26/29 - 36/49) | NE | | 1553 | 5.1.1 | Os | ossement | 7 | ? | 6.1.1 | Animaux sauf mollusques | Frag | Petits fragments blanchis |
| 53N100E | 4a (22/23 - 48/51) | SW | | 1554 | 4.1 | Matières premières | éclat | 3 | 2 | 1.1.1.4 | Pierre dure, techno-témoin | Frag | 2 MISTA, 1 ONT001 |
| 53N100E | 4a (22/23 - 48/51) | SW | | 1555 | 5.1.1 | Os | ossement | 36 | ? | 6.1.1 | Animaux sauf mollusques | Frag | Petits fragments blanchis |
| 53N100E | 5a (25/32 - 35/42) | NW | | 1556 | 1.1.1.991 | Céramique de type autochtone | contenant (tpd) | 2 | 1 | 4.99 | Consommation ind. | Frag | Tessons décorés, vraisemblablement même unité de vase que cat. 1547 et 1548 |
| 53N100E | 5a (25/32 - 35/42) | NW | | 1557 | 4.1 | Matières premières | éclat | 1 | 1 | 1.1.1.4 | Pierre dure, techno-témoin | Frag | TRE |
| 53N100E | 5a (25/32 - 35/42) | NW | | 1558 | 5.1.1 | Os | ossement | 2 | ? | 6.1.1 | Animaux sauf mollusques | Frag | Petits fragment blanchis, 1 avec traces de boucherie (?) |
| 53N104E | 1 (0 - 4/6) | SE | | 1559 | 4.1 | Matières premières | éclat | 1 | 1 | 1.1.1.4 | Pierre dure, techno-témoin | Frag | TRE |
| 53N104E | 1 (0 - 4/6) | SE | | 1560 | 5.3.1 | Plastique | fragment | 2 | 1 | 7.1 | Indéterminé | Frag | Fragments jointifs incurvés, tuyauterie (?), ép. 1 mm |
| 53N104E | 1 (0 - 4/6) | SW | | 1561 | 5.1.1 | Os | ossement | 1 | 1 | 6.1.1 | Animaux sauf mollusques | Frag | Petit fragment blanchi |
| 53N104E | 2a (4/6 - 8/15) | NW | | 1562 | 5.3.1 | Plastique | fragment | 1 | 1 | 7.1 | Indéterminé | Frag | Morceau de toile blanche (?) en plastique moderne |
| 53N104E | 2a (4/6 - 8/15) | NE | | 1563 | 4.1 | Matières premières | éclat | 1 | 1 | 1.1.1.4 | Pierre dure, techno-témoin | Frag | QTZ |
| 53N104E | 2a (4/6 - 8/15) | SE | | 1564 | 4.1 | Matières premières | éclat | 1 | 1 | 1.1.1.4 | Pierre dure, techno-témoin | Frag | ONO |
| 53N104E | 2a (4/6 - 8/15) | SW | | 1565 | 1.1.1.991 | Céramique de type autochtone | contenant (tpnd) | 1 | 1 | 4.99 | Consommation ind. | Frag | Tesson non décoré |
| 53N104E | 2a (4/6 - 8/15) | SW | | 1566 | 4.1 | Matières premières | éclat | 1 | 1 | 1.1.1.4 | Pierre dure, techno-témoin | Frag | ONO |
| 53N104E | 2a (4/6 - 8/15) | SW | | 1567 | 2.1.1 | Verre incolore, sans plomb | contenant | 1 | 1 | 4.2.1.2 | Boissons, conservation/entreposage | Frag | Fragment de rebord d'un contenant avec trace de moulage, ép. 7 mm |
| 53N104E | 2a (4/6 - 8/15) | SW | | 1568 | 5.1.1 | Os | ossement | 8 | ? | 6.1.1 | Animaux sauf mollusques | Frag | Petits fragments blanchis |
| 53N104E | 2b pr1 (51) | NW | 97N 16E | 1569 | 1.1.1.991 | Céramique de type autochtone | contenant (tpnd) | 1 | 1 | 4.99 | Consommation ind. | Frag | Tesson non décoré, scarifié sur paroi interne, semblable à 666 (2021) |
| 53N104E | 2b (13/15 - 21/28) | NW | | 1570 | 1.1.1.991 | Céramique de type autochtone | contenant (tpd) | 3 | ? | 4.99 | Consommation ind. | Frag | Tessons décorés, potentiellement associables à UV26 |
| 53N104E | 2b (13/15 - 21/28) | NW | | 1571 | 1.1.1.991 | Céramique de type autochtone | contenant (tpd) | 2 | 1 | 4.99 | Consommation ind. | Frag | Tessons décorés, potentiellement associable à UV24 |
| 53N104E | 2b (13/15 - 21/28) | NW | | 1572 | 1.1.1.991 | Céramique de type autochtone | contenant (tpnd) | 9 | ? | 4.99 | Consommation ind. | Frag | Petits tessons non décorés |
| 53N104E | 2b (13/15 - 21/28) | NW | | 1573 | 4.1 | Matières premières | grattoir | 1 | 1 | 1.1.1.1 | Pierre dure, outils | Frag | Fragment de grattoir unimarginal sur éclat en TRE, 12x11mm |
| 53N104E | 2b (13/15 - 21/28) | NW | | 1574 | 4.1 | Matières premières | éclat | 12 | 5 | 1.1.1.4 | Pierre dure, techno-témoin | Frag | 3 QTZ, 6 TRE, 1 ONO, 1 ONT001, 1 CHC000 |
| 53N104E | 2b pr1 (51) | NW | 100N 9E | 1575 | 4.1 | Matières premières | fragment | 1 | 1 | 4.7.1 | Matériaux de construction | Frag | Fragment de roche schisteuse bourgogne, à fracture fissile. Proviendrait potentiellement des pierres de l'escalier menant à la plage. Lignes d'usure (?) |
| 53N104E | 2b (13/15 - 21/28) | NW | | 1576 | 4.1 | Matières premières | fragment | 2 | 1 | 4.7.1 | Matériaux de construction | Frag | Fragments de roche schisteuse bourgogne, à fracture fissile. Proviendrait potentiellement des pierres de l'escalier menant à la plage |
| 53N104E | 2b pr1 (47) | NW | 70N 8E | 1577 | 3.1.1 | Métaux et alliages ferreux | fragment ind. | 1 | 1 | 7.1 | Indéterminé | Frag | Plaquette avec 2 rivets, 9,6x1,6cm |
| 53N104E | 2b (13/15 - 21/28) | NW | | 1578 | 5.1.1 | Os | ossement | 57 | ? | 6.1.1 | Animaux sauf mollusques | Frag | Petits fragments blanchis, plusieurs avec teinte grise-bleutée |
| 53N104E | 2b (13/15 - 21/28) | NE | | 1579 | 1.1.1.991 | Céramique de type autochtone | contenant (tpd) | 3 | ? | 4.99 | Consommation ind. | Frag | Tessons décorés |
| 53N104E | 2b (13/15 - 21/28) | NE | 90N 59E | 1580 | 1.1.1.991 | Céramique de type autochtone | contenant (tpnd) | 1 | 1 | 4.99 | Consommation ind. | Frag | Tesson non décoré, scarifié, jointif à 1303, potentiellement associable à UV12 |
| 53N104E | 2b (13/15 - 21/28) | NE | | 1581 | 1.1.1.991 | Céramique de type autochtone | contenant (tpnd) | 1 | 1 | 4.99 | Consommation ind. | Frag | Potentiel rebut de pâte ou tpnd potentiellement associable à UV12 |
| 53N104E | 2b (13/15 - 21/28) | NE | | 1582 | 1.1.1.991 | Céramique de type autochtone | contenant (tpnd) | 2 | ? | 4.99 | Consommation ind. | Frag | Petits tessons non décorés |
| 53N104E | 2b (13/15 - 21/28) | NE | | 1583 | 4.1 | Matières premières | éclat | 5 | 3 | 1.1.1.4 | Pierre dure, techno-témoin | Frag | 2 QTZ, 2 MISTA, 1 ONO |
| 53N104E | 2b (13/15 - 21/28) | NE | | 1584 | 2.3.1.1 | Verre de couleur, transparent, vert foncé | bouteille | 1 | 1 | 4.2.1.2 | Boissons, conservation/entreposage | Frag | Paroi de bouteille de vin, ép. 5,8 à 9 mm |
| 53N104E | 2b (13/15 - 21/28) | NE | | 1585 | 3.1.1.13 | Métal ferreux, fer tréfilé | clou | 1 | 1 | 4.7.2.3 | Fixations - clous | Ent | Clou tréfilé corrodé, 7,8 cm de long |
| 53N104E | 2b (13/15 - 21/28) | NE | | 1586 | 5.1.1 | Os | ossement | 5 | ? | 6.1.1 | Animaux sauf mollusques | Frag | Petits fragments blanchis |
| 53N104E | 2b (13/15 - 21/28) | SE | | 1587 | 1.1.1.991 | Céramique de type autochtone | contenant (tpnd) | 1 | 1 | 4.99 | Consommation ind. | Frag | Redressement paroi est. Tesson non décoré, paroi externe exfoliée, paroi interne scarifiée |
| 53N104E | 2b (13/15 - 21/28) | SE | | 1588 | 4.1 | Matières premières | éclat | 4 | 3 | 1.1.1.4 | Pierre dure, techno-témoin | Frag | 2 QTZ, 1 ONO, 1 CH000 gris bunâtre avec inclusions de calcédoine |
| 53N104E | 2b (13/15 - 21/28) | SE | | 1589 | 2.1.1 | Verre incolore, sans plomb | fragment ind. | 1 | 1 | 7.1 | Indéterminé | Frag | Très petit fragment |
| 53N104E | 2b (13/15 - 21/28) | SE | | 1590 | 5.1.1 | Os | ossement | 3 | ? | 6.1.1 | Animaux sauf mollusques | Frag | Petits fragments blanchis, 1 avec teinte bleutée |
| 53N104E | 2b (13/15 - 21/28) | SW | | 1591 | 1.1.1.991 | Céramique de type autochtone | contenant (tpd) | 1 | 1 | 4.99 | Consommation ind. | Frag | Petit tesson décoré, ponctuation produisant une bosse sur la paroi interne, potentiellement associable à UV30 |
| 53N104E | 2b (13/15 - 21/28) | SW | | 1592.1 | 1.1.1.991 | Céramique de type autochtone | contenant (tpd) | 1 | 1 | 4.99 | Consommation ind. | Frag | Tesson décoré, potentiellement associable à UV11 |
| 53N104E | 2b (13/15 - 21/28) | SW | | 1592.2 | 1.1.1.991 | Céramique de type autochtone | contenant (tpd) | 2 | ? | 4.99 | Consommation ind. | Frag | Tessons décorés, potentiellement associables à UV26 |
| 53N104E | 2b (13/15 - 21/28) | SW | | 1730 | 1.1.1.991 | Céramique de type autochtone | contenant (tpd) | 2 | 1 | 4.99 | Consommation ind. | Frag | Tessons décorés, potentiellement associables à UV30 |

| Puits/sond. | Niveau/Prof. | Quadrant | Loc. | No. cat. | Code mat. | Matériau | Objet | Nb. frag. | Nb. obj. | Code fonction | Fonction | Intégrité | Commentaires |
|-------------|--------------------|----------|---------|----------|-----------|------------------------------|------------------|-----------|----------|---------------|----------------------------------|-----------|---|
| 53N104E | 2b (13/15 - 21/28) | SW | | 1593 | 1.1.1.991 | Céramique de type autochtone | contenant (tpd) | 4 | ? | 4.99 | Consommation ind. | Frag | Tessons décorés, 2 jointifs |
| 53N104E | 2b (13/15 - 21/28) | SW | | 1594 | 1.1.1.991 | Céramique de type autochtone | contenant (tpnd) | 2 | ? | 4.99 | Consommation ind. | Frag | Petits tessons non décorés, 1 scarifié |
| 53N104E | 2b (13/15 - 21/28) | SW | | 1595 | 4.1 | Matières premières | grattoir | 1 | 1 | 1.1.1.1 | Pierre dure, outils | Frag | Fragment latéral d'un grattoir sur éclat avec petite partie de la marge, en CH000 noir, 13x6mm |
| 53N104E | 2b (13/15 - 21/28) | SW | | 1596 | 4.1 | Matières premières | éclat | 15 | 6 | 1.1.1.4 | Pierre dure, techno-témoin | Frag | 2 QTZ, 1 MISTA, 1 CHAPH brun (silex européen?), 1 CHC001, 3 ONO, 7 TRE |
| 53N104E | 2b (13/15 - 21/28) | SW | | 1597 | 2.1.1 | Verre incolore, sans plomb | fragment ind. | 2 | ? | 7.1 | Indéterminé | Frag | 1 très petit tesson et 1 tesson incurvé avec reflets rosés d'une épaisseur de 2,4 mm |
| 53N104E | 2b (13/15 - 21/28) | SW | | 1598 | 5.1.1 | Os | ossement | 12 | ? | 6.1.1 | Animaux sauf mollusques | Frag | Petits fragments blanchis, 1 potentiellement identifiable |
| 53N104E | 3 (6/10 - 13/15) | NE | | 1599 | 4.3.5 | Béton | fragment | 1 | 1 | 4.7.2.5 | Supports | Frag | Fragment de bloc en béton armé, cassure le long d'un sillon là où se trouvait vraisemblablement une armature en métal |
| 53N104E | 4a (21/25 - 25/30) | NW | | 1600 | 5.1.1 | Os | ossement | 2 | ? | 6.1.1 | Animaux sauf mollusques | Frag | Petits fragments blanchis |
| 53N104E | 4a (21/25 - 25/30) | SW | | 1601 | 1.1.1.991 | Céramique de type autochtone | contenant (tpnd) | 2 | ? | 4.99 | Consommation ind. | Frag | Petits tessons non décorés, 1 scarifié |
| 53N104E | 4a pr1 (57) | SW | 25N 24E | 1602 | 4.1.8 | Silex | fragment ind. | 1 | 1 | 3.7.2.2 | Guerre, armes à feu, accessoires | Frag | Fragment de silex européen en ChAph002 chauffé |
| 53N104E | 4a (21/25 - 25/30) | SW | | 1603 | 5.1.1 | Os | ossement | 6 | ? | 6.1.1 | Animaux sauf mollusques | Frag | Petits fragments blanchis, 1 vertèbre de poisson |
| 53N112E | 1 (0 - 7/10) | NW | | 1604 | 5.1.1 | Os | ossement | 165 | ? | 6.1.1 | Animaux sauf mollusques | Frag | Petits fragments blanchis, 1 fragment écu, quelques-uns potentiellement identifiables dont 1 phalange |
| 53N112E | 1 (0 - 7/10) | NE | | 1605 | 1.1.1.991 | Céramique de type autochtone | contenant (tpd) | 3 | ? | 4.99 | Consommation ind. | Frag | Tessons décorés |
| 53N112E | 1 (0 - 7/10) | NE | | 1606 | 1.1.1.991 | Céramique de type autochtone | contenant (tpnd) | 8 | ? | 4.99 | Consommation ind. | Frag | Tessons non décorés, 3 scarifiés |
| 53N112E | 1 (0 - 7/10) | NE | | 1607 | 4.1 | Matières premières | éclat | 5 | 1 | 1.1.1.4 | Pierre dure, techno-témoin | Frag | ONO. 5 fragmentés en 8 |
| 53N112E | 1 (0 - 7/10) | NE | | 1608 | 4.1 | Matières premières | nucléus | 1 | 1 | 1.1.1.4 | Pierre dure, techno-témoin | Frag | QTZ |
| 53N112E | 1 (0 - 7/10) | NE | | 1609 | 5.1.1 | Os | ossement | 33 | ? | 6.1.1 | Animaux sauf mollusques | Frag | Petits fragments blanchis |
| 53N112E | 1 (0 - 7/10) | NE | | 1610 | 5.2.3 | Bois | fragment | 1 | 1 | 7.4 | Témoins de combustion | Frag | Fragment de bois partiellement carbonisé, espèce identifiable ? |
| 53N112E | 1 (0 - 7/10) | SE | | 1611 | 4.1 | Matières premières | éclat | 6 | 2 | 1.1.1.4 | Pierre dure, techno-témoin | Frag | 2 QTZ, 4 ONO |
| 53N112E | 1 (0 - 7/10) | SW | | 1612 | 1.1.1.991 | Céramique de type autochtone | contenant (tpnd) | 1 | 1 | 4.99 | Consommation ind. | Frag | Petit tesson non décoré |
| 53N112E | 1 (0 - 7/10) | SW | | 1613 | 4.1 | Matières premières | éclat | 11 | 3 | 1.1.1.4 | Pierre dure, techno-témoin | Frag | 2 QTZ, 1 TRE, 8 ONO |
| 53N112E | 1 (0 - 7/10) | SW | | 1614 | 5.1.1 | Os | ossement | 67 | ? | 6.1.1 | Animaux sauf mollusques | Frag | 65 petits fragments blanchis, 2 fragments écus |
| 53N112E | 2a (7/10 - 15/20) | NW | | 1615 | 1.1.1.991 | Céramique de type autochtone | contenant (tpd) | 1 | 1 | 4.99 | Consommation ind. | Frag | Petit tesson décoré, même unité de vase que 1619 |
| 53N112E | 2a (7/10 - 15/20) | NW | | 1616 | 1.1.1.991 | Céramique de type autochtone | contenant (tpnd) | 1 | 1 | 4.99 | Consommation ind. | Frag | Petit tesson non décoré, fragile |
| 53N112E | 2a (7/10 - 15/20) | NW | | 1617 | 4.1 | Matières premières | éclat | 2 | 2 | 1.1.1.4 | Pierre dure, techno-témoin | Frag | 1 CHC001, 1 ONO |
| 53N112E | 2a (7/10 - 15/20) | NW | | 1618 | 5.1.1 | Os | ossement | 43 | ? | 6.1.1 | Animaux sauf mollusques | Frag | Petits fragments blanchis |
| 53N112E | 2a (7/10 - 15/20) | NE | | 1619 | 1.1.1.991 | Céramique de type autochtone | contenant (tpd) | 1 | 1 | 4.99 | Consommation ind. | Frag | Petit tesson décoré, même unité de vase que 1615 |
| 53N112E | 2a (7/10 - 15/20) | NE | | 1620 | 1.1.1.991 | Céramique de type autochtone | contenant (tpnd) | 2 | ? | 4.99 | Consommation ind. | Frag | Tessons non décorés, 1 scarifié |
| 53N112E | 2a (7/10 - 15/20) | NE | | 1621 | 4.1 | Matières premières | éclat | 1 | 1 | 1.1.1.4 | Pierre dure, techno-témoin | Frag | ONO |
| 53N112E | 2a (7/10 - 15/20) | NE | | 1622 | 5.1.1 | Os | ossement | 10 | ? | 6.1.1 | Animaux sauf mollusques | Frag | Petits fragments blanchis |
| 53N112E | 2a (7/10 - 15/20) | SE | | 1623 | 4.1 | Matières premières | éclat | 1 | 1 | 1.1.1.4 | Pierre dure, techno-témoin | Frag | ONO |
| 53N112E | 2a (7/10 - 15/20) | SW | | 1624 | 1.1.1.991 | Céramique de type autochtone | contenant (tpnd) | 3 | ? | 4.99 | Consommation ind. | Frag | Petits tessons non décorés |
| 53N112E | 2a (7/10 - 15/20) | SW | | 1625 | 5.1.1 | Os | ossement | 7 | ? | 6.1.1 | Animaux sauf mollusques | Frag | Petits fragments blanchis |
| 53N112E | 2b (15/20 - 30/34) | NW | | 1626 | 1.1.1.991 | Céramique de type autochtone | contenant (tpnd) | 1 | 1 | 4.99 | Consommation ind. | Frag | Tesson non décoré |
| 56N105E | 3 (9/10 - 16/21) | NW | | 1627 | 4.1 | Matières premières | éclat | 3 | 1 | 1.1.1.4 | Pierre dure, techno-témoin | Frag | QTZ |
| 56N105E | 3 (9/10 - 16/21) | NW | | 1628 | 5.1.1 | Os | ossement | 3 | ? | 6.1.1 | Animaux sauf mollusques | Frag | Petits fragments blanchis |
| 56N105E | 4 (16/21 - 23/26) | NW | | 1629 | 4.1 | Matières premières | éclat | 1 | 1 | 1.1.1.4 | Pierre dure, techno-témoin | Frag | MISTA rosé |
| 56N105E | 4 (16/21 - 23/26) | NE | | 1630 | 1.1.1.991 | Céramique de type autochtone | contenant (tpnd) | 3 | 1 | 4.99 | Consommation ind. | Frag | Tessons non décorés, vraisemblablement même unité de vase |
| 56N105E | 4 (16/21 - 23/26) | SE | | 1631 | 4.1 | Matières premières | éclat | 8 | 3 | 1.1.1.4 | Pierre dure, techno-témoin | Frag | 5 QTZ, 1 ONO, 2 TRE |
| 56N105E | 4 (16/21 - 23/26) | SE | | 1632 | 2.1.1 | Verre incolore, sans plomb | fragment ind. | 1 | 1 | 7.1 | Indéterminé | Frag | Petit tesson |
| 56N105E | 4 (16/21 - 23/26) | SE | | 1633 | 2.2.1.1 | Verre teinté, régulier, vert | fragment ind. | 1 | 1 | 7.1 | Indéterminé | Frag | Petit tesson incurvé, ép. 2 mm |
| 56N105E | 4 (16/21 - 23/26) | SE | | 1634 | 5.1.1 | Os | ossement | 34 | ? | 6.1.1 | Animaux sauf mollusques | Frag | Petits fragments blanchis, 1 phalange potentiellement identifiable |
| 56N105E | 5 pr7 (34) | NW | 63N 13E | 1635 | 1.1.1.991 | Céramique de type autochtone | contenant (bd) | 1 | 1 | 4.99 | Consommation ind. | Frag | Tesson de bord décoré, UV27 |
| 56N105E | 5 pr7 (35) | NW | 87N 33E | 1636 | 1.1.1.991 | Céramique de type autochtone | contenant (tpd) | 1 | 1 | 4.99 | Consommation ind. | Frag | Tesson décoré, jointif à 1637.1 et 1676, UV26 |
| 56N105E | 5 (23/26 - 27/36) | NW | | 1637.1 | 1.1.1.991 | Céramique de type autochtone | contenant (tpd) | 1 | 1 | 4.99 | Consommation ind. | Frag | Tesson décoré, jointif à 1636 et 1676, UV26 |
| 56N105E | 5 (23/26 - 27/36) | NW | | 1637.2 | 1.1.1.991 | Céramique de type autochtone | contenant (tpd) | 3 | 1 | 4.99 | Consommation ind. | Frag | Tessons décorés, potentiellement associables à UV26 |
| 56N105E | 5 (23/26 - 27/36) | NW | | 1638 | 1.1.1.991 | Céramique de type autochtone | contenant (tpd) | 6 | ? | 4.99 | Consommation ind. | Frag | Tessons décorés, 2 scarifiés sur les deux parois |
| 56N105E | 5 (23/26 - 27/36) | NW | | 1639 | 1.1.1.991 | Céramique de type autochtone | contenant (tpnd) | 1 | 1 | 4.99 | Consommation ind. | Frag | Potentiel rebut de pâte ou tpnd potentiellement associable à UV12 |
| 56N105E | 5 (23/26 - 27/36) | NW | | 1640.1 | 1.1.1.991 | Céramique de type autochtone | contenant (tpnd) | 2 | 1 | 4.99 | Consommation ind. | Frag | Tessons non décorés, potentiellement associables à UV12 |
| 56N105E | 5 (23/26 - 27/36) | NW | | 1640.2 | 1.1.1.991 | Céramique de type autochtone | contenant (tpnd) | 14 | ? | 4.99 | Consommation ind. | Frag | Tessons non décorés, potentiellement associables à UV26 |
| 56N105E | 5 pr7 (32) | NW | 56N 27E | 1641 | 4.1 | Matières premières | biface | 1 | 1 | 1.1.1.1 | Pierre dure, outils | Frag | Fragment distal d'outil bifacial en CHC000 gris bleuté, 17x10mm |
| 56N105E | 5 pr7 (33) | NW | 60N 40E | 1642 | 4.1 | Matières premières | biface | 1 | 1 | 1.1.1.1 | Pierre dure, outils | Frag | Fragment proximal (basal?) d'outil bifacial, possiblement emmanché (encoche?), en CHC000 gris foncé altéré, 27x14mm |
| 56N105E | 5 (23/26 - 27/36) | NW | | 1643 | 4.1 | Matières premières | grattoir | 1 | 1 | 1.1.1.1 | Pierre dure, outils | Frag | Grattoir unimarginal sur éclat en TRE, 9x16mm |
| 56N105E | 5 (23/26 - 27/36) | NW | | 1644 | 4.1 | Matières premières | éclat | 25 | 5 | 1.1.1.4 | Pierre dure, techno-témoin | Frag | 8 QTZ, 1 MISTA, 1 ONT001, 5 ONO, 10 TRE |

| Puits/sond. | Niveau/Prof. | Quadrant | Loc. | No. cat. | Code mat. | Matériau | Objet | Nb. frag. | Nb. obj. | Code fonction | Fonction | Intégrité | Commentaires |
|-------------|--------------------|----------|---------|----------|-----------|---|------------------|-----------|----------|---------------|------------------------------------|-----------|--|
| 56N105E | 5 (23/26 - 27/36) | NW | | 1645 | 2.3.1.1 | Verre de couleur, transparent, vert foncé | bouteille | 4 | ? | 4.2.1.2 | Boissons, conservation/entreposage | Frag | 2 petits tessons, 1 vert olive ép. 4,7 mm, 1 vert pâle ép. 2,9 mm |
| 56N105E | 5 (23/26 - 27/36) | NW | | 1646 | 2.1.1 | Verre incolore, sans plomb | fragment ind. | 5 | ? | 7.1 | Indéterminé | Frag | Petits tessons, 1 avec marque moulée « A II » |
| 56N105E | 5 (23/26 - 27/36) | NW | | 1647 | 5.1.1 | Os | ossement | 24 | ? | 6.1.1 | Animaux sauf mollusques | Frag | Petits fragments blanchis, 1 os long écru (?) |
| 56N105E | 5 (23/26 - 27/36) | NE | | 1648 | 1.1.1.991 | Céramique de type autochtone | contenant (tbd) | 1 | 1 | 4.99 | Consommation ind. | Frag | Tesson de bord décoré, UV12 |
| 56N105E | 5 (23/26 - 27/36) | NE | | 1649 | 1.1.1.991 | Céramique de type autochtone | contenant (tpd) | 1 | 1 | 4.99 | Consommation ind. | Frag | Tessons décorés, UV12 |
| 56N105E | 5 (23/26 - 27/36) | NE | | 1650 | 1.1.1.991 | Céramique de type autochtone | contenant (tpd) | 2 | 1 | 4.99 | Consommation ind. | Frag | Tessons décorés, potentiellement associable à UV27 |
| 56N105E | 5 (23/26 - 27/36) | NE | | 1659 | 1.1.1.991 | Céramique de type autochtone | contenant (tpd) | 1 | 1 | 4.99 | Consommation ind. | Frag | Petit tesson décoré, potentiellement associable à UV30 |
| 56N105E | 5 (23/26 - 27/36) | NE | | 1651 | 1.1.1.991 | Céramique de type autochtone | contenant (tpd) | 3 | ? | 4.99 | Consommation ind. | Frag | Petits tessons décorés à la cordelette ou traités au battoir cordé |
| 56N105E | 5 (23/26 - 27/36) | NE | | 1652.1 | 1.1.1.991 | Céramique de type autochtone | contenant (tpnd) | 6 | 1 | 4.99 | Consommation ind. | Frag | Tessons non décorés, 2 jointifs, potentiellement associables à UV12 |
| 56N105E | 5 (23/26 - 27/36) | NE | | 1652.2 | 1.1.1.991 | Céramique de type autochtone | contenant (tpnd) | 4 | 1 | 4.99 | Consommation ind. | Frag | Tessons non décorés, 2 jointifs, potentiellement associables à UV26 |
| 56N105E | 5 (23/26 - 27/36) | NE | | 1652.3 | 1.1.1.991 | Céramique de type autochtone | contenant (tpnd) | 14 | ? | 4.99 | Consommation ind. | Frag | Petits tessons non décorés, potentiellement associables à UV12 ou à UV26 |
| 56N105E | 5 pr7 (33) | NE | 95N 55E | 1653 | 4.1 | Matières premières | biface | 1 | 1 | 1.1.1.1 | Pierre dure, outils | Ent | Outil bifacial (préforme) en CHC000 brun grisâtre, 28x19mm |
| 56N105E | 5 pr7 (37) | NE | 95N 70E | 1654 | 4.1 | Matières premières | biface | 1 | 1 | 1.1.1.1 | Pierre dure, outils | Frag | Fragment distal d'outil bifacial en CH000 gris altéré, 26x12mm |
| 56N105E | 5 (23/26 - 27/36) | NE | | 1655 | 4.1 | Matières premières | éclat | 51 | ? | 1.1.1.4 | Pierre dure, techno-témoin | Frag | 13 QTZ, 2 QTZT blancs, 1 CHAPH gris pâle, 8 ONO, 2 ONTO01, 18 TRE (4 riches en fossiles, dont un bel écart représentatif; voir CH-025 en 2021), 5 CH000 gris beige, 2 CHC001 |
| 56N105E | 5 (23/26 - 27/36) | NE | | 1656 | 2.2.1.1 | Verre teinté, régulier, vert | bouteille | 7 | 1 | 4.2.1.2 | Boissons, conservation/entreposage | Frag | Tessons vert pâle, ép. 4,5-10mm |
| 56N105E | 5 (23/26 - 27/36) | NE | | 1657 | 2.3.1.1 | Verre de couleur, transparent, vert foncé | bouteille | 2 | 1 | 4.2.1.2 | Boissons, conservation/entreposage | Frag | 2 tesson vert olive ép. 4,3mm |
| 56N105E | 5 (23/26 - 27/36) | NE | | 1658 | 5.1.1 | Os | ossement | 25 | ? | 6.1.1 | Animaux sauf mollusques | Frag | 24 petits fragments blanchis, 1 écru |
| 56N105E | 5 (23/26 - 27/36) | SE | | 1660 | 1.1.1.991 | Céramique de type autochtone | contenant (tpd) | 1 | 1 | 4.99 | Consommation ind. | Frag | Tesson décoré, UV12 |
| 56N105E | 5 (23/26 - 27/36) | SE | | 1661 | 1.1.1.991 | Céramique de type autochtone | contenant (tpd) | 1 | 1 | 4.99 | Consommation ind. | Frag | Tesson décoré, potentiellement associable à UV26 |
| 56N105E | 5 (23/26 - 27/36) | SE | | 1662 | 1.1.1.991 | Céramique de type autochtone | contenant (tpd) | 4 | ? | 4.99 | Consommation ind. | Frag | Petits tessons décorés |
| 56N105E | 5 (23/26 - 27/36) | SE | | 1663 | 1.1.1.991 | Céramique de type autochtone | contenant (tpnd) | 10 | ? | 4.99 | Consommation ind. | Frag | Tessons non décorés, 4 tessons jointifs trouvés ensemble, potentiellement associables à UV12 |
| 56N105E | 5 pr7 (30) | SE | 41N 93E | 1664 | 4.1 | Matières premières | pièce esquillée | 1 | 1 | 1.1.1.1 | Pierre dure, outils | Ent | Pièce esquillée en QTZ, 25x24mm |
| 56N105E | 5 (23/26 - 27/36) | SE | | 1665 | 4.1 | Matières premières | outil | 1 | 1 | 1.1.1.1 | Pierre dure, outils | Frag | Fragment d'outil sur éclat en MISTA, 7x12mm |
| 56N105E | 5 (23/26 - 27/36) | SE | | 1666 | 4.1 | Matières premières | grattoir | 2 | 1 | 1.1.1.1 | Pierre dure, outils | Frag | 2 fragments jointifs de grattoir sur éclat en CH008, 13x18mm |
| 56N105E | 5 (23/26 - 27/36) | SE | | 1667 | 4.1 | Matières premières | grattoir | 1 | 1 | 1.1.1.1 | Pierre dure, outils | Frag | Fragment marginal de grattoir sur éclat en TRE, 5x16mm |
| 56N105E | 5 (23/26 - 27/36) | SE | | 1668 | 4.1 | Matières premières | outil | 1 | 1 | 1.1.1.1 | Pierre dure, outils | Frag | Fragment d'outil sur éclat en TRE, 9x8mm |
| 56N105E | 5 (23/26 - 27/36) | SE | | 1669 | 4.1 | Matières premières | biface | 1 | 1 | 1.1.1.1 | Pierre dure, outils | Frag | Petit fragment marginal d'outil bifacial en CHC000, 9x5mm |
| 56N105E | 5 (23/26 - 27/36) | SE | | 1670 | 4.1 | Matières premières | biface | 1 | 1 | 1.1.1.1 | Pierre dure, outils | Frag | Petit fragment distal d'outil bifacial (perçoir?) en CH000 gris foncé, 6x8mm |
| 56N105E | 5 (23/26 - 27/36) | SE | | 1671 | 4.1 | Matières premières | éclat | 42 | ? | 1.1.1.4 | Pierre dure, techno-témoin | Frag | 9 QTZ, 4 QTZH, 3 IND (shale gris), 6 ONO, 12 TRE, 2 CHC001, 4 CH000 gris beige, 2 CHC avec fossiles, restes de fossiles noirs et rhombodres de carbonates jaunâtres et rosés (voir cas part. 2022) |
| 56N105E | 5 (23/26 - 27/36) | SE | | 1672 | 3.1.1.13 | Métal ferreux, fer tréfilé | clou | 3 | 3 | 4.7.2.3 | Fixations - clous | Ent | Cloux tréfilés, 80mm, 41mm, 26mm |
| 56N105E | 5 (23/26 - 27/36) | SE | | 1673 | 2.2.1.1 | Verre teinté, régulier, vert | bouteille | 9 | 1 | 4.2.1.2 | Boissons, conservation/entreposage | Frag | Tessons incurvés vert pâle, ép. 4,8-7,9mm |
| 56N105E | 5 (23/26 - 27/36) | SE | | 1674 | 2.3.1.1 | Verre de couleur, transparent, vert foncé | bouteille | 3 | 2 | 4.2.1.2 | Boissons, conservation/entreposage | Frag | 2 tessons incurvés verts, ép. 4,6; 1 tesson plat légèrement bombé vert très foncé, ép. 6,4mm |
| 56N105E | 5 (23/26 - 27/36) | SE | | 1675 | 5.1.1 | Os | ossement | 243 | ? | 6.1.1 | Animaux sauf mollusques | Frag | Petits fragments blanchis, plusieurs avec teinte grise-bleutée, quelques-uns potentiellement identifiables |
| 56N105E | 6a pr7 (48) | NW | 75N 25E | 1676 | 1.1.1.991 | Céramique de type autochtone | contenant (tbd) | 1 | 1 | 4.99 | Consommation ind. | Frag | Tesson de bord décoré, jointif à 1636 et 1637.1, UV26 |
| 56N105E | 6a (27/36 - 38/46) | NW | | 1677 | 1.1.1.991 | Céramique de type autochtone | contenant (tpd) | 1 | 1 | 4.99 | Consommation ind. | Frag | Tesson décoré |
| 56N105E | 6a (27/36 - 38/46) | NW | | 1678 | 1.1.1.991 | Céramique de type autochtone | contenant (tpnd) | 2 | 1 | 4.99 | Consommation ind. | Frag | Tessons non décorés, même unité de vase |
| 56N105E | 6a (27/36 - 38/46) | NW | | 1679 | 5.1.1 | Os | ossement | 2 | ? | 6.1.1 | Animaux sauf mollusques | Frag | Petits fragments blanchis |
| 56N105E | 6a (27/36 - 38/46) | NE | | 1680 | 1.1.1.991 | Céramique de type autochtone | contenant (tpnd) | 2 | 1 | 4.99 | Consommation ind. | Frag | Tessons non décorés, potentiellement associables à UV12 |
| 56N105E | 6a (27/36 - 38/46) | NE | | 1681 | 4.1 | Matières premières | éclat | 1 | 1 | 1.1.1.4 | Pierre dure, techno-témoin | Frag | MISTA |
| 56N105E | 6a (27/36 - 38/46) | NE | | 1682 | 2.1.1 | Verre incolore, sans plomb | fragment ind. | 2 | ? | 7.1 | Indéterminé | Frag | Petits tessons |
| 56N105E | 6a (27/36 - 38/46) | NE | | 1683 | 5.1.1 | Os | ossement | 3 | ? | 6.1.1 | Animaux sauf mollusques | Frag | Petits fragments blanchis |
| 56N105E | 6a (27/36 - 38/46) | SE | | 1684 | 1.1.1.991 | Céramique de type autochtone | contenant (tpnd) | 1 | 1 | 4.99 | Consommation ind. | Frag | Petit tesson non décoré, scarifié |
| 56N105E | 6a (27/36 - 38/46) | SE | | 1685 | 4.1 | Matières premières | outil | 1 | 1 | 1.1.1.1 | Pierre dure, outils | Frag | Outil sur éclat en TRE (variante noire), 13x6mm |
| 56N105E | 6a (27/36 - 38/46) | SE | | 1686 | 4.1 | Matières premières | éclat | 3 | 2 | 1.1.1.4 | Pierre dure, techno-témoin | Frag | 1 QTZ, 2 ONTO01 |
| 56N105E | 6a (27/36 - 38/46) | SE | | 1687 | 2.1.1 | Verre incolore, sans plomb | fragment ind. | 4 | ? | 7.1 | Indéterminé | Frag | Petits tessons |
| 56N105E | 6a (27/36 - 38/46) | SE | | 1688 | 5.1.1 | Os | ossement | 25 | ? | 6.1.1 | Animaux sauf mollusques | Frag | Petits fragments blanchis |

| Puits/sond. | Niveau/Prof. | Quadrant | Loc. | No. cat. | Code mat. | Matériau | Objet | Nb. frag. | Nb. obj. | Code fonction | Fonction | Intégrité | Commentaires |
|-------------|-------------------|----------|------|----------|-----------|------------------------------------|---------------|-----------|----------|---------------|---------------------------|-----------|---|
| 56N105E | 7 (47/50 - 54/59) | NE | | 1689 | 2.1.1 | Verre incolore, sans plomb | fragment ind. | 1 | 1 | 7.1 | Indéterminé | Frag | Petit tesson incurvé, 2 petites bulles d'air |
| 76N107E | 1 (0 - 10) | SW | | 1690 | 3.1.2.1 | Métal cuivreux, cuivre indéterminé | monnaie | 1 | 1 | 5.2 | Commerce | Ent | Pièce de 1 cent de dollar canadien, « 1962 » |
| 76N107E | 1 (0 - 10) | SW | | 1691 | 5.3.1 | Plastique | fragment | 31 | 1 | 7.1 | Indéterminé | Frag | Petits fragments incurvés bleu ou turquoise foncé, ép. 0,9mm |
| 76N107E | 2 (10 - 18) | SW | | 1692 | 2.2.1 | Verre teinté régulier | vitre | 1 | 1 | 4.7.1.1 | Matériaux de base - vitre | Frag | Petit tesson de verre à vitre, presque incolore, ép. 2,3 mm |
| 76N107E | 2 (10 - 18) | SW | | 1693 | 1.1.1.3 | Terre cuite grossière sans glaçure | contenant | 1 | 1 | 3.1 | Agriculture/horticulture | Frag | Tesson de corps orangé d'un contenant de style pot de fleur, ép. 5,6 mm |

Site : Petit lac Nomingue, pointe des Sœurs

Inventaire des écofacts de l'intervention de 2022

Code : CcFs-2

Responsables de l'intervention : Karine Taché et Francis Lamothe

Date : mars 2023

Analystes : Olivier Pilette, Adrien Cesario, Francis Lamothe, Karine Taché

| Puits/sond. | Niveau/Prof. | Quadrant | Loc. | No. cat. | Code mat. | Matériau | Objet | No. frag. | No. obj. | Code fonction | Fonction | Intégrité | Commentaires |
|-------------|--------------|----------|------|----------|-----------|----------|----------|-----------|----------|---------------|-------------------------|-----------|--|
| PDS5 | ± 0 - 5 | | | 18 | 5.1.1 | Os | ossement | 7 | ? | 6.1.1 | Animaux sauf mollusques | Frag | Petits fragments blanchis dont un fragment de dent |
| PDS13 | 15 - 30 | | | 19 | 5.1.1 | Os | ossement | 4 | ? | 6.1.1 | Animaux sauf mollusques | Frag | Petits fragments blanchis |
| PDS19 | ± 0 - 5 | | | 20 | 5.1.1 | Os | ossement | 4 | ? | 6.1.1 | Animaux sauf mollusques | Frag | Petits fragments blanchis |

Annexe D Catalogue des photographies

Non imprimé, disponible en format PDF seulement

Projet : *Hautes-Laurentides 2022, L'Ascension*
Film # : 1

Archéologue : FL
Type : NUM

| Date | Cliché | No photo | Identification | Description | Orientation |
|------------|--------|-------------------|--------------------|---|-------------|
| 14-07-2022 | 1 | ASC-2022_NUM1-001 | RF1 RF2 RF3 RF4 | Localisation des sondages dans la clairière décapée | NE |
| 14-07-2022 | 2 | ASC-2022_NUM1-002 | RF1 RF2 RF3 RF4 | Localisation des sondages dans la clairière décapée | N |
| 14-07-2022 | 3 | ASC-2022_NUM1-003 | RF1 | Paroi N | W |
| 14-07-2022 | 4 | ASC-2022_NUM1-004 | RF5 | Paroi E | E |
| 14-07-2022 | 5 | ASC-2022_NUM1-005 | RF4 | Paroi S | S |
| 14-07-2022 | 6 | ASC-2022_NUM1-006 | RF10 | Paroi N | N |
| 14-07-2022 | 7 | ASC-2022_NUM1-007 | RF10-RF9 | Vue générale | W |
| 14-07-2022 | 8 | ASC-2022_NUM1-008 | RF11 | Paroi N et bourrelet | N |
| 14-07-2022 | 9 | ASC-2022_NUM1-009 | RF15, RF14 et RF13 | Vue générale | E |
| 14-07-2022 | 10 | ASC-2022_NUM1-010 | RF14 | Paroi W | W |
| 14-07-2023 | 11 | ASC-2022_NUM1-011 | RF16 | Paroi E | E |
| 14-07-2024 | 12 | ASC-2022_NUM1-012 | Ambiance | William et les mouches | |

Projet : Hautes-Laurentides 2022, Ruisseau Jourdain, CcFr-1

Archéologue : OP

Film # : 1

Type : NUM

| Date | Cliché | No. photo | Puits/sond. | Description | Orientation |
|-------------------|--------|---------------------|-------------|---|-------------|
| 02-07-2022 | 1 | CcFr1-2022_NUM1-001 | | État général de l'aire de fouille projetée | SE |
| 02-07-2022 | 2 | CcFr1-2022_NUM1-002 | | État général de l'aire de fouille projetée | SW |
| 02-07-2022 | 3 | CcFr1-2022_NUM1-003 | | État général de l'aire de fouille projetée | NW |
| 02-07-2022 | 4 | CcFr1-2022_NUM1-004 | | État général de l'aire de fouille projetée | N |
| 03-07-2022 | 5 | CcFr1-2022_NUM1-005 | | Ambiance : étudiants et archéologues échangent avec le propriétaire | SE |
| 03-07-2022 | 6 | CcFr1-2022_NUM1-006 | | Niveau de l'eau sur la plage de CcFr-1 | E |
| 03-07-2022 | 7 | CcFr1-2022_NUM1-007 | | Niveau de l'eau sur la plage de CcFr-1 | W |
| 03-07-2022 | 8 | CcFr1-2022_NUM1-008 | | Niveau de l'eau sur la plage de CcFr-1 | W |
| 03-07-2022 | 9 | CcFr1-2022_NUM1-009 | | Niveau de l'eau sur la plage de CcFr-1 | W |
| 03-07-2022 | 10 | CcFr1-2022_NUM1-010 | | Installation du carroyage de l'aire de fouille | NE |
| 03-07-2022 | 11 | CcFr1-2022_NUM1-011 | | Installation du carroyage de l'aire de fouille | E |
| 03-07-2022 | 12 | CcFr1-2022_NUM1-012 | 50N107E | Clou SW du puits 50N107E légèrement décallé (souche) | |
| 03-07-2022 | 13 | CcFr1-2022_NUM1-013 | 51N104E | Souche du puits 51N104E | |
| 03-07-2022 | 14 | CcFr1-2022_NUM1-014 | 52N104E | Affaissement du remblai de 2021 | |
| 03-07-2022 | 15 | CcFr1-2022_NUM1-015 | 52N104E | Affaissement du remblai de 2021 | |
| 03-07-2022 | 16 | CcFr1-2022_NUM1-016 | | Ambiance : étudiants discutent avec archéologues | N |
| 03-07-2022 | 17 | CcFr1-2022_NUM1-017 | | Foyer du propriétaire obstruant la ligne de base | W |
| 04-07-2022 | 18 | CcFr1-2022_NUM1-018 | | Ambiance : début du détournement des puits fouillés en 2021 | SE |
| 04-07-2022 | 19 | CcFr1-2022_NUM1-019 | 52N104E | Géotextile rabattu vers l'intérieur | |
| 04-07-2022 | 20 | CcFr1-2022_NUM1-020 | | Ambiance : poursuite du vidage des puits fouillés en 2021 | |
| 04-07-2022 | 21 | CcFr1-2022_NUM1-021 | | Vidéo accidentelle du détournement | S |
| 04-07-2022 | 22 | CcFr1-2022_NUM1-022 | | Ambiance : détournement | NW |
| 04-07-2022 | 23 | CcFr1-2022_NUM1-023 | 50N104E | État du puits en cours de détournement, vue en plongée | NW |
| 04-07-2022 | 24 | CcFr1-2022_NUM1-024 | 52N104E | État général du puits, géotextile et racines, vue en plongée | |
| 04-07-2022 | 25 | CcFr1-2022_NUM1-025 | | Ambiance : début de la fouille des nouveaux puits | SE |
| 04-07-2022 | 26 | CcFr1-2022_NUM1-026 | | Ambiance : début de la fouille et fin du vidage du 51N107E | S |
| 04-07-2022 | 27 | CcFr1-2022_NUM1-027 | | Ambiance : début de la fouille et fin du vidage du 51N107E | S |
| 04-07-2022 | 28 | CcFr1-2022_NUM1-028 | | Ambiance : aire de fouille | SW |
| 04-07-2022 | 29 | CcFr1-2022_NUM1-029 | | Ligne 53N | W |
| 04-07-2022 | 30 | CcFr1-2022_NUM1-030 | | <i>Ratée</i> | |
| 04-07-2022 | 31 | CcFr1-2022_NUM1-031 | | État de l'aire de fouille en fin de journée | SE |
| 04-07-2022 | 32 | CcFr1-2022_NUM1-032 | 51N105E | Paroi nord | N |
| 04-07-2022 | 33 | CcFr1-2022_NUM1-033 | 51N105E | Paroi est | E |
| 04-07-2022 | 34 | CcFr1-2022_NUM1-034 | 51N105E | Paroi sud | S |
| 04-07-2022 | 35 | CcFr1-2022_NUM1-035 | 51N105E | Paroi ouest | W |
| 05-07-2022 | 36 | CcFr1-2022_NUM1-036 | 52N102E | Géotextile et racines | SE |
| 05-07-2022 | 37 | CcFr1-2022_NUM1-037 | | Ambiance : William trie des artefacts | |
| 05-07-2022 | 38 | CcFr1-2022_NUM1-038 | | <i>Ratée</i> | |
| 05-07-2022 | 39 | CcFr1-2022_NUM1-039 | | État général de l'aire de fouille, jour 2 | SE |
| 05-07-2022 | 40 | CcFr1-2022_NUM1-040 | | État général de l'aire de fouille, jour 2 | S |
| 05-07-2022 | 41 | CcFr1-2022_NUM1-041 | | État général de l'aire de fouille, jour 2 | W |
| 05-07-2022 | 42 | CcFr1-2022_NUM1-042 | 52N106E | Trou de rongeur dans la paroi sud, vue en plongée | N |
| 05-07-2022 | 43 | CcFr1-2022_NUM1-043 | | Ambiance : abris de protection | S |
| 05-07-2022 | 44 | CcFr1-2022_NUM1-044 | | Ambiance : Gabrielle fouille la couche de remblai | E |

| Date | Cliché | No. photo | Puits/sond. | Description | Orientation |
|-------------------|--------|---------------------|--------------|---|-------------|
| 05-07-2022 | 45 | CcFr1-2022_NUM1-045 | | Ambiance : Dominique, Gabrielle et Éric en fouille | NW |
| 05-07-2022 | 46 | CcFr1-2022_NUM1-046 | 50N105E | Un premier éclat pour Sylvain | |
| 05-07-2022 | 47 | CcFr1-2022_NUM1-047 | J52 | Localisation du sondage J52 | NE |
| 05-07-2022 | 48 | CcFr1-2022_NUM1-048 | 51N102E | Seuls les quadrants est seront fouillés | S |
| 05-07-2022 | 49 | CcFr1-2022_NUM1-049 | | Ambiance : William fouille, Pierre observe | E |
| 05-07-2022 | 50 | CcFr1-2022_NUM1-050 | | Abri pour tamisage | |
| 05-07-2022 | 51 | CcFr1-2022_NUM1-051 | 52N103E | Effondrement de la paroi sud du QSW | N |
| 05-07-2022 | 52 | CcFr1-2022_NUM1-052 | 51N102E | Partie supérieure de la lentille de cendres (foyer), vue en plan | |
| 05-07-2022 | 53 | CcFr1-2022_NUM1-053 | 52N103E | État du géotextile | N |
| 05-07-2022 | 54 | CcFr1-2022_NUM1-054 | 52N103E | État de la surface naturelle après retrait du géotextile, vue en plan | |
| 05-07-2022 | 55 | CcFr1-2022_NUM1-055 | 52N103E | Lame de couteau historique (cat. 1334) dans le QSW, vue en plongée | S |
| 05-07-2022 | 56 | CcFr1-2022_NUM1-056 | 52N103E | Effondrement de la paroi sud du QSE, vue en plongée | N |
| 05-07-2022 | 57 | CcFr1-2022_NUM1-057 | 52N103E | Effondrement de la paroi sud du QSE, vue en plongée | N |
| 06-07-2022 | 58 | CcFr1-2022_NUM1-058 | | État de l'aire de fouille, jour 3 | E |
| 06-07-2022 | 59 | CcFr1-2022_NUM1-059 | | État de l'aire de fouille, jour 3 | S |
| 06-07-2022 | 60 | CcFr1-2022_NUM1-060 | | État de l'aire de fouille, jour 3 | S |
| 06-07-2022 | 61 | CcFr1-2022_NUM1-061 | | État de l'aire de fouille, jour 3 | W |
| 06-07-2022 | 62 | CcFr1-2022_NUM1-062 | 50N103E | Alluvion de sédiments suite à l'averse, vue en plongée | W |
| 06-07-2022 | 63 | CcFr1-2022_NUM1-063 | 50N107E | Racines des niveaux supérieurs, vue en plan | |
| 06-07-2022 | 64 | CcFr1-2022_NUM1-064 | | Ambiance : Roland, Sylvain et Willam | SE |
| 06-07-2022 | 65 | CcFr1-2022_NUM1-065 | 50N105E | Fin de la fouille du niveau 2a | |
| 06-07-2022 | 66 | CcFr1-2022_NUM1-066 | | Ambiance : Roland et Dominique en fouille | SW |
| 06-07-2022 | 67 | CcFr1-2022_NUM1-067 | 52N105E | Fin de fouille du niveau 2a, moins la racine, vue en plan | |
| 06-07-2022 | 68 | CcFr1-2022_NUM1-068 | | Ambiance : Roland en fouille, vue en plongée | |
| 06-07-2022 | 69 | CcFr1-2022_NUM1-069 | 52N105E | Atteinte du Bf (niv.3) dans le QNW | S |
| 06-07-2022 | 70 | CcFr1-2022_NUM1-070 | | Ambiance : Dominique en fouille | S |
| 06-07-2022 | 71 | CcFr1-2022_NUM1-071 | | Ambiance : Sylvain en fouille | N |
| 06-07-2022 | 72 | CcFr1-2022_NUM1-072 | 50N103E | Tesson de bord (cat. 896) dans QSW | |
| 06-07-2022 | 73 | CcFr1-2022_NUM1-073 | 52N103E | Fin de fouille du niv. 2a | |
| 06-07-2022 | 74 | CcFr1-2022_NUM1-074 | 50N105E | Fin de fouille du niv. 2b | |
| 06-07-2022 | 75 | CcFr1-2022_NUM1-075 | 50N103E | Tesson de panse dans le QSW, vue en plan | |
| 06-07-2022 | 76 | CcFr1-2022_NUM1-076 | 52N105E | Ambiance : Éric corrige sa paroi | N |
| 06-07-2022 | 77 | CcFr1-2022_NUM1-077 | 52N104E/105E | Limite nord du puits 52N104E déborde vers le nord | |
| 06-07-2022 | 78 | CcFr1-2022_NUM1-078 | | Ambiance : William content de fouiller | N |
| 06-07-2022 | 79 | CcFr1-2022_NUM1-079 | | Ambiance : Roland explique aux étudiants une structure de combustion | W |
| 06-07-2022 | 80 | CcFr1-2022_NUM1-080 | 51N102E | Traces de combustion dans le niv. 2, vue en plan | |
| 06-07-2022 | 81 | CcFr1-2022_NUM1-081 | 51N102E | Traces de combustion dans le niv. 2, vue en plan | |
| 06-07-2022 | 82 | CcFr1-2022_NUM1-082 | 51N102E | Traces de combustion dans le niv. 2, vue en paroi | W |
| 07-07-2022 | 83 | CcFr1-2022_NUM1-083 | | État de l'aire de fouille, jour 4 | E |
| 07-07-2022 | 84 | CcFr1-2022_NUM1-084 | | État de l'aire de fouille, jour 4 | NW |
| 07-07-2022 | 85 | CcFr1-2022_NUM1-085 | | État de l'aire de fouille, jour 4 | NW |
| 07-07-2022 | 86 | CcFr1-2022_NUM1-086 | 51N103E | Niveau de sable beige (Bf) en paroi nord, surexposition | N |
| 07-07-2022 | 87 | CcFr1-2022_NUM1-087 | 51N103E | Niveau de sable beige (Bf) en paroi nord | N |
| 07-07-2022 | 88 | CcFr1-2022_NUM1-088 | 51N103E | Coin inférieur du QSW, paroi nord : sable beige jaunâtre pas argileux | N |
| 07-07-2022 | 89 | CcFr1-2022_NUM1-089 | | <i>Ratée</i> | |
| 07-07-2022 | 90 | CcFr1-2022_NUM1-090 | 52N104E | Paroi sud | S |
| 07-07-2022 | 91 | CcFr1-2022_NUM1-091 | 50N107E | Racines avant la coupe, vue en plan | |
| 07-07-2022 | 92 | CcFr1-2022_NUM1-092 | 50N107E | Racines avant la coupe, vue en plongée | N |

| Date | Cliché | No. photo | Puits/sond. | Description | Orientation |
|-------------------|--------|---------------------|-----------------|---|-------------|
| 07-07-2022 | 93 | CcFr1-2022_NUM1-093 | 50N103E | Fin de fouille du niv. 2a | |
| 07-07-2022 | 94 | CcFr1-2022_NUM1-094 | 50N107E | Racines après la coupe, vue en plan | |
| 07-07-2022 | 95 | CcFr1-2022_NUM1-095 | 51N102E | Effondrement de la paroi nord du QNE, vue en plongée | S |
| 07-07-2022 | 96 | CcFr1-2022_NUM1-096 | 50N107E | Fin de fouille du niv. 2a | |
| 07-07-2022 | 97 | CcFr1-2022_NUM1-097 | 50N107E | Fin de fouille du niv. 2a | |
| 07-07-2022 | 98 | CcFr1-2022_NUM1-098 | 50N103E/50N104E | Étendue de la lentille de sable gris, vue en plongée, contre-jour très fort | S |
| 07-07-2022 | 99 | CcFr1-2022_NUM1-099 | 50N103E | Ambiance : Dominique entame la fouille du niv. 3 | S |
| 07-07-2022 | 100 | CcFr1-2022_NUM1-100 | 50N103E | Limite inférieure du niv. 3 assez nette en paroi est | N |
| 08-07-2022 | 101 | CcFr1-2022_NUM1-101 | | Ambiance : matin du jour 5 | SW |
| 08-07-2022 | 102 | CcFr1-2022_NUM1-102 | | Ambiance : matin du jour 5 | SE |
| 08-07-2022 | 103 | CcFr1-2022_NUM1-103 | 52N103E | Paroi ouest du QNW vue vers l'est, cuvette du niv. 4 | E |
| 08-07-2022 | 104 | CcFr1-2022_NUM1-104 | 51N102E | Fin de fouille du niv. 2 (20-30), cuvette des quadrants est, vue en plan | |
| 08-07-2022 | 105 | CcFr1-2022_NUM1-105 | 51N102E | Fin de fouille du niv. 2 (20-30), cuvette des quadrants est, vue en plan | |
| 08-07-2022 | 106 | CcFr1-2022_NUM1-106 | 51N102E | Fin de fouille du niv. 2 (20-30), cuvette des quadrants est, vue en plongée | W |
| 08-07-2022 | 107 | CcFr1-2022_NUM1-107 | | BM5, coeur de la souche | |
| 08-07-2022 | 108 | CcFr1-2022_NUM1-108 | | BM1 au bout du sécateur, coin SE de la dalle de ciment | |
| 08-07-2022 | 109 | CcFr1-2022_NUM1-109 | | BM3, coin au bout du sécateur | |
| 08-07-2022 | 110 | CcFr1-2022_NUM1-110 | | BM4, coin au bout du sécateur | |
| 08-07-2022 | 111 | CcFr1-2022_NUM1-111 | | BM8, coeur de la souche | |
| 08-07-2022 | 112 | CcFr1-2022_NUM1-112 | | BM7, borne cadastrale | |
| 08-07-2022 | 113 | CcFr1-2022_NUM1-113 | | BM6, coeur de la souche | |
| 08-07-2022 | 114 | CcFr1-2022_NUM1-114 | | BM2, borne cadastrale | |
| 08-07-2022 | 115 | CcFr1-2022_NUM1-115 | | BM5, coeur de la souche | NE |
| 08-07-2022 | 116 | CcFr1-2022_NUM1-116 | | BM9 (?) | |
| 08-07-2022 | 117 | CcFr1-2022_NUM1-117 | 51N102E | Fouille de niv. 2 (30-40) en cours, vue en plongée | W |
| 08-07-2022 | 118 | CcFr1-2022_NUM1-118 | 51N102E | Fouille de niv. 2 (30-40) en cours, vue en plongée | W |
| 08-07-2022 | 119 | CcFr1-2022_NUM1-119 | 50N105E | Fin de niv. 3 (Bf), début du niv. 4 (C) | |
| 08-07-2022 | 120 | CcFr1-2022_NUM1-120 | 50N105E | Fin de niv. 3 (Bf), début du niv. 4 (C) | |
| 08-07-2022 | 121 | CcFr1-2022_NUM1-121 | 50N107E | Limite sud entre le puits et l'aire A (remblai), vue en plan | |
| 08-07-2022 | 122 | CcFr1-2022_NUM1-122 | 50N107E | Limite sud entre le puits et l'aire A (remblai), vue en plan | |
| 08-07-2022 | 123 | CcFr1-2022_NUM1-123 | 52N105E | Dépression dans le niv. 2b, vue en plongée | E |
| 08-07-2022 | 124 | CcFr1-2022_NUM1-124 | 52N105E | Dépression dans le niv. 2b, vue en plan | |
| 08-07-2022 | 125 | CcFr1-2022_NUM1-125 | 52N105E | Fin de fouille du niv. 2b | |
| 08-07-2022 | 126 | CcFr1-2022_NUM1-126 | | Ambiance : équipe au travail | N |
| 08-07-2022 | 127 | CcFr1-2022_NUM1-127 | 52N103E | Zone noirâtre dans le QSE, niv 5a, vue en plongée | S |
| 08-07-2022 | 128 | CcFr1-2022_NUM1-128 | 51N102E | Niv. 3b, difficulté à définir le fond de la cuvette, vue en plongée | SW |
| 08-07-2022 | 129 | CcFr1-2022_NUM1-129 | 51N102E | Niv. 3b, difficulté à définir le fond de la cuvette, vue en plongée | W |
| 08-07-2022 | 130 | CcFr1-2022_NUM1-130 | 51N102E | Niv. 3b, difficulté à définir le fond de la cuvette, vue en plan | W |
| 08-07-2022 | 131 | CcFr1-2022_NUM1-131 | 51N102E | Zone cendreuse au fond du niv. 3b, vue en plan, sous-exposition | |
| 09-07-2022 | 132 | CcFr1-2022_NUM1-132 | | Ambiance : matin, arrivée au site | NE |
| 09-07-2022 | 133 | CcFr1-2022_NUM1-133 | | État général de l'aire de fouille, jour 6 | SE |
| 09-07-2022 | 134 | CcFr1-2022_NUM1-134 | | Ambiance : les étudiants se préparent pour leur présentation orale | SE |
| 09-07-2022 | 135 | CcFr1-2022_NUM1-135 | | Ambiance : William présente une perle de verre | W |
| 09-07-2022 | 136 | CcFr1-2022_NUM1-136 | | Ambiance : William présente une perle de verre | N |
| 09-07-2022 | 137 | CcFr1-2022_NUM1-137 | | Ambiance : Gabrielle présente un éclat en chert Kichisipi | W |
| 09-07-2022 | 138 | CcFr1-2022_NUM1-138 | | Ambiance : Gabrielle présente un éclat en chert Kichisipi | SE |
| 09-07-2022 | 139 | CcFr1-2022_NUM1-139 | | Ambiance : Domnique présente son puits | S |
| 09-07-2022 | 140 | CcFr1-2022_NUM1-140 | | Ambiance : Domnique présente son puits | SE |

| Date | Cliché | No. photo | Puits/sond. | Description | Orientation |
|-------------------|--------|---------------------|-------------|---|-------------|
| 09-07-2022 | 141 | CcFr1-2022_NUM1-141 | | Ambiance : Éric présente son puits | S |
| 09-07-2022 | 142 | CcFr1-2022_NUM1-142 | | Ambiance : Éric présente son puits | S |
| 11-07-2022 | 143 | CcFr1-2022_NUM1-143 | 51N104E | Fin de fouille du niv. 2a dans le QSE, vue en plan | |
| 11-07-2022 | 144 | CcFr1-2022_NUM1-144 | 51N104E | Souche dans le niv. 2a, QSE | W |
| 11-07-2022 | 145 | CcFr1-2022_NUM1-145 | | Ambiance : Roland et Geneviève au tamis | N |
| 11-07-2022 | 146 | CcFr1-2022_NUM1-146 | | Ligne des puits 51N | W |
| 11-07-2022 | 147 | CcFr1-2022_NUM1-147 | 51N104E | Fouille du niv. 2a : souche, vue en plongée | SW |
| 11-07-2022 | 148 | CcFr1-2022_NUM1-148 | 50N105E | Paroi sud, en surexposition | S |
| 11-07-2022 | 149 | CcFr1-2022_NUM1-149 | 50N105E | Paroi sud | S |
| 11-07-2022 | 150 | CcFr1-2022_NUM1-150 | J57 | Paroi nord | N |
| 11-07-2022 | 151 | CcFr1-2022_NUM1-151 | | Ratée | NE |
| 11-07-2022 | 152 | CcFr1-2022_NUM1-152 | | Ratée | NE |
| 11-07-2022 | 153 | CcFr1-2022_NUM1-153 | | Ratée | NE |
| 11-07-2022 | 154 | CcFr1-2022_NUM1-154 | | Ratée | NE |
| 11-07-2022 | 155 | CcFr1-2022_NUM1-155 | | Ratée | NE |
| 11-07-2022 | 156 | CcFr1-2022_NUM1-156 | | Ratée | NE |
| 11-07-2022 | 157 | CcFr1-2022_NUM1-157 | J57 | Localisation du sondage J57 | NW |
| 11-07-2022 | 158 | CcFr1-2022_NUM1-158 | J57 | Localisation du sondage J57 | NW |
| 11-07-2022 | 159 | CcFr1-2022_NUM1-159 | | Ratée | NW |
| 11-07-2022 | 160 | CcFr1-2022_NUM1-160 | 51N102E | Paroi ouest des quadrants est | W |
| 11-07-2022 | 161 | CcFr1-2022_NUM1-161 | 51N102E | Presque fin de fouille, vue en plan | |
| 12-07-2022 | 162 | CcFr1-2022_NUM1-162 | | Ambiance : matinée, jour 8 | S |
| 12-07-2022 | 163 | CcFr1-2022_NUM1-163 | | Ambiance : matinée, jour 8 | S |
| 12-07-2022 | 164 | CcFr1-2022_NUM1-164 | | Réinstallation de la ligne 53N | E |
| 12-07-2022 | 165 | CcFr1-2022_NUM1-165 | | Abris | SE |
| 12-07-2022 | 166 | CcFr1-2022_NUM1-166 | | Abris à tamisage | NE |
| 12-07-2022 | 167 | CcFr1-2022_NUM1-167 | | Ambiance : aire de fouille lors d'un jour de pluie | E |
| 12-07-2022 | 168 | CcFr1-2022_NUM1-168 | | Pr #5 sur la souche au NE du point 50N100E | |
| 12-07-2022 | 169 | CcFr1-2022_NUM1-169 | | Enlèvement de la ligne 53N | E |
| 12-07-2022 | 170 | CcFr1-2022_NUM1-170 | | Ambiance : pause en matinée | NE |
| 12-07-2022 | 171 | CcFr1-2022_NUM1-171 | | Ambiance : pause en matinée | NE |
| 12-07-2022 | 172 | CcFr1-2022_NUM1-172 | | Grand lac Nominique | S |
| 12-07-2022 | 173 | CcFr1-2022_NUM1-173 | | Ambiance : pause en matinée | NE |
| 12-07-2022 | 174 | CcFr1-2022_NUM1-174 | | Ratée | |
| 12-07-2022 | 175 | CcFr1-2022_NUM1-175 | 52N107E | Fin du niv. 2a, début du niv. 2b, trou de la taupe dans QNW | N |
| 12-07-2022 | 176 | CcFr1-2022_NUM1-176 | 52N103E | Fin du niv. 5b, QNE, vue en plan | W |
| 12-07-2022 | 177 | CcFr1-2022_NUM1-177 | 53N112E | Fin du niv. 1, début du niv. 2 | E |
| 12-07-2022 | 178 | CcFr1-2022_NUM1-178 | 51N104E | Zone de rubéfaction dans le niv. 2a, vue en plan | |
| 12-07-2022 | 179 | CcFr1-2022_NUM1-179 | 53N112E | Emplacement du puits | E |
| 12-07-2022 | 180 | CcFr1-2022_NUM1-180 | 50N107E | Fin du niv. 3a (Bf), sauf dans le QNW | |
| 12-07-2022 | 181 | CcFr1-2022_NUM1-181 | | Ambiance à 15h30 | W |
| 13-07-2022 | 182 | CcFr1-2022_NUM1-182 | 56N105E | Ouverture du puits par Roland | NE |
| 13-07-2022 | 183 | CcFr1-2022_NUM1-183 | 56N105E | QSW est le QNE de l'aire E fouillée en 2017 | |
| 13-07-2022 | 184 | CcFr1-2022_NUM1-184 | 52N107E | Découverte d'une concentration de tessons en céramique | SE |
| 13-07-2022 | 185 | CcFr1-2022_NUM1-185 | 52N103E | Paroi nord | N |
| 13-07-2022 | 186 | CcFr1-2022_NUM1-186 | 52N103E | Paroi nord | N |
| 13-07-2022 | 187 | CcFr1-2022_NUM1-187 | 52N103E | Fin de fouille du puits | |
| 13-07-2022 | 188 | CcFr1-2022_NUM1-188 | 51N104E | Fin de fouille du niv. 2a | |

| Date | Cliché | No. photo | Puits/sond. | Description | Orientation |
|-------------------|--------|---------------------|-------------|---|-------------|
| 13-07-2022 | 189 | CcFr1-2022 NUM1-189 | 51N104E | Fin de fouille du niv. 2a | |
| 13-07-2022 | 190 | CcFr1-2022 NUM1-190 | 52N107E | Concentration de tessons en céramique avant leur récolte, vue en plan | |
| 13-07-2022 | 191 | CcFr1-2022 NUM1-191 | 52N107E | Concentration de tessons en céramique avant leur récolte, vue en plongée | |
| 13-07-2022 | 192 | CcFr1-2022 NUM1-192 | 52N107E | Concentration de tesson en céramique avant leur récolte, vue en plan rapprochée | |
| 13-07-2022 | 193 | CcFr1-2022 NUM1-193 | 51N104E | Zone de sable gris cendreuse, vue en plan rapprochée | |
| 13-07-2022 | 194 | CcFr1-2022 NUM1-194 | 51N104E | Zone de sable gris cendreuse, vue en plan | |
| 13-07-2022 | 195 | CcFr1-2022 NUM1-195 | | Ambiance : Dominique en fouille | |
| 13-07-2022 | 196 | CcFr1-2022 NUM1-196 | 50N103E | Quelques traces du sable brun dans le Bf | W |
| 13-07-2022 | 197 | CcFr1-2022 NUM1-197 | 52N107E | Geneviève découvre une concentration de tessons en céramique | N |
| 13-07-2022 | 198 | CcFr1-2022 NUM1-198 | 52N107E | Geneviève découvre une concentration de tessons en céramique | W |
| 13-07-2022 | 199 | CcFr1-2022 NUM1-199 | 52N107E | Geneviève découvre une concentration de tessons en céramique | N |
| 13-07-2022 | 200 | CcFr1-2022 NUM1-200 | | Ambiance : exercice de stratigraphie, Gabrielle et Adrien | NW |
| 13-07-2022 | 201 | CcFr1-2022 NUM1-201 | | Ambiance : Sylvain en fouille | N |
| 13-07-2022 | 202 | CcFr1-2022 NUM1-202 | 52N107E | Concentration de tessons en céramique, vue en plan | |
| 13-07-2022 | 203 | CcFr1-2022 NUM1-203 | 52N107E | Concentration de tessons en céramique, vue en plan | |
| 13-07-2022 | 204 | CcFr1-2022 NUM1-204 | 52N107E | Concentration de tessons en céramique, vue en plan | |
| 13-07-2022 | 205 | CcFr1-2022 NUM1-205 | 52N107E | Concentration de tessons en céramique, vue en plan | |
| 13-07-2022 | 206 | CcFr1-2022 NUM1-206 | 52N107E | Concentration de tessons en céramique, vue en plan | |
| 13-07-2022 | 207 | CcFr1-2022 NUM1-207 | 52N107E | Concentration de tessons en céramique, vue en plan rapprochée | |
| 13-07-2022 | 208 | CcFr1-2022 NUM1-208 | 52N107E | Récolte de la concentration de tessons | |
| 13-07-2022 | 209 | CcFr1-2022 NUM1-209 | 52N107E | Récolte de la concentration de tessons | |
| 13-07-2022 | 210 | CcFr1-2022 NUM1-210 | 52N107E | Récolte de la concentration de tessons | |
| 13-07-2022 | 211 | CcFr1-2022 NUM1-211 | 53N104E | Câble de télévision, vue en plan | |
| 13-07-2022 | 212 | CcFr1-2022 NUM1-212 | | Ratée | |
| 13-07-2022 | 213 | CcFr1-2022 NUM1-213 | 50N103E | Interface entre les niv. 4 et 5, vue en plongée | W |
| 13-07-2022 | 214 | CcFr1-2022 NUM1-214 | 51N104E | Ambiance : Gabrielle en fouille | NW |
| 13-07-2022 | 215 | CcFr1-2022 NUM1-215 | 53N104E | Ambiance : Sylvain en fouille | N |
| 13-07-2022 | 216 | CcFr1-2022 NUM1-216 | 50N107E | Fin de fouille | |
| 13-07-2022 | 217 | CcFr1-2022 NUM1-217 | 50N107E | Paroi est | E |
| 13-07-2022 | 218 | CcFr1-2022 NUM1-218 | 53N104E | Morceau de verre (cat. 1567) dans le sol d'aménagement, vue en plongée | NW |
| 13-07-2022 | 219 | CcFr1-2022 NUM1-219 | 53N104E | Morceau de verre (cat. 1567) dans le sol d'aménagement, vue en plongée rapprochée | NW |
| 13-07-2022 | 220 | CcFr1-2022 NUM1-220 | 51N104E | Zone de combustion (niv. 4), vue en plan | |
| 13-07-2022 | 221 | CcFr1-2022 NUM1-221 | 51N104E | Zone de combustion (niv. 4), vue en paroi intérieure | N |
| 14-07-2022 | 222 | CcFr1-2022 NUM1-222 | 53N100E | Ambiance : Éric en fouille | SW |
| 14-07-2022 | 223 | CcFr1-2022 NUM1-223 | 51N106E | Ambiance : Adrien coupe les racines | |
| 14-07-2022 | 224 | CcFr1-2022 NUM1-224 | | Piquet du premier PR1 avant réimplantation, vue en plongée | SE |
| 14-07-2022 | 225 | CcFr1-2022 NUM1-225 | 51N104E | Zone de combustion (niv. 4) avant la fouille, vue en plan | |
| 14-07-2022 | 226 | CcFr1-2022 NUM1-226 | 51N104E | Zone de combustion (niv. 4) avant la fouille, vue en plan | |
| 14-07-2022 | 227 | CcFr1-2022 NUM1-227 | | Ambiance : Éric et le gros éclat (cat. 1515) | NE |
| 14-07-2022 | 228 | CcFr1-2022 NUM1-228 | 53N100E | Gros éclat en chert calcaire (cat. 1515) dans QNE, vue en plan | |
| 14-07-2022 | 229 | CcFr1-2022 NUM1-229 | 51N106E | Ambiance : Adrien effectue un relevé photogramétrique | E |
| 14-07-2022 | 230 | CcFr1-2022 NUM1-230 | 51N104E | Tesson décoré (cat. 1208) dans le niv. 4 du QSW, vue en plan | |
| 14-07-2022 | 231 | CcFr1-2022 NUM1-231 | 51N104E | Tesson décoré (cat. 1208) dans le niv. 4 du QSW, vue en plan rapprochée | |
| 14-07-2022 | 232 | CcFr1-2022 NUM1-232 | | Ambiance : Gabrielle en fouille, William prend des notes | E |
| 14-07-2022 | 233 | CcFr1-2022 NUM1-233 | | Ambiance générale | |
| 14-07-2022 | 234 | CcFr1-2022 NUM1-234 | | Ambiance : découverte d'une micropointe (cat. 1251) | W |
| 14-07-2022 | 235 | CcFr1-2022 NUM1-235 | | Ambiance : découverte d'une micropointe (cat. 1251) | SE |
| 14-07-2022 | 236 | CcFr1-2022 NUM1-236 | | Ambiance : découverte d'une micropointe (cat. 1251) | SE |

| Date | Cliché | No. photo | Puits/sond. | Description | Orientation |
|-------------------|--------|---------------------|-------------|---|-------------|
| 14-07-2022 | 237 | CcFr1-2022_NUM1-237 | | Ambiance : découverte d'une micropointe (cat. 1251) | N |
| 14-07-2022 | 238 | CcFr1-2022_NUM1-238 | | Ambiance : Gabrielle et la micropointe (cat. 1251) | W |
| 14-07-2022 | 239 | CcFr1-2022_NUM1-239 | | Ambiance : Gabrielle et la micropointe (cat. 1251) | W |
| 14-07-2022 | 240 | CcFr1-2022_NUM1-240 | 51N106E | Puits, niveau et quadrant de découverte de la micropointe (cat. 1251) | S |
| 14-07-2022 | 241 | CcFr1-2022_NUM1-241 | 51N106E | QSE et niv. 2a, lieu de découverte de la micropointe (cat. 1251), vue en plan | |
| 14-07-2022 | 242 | CcFr1-2022_NUM1-242 | 51N106E | QSE et niv. 2a, lieu de découverte de la micropointe (cat. 1251), vue en plongée | NW |
| 15-07-2022 | 243 | CcFr1-2022_NUM1-243 | | Grand lac Nominique le matin | S |
| 15-07-2022 | 244 | CcFr1-2022_NUM1-244 | | État de l'aire de fouille, jour 11 | E |
| 15-07-2022 | 245 | CcFr1-2022_NUM1-245 | | État de l'aire de fouille, jour 11 | W |
| 15-07-2022 | 246 | CcFr1-2022_NUM1-246 | | Ambiance : découverte d'une perle de verre noir (cat. 1727) | |
| 15-07-2022 | 247 | CcFr1-2022_NUM1-247 | | Ambiance : découverte d'une perle de verre noir (cat. 1727) | |
| 15-07-2022 | 248 | CcFr1-2022_NUM1-248 | | Ambiance : découverte d'une perle de verre noir (cat. 1727) | |
| 15-07-2022 | 249 | CcFr1-2022_NUM1-249 | | Ambiance : Éric et sa perle de verre (cat. 1727) | |
| 15-07-2022 | 250 | CcFr1-2022_NUM1-250 | | Localisation de découverte de la perle de verre noir (cat. 1727), vue en plan | |
| 15-07-2022 | 251 | CcFr1-2022_NUM1-251 | | Localisation de découverte de la perle de verre noir (cat. 1727), vue en plongée | S |
| 15-07-2022 | 252 | CcFr1-2022_NUM1-252 | | Ambiance générale | E |
| 15-07-2022 | 253 | CcFr1-2022_NUM1-253 | | Ambiance générale | W |
| 15-07-2022 | 254 | CcFr1-2022_NUM1-254 | | Ambiance : Adrien et Willaim discutent | S |
| 15-07-2022 | 255 | CcFr1-2022_NUM1-255 | 51N105E | Fouille du QNW du niv. 2a par Gabrielle | NW |
| 15-07-2022 | 256 | CcFr1-2022_NUM1-256 | | Ambiance : Adrien et Willaim discutent | W |
| 15-07-2022 | 257 | CcFr1-2022_NUM1-257 | | Ambiance : William a complété la fouille de son puits | SE |
| 15-07-2022 | 258 | CcFr1-2022_NUM1-258 | 51N104E | Localisation de l'échantillon de sol (cat. 1197) dans la lentille de sable gris du niv. 2b, vue en | |
| 15-07-2022 | 259 | CcFr1-2022_NUM1-259 | 51N104E | Localisation de l'échantillon de sol (cat. 1197) dans la lentille de sable gris du niv. 2b, vue en plongée rapprochée | |
| 15-07-2022 | 260 | CcFr1-2022_NUM1-260 | 50N103E | Fin de fouille du niv. 4c | |
| 15-07-2022 | 261 | CcFr1-2022_NUM1-261 | 50N103E | Fin de fouille du niv. 4c, vue en plongée | S |
| 15-07-2022 | 262 | CcFr1-2022_NUM1-262 | 51N104E | Lentille de sable gris dans le QSE, vue en plan | |
| 15-07-2022 | 263 | CcFr1-2022_NUM1-263 | 51N104E | Lentille de sable gris dans le QSE, vue en plan | |
| 15-07-2022 | 264 | CcFr1-2022_NUM1-264 | 51N104E | Lentille de sable gris dans le QSE, vue en plan rapprochée | |
| 15-07-2022 | 265 | CcFr1-2022_NUM1-265 | | Ambiance : William en fouille | E |
| 15-07-2022 | 266 | CcFr1-2022_NUM1-266 | | Ambiance : Gabrielle fait de la photogrammétrie | E |
| 15-07-2022 | 267 | CcFr1-2022_NUM1-267 | | Ambiance : Gabrielle fait de la photogrammétrie | E |
| 15-07-2022 | 268 | CcFr1-2022_NUM1-268 | 51N104E | Fin de la fouille de la lentille de sable gris cendreuse, vue en plan | |
| 15-07-2022 | 269 | CcFr1-2022_NUM1-269 | 51N104E | Fin de la fouille de la lentille de sable gris cendreuse, vue en plongée rapprochée | N |
| 15-07-2022 | 270 | CcFr1-2022_NUM1-270 | 50N103E | Fin de fouille du niv. 5b | |
| 16-07-2022 | 271 | CcFr1-2022_NUM1-271 | | État de l'aire de fouille, jour 12 | SE |
| 16-07-2022 | 272 | CcFr1-2022_NUM1-272 | | État de l'aire de fouille, jour 12 | NE |
| 16-07-2022 | 273 | CcFr1-2022_NUM1-273 | | État de l'aire de fouille, jour 12 | NE |
| 16-07-2022 | 274 | CcFr1-2022_NUM1-274 | | État de l'aire de fouille, jour 12 | NW |
| 16-07-2022 | 275 | CcFr1-2022_NUM1-275 | | État de l'aire de fouille, jour 12 | W |
| 16-07-2022 | 276 | CcFr1-2022_NUM1-276 | | Ambiance : en matinée | NW |
| 16-07-2022 | 277 | CcFr1-2022_NUM1-277 | 50N103E | Fin de fouille du niveau 5b corrigée | |
| 16-07-2022 | 278 | CcFr1-2022_NUM1-278 | 50N103E | Sable lité, vue très rapprochée | |
| 16-07-2022 | 279 | CcFr1-2022_NUM1-279 | 50N103E | Sable lité, vue très rapprochée | |
| 16-07-2022 | 280 | CcFr1-2022_NUM1-280 | 50N103E | Sable lité, vue très rapprochée | |
| 16-07-2022 | 281 | CcFr1-2022_NUM1-281 | 50N103E | Sable lité, vue très rapprochée | |
| 16-07-2022 | 282 | CcFr1-2022_NUM1-282 | 51N102E | Sable lité et tacheté de orange, vue très rapprochée | |
| 16-07-2022 | 283 | CcFr1-2022_NUM1-283 | 51N102E | Sable lité et tacheté de orange, vue très rapprochée | |

| Date | Cliché | No. photo | Puits/sond. | Description | Orientation |
|-------------------|--------|---------------------|--------------|--|-------------|
| 16-07-2022 | 284 | CcFr1-2022_NUM1-284 | 51N102E | Sable lité et tacheté de orange, vue très rapprochée | |
| 16-07-2022 | 285 | CcFr1-2022_NUM1-285 | 50N103E | Fin de fouille du niv. 4d | |
| 16-07-2022 | 286 | CcFr1-2022_NUM1-286 | 50N103E | Fin de fouille du niv. 4d | |
| 16-07-2022 | 287 | CcFr1-2022_NUM1-287 | 56N105E | Ambiance : découverte d'un tesson (cat. 1636) avec impressions à la cordelette | SE |
| 16-07-2022 | 288 | CcFr1-2022_NUM1-288 | 56N105E | Ambiance : découverte d'un tesson (cat. 1636) avec impressions à la cordelette, vue rapprochée | |
| 16-07-2022 | 289 | CcFr1-2022_NUM1-289 | 56N105E | Ambiance : découverte d'un tesson (cat. 1636) avec impressions à la cordelette, vue rapprochée floue | |
| 16-07-2022 | 290 | CcFr1-2022_NUM1-290 | 56N105E | Ambiance : découverte d'un tesson (cat. 1636) avec impressions à la cordelette | W |
| 16-07-2022 | 291 | CcFr1-2022_NUM1-291 | 56N105E | Ambiance : découverte d'un tesson (cat. 1636) avec impressions à la cordelette | W |
| 16-07-2022 | 292 | CcFr1-2022_NUM1-292 | 56N105E | Ambiance : découverte d'un tesson (cat. 1636) avec impressions à la cordelette | S |
| 16-07-2022 | 293 | CcFr1-2022_NUM1-293 | 50N103E | Fin de fouille du niv. 4d et du puits | |
| 16-07-2022 | 294 | CcFr1-2022_NUM1-294 | 50N103E | Fin de fouille du niv. 4d et du puits | |
| 16-07-2022 | 295 | CcFr1-2022_NUM1-295 | | Ambiance : William en fouille | |
| 16-07-2022 | 296 | CcFr1-2022_NUM1-296 | | Ambiance : Gabrielle en fouille | |
| 16-07-2022 | 297 | CcFr1-2022_NUM1-297 | | Ambiance : Geneviève en fouille | |
| 16-07-2022 | 298 | CcFr1-2022_NUM1-298 | 51N106E | Niveaux 3a, 3b et racines, grosse racine pointe vers le nord à gauche, vue en plongée | E |
| 16-07-2022 | 299 | CcFr1-2022_NUM1-299 | 51N106E | Niveaux 3a, 3b et racines, grosse racine pointe vers le nord à gauche, vue en plongée | E |
| 16-07-2022 | 300 | CcFr1-2022_NUM1-300 | | Ambiance : auditoire pour les présentations orales | NE |
| 16-07-2022 | 301 | CcFr1-2022_NUM1-301 | | Ambiance : auditoire pour les présentations orales | NE |
| 16-07-2022 | 302 | CcFr1-2022_NUM1-302 | | Ambiance : auditoire pour les présentations orales, Karine pose une question | NE |
| 16-07-2022 | 303 | CcFr1-2022_NUM1-303 | | Ambiance : présentation par Éric | SE |
| 16-07-2022 | 304 | CcFr1-2022_NUM1-304 | | Ambiance : manipulation du gros éclat | SE |
| 16-07-2022 | 305 | CcFr1-2022_NUM1-305 | | Ambiance : présentation par Dominique | S |
| 16-07-2022 | 306 | CcFr1-2022_NUM1-306 | | Ambiance : présentation par Dominique | S |
| 16-07-2022 | 307 | CcFr1-2022_NUM1-307 | | Ambiance : présentation par Dominique | S |
| 16-07-2022 | 308 | CcFr1-2022_NUM1-308 | | Ambiance : présentation par Gabrielle | S |
| 16-07-2022 | 309 | CcFr1-2022_NUM1-309 | | Ambiance : présentation par Gabrielle | SE |
| 16-07-2022 | 310 | CcFr1-2022_NUM1-310 | | Ambiance : présentation par William | S |
| 16-07-2022 | 311 | CcFr1-2022_NUM1-311 | | Ambiance : présentation par William | S |
| 16-07-2022 | 312 | CcFr1-2022_NUM1-312 | | Ambiance : présentation par William | S |
| 16-07-2022 | 313 | CcFr1-2022_NUM1-313 | | Ambiance : présentation par William | S |
| 16-07-2022 | 314 | CcFr1-2022_NUM1-314 | | Ambiance : présentation par William | SE |
| 16-07-2022 | 315 | CcFr1-2022_NUM1-315 | | Ambiance : Martin Lominy parle de pointes de projectile | S |
| 18-07-2022 | 316 | CcFr1-2022_NUM1-316 | | État de l'aire de fouille, jour 13 | E |
| 18-07-2022 | 317 | CcFr1-2022_NUM1-317 | | État de l'aire de fouille, jour 13 | SW |
| 18-07-2022 | 318 | CcFr1-2022_NUM1-318 | 51N106E | Racines au dessus du foyer, vue en plan | |
| 18-07-2022 | 319 | CcFr1-2022_NUM1-319 | 50N82E (QSW) | Localisation du sondage 50N82E QSW | SW |
| 18-07-2022 | 320 | CcFr1-2022_NUM1-320 | 50N82E (QSW) | Fin du niveau de tourbe et horizon organique, vue en plan | |
| 18-07-2022 | 321 | CcFr1-2022_NUM1-321 | 50N82E (QSW) | Fin du niveau de tourbe et horizon organique, vue en plongée | W |
| 18-07-2022 | 322 | CcFr1-2022_NUM1-322 | 50N82E (QSW) | Fin du niveau de tourbe et horizon organique, vue en plan | |
| 18-07-2022 | 323 | CcFr1-2022_NUM1-323 | 50N82E (QSW) | Fin du niveau horizon perturbé Ap, vue en plan | |
| 18-07-2022 | 324 | CcFr1-2022_NUM1-324 | 50N82E (QSW) | Fin du niveau horizon perturbé Ap, vue en plongée | W |
| 18-07-2022 | 325 | CcFr1-2022_NUM1-325 | 50N82E (QSW) | Fin de fouille du niv. 3 (Bf), vue en plan | |
| 18-07-2022 | 326 | CcFr1-2022_NUM1-326 | 50N82E (QSW) | Paroi nord | |
| 18-07-2022 | 327 | CcFr1-2022_NUM1-327 | 53N100E | Trace de possible trou de piquet dans le niv. 2c du QNE, vue en plan | |
| 18-07-2022 | 328 | CcFr1-2022_NUM1-328 | | Ambiance : Éric en fouille | |
| 18-07-2022 | 329 | CcFr1-2022_NUM1-329 | 51N104E | Fin de fouille du niv. 6a | |

| Date | Cliché | No. photo | Puits/sond. | Description | Orientation |
|-------------------|--------|---------------------|---------------|---|-------------|
| 18-07-2022 | 330 | CcFr1-2022_NUM1-330 | 51N104E | Fouille du niv. 5a | |
| 18-07-2022 | 331 | CcFr1-2022_NUM1-331 | J59 | Localisation du sondage J59 | NE |
| 18-07-2022 | 332 | CcFr1-2022_NUM1-332 | J59 | Localisation du sondage J59 | NE |
| 18-07-2022 | 333 | CcFr1-2022_NUM1-333 | 53N100E | Fin du niv. 2c, début du niv. 3 et 4, vue en plan | |
| 18-07-2022 | 334 | CcFr1-2022_NUM1-334 | 51N104E | Ambiance : Corey apprend à manier la truelle | |
| 18-07-2022 | 335 | CcFr1-2022_NUM1-335 | 51N104E | Fin de fouille du niv. 4 (cuvette) corrigée, vue en plan | |
| 18-07-2022 | 336 | CcFr1-2022_NUM1-336 | 51N104E | Fin de fouille du niv. 4 (cuvette) corrigée, vue en plongée | E |
| 18-07-2022 | 337 | CcFr1-2022_NUM1-337 | 51N104E | Aspect rougeâtre (rubéfaction?) de la couche sous la cuvette | |
| 18-07-2022 | 338 | CcFr1-2022_NUM1-338 | 51N104E | Aspect rougeâtre (rubéfaction?) de la couche sous la cuvette, vue en plongée | S |
| 18-07-2022 | 339 | CcFr1-2022_NUM1-339 | 51N104E | Limite est (échelle) de la fosse, vue en plan | |
| 19-07-2022 | 340 | CcFr1-2022_NUM1-340 | | État général de l'aire de fouille, jour 14 | SE |
| 19-07-2022 | 341 | CcFr1-2022_NUM1-341 | | État général de l'aire de fouille, jour 14 | W |
| 19-07-2022 | 342 | CcFr1-2022_NUM1-342 | 51N104E | Fin de fouille du niv. 5a | |
| 19-07-2022 | 343 | CcFr1-2022_NUM1-343 | 51N104E | Fin de fouille du niv. 5a | |
| 19-07-2022 | 344 | CcFr1-2022_NUM1-344 | | Ambiance : Roland | |
| 19-07-2022 | 345 | CcFr1-2022_NUM1-345 | | Ambiance : Roland | |
| 19-07-2022 | 346 | CcFr1-2022_NUM1-346 | | Ambiance : Éric en fouille | |
| 19-07-2022 | 347 | CcFr1-2022_NUM1-347 | 51N104E | Limite nord de la fosse, vue en plan | |
| 19-07-2022 | 348 | CcFr1-2022_NUM1-348 | 51N104E | Limite nord de la fosse, vue en plan | |
| 19-07-2022 | 349 | CcFr1-2022_NUM1-349 | | Ambiance : Gabrielle au dessin | SE |
| 19-07-2022 | 350 | CcFr1-2022_NUM1-350 | 51N104E | Tesson en céramique près de la racine, vue en plongée rapprochée | |
| 19-07-2022 | 351 | CcFr1-2022_NUM1-351 | | Ambiance : Roland remblaie | |
| 19-07-2022 | 352 | CcFr1-2022_NUM1-352 | 51N014E | Fin du niv. 5c, début du niv. 7 | |
| 19-07-2022 | 353 | CcFr1-2022_NUM1-353 | | Ratée | |
| 19-07-2022 | 354 | CcFr1-2022_NUM1-354 | 53N104E | Fin de fouille du niv. 2b | |
| 19-07-2022 | 355 | CcFr1-2022_NUM1-355 | 51N104E | Ambiance : William et Corey fouillent une zone de sédiments noirs charbonneux (niv. 7a), vue en plongée | E |
| 19-07-2022 | 356 | CcFr1-2022_NUM1-356 | 51N104E | Fin de la fouille du niv. 7a | |
| 20-07-2022 | 357 | CcFr1-2022_NUM1-357 | 51N104E | Fin de la fouille du niv. 7a, vue en plongée | E |
| 20-07-2022 | 358 | CcFr1-2022_NUM1-358 | | Ratée | |
| 20-07-2022 | 359 | CcFr1-2022_NUM1-359 | 53N100E | Fosse cendreuse dans le niv. 3, vue en plongée | N |
| 20-07-2022 | 360 | CcFr1-2022_NUM1-360 | | Ambiance : Dolcy et Gabrielle en fouille | S |
| 20-07-2022 | 361 | CcFr1-2022_NUM1-361 | | Ambiance : William, Gabrielle et Dolcy en fouille | E |
| 20-07-2022 | 362 | CcFr1-2022_NUM1-362 | 53N100E | Niv. 3 : la fosse cendreuse rentre sous le Bf, vue en plongée | NW |
| 20-07-2022 | 363 | CcFr1-2022_NUM1-363 | 50N116E (QSE) | Localisation du sondage/QSE | E |
| 20-07-2022 | 364 | CcFr1-2022_NUM1-364 | 51N104E | Fin de la fouille du niv. 6b | |
| 20-07-2022 | 365 | CcFr1-2022_NUM1-365 | 51N104E | Fouille du niv. 6c, vue en plongée | N |
| 20-07-2022 | 366 | CcFr1-2022_NUM1-366 | 51N104E | Fouille du niv. 6c, vue en plongée | N |
| 20-07-2022 | 367 | CcFr1-2022_NUM1-367 | 51N104E | Fin de fouille du niv. 6c | |
| 20-07-2022 | 368 | CcFr1-2022_NUM1-368 | | Ambiance : William fouille le niveau 7 | N |
| 20-07-2022 | 369 | CcFr1-2022_NUM1-369 | | Ambiance : Dominique en fouille | N |
| 20-07-2022 | 370 | CcFr1-2022_NUM1-370 | 51N104E | Éclat (cat. 1235) récolté à côté de l'échantillon de charbon dans le QSW du niv. 7 | |
| 20-07-2022 | 371 | CcFr1-2022_NUM1-371 | 51N104E | Éclat (cat. 1235) récolté à côté de l'échantillon de charbon, vue en plongée | |
| 20-07-2022 | 372 | CcFr1-2022_NUM1-372 | 51N104E | Localisation de échantillon de sédiments (cat. 1237) du niv. 7b. QSW, vue en plongée | NE |
| 20-07-2022 | 373 | CcFr1-2022_NUM1-373 | 51N104E | Fin de fouille du niv. 8 | |
| 20-07-2022 | 374 | CcFr1-2022_NUM1-374 | 51N104E | Fin de fouille du niv. 7, fosse de foyer, vue en plan | |
| 20-07-2022 | 375 | CcFr1-2022_NUM1-375 | 51N104E | Fin de fouille du niv. 7, fosse de foyer, vue en plongée | N |
| 20-07-2022 | 376 | CcFr1-2022_NUM1-376 | 51N104E | Fin de fouille du niv. 7, fosse de foyer, plongée | NE |

| Date | Cliché | No. photo | Puits/sond. | Description | Orientation |
|-------------------|--------|---------------------|-------------|--|-------------|
| 20-07-2022 | 377 | CcFr1-2022_NUM1-377 | 51N104E | Fin de fouille du niv. 6. et du puits, vue en plan | |
| 20-07-2022 | 378 | CcFr1-2022_NUM1-378 | 51N104E | Fin de fouille du niv. 6. et du puits, vue en plan | |
| 20-07-2022 | 379 | CcFr1-2022_NUM1-379 | 51N104E | Fin de fouille du niv. 6. et du puits, vue en plongée | N |
| 20-07-2022 | 380 | CcFr1-2022_NUM1-380 | | État général de l'aire de fouille à la fin du jour 15 | E |
| 20-07-2022 | 381 | CcFr1-2022_NUM1-381 | | État général de l'aire de fouille à la fin du jour 15 | SW |
| 20-07-2022 | 382 | CcFr1-2022_NUM1-382 | | État général de l'aire de fouille à la fin du jour 15 | SW |
| 21-07-2022 | 383 | CcFr1-2022_NUM1-383 | | Fin de la fosse de chablis (?) dans les puits 50N103E/104E et 51N103E/104E, vue en plongée | NE |
| 21-07-2022 | 384 | CcFr1-2022_NUM1-384 | | Fin de la fosse de chablis (?) dans les puits 50N103E/104E et 51N103E/104E, vue en plongée | NE |
| 21-07-2022 | 385 | CcFr1-2022_NUM1-385 | | Fin de la fosse de chablis (?) dans les puits 50N103E/104E et 51N103E/104E, vue en plongée | N |
| 21-07-2022 | 386 | CcFr1-2022_NUM1-386 | | Fin de la fosse de chablis (?) dans les puits 50N103E/104E et 51N103E/104E, vue en plongée | N |
| 21-07-2022 | 387 | CcFr1-2022_NUM1-387 | | Fin de la fosse de chablis (?) dans les puits 50N103E/104E et 51N103E/104E, vue en plongée | N |
| 21-07-2022 | 388 | CcFr1-2022_NUM1-388 | | Fin de la fosse de chablis (?) dans les puits 50N103E/104E et 51N103E/104E, vue en plongée | N |
| 21-07-2022 | 389 | CcFr1-2022_NUM1-389 | | Fin de la fosse de chablis (?) dans les puits 50N103E/104E et 51N103E/104E, vue en plongée | NW |
| 21-07-2022 | 390 | CcFr1-2022_NUM1-390 | | Fin de la fosse de chablis (?) dans les puits 50N103E/104E et 51N103E/104E, vue en plongée | NW |
| 21-07-2022 | 391 | CcFr1-2022_NUM1-391 | | Fin de la fosse de chablis (?) dans les puits 50N103E/104E et 51N103E/104E, vue en plongée | W |
| 21-07-2022 | 392 | CcFr1-2022_NUM1-392 | | Fin de la fosse de chablis (?) dans les puits 50N103E/104E et 51N103E/104E, vue en plongée | SW |
| 21-07-2022 | 393 | CcFr1-2022_NUM1-393 | | Fin de la fosse de chablis (?) dans les puits 50N103E/104E et 51N103E/104E, vue en plongée | SW |
| 21-07-2022 | 394 | CcFr1-2022_NUM1-394 | | Fin de la fosse de chablis (?) dans les puits 50N103E/104E et 51N103E/104E, vue en plongée | S |
| 21-07-2022 | 395 | CcFr1-2022_NUM1-395 | | Fin de la fosse de chablis (?) dans les puits 50N103E/104E et 51N103E/104E, vue en plongée | SE |
| 21-07-2022 | 396 | CcFr1-2022_NUM1-396 | | Fin de la fosse de chablis (?) dans les puits 50N103E/104E et 51N103E/104E, vue en plongée | SE |
| 21-07-2022 | 397 | CcFr1-2022_NUM1-397 | | Fin de la fosse de chablis (?) dans les puits 50N103E/104E et 51N103E/104E, vue en plongée | SE |
| 21-07-2022 | 398 | CcFr1-2022_NUM1-398 | | Fin de la fosse de chablis (?) dans les puits 50N103E/104E et 51N103E/104E, vue en plongée | SE |
| 21-07-2022 | 399 | CcFr1-2022_NUM1-399 | | Fin de la fosse de chablis (?) dans les puits 50N103E/104E et 51N103E/104E, vue en plongée | SE |
| 21-07-2022 | 400 | CcFr1-2022_NUM1-400 | | Fin de la fosse de chablis (?) dans les puits 50N103E/104E et 51N103E/104E, vue en plongée | E |
| 21-07-2022 | 401 | CcFr1-2022_NUM1-401 | 51N104E | Paroi nord du sondage | N |
| 21-07-2022 | 402 | CcFr1-2022_NUM1-402 | 51N104E | Paroi est du sondage | E |
| 21-07-2022 | 403 | CcFr1-2022_NUM1-403 | 51N104E | Paroi sud du sondage | S |
| 21-07-2022 | 404 | CcFr1-2022_NUM1-404 | 51N104E | Paroi sud du sondage | S |
| 21-07-2022 | 405 | CcFr1-2022_NUM1-405 | 51N104E | Paroi ouest du sondage | W |
| 21-07-2022 | 406 | CcFr1-2022_NUM1-406 | 51N104E | Fond du sondage, vue en plan | |
| 21-07-2022 | 407 | CcFr1-2022_NUM1-407 | 51N104E | Fond du sondage, vue en plan rapprochée | |
| 21-07-2022 | 408 | CcFr1-2022_NUM1-408 | | Ambiance générale | NE |
| 21-07-2022 | 409 | CcFr1-2022_NUM1-409 | 51N106E | Ambiance : Gabrielle en fin de fouille | NE |
| 21-07-2022 | 410 | CcFr1-2022_NUM1-410 | 53N100E | Ambiance : Roland aide Éric au relevé stratigraphique | NW |
| 22-07-2022 | 411 | CcFr1-2022_NUM1-411 | | Remplissage de l'aire de fouille | SE |
| 22-07-2022 | 412 | CcFr1-2022_NUM1-412 | | Remplissage de l'aire de fouille | NE |
| 22-07-2022 | 413 | CcFr1-2022_NUM1-413 | | Remplissage de l'aire de fouille, nettoyage du terrain | E |
| 22-07-2022 | 414 | CcFr1-2022_NUM1-414 | | Remplissage de l'aire de fouille | S |
| 22-07-2022 | 415 | CcFr1-2022_NUM1-415 | | Remplissage de l'aire de fouille | SE |
| 22-07-2022 | 416 | CcFr1-2022_NUM1-416 | | Clou laissé en place pour le câble TV | E |
| 22-07-2022 | 417 | CcFr1-2022_NUM1-417 | | Clou laissé en place pour le câble TV | W |
| 22-07-2022 | 418 | CcFr1-2022_NUM1-418 | | Clou laissé en place pour le câble TV | NW |
| 22-07-2022 | 419 | CcFr1-2022_NUM1-419 | | État du terrain après le chantier | SE |

Projet : *Hautes-Laurentides 2022, Pointe des Sœurs, CcFs-2*
Film # : 1

Archéologue : FL
Type : NUM

| Date | Cliché | No. photo | Sondage | Description | Orientation |
|------------|--------|---------------------|----------|--|-------------|
| 07-07-2022 | 1 | CcFs2-2022_NUM1-001 | PDS3 | Vue générale, PDS3 E.B. en avant-plan | NW |
| 07-07-2022 | 2 | CcFs2-2022_NUM1-002 | PDS3 | Vue générale, PDS3 E.B. en avant-plan | NW |
| 07-07-2022 | 3 | CcFs2-2022_NUM1-003 | PDS1 | Paroi S | S |
| 07-07-2022 | 4 | CcFs2-2022_NUM1-004 | PDS2 | Paroi S | S |
| 07-07-2022 | 5 | CcFs2-2022_NUM1-005 | PDS3 | Paroi S | S |
| 07-07-2022 | 6 | CcFs2-2022_NUM1-006 | PDS5 | Sondage positif G.F. | NW |
| 07-07-2022 | 7 | CcFs2-2022_NUM1-007 | PDS7 | Vue générale, PDS7 A.C. en avant-plan | NW |
| 07-07-2022 | 8 | CcFs2-2022_NUM1-008 | PDS8 | Vue générale, PDS8 E.B. en avant-plan | NW |
| 07-07-2022 | 9 | CcFs2-2022_NUM1-009 | PDS5 | niveau Ah-Ae mêlés | en plan |
| 07-07-2022 | 10 | CcFs2-2022_NUM1-010 | PDS5 | Sondage positif G.F. | NW |
| 07-07-2022 | 11 | CcFs2-2022_NUM1-011 | PDS7-11 | PDS7 A.C et PDS11 R.T. général | E |
| 07-07-2022 | 12 | CcFs2-2022_NUM1-012 | PDS9 | Paroi S | S |
| 07-07-2022 | 13 | CcFs2-2022_NUM1-013 | PDS12-13 | PDS12 E.B et PDS13 A.C. général | SW |
| 07-07-2022 | 14 | CcFs2-2022_NUM1-014 | PDS14 | Paroi E | E |
| 07-07-2022 | 15 | CcFs2-2022_NUM1-015 | PDS10 | Paroi W | W |
| 07-07-2022 | 16 | CcFs2-2022_NUM1-016 | PDS12 | Paroi N | N |
| 07-07-2022 | 17 | CcFs2-2022_NUM1-017 | PDS15 | Paroi E | E |
| 07-07-2022 | 18 | CcFs2-2022_NUM1-018 | PDS17 | Paroi S | S |
| 07-07-2022 | 19 | CcFs2-2022_NUM1-019 | PDS18 | Paroi S | S |
| 07-07-2022 | 20 | CcFs2-2022_NUM1-020 | Général | Vue générale de la plage vers le sud | S |
| 07-07-2022 | 21 | CcFs2-2022_NUM1-021 | Général | Vue générale de la plage vers le nord | N |
| 07-07-2022 | 22 | CcFs2-2022_NUM1-022 | Général | Vue générale du lac vers la baie Larivière | W |
| 07-07-2022 | 23 | CcFs2-2022_NUM1-023 | PDS19 | Paroi S | S |
| 07-07-2022 | 24 | CcFs2-2022_NUM1-024 | PDS21 | Paroi S | S |
| 07-07-2022 | 25 | CcFs2-2022_NUM1-025 | PDS25 | Paroi S | S |
| 07-07-2022 | 26 | CcFs2-2022_NUM1-026 | PDS24 | Paroi S | S |

Projet : Hautes-Laurentides 2022, Ruisseau Jourdain, CcFr-1

Archéologue : AC

Film # : 2

Type : NUM

| Date | Cliché | No. photo | Puits/sond. | Description | Orientation |
|------------|--------|---------------------|-------------|--|-------------|
| 05-07-2022 | 1 | CcFr1-2022_NUM2-001 | J52 | Emplacement près de l'accès à la plage Claudie Bélanger, Grand lac Nomingue en arrière-plan | S |
| 05-07-2022 | 2 | CcFr1-2022_NUM2-002 | J52 | Emplacement près de l'accès à la plage Claudie Bélanger | SW |
| 05-07-2022 | 3 | CcFr1-2022_NUM2-003 | J52 | Emplacement près de l'accès à la plage, propriété Claudie Bélanger en arrière-plan | NE |
| 05-07-2022 | 4 | CcFr1-2022_NUM2-004 | J52 | Paroi est | E |
| 05-07-2022 | 5 | CcFr1-2022_NUM2-005 | J52 | Paroi est | E |
| 05-07-2022 | 6 | CcFr1-2022_NUM2-006 | J52 et J53 | J52 en avant-plan et J53 en arrière-plan | SE |
| 05-07-2022 | 7 | CcFr1-2022_NUM2-007 | J53 et J52 | J53 en avant-plan et J52 en arrière-plan | NW |
| 05-07-2022 | 8 | CcFr1-2022_NUM2-008 | J53 | Paroi est | E |
| 08-07-2022 | 9 | CcFr1-2022_NUM2-009 | J54 | Crapeau dans le coin NE le lendemain matin après l'ouverture du sondage le 07-07-2022 | N |
| 08-07-2022 | 10 | CcFr1-2022_NUM2-010 | J54 | Crapeau dans le coin SW le lendemain matin après l'ouverture du sondage le 07-07-2022 | N |
| 08-07-2022 | 11 | CcFr1-2022_NUM2-011 | J54 | Vue en plan de l'effondrement de la paroi sud, nappe phréatique atteinte au fond du sondage | N |
| 08-07-2022 | 12 | CcFr1-2022_NUM2-012 | J54 | Paroi nord | N |
| 08-07-2022 | 13 | CcFr1-2022_NUM2-013 | J54 | Effondrement de la paroi sud | S |
| 08-07-2022 | 14 | CcFr1-2022_NUM2-014 | J54 | Vue en plan en fin de fouille | N |
| 09-07-2022 | 15 | CcFr1-2022_NUM2-015 | 52N103E | Paroi sud en cours de fouille, vue de profil du niv. 5 dans QSE, rubéfaction et possible inversement stratigraphique | N |
| 09-07-2022 | 16 | CcFr1-2022_NUM2-016 | 52N103E | Moitié est de la paroi sud en cours de fouille, vue de profil du niv. 5 dans QSE | N |
| 09-07-2022 | 17 | CcFr1-2022_NUM2-017 | 52N103E | Paroi est en cours de fouille, vue de profil du niv. 5 dans QSE | W |
| 09-07-2022 | 18 | CcFr1-2022_NUM2-018 | 52N103E | Moitié sud de la paroi est en cours de fouille, vue de profil du niv. 5 dans QSE | W |
| 09-07-2022 | 19 | CcFr1-2022_NUM2-019 | 52N103E | Début de fouille du niv. 4a dans QNW | E |
| 09-07-2022 | 20 | CcFr1-2022_NUM2-020 | 52N105E | Vue de profil de la lentille de sable limoneux gris dans le coin NE du QNE, incluse dans le niv. 3a | N |
| 09-07-2022 | 21 | CcFr1-2022_NUM2-021 | 52N105E | Vue de profil de la lentille de sable limoneux gris dans le coin NE du QNE, incluse dans le niv. 3a | N |
| 09-07-2022 | 22 | CcFr1-2022_NUM2-022 | 52N105E | Vue en plan de la lentille de sable limoneux gris dans le coin NE du QNE, incluse dans le niv. 3a | N |
| 09-07-2022 | 23 | CcFr1-2022_NUM2-023 | 52N105E | Vue en plan de la lentille de sable limoneux gris dans le coin NE du QNE, incluse dans le niv. 3a | N |
| 09-07-2022 | 24 | CcFr1-2022_NUM2-024 | 52N105E | Vue en plan de la lentille de sable limoneux gris dans le coin NE du QNE, incluse dans le niv. 3a | N |
| 09-07-2022 | 25 | CcFr1-2022_NUM2-025 | 50N103E | Pierres rougies fracturées à 33 cm de profondeur (PR4) dans le niv. 2b du QSW | E |
| 09-07-2022 | 26 | CcFr1-2022_NUM2-026 | 51N107E | Paroi est | E |
| 09-07-2022 | 27 | CcFr1-2022_NUM2-027 | 51N107E | Paroi nord | N |
| 09-07-2022 | 28 | CcFr1-2022_NUM2-028 | 51N107E | Paroi sud, fouille du puits 50N107E en cours | S |
| 09-07-2022 | 29 | CcFr1-2022_NUM2-029 | 51N107E | Paroi sud, fouille du puits 50N107E en cours | S |
| 09-07-2022 | 30 | CcFr1-2022_NUM2-030 | 51N107E | Paroi ouest | W |
| 09-07-2022 | 31 | CcFr1-2022_NUM2-031 | 52N104E | Paroi sud | S |
| 09-07-2022 | 32 | CcFr1-2022_NUM2-032 | 52N103E | Niv. 4a avant délimitation finale dans QNW | N |
| 09-07-2022 | 33 | CcFr1-2022_NUM2-033 | 52N103E | Fin de fouille du niv. 4a après délimitation dans QNW | E |
| 09-07-2022 | 34 | CcFr1-2022_NUM2-034 | 52N103E | Fin de fouille du niv. 4a après délimitation dans QNW | E |
| 09-07-2022 | 35 | CcFr1-2022_NUM2-035 | | Ambiance : Francis dessine les parois du puits 51N107E, vers 12h | NE |
| 09-07-2022 | 36 | CcFr1-2022_NUM2-036 | | Ambiance : Dominique fouille le puits 50N103E et Olivier redessine la paroi sud du puits 52N104E, vers 12h | NW |
| 09-07-2022 | 37 | CcFr1-2022_NUM2-037 | 50N103E | Fin de fouille du niv. 2b, démarcation entre le Bf (niv. 4) à l'ouest ainsi que la fosse (niv. 5) et la lentille de sable (niv. 3) à l'est | N |
| 09-07-2022 | 38 | CcFr1-2022_NUM2-038 | 52N107E | Début de fouille du niv. 1 (tourbe) | W |
| 11-07-2022 | 39 | CcFr1-2022_NUM2-039 | 50N107E | Vue en plan de la zone de sédiments brun foncé près de la fin du niv. 2b dans le QNW | E |
| 11-07-2022 | 40 | CcFr1-2022_NUM2-040 | 50N107E | Vue de profil de la zone de sédiments brun foncé près de la fin du niv. 2b sur la paroi ouest du QNW | E |
| 11-07-2022 | 41 | CcFr1-2022_NUM2-041 | 51N102E | Fin de fouille du niv. 2 (40-50) avant la deuxième délimitation des niveaux 2 et 4 dans le QSE, vue en plan | W |
| 11-07-2022 | 42 | CcFr1-2022_NUM2-042 | 51N102E | Fin de fouille du niv. 2 (40-50) avant la deuxième délimitation des niveaux 2 et 4 dans le QSE, vue en plongée | W |
| 11-07-2022 | 43 | CcFr1-2022_NUM2-043 | 52N103E | Fin de fouille du niv. 4b dans le QNW, vue en plan | E |
| 11-07-2022 | 44 | CcFr1-2022_NUM2-044 | 52N103E | Fin de fouille du niv. 4b dans le QNW, vue en plan | E |
| 11-07-2022 | 45 | CcFr1-2022_NUM2-045 | 52N103E | Fin de fouille du niv. 4b dans le QNW, vue en plongée | N |
| 11-07-2022 | 46 | CcFr1-2022_NUM2-046 | 52N107E | Niv. 1 en cours de fouille après détournage, remblai et géotextile dans le coin SW associés aux travaux d'essouchage de 2020 (souche 2) | W |
| 11-07-2022 | 47 | CcFr1-2022_NUM2-047 | J55 | Emplacement sur la plage à proximité du hangar sur la propriété de Claudie Bélanger | NE |
| 11-07-2022 | 48 | CcFr1-2022_NUM2-048 | J55 | Emplacement sur la plage Claudie Bélanger | NW |
| 11-07-2022 | 49 | CcFr1-2022_NUM2-049 | J55 | Fin de fouille, vue en plongée | N |
| 11-07-2022 | 50 | CcFr1-2022_NUM2-050 | J55 | Fin de fouille, fond argileux, atteinte de la nappe phréatique, vue en plan | N |

| Date | Cliché | No. photo | Puits/sond. | Description | Orientation |
|------------|--------|---------------------|--------------------|---|-------------|
| 11-07-2022 | 51 | CcFr1-2022_NUM2-051 | J55 | Paroi nord | N |
| 11-07-2022 | 52 | CcFr1-2022_NUM2-052 | 52N103E | Niv. 5a en cours de fouille dans QSE, mélange de sédiments rubéfiés, brun foncé et orangés | W |
| 11-07-2022 | 53 | CcFr1-2022_NUM2-053 | 52N103E | Niv. 5a en cours de fouille dans QSE, mélange de sédiments rubéfiés, brun foncé et orangés | W |
| 11-07-2022 | 54 | CcFr1-2022_NUM2-054 | 51N102E | Fin de fouille du niv. 2 (40-50) après la correction de la paroi sud de la cuvette dans le QSE, vue en plan | W |
| 11-07-2022 | 55 | CcFr1-2022_NUM2-055 | 51N102E | Vue en plongée de la paroi sud de la cuvette après la deuxième délimitation, fin de fouille du niv. 2 (40-50) | S |
| 11-07-2022 | 56 | CcFr1-2022_NUM2-056 | 51N102E | Vue en plongée de la paroi sud de la cuvette après la deuxième délimitation, fin de fouille du niv. 2 (40-50) | S |
| 11-07-2022 | 57 | CcFr1-2022_NUM2-057 | 50N103E | Fin de fouille du niv. 3 (lentille de sable) à l'est du puits, début du niv. 5a (fosse) | N |
| 11-07-2022 | 58 | CcFr1-2022_NUM2-058 | 50N105E | Niv. 3b en cours de fouille dans le QSE, début du niv. 4 dans les QNW, QNE et QSW | N |
| 11-07-2022 | 59 | CcFr1-2022_NUM2-059 | | Ambiance : aire de fouilles, vers 10h | NW |
| 11-07-2022 | 60 | CcFr1-2022_NUM2-060 | 50N105E | Niv. 3b en cours de fouille dans le QSE, début du niv. 4 dans les QNW, QNE et QSW | N |
| 11-07-2022 | 61 | CcFr1-2022_NUM2-061 | 50N105E | Niv. 3b en cours de fouille dans le QSE, début du niv. 4 dans les QNW, QNE et QSW | N |
| 11-07-2022 | 62 | CcFr1-2022_NUM2-062 | 52N105E | Niv. 3b en cours de fouille dans le QSW, début du niv. 4a dans les QNW, QNE et QSE, la flèche est orientée vers le sud (erreur) | S |
| 11-07-2022 | 63 | CcFr1-2022_NUM2-063 | 51N104E | Niv. 1 (tourbe et remblai) en cours de fouille, vue en plan | W |
| 11-07-2022 | 64 | CcFr1-2022_NUM2-064 | 51N104E | Niv. 1 (tourbe et remblai) en cours de fouille, vue en plongée | SW |
| 11-07-2022 | 65 | CcFr1-2022_NUM2-065 | 50N107E | Fin de fouille du niv. 2b, début du niv. 3a | N |
| 11-07-2022 | 66 | CcFr1-2022_NUM2-066 | 50N107E | Fin de fouille du niv. 2b, début du niv. 3a | N |
| 11-07-2022 | 67 | CcFr1-2022_NUM2-067 | 50N107E | Fin de fouille du niv. 2b, début du niv. 3a | N |
| 11-07-2022 | 68 | CcFr1-2022_NUM2-068 | 52N107E | Fin de fouille du niv. 1, câble de télévision et remblai associé à son installation visibles à l'est | W |
| 11-07-2022 | 69 | CcFr1-2022_NUM2-069 | 52N105E | Fin de fouille du niv. 3b, niv. 4a en cours de fouille dans le QNE | N |
| 11-07-2022 | 70 | CcFr1-2022_NUM2-070 | | Extension du quadrillage de l'aire de fouilles vers le NW, le clou en coin au bas de la photo représente le point 54N100E | S |
| 11-07-2022 | 71 | CcFr1-2022_NUM2-071 | | Extension du quadrillage de l'aire de fouilles vers le NW, le clou en coin au bas de la photo représente le point 54N100E | SE |
| 11-07-2022 | 72 | CcFr1-2022_NUM2-072 | | Ambiance : Sylvain et Olivier au tamisage | NE |
| 11-07-2022 | 73 | CcFr1-2022_NUM2-073 | | Extension du quadrillage de l'aire de fouilles vers le nord, délimitation de puits sur la ligne 53N | SW |
| 11-07-2022 | 74 | CcFr1-2022_NUM2-074 | | Ambiance : Dominique fouille le niv. 5a du puits 50N103E et Olivier fouille le niv. 1 du puits 51N104E | NW |
| 11-07-2022 | 75 | CcFr1-2022_NUM2-075 | 50N105E | Fin de fouille du niv. 3b, début du niv. 4 | N |
| 11-07-2022 | 76 | CcFr1-2022_NUM2-076 | 51N104E | Géotextile à la base du niv. 1 associé aux travaux d'essouchage de 2020 (souche 1) | N |
| 11-07-2022 | 77 | CcFr1-2022_NUM2-077 | 51N104E | Fin de fouille du niv. 1 (sans géotextile), début du niv. 2a | W |
| 11-07-2022 | 78 | CcFr1-2022_NUM2-078 | 52N103E | Niv. 5b en cours de fouille dans le QSE avant l'extension du niveau dans le QNE, vue en plan | E |
| 11-07-2022 | 79 | CcFr1-2022_NUM2-079 | 52N103E | Niv. 5b en cours de fouille dans le QSE avant l'extension du niveau dans le QNE, vue en plongée | N |
| 11-07-2022 | 80 | CcFr1-2022_NUM2-080 | 52N103E | Niv. 5b en cours de fouille dans le QSE avant l'extension du niveau dans le QNE, vue en plan | S |
| 11-07-2022 | 81 | CcFr1-2022_NUM2-081 | | Ambiance : aire de fouilles, vers 12h30 | SE |
| 11-07-2022 | 82 | CcFr1-2022_NUM2-082 | 52N104E | Paroi est, argile bleutée avec marbrures orangées sous l'horizon C | E |
| 11-07-2022 | 83 | CcFr1-2022_NUM2-083 | J56 | Emplacement sur la plage à proximité du hangar sur la propriété de Claudie Bélanger, Robert remblaye le sondage J55 | NW |
| 11-07-2022 | 84 | CcFr1-2022_NUM2-084 | J56 | Emplacement sur la plage Claudie Bélanger | NE |
| 11-07-2022 | 85 | CcFr1-2022_NUM2-085 | J56 | Paroi nord, atteinte de la nappe phréatique | N |
| 11-07-2022 | 86 | CcFr1-2022_NUM2-086 | 52N103E | Fin de fouille du niv. 5b avant l'extension du niveau dans le QNE, début du niv. 5c dans le QSE, vue en plan | E |
| 11-07-2022 | 87 | CcFr1-2022_NUM2-087 | 52N103E | Fin de fouille du niv. 5b avant l'extension du niveau dans le QNE, début du niv. 5c dans le QSE, vue en plongée | NW |
| 11-07-2022 | 88 | CcFr1-2022_NUM2-088 | 52N103E | Fin de fouille du niv. 5c, vue en plan | W |
| 11-07-2022 | 89 | CcFr1-2022_NUM2-089 | 52N103E | Fin de fouille du niv. 5c, vue en plongée | W |
| 11-07-2022 | 90 | CcFr1-2022_NUM2-090 | 50N103E | Fin de fouille du niv. 5a à l'est, début du niv. 4a à l'ouest | N |
| 11-07-2022 | 91 | CcFr1-2022_NUM2-091 | 52N105E | Fin de fouille du niv. 4a dans les QNE, QSE et QSW, fin de fouille du niv. 4b dans le QNW, fin de fouille du puits | N |
| 11-07-2022 | 92 | CcFr1-2022_NUM2-092 | 52N105E | Fin de fouille du niv. 4a dans les QNE, QSE et QSW, fin de fouille du niv. 4b dans le QNW, fin de fouille du puits | N |
| 11-07-2022 | 93 | CcFr1-2022_NUM2-093 | 52N105E | Fin de fouille du niv. 4a dans les QNE, QSE et QSW, fin de fouille du niv. 4b dans le QNW, fin de fouille du puits | N |
| 11-07-2022 | 94 | CcFr1-2022_NUM2-094 | 52N105E | Fin de fouille du niv. 4b dans le QNW | E |
| 11-07-2022 | 95 | CcFr1-2022_NUM2-095 | 50N107E | Début de fouille du niv. 4 au sud du QSE, niv. 3a en cours de fouille dans le reste du puits | W |
| 11-07-2022 | 96 | CcFr1-2022_NUM2-096 | 52N105E | Paroi nord | N |
| 11-07-2022 | 97 | CcFr1-2022_NUM2-097 | 50N105E | Fin de fouille du niv. 4, fin de fouille du puits | S |
| 11-07-2022 | 98 | CcFr1-2022_NUM2-098 | 50N105E | Paroi sud | S |
| 12-07-2022 | 99 | CcFr1-2022_NUM2-099 | | Ambiance : aire de fouilles, vers 8h30 | SE |
| 12-07-2022 | 100 | CcFr1-2022_NUM2-100 | 51N102E | Début de fouille du niv. 5 dans le QSE, vue en plan | W |
| 12-07-2022 | 101 | CcFr1-2022_NUM2-101 | 51N102E | Début de fouille du niv. 5 dans le QSE, fin de fouille du niv. 4c dans les QNE et QSE, vue en plongée | W |
| 12-07-2022 | 102 | CcFr1-2022_NUM2-102 | 52N104E et 52N105E | Paroi nord, traçage de la limite inférieure de l'horizon Ah, décalage entre les deux puits | N |
| 12-07-2022 | 103 | CcFr1-2022_NUM2-103 | 52N104E et 52N105E | Paroi nord, traçage de la limite inférieure de l'horizon Ah à la limite entre les deux puits | N |

| Date | Cliché | No. photo | Puits/sond. | Description | Orientation |
|-------------------|--------|---------------------|-------------|--|-------------|
| 12-07-2022 | 104 | CcFr1-2022_NUM2-104 | 53N112E | Début de fouille du niv. 1 | S |
| 12-07-2022 | 105 | CcFr1-2022_NUM2-105 | 53N112E | Emplacement du puits et du PR5 | NW |
| 12-07-2022 | 106 | CcFr1-2022_NUM2-106 | 53N112E | Emplacement du puits, Francis commence la fouille du niv. 1 | E |
| 12-07-2022 | 107 | CcFr1-2022_NUM2-107 | 51N102E | Paroi ouest | W |
| 12-07-2022 | 108 | CcFr1-2022_NUM2-108 | 50N107E | Fin de fouille du niv. 4 dans le QSE | N |
| 12-07-2022 | 109 | CcFr1-2022_NUM2-109 | 50N107E | Fin de fouille du niv. 4 dans le QSE | N |
| 12-07-2022 | 110 | CcFr1-2022_NUM2-110 | 51N102E | Fin de fouille du niv. 4c dans le QNE, fin de fouille du niv. 4d dans le QSE, fin de fouille du puits | W |
| 12-07-2022 | 111 | CcFr1-2022_NUM2-111 | 51N102E | Parois sud et ouest du QSE, vue en plongée | SW |
| 12-07-2022 | 112 | CcFr1-2022_NUM2-112 | 51N102E | Parois sud et ouest du QSE, vue en plongée | SW |
| 12-07-2022 | 113 | CcFr1-2022_NUM2-113 | 52N103E | Fin de fouille du niv. 3a, début de fouille de l'extension du niv. 5b dans le QNE, début du niv. 4c dans le QNW, vue en plan | W |
| 12-07-2022 | 114 | CcFr1-2022_NUM2-114 | 52N103E | Fin de fouille du niv. 3a, début de fouille de l'extension du niv. 5b dans le QNE, début du niv. 4c dans le QNW, vue en plan | W |
| 12-07-2022 | 115 | CcFr1-2022_NUM2-115 | 52N103E | Délimitation de l'extension du niv. 5b dans le QNE et du niv. 4c dans le QNW, vue en plan | W |
| 12-07-2022 | 116 | CcFr1-2022_NUM2-116 | | Emplacement du PR6 sur la souche en avant-plan, BM5 sur la souche en arrière-plan | S |
| 12-07-2022 | 117 | CcFr1-2022_NUM2-117 | 53N100E | Emplacement du puits et début de fouille du niv. 1 | S |
| 12-07-2022 | 118 | CcFr1-2022_NUM2-118 | | Déplacement du PR1 du puits 53N104E au puits 53N103E en vue de commencer la fouille du puits 53N104E | SE |
| 12-07-2022 | 119 | CcFr1-2022_NUM2-119 | 53N104E | Début du niv. 1 | S |
| 12-07-2022 | 120 | CcFr1-2022_NUM2-120 | 53N104E | Début du niv. 1 | S |
| 12-07-2022 | 121 | CcFr1-2022_NUM2-121 | 52N103E | Fin de fouille du niv. 4c dans le QNW | E |
| 12-07-2022 | 122 | CcFr1-2022_NUM2-122 | | Ambiance générale en début d'après-midi | SE |
| 12-07-2022 | 123 | CcFr1-2022_NUM2-123 | 53N112E | Emplacement du PR5 et niv. 1 en cours de fouille | S |
| 12-07-2022 | 124 | CcFr1-2022_NUM2-124 | 50N103E | Fin de fouille du niv. 4a à l'ouest, début de fouille du niv. 5b dans les QNE et QSE | S |
| 13-07-2022 | 125 | CcFr1-2022_NUM2-125 | 50N107E | Fin de fouille du niv. 3a, début de fouille du niv. 3b | N |
| 13-07-2022 | 126 | CcFr1-2022_NUM2-126 | 52N107E | Concentration de tessons de poterie dans le niv. 2b du QNW | N |
| 13-07-2022 | 127 | CcFr1-2022_NUM2-127 | 52N107E | Concentration de tessons de poterie dans le niv. 2b du QNW | N |
| 13-07-2022 | 128 | CcFr1-2022_NUM2-128 | 52N103E | Fin de fouille de l'extension du niv. 5b dans le QNE, fin de fouille du niv. 3b, début du niv. 3c, vue en plan | N |
| 13-07-2022 | 129 | CcFr1-2022_NUM2-129 | 52N107E | Concentration de tessons de poterie à proximité d'une pierre arénisée dans le niv. 2b du QNW | N |
| 13-07-2022 | 130 | CcFr1-2022_NUM2-130 | 52N107E | Concentration de tessons de poterie à proximité d'une pierre arénisée dans le niv. 2b du QNW | N |
| 13-07-2022 | 131 | CcFr1-2022_NUM2-131 | 52N107E | Concentration de tessons de poterie à proximité d'une pierre arénisée dans le niv. 2b du QNW | N |
| 13-07-2022 | 132 | CcFr1-2022_NUM2-132 | 52N107E | Concentration de tessons de poterie à proximité d'une pierre arénisée dans le niv. 2b du QNW | NE |
| 13-07-2022 | 133 | CcFr1-2022_NUM2-133 | 52N107E | Geneviève présente la concentration de tessons de poterie dans le niv. 2b du QNW | NE |
| 13-07-2022 | 134 | CcFr1-2022_NUM2-134 | 52N107E | Geneviève présente la concentration de tessons de poterie dans le niv. 2b du QNW | NE |
| 13-07-2022 | 135 | CcFr1-2022_NUM2-135 | 52N107E | Concentration de tessons de poterie à proximité d'une pierre arénisée dans le niv. 2b du QNW | E |
| 13-07-2022 | 136 | CcFr1-2022_NUM2-136 | 52N107E | Paroi ouest et concentration de tessons de poterie dans le niv. 2b du QNW | E |
| 13-07-2022 | 137 | CcFr1-2022_NUM2-137 | 52N107E | Concentration de tessons de poterie à proximité d'une pierre arénisée dans le niv. 2b du QNW | SE |
| 13-07-2022 | 138 | CcFr1-2022_NUM2-138 | | Dominique trouve un biface (cat. 981) provenant du niv. 5b au tamis | NW |
| 13-07-2022 | 139 | CcFr1-2022_NUM2-139 | | Dominique trouve un biface (cat. 981) provenant du niv. 5b au tamis | NW |
| 13-07-2022 | 140 | CcFr1-2022_NUM2-140 | 56N105E | Niv. 1 (tourbe) en cours de fouille dans le QSE | S |
| 13-07-2022 | 141 | CcFr1-2022_NUM2-141 | 56N105E | Niv. 1 (tourbe) en cours de fouille dans le QSE | S |
| 13-07-2022 | 142 | CcFr1-2022_NUM2-142 | 50N103E | Fin de fouille du niv. 5b et début du niv. 5c dans le QSE, vue en plan | W |
| 13-07-2022 | 143 | CcFr1-2022_NUM2-143 | 50N103E | Fin de fouille du niv. 5b et début du niv. 5c dans le QSE, vue en plongée | W |
| 13-07-2022 | 144 | CcFr1-2022_NUM2-144 | 53N104E | Niv. 1 en cours de fouille dans les QNW et QSW, niv. 2a en cours de fouille dans le QNE | W |
| 13-07-2022 | 145 | CcFr1-2022_NUM2-145 | 53N100E | Fin de fouille du niv. 1, QNW creusé trop profondément par erreur | N |
| 13-07-2022 | 146 | CcFr1-2022_NUM2-146 | | Ambiance : aire des feuilles, vers 10h | E |
| 13-07-2022 | 147 | CcFr1-2022_NUM2-147 | | Chemin de dalles en pierre menant à l'escalier d'accès à la plage | SE |
| 13-07-2022 | 148 | CcFr1-2022_NUM2-148 | | Aire de foyer moderne | SW |
| 13-07-2022 | 149 | CcFr1-2022_NUM2-149 | 52N107E | Concentration de tessons de poterie à proximité d'une pierre arénisée dans le niv. 2b du QNW | E |
| 13-07-2022 | 150 | CcFr1-2022_NUM2-150 | 52N107E | Concentration de tessons de poterie à proximité d'une pierre arénisée dans le niv. 2b du QNW | W |
| 13-07-2022 | 151 | CcFr1-2022_NUM2-151 | 52N104E | Paroi nord | N |
| 13-07-2022 | 152 | CcFr1-2022_NUM2-152 | 53N112E | Fin de fouille du niv. 2a, début du niv. 2b | N |
| 13-07-2022 | 153 | CcFr1-2022_NUM2-153 | 56N105E | Fin de fouille du niv. 2, début du niv. 3, le QSW représente le QNE de l'aire E fouillée en 2018 | N |
| 14-07-2022 | 154 | CcFr1-2022_NUM2-154 | 52N107E | Niv. 2b en cours de fouille, creusement par un petit animal fouisseur dans le QNW | S |
| 14-07-2022 | 155 | CcFr1-2022_NUM2-155 | 52N107E | Creusement par un petit animal fouisseur (bioturbation) dans le QNW | E |
| 14-07-2022 | 156 | CcFr1-2022_NUM2-156 | | Ambiance : aire de feuilles, Gabrielle fouille le puits 51N104E et Olivier nettoie le périmètre du puits 51N106E, vers 8h30 | SW |
| 14-07-2022 | 157 | CcFr1-2022_NUM2-157 | 53N100E | Fin de fouille du niv. 2a, début du niv. 2b | W |
| 14-07-2022 | 158 | CcFr1-2022_NUM2-158 | 51N104E | Début de fouille du niv. 4 dans les QNW et QSW | S |
| 14-07-2022 | 159 | CcFr1-2022_NUM2-159 | 51N104E | Début de fouille du niv. 4 dans les QNW et QSW | E |
| 14-07-2022 | 160 | CcFr1-2022_NUM2-160 | 56N105E | Emplacement du PR7 à proximité du puits | SE |
| 14-07-2022 | 161 | CcFr1-2022_NUM2-161 | 51N106E | Prise de photos pour le modèle photogrammétrique du puits (première série) | S |
| 14-07-2022 | 162 | CcFr1-2022_NUM2-162 | 53N112E | Fin de fouille du niv. 2b dans les QNW et QNE, niv. 2b en cours de fouille dans les QSW et QSE | S |

| Date | Cliché | No. photo | Puits/sond. | Description | Orientation |
|------------|--------|---------------------|-------------|---|-------------|
| 14-07-2022 | 163 | CcFr1-2022_NUM2-163 | | Ambiance : Éric installe le niveau optique | NW |
| 14-07-2022 | 164 | CcFr1-2022_NUM2-164 | 51N106E | Début du niv. 1 (tourbe et remblai), vue en plan | E |
| 14-07-2022 | 165 | CcFr1-2022_NUM2-165 | 51N106E | Début du niv. 1 (tourbe et remblai), vue en plan | N |
| 14-07-2022 | 166 | CcFr1-2022_NUM2-166 | 51N106E | Début du niv. 1 (tourbe et remblai), vue en plongée | NE |
| 14-07-2022 | 167 | CcFr1-2022_NUM2-167 | 51N106E | Géotextile à la base du niv. 1, début du niv. 2a et chute de paroi dans le QSE | N |
| 14-07-2022 | 168 | CcFr1-2022_NUM2-168 | 51N106E | Début du niv. 2a sous le géotextile | S |
| 14-07-2022 | 169 | CcFr1-2022_NUM2-169 | 50N107E | Paroi est | E |
| 14-07-2022 | 170 | CcFr1-2022_NUM2-170 | 51N104E | Fin de fouille du niv. 4 dans les QNW et QSW (avant correction du 18-07-2022), vue en plan | E |
| 14-07-2022 | 171 | CcFr1-2022_NUM2-171 | 51N104E | Fin de fouille du niv. 4 dans les QNW et QSW (avant correction du 18-07-2022), vue en plongée | E |
| 14-07-2022 | 172 | CcFr1-2022_NUM2-172 | 52N107E | Niv. 2b en cours de fouille, Geneviève tentera de circonscrire la structure dans les QNW et QNE | W |
| 14-07-2022 | 173 | CcFr1-2022_NUM2-173 | 52N107E | Niv. 2b en cours de fouille, Geneviève tentera de circonscrire la structure dans les QNW et QNE | W |
| 14-07-2022 | 174 | CcFr1-2022_NUM2-174 | 52N107E | Niv. 2b en cours de fouille, Geneviève tentera de circonscrire la structure dans les QNW et QNE | S |
| 14-07-2022 | 175 | CcFr1-2022_NUM2-175 | 53N112E | Fin de fouille du niv. 2b, zone de sédiments plus brunâtres dans le coin NW du puits, fin de fouille du puits | S |
| 14-07-2022 | 176 | CcFr1-2022_NUM2-176 | 53N112E | Paroi ouest | W |
| 14-07-2022 | 177 | CcFr1-2022_NUM2-177 | 53N112E | Paroi nord | N |
| 14-07-2022 | 178 | CcFr1-2022_NUM2-178 | 53N112E | Paroi nord | N |
| 14-07-2022 | 179 | CcFr1-2022_NUM2-179 | 53N112E | Paroi est (à reprendre) | E |
| 14-07-2022 | 180 | CcFr1-2022_NUM2-180 | 53N112E | Paroi sud (à reprendre) | S |
| 14-07-2022 | 181 | CcFr1-2022_NUM2-181 | | Gabrielle montre une petite pointe de projectile (cat. 1251) provenant du niv. 2a dans le QSE | NE |
| 14-07-2022 | 182 | CcFr1-2022_NUM2-182 | | Gabrielle montre une petite pointe de projectile (cat. 1251) provenant du niv. 2a dans le QSE | NE |
| 14-07-2022 | 183 | CcFr1-2022_NUM2-183 | 51N106E | Pointe de projectile (cat. 1251) dans le niv. 2a du QSE | N |
| 14-07-2022 | 184 | CcFr1-2022_NUM2-184 | 51N106E | Pointe de projectile (cat. 1251) dans le niv. 2a du QSE | N |
| 14-07-2022 | 185 | CcFr1-2022_NUM2-185 | 56N105E | Fin de fouille du niv. 3, début du niv. 4, le QSW (QNE de l'aire E) est déblayé | N |
| 14-07-2022 | 186 | CcFr1-2022_NUM2-186 | | Ambiance : aire de feuilles, vers 16h | E |
| 14-07-2022 | 187 | CcFr1-2022_NUM2-187 | | Photo d'équipe près d'un chablis | |
| 14-07-2022 | 188 | CcFr1-2022_NUM2-188 | | Photo d'équipe près d'un chablis | |
| 14-07-2022 | 189 | CcFr1-2022_NUM2-189 | | Chablis sur la propriété du 2770 ch. Tour-du-Lac à Nomingue | |
| 14-07-2022 | 190 | CcFr1-2022_NUM2-190 | | Chablis sur la propriété du 2770 ch. Tour-du-Lac à Nomingue | |
| 15-07-2022 | 191 | CcFr1-2022_NUM2-191 | 52N107E | Creusement par un petit animal fouisseur (bioturbation) dans le QNW | E |
| 15-07-2022 | 192 | CcFr1-2022_NUM2-192 | | Poteaux <i>in situ</i> visibles sur une photographie aérienne de 1955 | N |
| 15-07-2022 | 193 | CcFr1-2022_NUM2-193 | | Poteaux <i>in situ</i> visibles sur une photographie aérienne de 1955 | NE |
| 15-07-2022 | 194 | CcFr1-2022_NUM2-194 | | Poteaux <i>in situ</i> visibles sur une photographie aérienne de 1955 | SE |
| 15-07-2022 | 195 | CcFr1-2022_NUM2-195 | | Poteaux <i>in situ</i> visibles sur une photographie aérienne de 1955 | SE |
| 15-07-2022 | 196 | CcFr1-2022_NUM2-196 | | Escalier d'accès à la plage Robert Bélanger | N |
| 15-07-2022 | 197 | CcFr1-2022_NUM2-197 | | Pierres schisteuses bourgognes et verdâtres dans l'escalier d'accès à la plage Robert Bélanger | N |
| 15-07-2022 | 198 | CcFr1-2022_NUM2-198 | 50N103E | Dominique fouille le niv. 4b | S |
| 15-07-2022 | 199 | CcFr1-2022_NUM2-199 | 53N104E | Sylvain fouille le niv. 3 | N |
| 15-07-2022 | 200 | CcFr1-2022_NUM2-200 | 53N112E | Paroi est | E |
| 15-07-2022 | 201 | CcFr1-2022_NUM2-201 | 53N112E | Paroi sud | S |
| 15-07-2022 | 202 | CcFr1-2022_NUM2-202 | 53N112E | Paroi sud | S |
| 15-07-2022 | 203 | CcFr1-2022_NUM2-203 | 53N112E | Zone de sédiments plus brunâtres dans le coin NW du puits | N |
| 15-07-2022 | 204 | CcFr1-2022_NUM2-204 | 52N107E | Niv. 2c en cours de fouille dans les QNW et QNE | S |
| 15-07-2022 | 205 | CcFr1-2022_NUM2-205 | 52N107E | Niv. 2c en cours de fouille dans le QNW | S |
| 15-07-2022 | 206 | CcFr1-2022_NUM2-206 | 52N107E | Niv. 2c en cours de fouille dans le QNE | S |
| 15-07-2022 | 207 | CcFr1-2022_NUM2-207 | 53N100E | Fin de fouille du niv. 2b dans le QSE, sédiments rubéfiés et concentration d'os blanchis | W |
| 15-07-2022 | 208 | CcFr1-2022_NUM2-208 | 53N100E | Fin de fouille du niv. 2b dans le QSE, sédiments rubéfiés et concentration d'os blanchis | W |
| 15-07-2022 | 209 | CcFr1-2022_NUM2-209 | 50N103E | Fin de fouille du niv. 4b, début du niv. 4c | N |
| 15-07-2022 | 210 | CcFr1-2022_NUM2-210 | 52N107E | Fin de fouille du niv. 2c, poursuite du niv. 2b | S |
| 15-07-2022 | 211 | CcFr1-2022_NUM2-211 | 52N107E | Fin de fouille du niv. 2c dans les QNW et QNE | S |
| 15-07-2022 | 212 | CcFr1-2022_NUM2-212 | 51N106E | Olivier dégage une PRF dans le niv. 2a du QNW | N |
| 15-07-2022 | 213 | CcFr1-2022_NUM2-213 | 51N106E | Olivier dégage une PRF dans le niv. 2a du QNW | N |
| 15-07-2022 | 214 | CcFr1-2022_NUM2-214 | 56N105E | Niv. 4 en cours de fouille dans le QSE, fin de fouille du niv. 4 et début du niv. 5 dans les QNW et QNE, coloration différente des sédiments des deux niveaux | E |
| 15-07-2022 | 215 | CcFr1-2022_NUM2-215 | 53N104E | Fin de fouille du niv. 3 dans les QNW, QNE et QSE, début du niv. 2b | S |
| 15-07-2022 | 216 | CcFr1-2022_NUM2-216 | | Ambiance : aire de feuilles, vers 12h | E |
| 15-07-2022 | 217 | CcFr1-2022_NUM2-217 | 51N106E | Éclat en quartzite de Mistassini (cat. 1245) <i>in situ</i> dans le niv. 2a du QNW | N |
| 15-07-2022 | 218 | CcFr1-2022_NUM2-218 | 51N106E | Éclat en quartzite de Mistassini (cat. 1245) <i>in situ</i> dans le niv. 2a du QNW | NW |
| 15-07-2022 | 219 | CcFr1-2022_NUM2-219 | 51N106E | Lentille de sable beige avec petits nodules d'argile dans le niv. 2a du QNE | W |
| 15-07-2022 | 220 | CcFr1-2022_NUM2-220 | 51N106E | Lentille de sable beige avec petits nodules d'argile dans le niv. 2a du QNE | W |

| Date | Cliché | No. photo | Puits/sond. | Description | Orientation |
|-------------------|--------|---------------------|--------------------|--|-------------|
| 15-07-2022 | 221 | CcFr1-2022_NUM2-221 | 52N107E | Fin de fouille du niv. 2b, début du niv. 3a | S |
| 15-07-2022 | 222 | CcFr1-2022_NUM2-222 | | Ambiance : aire de fouilles, vers 14h30 | E |
| 15-07-2022 | 223 | CcFr1-2022_NUM2-223 | 51N106E | Fin de fouille du niv. 2a, début du niv. 2b | S |
| 15-07-2022 | 224 | CcFr1-2022_NUM2-224 | 51N106E | Fin de fouille du niv. 2a, début du niv. 2b | E |
| 16-07-2022 | 225 | CcFr1-2022_NUM2-225 | 76N107E (QSW) | Emplacement du sondage entre les poteaux <i>in situ</i> | SE |
| 16-07-2022 | 226 | CcFr1-2022_NUM2-226 | 76N107E (QSW) | Emplacement du sondage entre les poteaux <i>in situ</i> | N |
| 16-07-2022 | 227 | CcFr1-2022_NUM2-227 | 76N107E (QSW) | Fin de fouille du niv. 1, début du niv. 2 | S |
| 16-07-2022 | 228 | CcFr1-2022_NUM2-228 | 76N107E (QSW) | Emplacement du sondage et des clous 76N103E et 77N103E (laissés sur place) | E |
| 16-07-2022 | 229 | CcFr1-2022_NUM2-229 | 76N107E (QSW) | Niv. 2 en cours de fouille, vue en plongée | S |
| 16-07-2022 | 230 | CcFr1-2022_NUM2-230 | 53N112E | Sondage dans le coin NW du puits pour vérifier stérilité archéologique | N |
| 16-07-2022 | 231 | CcFr1-2022_NUM2-231 | 76N107E (QSW) | Fin de fouille du niv. 2, début du niv. 3a | S |
| 16-07-2022 | 232 | CcFr1-2022_NUM2-232 | 52N107E | Fin de fouille du niv. 3a, début du niv. 3b | S |
| 16-07-2022 | 233 | CcFr1-2022_NUM2-233 | 52N107E | Pierres arénisées à l'interface entre les niv. 3a et 3b | E |
| 16-07-2022 | 234 | CcFr1-2022_NUM2-234 | 51N106E | Lentille de sable beige dans le niv. 2b et début du niv. 3a dans le QNE | S |
| 16-07-2022 | 235 | CcFr1-2022_NUM2-235 | 51N106E | Début du niv. 3a dans le QNE et début du niv. 3b dans le QSE | E |
| 16-07-2022 | 236 | CcFr1-2022_NUM2-236 | 51N106E | Paroi est (ou paroi ouest du puits 51N107E), profil du niv. 3b au centre de la paroi, tesson de poterie sous la racine | W |
| 16-07-2022 | 237 | CcFr1-2022_NUM2-237 | J58 | Début du niv. 3 | N |
| 16-07-2022 | 238 | CcFr1-2022_NUM2-238 | J58 | Début du niv. 3 | N |
| 16-07-2022 | 239 | CcFr1-2022_NUM2-239 | J58 | Emplacement du sondage sur la plage Claudie Bélanger | W |
| 16-07-2022 | 240 | CcFr1-2022_NUM2-240 | J58 | Emplacement du sondage sur la plage Claudie Bélanger | SE |
| 16-07-2022 | 241 | CcFr1-2022_NUM2-241 | 76N107E (QSW) | Fin de fouille du niv. 3a, début du niv. 3b | W |
| 16-07-2022 | 242 | CcFr1-2022_NUM2-242 | 76N107E (QSW) | Fin de fouille du niv. 3b, début du niv. 4 (éluviation) | S |
| 16-07-2022 | 243 | CcFr1-2022_NUM2-243 | 76N107E (QSW) | Fin de fouille du niv. 4, début du niv. 5 (Bf) | S |
| 16-07-2022 | 244 | CcFr1-2022_NUM2-244 | J58 | Paroi nord et atteinte de la nappe phréatique | N |
| 16-07-2022 | 245 | CcFr1-2022_NUM2-245 | J58 | Paroi nord et atteinte de la nappe phréatique | N |
| 16-07-2022 | 246 | CcFr1-2022_NUM2-246 | J58 | Paroi nord et atteinte de la nappe phréatique | N |
| 16-07-2022 | 247 | CcFr1-2022_NUM2-247 | J58 | Paroi nord et atteinte de la nappe phréatique | N |
| 16-07-2022 | 248 | CcFr1-2022_NUM2-248 | 56N105E | Fin de fouille du niv. 5, début du niv. 6a | E |
| 16-07-2022 | 249 | CcFr1-2022_NUM2-249 | 56N105E | Fin de fouille du niv. 5, début du niv. 6a | S |
| 16-07-2022 | 250 | CcFr1-2022_NUM2-250 | 56N105E | Fin de fouille du niv. 5, début du niv. 6a | S |
| 16-07-2022 | 251 | CcFr1-2022_NUM2-251 | 76N107E (QSW) | Fin de fouille du niv. 5, fin de fouille du sondage | N |
| 16-07-2022 | 252 | CcFr1-2022_NUM2-252 | 76N107E (QSW) | Paroi sud | S |
| 16-07-2022 | 253 | CcFr1-2022_NUM2-253 | 76N107E (QSW) | Paroi sud | S |
| 16-07-2022 | 254 | CcFr1-2022_NUM2-254 | 51N106E | Tesson de poterie (cat. 1267) <i>in situ</i> dans le niv. 2b du QSW | E |
| 16-07-2022 | 255 | CcFr1-2022_NUM2-255 | | Présentations orales des étudiants de premier cycle vers 13h | W |
| 16-07-2022 | 256 | CcFr1-2022_NUM2-256 | | Présentations orales des étudiants de premier cycle vers 13h | W |
| 18-07-2022 | 257 | CcFr1-2022_NUM2-257 | 53N100E | Fin de fouille du niv. 2b, début du niv. 2c dans les QNW, QNE et QSE | S |
| 18-07-2022 | 258 | CcFr1-2022_NUM2-258 | 50N82E (QSW) | Emplacement du sondage à l'extrémité ouest de la propriété Robert Bélanger | SW |
| 18-07-2022 | 259 | CcFr1-2022_NUM2-259 | 50N82E (QSW) | Début de fouille du niv. 1 | S |
| 18-07-2022 | 260 | CcFr1-2022_NUM2-260 | 50N82E (QSW) | Emplacement du sondage à l'extrémité ouest de la propriété Robert Bélanger | W |
| 18-07-2022 | 261 | CcFr1-2022_NUM2-261 | 51N106E | Fin de fouille du niv. 2b, début du niv. 3a dans QNE, début du niv. 3b dans les QNW, QSE et QSW, début du niv. 4 dans le QNW | S |
| 18-07-2022 | 262 | CcFr1-2022_NUM2-262 | 51N106E | Fin de fouille du niv. 2b, début du niv. 3a dans QNE, début du niv. 3b dans les QNW, QSE et QSW, début du niv. 4 dans le QNW | S |
| 18-07-2022 | 263 | CcFr1-2022_NUM2-263 | 52N107E | Fin de fouille du niv. 3b, fin de fouille du puits | S |
| 18-07-2022 | 264 | CcFr1-2022_NUM2-264 | 50N103E | Paroi sud | S |
| 18-07-2022 | 265 | CcFr1-2022_NUM2-265 | 50N103E | Paroi sud | S |
| 18-07-2022 | 266 | CcFr1-2022_NUM2-266 | 50N103E | Paroi sud | S |
| 18-07-2022 | 267 | CcFr1-2022_NUM2-267 | 50N104E | Paroi sud | S |
| 18-07-2022 | 268 | CcFr1-2022_NUM2-268 | 52N107E | Paroi nord | N |
| 18-07-2022 | 269 | CcFr1-2022_NUM2-269 | 52N107E | Paroi nord | N |
| 18-07-2022 | 270 | CcFr1-2022_NUM2-270 | 52N107E | Paroi est | E |
| 18-07-2022 | 271 | CcFr1-2022_NUM2-271 | 52N107E | Intersection des parois nord et est | NE |
| 18-07-2022 | 272 | CcFr1-2022_NUM2-272 | 52N107E | Paroi est | E |
| 18-07-2022 | 273 | CcFr1-2022_NUM2-273 | 51N106E | Prise de photos pour le modèle photogrammétrique du puits (quatrième série) | E |
| 18-07-2022 | 274 | CcFr1-2022_NUM2-274 | 51N106E | Lentille de sable beige dans le QNE incluse dans le niv. 3b | W |
| 18-07-2022 | 275 | CcFr1-2022_NUM2-275 | 51N106E | Lentille de sable beige dans le QNE incluse dans le niv. 3b | W |
| 18-07-2022 | 276 | CcFr1-2022_NUM2-276 | 51N106E | Niv. 3b en cours de fouille dans le QSE | W |
| 18-07-2022 | 277 | CcFr1-2022_NUM2-277 | 50N103E | Paroi sud | S |
| 18-07-2022 | 278 | CcFr1-2022_NUM2-278 | 50N103E et 50N104E | Paroi sud | S |

| Date | Cliché | No. photo | Puits/sond. | Description | Orientation |
|-------------------|--------|---------------------|--------------------|---|-------------|
| 18-07-2022 | 279 | CcFr1-2022_NUM2-279 | 50N103E et 50N104E | Paroi sud | S |
| 18-07-2022 | 280 | CcFr1-2022_NUM2-280 | 50N103E et 50N104E | Paroi sud | S |
| 18-07-2022 | 281 | CcFr1-2022_NUM2-281 | 50N103E et 50N104E | Paroi sud | S |
| 18-07-2022 | 282 | CcFr1-2022_NUM2-282 | J59 | Paroi nord | N |
| 18-07-2022 | 283 | CcFr1-2022_NUM2-283 | J59 | Paroi nord | N |
| 18-07-2022 | 284 | CcFr1-2022_NUM2-284 | J59 | Emplacement du sondage sur la plage Claudie Bélanger | SW |
| 18-07-2022 | 285 | CcFr1-2022_NUM2-285 | J59 | Talus de sable à l'extrémité est de la plage Claudie Bélanger | W |
| 18-07-2022 | 286 | CcFr1-2022_NUM2-286 | J59 | Emplacement du sondage sur la plage Claudie Bélanger | E |
| 18-07-2022 | 287 | CcFr1-2022_NUM2-287 | 51N106E | Gros nodules de charbon de bois dans le niv. 3b du QSW | SE |
| 18-07-2022 | 288 | CcFr1-2022_NUM2-288 | 51N106E | Balle de fusil (cat. 1289) dans le niv. 3b du QSW | E |
| 18-07-2022 | 289 | CcFr1-2022_NUM2-289 | 51N106E | Balle de fusil (cat. 1289) <i>in situ</i> dans le niv. 3b du QSW | E |
| 18-07-2022 | 290 | CcFr1-2022_NUM2-290 | 56N105E | Début du niv. 7 | N |
| 18-07-2022 | 291 | CcFr1-2022_NUM2-291 | 56N105E | Fin de fouille du niv. 7, fin de fouille du puits | N |
| 18-07-2022 | 292 | CcFr1-2022_NUM2-292 | 56N105E | Fin de fouille du niv. 7, fin de fouille du puits | N |
| 18-07-2022 | 293 | CcFr1-2022_NUM2-293 | 56N105E | Fin de fouille du niv. 7, fin de fouille du puits | N |
| 18-07-2022 | 294 | CcFr1-2022_NUM2-294 | | Ambiance générale vers 15h | SW |
| 18-07-2022 | 295 | CcFr1-2022_NUM2-295 | | Ambiance générale vers 15h | SW |
| 18-07-2022 | 296 | CcFr1-2022_NUM2-296 | 51N106E | Os écrus de mammifère terrestre (cat. 1277) <i>in situ</i> dans le niv. 3b du QNW | E |
| 18-07-2022 | 297 | CcFr1-2022_NUM2-297 | 51N106E | Os écrus de mammifère terrestre (cat. 1277) <i>in situ</i> dans le niv. 3b du QNW | E |
| 18-07-2022 | 298 | CcFr1-2022_NUM2-298 | 51N106E | Niv. 3b en cours de fouille, vue en plongée | NW |
| 18-07-2022 | 299 | CcFr1-2022_NUM2-299 | 51N106E | Outil lithique (cat. 1275) <i>in situ</i> dans le niv. 3b du QNW | NW |
| 18-07-2022 | 300 | CcFr1-2022_NUM2-300 | 53N104E | Niv. 2b en cours de fouille dans le QNE | N |
| 18-07-2022 | 301 | CcFr1-2022_NUM2-301 | 51N104E | Niv. 4 en cours de fouille (correction de la fin du niveau) | SW |
| 18-07-2022 | 302 | CcFr1-2022_NUM2-302 | 51N106E | Niv. 3b en cours de fouille | E |
| 18-07-2022 | 303 | CcFr1-2022_NUM2-303 | 51N106E | Pierre rougie fracturée (cat. 1280) <i>in situ</i> dans le niv. 3b du QNE | NW |
| 18-07-2022 | 304 | CcFr1-2022_NUM2-304 | 51N106E | Pierre rougie fracturée (cat. 1280) <i>in situ</i> dans le niv. 3b du QNE | S |
| 18-07-2022 | 305 | CcFr1-2022_NUM2-305 | | Arbres rongés par un castor sur la pointe à l'embouchure du ruisseau Jourdain | S |
| 18-07-2022 | 306 | CcFr1-2022_NUM2-306 | | Extrémité est de la plage Claudie Bélanger | W |
| 18-07-2022 | 307 | CcFr1-2022_NUM2-307 | | Talus de sable à l'extrémité est de la plage Claudie Bélanger | W |
| 18-07-2022 | 308 | CcFr1-2022_NUM2-308 | | Talus de sable à l'extrémité est de la plage Claudie Bélanger | W |
| 18-07-2022 | 309 | CcFr1-2022_NUM2-309 | | Vestiges d'une structure en pierre à l'extrémité est de la plage Claudie Bélanger | SW |
| 19-07-2022 | 310 | CcFr1-2022_NUM2-310 | 56N105E | Paroi est | E |
| 19-07-2022 | 311 | CcFr1-2022_NUM2-311 | 56N105E | Paroi sud | S |
| 19-07-2022 | 312 | CcFr1-2022_NUM2-312 | 56N105E | Paroi ouest | W |
| 19-07-2022 | 313 | CcFr1-2022_NUM2-313 | 56N105E | Paroi nord | N |
| 19-07-2022 | 314 | CcFr1-2022_NUM2-314 | 56N105E | Intersection des parois nord et est | NE |
| 19-07-2022 | 315 | CcFr1-2022_NUM2-315 | 56N105E | Emplacement du puits par rapport à l'aire de fouilles principale | S |
| 19-07-2022 | 316 | CcFr1-2022_NUM2-316 | 56N105E | Intersection des parois ouest et nord | NW |
| 19-07-2022 | 317 | CcFr1-2022_NUM2-317 | 53N100E | Fin de fouille des niv. 3a et 4a, début du niv. 5a | N |
| 19-07-2022 | 318 | CcFr1-2022_NUM2-318 | 53N100E | Fin de fouille des niv. 3a et 4a, début du niv. 5a | N |
| 19-07-2022 | 319 | CcFr1-2022_NUM2-319 | 53N100E | Fin de fouille des niv. 3a et 4a | E |
| 19-07-2022 | 320 | CcFr1-2022_NUM2-320 | 53N100E | Fin de fouille du niv. 4a | E |
| 19-07-2022 | 321 | CcFr1-2022_NUM2-321 | 53N100E | Fin de fouille du niv. 3a | S |
| 19-07-2022 | 322 | CcFr1-2022_NUM2-322 | 53N100E | Fin de fouille du niv. 3a | S |
| 19-07-2022 | 323 | CcFr1-2022_NUM2-323 | 51N106E | Fin de fouille du niv. 3b, début du niv. 4 dans le QNW | E |
| 19-07-2022 | 324 | CcFr1-2022_NUM2-324 | 51N106E | Début du niv. 4 dans le QNW | S |
| 19-07-2022 | 325 | CcFr1-2022_NUM2-325 | | Comparaison entre un fragment de roche (cat. 1575) provenant du niv. 2b du puits 53N104E (QNW) et une pierre dans l'escalier d'accès à la plage Robert Bélanger | |
| 19-07-2022 | 326 | CcFr1-2022_NUM2-326 | 51N106E | Niv. 4 en cours de fouille dans le QNW | NE |
| 19-07-2022 | 327 | CcFr1-2022_NUM2-327 | 51N106E | Fin de fouille du niv. 4 dans le QNW, vue en plan | S |
| 19-07-2022 | 328 | CcFr1-2022_NUM2-328 | 51N106E | Fin de fouille du niv. 4 dans le QNW, vue en plongée | S |
| 19-07-2022 | 329 | CcFr1-2022_NUM2-329 | 53N100E | Fin de fouille du niv. 5a, début du niv. 5b | N |
| 19-07-2022 | 330 | CcFr1-2022_NUM2-330 | 53N100E | Fin de fouille du niv. 5a, début du niv. 5b | N |
| 19-07-2022 | 331 | CcFr1-2022_NUM2-331 | 51N106E | Fin de fouille du niv. 4 dans le QNW, début du niv. 3c | S |
| 19-07-2022 | 332 | CcFr1-2022_NUM2-332 | 51N106E | Fin de fouille du niv. 4 dans le QNW, début du niv. 3c | E |
| 19-07-2022 | 333 | CcFr1-2022_NUM2-333 | J60 | Paroi nord | N |

| Date | Cliché | No. photo | Puits/sond. | Description | Orientation |
|-------------------|--------|---------------------|---------------|--|-------------|
| 19-07-2022 | 334 | CcFr1-2022_NUM2-334 | J60 | Paroi est | E |
| 19-07-2022 | 335 | CcFr1-2022_NUM2-335 | J60 | Emplacement du sondage à proximité du hangar sur la propriété de Claudie Bélanger | W |
| 19-07-2022 | 336 | CcFr1-2022_NUM2-336 | J60 | Emplacement du sondage près de l'extrémité est de la plage Claudie Bélanger | E |
| 19-07-2022 | 337 | CcFr1-2022_NUM2-337 | 51N106E | Os écrivain de mammifère terrestre (cat. 1297) <i>in situ</i> dans le niv. 3c du QNE | NW |
| 19-07-2022 | 338 | CcFr1-2022_NUM2-338 | 51N106E | Os écrivain de mammifère terrestre (cat. 1297) <i>in situ</i> dans le niv. 3c du QNE | NW |
| 19-07-2022 | 339 | CcFr1-2022_NUM2-339 | 51N106E | Gabrielle fouille le niv. 3c | N |
| 19-07-2022 | 340 | CcFr1-2022_NUM2-340 | 51N104E | Corey, Olivier et William en cours de fouille | NW |
| 19-07-2022 | 341 | CcFr1-2022_NUM2-341 | 53N100E | Éric en cours de fouille | N |
| 19-07-2022 | 342 | CcFr1-2022_NUM2-342 | 53N104E | Dominique en cours de fouille | |
| 19-07-2022 | 343 | CcFr1-2022_NUM2-343 | 53N104E | Niv. 4a en cours de fouille dans les QNW et QSW, rubéfaction dans le QNW | E |
| 19-07-2022 | 344 | CcFr1-2022_NUM2-344 | 53N104E | Niv. 4a en cours de fouille dans les QNW et QSW, rubéfaction dans le QNW | E |
| 20-07-2022 | 345 | CcFr1-2022_NUM2-345 | | Ambiance : aire de fouilles, vers 8h | SE |
| 20-07-2022 | 346 | CcFr1-2022_NUM2-346 | | Ambiance : aire de fouilles, vers 8h | SW |
| 20-07-2022 | 347 | CcFr1-2022_NUM2-347 | 50N116E (QSE) | Emplacement du sondage à proximité de la maison à Claudie Bélanger | E |
| 20-07-2022 | 348 | CcFr1-2022_NUM2-348 | 50N116E (QSE) | Emplacement du sondage à proximité de la maison à Claudie Bélanger | NW |
| 20-07-2022 | 349 | CcFr1-2022_NUM2-349 | 51N106E | Niv. 3c en cours de fouille, coupe de la grosse racine traversant le centre du puits | W |
| 20-07-2022 | 350 | CcFr1-2022_NUM2-350 | 50N116E (QSE) | Niv. 1 en cours de fouille | N |
| 20-07-2022 | 351 | CcFr1-2022_NUM2-351 | 51N106E | Niv. 3c en cours de fouille, PRF au fond de la cuvette, vue en plan | W |
| 20-07-2022 | 352 | CcFr1-2022_NUM2-352 | 51N106E | Niv. 3c en cours de fouille, PRF au fond de la cuvette, vue en plongée | SW |
| 20-07-2022 | 353 | CcFr1-2022_NUM2-353 | 50N116E (QSE) | Niv. 2a en cours de fouille à environ 15 cm sous la surface du sol | N |
| 20-07-2022 | 354 | CcFr1-2022_NUM2-354 | 53N104E | Fin de fouille du niv. 4a dans les QNW et QSW, début du niv. 4b dans les QNW et QSW | W |
| 20-07-2022 | 355 | CcFr1-2022_NUM2-355 | 53N104E | Fin de fouille du niv. 4a dans les QNW et QSW, début du niv. 4b dans les QNW et QSW | W |
| 20-07-2022 | 356 | CcFr1-2022_NUM2-356 | 50N116E (QSE) | Fin de fouille du niv. 2a, début du niv. 2b | N |
| 20-07-2022 | 357 | CcFr1-2022_NUM2-357 | 50N116E (QSE) | Fin de fouille du niv. 2a, début du niv. 2b | N |
| 20-07-2022 | 358 | CcFr1-2022_NUM2-358 | 53N104E | Fin de fouille du niv. 4b, rubéfaction dans le QNW | E |
| 20-07-2022 | 359 | CcFr1-2022_NUM2-359 | 53N104E | Fin de fouille du niv. 4b, rubéfaction dans le QNW | E |
| 20-07-2022 | 360 | CcFr1-2022_NUM2-360 | 53N100E | Fragment de charbon de bois et potentielle PRF à l'interface inférieure du niv. 4b dans le QSE | S |
| 20-07-2022 | 361 | CcFr1-2022_NUM2-361 | 53N104E | Niv. 5 en cours de fouille dans le QSE, vue en plan | N |
| 20-07-2022 | 362 | CcFr1-2022_NUM2-362 | 53N104E | Niv. 5 en cours de fouille dans le QSE, vue en plongée | N |
| 20-07-2022 | 363 | CcFr1-2022_NUM2-363 | 53N104E | Niv. 5 en cours de fouille dans le QSE, vue en plongée | N |
| 20-07-2022 | 364 | CcFr1-2022_NUM2-364 | 50N116E (QSE) | Tessons de poterie <i>in situ</i> dans le niv. 2b | E |
| 20-07-2022 | 365 | CcFr1-2022_NUM2-365 | 50N116E (QSE) | Tessons de poterie <i>in situ</i> dans le niv. 2b | E |
| 20-07-2022 | 366 | CcFr1-2022_NUM2-366 | 53N100E | Fin de fouille du niv. 3b dans le QNE | W |
| 20-07-2022 | 367 | CcFr1-2022_NUM2-367 | 53N100E | Fin de fouille du niv. 4b dans le QSE | W |
| 20-07-2022 | 368 | CcFr1-2022_NUM2-368 | 53N104E | Fin de fouille du niv. 5, début du niv. 6a (Bf) | S |
| 20-07-2022 | 369 | CcFr1-2022_NUM2-369 | 53N104E | Fin de fouille du niv. 5, début du niv. 6a (Bf) | S |
| 20-07-2022 | 370 | CcFr1-2022_NUM2-370 | 50N116E (QSE) | Fin de fouille du niv. 2b, début du niv. 2c | N |
| 20-07-2022 | 371 | CcFr1-2022_NUM2-371 | 50N116E (QSE) | Fin de fouille du niv. 2b, début du niv. 2c | N |
| 20-07-2022 | 372 | CcFr1-2022_NUM2-372 | 50N116E (QSE) | Tessons de poterie <i>in situ</i> dans le niv. 2c | S |
| 20-07-2022 | 373 | CcFr1-2022_NUM2-373 | 50N116E (QSE) | Tessons de poterie <i>in situ</i> dans le niv. 2c | S |
| 20-07-2022 | 374 | CcFr1-2022_NUM2-374 | 50N116E (QSE) | Fin de fouille du niv. 2c, début du niv. 3a | N |
| 20-07-2022 | 375 | CcFr1-2022_NUM2-375 | 51N106E | Niv. 5a en cours de fouille dans le QSE, sédiments et PRF sous la grosse racine inclus dans le niv. 3b | N |
| 20-07-2022 | 376 | CcFr1-2022_NUM2-376 | 51N106E | Niv. 5a en cours de fouille | N |
| 20-07-2022 | 377 | CcFr1-2022_NUM2-377 | 51N106E | Gabrielle fouille le niv. 5a | NW |
| 20-07-2022 | 378 | CcFr1-2022_NUM2-378 | 51N106E | Gabrielle fouille le niv. 5a | NE |
| 20-07-2022 | 379 | CcFr1-2022_NUM2-379 | 50N116E (QSE) | Fin de fouille du niv. 3a, début du niv. 3b | N |
| 20-07-2022 | 380 | CcFr1-2022_NUM2-380 | 53N100E | Fin de fouille du niv. 6, fin de fouille du puits | N |
| 20-07-2022 | 381 | CcFr1-2022_NUM2-381 | 53N104E | Niv. 6a en cours de fouille, rubéfaction dans le QNW | E |
| 20-07-2022 | 382 | CcFr1-2022_NUM2-382 | 50N116E (QSE) | Fin de fouille du niv. 3b, fin de fouille du sondage | N |
| 20-07-2022 | 383 | CcFr1-2022_NUM2-383 | 50N116E (QSE) | Fin de fouille du niv. 3b, fin de fouille du sondage | N |
| 20-07-2022 | 384 | CcFr1-2022_NUM2-384 | | Ambiance : aire de fouilles, vers 15h30 | SW |
| 20-07-2022 | 385 | CcFr1-2022_NUM2-385 | | Ambiance générale vers 15h30 | SE |
| 20-07-2022 | 386 | CcFr1-2022_NUM2-386 | 53N104E | Fin de fouille du niv. 6a, début du niv. 6b | W |
| 20-07-2022 | 387 | CcFr1-2022_NUM2-387 | 53N104E | Lentille de matière organique dans le niv. 6b | W |
| 20-07-2022 | 388 | CcFr1-2022_NUM2-388 | 53N104E | Fin de fouille du niv. 6a, coloration plus foncée de l'horizon Bf dans l'ouest du puits | E |
| 20-07-2022 | 389 | CcFr1-2022_NUM2-389 | 51N106E | Gabrielle fouille le niv. 5a | SE |
| 21-07-2022 | 390 | CcFr1-2022_NUM2-390 | 53N104E | Lentille de matière organique en cours de fouille dans le niv. 6b, petite pierre à l'interface inférieure de la lentille | NE |
| 21-07-2022 | 391 | CcFr1-2022_NUM2-391 | 53N104E | Fin de fouille de la lentille dans le niv. 6b | E |
| 21-07-2022 | 392 | CcFr1-2022_NUM2-392 | 53N104E | Fin de fouille de la lentille dans le niv. 6b | NE |

| Date | Cliché | No. photo | Puits/sond. | Description | Orientation |
|-------------------|--------|---------------------|---------------|---|-------------|
| 21-07-2022 | 393 | CcFr1-2022 NUM2-393 | 53N100E | Paroi ouest (avant humidification) | W |
| 21-07-2022 | 394 | CcFr1-2022 NUM2-394 | 53N104E | Fin de fouille du niv. 6b, début du niv. 6c, début du niv. 7 dans les QNE et QSE, vue en plan | E |
| 21-07-2022 | 395 | CcFr1-2022 NUM2-395 | 53N104E | Fin de fouille du niv. 6b, début du niv. 6c, début du niv. 7 dans les QNE et QSE, vue en plongée | N |
| 21-07-2022 | 396 | CcFr1-2022 NUM2-396 | 53N100E | Paroi ouest (après humidification) | W |
| 21-07-2022 | 397 | CcFr1-2022 NUM2-397 | 53N100E | Paroi nord | N |
| 21-07-2022 | 398 | CcFr1-2022 NUM2-398 | 53N100E | Paroi nord | N |
| 21-07-2022 | 399 | CcFr1-2022 NUM2-399 | 53N100E | Paroi nord | N |
| 21-07-2022 | 400 | CcFr1-2022 NUM2-400 | 53N100E | Paroi est | E |
| 21-07-2022 | 401 | CcFr1-2022 NUM2-401 | 53N100E | Paroi sud | S |
| 21-07-2022 | 402 | CcFr1-2022 NUM2-402 | 53N100E | Paroi sud | S |
| 21-07-2022 | 403 | CcFr1-2022 NUM2-403 | 51N106E | Fin de fouille du niv. 5a, début du niv. 5b dans les QNE et QSE | E |
| 21-07-2022 | 404 | CcFr1-2022 NUM2-404 | 51N106E | Fin de fouille du niv. 5b dans les QNE et QSE | W |
| 21-07-2022 | 405 | CcFr1-2022 NUM2-405 | | Ambiance : aire de fouilles, vers 10h | SE |
| 21-07-2022 | 406 | CcFr1-2022 NUM2-406 | 53N100E | Roland et Eric travaillent sur le relevé stratigraphique du puits | W |
| 21-07-2022 | 407 | CcFr1-2022 NUM2-407 | | Limite stratigraphique entre l'horizon Bf (ouest) et l'horizon C (est) au centre de la ligne 104E | S |
| 21-07-2022 | 408 | CcFr1-2022 NUM2-408 | | Limite stratigraphique entre l'horizon Bf (ouest) et l'horizon C (est) au centre de la ligne 104E | S |
| 21-07-2022 | 409 | CcFr1-2022 NUM2-409 | | Limite stratigraphique entre l'horizon Bf (ouest) et l'horizon C (est) au centre de la ligne 104E | S |
| 21-07-2022 | 410 | CcFr1-2022 NUM2-410 | | Limite stratigraphique entre l'horizon Bf (ouest) et l'horizon C (est) au centre de la ligne 104E | E |
| 21-07-2022 | 411 | CcFr1-2022 NUM2-411 | | Limite stratigraphique entre l'horizon Bf (ouest) et l'horizon C (est) au centre de la ligne 104E | E |
| 21-07-2022 | 412 | CcFr1-2022 NUM2-412 | | Limite stratigraphique entre l'horizon Bf (ouest) et l'horizon C (est) au centre de la ligne 104E | E |
| 21-07-2022 | 413 | CcFr1-2022 NUM2-413 | | Limite stratigraphique entre l'horizon Bf (ouest) et l'horizon C (est) au centre de la ligne 104E | NE |
| 21-07-2022 | 414 | CcFr1-2022 NUM2-414 | | Limite stratigraphique entre l'horizon Bf (ouest) et l'horizon C (est) au centre de la ligne 104E | NE |
| 21-07-2022 | 415 | CcFr1-2022 NUM2-415 | | Limite stratigraphique entre l'horizon Bf (ouest) et l'horizon C (est) au centre de la ligne 104E | NE |
| 21-07-2022 | 416 | CcFr1-2022 NUM2-416 | 50N116E (QSE) | Paroi nord | N |
| 21-07-2022 | 417 | CcFr1-2022 NUM2-417 | 50N116E (QSE) | Paroi nord | N |
| 21-07-2022 | 418 | CcFr1-2022 NUM2-418 | 50N116E (QSE) | Paroi ouest | W |
| 21-07-2022 | 419 | CcFr1-2022 NUM2-419 | 50N116E (QSE) | Paroi sud | S |
| 21-07-2022 | 420 | CcFr1-2022 NUM2-420 | 50N116E (QSE) | Paroi est | E |
| 21-07-2022 | 421 | CcFr1-2022 NUM2-421 | 50N104E | Stratigraphie au centre de la ligne 104E dans le sud du puits | E |
| 21-07-2022 | 422 | CcFr1-2022 NUM2-422 | 50N104E | Stratigraphie au centre de la ligne 104E dans le nord du puits | E |
| 21-07-2022 | 423 | CcFr1-2022 NUM2-423 | 51N104E | Stratigraphie au centre de la ligne 104E dans le sud du puits | E |
| 21-07-2022 | 424 | CcFr1-2022 NUM2-424 | 53N104E | Paroi ouest du QSE | E |
| 21-07-2022 | 425 | CcFr1-2022 NUM2-425 | 53N104E | Paroi ouest du QSE | E |
| 21-07-2022 | 426 | CcFr1-2022 NUM2-426 | 53N104E | Fin de fouille du niv. 6d à l'ouest, début du niv. 7 à l'est, vue en plongée | N |
| 21-07-2022 | 427 | CcFr1-2022 NUM2-427 | 53N104E | Fin de fouille du niv. 6d à l'ouest, début du niv. 7 à l'est, vue en plan | W |
| 21-07-2022 | 428 | CcFr1-2022 NUM2-428 | | Photo d'équipe près de l'aire de fouilles | S |
| 21-07-2022 | 429 | CcFr1-2022 NUM2-429 | | Photo d'équipe près de l'aire de fouilles | S |
| 21-07-2022 | 430 | CcFr1-2022 NUM2-430 | | Photo d'équipe près de l'aire de fouilles | S |
| 21-07-2022 | 431 | CcFr1-2022 NUM2-431 | | Photo d'équipe près de l'aire de fouilles | S |
| 21-07-2022 | 432 | CcFr1-2022 NUM2-432 | 53N104E | Fin de fouille du niv. 7, fin de fouille du puits | W |
| 21-07-2022 | 433 | CcFr1-2022 NUM2-433 | 53N104E | Fin de fouille du niv. 7, argile bleutée avec marbrures orangées dans l'est du puits | E |
| 21-07-2022 | 434 | CcFr1-2022 NUM2-434 | 53N104E | Paroi ouest | W |
| 21-07-2022 | 435 | CcFr1-2022 NUM2-435 | 53N104E | Paroi nord | N |
| 21-07-2022 | 436 | CcFr1-2022 NUM2-436 | 53N104E | Paroi est | E |
| 21-07-2022 | 437 | CcFr1-2022 NUM2-437 | 53N104E | Intersection entre les parois ouest et nord | NW |
| 21-07-2022 | 438 | CcFr1-2022 NUM2-438 | 53N104E | Intersection entre les parois nord et est | NE |
| 21-07-2022 | 439 | CcFr1-2022 NUM2-439 | 51N106E | Fin de fouille du niv. 6, fin de fouille du puits | E |
| 22-07-2022 | 440 | CcFr1-2022 NUM2-440 | | Pose de géotextile sur les parois de l'aire de fouilles | SE |
| 22-07-2022 | 441 | CcFr1-2022 NUM2-441 | | Pose de géotextile sur les parois de l'aire de fouilles | NW |
| 22-07-2022 | 442 | CcFr1-2022 NUM2-442 | | Remblayage de l'aire de fouilles | SE |
| 22-07-2022 | 443 | CcFr1-2022 NUM2-443 | | Pose de nouvelle tourbe sur l'aire de fouilles remblayée | SE |
| 22-07-2022 | 444 | CcFr1-2022 NUM2-444 | | État final de l'aire d'intervention archéologique | N |

Annexe E Collecte de surface sur la plage du
site CcFr-1 (ruisseau Jourdain)

Depuis 2016, une impressionnante collection rassemblant des centaines d'artefacts lithiques et céramiques a été constituée. La majeure partie de ceux-ci ont été récupérés par M. Robert Bélanger lors de ses marches quotidiennes le long de sa plage ou lors de travaux de nettoyages superficiels de celle-ci.

Bien que les quantités recueillies se soient amenuisées au fil des ans, l'apparition ponctuelle d'artefacts sur la plage semble connaître d'importantes fluctuations saisonnières avec des pics qui coïncident aux épisodes de hautes eaux, notamment à la fin du printemps. Les épisodes de vagues intenses pourraient également être un facteur favorisant la résurgence d'artefacts sur la plage. Ceux-ci se concentrent habituellement le long de la base du muret de pierre qui longe la plage mais leur dispersion peut s'étendre sur plusieurs dizaines de mètres. Des objets ont même été trouvés à quelques reprises directement dans l'eau.

Les conjectures entourant la présence de ses artefacts en bordure du lac restent à préciser (Taché et Lamothe 2017, Taché *et al.* 2022 et section 4.1.4 du présent rapport). Actuellement, la principale hypothèse serait que les artefacts proviennent de l'érosion progressive du talus qui bordait le site, avant que celui-ci eut été scellé lors de la mise en place du muret de pierre vers 1960-70. Cela dit, cette hypothèse principale n'exclut pas qu'une occupation occasionnelle de la plage ait pu avoir lieu mais celle-ci aurait eu un impact secondaire sur le volume de la collection. À tout égard, il demeure que l'évolution dynamique du système hydrique du Grand lac Nominique et du ruisseau Jourdain regroupe un ensemble de phénomènes complexes qui restent à étudier et à comprendre avec précision.

La collection de surface amassée est riche et diversifiée. La méthodologie employée pour analyser les artefacts lithiques diffère de celle employée pour la collection issue de la fouille et de l'inventaire archéologiques effectués dans le cadre du permis de recherche archéologique 22-PATG-01. Si la description des types lithiques suit les mêmes règles que celles de l'inventaire régulier, la description des matériaux lithiques est plus sommaire. L'analyse des matériaux lithiques a été réalisée principalement à l'œil nu et le référentiel analytique présenté en annexe B n'a pas été utilisé. L'analyse céramique a été orientée principalement sur les tessons de bord de la collection de surface.

Les planches photographiques présentées regroupent pour leur part la totalité des outils lithiques récupérés jusqu'à présent.



S95

S96

S97

S98

S99

S100

S101

S102

S199

S200

S166

S168

S169

S173

S174

S179

S180

S181

S182

S183

S104

S105

S107

S143

S184

S185

S186

S187

S188

S189

S190



S170

S191

S192

S193

S194

S195

S196

S197

S198

S78

S79

S142

S65

S68

S69

S70

S71

S74

S75

S76

S80

S81

S82

S60

S61





S163



S165



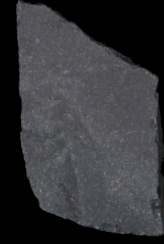
S171



S172



S177



S176



S204



S201



S56



S57



S164



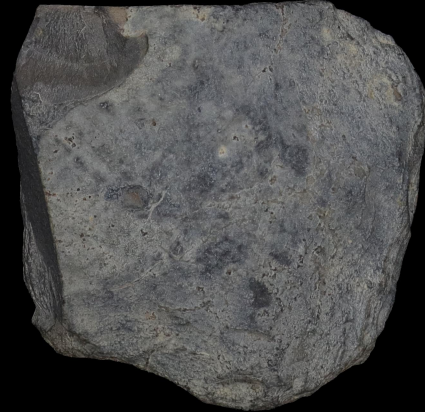
S202.1



S202.2



S202.3



S58



S202.4



S202.5



S202.6



S203



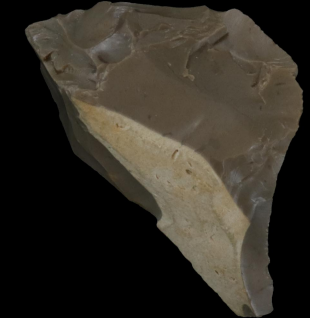
S77



S254



S205



S167



S206

Liste des artefacts illustrés

| Localisation | no cat | Identification | Description |
|--------------|--------|-----------------|---|
| 1A | S56 | biface | Fragment d'outil bifacial ou grattoir en quartz |
| 3A | S57 | hache | Fragment d'herminette ou hache en roche ignée gris verdâtre foncé veinée |
| 3A | S58 | hache | Fragment d'herminette ou hache en shale gris très foncé |
| 7A | S60 | nucléus | Nucléus en chert de Trenton |
| 7A | S61 | outil | Outil indéterminé en chert de Trenton |
| 7A | S65 | outil | Fragment d'outil bifacial en quartzite de Mistassini |
| 7A | S68 | éclat retouché | Éclat retouché et chauffé en chert calcaire gris foncé |
| 7A | S69 | grattoir | Petit grattoir sur éclat en chert calcaire siliceux moutonné brun |
| 7A | S70 | grattoir | Petit grattoir sur éclat en chert gris foncé |
| 7A | S71 | biface | Fragment d'outil bifacial en chert gris foncé et chauffé |
| 7A | S73 | pièce esquillée | Fragment de pièce esquillée en chert gris |
| 7A | S74 | pièce esquillée | Pièce esquillée en chert noir cireux |
| 7A | S75 | pièce esquillée | Pièce esquillée en roche ignée |
| 7A | S76 | pièce esquillée | Fragment épais de pièce esquillée en chert gris |
| 7A | S77 | plaquette | Fragment de plaquette rectangulaire en roche métamorphique gris foncé |
| 8A | S78 | éclat retouché | Éclat d'outil bifacial retouché en chert noir moutonné de brun |
| 9A | S79 | biface | Fragment distal d'outil bifacial recyclé et légèrement retouché en calcédoine brune moutonnée |
| 9A | S80 | biface | Fragment d'outil bifacial sur éclat en calcédoine brune grossière |
| 9A | S81 | grattoir | Petit grattoir sur éclat possiblement en jaspe |
| 9A | S82 | grattoir | Fragment distal de grattoir sur éclat possiblement en jaspe |
| 10A | S85 | grattoir | Fragment micro grattoir en quartz hyalin |
| 10A | S86 | grattoir | Petit grattoir sur éclat en quartz hyalin avec possibles traces d'emmanchement |
| 10A | S87 | biface | Fragment mésial transverse d'outil bifacial en quartz |
| 10A | S88 | biface | Fragment distal outil bifacial en quartz |
| 10A | S89 | grattoir | Gros grattoir sur éclat en quartz |
| 10A | S90 | biface | Fragment outil bifacial en quartz jaunâtre |
| 10A | S91 | grattoir | Grattoir en quartz enfumé |
| 10A | S92 | grattoir | Grattoir sur éclat en quartz |
| 10A | S93 | grattoir | Grattoir sur éclat en quartz hyalin |
| 10A | S94 | grattoir | Grattoir sur éclat en quartz |
| 10A | S95 | éclat retouché | Éclat retouché en quartzite de Mistassini |
| 10A | S96 | biface | Outil bifacial en quartzite de Mistassini |
| 10A | S97 | biface | Outil bifacial recyclé en grattoir en quartzite de Mistassini |
| 10A | S98 | éclat retouché | Possible éclat retouché en quartzite de Mistassini |
| 10A | S99 | pièce esquillée | Possible Pièce esquillée en calcédoine enfumée |
| 10A | S100 | grattoir | Petit grattoir sur éclat en quartzite enfumé |
| 10A | S101 | grattoir | Petit grattoir en quartzite fin blanc, possiblement Mistassini |
| 10A | S102 | éclat retouché | Éclat retouché en quartzite fin blanc |
| 10A | S104 | biface | Petit fragment outil bifacial roche pyroclastique |
| 10A | S105 | biface | Fragment proximal outil bifacial roche pyroclastique |
| 10A | S107 | pointe | Fragment distal pointe de projectile en rhyolite grise grossière |
| 10A | S111 | grattoir | Grattoir sur éclat en chert Onondaga |
| 10A | S112 | éclat retouché | Éclat retouché en chert Onondaga |
| 10A | S113 | grattoir | Grattoir sur éclat en chert Onondaga brunâtre |

| Localisation | no cat | Identification | Description |
|--------------|--------|-----------------|--|
| 10A | S114 | grattoir | Grattoir sur éclat en chert Onondaga |
| 10A | S115 | grattoir | Petit grattoir sur éclat en chert Onondaga |
| 10A | S116 | éclat retouché | Éclat retouché en chert Onondaga |
| 10A | S117 | grattoir | Grattoir sur éclat en chert Onondaga (?) brun foncé |
| 10A | S118 | éclat retouché | Éclat finement retouché en chert Onondaga |
| 10A | S119 | éclat retouché | Éclat retouché en chert Onondaga rubané |
| 10A | S120 | biface | Fragment distal d'un outil bifacial en chert Onondaga |
| 10A | S121 | grattoir | Grattoir en chert Onondaga brunâtre et calcédonique |
| 10A | S122 | grattoir | Grattoir sur éclat en chert calcaire gris moutonné |
| 10A | S123 | pièce esquillée | Fragment de pièce esquillée en chert Onondaga |
| 10A | S124 | éclat retouché | Éclat retouché en chert Onondaga brun grisâtre |
| 10A | S125 | grattoir | Grattoir sur éclat en chert Onondaga |
| 10A | S126 | foret | Fragment distal d'un foret en chert Onondaga |
| 10A | S127 | grattoir | Grattoir sur éclat en chert Onondaga |
| 10A | S128 | grattoir | Micro grattoir sur éclat en chert Onondaga |
| 10A | S129 | grattoir | Fragment de grattoir sur éclat en chert siliceux brun |
| 10A | S130 | perçoir | Possible perçoir en chert gris très foncé |
| 10A | S131 | grattoir | Fragment distal de grattoir sur éclat en chert calcaire noir |
| 10A | S132 | grattoir | Fragment d'outil bifacial en chert noir cireux possiblement calcaire |
| 10A | S133 | grattoir | Fragment distal de grattoir sur éclat en roche beige laminée |
| 10A | S134 | pièce esquillée | Pièce esquillée en chert noir |
| 10A | S135 | grattoir | Fragment latéral de grattoir en chert calcaire brun foncé |
| 10A | S136 | biface | Fragment d'outil bifacial en chert calcaire brun foncé grisâtre |
| 10A | S137 | pièce esquillée | Pièce esquillée en schiste ardoisier noir |
| 10A | S138 | éclat retouché | Fragment d'éclat retouché, peut-être un grattoir, en chert cireux brun foncé |
| 10A | S139 | éclat retouché | Éclat retouché en chert calcaire gris foncé brunâtre |
| 10A | S140 | nucléus | Petit nucléus en chert Kichisipi |
| 11A | S142 | éclat retouché | Gros éclat retouché en roche métamorphique noire |
| 11A | S143 | pointe | Pointe de projectile à pédoncule contractant en quartz grossier |
| 12A | S144 | grattoir | Grattoir à retouche multimarginales, en quartz hyalin |
| 16A | S148 | éclat retouché | Éclat retouché en quartzite fin blanc |
| 16A | S154 | grattoir | Petit grattoir sur éclat en chert Onondaga |
| 16A | S155 | éclat retouché | Éclat retouché en chert brun foncé verdâtre |
| 16A | S156 | éclat retouché | Éclat retouché en chert calcaire noir |
| 16A | S157 | grattoir | Grattoir sur éclat en chert Kichisipi |
| 16A | S158 | grattoir | Grattoir multimarginal sur éclat en chert Kichisipi noir |
| 16A | S159 | grattoir | Fragment de grattoir sur éclat en chert chauffé |
| 16A | S161 | outil | 3 fragments d'outil polis en roche ignée noire |
| 16A | S162 | Gorgerin | Fragment d'objet poli en roche métamorphique, possible gorgerin |
| 4B | S163 | outil | Fragment d'outil poli (herminette?) en roche métamorphique brun très foncé |
| 5B | S164 | biface | Outil bifacial en quartz |
| 5B | S165 | outil | Outil rectangulaire poli en roche métamorphique brune grisâtre |
| 6B | S166 | grattoir | Grattoir sur éclat en chert siliceux brun avec cortex |
| 7B | S167 | grattoir | Gros éclat retouché en chert siliceux brun avec cortex |
| 8B | S168 | pièce esquillée | Gros éclat avec retouches multimarginales en quartzite gris enfumé |
| 9B | S169 | pièce esquillée | Pièce esquillée en chert très fin cireux calcaire brun chauffé |

| Localisation | no cat | Identification | Description |
|--------------|--------|-----------------|--|
| 10B | S170 | éclat | Gros éclat de quartz dont un tranchant semble émoussé |
| 11B | S171 | outil | Fragment d'outil poli en roche ignée noire, possiblement un polissoir |
| 12B | S172 | outil | Fragment d'outil poli en roche métamorphique noir d'origine calcaire |
| 13B | S173 | éclat retouché | Un éclat retouché brun caramel possiblement en jaspe |
| 13B | S174 | pièce esquillée | Fragment de pièce esquillée brun orangé possiblement en jaspe |
| 14B1 | S176 | outil | Fragment d'outil avec cicatrice d'enlèvement en chert noir |
| 14B2 | S177 | outil | Fragment d'outil bouchardé en roche ignée noire |
| 15B2 | S179 | éclat | Éclat en shale aménagé en perçoir |
| 16B | S180 | pointe | Petit pointe de projectile à encoches latérales en chert oolithique brun veiné de noir |
| 17B | S181 | biface | Fragment distal d'outil bifacial en chert fin noir veiné de brun orangé possiblement d'origine calcaire |
| 18B | S182 | pointe | Fragment mésio-proximal de pointe de projectile de type Brewerton à encoches latérales, en chert gris très foncé |
| 19B | S183 | pointe | Fragment de pointe de projectile à pédoncule contractant en chert calcaire gris, creux et chauffé |
| 20B1 | S184 | pointe | Pointe de projectile ou couteau à pédoncule droit et base à ailettes en roche métamorphique gris foncé |
| 20B2 | S185 | pointe | Petite pointe de projectile à encoches latérales évasées, possiblement de type Normanskill en roche métamorphique grise |
| 21B1 | S186 | pointe | Pointe de projectile à encoches en coin en quartzite de Mistassini enfumé |
| 21B2 | S187 | pointe | Préforme de pointe de projectile à encoches latérales en quartzite de Mistassini |
| 22B | S188 | foret | Foret en chert calcaire gris possiblement Onondaga |
| 23B | S189 | pointe | Pointe de projectile à encoches latérales-coin en chert siliceux brun pâle, peut-être de type Kack's Reef |
| 24B1 | S190 | biface | Fragment distal d'outil bifacial en quartzite de Mistassini |
| 24B2 | S191 | biface | Fragment mésial d'outil bifacial en quartzite de Mistassini gris foncé enfumé |
| 25B | S192 | grattoir | Grattoir unimarginal sur éclat en quartzite de Mistassini |
| 26B | S193 | pointe | Fragment proximal de pointe de projectile à pédoncule contractant et ailettes ou encoches latérales évasées en chert beige oxydé et possiblement chauffé. Peut-être de type Orient Fish Tail |
| 27B | S194 | pièce esquillée | Pièce esquillée en chert Onondaga brunâtre |
| 27B | S195 | grattoir | Grattoir multimarginal sur outil bifacial recyclé, en chert calcaire gris, possiblement Onondaga, similaire à S188 |
| 28B | S196 | foret | Fragment mésio-proximal de foret en chert siliceux brun. Rappelle le chert BTBH |
| 28B | S197 | grattoir | Grattoir unimarginal sur éclat en jaspe brun caramel |
| 29B | S198 | grattoir | Grattoir unimarginal sur éclat avec retouches sur partie proximale, en chert Onondaga |
| 30B | S199 | nucléus | Nucléus en chert fossilifère beige et brun, peut-être du sud de l'Ontario |
| 30B | S200 | nucléus | Fragment de nucléus retouché en chert Kichisipi brun très foncé |
| ? | S201 | polissoir | Possible polissoir |
| ? | S202 | fragment | Fragments de pierres polies |
| ? | S203 | polissoir | Possible petit polissoir ovale |
| ? | S204 | hache | Fragment distal d'une hache/herminette en roche métamorphique brun foncé |
| ? | S205 | hache | Possible fragment distal d'une hache/herminette en roche métamorphique gris très foncé brunâtre |
| ? | S206 | fragment | Fragment de quartz ayant possiblement servi de polissoir |
| ? | S208 | grattoir | Grattoir en quartz |
| ? | S209 | pièce esquillée | Possible pièce esquillée en quartz |

| | | | |
|-----|------|----------------|--|
| ? | S210 | outil | Fragment d'outil en pierre polie |
| ? | S212 | éclat retouché | Deux fragments d'éclat retouchés en quartzite de Mistassini |
| ? | S213 | grattoir | Grattoir en quartzite gris pâle laiteux très translucide |
| ? | S214 | grattoir | Grattoir sur éclat en quartzite brun, possiblement chauffé |
| ? | S215 | grattoir | Grattoir émoussé en roche métamorphique beige et brun |
| ? | S216 | grattoir | Grattoir en chert gris siliceux, riche en vacuoles et en fossiles |
| ? | S217 | nucléus | Fragment de pièce esquillée en chert veiné brun grisâtre |
| ? | S218 | grattoir | Petit grattoir en chert Onondaga |
| ? | S219 | grattoir | Fragment distal de petit grattoir en chert calcaire brun grisâtre très foncé, possiblement Kichisipi |
| ? | S220 | grattoir | Grattoir émoussé en roche métamorphique brun rougâtre |
| ? | S221 | grattoir | Fragment distal de grattoir en chert siliceux beige |
| ? | S222 | grattoir | Petit grattoir en chert Kichisipi, avec cupule thermique |
| ? | S223 | grattoir | Fragment de petit grattoir en chert brun très foncé |
| 1C | S224 | fragment | Deux fragments de chert calcaire |
| 2C | S225 | fragment | Un fragment en chert calcaire noir avec rubans épais |
| 6C | S228 | outil | Fragment d'outil poli en roche ignée noir |
| 36C | S265 | grattoir | Petit grattoir en chert Onondaga |
| 38C | S254 | polissoir | Galet de quartz poli, possible polissoir |
| 48C | S263 | pointe | Fragment mésio-proximal de pointe de projectile à encoches en coin peut-être de type Brewerton en chert Onondaga |

Site : Ruisseau Jourdain

Inventaire des artefacts et écofacts de la collection de surface

Code : CcFr-1

Responsable de la collecte : Robert Bélanger

Date : avril 2023

Analystes : Olivier Pilette, Adrien Cesario, Francis Lamothe, Karine Taché

| Puits/sond. | Localisation | No. cat | Code mat. | Matériau | Objet | Nb. frag. | Nb. obj. | Code fonction | Fonction | Intégrité | Commentaires |
|-------------|--------------|---------|-----------|------------------------------|------------------|-----------|----------|---------------|---------------------|-----------|--|
| Plage | 2A | S1 | 1.1.1.991 | Céramique de type autochtone | contenant (tpd) | 2 | 1 | 4.99 | Consommation ind. | Frag | Hors de l'eau. Tessons décorés jointifs, cordelette |
| Plage | 2B | S2 | 1.1.1.991 | Céramique de type autochtone | contenant (tpd) | 2 | 1 | 4.99 | Consommation ind. | Frag | Du muret jusqu'au lac ou dans le lac. Tessons décorés, UV28 |
| Plage | 2B | S3 | 1.1.1.991 | Céramique de type autochtone | contenant (tpd) | 62 | ? | 4.99 | Consommation ind. | Frag | Du muret jusqu'au lac ou dans le lac. Tessons décorés variés |
| Plage | 2B | S4 | 1.1.1.991 | Céramique de type autochtone | contenant (tpd) | 1 | 1 | 4.99 | Consommation ind. | Frag | Du muret jusqu'au lac ou dans le lac. Tesson décoré, UV31 |
| Plage | 2B | S5 | 1.1.1.991 | Céramique de type autochtone | contenant (tpnd) | 4 | ? | 4.99 | Consommation ind. | Frag | Du muret jusqu'au lac ou dans le lac. Tessons décorés et scarifiés |
| Plage | 1B | S6 | 1.1.1.991 | Céramique de type autochtone | contenant (tpd) | 2 | ? | 4.99 | Consommation ind. | Frag | Du muret jusqu'au lac ou dans le lac. Tessons décorés |
| Plage | 1B | S7 | 1.1.1.991 | Céramique de type autochtone | contenant (tpnd) | 50 | ? | 4.99 | Consommation ind. | Frag | Du muret jusqu'au lac ou dans le lac. Tessons non décorés |
| Plage | 3B | S8 | 1.1.1.991 | Céramique de type autochtone | contenant (tbd) | 1 | 1 | 4.99 | Consommation ind. | Frag | Du muret jusqu'au lac ou dans le lac. Tesson de bord décoré |
| Plage | 3B | S9 | 1.1.1.991 | Céramique de type autochtone | contenant (tbd) | 1 | 1 | 4.99 | Consommation ind. | Frag | Du muret jusqu'au lac ou dans le lac. Tesson de bord décoré, jointif à S13, UV11 |
| Plage | 3B | S10 | 1.1.1.991 | Céramique de type autochtone | contenant (tbd) | 1 | 1 | 4.99 | Consommation ind. | Frag | Du muret jusqu'au lac ou dans le lac. Tesson de bord décoré |
| Plage | 3B | S11 | 1.1.1.991 | Céramique de type autochtone | contenant (tbd) | 1 | 1 | 4.99 | Consommation ind. | Frag | Du muret jusqu'au lac ou dans le lac. Tesson de bord décoré |
| Plage | 3B | S12 | 1.1.1.991 | Céramique de type autochtone | contenant (tbd) | 1 | 1 | 4.99 | Consommation ind. | Frag | Du muret jusqu'au lac ou dans le lac. Tesson de bord décoré |
| Plage | 4A | S13 | 1.1.1.991 | Céramique de type autochtone | contenant (tbd) | 1 | 1 | 4.99 | Consommation ind. | Frag | Dans le lac. Tesson de bord décoré, jointif à S9, UV11 |
| Plage | 32C | S14 | 1.1.1.991 | Céramique de type autochtone | contenant (tpnd) | 1 | 1 | 4.99 | Consommation ind. | Frag | Tesson non décoré |
| Plage | 10C | S15 | 1.1.1.991 | Céramique de type autochtone | contenant (tpnd) | 1 | 1 | 4.99 | Consommation ind. | Frag | Tesson non décoré |
| Plage | 7C | S16 | 1.1.1.991 | Céramique de type autochtone | contenant (tpnd) | 1 | 1 | 4.99 | Consommation ind. | Frag | Tesson non décoré |
| Plage | 25C | S17 | 1.1.1.991 | Céramique de type autochtone | contenant (tpnd) | 1 | 1 | 4.99 | Consommation ind. | Frag | Tesson non décoré |
| Plage | 36C | S18 | 1.1.1.991 | Céramique de type autochtone | contenant (tpnd) | 1 | 1 | 4.99 | Consommation ind. | Frag | Tesson non décoré |
| Plage | 37C | S19 | 1.1.1.991 | Céramique de type autochtone | contenant (tpnd) | 1 | 1 | 4.99 | Consommation ind. | Frag | Tesson non décoré |
| Plage | 28C | S20 | 1.1.1.991 | Céramique de type autochtone | contenant (tpnd) | 1 | 1 | 4.99 | Consommation ind. | Frag | Tesson non décoré |
| Plage | 26C | S21 | 1.1.1.991 | Céramique de type autochtone | contenant (tpnd) | 2 | ? | 4.99 | Consommation ind. | Frag | Tessons non décorés |
| Plage | 34C | S22 | 1.1.1.991 | Céramique de type autochtone | contenant (tpnd) | 2 | 1 | 4.99 | Consommation ind. | Frag | Tessons non décorés jointifs |
| Plage | 35C | S23 | 1.1.1.991 | Céramique de type autochtone | contenant (tpnd) | 2 | ? | 4.99 | Consommation ind. | Frag | Tessons non décorés |
| Plage | 42C | S24 | 1.1.1.991 | Céramique de type autochtone | contenant (tpnd) | 1 | 1 | 4.99 | Consommation ind. | Frag | Tesson non décoré |
| Plage | 43C | S25 | 1.1.1.991 | Céramique de type autochtone | contenant (tpnd) | 2 | ? | 4.99 | Consommation ind. | Frag | Tessons non décorés |
| Plage | 31C | S26 | 1.1.1.991 | Céramique de type autochtone | contenant (tpnd) | 3 | ? | 4.99 | Consommation ind. | Frag | Tessons non décorés, 2 jointifs |
| Plage | 5C | S27 | 1.1.1.991 | Céramique de type autochtone | contenant (tpnd) | 1 | 1 | 4.99 | Consommation ind. | Frag | Tesson non décoré |
| Plage | 19C | S28 | 1.1.1.991 | Céramique de type autochtone | contenant (tpnd) | 1 | 1 | 4.99 | Consommation ind. | Frag | Tesson non décoré |
| Plage | 46C | S29 | 1.1.1.991 | Céramique de type autochtone | contenant (tpnd) | 4 | ? | 4.99 | Consommation ind. | Frag | Tessons non décorés |
| Plage | 47C | S30 | 1.1.1.991 | Céramique de type autochtone | contenant (tpnd) | 3 | ? | 4.99 | Consommation ind. | Frag | Tessons non décorés, 2 jointifs et scarifiés |
| Plage | 40C | S31 | 1.1.1.991 | Céramique de type autochtone | contenant (tbd) | 1 | 1 | 4.99 | Consommation ind. | Frag | Tesson de bord décoré, UV33 |
| Plage | 26C | S32 | 1.1.1.991 | Céramique de type autochtone | contenant (tbd) | 1 | 1 | 4.99 | Consommation ind. | Frag | Tesson de bord décoré, UV32 |
| Plage | 43C | S33 | 1.1.1.991 | Céramique de type autochtone | contenant (tbd) | 1 | 1 | 4.99 | Consommation ind. | Frag | Tesson de bord décoré, UV31 |
| Plage | 24C | S34 | 1.1.1.991 | Céramique de type autochtone | contenant (tbd) | 2 | 1 | 4.99 | Consommation ind. | Frag | Tessons de bord décorés, jointifs, UV31 |
| Plage | 21C | S35 | 1.1.1.991 | Céramique de type autochtone | contenant (tpd) | 1 | 1 | 4.99 | Consommation ind. | Frag | Tesson décoré |
| Plage | 28C | S36 | 1.1.1.991 | Céramique de type autochtone | contenant (tpd) | 1 | 1 | 4.99 | Consommation ind. | Frag | Tesson décoré |
| Plage | 35C | S37 | 1.1.1.991 | Céramique de type autochtone | contenant (tpd) | 1 | 1 | 4.99 | Consommation ind. | Frag | Tesson décoré |
| Plage | 34C | S38 | 1.1.1.991 | Céramique de type autochtone | contenant (tpd) | 1 | 1 | 4.99 | Consommation ind. | Frag | Tesson décoré |
| Plage | 42C | S39 | 1.1.1.991 | Céramique de type autochtone | contenant (tpd) | 1 | 1 | 4.99 | Consommation ind. | Frag | Tesson décoré |
| Plage | 39C | S40 | 1.1.1.991 | Céramique de type autochtone | contenant (tpd) | 1 | 1 | 4.99 | Consommation ind. | Frag | Tesson décoré |
| Plage | 30C | S41 | 1.1.1.991 | Céramique de type autochtone | contenant (tpd) | 3 | ? | 4.99 | Consommation ind. | Frag | Tessons décorés |
| Plage | 37C | S42 | 1.1.1.991 | Céramique de type autochtone | contenant (tpd) | 1 | 1 | 4.99 | Consommation ind. | Frag | Tesson décoré |
| Plage | 46C | S43 | 1.1.1.991 | Céramique de type autochtone | contenant (tpnd) | 2 | ? | 4.99 | Consommation ind. | Frag | Tessons non décorés |
| Plage | 46C | S44 | 1.1.1.991 | Céramique de type autochtone | contenant (tpd) | 3 | ? | 4.99 | Consommation ind. | Frag | Tessons décorés |
| Plage | 47C | S45 | 1.1.1.991 | Céramique de type autochtone | contenant (tpd) | 2 | ? | 4.99 | Consommation ind. | Frag | Tessons décorés |
| Plage | ? | S46 | 1.1.1.991 | Céramique de type autochtone | contenant (tbd) | 1 | 1 | 4.99 | Consommation ind. | Frag | Tesson de bord décoré |
| Plage | ? | S47 | 1.1.1.991 | Céramique de type autochtone | contenant (tbd) | 1 | 1 | 4.99 | Consommation ind. | Frag | Tesson de bord décoré |
| Plage | ? | S48 | 1.1.1.991 | Céramique de type autochtone | contenant (tbd) | 1 | 1 | 4.99 | Consommation ind. | Frag | Tesson de bord décoré, jointif à S51, potentiellement associable à UV31 |
| Plage | ? | S49 | 1.1.1.991 | Céramique de type autochtone | contenant (tbd) | 1 | 1 | 4.99 | Consommation ind. | Frag | Tesson de bord décoré |
| Plage | ? | S50 | 1.1.1.991 | Céramique de type autochtone | contenant (tbd) | 1 | 1 | 4.99 | Consommation ind. | Frag | Tesson de bord décoré |
| Plage | ? | S51 | 1.1.1.991 | Céramique de type autochtone | contenant (tbd) | 1 | 1 | 4.99 | Consommation ind. | Frag | Tesson de bord décoré, jointif à S48, potentiellement associable à UV31 |
| Plage | ? | S52 | 1.1.1.991 | Céramique de type autochtone | contenant (tpd) | 30 | ? | 4.99 | Consommation ind. | Frag | Tessons décorés, 4 jointifs |
| Plage | ? | S53 | 1.1.1.991 | Céramique de type autochtone | contenant (tpnd) | 81 | ? | 4.99 | Consommation ind. | Frag | Tessons non décorés, 16 scarifiés |
| Plage | 23D | S54 | 1.1.1.991 | Céramique de type autochtone | contenant (tbd) | 1 | 1 | 4.99 | Consommation ind. | Frag | Tesson de bord festonné, UV34 |
| Plage | 40D | S55 | 1.1.1.991 | Céramique de type autochtone | contenant (tbd) | 1 | 1 | 4.99 | Consommation ind. | Frag | Tesson de bord décoré |
| Plage | 1A | S56 | 4.1 | Matières premières | biface | 1 | 1 | 1.1.1.1 | Pierre dure, outils | Frag | Fragment d'outil bifacial ou grattoir en quartz |

| Puits/sond. | Localisation | No. cat | Code mat. | Matériau | Objet | Nb. frag. | Nb. obj. | Code fonction | Fonction | Intégrité | Commentaires |
|-------------|--------------|---------|-----------|--------------------|-----------------|-----------|----------|---------------|----------------------------|-----------|---|
| Plage | 3A | S57 | 4.1 | Matières premières | hache | 1 | 1 | 1.1.1.1 | Pierre dure, outils | Frag | Fragment d'herminette ou hache en roche ignée gris verdâtre foncé veinée |
| Plage | 3A | S58 | 4.1 | Matières premières | hache | 1 | 1 | 1.1.1.1 | Pierre dure, outils | Frag | Fragment d'herminette ou hache en shale gris très foncé |
| Plage | 7A | S59 | 4.1 | Matières premières | éclat | 1 | 1 | 7.1 | Pierre dure, techno-témoin | Frag | Quartz |
| Plage | 7A | S60 | 4.1 | Matières premières | nucléus | 1 | 1 | 7.1 | Pierre dure, techno-témoin | Frag | Nucléus en chert de Trenton |
| Plage | 7A | S61 | 4.1 | Matières premières | outil | 1 | 1 | 1.1.1.1 | Pierre dure, outils | Frag | Outil indéterminé en chert de Trenton |
| Plage | 7A | S62 | 4.1 | Matières premières | éclat | 2 | ? | 7.1 | Pierre dure, techno-témoin | Frag | Deux éclats de chert chauffé et blanchi |
| Plage | 7A | S63 | 4.1 | Matières premières | éclat | 2 | ? | 7.1 | Pierre dure, techno-témoin | Frag | Deux éclats en roche métamorphique gris foncé |
| Plage | 7A | S64 | 4.1 | Matières premières | éclat | 2 | ? | 7.1 | Pierre dure, techno-témoin | Frag | Deux éclats de chert siliceux beige |
| Plage | 7A | S65 | 4.1 | Matières premières | outil | 1 | 1 | 1.1.1.1 | Pierre dure, outils | Frag | Fragment d'outil bifacial en quartzite de Mistassini |
| Plage | 7A | S66 | 4.1 | Matières premières | éclat | 1 | 1 | 7.1 | Pierre dure, techno-témoin | Frag | Éclat d'amincissement bifacial en chert siliceux gris |
| Plage | 7A | S67 | 4.1 | Matières premières | éclat | 2 | ? | 7.1 | Pierre dure, techno-témoin | Frag | Deux éclats roche ignée noire |
| Plage | 7A | S68 | 4.1 | Matières premières | éclat retouché | 1 | 1 | 1.1.1.1 | Pierre dure, outils | Frag | Éclat retouché et chauffé en chert calcaire gris foncé |
| Plage | 7A | S69 | 4.1 | Matières premières | grattoir | 1 | 1 | 1.1.1.1 | Pierre dure, outils | Frag | Petit grattoir sur éclat en chert calcaire siliceux moutonné brun |
| Plage | 7A | S70 | 4.1 | Matières premières | grattoir | 1 | 1 | 1.1.1.1 | Pierre dure, outils | Frag | Petit grattoir sur éclat en chert gris foncé |
| Plage | 7A | S71 | 4.1 | Matières premières | biface | 1 | 1 | 1.1.1.1 | Pierre dure, outils | Frag | Fragment d'outil bifacial en chert gris foncé et chauffé |
| Plage | 7A | S72 | 4.1 | Matières premières | éclat | 2 | 2 | 7.1 | Pierre dure, techno-témoin | Frag | Éclats en chert gris et noir |
| Plage | 7A | S73 | 4.1 | Matières premières | pièce esquillée | 1 | 1 | 1.1.1.1 | Pierre dure, outils | Frag | Fragment de pièce esquillée en chert gris |
| Plage | 7A | S74 | 4.1 | Matières premières | pièce esquillée | 1 | 1 | 1.1.1.1 | Pierre dure, outils | Frag | Pièce esquillée en chert noir cireux |
| Plage | 7A | S75 | 4.1 | Matières premières | pièce esquillée | 1 | 1 | 1.1.1.1 | Pierre dure, outils | Frag | Pièce esquillée en roche ignée |
| Plage | 7A | S76 | 4.1 | Matières premières | pièce esquillée | 1 | 1 | 1.1.1.1 | Pierre dure, outils | Frag | Fragment épais de pièce esquillée en chert gris |
| Plage | 7A | S77 | 4.1 | Matières premières | ? | 1 | 1 | 7.1 | Pierre dure, techno-témoin | Frag | Fragment de plaquette rectangulaire en roche métamorphique gris foncé |
| Plage | 8A | S78 | 4.1 | Matières premières | éclat retouché | 1 | 1 | 1.1.1.1 | Pierre dure, outils | Frag | Éclat d'outil bifacial retouché en chert noir moutonné de brun |
| Plage | 9A | S79 | 4.1 | Matières premières | biface | 1 | 1 | 1.1.1.1 | Pierre dure, outils | Frag | Fragment distal d'outil bifacial recyclé et légèrement retouché en calcédoine brune moutonnée |
| Plage | 9A | S80 | 4.1 | Matières premières | biface | 1 | 1 | 1.1.1.1 | Pierre dure, outils | Frag | Fragment d'outil bifacial sur éclat en calcédoine brune grossière |
| Plage | 9A | S81 | 4.1 | Matières premières | grattoir | 1 | 1 | 1.1.1.1 | Pierre dure, outils | Frag | Petit grattoir sur éclat (en jaspe?) |
| Plage | 9A | S82 | 4.1 | Matières premières | grattoir | 1 | 1 | 1.1.1.1 | Pierre dure, outils | Frag | Fragment distal de grattoir sur éclat (en jaspe?) |
| Plage | 10A | S83 | 4.1 | Matières premières | éclat | 9 | 1 | 7.1 | Pierre dure, techno-témoin | Frag | Éclats en quartz |
| Plage | 10A | S84 | 4.1 | Matières premières | éclat | 5 | 1 | 7.1 | Pierre dure, techno-témoin | Frag | Éclats en quartz hyalin |
| Plage | 10A | S85 | 4.1 | Matières premières | grattoir | 1 | 1 | 1.1.1.1 | Pierre dure, outils | Frag | Fragment micro grattoir en quartz hyalin |
| Plage | 10A | S86 | 4.1 | Matières premières | grattoir | 1 | 1 | 1.1.1.1 | Pierre dure, outils | Frag | Petit grattoir sur éclat en quartz hyalin avec possibles traces d'emmanchement |
| Plage | 10A | S87 | 4.1 | Matières premières | biface | 1 | 1 | 1.1.1.1 | Pierre dure, outils | Frag | Fragment mésial transverse d'outil bifacial en quartz |
| Plage | 10A | S88 | 4.1 | Matières premières | biface | 1 | 1 | 1.1.1.1 | Pierre dure, outils | Frag | Fragment distal outil bifacial en quartz |
| Plage | 10A | S89 | 4.1 | Matières premières | grattoir | 1 | 1 | 1.1.1.1 | Pierre dure, outils | Frag | Gros grattoir sur éclat en quartz |
| Plage | 10A | S90 | 4.1 | Matières premières | biface | 1 | 1 | 1.1.1.1 | Pierre dure, outils | Frag | Fragment outil bifacial en quartz jaunâtre |
| Plage | 10A | S91 | 4.1 | Matières premières | grattoir | 1 | 1 | 1.1.1.1 | Pierre dure, outils | Frag | Grattoir en quartz enfumé |
| Plage | 10A | S92 | 4.1 | Matières premières | grattoir | 1 | 1 | 1.1.1.1 | Pierre dure, outils | Frag | Grattoir sur éclat en quartz |
| Plage | 10A | S93 | 4.1 | Matières premières | grattoir | 1 | 1 | 1.1.1.1 | Pierre dure, outils | Frag | Grattoir sur éclat en quartz hyalin |
| Plage | 10A | S94 | 4.1 | Matières premières | grattoir | 1 | 1 | 1.1.1.1 | Pierre dure, outils | Frag | Grattoir sur éclat en quartz |
| Plage | 10A | S95 | 4.1 | Matières premières | éclat retouché | 1 | 1 | 1.1.1.1 | Pierre dure, outils | Frag | Éclat retouché en quartzite de Mistassini |
| Plage | 10A | S96 | 4.1 | Matières premières | biface | 1 | 1 | 1.1.1.1 | Pierre dure, outils | Frag | Outil bifacial en quartzite de Mistassini |
| Plage | 10A | S97 | 4.1 | Matières premières | biface | 1 | 1 | 1.1.1.1 | Pierre dure, outils | Frag | Outil bifacial recyclé en grattoir en quartzite de Mistassini |
| Plage | 10A | S98 | 4.1 | Matières premières | éclat retouché | 1 | 1 | 1.1.1.1 | Pierre dure, outils | Frag | Éclat retouché en quartzite de Mistassini (?) |
| Plage | 10A | S99 | 4.1 | Matières premières | pièce esquillée | 1 | 1 | 1.1.1.1 | Pierre dure, outils | Frag | Pièce esquillée en calcédoine enfumée (?) |
| Plage | 10A | S100 | 4.1 | Matières premières | grattoir | 1 | 1 | 1.1.1.1 | Pierre dure, outils | Frag | Petit grattoir sur éclat en quartzite enfumé |
| Plage | 10A | S101 | 4.1 | Matières premières | grattoir | 1 | 1 | 1.1.1.1 | Pierre dure, outils | Frag | Petit grattoir en quartzite fin blanc (Mista?) |
| Plage | 10A | S102 | 4.1 | Matières premières | éclat retouché | 1 | 1 | 1.1.1.1 | Pierre dure, outils | Frag | Éclat retouché en quartzite fin blanc |
| Plage | 10A | S103 | 4.1 | Matières premières | éclat | 16 | ? | 7.1 | Pierre dure, techno-témoin | Frag | Éclats en quartzite(s), blanc à noir |
| Plage | 10A | S104 | 4.1 | Matières premières | biface | 1 | 1 | 1.1.1.1 | Pierre dure, outils | Frag | Petit fragment outil bifacial roche pyroclastique |
| Plage | 10A | S105 | 4.1 | Matières premières | biface | 1 | 1 | 1.1.1.1 | Pierre dure, outils | Frag | Fragment proximal outil bifacial roche pyroclastique |
| Plage | 10A | S106 | 4.1 | Matières premières | éclat | 4 | ? | 7.1 | Pierre dure, techno-témoin | Frag | Trois éclats de roche métamorphique, une roche schisteuse |
| Plage | 10A | S107 | 4.1 | Matières premières | pointe | 1 | 1 | 1.1.1.1 | Pierre dure, outils | Frag | Fragment distal pointe de projectile en rhyolite grise grossière |
| Plage | 10A | S108 | 4.1 | Matières premières | fragment | 4 | ? | 7.1 | Pierre dure, techno-témoin | Frag | Fragment en chert siliceux brun |
| Plage | 10A | S109 | 4.1 | Matières premières | éclat | 2 | 2 | 7.1 | Pierre dure, techno-témoin | Frag | Éclats de roche ignée noir et brune tachetée |
| Plage | 10A | S110 | 4.1 | Matières premières | éclat | 16 | 1 | 7.1 | Pierre dure, techno-témoin | Frag | Éclats en chert Onondaga et autres variétés visuellement similaires |
| Plage | 10A | S111 | 4.1 | Matières premières | grattoir | 1 | 1 | 1.1.1.1 | Pierre dure, outils | Frag | Grattoir sur éclat en chert Onondaga |
| Plage | 10A | S112 | 4.1 | Matières premières | éclat retouché | 1 | 1 | 1.1.1.1 | Pierre dure, outils | Frag | Éclat retouché en chert Onondaga |
| Plage | 10A | S113 | 4.1 | Matières premières | grattoir | 1 | 1 | 1.1.1.1 | Pierre dure, outils | Frag | Grattoir sur éclat en chert Onondaga brunâtre |
| Plage | 10A | S114 | 4.1 | Matières premières | grattoir | 1 | 1 | 1.1.1.1 | Pierre dure, outils | Frag | Grattoir sur éclat en chert Onondaga |
| Plage | 10A | S115 | 4.1 | Matières premières | grattoir | 1 | 1 | 1.1.1.1 | Pierre dure, outils | Frag | Petit grattoir sur éclat en chert Onondaga |
| Plage | 10A | S116 | 4.1 | Matières premières | éclat retouché | 1 | 1 | 1.1.1.1 | Pierre dure, outils | Frag | Éclat retouché en chert Onondaga |
| Plage | 10A | S117 | 4.1 | Matières premières | grattoir | 1 | 1 | 1.1.1.1 | Pierre dure, outils | Frag | Grattoir sur éclat en chert Onondaga (?) brun foncé |
| Plage | 10A | S118 | 4.1 | Matières premières | éclat retouché | 1 | 1 | 1.1.1.1 | Pierre dure, outils | Frag | Éclat finement retouché en chert Onondaga |
| Plage | 10A | S119 | 4.1 | Matières premières | éclat retouché | 1 | 1 | 1.1.1.1 | Pierre dure, outils | Frag | Éclat retouché en chert Onondaga rubané |

| Puits/sond. | Localisation | No. cat | Code mat. | Matériau | Objet | Nb. frag. | Nb. obj. | Code fonction | Fonction | Intégrité | Commentaires |
|-------------|--------------|---------|-----------|--------------------|-----------------|-----------|----------|---------------|----------------------------|-----------|---|
| Plage | 10A | S120 | 4.1 | Matières premières | biface | 1 | 1 | 1.1.1.1 | Pierre dure, outils | Frag | Fragment distal d'un outil bifacial en chert Onondaga |
| Plage | 10A | S121 | 4.1 | Matières premières | grattoir | 1 | 1 | 1.1.1.1 | Pierre dure, outils | Frag | Grattoir en chert Onondaga brunâtre et calcédonique |
| Plage | 10A | S122 | 4.1 | Matières premières | grattoir | 1 | 1 | 1.1.1.1 | Pierre dure, outils | Frag | Grattoir sur éclat en chert calcaire gris moutonné |
| Plage | 10A | S123 | 4.1 | Matières premières | pièce esquillée | 1 | 1 | 1.1.1.1 | Pierre dure, outils | Frag | Fragment de pièce esquillée en chert Onondaga |
| Plage | 10A | S124 | 4.1 | Matières premières | éclat retouché | 1 | 1 | 1.1.1.1 | Pierre dure, outils | Frag | Éclat retouché en chert Onondaga brun grisâtre |
| Plage | 10A | S125 | 4.1 | Matières premières | grattoir | 1 | 1 | 1.1.1.1 | Pierre dure, outils | Frag | Grattoir sur éclat en chert Onondaga |
| Plage | 10A | S126 | 4.1 | Matières premières | foret | 1 | 1 | 1.1.1.1 | Pierre dure, outils | Frag | Fragment distal d'un foret en chert Onondaga |
| Plage | 10A | S127 | 4.1 | Matières premières | grattoir | 1 | 1 | 1.1.1.1 | Pierre dure, outils | Frag | Grattoir sur éclat en chert Onondaga |
| Plage | 10A | S128 | 4.1 | Matières premières | grattoir | 1 | 1 | 1.1.1.1 | Pierre dure, outils | Frag | Micro grattoir sur éclat en chert Onondaga |
| Plage | 10A | S129 | 4.1 | Matières premières | grattoir | 1 | 1 | 1.1.1.1 | Pierre dure, outils | Frag | Fragment de grattoir sur éclat en chert siliceux brun |
| Plage | 10A | S130 | 4.1 | Matières premières | perçoir | 1 | 1 | 1.1.1.1 | Pierre dure, outils | Frag | Perçoir (?) en chert gris très foncé |
| Plage | 10A | S131 | 4.1 | Matières premières | grattoir | 1 | 1 | 1.1.1.1 | Pierre dure, outils | Frag | Fragment distal de grattoir sur éclat en chert calcaire noir |
| Plage | 10A | S132 | 4.1 | Matières premières | grattoir | 1 | 1 | 1.1.1.1 | Pierre dure, outils | Frag | Fragment d'outil bifacial en chert noir cireux possiblement calcaire |
| Plage | 10A | S133 | 4.1 | Matières premières | grattoir | 1 | 1 | 1.1.1.1 | Pierre dure, outils | Frag | Fragment distal de grattoir sur éclat en roche beige laminée |
| Plage | 10A | S134 | 4.1 | Matières premières | pièce esquillée | 1 | 1 | 1.1.1.1 | Pierre dure, outils | Frag | Pièce esquillée en chert noir |
| Plage | 10A | S135 | 4.1 | Matières premières | grattoir | 1 | 1 | 1.1.1.1 | Pierre dure, outils | Frag | Fragment latéral de grattoir en chert calcaire brun foncé |
| Plage | 10A | S136 | 4.1 | Matières premières | biface | 1 | 1 | 1.1.1.1 | Pierre dure, outils | Frag | Fragment d'outil bifacial en chert calcaire brun foncé grisâtre |
| Plage | 10A | S137 | 4.1 | Matières premières | pièce esquillée | 1 | 1 | 1.1.1.1 | Pierre dure, outils | Frag | Pièce esquillée en schiste ardoisier noir |
| Plage | 10A | S138 | 4.1 | Matières premières | éclat retouché | 1 | 1 | 1.1.1.1 | Pierre dure, outils | Frag | Fragment d'éclat retouché, peut-être un grattoir, en chert cireux brun foncé |
| Plage | 10A | S139 | 4.1 | Matières premières | éclat retouché | 1 | 1 | 1.1.1.1 | Pierre dure, outils | Frag | Éclat retouché en chert calcaire gris foncé brunâtre |
| Plage | 10A | S140 | 4.1 | Matières premières | nucléus | 1 | 1 | 1.1.1.1 | Pierre dure, outils | Frag | Petit nucléus en chert Kichisipi |
| Plage | 10A | S141 | 4.1 | Matières premières | éclat | 16 | ? | 7.1 | Pierre dure, techno-témoin | Frag | Éclats divers en chert (12) et métamorphique (2) |
| Plage | 11A | S142 | 4.1 | Matières premières | éclat | 1 | ? | 7.1 | Pierre dure, techno-témoin | Frag | Gros éclat retouché en roche métamorphique noire. Gros grattoir? |
| Plage | 11A | S143 | 4.1 | Matières premières | pointe | 1 | 1 | 1.1.1.1 | Pierre dure, outils | Frag | Pointe de projectile à pédoncule contractant en quartz grossier |
| Plage | 12A | S144 | 4.1 | Matières premières | grattoir | 1 | 1 | 1.1.1.1 | Pierre dure, outils | Frag | Grattoir à retouche multimarginales, en quartz hyalin |
| Plage | 13A | S145 | 4.1 | Matières premières | fragment | 3 | 1 | 7.1 | Pierre dure, techno-témoin | Frag | Galets anguleux en quartz |
| Plage | 16A | S146 | 4.1 | Matières premières | éclat | 19 | 1 | 7.1 | Pierre dure, techno-témoin | Frag | Éclats en quartz |
| Plage | 16A | S147 | 4.1 | Matières premières | éclat | 3 | 1 | 7.1 | Pierre dure, techno-témoin | Frag | Éclats en quartz hyalin |
| Plage | 16A | S148 | 4.1 | Matières premières | éclat retouché | 1 | 1 | 1.1.1.1 | Pierre dure, outils | Frag | Éclat retouché en quartzite fin blanc |
| Plage | 16A | S149 | 4.1 | Matières premières | éclat | 9 | 1 | 7.1 | Pierre dure, techno-témoin | Frag | Éclats de quartzite blanc à gris, dont un fragment réduction bifaciale? |
| Plage | 16A | S150 | 4.1 | Matières premières | éclat | 14 | 1 | 7.1 | Pierre dure, techno-témoin | Frag | Éclats de roches indéterminées, surtout métamorphiques |
| Plage | 16A | S151 | 4.1 | Matières premières | éclat | 2 | 1 | 7.1 | Pierre dure, techno-témoin | Frag | Éclats en jaspe brun et rouge |
| Plage | 16A | S152 | 4.1 | Matières premières | éclat | 1 | 1 | 7.1 | Pierre dure, techno-témoin | Frag | Éclat de chert siliceux brun |
| Plage | 16A | S153 | 4.1 | Matières premières | éclat | 3 | 1 | 7.1 | Pierre dure, techno-témoin | Frag | Éclats de roches ignées (?) |
| Plage | 16A | S154 | 4.1 | Matières premières | grattoir | 1 | 1 | 1.1.1.1 | Pierre dure, outils | Frag | Petit grattoir sur éclat en chert Onondaga |
| Plage | 16A | S155 | 4.1 | Matières premières | éclat retouché | 1 | 1 | 1.1.1.1 | Pierre dure, outils | Frag | Éclat retouché en chert brun foncé verdâtre |
| Plage | 16A | S156 | 4.1 | Matières premières | éclat retouché | 1 | 1 | 1.1.1.1 | Pierre dure, outils | Frag | Éclat retouché en chert calcaire noir |
| Plage | 16A | S157 | 4.1 | Matières premières | grattoir | 1 | 1 | 1.1.1.1 | Pierre dure, outils | Frag | Grattoir sur éclat en chert Kichisipi |
| Plage | 16A | S158 | 4.1 | Matières premières | grattoir | 1 | 1 | 1.1.1.1 | Pierre dure, outils | Frag | Grattoir multimarginal sur éclat en chert Kichisipi noir |
| Plage | 16A | S159 | 4.1 | Matières premières | grattoir | 1 | 1 | 1.1.1.1 | Pierre dure, outils | Frag | Fragment de grattoir sur éclat en chert chauffé |
| Plage | 16A | S160 | 4.1 | Matières premières | éclat | 22 | 1 | 7.1 | Pierre dure, techno-témoin | Frag | Éclat en cherts calcaires (4), Onondaga (12) et Kichisipi (6) |
| Plage | 16A | S161 | 4.1 | Matières premières | outil | 3 | 1 | 1.1.1.1 | Pierre dure, outils | Frag | 3 fragments d'outil poli en roche ignée noire |
| Plage | 16A | S162 | 4.1 | Matières premières | ? | 1 | 1 | 1.1.1.1 | Pierre dure, outils | Frag | Fragment d'objet poli en roche métamorphique, gorgerin? |
| Plage | 4B | S163 | 4.1 | Matières premières | outil | 1 | 1 | 1.1.1.1 | Pierre dure, outils | Frag | Fragment d'outil poli (herminette?) en roche métamorphique brun très foncé |
| Plage | 5B | S164 | 4.1 | Matières premières | biface | 1 | 1 | 1.1.1.1 | Pierre dure, outils | Ent | Outil bifacial en quartz |
| Plage | 5B | S165 | 4.1 | Matières premières | outil | 1 | 1 | 1.1.1.1 | Pierre dure, outils | Frag | Outil rectangulaire poli en roche métamorphique brune grisâtre |
| Plage | 6B | S166 | 4.1 | Matières premières | grattoir | 1 | 1 | 1.1.1.1 | Pierre dure, outils | Ent | Grattoir sur éclat en chert siliceux brun avec cortex |
| Plage | 7B | S167 | 4.1 | Matières premières | grattoir | 1 | 1 | 1.1.1.1 | Pierre dure, outils | Ent | Gros éclat retouché en chert siliceux brun avec cortex |
| Plage | 8B | S168 | 4.1 | Matières premières | pièce esquillée | 1 | 1 | 1.1.1.1 | Pierre dure, outils | Ent | Gros éclat avec retouches multimarginales en quartzite gris enfumé |
| Plage | 9B | S169 | 4.1 | Matières premières | pièce esquillée | 1 | 1 | 1.1.1.1 | Pierre dure, outils | Ent | Pièce esquillée en chert très fin cireux calcaire brun chauffé |
| Plage | 10B | S170 | 4.1 | Matières premières | éclat | 1 | 1 | 7.1 | Pierre dure, techno-témoin | Frag | Gros éclat de quartz dont un tranchant semble émoussé |
| Plage | 11B | S171 | 4.1 | Matières premières | outil | 1 | 1 | 1.1.1.1 | Pierre dure, outils | Frag | Fragment d'outil poli en roche ignée noire. Un polissoir? |
| Plage | 12B | S172 | 4.1 | Matières premières | outil | 1 | 1 | 1.1.1.1 | Pierre dure, outils | Frag | Fragment d'outil poli en roche métamorphique noir d'origine calcaire |
| Plage | 13B | S173 | 4.1 | Matières premières | éclat retouché | 1 | 1 | 1.1.1.1 | Pierre dure, outils | Frag | Un éclat retouché brun caramel (en jaspe?) |
| Plage | 13B | S174 | 4.1 | Matières premières | pièce esquillée | 1 | 1 | 1.1.1.1 | Pierre dure, outils | Frag | Fragment de pièce esquillée brun orangé (en jaspe?) |
| Plage | 13B | S175 | 4.1 | Matières premières | éclat | 1 | 1 | 7.1 | Pierre dure, techno-témoin | Frag | Éclat beige et rouge à inclusions orangées en chert siliceux |
| Plage | 14B1 | S176 | 4.1 | Matières premières | outil | 1 | 1 | 1.1.1.1 | Pierre dure, outils | Frag | Fragment d'outil avec cicatrice d'enlèvement en chert noir |
| Plage | 14B2 | S177 | 4.1 | Matières premières | outil | 1 | 1 | 1.1.1.1 | Pierre dure, outils | Frag | Fragment d'outil bouchardé en roche ignée noire |
| Plage | 15B1 | S178 | 4.1 | Matières premières | éclat | 1 | 1 | 7.1 | Pierre dure, techno-témoin | Frag | Éclat en shale |
| Plage | 15B2 | S179 | 4.1 | Matières premières | éclat | 1 | 1 | 7.1 | Pierre dure, techno-témoin | Frag | Éclat en shale aménagé en perçoir |
| Plage | 16B | S180 | 4.1 | Matières premières | pointe | 1 | 1 | 1.1.1.1 | Pierre dure, outils | Ent | Petit pointe de projectile à encoches latérales en chert oolithique brun veiné de noir |
| Plage | 17B | S181 | 4.1 | Matières premières | biface | 1 | 1 | 1.1.1.1 | Pierre dure, outils | Frag | Fragment distal d'outil bifacial en chert fin noir veiné de brun orangé possiblement d'origine calcaire |

| Puits/sond. | Localisation | No. cat | Code mat. | Matériau | Objet | Nb. frag. | Nb. obj. | Code fonction | Fonction | Intégrité | Commentaires |
|-------------|--------------|---------|-----------|--------------------|-----------------|-----------|----------|---------------|----------------------------|-----------|---|
| Plage | 18B | S182 | 4.1 | Matières premières | pointe | 1 | 1 | 1.1.1.1 | Pierre dure, outils | Frag | Fragment méso-proximal de pointe de projectile de type Brewerton à encoches latérales, en chert gris très foncé |
| Plage | 19B | S183 | 4.1 | Matières premières | pointe | 1 | 1 | 1.1.1.1 | Pierre dure, outils | Frag | Fragment de pointe de projectile à pédoncule contractant (?) en chert calcaire gris, creux et chauffé |
| Plage | 20B1 | S184 | 4.1 | Matières premières | pointe | 1 | 1 | 1.1.1.1 | Pierre dure, outils | Frag | Pointe de projectile ou couteau à pédoncule droit et base à ailettes en roche métamorphique gris foncé |
| Plage | 20B2 | S185 | 4.1 | Matières premières | pointe | 1 | 1 | 1.1.1.1 | Pierre dure, outils | Ent | Petite pointe de projectile à encoches latérales évasées, type Normanskill (?) en roche métamorphique grise |
| Plage | 21B1 | S186 | 4.1 | Matières premières | pointe | 1 | 1 | 1.1.1.1 | Pierre dure, outils | Ent | Pointe de projectile à encoches en coin en quartzite de Mistassini enfumé |
| Plage | 21B2 | S187 | 4.1 | Matières premières | pointe | 1 | 1 | 1.1.1.1 | Pierre dure, outils | Ent | Préforme de pointe de projectile à encoches latérales en quartzite de Mistassini |
| Plage | 22B | S188 | 4.1 | Matières premières | foret | 1 | 1 | 1.1.1.1 | Pierre dure, outils | Ent | Foret en chert calcaire gris (Onondaga?) |
| Plage | 23B | S189 | 4.1 | Matières premières | pointe | 1 | 1 | 1.1.1.1 | Pierre dure, outils | Frag | Pointe de projectile à encoches latérales-coin en chert siliceux brun pâle. Type Kack's Reef (?) |
| Plage | 24B1 | S190 | 4.1 | Matières premières | biface | 1 | 1 | 1.1.1.1 | Pierre dure, outils | Frag | Fragment distal d'outil bifacial en quartzite de Mistassini |
| Plage | 24B2 | S191 | 4.1 | Matières premières | biface | 1 | 1 | 1.1.1.1 | Pierre dure, outils | Frag | Fragment mésial d'outil bifacial en quartzite de Mistassini gris foncé enfumé |
| Plage | 25B | S192 | 4.1 | Matières premières | grattoir | 1 | 1 | 1.1.1.1 | Pierre dure, outils | Ent | Grattoir unimarginal sur éclat en quartzite de Mistassini |
| Plage | 26B | S193 | 4.1 | Matières premières | pointe | 1 | 1 | 1.1.1.1 | Pierre dure, outils | Frag | Fragment proximal de pointe de projectile à pédoncule contractant et ailettes ou encoches latérales évasées en chert beige oxydé et possiblement chauffé. Type Orient Fish Tail (?) |
| Plage | 27B | S194 | 4.1 | Matières premières | pièce esquillée | 1 | 1 | 1.1.1.1 | Pierre dure, outils | Ent | Pièce esquillée en chert Onondaga brunâtre |
| Plage | 27B | S195 | 4.1 | Matières premières | grattoir | 1 | 1 | 1.1.1.1 | Pierre dure, outils | Ent | Grattoir multimarginal sur outil bifacial recyclé, en chert calcaire gris (Onondaga?), similaire à S188 |
| Plage | 28B | S196 | 4.1 | Matières premières | foret | 1 | 1 | 1.1.1.1 | Pierre dure, outils | Frag | Fragment méso-proximal de foret en chert siliceux brun. Rappelle le chert BTBH |
| Plage | 28B | S197 | 4.1 | Matières premières | grattoir | 1 | 1 | 1.1.1.1 | Pierre dure, outils | Ent | Grattoir unimarginal sur éclat en jaspe brun caramél |
| Plage | 29B | S198 | 4.1 | Matières premières | grattoir | 1 | 1 | 1.1.1.1 | Pierre dure, outils | Frag | Grattoir unimarginal sur éclat avec retouches sur partie proximale, en chert Onondaga |
| Plage | 30B | S199 | 4.1 | Matières premières | nucléus | 1 | 1 | 1.1.1.1 | Pierre dure, outils | Frag | Nucléus en chert fossilifère beige et brun (Sud de l'Ontario?) |
| Plage | 30B | S200 | 4.1 | Matières premières | nucléus | 1 | 1 | 1.1.1.1 | Pierre dure, outils | Frag | Fragment de nucléus retouché en chert Kichisipi brun très foncé |
| Plage | ? | S201 | 4.1 | Matières premières | ? | 1 | 1 | 1.1.1.1 | Pierre dure, outils | Ent | Polissoir? |
| Plage | ? | S202 | 4.1 | Matières premières | fragment | 6 | 6 | 1.1.1.1 | Pierre dure, outils | Frag | Fragments de pierres polies |
| Plage | ? | S203 | 4.1 | Matières premières | ? | 1 | 1 | 1.1.1.1 | Pierre dure, outils | Ent | Petit polissoir ovale? |
| Plage | ? | S204 | 4.1 | Matières premières | hache | 1 | 1 | 1.1.1.1 | Pierre dure, outils | Frag | Fragment distal d'une hache/herminette en roche métamorphique brun foncé |
| Plage | ? | S205 | 4.1 | Matières premières | hache | 1 | 1 | 1.1.1.1 | Pierre dure, outils | Frag | Possible fragment distal d'une hache/herminette en roche métamorphique gris très foncé brunâtre |
| Plage | ? | S206 | 4.1 | Matières premières | fragment | 1 | 1 | 1.1.1.1 | Pierre dure, outils | Frag | Fragment de quartz ayant possiblement servi de polissoir |
| Plage | ? | S207 | 4.1 | Matières premières | éclat | 16 | ? | 7.1 | Pierre dure, techno-témoin | Frag | Éclats et débris en quartz |
| Plage | ? | S208 | 4.1 | Matières premières | grattoir | 1 | 1 | 1.1.1.1 | Pierre dure, outils | Ent | Grattoir en quartz |
| Plage | ? | S209 | 4.1 | Matières premières | pièce esquillée | 1 | 1 | 1.1.1.1 | Pierre dure, outils | Frag | Pièce esquillée en quartz (?) |
| Plage | ? | S210 | 4.1 | Matières premières | outil | 1 | 1 | 1.1.1.1 | Pierre dure, outils | Frag | Fragment d'outil en pierre polie |
| Plage | ? | S211 | 4.1 | Matières premières | éclat | 41 | ? | 7.1 | Pierre dure, techno-témoin | Frag | Éclats en divers cherts, roches métamorphiques, quartzites |
| Plage | ? | S212 | 4.1 | Matières premières | éclat retouché | 1 | ? | 1.1.1.1 | Pierre dure, outils | Frag | Fragment d'éclat retouché en quartzite de Mistassini |
| Plage | ? | S264 | 4.1 | Matières premières | éclat retouché | 1 | ? | 1.1.1.1 | Pierre dure, outils | Frag | Fragment d'éclat retouché en quartzite de Mistassini |
| Plage | ? | S213 | 4.1 | Matières premières | grattoir | 1 | 1 | 1.1.1.1 | Pierre dure, outils | Ent | Grattoir en quartzite gris pâle laiteux très translucide |
| Plage | ? | S214 | 4.1 | Matières premières | grattoir | 1 | 1 | 1.1.1.1 | Pierre dure, outils | Ent | Grattoir sur éclat en quartzite brun (chauffé?) |
| Plage | ? | S215 | 4.1 | Matières premières | grattoir | 1 | 1 | 1.1.1.1 | Pierre dure, outils | Ent | Grattoir émoussé en roche métamorphique beige et brun |
| Plage | ? | S216 | 4.1 | Matières premières | grattoir | 1 | 1 | 1.1.1.1 | Pierre dure, outils | Ent | Grattoir en chert gris siliceux, riche en vacuoles et en fossiles |
| Plage | ? | S217 | 4.1 | Matières premières | nucléus | 1 | 1 | 1.1.1.1 | Pierre dure, outils | Frag | Fragment de pièce esquillée en chert veiné brun grisâtre |
| Plage | ? | S218 | 4.1 | Matières premières | grattoir | 1 | 1 | 1.1.1.1 | Pierre dure, outils | Ent | Petit grattoir en chert Onondaga |
| Plage | ? | S219 | 4.1 | Matières premières | grattoir | 1 | 1 | 1.1.1.1 | Pierre dure, outils | Frag | Fragment distal de petit grattoir en chert calcaire brun grisâtre très foncé (Kichisipi?) |
| Plage | ? | S220 | 4.1 | Matières premières | grattoir | 1 | 1 | 1.1.1.1 | Pierre dure, outils | Ent | Grattoir émoussé en roche métamorphique brun rougâtre |
| Plage | ? | S221 | 4.1 | Matières premières | grattoir | 1 | 1 | 1.1.1.1 | Pierre dure, outils | Frag | Fragment distal de grattoir en chert siliceux beige |
| Plage | ? | S222 | 4.1 | Matières premières | grattoir | 1 | 1 | 1.1.1.1 | Pierre dure, outils | Ent | Petit grattoir en chert Kichisipi, avec cupule thermique |
| Plage | ? | S223 | 4.1 | Matières premières | grattoir | 1 | 1 | 1.1.1.1 | Pierre dure, outils | Frag | Fragment de petit grattoir en chert brun très foncé |
| Plage | 1C | S224 | 4.1 | Matières premières | fragment | 2 | ? | 1.1.1.1 | Pierre dure, outils | Frag | Deux fragments de chert calcaire |
| Plage | 2C | S225 | 4.1 | Matières premières | fragment | 1 | 1 | 1.1.1.1 | Pierre dure, outils | Frag | Un fragment en chert calcaire noir avec rubans épais |
| Plage | 3C | S226 | 4.1 | Matières premières | éclat | 2 | ? | 7.1 | Pierre dure, techno-témoin | Frag | Un éclat métamorphique ou pyroclastique, un chert brun à oolithes/peloides. « Dans sable » |
| Plage | 4C | S227 | 4.1 | Matières premières | éclat | 1 | 1 | 7.1 | Pierre dure, techno-témoin | Frag | Un éclat en chert calcaire gris |
| Plage | 6C | S228 | 4.1 | Matières premières | outil | 1 | 1 | 1.1.1.1 | Pierre dure, outils | Frag | Fragment d'outil poli en roche ignée noir |
| Plage | 8C | S229 | 4.1 | Matières premières | éclat | 2 | ? | 7.1 | Pierre dure, techno-témoin | Frag | Deux éclats de réduction bifaciale en quartzite à grain moyen-fin gris. « Sable files » |
| Plage | 8C | S230 | 4.1 | Matières premières | éclat | 4 | ? | 7.1 | Pierre dure, techno-témoin | Frag | 1 éclat en quartz, 1 quartzite à grain moyen-fin gris, 1 Onondaga, 1 métamorphique |
| Plage | 9C | S231 | 4.1 | Matières premières | éclat | 2 | ? | 7.1 | Pierre dure, techno-témoin | Frag | Deux éclats de chert calcaire noir |
| Plage | 10C | S232 | 4.1 | Matières premières | fragment | 1 | 1 | 1.1.1.1 | Pierre dure, outils | Frag | 1 fragment de chert Kichisipi |
| Plage | 12C | S233 | 4.1 | Matières premières | éclat | 1 | 1 | 7.1 | Pierre dure, techno-témoin | Frag | 1 éclat en chert calcaire gris foncé |
| Plage | 13C | S234 | 4.1 | Matières premières | éclat | 1 | 1 | 7.1 | Pierre dure, techno-témoin | Frag | 1 éclat en calcaire (?) |

| Puits/sond. | Localisation | No. cat | Code mat. | Matériau | Objet | Nb. frag. | Nb. obj. | Code fonction | Fonction | Intégrité | Commentaires |
|-------------|--------------|---------|-----------|--------------------|----------|-----------|----------|---------------|----------------------------|-----------|--|
| Plage | 14C | S235 | 4.1 | Matières premières | éclat | 2 | ? | 7.1 | Pierre dure, techno-témoin | Frag | Un éclat en quartzite à grain moyen gris et un en chert fossilifère beige |
| Plage | 15C | S236 | 4.1 | Matières premières | éclat | 1 | 1 | 7.1 | Pierre dure, techno-témoin | Frag | 1 éclat en roche métamorphique grise |
| Plage | 16C | S237 | 4.1 | Matières premières | ? | 1 | 1 | 1.1.1.1 | Pierre dure, outils | Frag | Un débris de taille en calcaire? Blanc et émoussé |
| Plage | 17C | S238 | 4.1 | Matières premières | éclat | 3 | ? | 7.1 | Pierre dure, techno-témoin | Frag | Un éclat en quartz, un chert vert grisâtre, un Onondaga |
| Plage | 18C | S239 | 4.1 | Matières premières | éclat | 2 | ? | 7.1 | Pierre dure, techno-témoin | Frag | 1 éclat en chert calcaire noir, 1 Onondaga |
| Plage | 19C | S240 | 4.1 | Matières premières | éclat | 3 | ? | 7.1 | Pierre dure, techno-témoin | Frag | 1 éclat en chert Onondaga, 1 Kichisipi très pâle, 1 quartzite gris |
| Plage | 20C | S241 | 4.1 | Matières premières | éclat | 3 | ? | 7.1 | Pierre dure, techno-témoin | Frag | 1 éclat en quartzite à grain-moyen-fin gris, 1 chert Onondaga brunâtre, 1 métamorphique (?) |
| Plage | 22C | S242 | 4.1 | Matières premières | éclat | 4 | ? | 7.1 | Pierre dure, techno-témoin | Frag | Deux éclats de quartz, un quartzite fin blanchâtre (Mista?), un chert Kichisipi |
| Plage | 23C | S243 | 4.1 | Matières premières | éclat | 2 | ? | 7.1 | Pierre dure, techno-témoin | Frag | 1 fragment de chert Kichisipi, 1 chert calcaire gris |
| Plage | 25C | S244 | 4.1 | Matières premières | éclat | 3 | ? | 7.1 | Pierre dure, techno-témoin | Frag | 1 éclat en quartz, un quartzite gris verdâtre pâle (Mista?), 1 Kichisipi |
| Plage | 26C | S245 | 4.1 | Matières premières | éclat | 1 | 1 | 1.1.1.1 | Pierre dure, outils | Frag | Un éclat en quartz |
| Plage | 28C | S246 | 4.1 | Matières premières | éclat | 3 | ? | 7.1 | Pierre dure, techno-témoin | Frag | Un éclat en quartz, un chert calcaire gris, un débris de calcaire (?) blanc, émoussé |
| Plage | 29C | S247 | 4.1 | Matières premières | outil | 1 | 1 | 1.1.1.1 | Pierre dure, outils | Frag | 1 débris ou fragment d'outil en chert Onondaga |
| Plage | 31C | S248 | 4.1 | Matières premières | éclat | 2 | ? | 7.1 | Pierre dure, techno-témoin | Frag | 1 éclat en quartz, 1 quartzite fin gris pâle |
| Plage | 32C | S249 | 4.1 | Matières premières | éclat | 2 | ? | 7.1 | Pierre dure, techno-témoin | Frag | Un éclat et un débris en quartz |
| Plage | 34C | S250 | 4.1 | Matières premières | éclat | 3 | ? | 7.1 | Pierre dure, techno-témoin | Frag | 2 éclats en quartz, 1 quartzite à grains moyen gris |
| Plage | 35C | S251 | 4.1 | Matières premières | éclat | 1 | 1 | 7.1 | Pierre dure, techno-témoin | Frag | Éclat de quartz |
| Plage | 36C | S252 | 4.1 | Matières premières | éclat | 2 | ? | 7.1 | Pierre dure, techno-témoin | Frag | 1 éclat en quartz, 1 métamorphique grise |
| Plage | 36C | S265 | 4.1 | Matières premières | grattoir | 1 | 1 | 1.1.1.1 | Pierre dure, outils | Ent | Petit grattoir en chert Onondaga |
| Plage | 37C | S253 | 4.1 | Matières premières | éclat | 5 | ? | 7.1 | Pierre dure, techno-témoin | Frag | 1 éclat en quartzite à grain moyen gris, 1 chert calcaire noir, 2 Kichisipi (un grossier/cortex), 1 Onondaga |
| Plage | 38C | S254 | 4.1 | Matières premières | ? | 1 | 1 | 1.1.1.1 | Pierre dure, outils | Frag | Galet de quartz poli, polissoir? |
| Plage | 39C | S255 | 4.1 | Matières premières | éclat | 2 | ? | 7.1 | Pierre dure, techno-témoin | Frag | 1 éclat en quartzite de Mistassini jauni, 1 éclat de réduction bifaciale en roche métamorphique grise |
| Plage | 40C | S256 | 4.1 | Matières premières | éclat | 3 | ? | 7.1 | Pierre dure, techno-témoin | Frag | 1 fragment en quartz, 1 éclat en quartzite de Mistassini, 1 Onondaga |
| Plage | 41C | S257 | 4.1 | Matières premières | éclat | 3 | ? | 7.1 | Pierre dure, techno-témoin | Frag | 1 éclat en quartz, 1 quartzite fin gris verdâtre enfumé, 1 métamorphique grise |
| Plage | 42C | S258 | 4.1 | Matières premières | éclat | 3 | ? | 7.1 | Pierre dure, techno-témoin | Frag | 1 fragment en chert calcaire gris, 1 éclat en chert calcaire noir, 1 calcaire beige |
| Plage | 43C | S259 | 4.1 | Matières premières | éclat | 2 | ? | 7.1 | Pierre dure, techno-témoin | Frag | 1 éclat en pyroclastique, 1 métamorphique gris pâle |
| Plage | 44C | S260 | 4.1 | Matières premières | éclat | 6 | ? | 7.1 | Pierre dure, techno-témoin | Frag | Trois éclats en quartz, un quartzite fin blanchâtre (Mista?), un chert Onondaga, un chert calcaire noir |
| Plage | 45C | S261 | 4.1 | Matières premières | éclat | 7 | ? | 7.1 | Pierre dure, techno-témoin | Frag | 1 fragment et 2 éclats en quartz, 2 Mistassini, 1 quartzite gris rouillé, 1 Onondaga |
| Plage | 46C | S262 | 4.1 | Matières premières | fragment | 10 | ? | 1.1.1.1 | Pierre dure, outils | Frag | 3 fragments ou éclats en quartz, 2 chert Onondaga, 1 Kichisipi, 1 chert vert (?), 1 chert calcaire noir, 2 chert noir brunâtre |
| Plage | 48C | S263 | 4.1 | Matières premières | pointe | 1 | 1 | 1.1.1.1 | Pierre dure, outils | Frag | Fragment méso-proximal de pointe de projectile à encoches en coin (Brewerton?) en chert Onondaga |

